

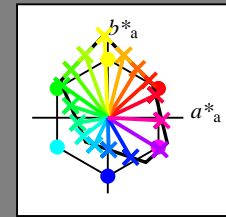
Ein und Ausgabe:
 Farbmimetrisches Drucker-Reflektiv-System FRS09_92a

Daten für jede Farbe:
 u^*_e und Nummer $Nr.$ = 00 .. 15

Elementar-Bunttextext:
 $u^*_e = 16$ Bunttoene $r00j, r25j, \dots, b75r$

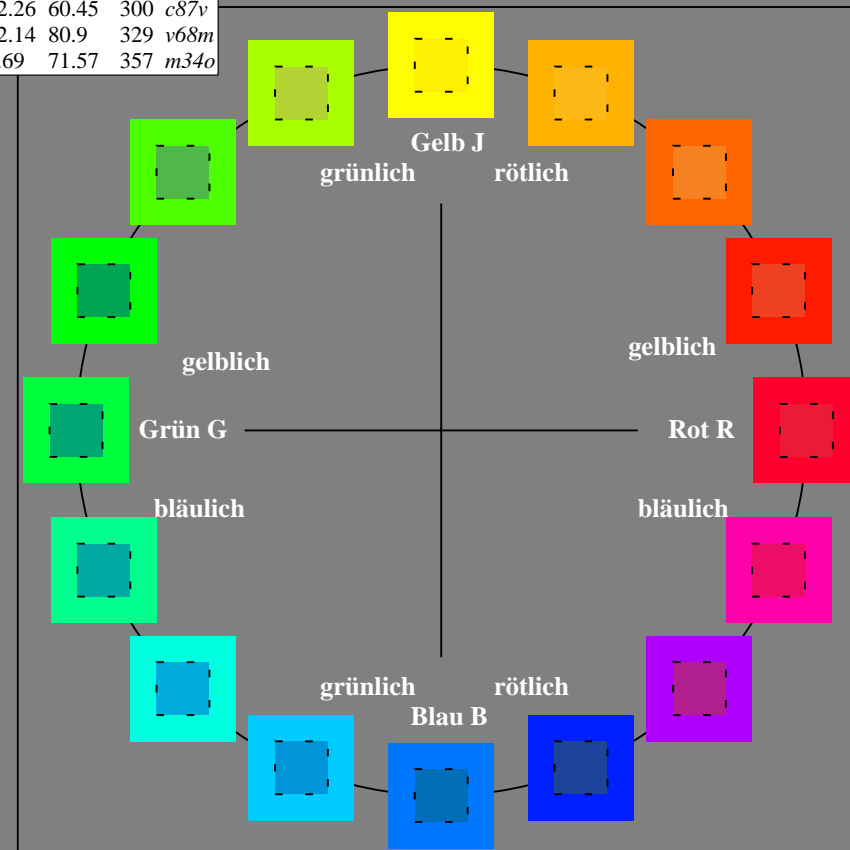
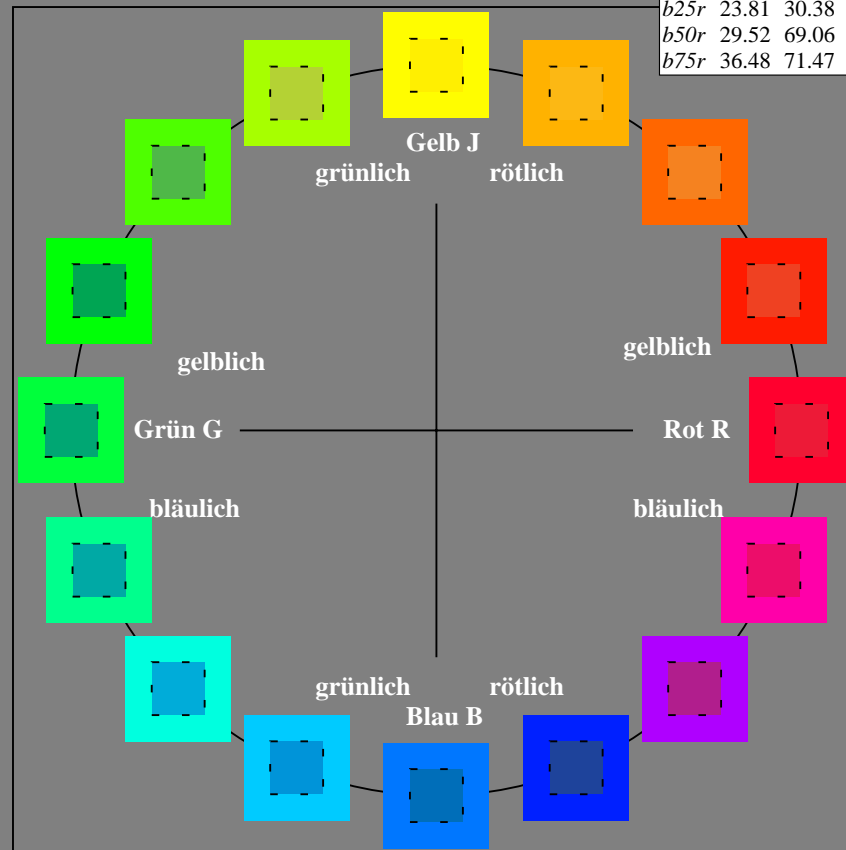
Kontrastreduzierungsfaktor:
 $c_R = 1.0$

FRS09_92a; adaptierte CIELAB-Daten						
u^*_e	$L^*=L^*_a$	a^*_a	b^*_a	$C^*_{ab,a}$	$h^*_{ab,a}$	u^*_d
<i>r00j</i>	35.47	63.32	30.17	70.15	25	<i>m8lo</i>
<i>r25j</i>	39.12	54.56	49.45	73.64	42	<i>o10y</i>
<i>r50j</i>	50.64	39.15	64.89	75.79	59	<i>o40y</i>
<i>r75j</i>	64.01	21.26	82.83	85.52	76	<i>o69y</i>
<i>j00g</i>	83.18	-4.38	108.53	108.62	92	<i>o98y</i>
<i>j25g</i>	66.73	-29.89	83.06	88.28	110	<i>y34l</i>
<i>j50g</i>	54.03	-48.31	63.49	79.78	127	<i>y69l</i>
<i>j75g</i>	44.73	-60.33	42.64	73.88	145	<i>l03c</i>
<i>g00b</i>	47.59	-49.08	15.74	51.54	162	<i>l23c</i>
<i>g25b</i>	49.97	-39.7	-6.72	40.27	190	<i>l55c</i>
<i>g50b</i>	51.85	-32.33	-24.35	40.48	217	<i>l87c</i>
<i>g75b</i>	46.92	-17.29	-36.02	39.96	244	<i>c20v</i>
<i>b00r</i>	37.91	1.28	-42.35	42.37	272	<i>c53v</i>
<i>b25r</i>	23.81	30.38	-52.26	60.45	300	<i>c87v</i>
<i>b50r</i>	29.52	69.06	-42.14	80.9	329	<i>v68m</i>
<i>b75r</i>	36.48	71.47	-3.69	71.57	357	<i>m34o</i>



%Umfang
 $u^*_{rel} = 109$
 %Regularität
 $g^*_{H,rel} = 31$
 $g^*_{C,rel} = 40$

FRS09_92a; adaptierte CIELAB-Daten					
Name	$L^*=L^*_a$	a^*_a	b^*_a	$C^*_{ab,a}$	$h^*_{ab,a}$
O _{Ma}	35.06	60.0	44.0	74.4	36
Y _{Ma}	83.77	-5.17	109.32	109.44	93
L _{Ma}	44.13	-62.67	48.24	79.09	142
C _{Ma}	52.66	-29.14	-31.99	43.27	228
V _{Ma}	14.15	50.3	-59.04	77.57	310
M _{Ma}	37.37	78.64	-33.5	85.48	337
N _{Ma}	8.58	0.0	0.0	0.0	0
W _{Ma}	92.02	0.0	0.0	0.0	0
R _{CIE}	39.92	58.74	27.99	65.07	25
J _{CIE}	81.26	-2.89	71.56	71.62	92
G _{CIE}	52.23	-42.42	13.6	44.55	162
B _{CIE}	30.57	1.41	-46.47	46.49	272



Ein und Ausgabe: Farbmatisches Drucker-Reflektiv-System FRS09_92a für relativen CIELAB-Bunton $h^* = lab^*h^* = h_{ab}^*/360 = 0.071$

$u^*_e = r00j$

Daten für jede Farbe:

lab^*tch^* und lab^*icu^*

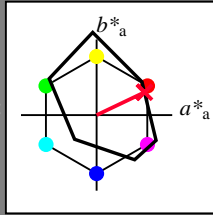
Buntontexte:

$u^*_e = r00j$ $u^*_d = m81o$

Kontrastreduzierungsfaktor:

$c_R = 1.0$

Dreiecks-Helligkeit t^*



FRS09_92a; adaptierte CIELAB-Daten

u^*_e	$L^*=L^*_a$	a^*_a	b^*_a	$C^*_{ab,a}$	$h^*_{ab,a}$
O _{Ma}	35.06	60.0	44.0	74.4	36
Y _{Ma}	83.77	-5.17	109.32	109.44	93
L _{Ma}	44.13	-62.67	48.24	79.09	142
C _{Ma}	52.66	-29.14	-31.99	43.27	228
V _{Ma}	14.15	50.3	-59.04	77.57	310
M _{Ma}	37.37	78.64	-33.5	85.48	337
N _{Ma}	8.58	0.0	0.0	0.0	0
W _{Ma}	92.02	0.0	0.0	0.0	0
R _{Ma}	39.92	58.74	27.99	65.07	25
J _{Ma}	81.26	-2.89	71.56	71.62	92
G _{Ma}	52.23	-42.42	13.6	44.55	162
B _{Ma}	30.57	1.41	-46.47	46.49	272

Daten für Maximalfarbe (Ma):

$LAB^*LAB^*_{Ma}$: 35 63 30

$LAB^*LCH^*_{Ma}$: 35 70 25

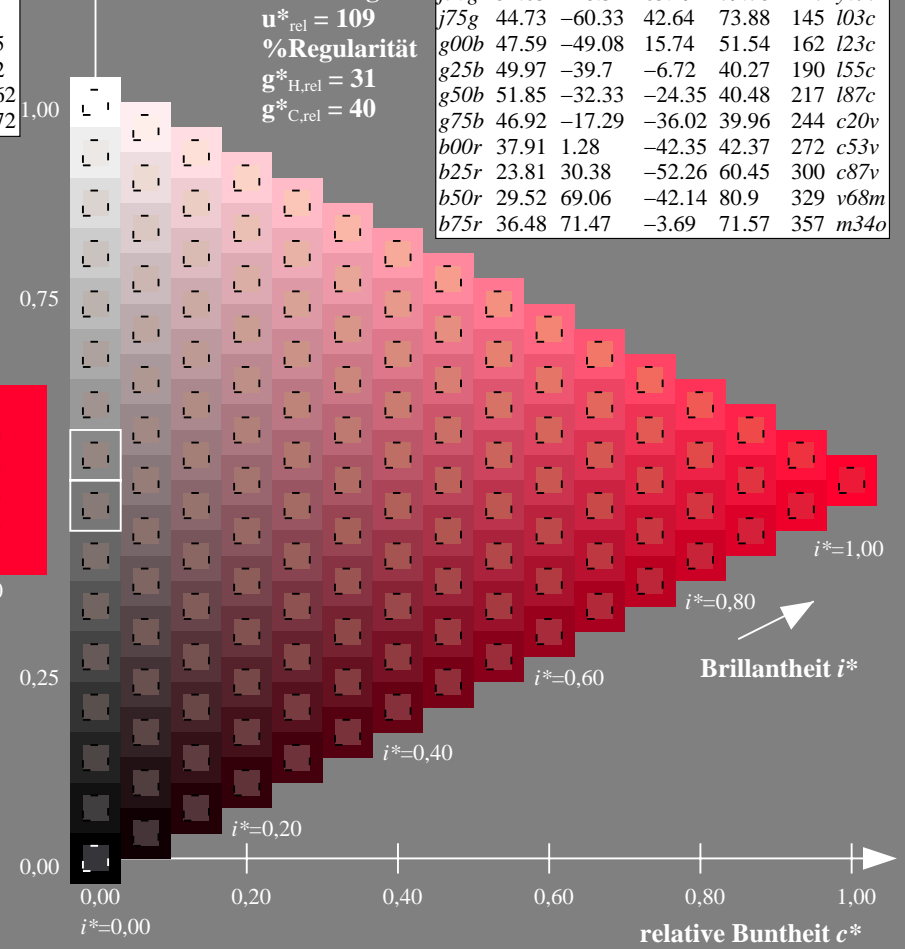
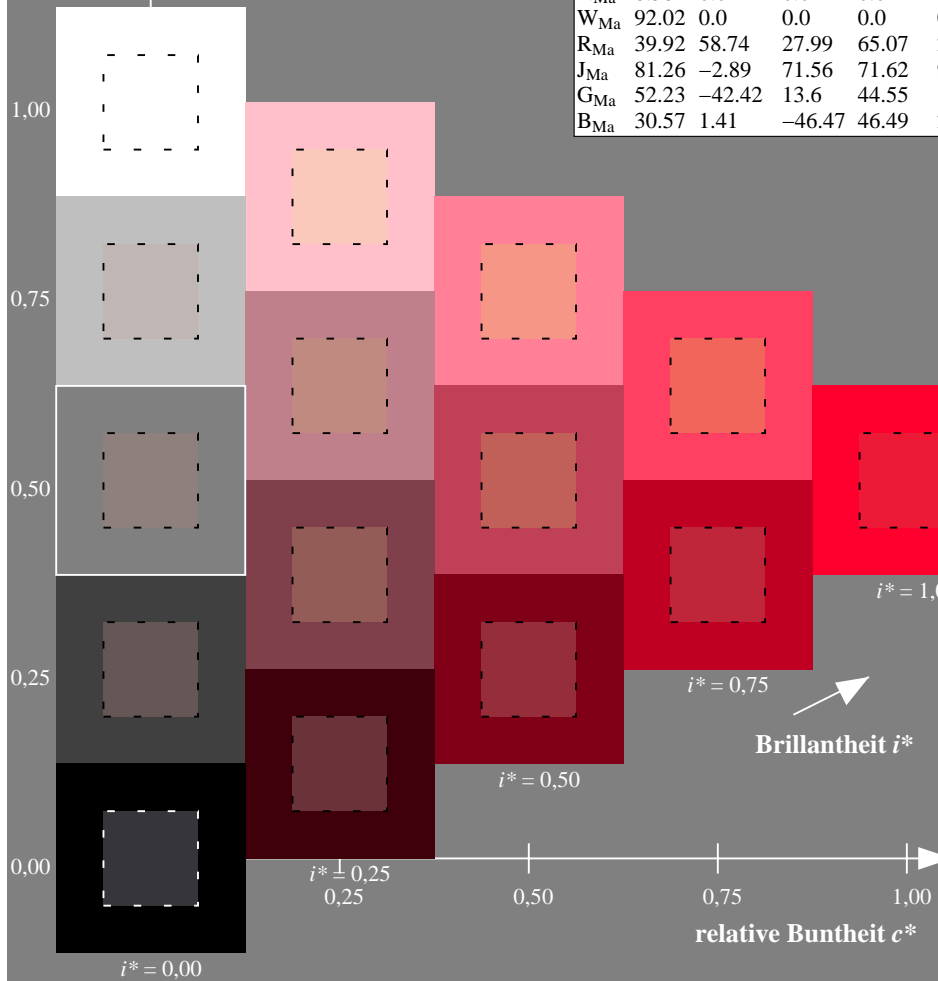
$lab^*rgb^*_{Ma}$: 1.0 0.0 0.0

$lab^*olv^*_{Ma}$: 1.0 0.0 0.18

Dreiecks-Helligkeit t^*

FRS09_92a; adaptierte CIELAB-Daten

u^*_e	$L^*=L^*_a$	a^*_a	b^*_a	$C^*_{ab,a}$	$h^*_{ab,a}$	u^*_d
r00j	35.47	63.32	30.17	70.15	25	m81o
r25j	39.12	54.56	49.45	73.64	42	o10y
r50j	50.64	39.15	64.89	75.79	59	o40y
r75j	64.01	21.26	82.83	85.52	76	o69y
j00g	83.18	-4.38	108.53	108.62	92	o98y
j25g	66.73	-29.89	83.06	88.28	110	y34l
j50g	54.03	-48.31	63.49	79.78	127	y69l
j75g	44.73	-60.33	42.64	73.88	145	l03c
g00b	47.59	-49.08	15.74	51.54	162	l23c
g25b	49.97	-39.7	-6.72	40.27	190	l55c
g50b	51.85	-32.33	-24.35	40.48	217	l87c
g75b	46.92	-17.29	-36.02	39.96	244	c20v
b00r	37.91	1.28	-42.35	42.37	272	c53v
b25r	23.81	30.38	-52.26	60.45	300	c87v
b50r	29.52	69.06	-42.14	80.9	329	v68m
b75r	36.48	71.47	-3.69	71.57	357	m34o



Daten für jede Farbe:

lab^*tch^* und lab^*icu^*

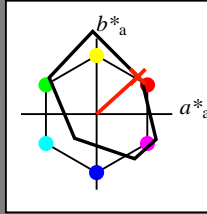
Buntontexte:

$u^*_e = r25j$ $u^*_d = o10y$

Kontrastreduzierungsfaktor:

$c_R = 1.0$

Dreiecks-Helligkeit t^*



FRS09_92a; adaptierte CIELAB-Daten

u^*_e	$L^*=L^*_a$	a^*_a	b^*_a	$C^*_{ab,a}$	$h^*_{ab,a}$
O _{Ma}	35.06	60.0	44.0	74.4	36
Y _{Ma}	83.77	-5.17	109.32	109.44	93
L _{Ma}	44.13	-62.67	48.24	79.09	142
C _{Ma}	52.66	-29.14	-31.99	43.27	228
V _{Ma}	14.15	50.3	-59.04	77.57	310
M _{Ma}	37.37	78.64	-33.5	85.48	337
N _{Ma}	8.58	0.0	0.0	0.0	0
W _{Ma}	92.02	0.0	0.0	0.0	0
R _{Ma}	39.92	58.74	27.99	65.07	25
J _{Ma}	81.26	-2.89	71.56	71.62	92
G _{Ma}	52.23	-42.42	13.6	44.55	162
B _{Ma}	30.57	1.41	-46.47	46.49	272

Daten für Maximalfarbe (Ma):

$LAB^*LAB^*_{Ma}$: 39 55 49

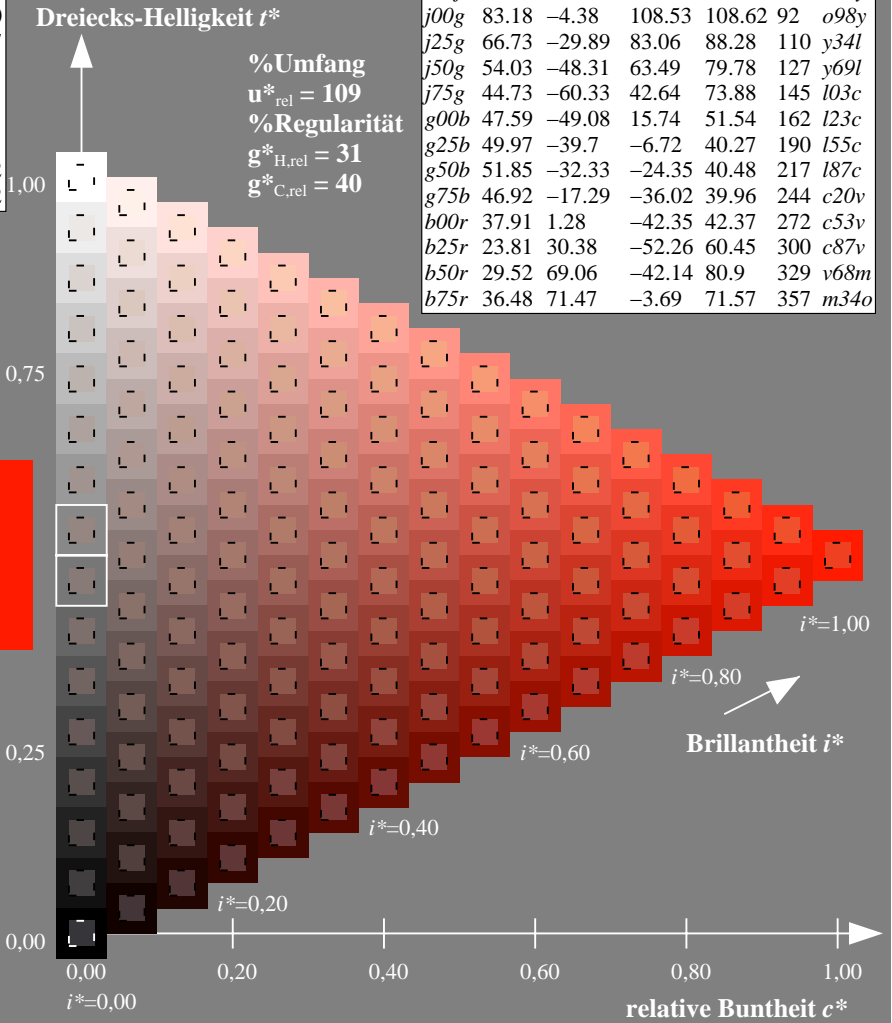
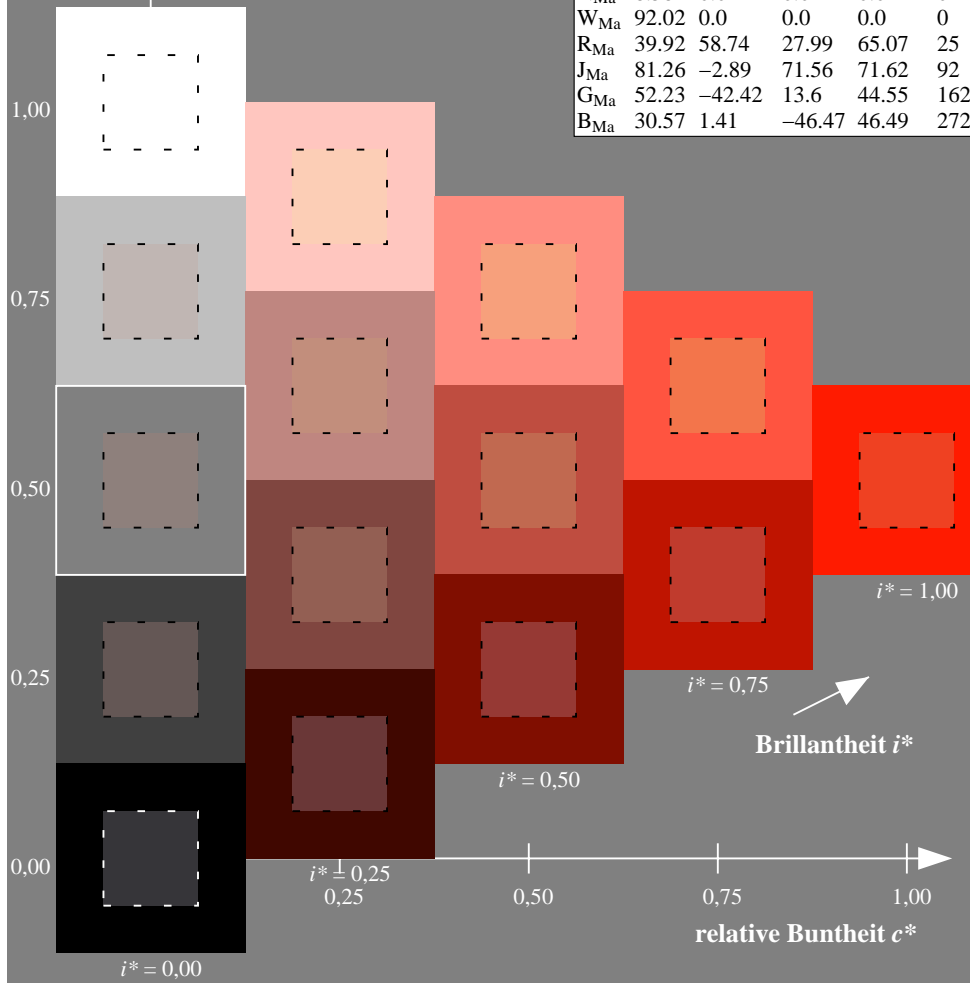
$LAB^*LCH^*_{Ma}$: 39 74 42

$lab^*rgb^*_{Ma}$: 1.0 0.25 0.0

$lab^*olv^*_{Ma}$: 1.0 0.11 0.0

FRS09_92a; adaptierte CIELAB-Daten

u^*_e	$L^*=L^*_a$	a^*_a	b^*_a	$C^*_{ab,a}$	$h^*_{ab,a}$	u^*_d
r00j	35.47	63.32	30.17	70.15	25	m81o
r25j	39.12	54.56	49.45	73.64	42	o10y
r50j	50.64	39.15	64.89	75.79	59	o40y
r75j	64.01	21.26	82.83	85.52	76	o69y
j00g	83.18	-4.38	108.53	108.62	92	o98y
j25g	66.73	-29.89	83.06	88.28	110	y34l
j50g	54.03	-48.31	63.49	79.78	127	y69l
j75g	44.73	-60.33	42.64	73.88	145	l03c
g00b	47.59	-49.08	15.74	51.54	162	l23c
g25b	49.97	-39.7	-6.72	40.27	190	l55c
g50b	51.85	-32.33	-24.35	40.48	217	l87c
g75b	46.92	-17.29	-36.02	39.96	244	c20v
b00r	37.91	1.28	-42.35	42.37	272	c53v
b25r	23.81	30.38	-52.26	60.45	300	c87v
b50r	29.52	69.06	-42.14	80.9	329	v68m
b75r	36.48	71.47	-3.69	71.57	357	m34o



Ein und Ausgabe: Farbmatisches Drucker-Reflektiv-System FRS09_92a für relativen CIELAB-Bunton $h^* = lab^*h^* = h_{ab}/360 = 0.164$

$u^*_e = r50j$

Daten für jede Farbe:

lab^*tch^* und lab^*icu^*

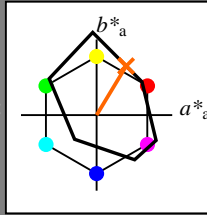
Buntontexte:

$u^*_e = r50j$ $u^*_d = o40y$

Kontrastreduzierungsfaktor:

$c_R = 1.0$

Dreiecks-Helligkeit t^*



FRS09_92a; adaptierte CIELAB-Daten						
u^*_e	$L^*=L^*_a$	a^*_a	b^*_a	$C^*_{ab,a}$	$h^*_{ab,a}$	
O _{Ma}	35.06	60.0	44.0	74.4	36	
Y _{Ma}	83.77	-5.17	109.32	109.44	93	
L _{Ma}	44.13	-62.67	48.24	79.09	142	
C _{Ma}	52.66	-29.14	-31.99	43.27	228	
V _{Ma}	14.15	50.3	-59.04	77.57	310	
M _{Ma}	37.37	78.64	-33.5	85.48	337	
N _{Ma}	8.58	0.0	0.0	0.0	0	
W _{Ma}	92.02	0.0	0.0	0.0	0	
R _{Ma}	39.92	58.74	27.99	65.07	25	
J _{Ma}	81.26	-2.89	71.56	71.62	92	
G _{Ma}	52.23	-42.42	13.6	44.55	162	
B _{Ma}	30.57	1.41	-46.47	46.49	272	

Daten für Maximalfarbe (Ma):

$LAB^*LAB^*_{Ma}: 51\ 39\ 65$

$LAB^*LCH^*_{Ma}: 51\ 76\ 58$

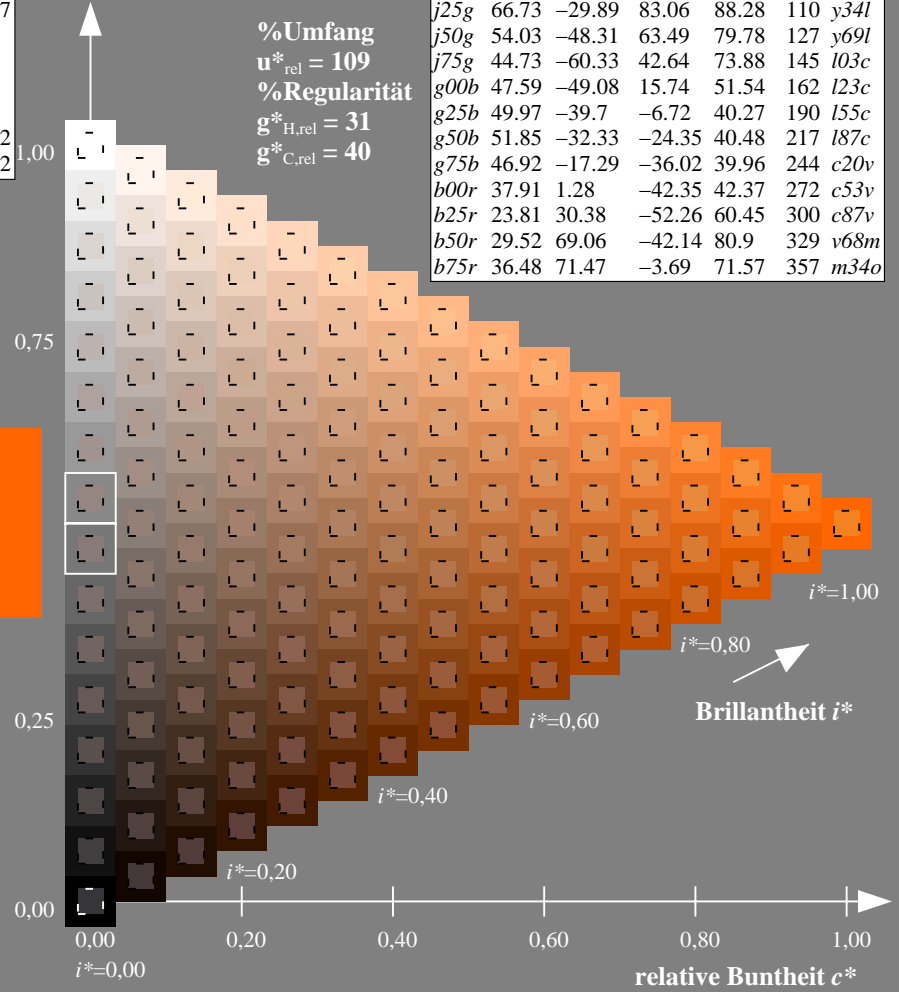
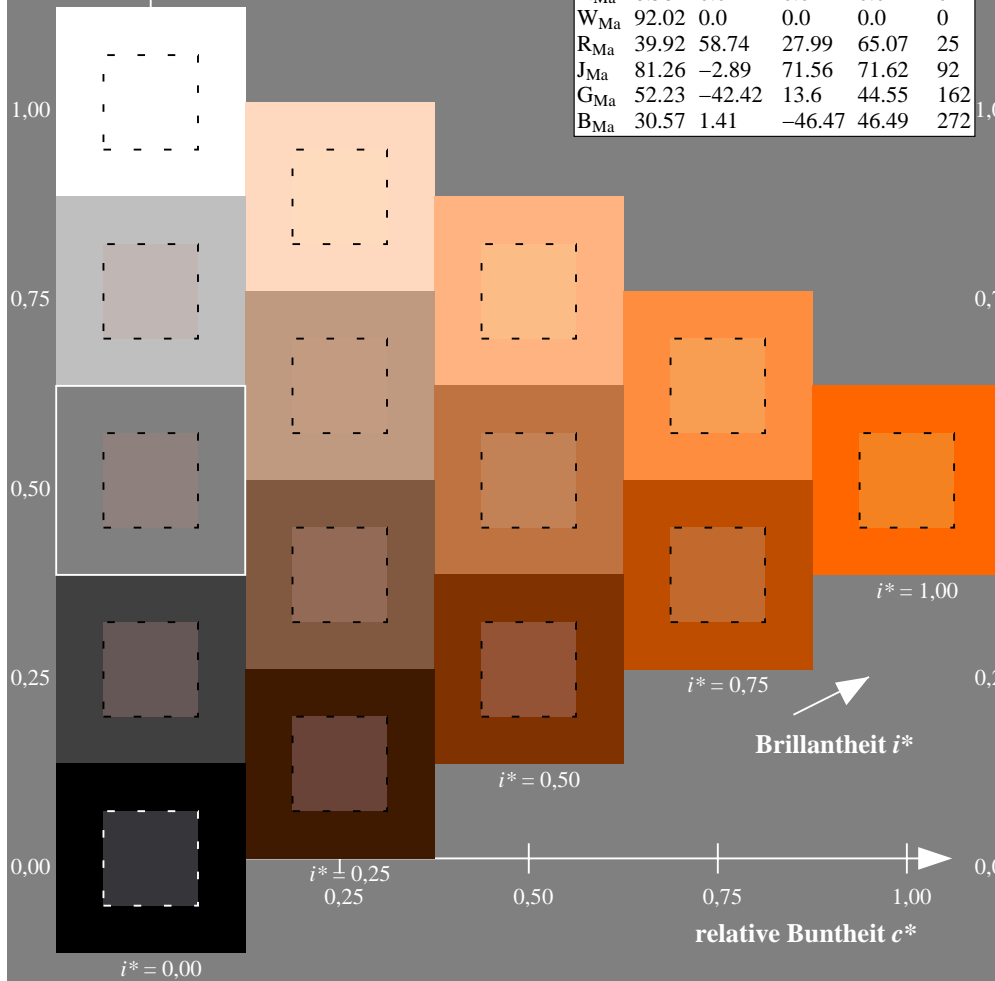
$lab^*rgb^*_{Ma}: 1.0\ 0.5\ 0.0$

$lab^*olv^*_{Ma}: 1.0\ 0.4\ 0.0$

Dreiecks-Helligkeit t^*

FRS09_92a; adaptierte CIELAB-Daten

u^*_e	$L^*=L^*_a$	a^*_a	b^*_a	$C^*_{ab,a}$	$h^*_{ab,a}$	u^*_d
r00j	35.47	63.32	30.17	70.15	25	m81o
r25j	39.12	54.56	49.45	73.64	42	o10y
r50j	50.64	39.15	64.89	75.79	59	o40y
r75j	64.01	21.26	82.83	85.52	76	o69y
j00g	83.18	-4.38	108.53	108.62	92	o98y
j25g	66.73	-29.89	83.06	88.28	110	y34l
j50g	54.03	-48.31	63.49	79.78	127	y69l
j75g	44.73	-60.33	42.64	73.88	145	l03c
g00b	47.59	-49.08	15.74	51.54	162	l23c
g25b	49.97	-39.7	-6.72	40.27	190	l55c
g50b	51.85	-32.33	-24.35	40.48	217	l87c
g75b	46.92	-17.29	-36.02	39.96	244	c20v
b00r	37.91	1.28	-42.35	42.37	272	c53v
b25r	23.81	30.38	-52.26	60.45	300	c87v
b50r	29.52	69.06	-42.14	80.9	329	v68m
b75r	36.48	71.47	-3.69	71.57	357	m34o



Ein und Ausgabe: Farbmatisches Drucker-Reflektiv-System FRS09_92a für relativen CIELAB-Bunton $h^* = lab^*h^* = h_{ab}^*/360 = 0.21$

$u^*_e = r75j$

Daten für jede Farbe:

lab^*tch^* und lab^*icu^*

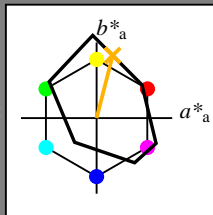
Buntontexte:

$u^*_e = r75j$ $u^*_d = o69y$

Kontrastreduzierungsfaktor:

$c_R = 1.0$

Dreiecks-Helligkeit t^*



FRS09_92a; adaptierte CIELAB-Daten

u^*_e	$L^*=L^*_a$	a^*_a	b^*_a	$C^*_{ab,a}$	$h^*_{ab,a}$
O _{Ma}	35.06	60.0	44.0	74.4	36
Y _{Ma}	83.77	-5.17	109.32	109.44	93
L _{Ma}	44.13	-62.67	48.24	79.09	142
C _{Ma}	52.66	-29.14	-31.99	43.27	228
V _{Ma}	14.15	50.3	-59.04	77.57	310
M _{Ma}	37.37	78.64	-33.5	85.48	337
N _{Ma}	8.58	0.0	0.0	0.0	0
W _{Ma}	92.02	0.0	0.0	0.0	0
R _{Ma}	39.92	58.74	27.99	65.07	25
J _{Ma}	81.26	-2.89	71.56	71.62	92
G _{Ma}	52.23	-42.42	13.6	44.55	162
B _{Ma}	30.57	1.41	-46.47	46.49	272

Daten für Maximalfarbe (Ma):

$LAB^*LAB^*_{Ma}$: 64 21 83

$LAB^*LCH^*_{Ma}$: 64 86 75

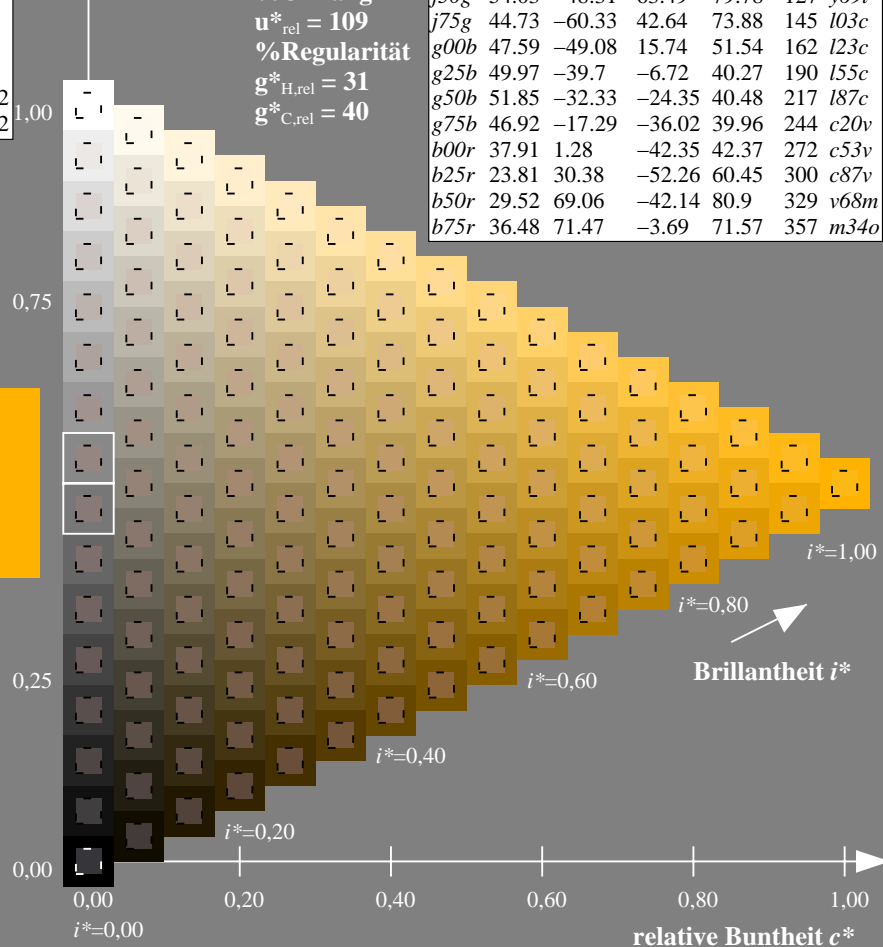
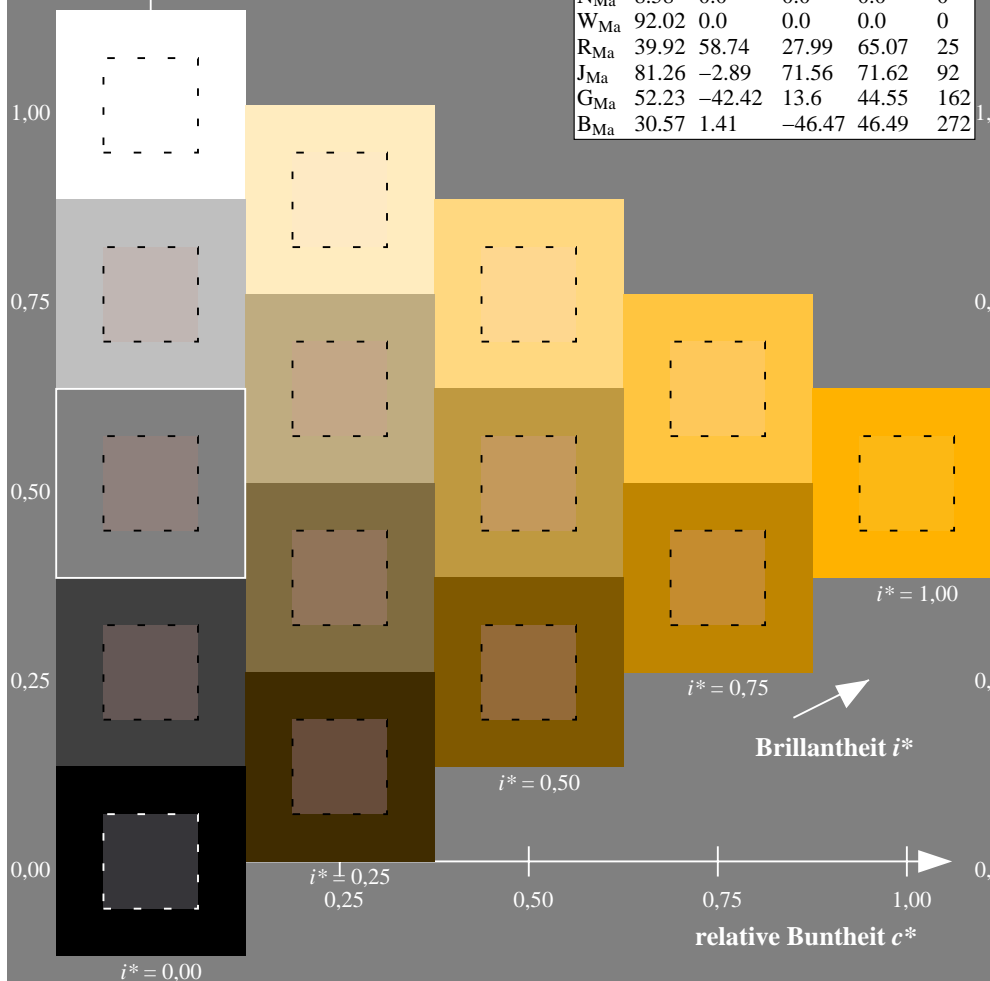
$lab^*rgb^*_{Ma}$: 1.0 0.75 0.0

$lab^*olv^*_{Ma}$: 1.0 0.7 0.0

Dreiecks-Helligkeit t^*

FRS09_92a; adaptierte CIELAB-Daten

u^*_e	$L^*=L^*_a$	a^*_a	b^*_a	$C^*_{ab,a}$	$h^*_{ab,a}$	u^*_d
r00j	35.47	63.32	30.17	70.15	25	m81o
r25j	39.12	54.56	49.45	73.64	42	o10y
r50j	50.64	39.15	64.89	75.79	59	o40y
r75j	64.01	21.26	82.83	85.52	76	o69y
j00g	83.18	-4.38	108.53	108.62	92	o98y
j25g	66.73	-29.89	83.06	88.28	110	y34l
j50g	54.03	-48.31	63.49	79.78	127	y69l
j75g	44.73	-60.33	42.64	73.88	145	l03c
g00b	47.59	-49.08	15.74	51.54	162	l23c
g25b	49.97	-39.7	-6.72	40.27	190	l55c
g50b	51.85	-32.33	-24.35	40.48	217	l87c
g75b	46.92	-17.29	-36.02	39.96	244	c20v
b00r	37.91	1.28	-42.35	42.37	272	c53v
b25r	23.81	30.38	-52.26	60.45	300	c87v
b50r	29.52	69.06	-42.14	80.9	329	v68m
b75r	36.48	71.47	-3.69	71.57	357	m34o



Ein und Ausgabe: Farbmatisches Drucker-Reflektiv-System FRS09_92a für relativen CIELAB-Bunton $h^* = lab^*h^* = h_{ab}/360 = 0.256$

$u^*_e = j00g$

Daten für jede Farbe:

lab^*tch^* und lab^*icu^*

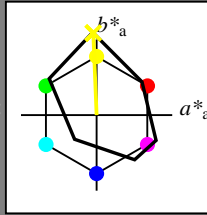
Buntontexte:

$u^*_e = j00g$ $u^*_d = o98y$

Kontrastreduzierungsfaktor:

$c_R = 1.0$

Dreiecks-Helligkeit t^*



FRS09_92a; adaptierte CIELAB-Daten						
u^*_e	$L^*=L^*_a$	a^*_a	b^*_a	$C^*_{ab,a}$	$h^*_{ab,a}$	
O _{Ma}	35.06	60.0	44.0	74.4	36	
Y _{Ma}	83.77	-5.17	109.32	109.44	93	
L _{Ma}	44.13	-62.67	48.24	79.09	142	
C _{Ma}	52.66	-29.14	-31.99	43.27	228	
V _{Ma}	14.15	50.3	-59.04	77.57	310	
M _{Ma}	37.37	78.64	-33.5	85.48	337	
N _{Ma}	8.58	0.0	0.0	0.0	0	
W _{Ma}	92.02	0.0	0.0	0.0	0	
R _{Ma}	39.92	58.74	27.99	65.07	25	
J _{Ma}	81.26	-2.89	71.56	71.62	92	
G _{Ma}	52.23	-42.42	13.6	44.55	162	
B _{Ma}	30.57	1.41	-46.47	46.49	272	

Daten für Maximalfarbe (Ma):

$LAB^*LAB^*_{Ma}$: 83 -4 109

$LAB^*LCH^*_{Ma}$: 83 109 92

$lab^*rgb^*_{Ma}$: 1.0 1.0 0.0

$lab^*olv^*_{Ma}$: 1.0 0.99 0.0

Dreiecks-Helligkeit t^*

%Umfang

$u^*_{rel} = 109$

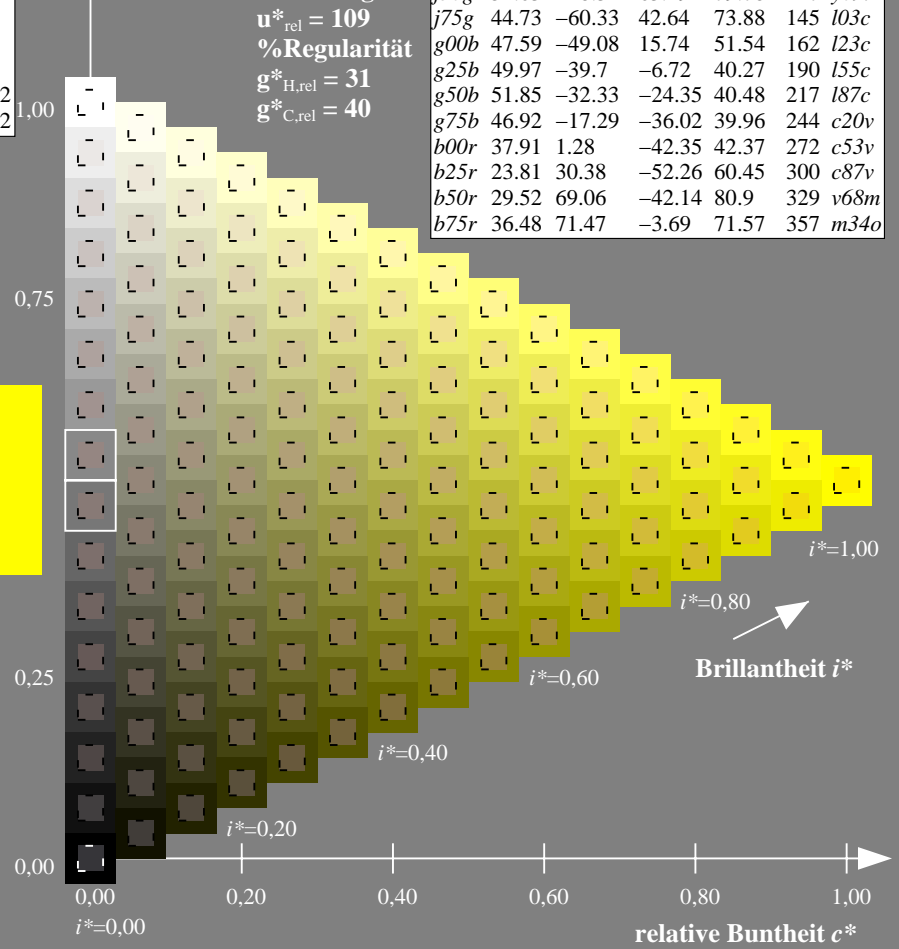
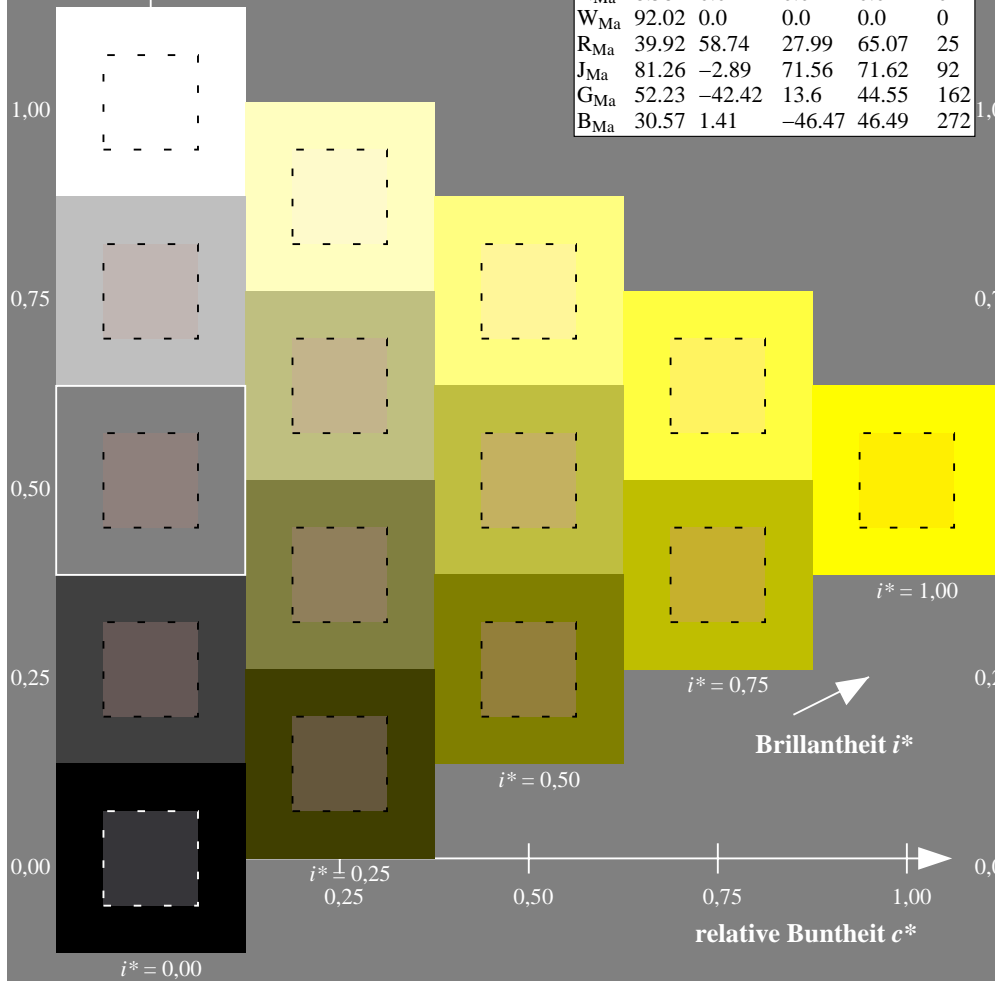
%Regularität

$g^*_{H,rel} = 31$

$g^*_{C,rel} = 40$

FRS09_92a; adaptierte CIELAB-Daten

u^*_e	$L^*=L^*_a$	a^*_a	b^*_a	$C^*_{ab,a}$	$h^*_{ab,a}$	u^*_d
r00j	35.47	63.32	30.17	70.15	25	m81o
r25j	39.12	54.56	49.45	73.64	42	o10y
r50j	50.64	39.15	64.89	75.79	59	o40y
r75j	64.01	21.26	82.83	85.52	76	o69y
j00g	83.18	-4.38	108.53	108.62	92	o98y
j25g	66.73	-29.89	83.06	88.28	110	y34l
j50g	54.03	-48.31	63.49	79.78	127	y69l
j75g	44.73	-60.33	42.64	73.88	145	l03c
g00b	47.59	-49.08	15.74	51.54	162	l23c
g25b	49.97	-39.7	-6.72	40.27	190	l55c
g50b	51.85	-32.33	-24.35	40.48	217	l87c
g75b	46.92	-17.29	-36.02	39.96	244	c20v
b00r	37.91	1.28	-42.35	42.37	272	c53v
b25r	23.81	30.38	-52.26	60.45	300	c87v
b50r	29.52	69.06	-42.14	80.9	329	v68m
b75r	36.48	71.47	-3.69	71.57	357	m34o



Ein und Ausgabe: Farbmatisches Drucker-Reflektiv-System FRS09_92a für relativen CIELAB-Bunton $h^* = lab^*h^* = h_{ab}/360 = 0.305$

$u^*_e = j25g$

Daten für jede Farbe:

lab^*tch^* und lab^*icu^*

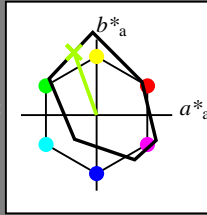
Buntontexte:

$u^*_e = j25g$ $u^*_d = y34l$

Kontrastreduzierungsfaktor:

$c_R = 1.0$

Dreiecks-Helligkeit t^*



FRS09_92a; adaptierte CIELAB-Daten						
u^*_e	$L^*=L^*_a$	a^*_a	b^*_a	$C^*_{ab,a}$	$h^*_{ab,a}$	
O _{Ma}	35.06	60.0	44.0	74.4	36	
Y _{Ma}	83.77	-5.17	109.32	109.44	93	
L _{Ma}	44.13	-62.67	48.24	79.09	142	
C _{Ma}	52.66	-29.14	-31.99	43.27	228	
V _{Ma}	14.15	50.3	-59.04	77.57	310	
M _{Ma}	37.37	78.64	-33.5	85.48	337	
N _{Ma}	8.58	0.0	0.0	0.0	0	
W _{Ma}	92.02	0.0	0.0	0.0	0	
R _{Ma}	39.92	58.74	27.99	65.07	25	
J _{Ma}	81.26	-2.89	71.56	71.62	92	
G _{Ma}	52.23	-42.42	13.6	44.55	162	
B _{Ma}	30.57	1.41	-46.47	46.49	272	

Daten für Maximalfarbe (Ma):

$LAB^*LAB^*_{Ma}: 67 -30 83$

$LAB^*LCH^*_{Ma}: 67 88 109$

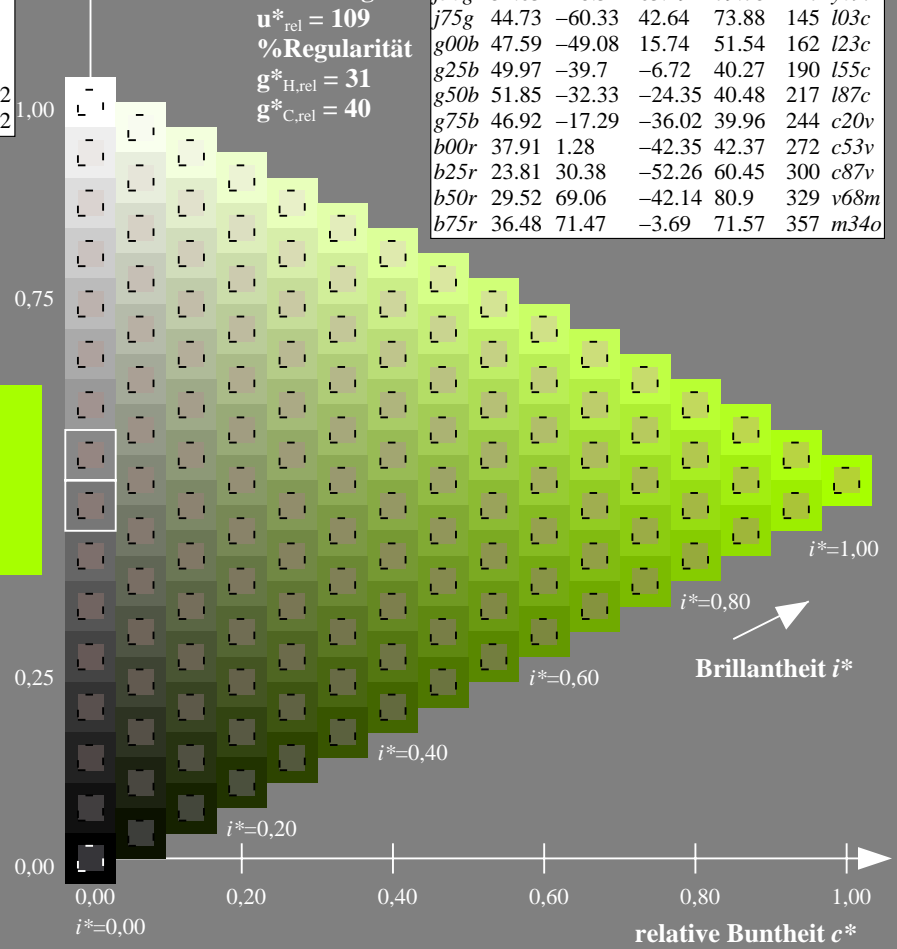
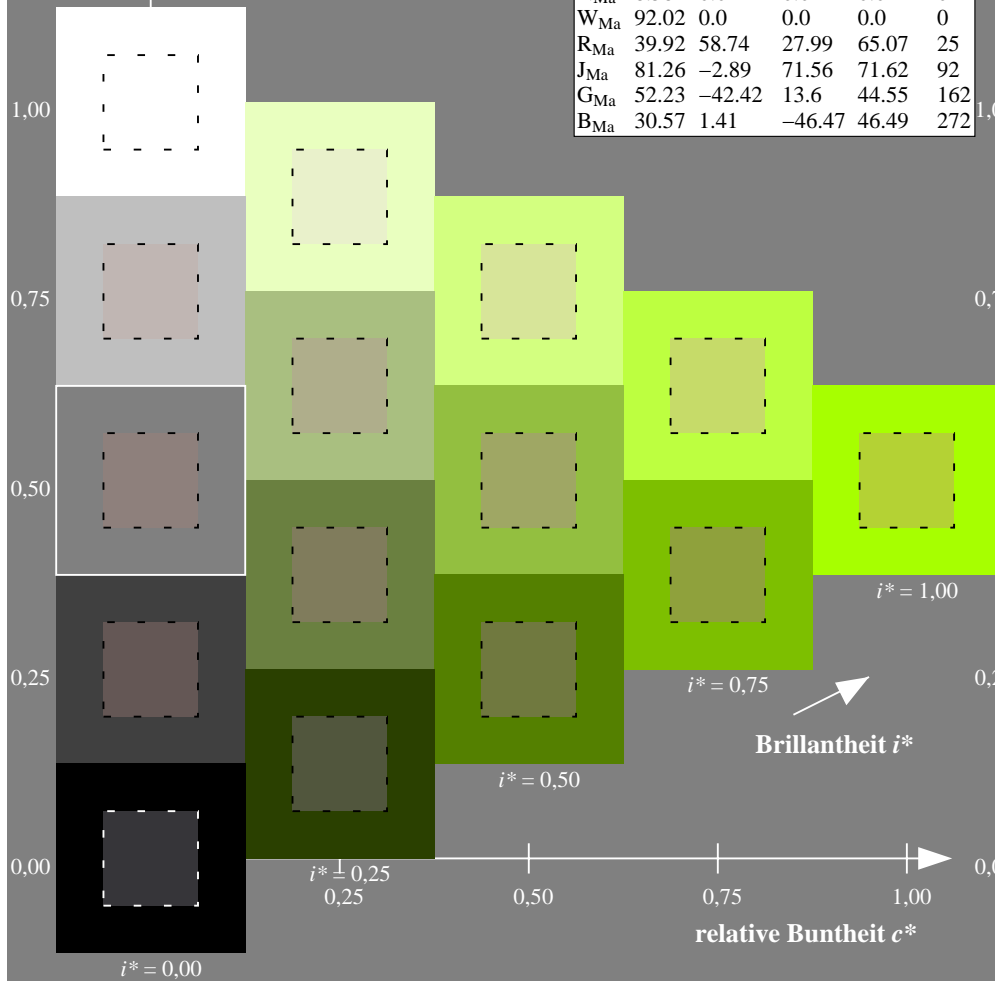
$lab^*rgb^*_{Ma}: 0.75 1.0 0.0$

$lab^*olv^*_{Ma}: 0.66 1.0 0.0$

Dreiecks-Helligkeit t^*

FRS09_92a; adaptierte CIELAB-Daten

u^*_e	$L^*=L^*_a$	a^*_a	b^*_a	$C^*_{ab,a}$	$h^*_{ab,a}$	u^*_d
r00j	35.47	63.32	30.17	70.15	25	m81o
r25j	39.12	54.56	49.45	73.64	42	o10y
r50j	50.64	39.15	64.89	75.79	59	o40y
r75j	64.01	21.26	82.83	85.52	76	o69y
j00g	83.18	-4.38	108.53	108.62	92	o98y
j25g	66.73	-29.89	83.06	88.28	110	y34l
j50g	54.03	-48.31	63.49	79.78	127	y69l
j75g	44.73	-60.33	42.64	73.88	145	l03c
g00b	47.59	-49.08	15.74	51.54	162	l23c
g25b	49.97	-39.7	-6.72	40.27	190	l55c
g50b	51.85	-32.33	-24.35	40.48	217	l87c
g75b	46.92	-17.29	-36.02	39.96	244	c20v
b00r	37.91	1.28	-42.35	42.37	272	c53v
b25r	23.81	30.38	-52.26	60.45	300	c87v
b50r	29.52	69.06	-42.14	80.9	329	v68m
b75r	36.48	71.47	-3.69	71.57	357	m34o



Ein und Ausgabe: Farbmatisches Drucker-Reflektiv-System FRS09_92a für relativen CIELAB-Bunton $h^* = lab^*h^* = h_{ab}/360 = 0.354$

$u^*_e = j50g$

Daten für jede Farbe:

lab^*tch^* und lab^*icu^*

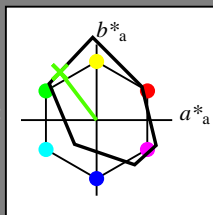
Buntontexte:

$u^*_e = j50g$ $u^*_d = y69l$

Kontrastreduzierungsfaktor:

$c_R = 1.0$

Dreiecks-Helligkeit t^*



FRS09_92a; adaptierte CIELAB-Daten						
u^*_e	$L^*=L^*_a$	a^*_a	b^*_a	$C^*_{ab,a}$	$h^*_{ab,a}$	
O _{Ma}	35.06	60.0	44.0	74.4	36	
Y _{Ma}	83.77	-5.17	109.32	109.44	93	
L _{Ma}	44.13	-62.67	48.24	79.09	142	
C _{Ma}	52.66	-29.14	-31.99	43.27	228	
V _{Ma}	14.15	50.3	-59.04	77.57	310	
M _{Ma}	37.37	78.64	-33.5	85.48	337	
N _{Ma}	8.58	0.0	0.0	0.0	0	
W _{Ma}	92.02	0.0	0.0	0.0	0	
R _{Ma}	39.92	58.74	27.99	65.07	25	
J _{Ma}	81.26	-2.89	71.56	71.62	92	
G _{Ma}	52.23	-42.42	13.6	44.55	162	
B _{Ma}	30.57	1.41	-46.47	46.49	272	

Daten für Maximalfarbe (Ma):

$LAB^*LAB^*_{Ma}$: 54 -48 63

$LAB^*LCH^*_{Ma}$: 54 80 127

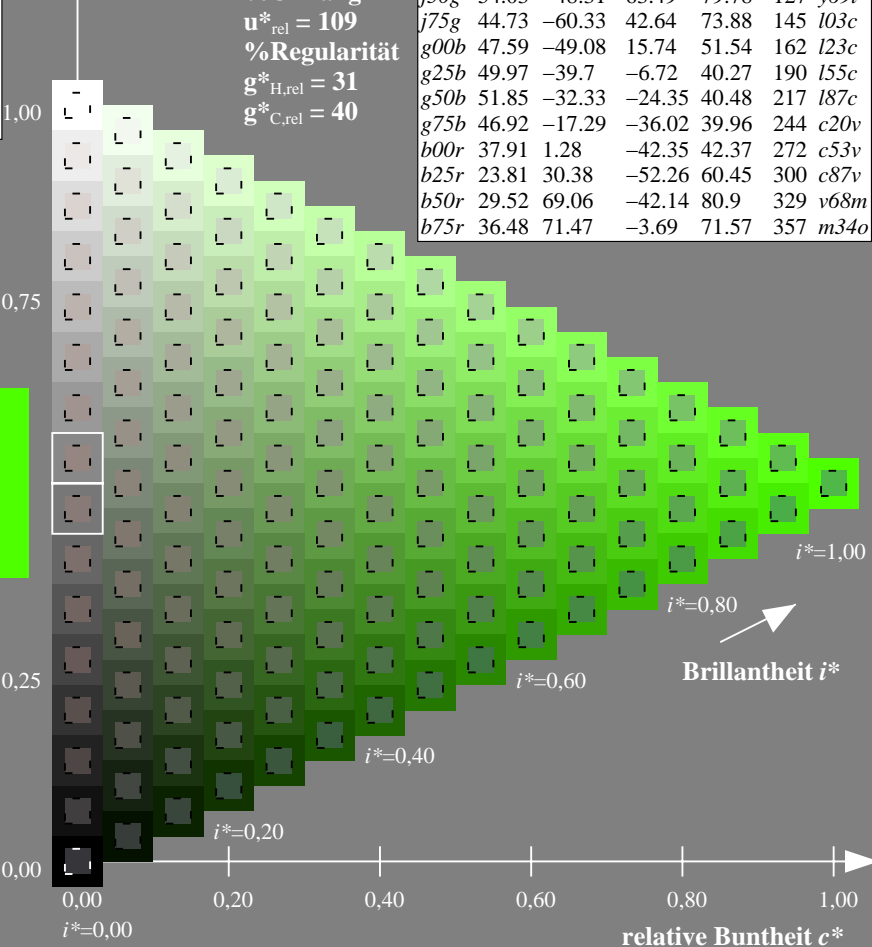
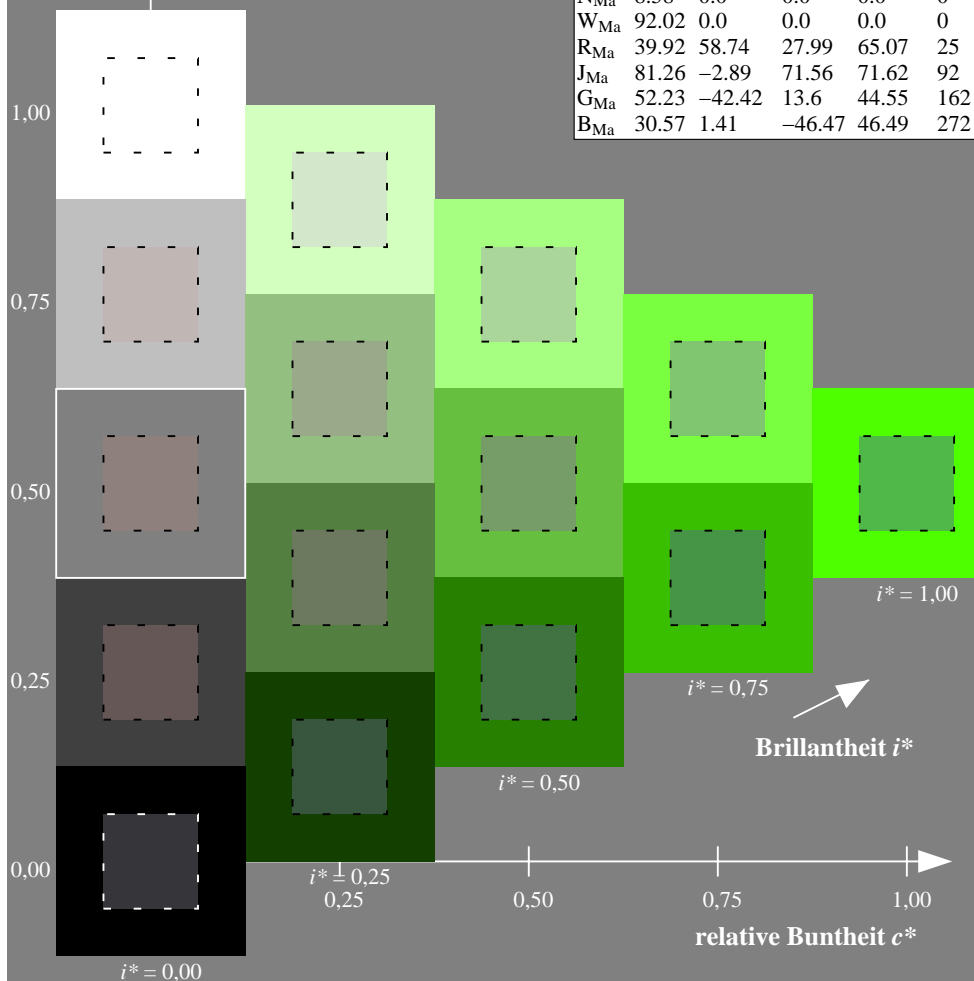
$lab^*rgb^*_{Ma}$: 0.5 1.0 0.0

$lab^*olv^*_{Ma}$: 0.3 1.0 0.0

Dreiecks-Helligkeit t^*

FRS09_92a; adaptierte CIELAB-Daten

u^*_e	$L^*=L^*_a$	a^*_a	b^*_a	$C^*_{ab,a}$	$h^*_{ab,a}$	u^*_d
r00j	35.47	63.32	30.17	70.15	25	m81o
r25j	39.12	54.56	49.45	73.64	42	o10y
r50j	50.64	39.15	64.89	75.79	59	o40y
r75j	64.01	21.26	82.83	85.52	76	o69y
j00g	83.18	-4.38	108.53	108.62	92	o98y
j25g	66.73	-29.89	83.06	88.28	110	y34l
j50g	54.03	-48.31	63.49	79.78	127	y69l
j75g	44.73	-60.33	42.64	73.88	145	l03c
g00b	47.59	-49.08	15.74	51.54	162	l23c
g25b	49.97	-39.7	-6.72	40.27	190	l55c
g50b	51.85	-32.33	-24.35	40.48	217	l87c
g75b	46.92	-17.29	-36.02	39.96	244	c20v
b00r	37.91	1.28	-42.35	42.37	272	c53v
b25r	23.81	30.38	-52.26	60.45	300	c87v
b50r	29.52	69.06	-42.14	80.9	329	v68m
b75r	36.48	71.47	-3.69	71.57	357	m34o



Ein und Ausgabe: Farbmatisches Drucker-Reflektiv-System FRS09_92a für relativen CIELAB-Bunton $h^* = lab^*h^* = h_{ab}/360 = 0.402$

$u^*_e = j75g$

Daten für jede Farbe:

lab^*tch^* und lab^*icu^*

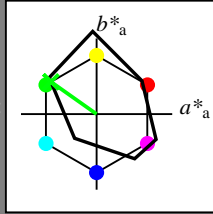
Buntontexte:

$u^*_e = j75g$ $u^*_d = l03c$

Kontrastreduzierungsfaktor:

$c_R = 1.0$

Dreiecks-Helligkeit t^*



FRS09_92a; adaptierte CIELAB-Daten						
u^*_e	$L^*=L^*_a$	a^*_a	b^*_a	$C^*_{ab,a}$	$h^*_{ab,a}$	
O _{Ma}	35.06	60.0	44.0	74.4	36	
Y _{Ma}	83.77	-5.17	109.32	109.44	93	
L _{Ma}	44.13	-62.67	48.24	79.09	142	
C _{Ma}	52.66	-29.14	-31.99	43.27	228	
V _{Ma}	14.15	50.3	-59.04	77.57	310	
M _{Ma}	37.37	78.64	-33.5	85.48	337	
N _{Ma}	8.58	0.0	0.0	0.0	0	
W _{Ma}	92.02	0.0	0.0	0.0	0	
R _{Ma}	39.92	58.74	27.99	65.07	25	
J _{Ma}	81.26	-2.89	71.56	71.62	92	
G _{Ma}	52.23	-42.42	13.6	44.55	162	
B _{Ma}	30.57	1.41	-46.47	46.49	272	

Daten für Maximalfarbe (Ma):

$LAB^*LAB^*_{Ma}$: 45 -60 43

$LAB^*LCH^*_{Ma}$: 45 74 144

$lab^*rgb^*_{Ma}$: 0.25 1.0 0.0

$lab^*olv^*_{Ma}$: 0.0 1.0 0.03

Dreiecks-Helligkeit t^*

%Umfang

$u^*_{rel} = 109$

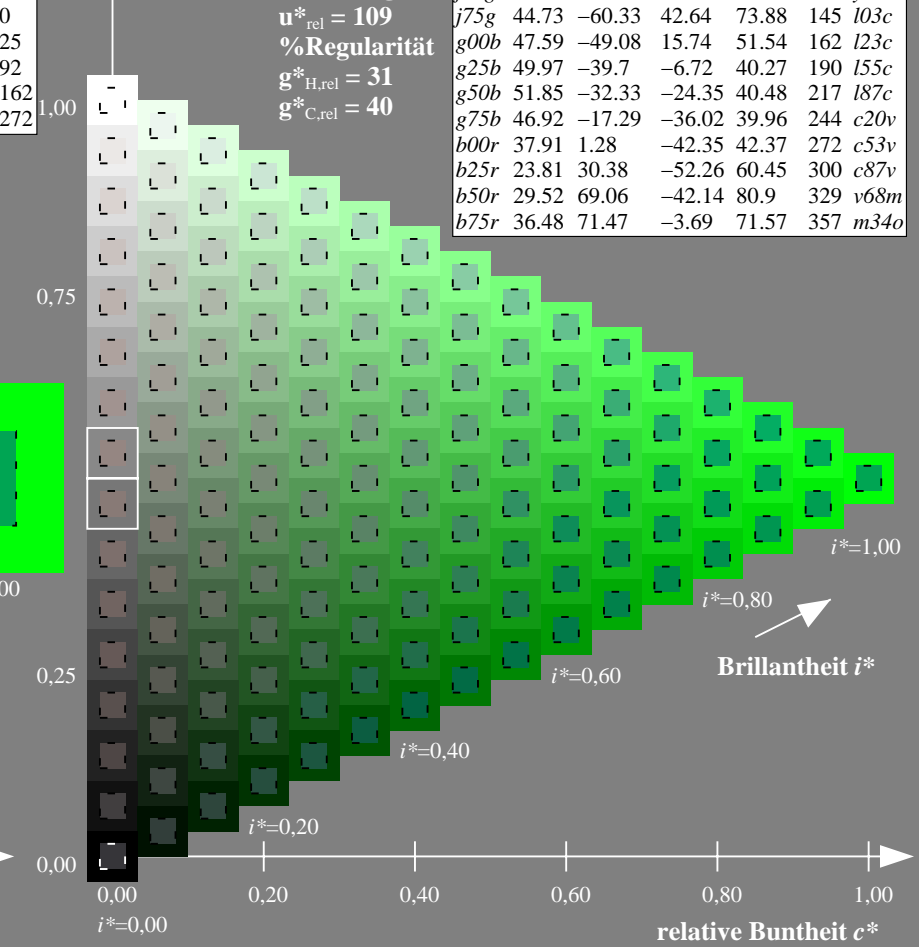
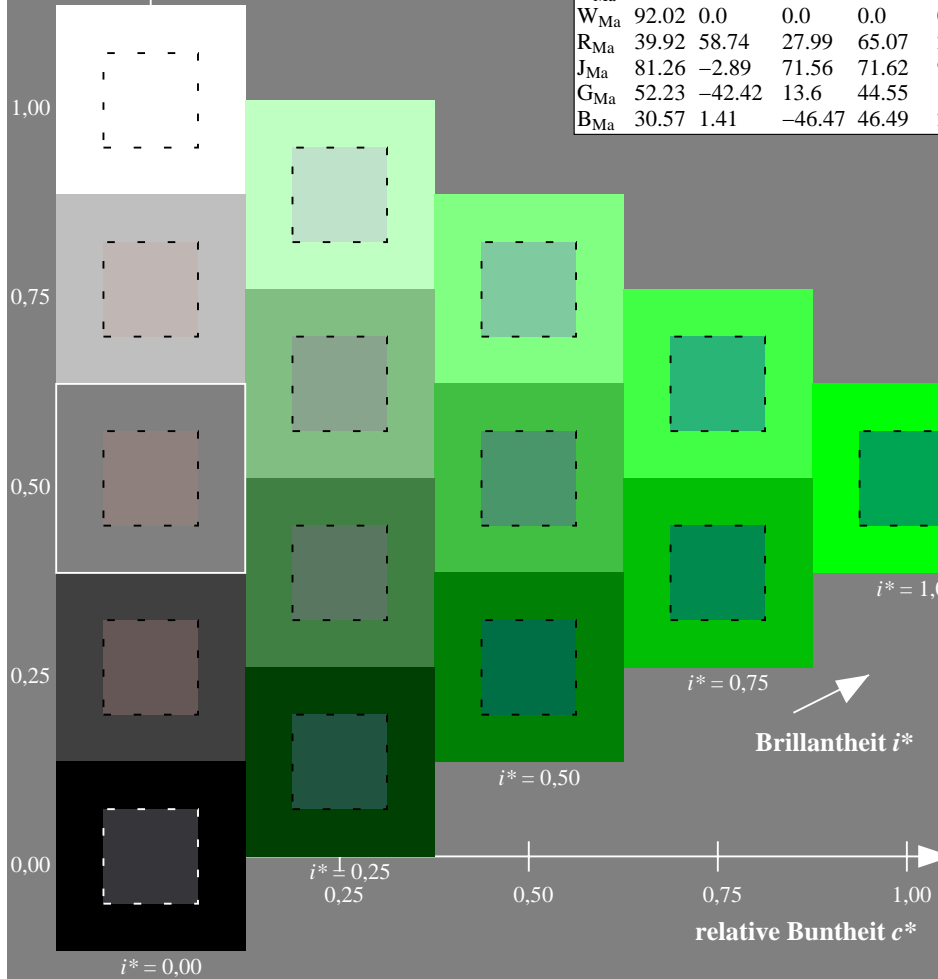
%Regularität

$g^*_{H,rel} = 31$

$g^*_{C,rel} = 40$

FRS09_92a; adaptierte CIELAB-Daten

u^*_e	$L^*=L^*_a$	a^*_a	b^*_a	$C^*_{ab,a}$	$h^*_{ab,a}$	u^*_d
r00j	35.47	63.32	30.17	70.15	25	m81o
r25j	39.12	54.56	49.45	73.64	42	o10y
r50j	50.64	39.15	64.89	75.79	59	o40y
r75j	64.01	21.26	82.83	85.52	76	o69y
j00g	83.18	-4.38	108.53	108.62	92	o98y
j25g	66.73	-29.89	83.06	88.28	110	y34l
j50g	54.03	-48.31	63.49	79.78	127	y69l
j75g	44.73	-60.33	42.64	73.88	145	l03c
g00b	47.59	-49.08	15.74	51.54	162	l23c
g25b	49.97	-39.7	-6.72	40.27	190	l55c
g50b	51.85	-32.33	-24.35	40.48	217	l87c
g75b	46.92	-17.29	-36.02	39.96	244	c20v
b00r	37.91	1.28	-42.35	42.37	272	c53v
b25r	23.81	30.38	-52.26	60.45	300	c87v
b50r	29.52	69.06	-42.14	80.9	329	v68m
b75r	36.48	71.47	-3.69	71.57	357	m34o



Ein und Ausgabe: Farbmatisches Drucker-Reflektiv-System FRS09_92a für relativen CIELAB-Bunton $h^* = lab^*h^* = h_{ab}/360 = 0.451$

$u^*_e = g00b$

Daten für jede Farbe:

lab^*tch^* und lab^*icu^*

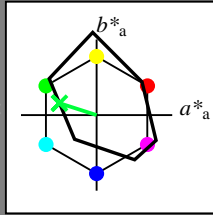
Buntontexte:

$u^*_e = g00b$ $u^*_d = l23c$

Kontrastreduzierungsfaktor:

$c_R = 1.0$

Dreiecks-Helligkeit t^*



FRS09_92a; adaptierte CIELAB-Daten

u^*_e	$L^*=L^*_a$	a^*_a	b^*_a	$C^*_{ab,a}$	$h^*_{ab,a}$
O _{Ma}	35.06	60.0	44.0	74.4	36
Y _{Ma}	83.77	-5.17	109.32	109.44	93
L _{Ma}	44.13	-62.67	48.24	79.09	142
C _{Ma}	52.66	-29.14	-31.99	43.27	228
V _{Ma}	14.15	50.3	-59.04	77.57	310
M _{Ma}	37.37	78.64	-33.5	85.48	337
N _{Ma}	8.58	0.0	0.0	0.0	0
W _{Ma}	92.02	0.0	0.0	0.0	0
R _{Ma}	39.92	58.74	27.99	65.07	25
J _{Ma}	81.26	-2.89	71.56	71.62	92
G _{Ma}	52.23	-42.42	13.6	44.55	162
B _{Ma}	30.57	1.41	-46.47	46.49	272

Daten für Maximalfarbe (Ma):

$LAB^*LAB^*_{Ma}$: 48 -49 16

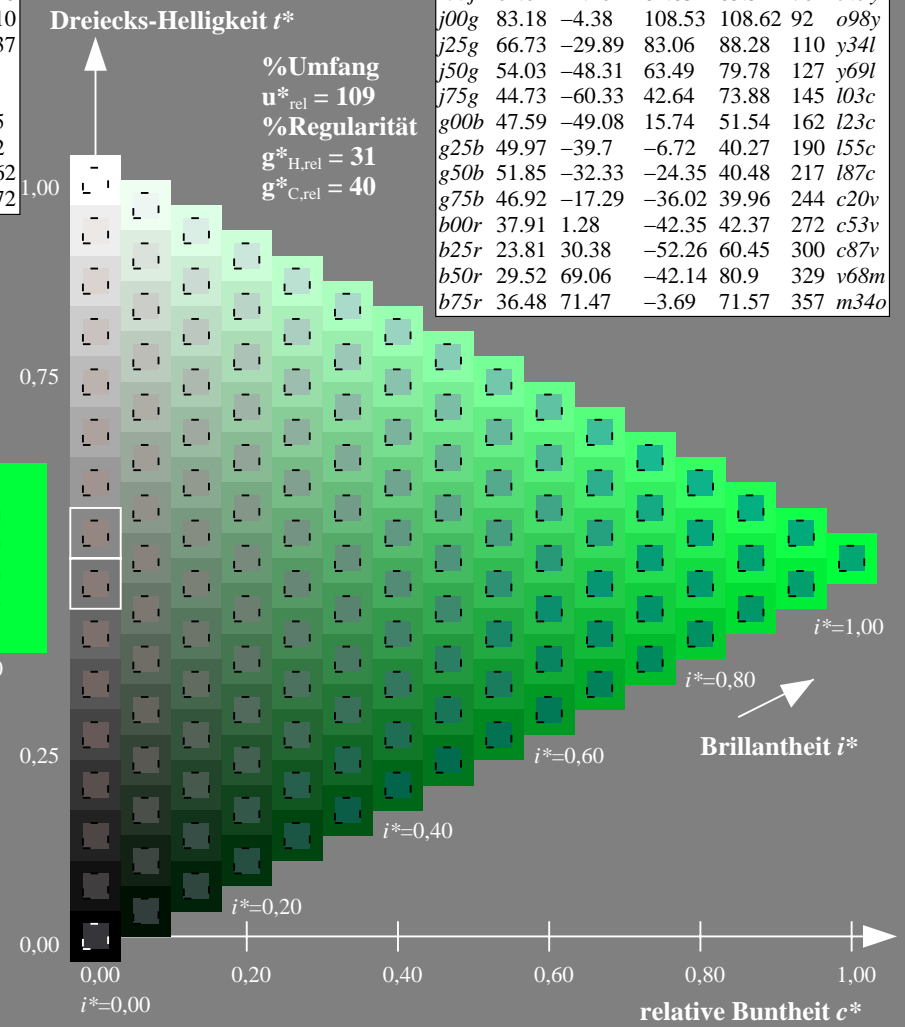
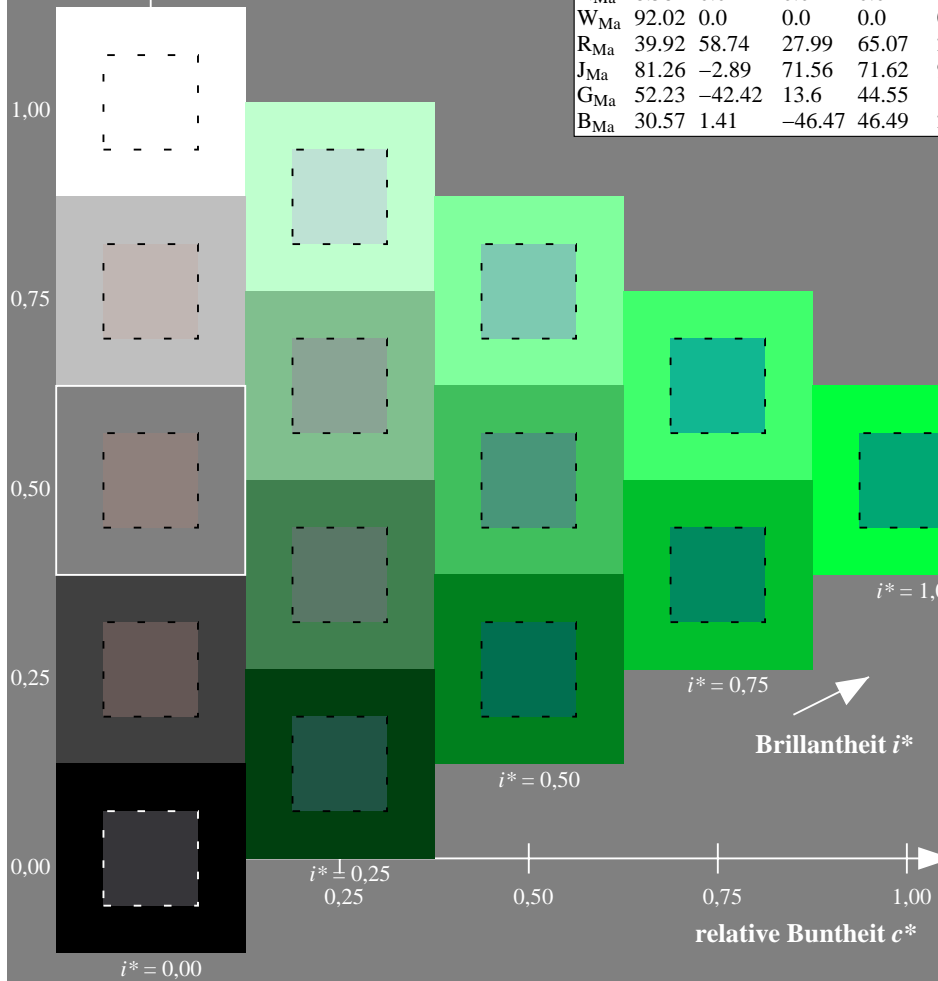
$LAB^*LCH^*_{Ma}$: 48 52 162

$lab^*rgb^*_{Ma}$: 0.0 1.0 0.0

$lab^*olv^*_{Ma}$: 0.0 1.0 0.23

FRS09_92a; adaptierte CIELAB-Daten

u^*_e	$L^*=L^*_a$	a^*_a	b^*_a	$C^*_{ab,a}$	$h^*_{ab,a}$	u^*_d
r00j	35.47	63.32	30.17	70.15	25	m81o
r25j	39.12	54.56	49.45	73.64	42	o10y
r50j	50.64	39.15	64.89	75.79	59	o40y
r75j	64.01	21.26	82.83	85.52	76	o69y
j00g	83.18	-4.38	108.53	108.62	92	o98y
j25g	66.73	-29.89	83.06	88.28	110	y34l
j50g	54.03	-48.31	63.49	79.78	127	y69l
j75g	44.73	-60.33	42.64	73.88	145	l03c
g00b	47.59	-49.08	15.74	51.54	162	l23c
g25b	49.97	-39.7	-6.72	40.27	190	l55c
g50b	51.85	-32.33	-24.35	40.48	217	l87c
g75b	46.92	-17.29	-36.02	39.96	244	c20v
b00r	37.91	1.28	-42.35	42.37	272	c53v
b25r	23.81	30.38	-52.26	60.45	300	c87v
b50r	29.52	69.06	-42.14	80.9	329	v68m
b75r	36.48	71.47	-3.69	71.57	357	m34o



Ein und Ausgabe: Farbmatisches Drucker-Reflektiv-System FRS09_92a für relativen CIELAB-Bunton $h^* = lab^*h^* = h_{ab}/360 = 0.527$

$u^*_e = g25b$

Daten für jede Farbe:

lab^*tch^* und lab^*icu^*

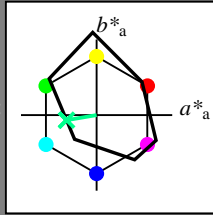
Buntontexte:

$u^*_e = g25b$ $u^*_d = l55c$

Kontrastreduzierungsfaktor:

$c_R = 1.0$

Dreiecks-Helligkeit t^*



FRS09_92a; adaptierte CIELAB-Daten

u^*_e	$L^*=L^*_a$	a^*_a	b^*_a	$C^*_{ab,a}$	$h^*_{ab,a}$
O _{Ma}	35.06	60.0	44.0	74.4	36
Y _{Ma}	83.77	-5.17	109.32	109.44	93
L _{Ma}	44.13	-62.67	48.24	79.09	142
C _{Ma}	52.66	-29.14	-31.99	43.27	228
V _{Ma}	14.15	50.3	-59.04	77.57	310
M _{Ma}	37.37	78.64	-33.5	85.48	337
N _{Ma}	8.58	0.0	0.0	0.0	0
W _{Ma}	92.02	0.0	0.0	0.0	0
R _{Ma}	39.92	58.74	27.99	65.07	25
J _{Ma}	81.26	-2.89	71.56	71.62	92
G _{Ma}	52.23	-42.42	13.6	44.55	162
B _{Ma}	30.57	1.41	-46.47	46.49	272

Daten für Maximalfarbe (Ma):

$LAB^*LAB^*_{Ma}: 50 -40 -7$

$LAB^*LCH^*_{Ma}: 50 40 189$

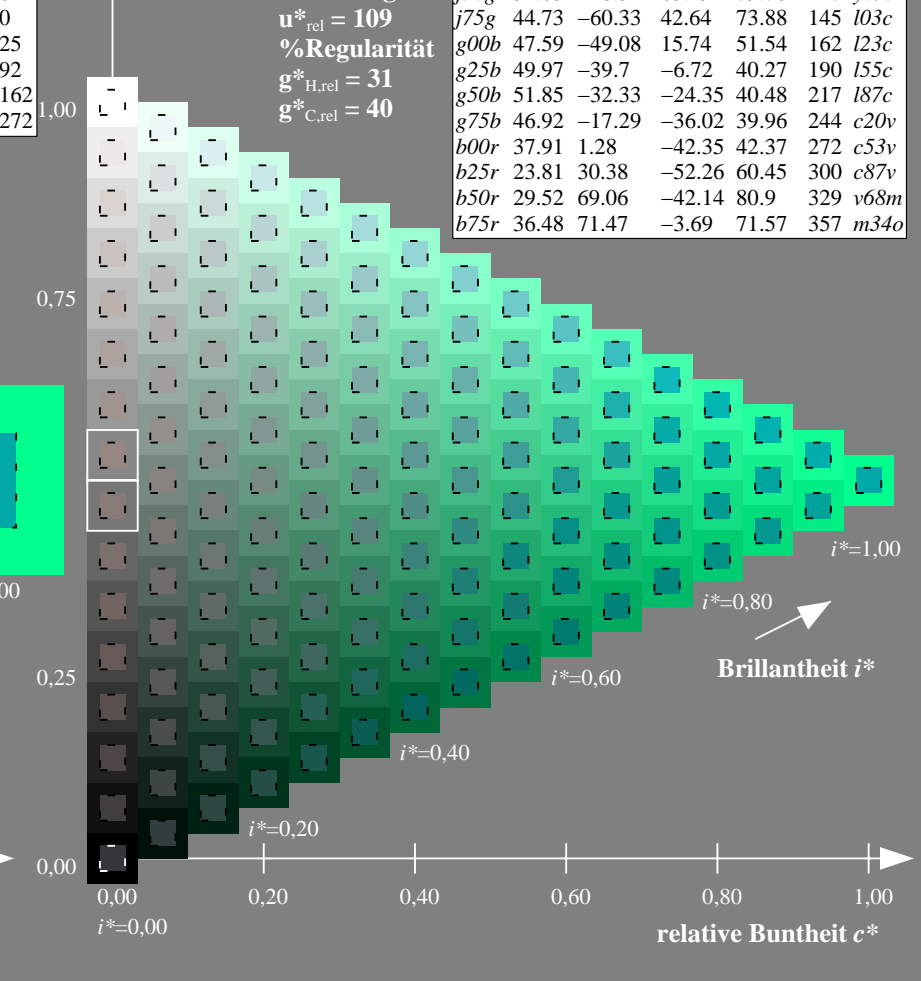
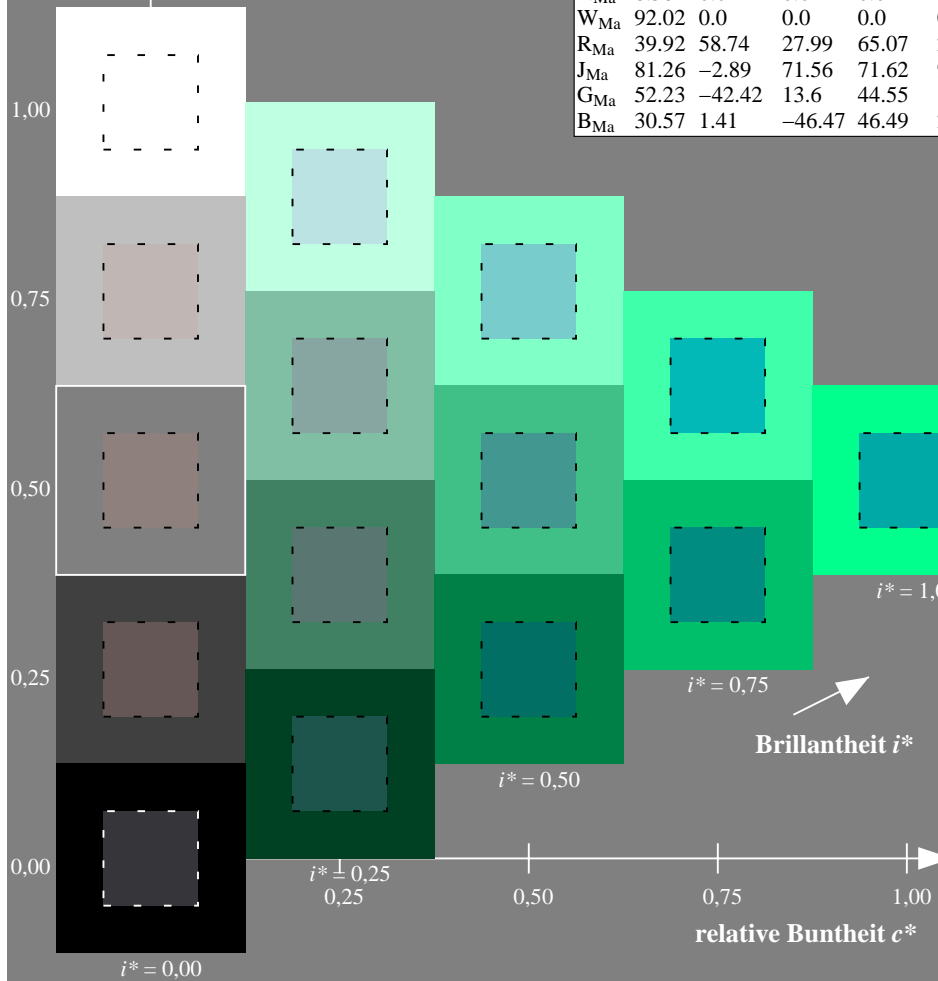
$lab^*rgb^*_{Ma}: 0.0 1.0 0.5$

$lab^*olv^*_{Ma}: 0.0 1.0 0.55$

Dreiecks-Helligkeit t^*

FRS09_92a; adaptierte CIELAB-Daten

u^*_e	$L^*=L^*_a$	a^*_a	b^*_a	$C^*_{ab,a}$	$h^*_{ab,a}$	u^*_d
r00j	35.47	63.32	30.17	70.15	25	m81o
r25j	39.12	54.56	49.45	73.64	42	o10y
r50j	50.64	39.15	64.89	75.79	59	o40y
r75j	64.01	21.26	82.83	85.52	76	o69y
j00g	83.18	-4.38	108.53	108.62	92	o98y
j25g	66.73	-29.89	83.06	88.28	110	y34l
j50g	54.03	-48.31	63.49	79.78	127	y69l
j75g	44.73	-60.33	42.64	73.88	145	l03c
g00b	47.59	-49.08	15.74	51.54	162	l23c
g25b	49.97	-39.7	-6.72	40.27	190	l55c
g50b	51.85	-32.33	-24.35	40.48	217	l87c
g75b	46.92	-17.29	-36.02	39.96	244	c20v
b00r	37.91	1.28	-42.35	42.37	272	c53v
b25r	23.81	30.38	-52.26	60.45	300	c87v
b50r	29.52	69.06	-42.14	80.9	329	v68m
b75r	36.48	71.47	-3.69	71.57	357	m34o



Ein und Ausgabe: Farbmatisches Drucker-Reflexiv-System FRS09_92a für relativen CIELAB-Bunton $h^* = lab^*h^* = h_{ab}/360 = 0.603$

$u^*_e = g50b$

Daten für jede Farbe:

lab^*tch^* und lab^*icu^*

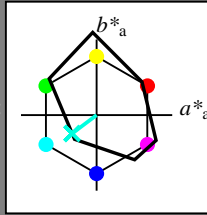
Buntontexte:

$u^*_e = g50b$ $u^*_d = l87c$

Kontrastreduzierungsfaktor:

$c_R = 1.0$

Dreiecks-Helligkeit t^*



FRS09_92a; adaptierte CIELAB-Daten

u^*_e	$L^*=L^*_a$	a^*_a	b^*_a	$C^*_{ab,a}$	$h^*_{ab,a}$
O _{Ma}	35.06	60.0	44.0	74.4	36
Y _{Ma}	83.77	-5.17	109.32	109.44	93
L _{Ma}	44.13	-62.67	48.24	79.09	142
C _{Ma}	52.66	-29.14	-31.99	43.27	228
V _{Ma}	14.15	50.3	-59.04	77.57	310
M _{Ma}	37.37	78.64	-33.5	85.48	337
N _{Ma}	8.58	0.0	0.0	0.0	0
W _{Ma}	92.02	0.0	0.0	0.0	0
R _{Ma}	39.92	58.74	27.99	65.07	25
J _{Ma}	81.26	-2.89	71.56	71.62	92
G _{Ma}	52.23	-42.42	13.6	44.55	162
B _{Ma}	30.57	1.41	-46.47	46.49	272

Daten für Maximalfarbe (Ma):

$LAB^*LAB^*_{Ma}: 52 -32 -24$

$LAB^*LCH^*_{Ma}: 52 40 216$

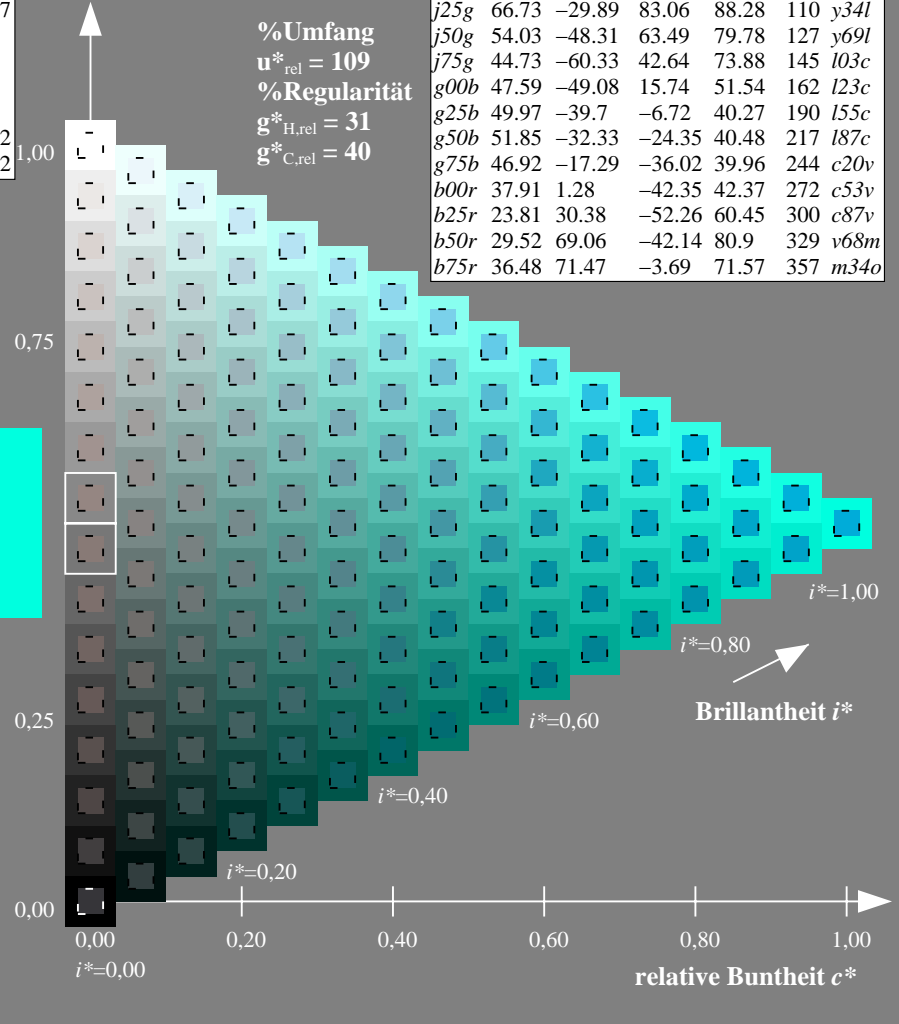
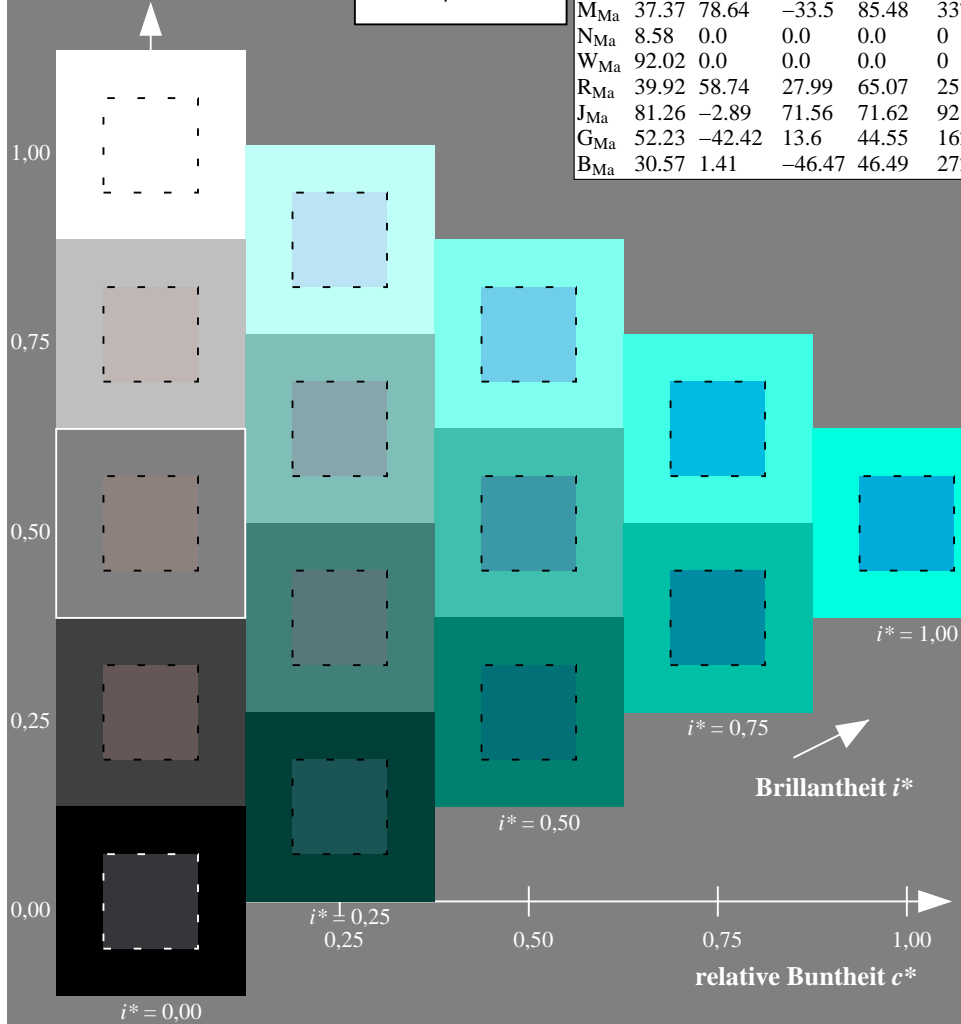
$lab^*rgb^*_{Ma}: 0.0 1.0 1.0$

$lab^*olv^*_{Ma}: 0.0 1.0 0.87$

Dreiecks-Helligkeit t^*

FRS09_92a; adaptierte CIELAB-Daten

u^*_e	$L^*=L^*_a$	a^*_a	b^*_a	$C^*_{ab,a}$	$h^*_{ab,a}$	u^*_d
r00j	35.47	63.32	30.17	70.15	25	m81o
r25j	39.12	54.56	49.45	73.64	42	o10y
r50j	50.64	39.15	64.89	75.79	59	o40y
r75j	64.01	21.26	82.83	85.52	76	o69y
j00g	83.18	-4.38	108.53	108.62	92	o98y
j25g	66.73	-29.89	83.06	88.28	110	y34l
j50g	54.03	-48.31	63.49	79.78	127	y69l
j75g	44.73	-60.33	42.64	73.88	145	l03c
g00b	47.59	-49.08	15.74	51.54	162	l23c
g25b	49.97	-39.7	-6.72	40.27	190	l55c
g50b	51.85	-32.33	-24.35	40.48	217	l87c
g75b	46.92	-17.29	-36.02	39.96	244	c20v
b00r	37.91	1.28	-42.35	42.37	272	c53v
b25r	23.81	30.38	-52.26	60.45	300	c87v
b50r	29.52	69.06	-42.14	80.9	329	v68m
b75r	36.48	71.47	-3.69	71.57	357	m34o



Ein und Ausgabe: Farbmatisches Drucker-Reflektiv-System FRS09_92a für relativen CIELAB-Bunton $h^* = lab^*h^* = h_{ab}/360 = 0.679$

$u^*_e = g75b$

Daten für jede Farbe:

lab^*tch^* und lab^*icu^*

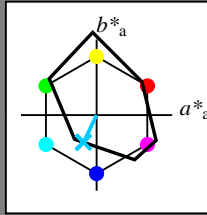
Buntontexte:

$u^*_e = g75b$ $u^*_d = c20v$

Kontrastreduzierungsfaktor:

$c_R = 1.0$

Dreiecks-Helligkeit t^*



FRS09_92a; adaptierte CIELAB-Daten

u^*_e	$L^*=L^*_a$	a^*_a	b^*_a	$C^*_{ab,a}$	$h^*_{ab,a}$
O _{Ma}	35.06	60.0	44.0	74.4	36
Y _{Ma}	83.77	-5.17	109.32	109.44	93
L _{Ma}	44.13	-62.67	48.24	79.09	142
C _{Ma}	52.66	-29.14	-31.99	43.27	228
V _{Ma}	14.15	50.3	-59.04	77.57	310
M _{Ma}	37.37	78.64	-33.5	85.48	337
N _{Ma}	8.58	0.0	0.0	0.0	0
W _{Ma}	92.02	0.0	0.0	0.0	0
R _{Ma}	39.92	58.74	27.99	65.07	25
J _{Ma}	81.26	-2.89	71.56	71.62	92
G _{Ma}	52.23	-42.42	13.6	44.55	162
B _{Ma}	30.57	1.41	-46.47	46.49	272

Daten für Maximalfarbe (Ma):

$LAB^*LAB^*_{Ma}$: 47 -17 -36

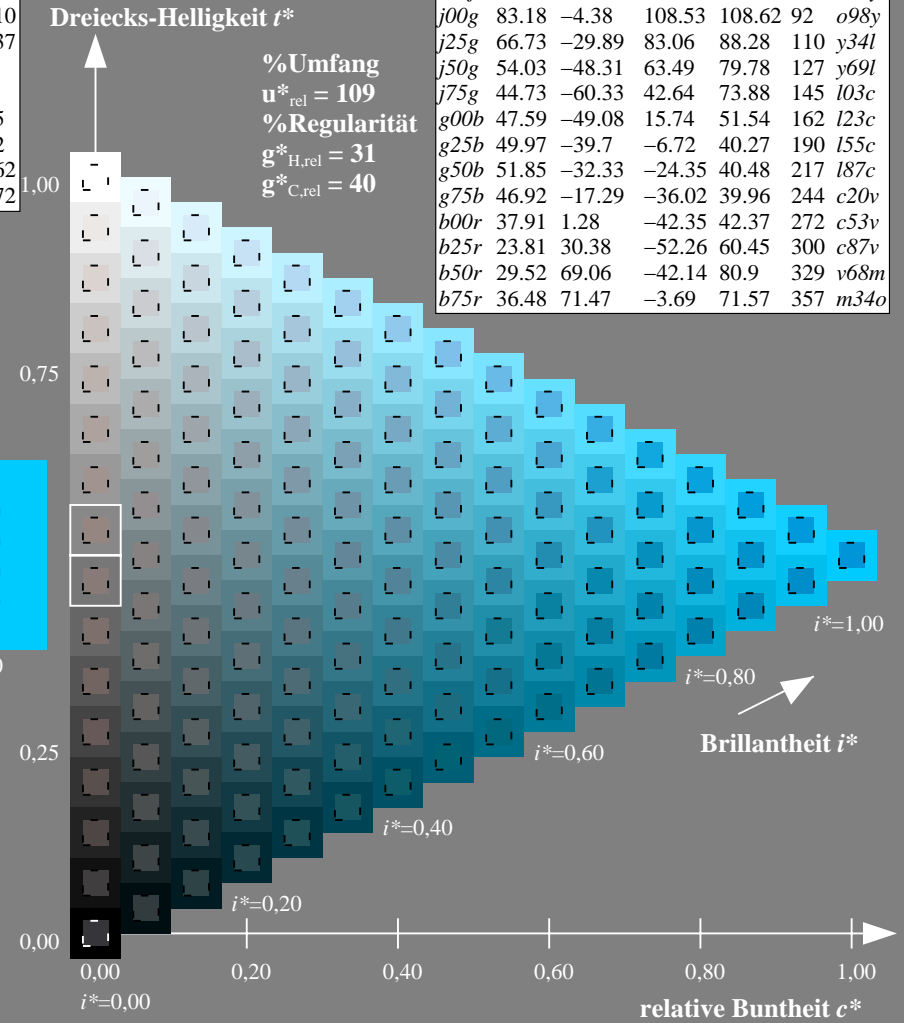
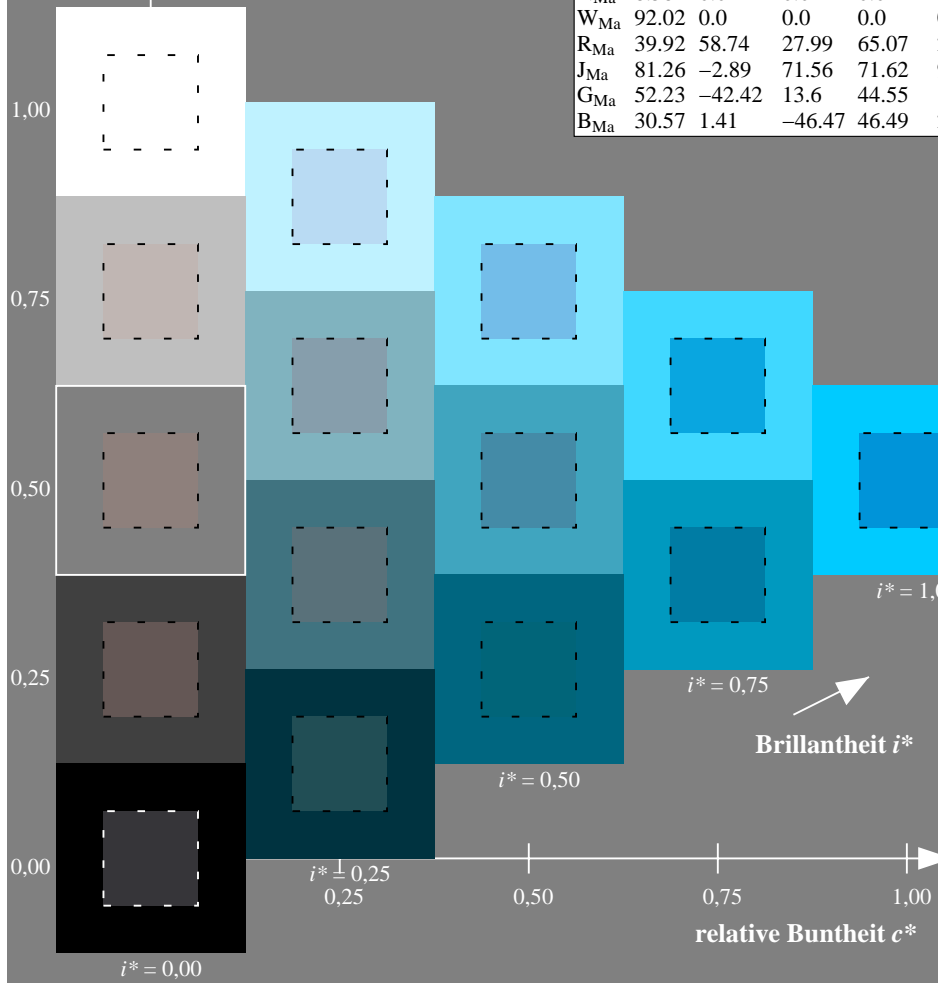
$LAB^*LCH^*_{Ma}$: 47 40 244

$lab^*rgb^*_{Ma}$: 0.0 0.5 1.0

$lab^*olv^*_{Ma}$: 0.0 0.8 1.0

FRS09_92a; adaptierte CIELAB-Daten

u^*_e	$L^*=L^*_a$	a^*_a	b^*_a	$C^*_{ab,a}$	$h^*_{ab,a}$	u^*_d
r00j	35.47	63.32	30.17	70.15	25	m81o
r25j	39.12	54.56	49.45	73.64	42	o10y
r50j	50.64	39.15	64.89	75.79	59	o40y
r75j	64.01	21.26	82.83	85.52	76	o69y
j00g	83.18	-4.38	108.53	108.62	92	o98y
j25g	66.73	-29.89	83.06	88.28	110	y34l
j50g	54.03	-48.31	63.49	79.78	127	y69l
j75g	44.73	-60.33	42.64	73.88	145	l03c
g00b	47.59	-49.08	15.74	51.54	162	l23c
g25b	49.97	-39.7	-6.72	40.27	190	l55c
g50b	51.85	-32.33	-24.35	40.48	217	l87c
g75b	46.92	-17.29	-36.02	39.96	244	c20v
b00r	37.91	1.28	-42.35	42.37	272	c53v
b25r	23.81	30.38	-52.26	60.45	300	c87v
b50r	29.52	69.06	-42.14	80.9	329	v68m
b75r	36.48	71.47	-3.69	71.57	357	m34o



Ein und Ausgabe: Farbmatisches Drucker-Reflektiv-System FRS09_92a für relativen CIELAB-Bunton $h^* = lab^*h^* = h_{ab}/360 = 0.755$

$u^*_e = b00r$

Daten für jede Farbe:

lab^*tch^* und lab^*icu^*

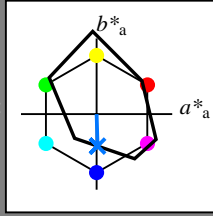
Buntontexte:

$u^*_e = b00r$ $u^*_d = c53v$

Kontrastreduzierungsfaktor:

$c_R = 1.0$

Dreiecks-Helligkeit t^*



FRS09_92a; adaptierte CIELAB-Daten

u^*_e	$L^*=L^*_a$	a^*_a	b^*_a	$C^*_{ab,a}$	$h^*_{ab,a}$
O _{Ma}	35.06	60.0	44.0	74.4	36
Y _{Ma}	83.77	-5.17	109.32	109.44	93
L _{Ma}	44.13	-62.67	48.24	79.09	142
C _{Ma}	52.66	-29.14	-31.99	43.27	228
V _{Ma}	14.15	50.3	-59.04	77.57	310
M _{Ma}	37.37	78.64	-33.5	85.48	337
N _{Ma}	8.58	0.0	0.0	0.0	0
W _{Ma}	92.02	0.0	0.0	0.0	0
R _{Ma}	39.92	58.74	27.99	65.07	25
J _{Ma}	81.26	-2.89	71.56	71.62	92
G _{Ma}	52.23	-42.42	13.6	44.55	162
B _{Ma}	30.57	1.41	-46.47	46.49	272

Daten für Maximalfarbe (Ma):

$LAB^*LAB^*_{Ma}$: 38 1 -42

$LAB^*LCH^*_{Ma}$: 38 42 271

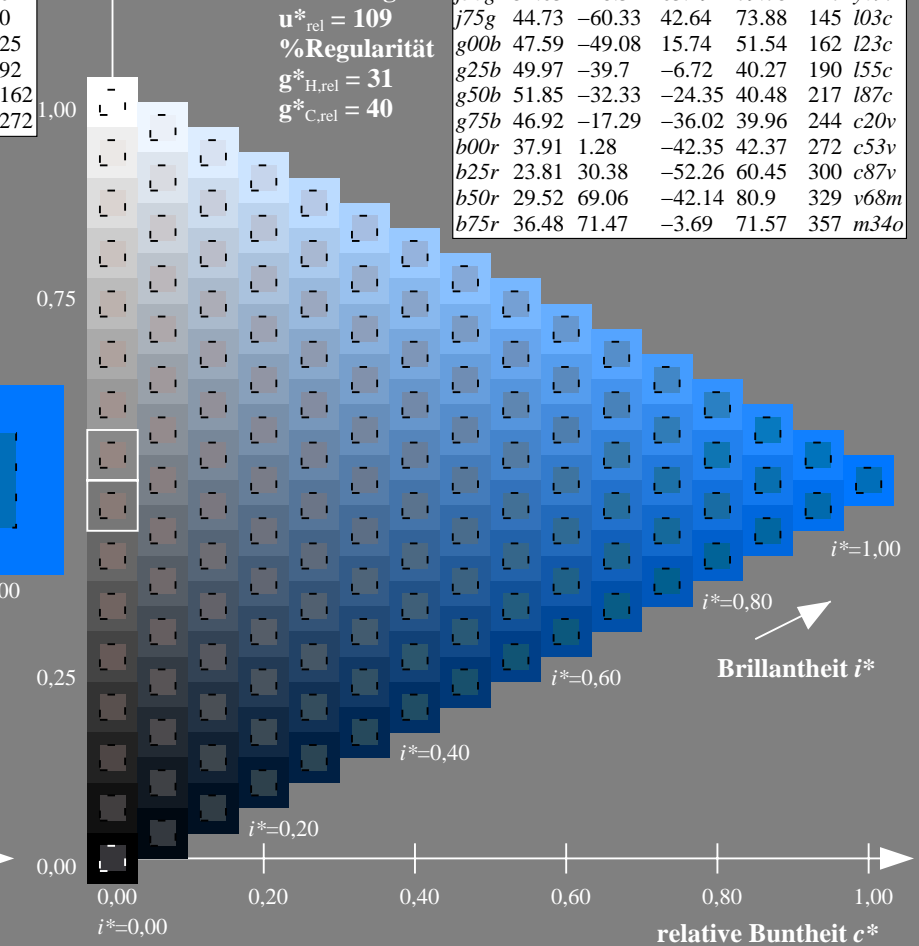
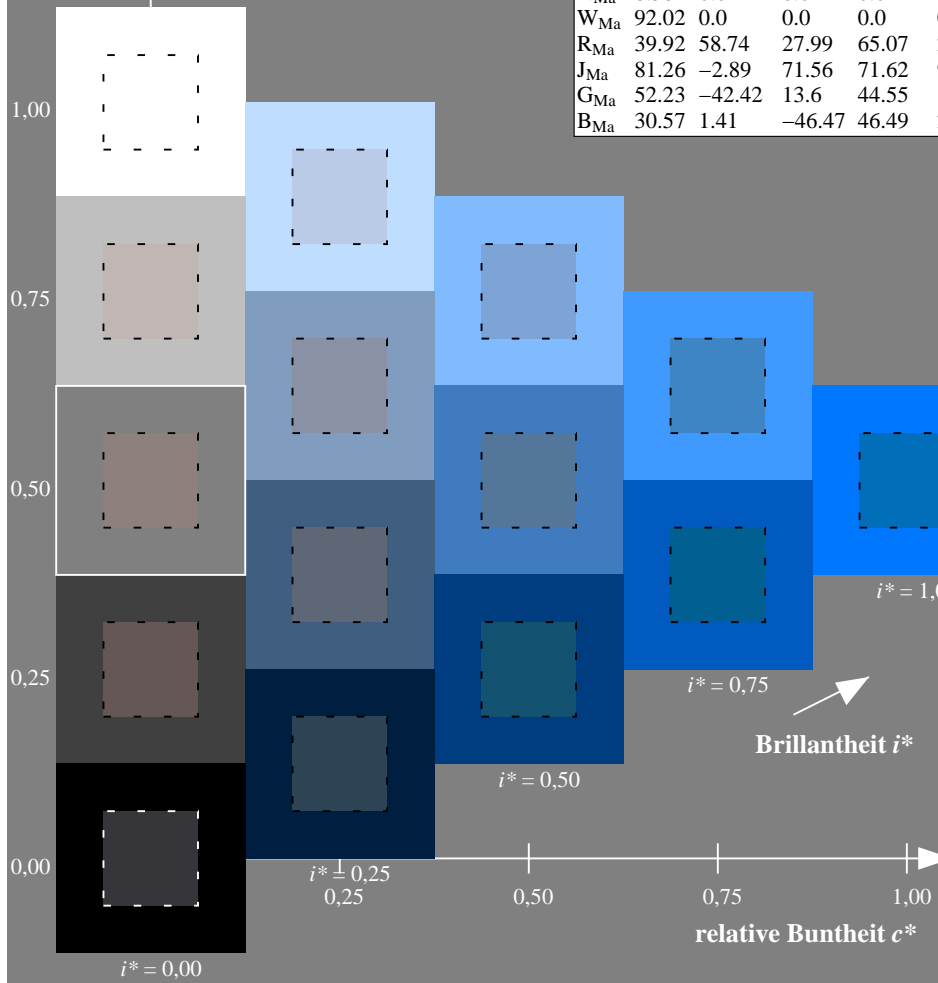
$lab^*rgb^*_{Ma}$: 0.0 0.0 1.0

$lab^*olv^*_{Ma}$: 0.0 0.47 1.0

Dreiecks-Helligkeit t^*

FRS09_92a; adaptierte CIELAB-Daten

u^*_e	$L^*=L^*_a$	a^*_a	b^*_a	$C^*_{ab,a}$	$h^*_{ab,a}$	u^*_d
r00j	35.47	63.32	30.17	70.15	25	m81o
r25j	39.12	54.56	49.45	73.64	42	o10y
r50j	50.64	39.15	64.89	75.79	59	o40y
r75j	64.01	21.26	82.83	85.52	76	o69y
j00g	83.18	-4.38	108.53	108.62	92	o98y
j25g	66.73	-29.89	83.06	88.28	110	y34l
j50g	54.03	-48.31	63.49	79.78	127	y69l
j75g	44.73	-60.33	42.64	73.88	145	l03c
g00b	47.59	-49.08	15.74	51.54	162	l23c
g25b	49.97	-39.7	-6.72	40.27	190	l55c
g50b	51.85	-32.33	-24.35	40.48	217	l87c
g75b	46.92	-17.29	-36.02	39.96	244	c20v
b00r	37.91	1.28	-42.35	42.37	272	c53v
b25r	23.81	30.38	-52.26	60.45	300	c87v
b50r	29.52	69.06	-42.14	80.9	329	v68m
b75r	36.48	71.47	-3.69	71.57	357	m34o



Ein und Ausgabe: Farbmatisches Drucker-Reflektiv-System FRS09_92a für relativen CIELAB-Bunton $h^* = lab^*h^* = h_{ab}/360 = 0.834$

$u^*_e = b25r$

Daten für jede Farbe:

lab^*tch^* und lab^*icu^*

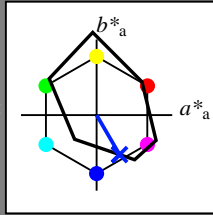
Buntontexte:

$u^*_e = b25r$ $u^*_d = c87v$

Kontrastreduzierungsfaktor:

$c_R = 1.0$

Dreiecks-Helligkeit t^*



FRS09_92a; adaptierte CIELAB-Daten

u^*_e	$L^*=L^*_a$	a^*_a	b^*_a	$C^*_{ab,a}$	$h^*_{ab,a}$
O _{Ma}	35.06	60.0	44.0	74.4	36
Y _{Ma}	83.77	-5.17	109.32	109.44	93
L _{Ma}	44.13	-62.67	48.24	79.09	142
C _{Ma}	52.66	-29.14	-31.99	43.27	228
V _{Ma}	14.15	50.3	-59.04	77.57	310
M _{Ma}	37.37	78.64	-33.5	85.48	337
N _{Ma}	8.58	0.0	0.0	0.0	0
W _{Ma}	92.02	0.0	0.0	0.0	0
R _{Ma}	39.92	58.74	27.99	65.07	25
J _{Ma}	81.26	-2.89	71.56	71.62	92
G _{Ma}	52.23	-42.42	13.6	44.55	162
B _{Ma}	30.57	1.41	-46.47	46.49	272

Daten für Maximalfarbe (Ma):

$LAB^*LAB^*_{Ma}$: 24 30 -52

$LAB^*LCH^*_{Ma}$: 24 60 300

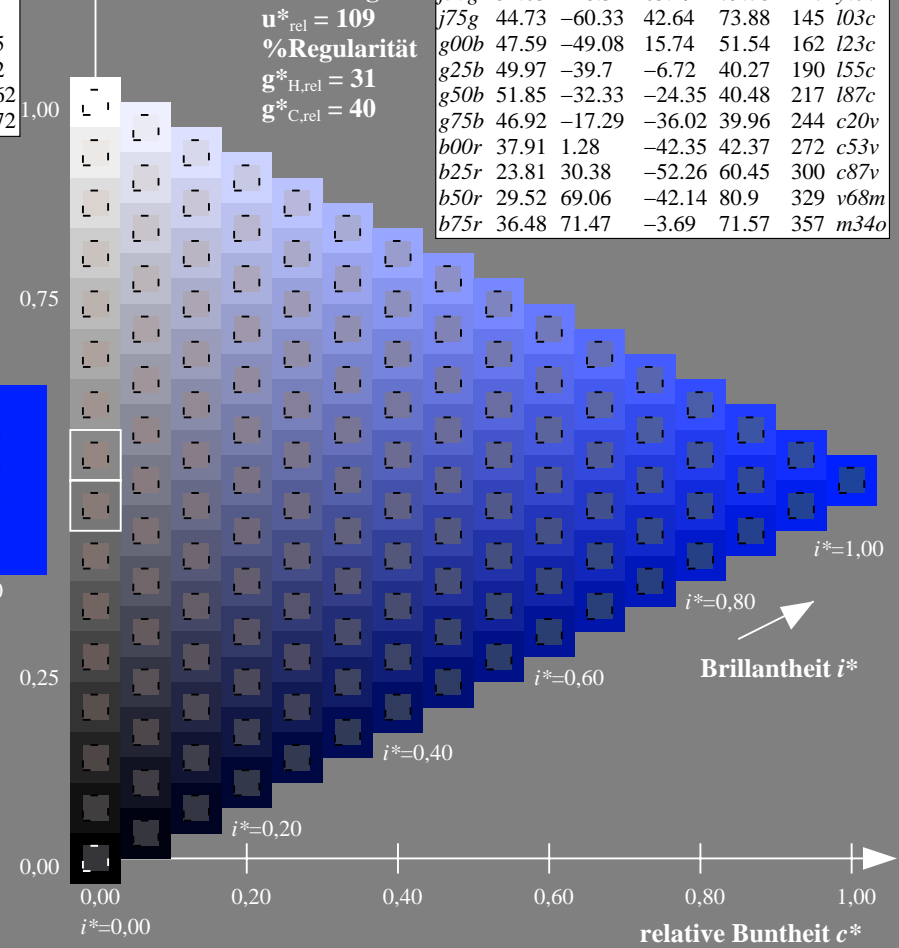
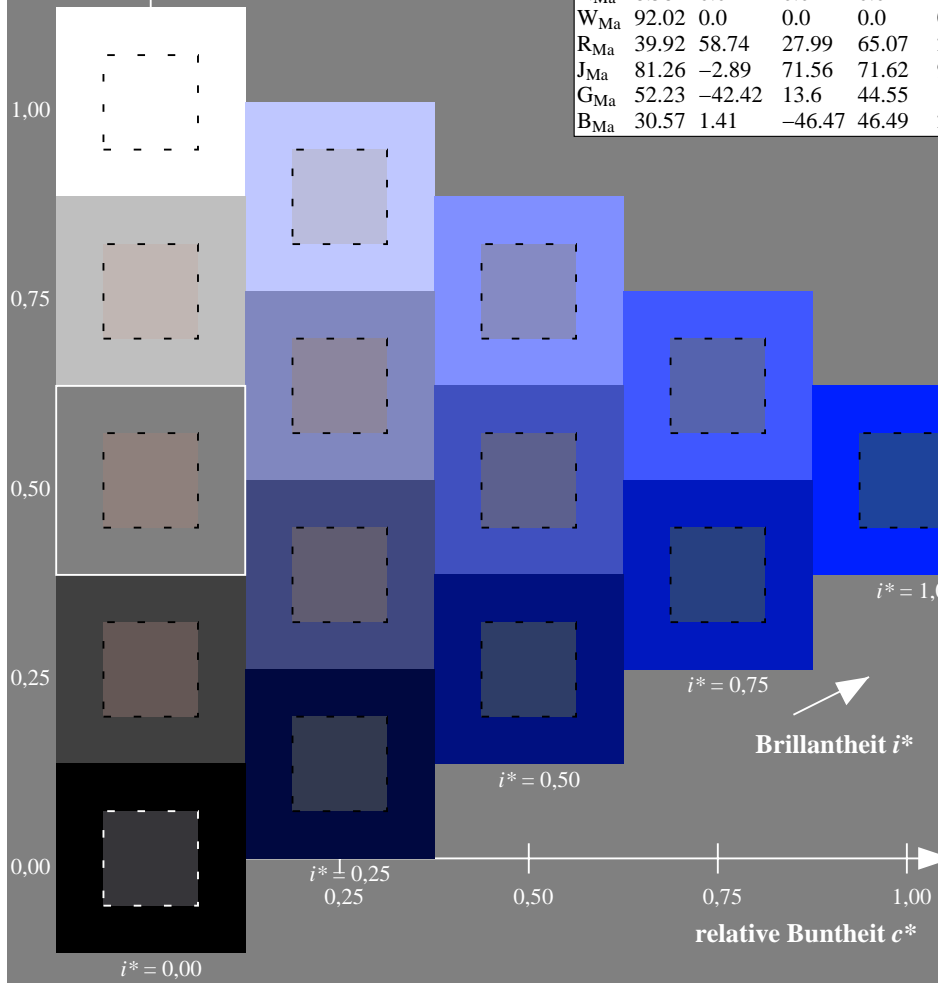
$lab^*rgb^*_{Ma}$: 0.5 0.0 1.0

$lab^*olv^*_{Ma}$: 0.0 0.12 1.0

Dreiecks-Helligkeit t^*

FRS09_92a; adaptierte CIELAB-Daten

u^*_e	$L^*=L^*_a$	a^*_a	b^*_a	$C^*_{ab,a}$	$h^*_{ab,a}$	u^*_d
r00j	35.47	63.32	30.17	70.15	25	m81o
r25j	39.12	54.56	49.45	73.64	42	o10y
r50j	50.64	39.15	64.89	75.79	59	o40y
r75j	64.01	21.26	82.83	85.52	76	o69y
j00g	83.18	-4.38	108.53	108.62	92	o98y
j25g	66.73	-29.89	83.06	88.28	110	y34l
j50g	54.03	-48.31	63.49	79.78	127	y69l
j75g	44.73	-60.33	42.64	73.88	145	l03c
g00b	47.59	-49.08	15.74	51.54	162	l23c
g25b	49.97	-39.7	-6.72	40.27	190	l55c
g50b	51.85	-32.33	-24.35	40.48	217	l87c
g75b	46.92	-17.29	-36.02	39.96	244	c20v
b00r	37.91	1.28	-42.35	42.37	272	c53v
b25r	23.81	30.38	-52.26	60.45	300	c87v
b50r	29.52	69.06	-42.14	80.9	329	v68m
b75r	36.48	71.47	-3.69	71.57	357	m34o



%Umfang
 $u^*_{rel} = 109$
 %Regularität
 $g^*_{H,rel} = 31$
 $g^*_{C,rel} = 40$

Ein und Ausgabe: Farbmatisches Drucker-Reflektiv-System FRS09_92a für relativen CIELAB-Bunton $h^* = lab^*h^* = h_{ab}/360 = 0.913$

$u^*_e = b50r$

Daten für jede Farbe:

lab^*tch^* und lab^*icu^*

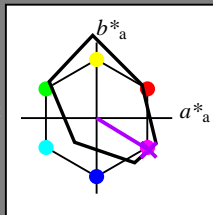
Buntontexte:

$u^*_e = b50r$ $u^*_d = v68m$

Kontrastreduzierungsfaktor:

$c_R = 1.0$

Dreiecks-Helligkeit t^*



FRS09_92a; adaptierte CIELAB-Daten						
u^*_e	$L^*=L^*_a$	a^*_a	b^*_a	$C^*_{ab,a}$	$h^*_{ab,a}$	
O _{Ma}	35.06	60.0	44.0	74.4	36	
Y _{Ma}	83.77	-5.17	109.32	109.44	93	
L _{Ma}	44.13	-62.67	48.24	79.09	142	
C _{Ma}	52.66	-29.14	-31.99	43.27	228	
V _{Ma}	14.15	50.3	-59.04	77.57	310	
M _{Ma}	37.37	78.64	-33.5	85.48	337	
N _{Ma}	8.58	0.0	0.0	0.0	0	
W _{Ma}	92.02	0.0	0.0	0.0	0	
R _{Ma}	39.92	58.74	27.99	65.07	25	
J _{Ma}	81.26	-2.89	71.56	71.62	92	
G _{Ma}	52.23	-42.42	13.6	44.55	162	
B _{Ma}	30.57	1.41	-46.47	46.49	272	

Daten für Maximalfarbe (Ma):

$LAB^*LAB^*_{Ma}$: 30 69 -42

$LAB^*LCH^*_{Ma}$: 30 81 328

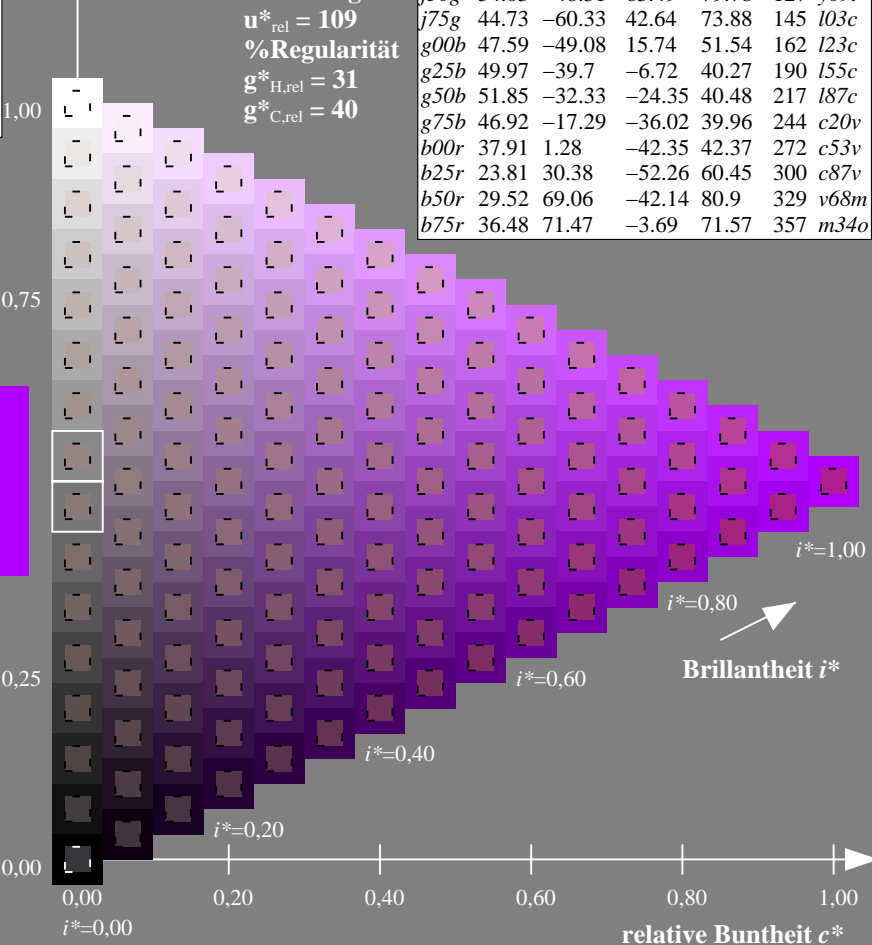
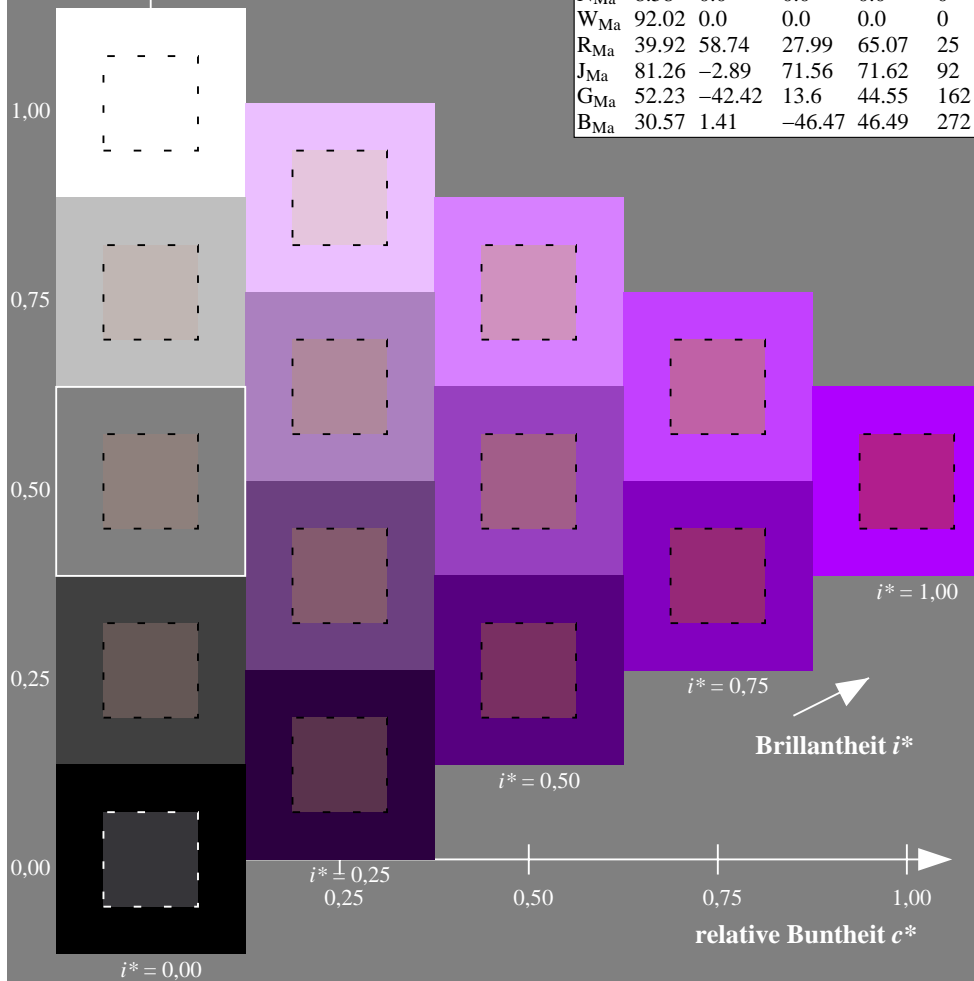
$lab^*rgb^*_{Ma}$: 1.0 0.0 1.0

$lab^*olv^*_{Ma}$: 0.69 0.0 1.0

Dreiecks-Helligkeit t^*

FRS09_92a; adaptierte CIELAB-Daten

u^*_e	$L^*=L^*_a$	a^*_a	b^*_a	$C^*_{ab,a}$	$h^*_{ab,a}$	u^*_d
r00j	35.47	63.32	30.17	70.15	25	m81o
r25j	39.12	54.56	49.45	73.64	42	o10y
r50j	50.64	39.15	64.89	75.79	59	o40y
r75j	64.01	21.26	82.83	85.52	76	o69y
j00g	83.18	-4.38	108.53	108.62	92	o98y
j25g	66.73	-29.89	83.06	88.28	110	y34l
j50g	54.03	-48.31	63.49	79.78	127	y69l
j75g	44.73	-60.33	42.64	73.88	145	l03c
g00b	47.59	-49.08	15.74	51.54	162	l23c
g25b	49.97	-39.7	-6.72	40.27	190	l55c
g50b	51.85	-32.33	-24.35	40.48	217	l87c
g75b	46.92	-17.29	-36.02	39.96	244	c20v
b00r	37.91	1.28	-42.35	42.37	272	c53v
b25r	23.81	30.38	-52.26	60.45	300	c87v
b50r	29.52	69.06	-42.14	80.9	329	v68m
b75r	36.48	71.47	-3.69	71.57	357	m34o



Ein und Ausgabe: Farbmatisches Drucker-Reflektiv-System FRS09_92a für relativen CIELAB-Bunton $h^* = lab^*h^* = h_{ab}^*/360 = 0.992$

$u^*_e = b75r$

Daten für jede Farbe:

lab^*tch^* und lab^*icu^*

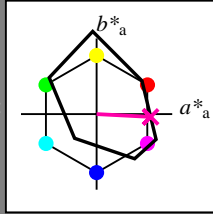
Buntontexte:

$u^*_e = b75r$ $u^*_d = m34o$

Kontrastreduzierungsfaktor:

$c_R = 1.0$

Dreiecks-Helligkeit t^*



FRS09_92a; adaptierte CIELAB-Daten

u^*_e	$L^*=L^*_a$	a^*_a	b^*_a	$C^*_{ab,a}$	$h^*_{ab,a}$
O _{Ma}	35.06	60.0	44.0	74.4	36
Y _{Ma}	83.77	-5.17	109.32	109.44	93
L _{Ma}	44.13	-62.67	48.24	79.09	142
C _{Ma}	52.66	-29.14	-31.99	43.27	228
V _{Ma}	14.15	50.3	-59.04	77.57	310
M _{Ma}	37.37	78.64	-33.5	85.48	337
N _{Ma}	8.58	0.0	0.0	0.0	0
W _{Ma}	92.02	0.0	0.0	0.0	0
R _{Ma}	39.92	58.74	27.99	65.07	25
J _{Ma}	81.26	-2.89	71.56	71.62	92
G _{Ma}	52.23	-42.42	13.6	44.55	162
B _{Ma}	30.57	1.41	-46.47	46.49	272

Daten für Maximalfarbe (Ma):

$LAB^*LAB^*_{Ma}$: 36 71 -4

$LAB^*LCH^*_{Ma}$: 36 72 357

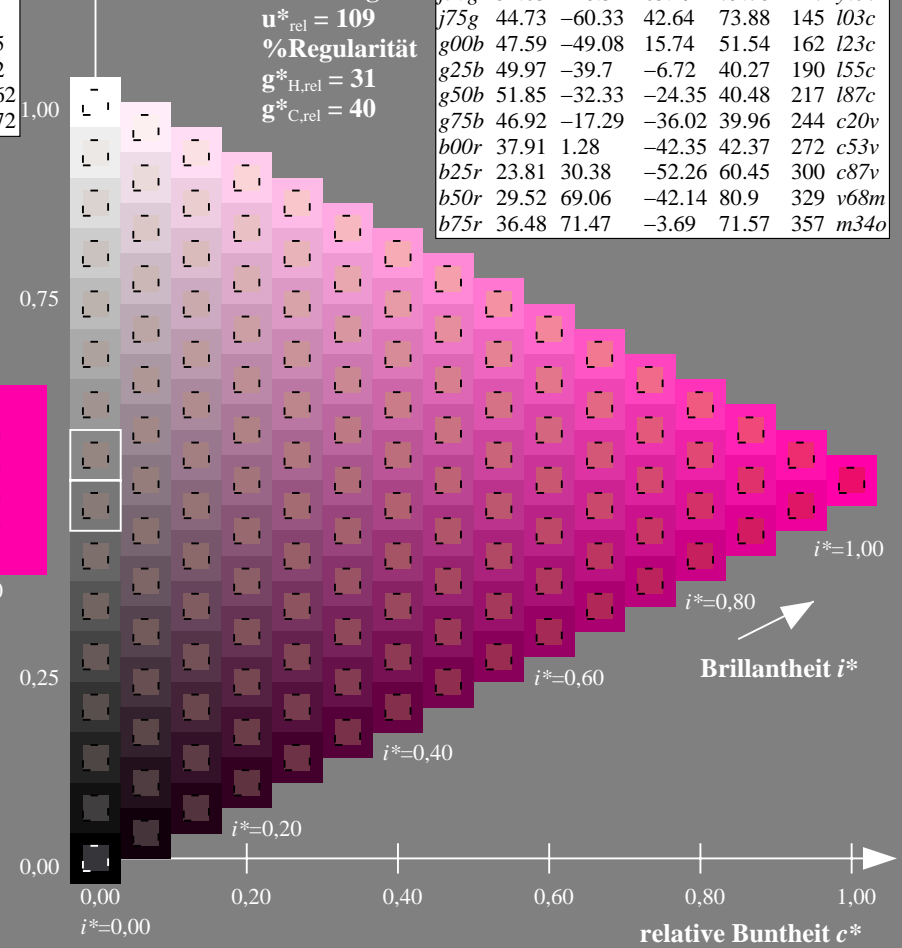
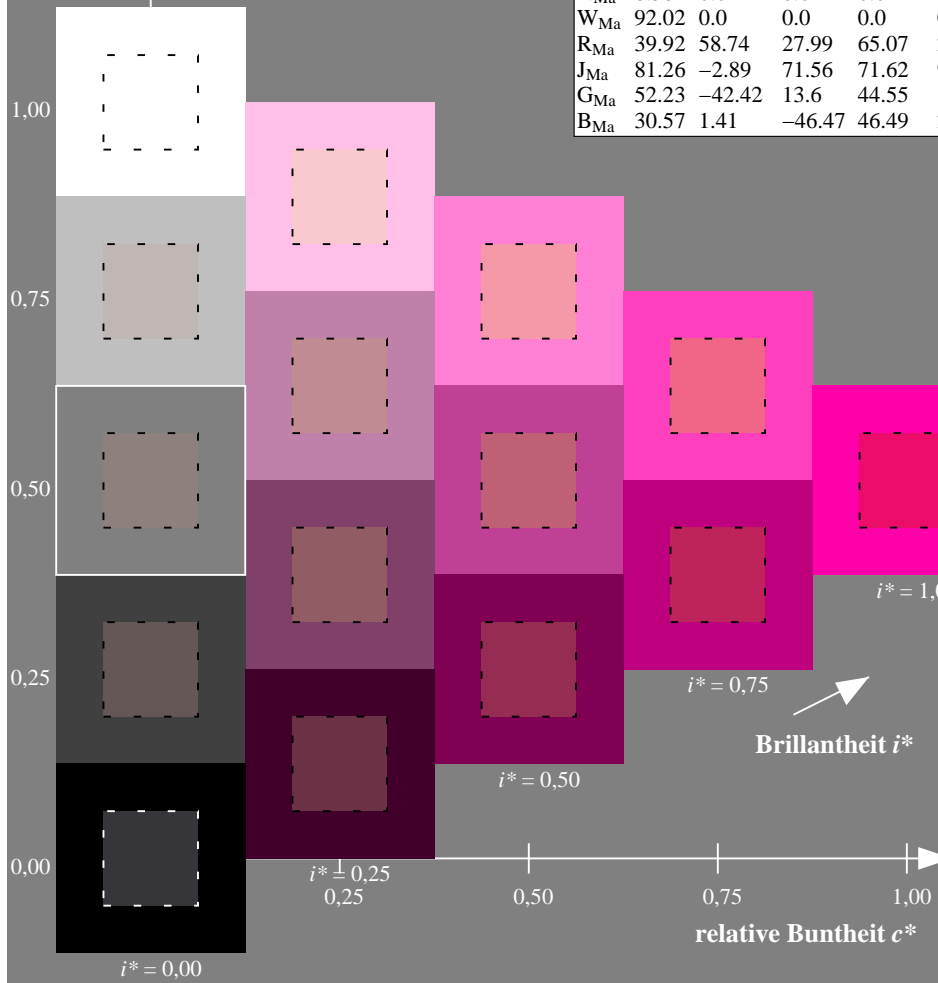
$lab^*rgb^*_{Ma}$: 1.0 0.0 0.5

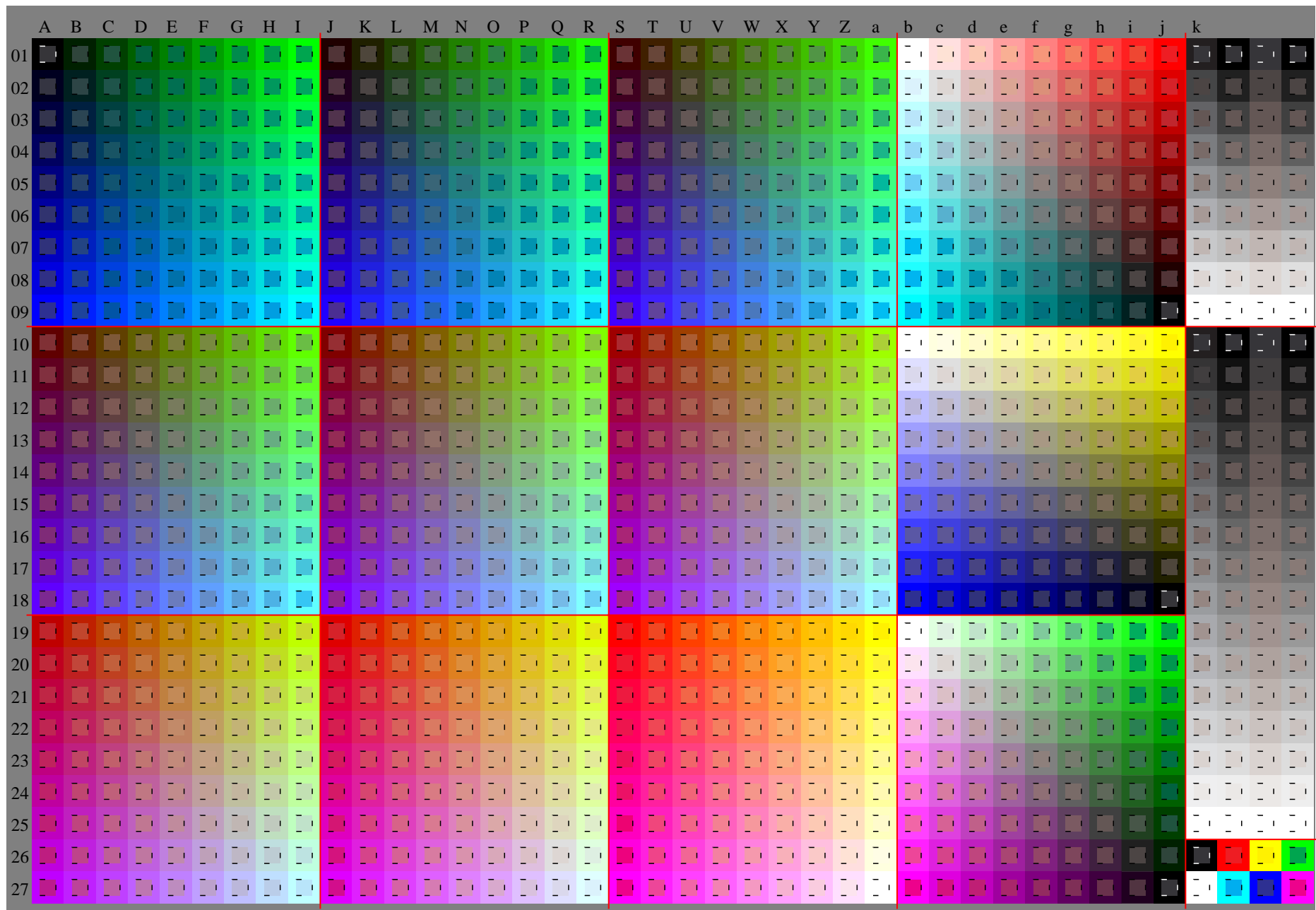
$lab^*olv^*_{Ma}$: 1.0 0.0 0.66

Dreiecks-Helligkeit t^*

FRS09_92a; adaptierte CIELAB-Daten

u^*_e	$L^*=L^*_a$	a^*_a	b^*_a	$C^*_{ab,a}$	$h^*_{ab,a}$	u^*_d
r00j	35.47	63.32	30.17	70.15	25	m81o
r25j	39.12	54.56	49.45	73.64	42	o10y
r50j	50.64	39.15	64.89	75.79	59	o40y
r75j	64.01	21.26	82.83	85.52	76	o69y
j00g	83.18	-4.38	108.53	108.62	92	o98y
j25g	66.73	-29.89	83.06	88.28	110	y34l
j50g	54.03	-48.31	63.49	79.78	127	y69l
j75g	44.73	-60.33	42.64	73.88	145	l03c
g00b	47.59	-49.08	15.74	51.54	162	l23c
g25b	49.97	-39.7	-6.72	40.27	190	l55c
g50b	51.85	-32.33	-24.35	40.48	217	l87c
g75b	46.92	-17.29	-36.02	39.96	244	c20v
b00r	37.91	1.28	-42.35	42.37	272	c53v
b25r	23.81	30.38	-52.26	60.45	300	c87v
b50r	29.52	69.06	-42.14	80.9	329	v68m
b75r	36.48	71.47	-3.69	71.57	357	m34o





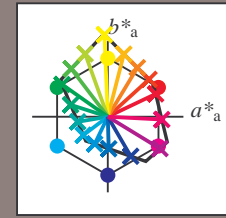
Ein und Ausgabe:
 Farbmimetrisches Drucker-Reflektiv-System FRS09_92a

Daten für jede Farbe:
 u^*_e und Nummer *Nr.* = 00 .. 15

Elementar-Bunttextext:
 $u^*_e = 16$ Bunttoene *r00j, r25j, ..., b75r*

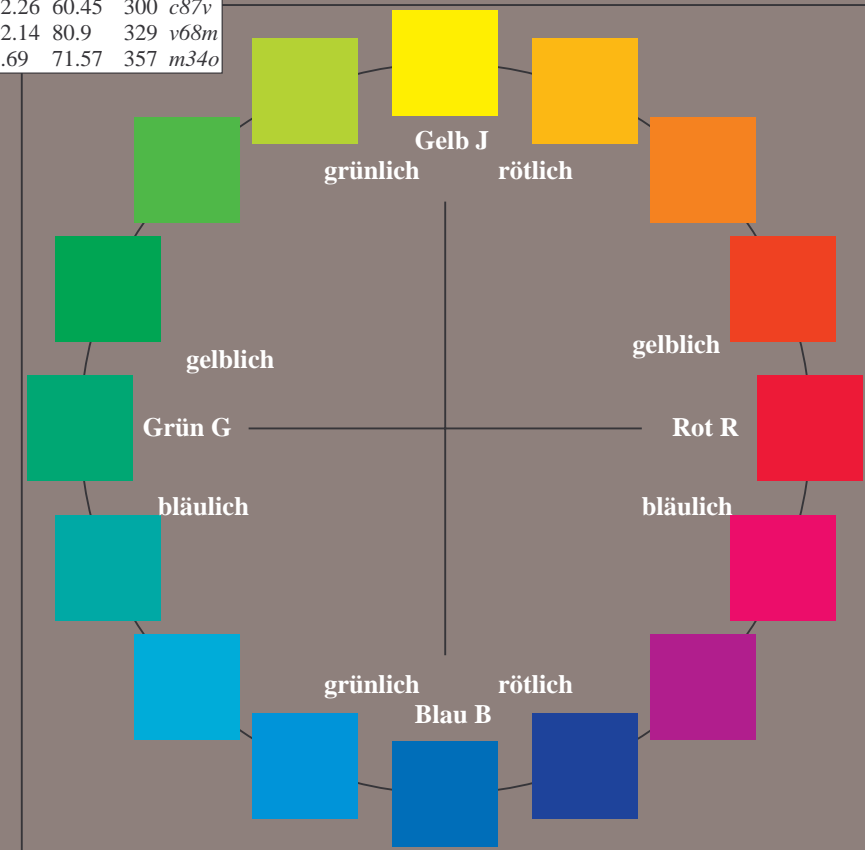
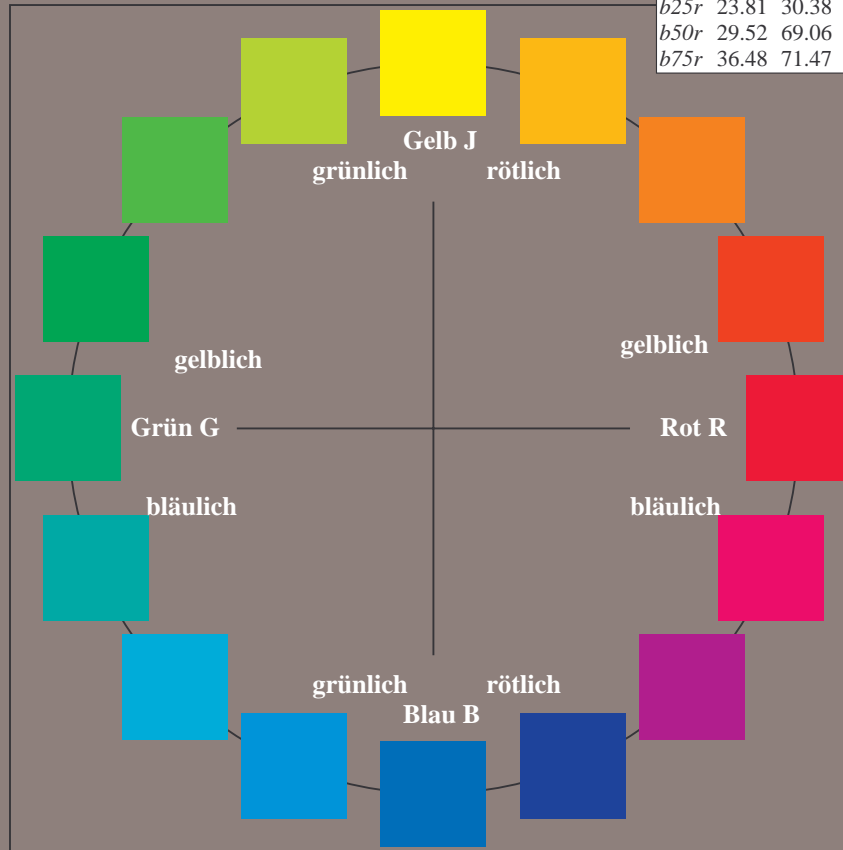
Kontrastreduzierungsfaktor:
 $c_R = 1.0$

FRS09_92a; adaptierte CIELAB-Daten						
u^*_e	$L^*=L^*_a$	a^*_a	b^*_a	$C^*_{ab,a}$	$h^*_{ab,a}$	u^*_d
<i>r00j</i>	35.47	63.32	30.17	70.15	25	<i>m81o</i>
<i>r25j</i>	39.12	54.56	49.45	73.64	42	<i>o10y</i>
<i>r50j</i>	50.64	39.15	64.89	75.79	59	<i>o40y</i>
<i>r75j</i>	64.01	21.26	82.83	85.52	76	<i>o69y</i>
<i>j00g</i>	83.18	-4.38	108.53	108.62	92	<i>o98y</i>
<i>j25g</i>	66.73	-29.89	83.06	88.28	110	<i>y34l</i>
<i>j50g</i>	54.03	-48.31	63.49	79.78	127	<i>y69l</i>
<i>j75g</i>	44.73	-60.33	42.64	73.88	145	<i>l03c</i>
<i>g00b</i>	47.59	-49.08	15.74	51.54	162	<i>l23c</i>
<i>g25b</i>	49.97	-39.7	-6.72	40.27	190	<i>l55c</i>
<i>g50b</i>	51.85	-32.33	-24.35	40.48	217	<i>l87c</i>
<i>g75b</i>	46.92	-17.29	-36.02	39.96	244	<i>c20v</i>
<i>b00r</i>	37.91	1.28	-42.35	42.37	272	<i>c53v</i>
<i>b25r</i>	23.81	30.38	-52.26	60.45	300	<i>c87v</i>
<i>b50r</i>	29.52	69.06	-42.14	80.9	329	<i>v68m</i>
<i>b75r</i>	36.48	71.47	-3.69	71.57	357	<i>m34o</i>



%Umfang
 $u^*_{rel} = 109$
 %Regularität
 $g^*_{H,rel} = 31$
 $g^*_{C,rel} = 40$

FRS09_92a; adaptierte CIELAB-Daten					
Name	$L^*=L^*_a$	a^*_a	b^*_a	$C^*_{ab,a}$	$h^*_{ab,a}$
O _{Ma}	35.06	60.0	44.0	74.4	36
Y _{Ma}	83.77	-5.17	109.32	109.44	93
L _{Ma}	44.13	-62.67	48.24	79.09	142
C _{Ma}	52.66	-29.14	-31.99	43.27	228
V _{Ma}	14.15	50.3	-59.04	77.57	310
M _{Ma}	37.37	78.64	-33.5	85.48	337
N _{Ma}	8.58	0.0	0.0	0.0	0
W _{Ma}	92.02	0.0	0.0	0.0	0
R _{CIE}	39.92	58.74	27.99	65.07	25
J _{CIE}	81.26	-2.89	71.56	71.62	92
G _{CIE}	52.23	-42.42	13.6	44.55	162
B _{CIE}	30.57	1.41	-46.47	46.49	272



Ein und Ausgabe: Farbmatisches Drucker-Reflektiv-System FRS09_92a für relativen CIELAB-Bunton $h^* = lab^*h^* = h_{ab}/360 = 0.071$

$u^*_e = r00j$

Daten für jede Farbe:

lab^*tch^* und lab^*icu^*

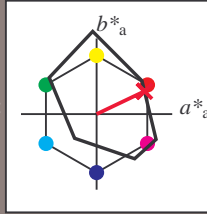
Buntontexte:

$u^*_e = r00j$ $u^*_d = m81o$

Kontrastreduzierungsfaktor:

$c_R = 1.0$

Dreiecks-Helligkeit t^*



FRS09_92a; adaptierte CIELAB-Daten						
u^*_e	$L^*=L^*_a$	a^*_a	b^*_a	$C^*_{ab,a}$	$h^*_{ab,a}$	
O _{Ma}	35.06	60.0	44.0	74.4	36	
Y _{Ma}	83.77	-5.17	109.32	109.44	93	
L _{Ma}	44.13	-62.67	48.24	79.09	142	
C _{Ma}	52.66	-29.14	-31.99	43.27	228	
V _{Ma}	14.15	50.3	-59.04	77.57	310	
M _{Ma}	37.37	78.64	-33.5	85.48	337	
N _{Ma}	8.58	0.0	0.0	0.0	0	
W _{Ma}	92.02	0.0	0.0	0.0	0	
R _{Ma}	39.92	58.74	27.99	65.07	25	
J _{Ma}	81.26	-2.89	71.56	71.62	92	
G _{Ma}	52.23	-42.42	13.6	44.55	162	
B _{Ma}	30.57	1.41	-46.47	46.49	272	

Daten für Maximalfarbe (Ma):

$LAB^*LAB^*_{Ma}$: 35 63 30

$LAB^*LCH^*_{Ma}$: 35 70 25

$lab^*rgb^*_{Ma}$: 1.0 0.0 0.0

$lab^*olv^*_{Ma}$: 1.0 0.0 0.18

Dreiecks-Helligkeit t^*

%Umfang

$u^*_{rel} = 109$

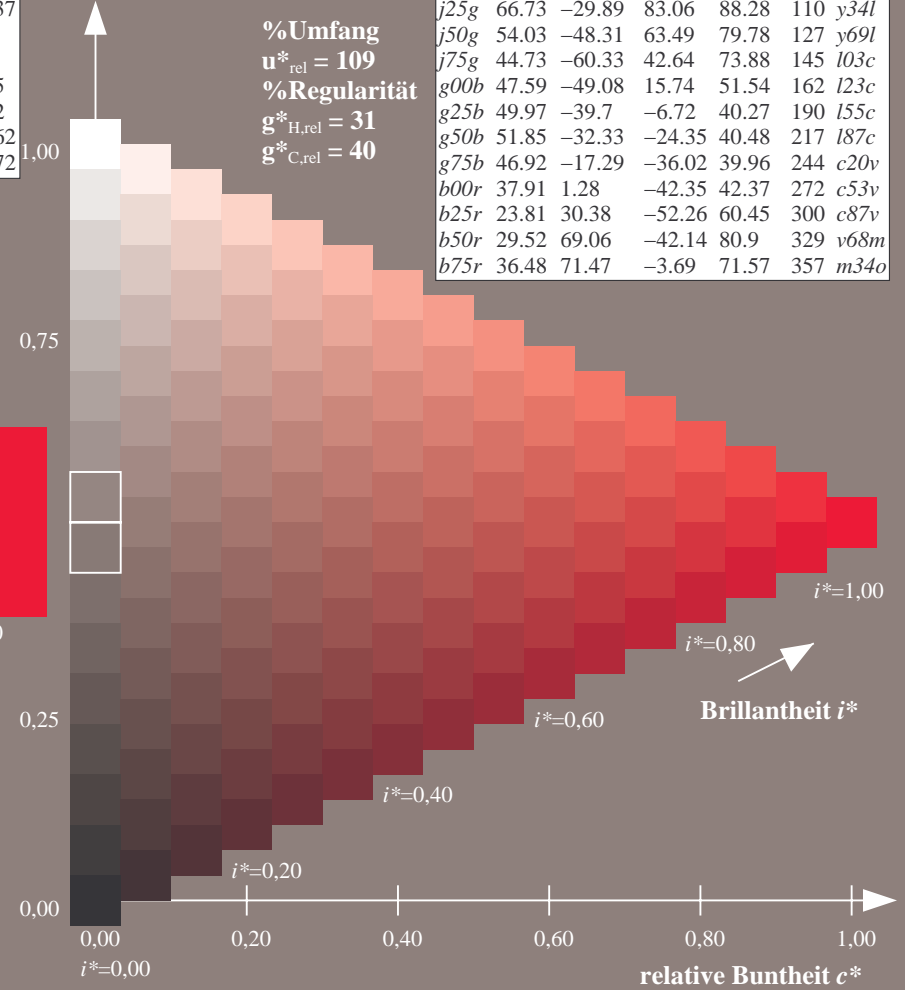
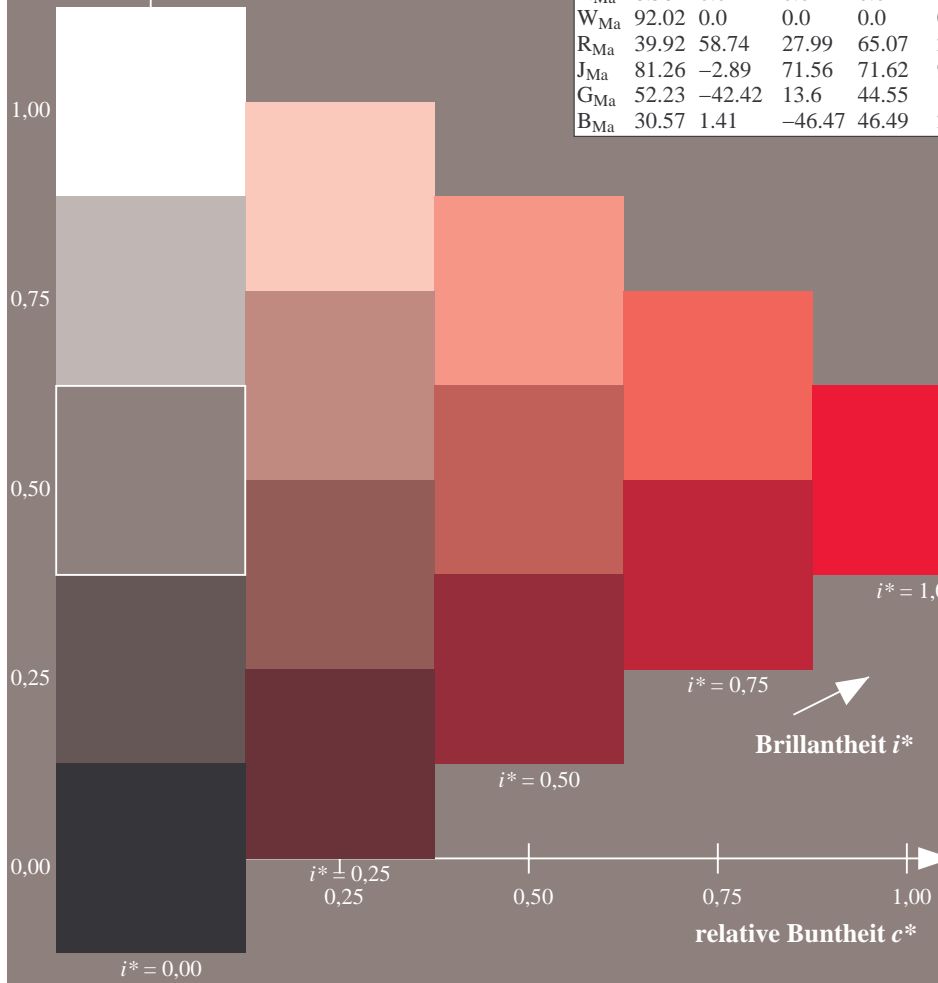
%Regularität

$g^*_{H,rel} = 31$

$g^*_{C,rel} = 40$

FRS09_92a; adaptierte CIELAB-Daten

u^*_e	$L^*=L^*_a$	a^*_a	b^*_a	$C^*_{ab,a}$	$h^*_{ab,a}$	u^*_d
r00j	35.47	63.32	30.17	70.15	25	m81o
r25j	39.12	54.56	49.45	73.64	42	o10y
r50j	50.64	39.15	64.89	75.79	59	o40y
r75j	64.01	21.26	82.83	85.52	76	o69y
j00g	83.18	-4.38	108.53	108.62	92	o98y
j25g	66.73	-29.89	83.06	88.28	110	y34l
j50g	54.03	-48.31	63.49	79.78	127	y69l
j75g	44.73	-60.33	42.64	73.88	145	l03c
g00b	47.59	-49.08	15.74	51.54	162	l23c
g25b	49.97	-39.7	-6.72	40.27	190	l55c
g50b	51.85	-32.33	-24.35	40.48	217	l87c
g75b	46.92	-17.29	-36.02	39.96	244	c20v
b00r	37.91	1.28	-42.35	42.37	272	c53v
b25r	23.81	30.38	-52.26	60.45	300	c87v
b50r	29.52	69.06	-42.14	80.9	329	v68m
b75r	36.48	71.47	-3.69	71.57	357	m34o



Daten für jede Farbe:

lab^*tch^* und lab^*icu^*

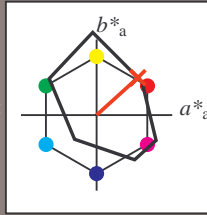
Buntontexte:

$u^*_e = r25j$ $u^*_d = o10y$

Kontrastreduzierungsfaktor:

$c_R = 1.0$

Dreiecks-Helligkeit t^*



FRS09_92a; adaptierte CIELAB-Daten						
u^*_e	$L^*=L^*_a$	a^*_a	b^*_a	$C^*_{ab,a}$	$h^*_{ab,a}$	
O _{Ma}	35.06	60.0	44.0	74.4	36	
Y _{Ma}	83.77	-5.17	109.32	109.44	93	
L _{Ma}	44.13	-62.67	48.24	79.09	142	
C _{Ma}	52.66	-29.14	-31.99	43.27	228	
V _{Ma}	14.15	50.3	-59.04	77.57	310	
M _{Ma}	37.37	78.64	-33.5	85.48	337	
N _{Ma}	8.58	0.0	0.0	0.0	0	
W _{Ma}	92.02	0.0	0.0	0.0	0	
R _{Ma}	39.92	58.74	27.99	65.07	25	
J _{Ma}	81.26	-2.89	71.56	71.62	92	
G _{Ma}	52.23	-42.42	13.6	44.55	162	
B _{Ma}	30.57	1.41	-46.47	46.49	272	

Daten für Maximalfarbe (Ma):

$LAB^*LAB^*_{Ma}$: 39 55 49

$LAB^*LCH^*_{Ma}$: 39 74 42

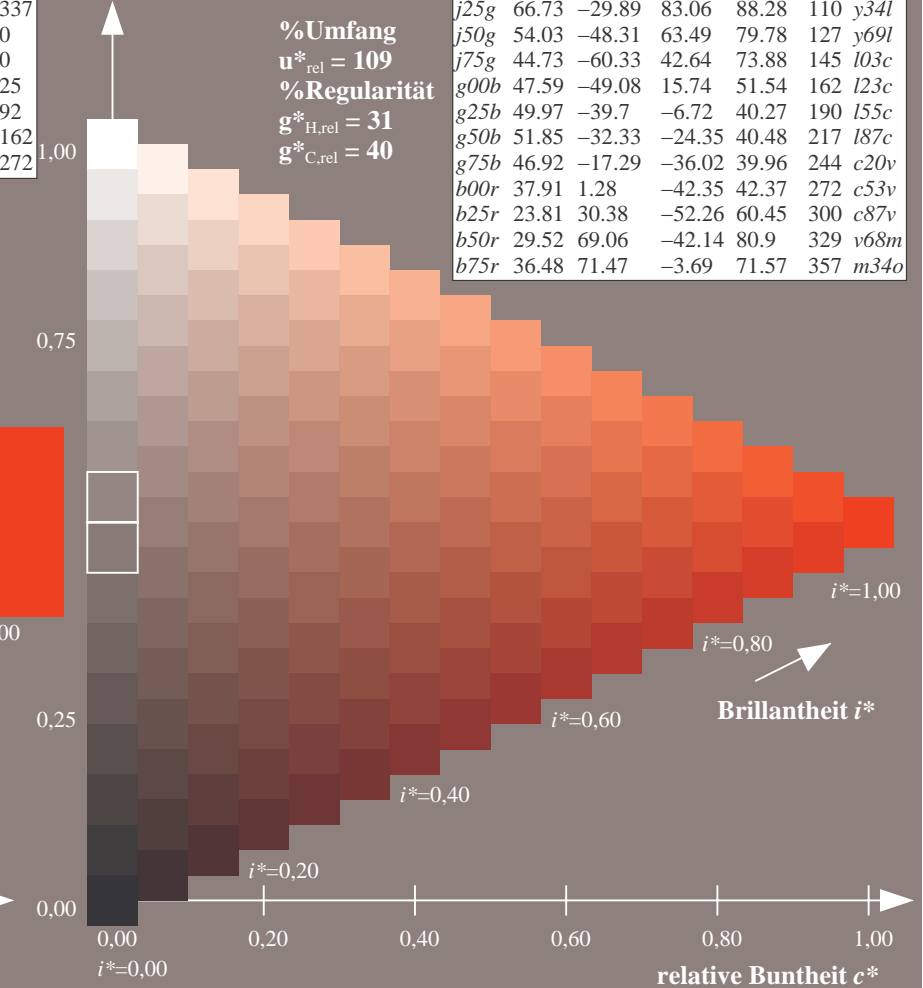
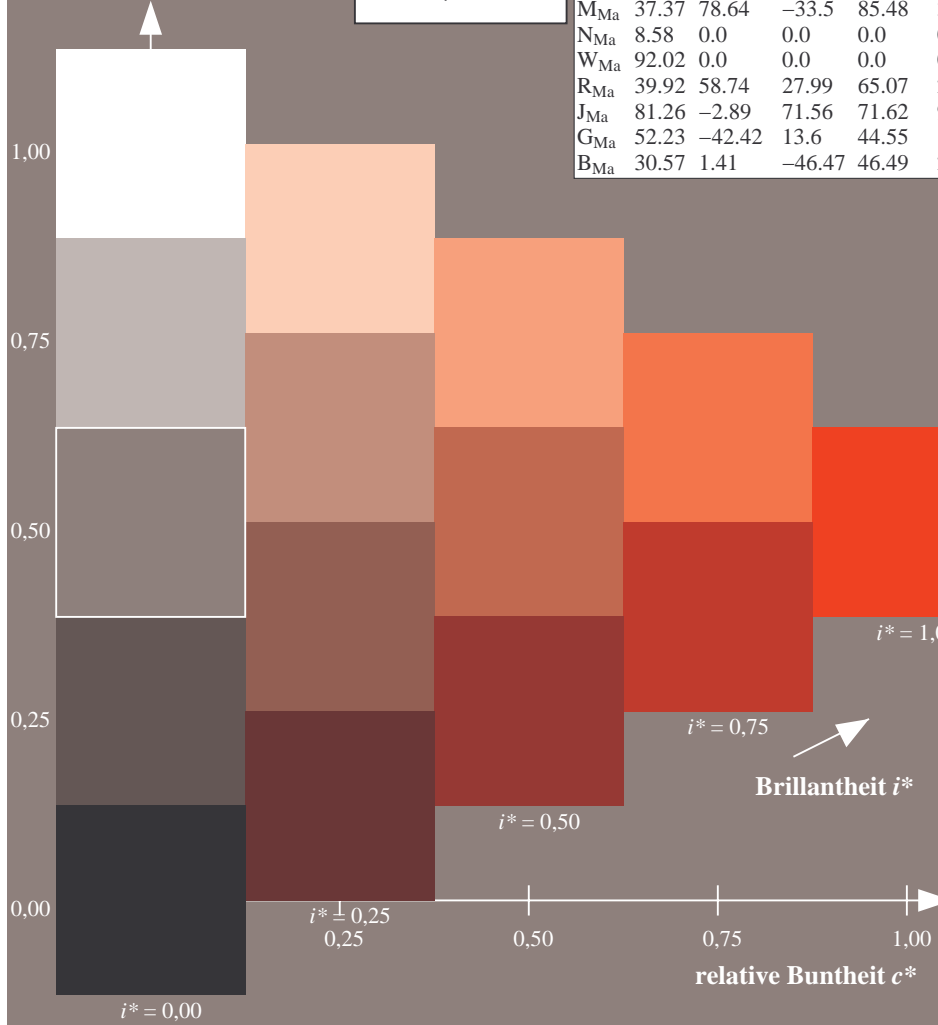
$lab^*rgb^*_{Ma}$: 1.0 0.25 0.0

$lab^*olv^*_{Ma}$: 1.0 0.11 0.0

Dreiecks-Helligkeit t^*

FRS09_92a; adaptierte CIELAB-Daten

u^*_e	$L^*=L^*_a$	a^*_a	b^*_a	$C^*_{ab,a}$	$h^*_{ab,a}$	u^*_d
r00j	35.47	63.32	30.17	70.15	25	m81o
r25j	39.12	54.56	49.45	73.64	42	o10y
r50j	50.64	39.15	64.89	75.79	59	o40y
r75j	64.01	21.26	82.83	85.52	76	o69y
j00g	83.18	-4.38	108.53	108.62	92	o98y
j25g	66.73	-29.89	83.06	88.28	110	y34l
j50g	54.03	-48.31	63.49	79.78	127	y69l
j75g	44.73	-60.33	42.64	73.88	145	l03c
g00b	47.59	-49.08	15.74	51.54	162	l23c
g25b	49.97	-39.7	-6.72	40.27	190	l55c
g50b	51.85	-32.33	-24.35	40.48	217	l87c
g75b	46.92	-17.29	-36.02	39.96	244	c20v
b00r	37.91	1.28	-42.35	42.37	272	c53v
b25r	23.81	30.38	-52.26	60.45	300	c87v
b50r	29.52	69.06	-42.14	80.9	329	v68m
b75r	36.48	71.47	-3.69	71.57	357	m34o



%Umfang
 $u^*_{rel} = 109$
 %Regularität
 $g^*_{H,rel} = 31$
 $g^*_{C,rel} = 40$

Ein und Ausgabe: Farbmatisches Drucker-Reflektiv-System FRS09_92a für relativen CIELAB-Bunton $h^* = lab^*h^* = h_{ab}/360 = 0.164$

$u^*_e = r50j$

Daten für jede Farbe:

lab^*tch^* und lab^*icu^*

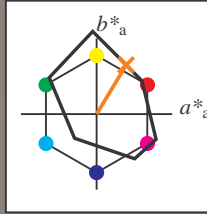
Buntontexte:

$u^*_e = r50j$ $u^*_d = o40y$

Kontrastreduzierungsfaktor:

$c_R = 1.0$

Dreiecks-Helligkeit t^*



FRS09_92a; adaptierte CIELAB-Daten						
u^*_e	$L^*=L^*_a$	a^*_a	b^*_a	$C^*_{ab,a}$	$h^*_{ab,a}$	
O _{Ma}	35.06	60.0	44.0	74.4	36	
Y _{Ma}	83.77	-5.17	109.32	109.44	93	
L _{Ma}	44.13	-62.67	48.24	79.09	142	
C _{Ma}	52.66	-29.14	-31.99	43.27	228	
V _{Ma}	14.15	50.3	-59.04	77.57	310	
M _{Ma}	37.37	78.64	-33.5	85.48	337	
N _{Ma}	8.58	0.0	0.0	0.0	0	
W _{Ma}	92.02	0.0	0.0	0.0	0	
R _{Ma}	39.92	58.74	27.99	65.07	25	
J _{Ma}	81.26	-2.89	71.56	71.62	92	
G _{Ma}	52.23	-42.42	13.6	44.55	162	
B _{Ma}	30.57	1.41	-46.47	46.49	272	

Daten für Maximalfarbe (Ma):

$LAB^*LAB^*_{Ma}$: 51 39 65

$LAB^*LCH^*_{Ma}$: 51 76 58

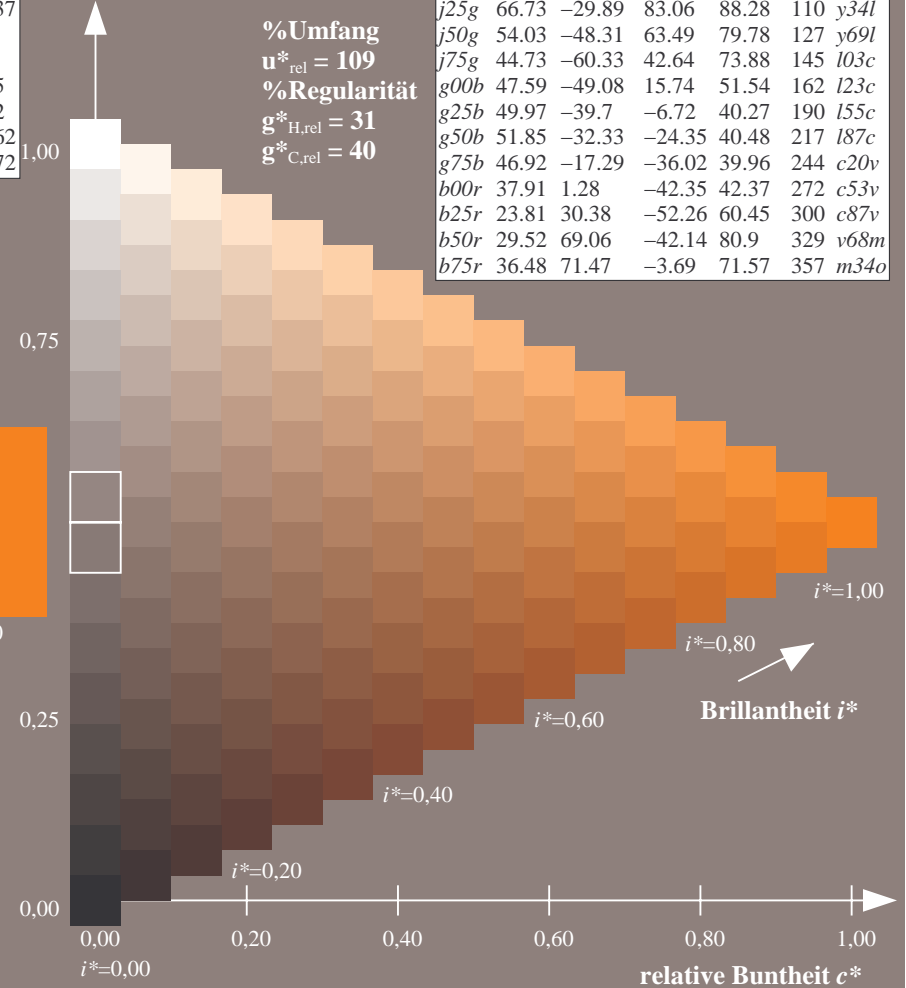
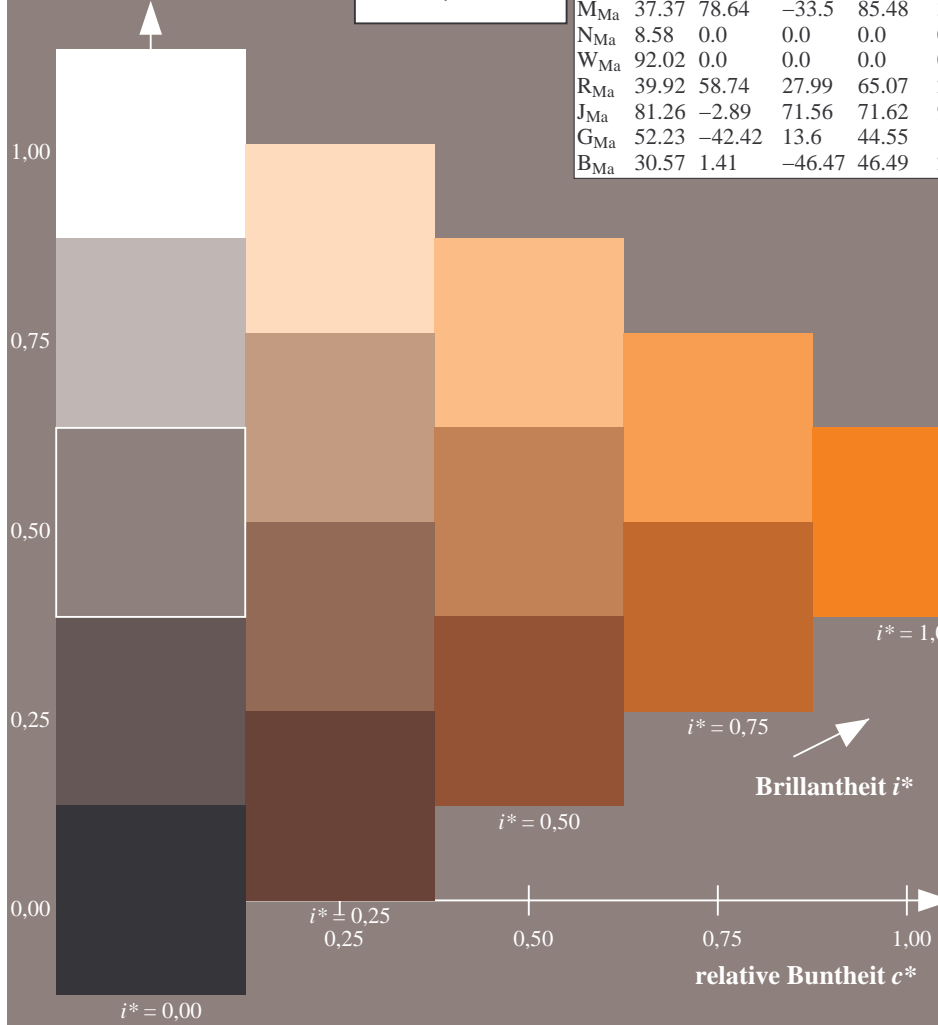
$lab^*rgb^*_{Ma}$: 1.0 0.5 0.0

$lab^*olv^*_{Ma}$: 1.0 0.4 0.0

Dreiecks-Helligkeit t^*

FRS09_92a; adaptierte CIELAB-Daten

u^*_e	$L^*=L^*_a$	a^*_a	b^*_a	$C^*_{ab,a}$	$h^*_{ab,a}$	u^*_d
r00j	35.47	63.32	30.17	70.15	25	m81o
r25j	39.12	54.56	49.45	73.64	42	o10y
r50j	50.64	39.15	64.89	75.79	59	o40y
r75j	64.01	21.26	82.83	85.52	76	o69y
j00g	83.18	-4.38	108.53	108.62	92	o98y
j25g	66.73	-29.89	83.06	88.28	110	y34l
j50g	54.03	-48.31	63.49	79.78	127	y69l
j75g	44.73	-60.33	42.64	73.88	145	l03c
g00b	47.59	-49.08	15.74	51.54	162	l23c
g25b	49.97	-39.7	-6.72	40.27	190	l55c
g50b	51.85	-32.33	-24.35	40.48	217	l87c
g75b	46.92	-17.29	-36.02	39.96	244	c20v
b00r	37.91	1.28	-42.35	42.37	272	c53v
b25r	23.81	30.38	-52.26	60.45	300	c87v
b50r	29.52	69.06	-42.14	80.9	329	v68m
b75r	36.48	71.47	-3.69	71.57	357	m34o



Ein und Ausgabe: Farbmatisches Drucker-Reflektiv-System FRS09_92a für relativen CIELAB-Bunton $h^* = lab^*h^* = h_{ab}/360 = 0.21$

$u^*_e = r75j$

Daten für jede Farbe:

lab^*tch^* und lab^*icu^*

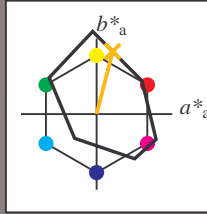
Buntontexte:

$u^*_e = r75j$ $u^*_d = o69y$

Kontrastreduzierungsfaktor:

$c_R = 1.0$

Dreiecks-Helligkeit t^*



FRS09_92a; adaptierte CIELAB-Daten						
u^*_e	$L^*=L^*_a$	a^*_a	b^*_a	$C^*_{ab,a}$	$h^*_{ab,a}$	
O _{Ma}	35.06	60.0	44.0	74.4	36	
Y _{Ma}	83.77	-5.17	109.32	109.44	93	
L _{Ma}	44.13	-62.67	48.24	79.09	142	
C _{Ma}	52.66	-29.14	-31.99	43.27	228	
V _{Ma}	14.15	50.3	-59.04	77.57	310	
M _{Ma}	37.37	78.64	-33.5	85.48	337	
N _{Ma}	8.58	0.0	0.0	0.0	0	
W _{Ma}	92.02	0.0	0.0	0.0	0	
R _{Ma}	39.92	58.74	27.99	65.07	25	
J _{Ma}	81.26	-2.89	71.56	71.62	92	
G _{Ma}	52.23	-42.42	13.6	44.55	162	
B _{Ma}	30.57	1.41	-46.47	46.49	272	

Daten für Maximalfarbe (Ma):

$LAB^*LAB^*_{Ma}$: 64 21 83

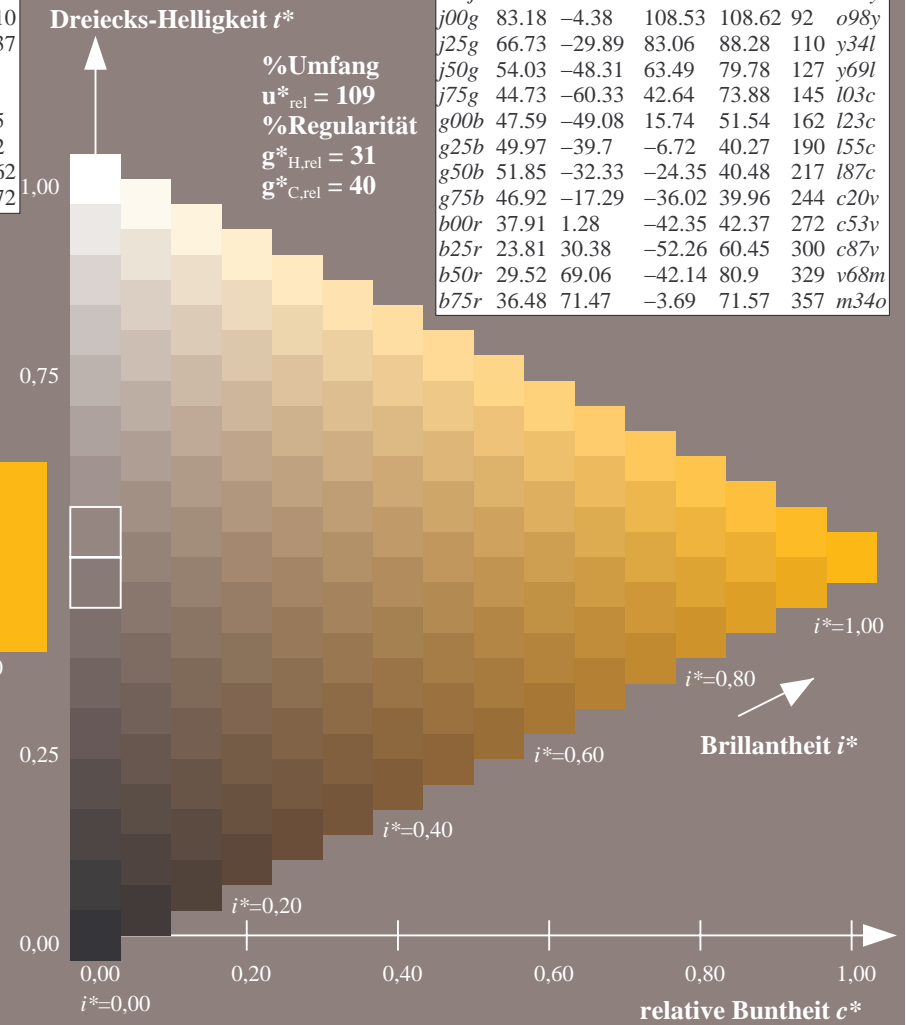
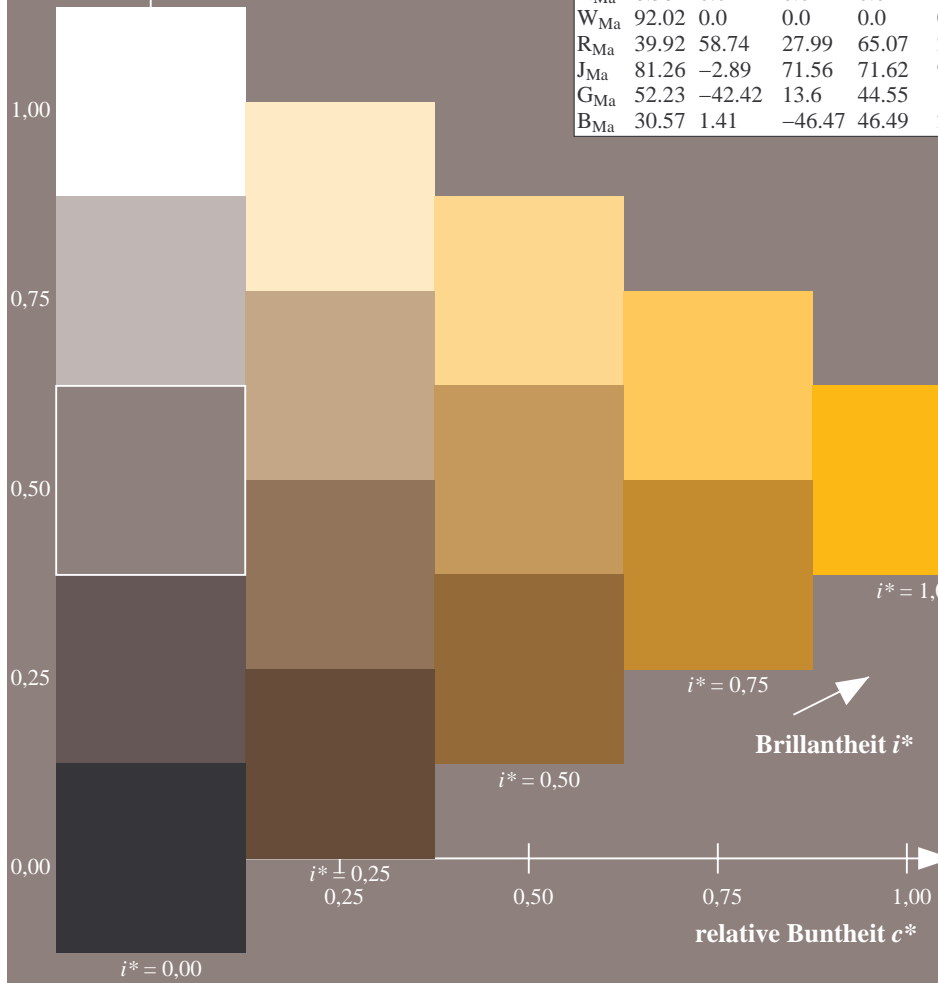
$LAB^*LCH^*_{Ma}$: 64 86 75

$lab^*rgb^*_{Ma}$: 1.0 0.75 0.0

$lab^*olv^*_{Ma}$: 1.0 0.7 0.0

FRS09_92a; adaptierte CIELAB-Daten

u^*_e	$L^*=L^*_a$	a^*_a	b^*_a	$C^*_{ab,a}$	$h^*_{ab,a}$	u^*_d
r00j	35.47	63.32	30.17	70.15	25	m81o
r25j	39.12	54.56	49.45	73.64	42	o10y
r50j	50.64	39.15	64.89	75.79	59	o40y
r75j	64.01	21.26	82.83	85.52	76	o69y
j00g	83.18	-4.38	108.53	108.62	92	o98y
j25g	66.73	-29.89	83.06	88.28	110	y34l
j50g	54.03	-48.31	63.49	79.78	127	y69l
j75g	44.73	-60.33	42.64	73.88	145	l03c
g00b	47.59	-49.08	15.74	51.54	162	l23c
g25b	49.97	-39.7	-6.72	40.27	190	l55c
g50b	51.85	-32.33	-24.35	40.48	217	l87c
g75b	46.92	-17.29	-36.02	39.96	244	c20v
b00r	37.91	1.28	-42.35	42.37	272	c53v
b25r	23.81	30.38	-52.26	60.45	300	c87v
b50r	29.52	69.06	-42.14	80.9	329	v68m
b75r	36.48	71.47	-3.69	71.57	357	m34o



Ein und Ausgabe: Farbmatisches Drucker-Reflektiv-System FRS09_92a für relativen CIELAB-Bunton $h^* = lab^*h^* = h_{ab}/360 = 0.256$

$u^*_e = j00g$

Daten für jede Farbe:

lab^*tch^* und lab^*icu^*

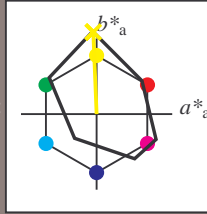
Buntontexte:

$u^*_e = j00g$ $u^*_d = o98y$

Kontrastreduzierungsfaktor:

$c_R = 1.0$

Dreiecks-Helligkeit t^*



FRS09_92a; adaptierte CIELAB-Daten						
u^*_e	$L^*=L^*_a$	a^*_a	b^*_a	$C^*_{ab,a}$	$h^*_{ab,a}$	
O _{Ma}	35.06	60.0	44.0	74.4	36	
Y _{Ma}	83.77	-5.17	109.32	109.44	93	
L _{Ma}	44.13	-62.67	48.24	79.09	142	
C _{Ma}	52.66	-29.14	-31.99	43.27	228	
V _{Ma}	14.15	50.3	-59.04	77.57	310	
M _{Ma}	37.37	78.64	-33.5	85.48	337	
N _{Ma}	8.58	0.0	0.0	0.0	0	
W _{Ma}	92.02	0.0	0.0	0.0	0	
R _{Ma}	39.92	58.74	27.99	65.07	25	
J _{Ma}	81.26	-2.89	71.56	71.62	92	
G _{Ma}	52.23	-42.42	13.6	44.55	162	
B _{Ma}	30.57	1.41	-46.47	46.49	272	

Daten für Maximalfarbe (Ma):

$LAB^*LAB^*_{Ma}$: 83 -4 109

$LAB^*LCH^*_{Ma}$: 83 109 92

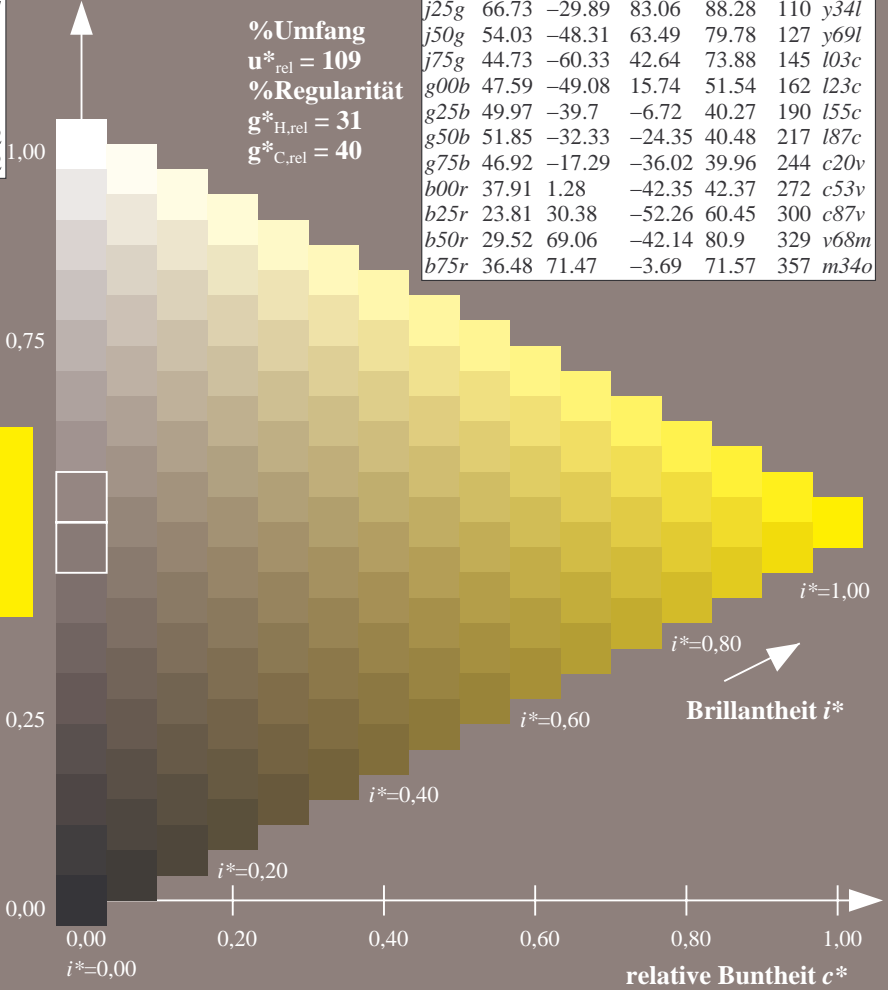
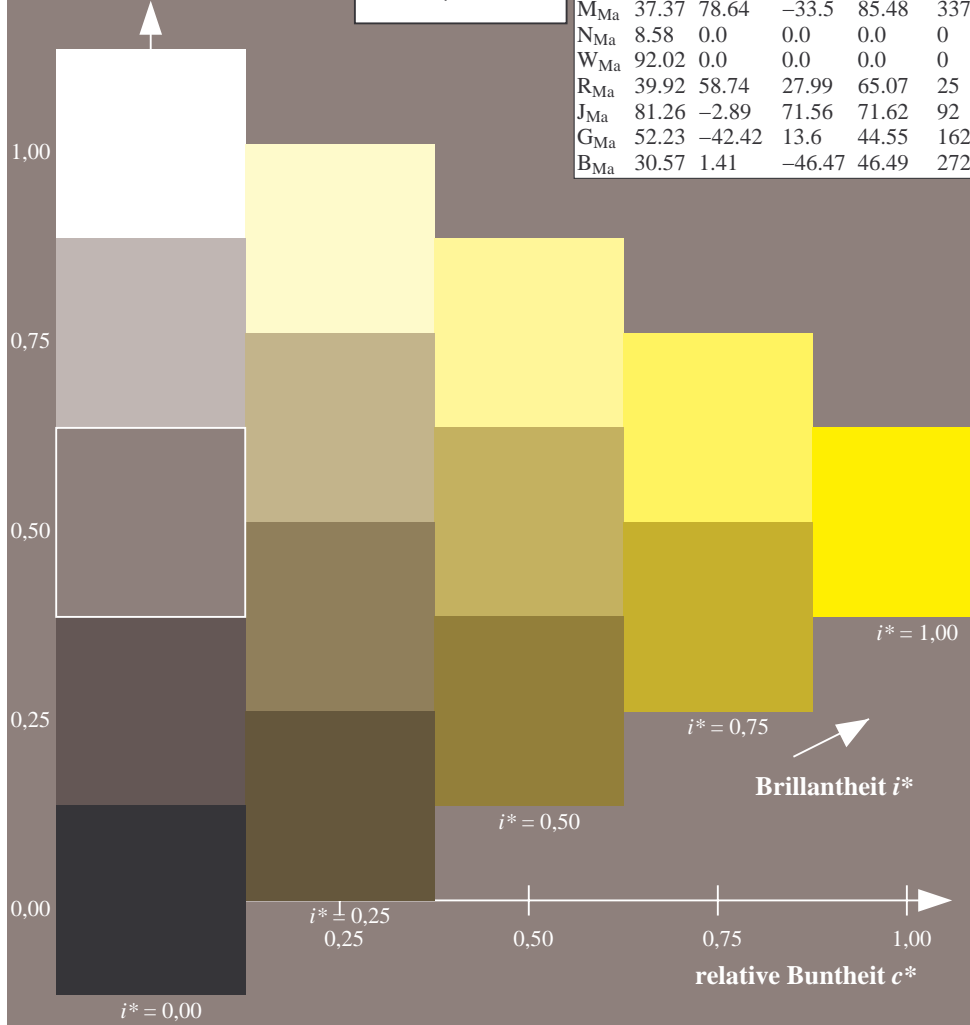
$lab^*rgb^*_{Ma}$: 1.0 1.0 0.0

$lab^*olv^*_{Ma}$: 1.0 0.99 0.0

Dreiecks-Helligkeit t^*

FRS09_92a; adaptierte CIELAB-Daten

u^*_e	$L^*=L^*_a$	a^*_a	b^*_a	$C^*_{ab,a}$	$h^*_{ab,a}$	u^*_d
r00j	35.47	63.32	30.17	70.15	25	m81o
r25j	39.12	54.56	49.45	73.64	42	o10y
r50j	50.64	39.15	64.89	75.79	59	o40y
r75j	64.01	21.26	82.83	85.52	76	o69y
j00g	83.18	-4.38	108.53	108.62	92	o98y
j25g	66.73	-29.89	83.06	88.28	110	y34l
j50g	54.03	-48.31	63.49	79.78	127	y69l
j75g	44.73	-60.33	42.64	73.88	145	l03c
g00b	47.59	-49.08	15.74	51.54	162	l23c
g25b	49.97	-39.7	-6.72	40.27	190	l55c
g50b	51.85	-32.33	-24.35	40.48	217	l87c
g75b	46.92	-17.29	-36.02	39.96	244	c20v
b00r	37.91	1.28	-42.35	42.37	272	c53v
b25r	23.81	30.38	-52.26	60.45	300	c87v
b50r	29.52	69.06	-42.14	80.9	329	v68m
b75r	36.48	71.47	-3.69	71.57	357	m34o



Ein und Ausgabe: Farbmatisches Drucker-Reflektiv-System FRS09_92a für relativen CIELAB-Bunton $h^* = lab^*h^* = h_{ab}/360 = 0.305$

$u^*_e = j25g$

Daten für jede Farbe:

lab^*tch^* und lab^*icu^*

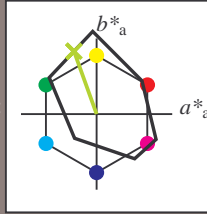
Buntontexte:

$u^*_e = j25g$ $u^*_d = y34l$

Kontrastreduzierungsfaktor:

$c_R = 1.0$

Dreiecks-Helligkeit t^*



FRS09_92a; adaptierte CIELAB-Daten						
u^*_e	$L^*=L^*_a$	a^*_a	b^*_a	$C^*_{ab,a}$	$h^*_{ab,a}$	
O _{Ma}	35.06	60.0	44.0	74.4	36	
Y _{Ma}	83.77	-5.17	109.32	109.44	93	
L _{Ma}	44.13	-62.67	48.24	79.09	142	
C _{Ma}	52.66	-29.14	-31.99	43.27	228	
V _{Ma}	14.15	50.3	-59.04	77.57	310	
M _{Ma}	37.37	78.64	-33.5	85.48	337	
N _{Ma}	8.58	0.0	0.0	0.0	0	
W _{Ma}	92.02	0.0	0.0	0.0	0	
R _{Ma}	39.92	58.74	27.99	65.07	25	
J _{Ma}	81.26	-2.89	71.56	71.62	92	
G _{Ma}	52.23	-42.42	13.6	44.55	162	
B _{Ma}	30.57	1.41	-46.47	46.49	272	

Daten für Maximalfarbe (Ma):

$LAB^*LAB^*_{Ma}: 67 -30 83$

$LAB^*LCH^*_{Ma}: 67 88 109$

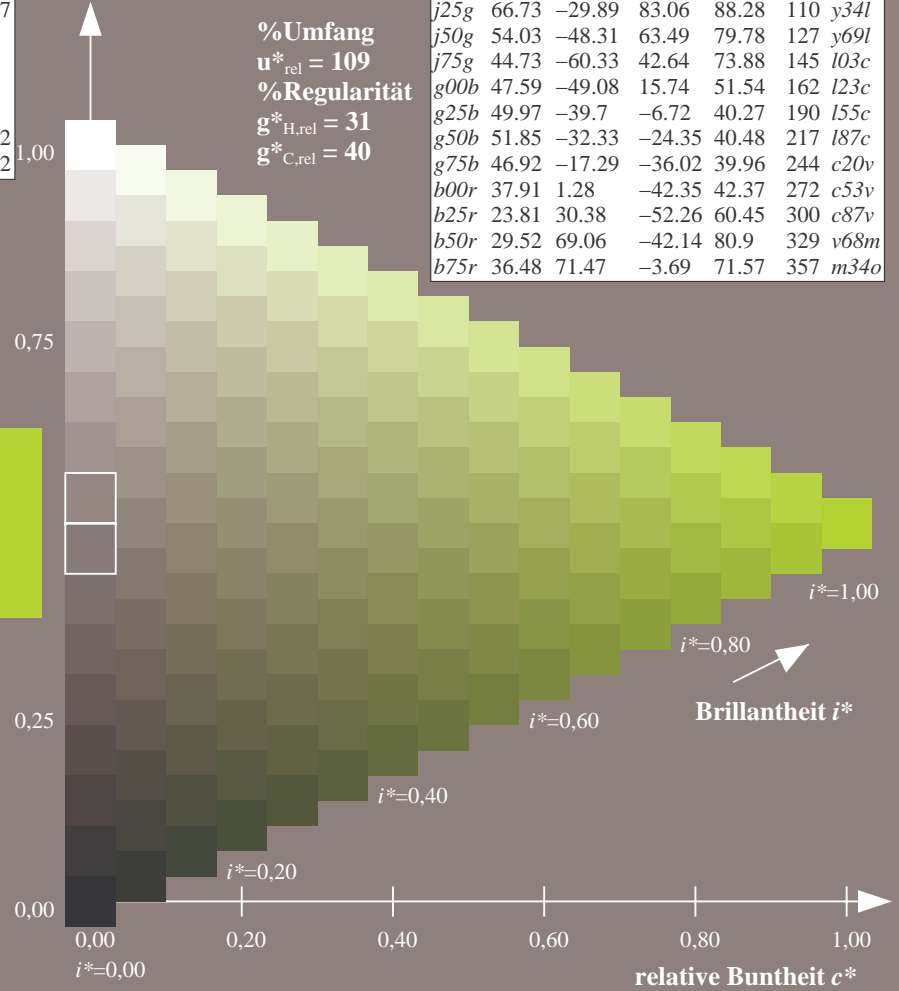
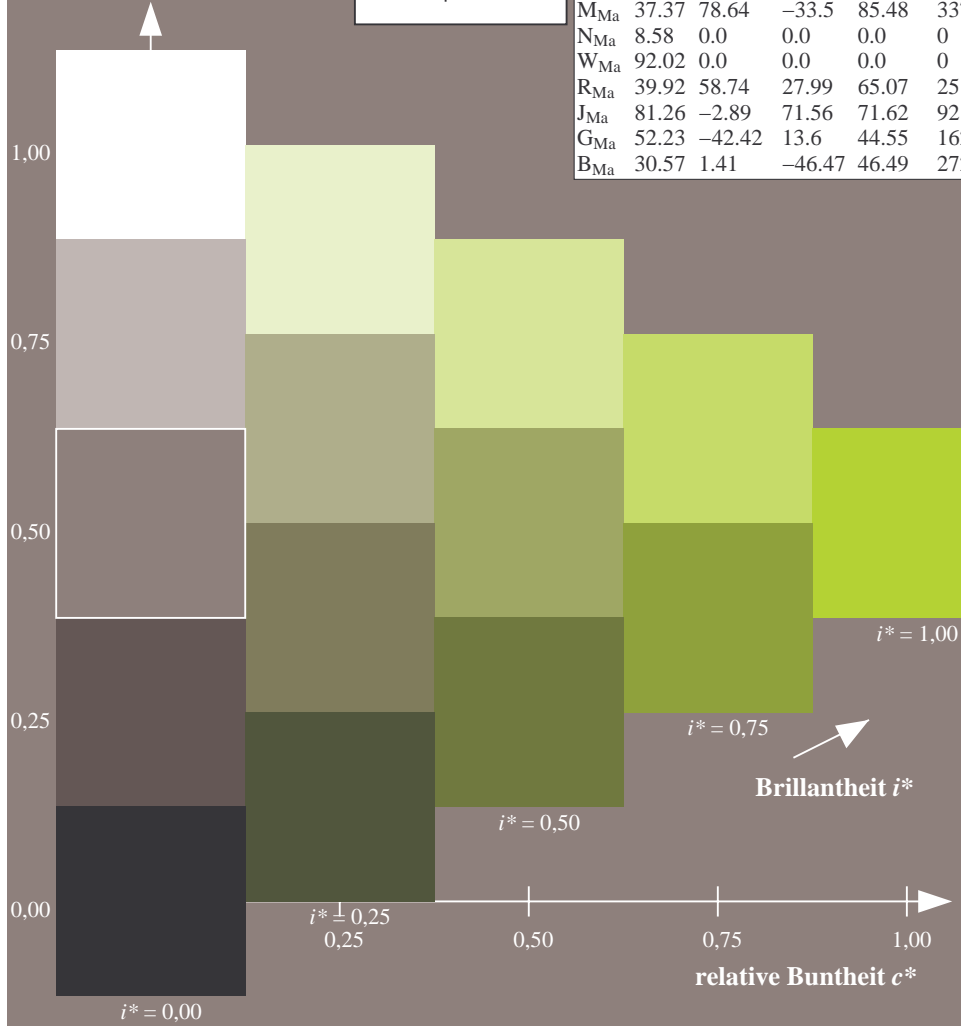
$lab^*rgb^*_{Ma}: 0.75 1.0 0.0$

$lab^*olv^*_{Ma}: 0.66 1.0 0.0$

Dreiecks-Helligkeit t^*

FRS09_92a; adaptierte CIELAB-Daten

u^*_e	$L^*=L^*_a$	a^*_a	b^*_a	$C^*_{ab,a}$	$h^*_{ab,a}$	u^*_d
r00j	35.47	63.32	30.17	70.15	25	m81o
r25j	39.12	54.56	49.45	73.64	42	o10y
r50j	50.64	39.15	64.89	75.79	59	o40y
r75j	64.01	21.26	82.83	85.52	76	o69y
j00g	83.18	-4.38	108.53	108.62	92	o98y
j25g	66.73	-29.89	83.06	88.28	110	y34l
j50g	54.03	-48.31	63.49	79.78	127	y69l
j75g	44.73	-60.33	42.64	73.88	145	l03c
g00b	47.59	-49.08	15.74	51.54	162	l23c
g25b	49.97	-39.7	-6.72	40.27	190	l55c
g50b	51.85	-32.33	-24.35	40.48	217	l87c
g75b	46.92	-17.29	-36.02	39.96	244	c20v
b00r	37.91	1.28	-42.35	42.37	272	c53v
b25r	23.81	30.38	-52.26	60.45	300	c87v
b50r	29.52	69.06	-42.14	80.9	329	v68m
b75r	36.48	71.47	-3.69	71.57	357	m34o



Ein und Ausgabe: Farbmatisches Drucker-Reflektiv-System FRS09_92a für relativen CIELAB-Bunton $h^* = lab^*h^* = h_{ab}/360 = 0.354$

$u^*_e = j50g$

Daten für jede Farbe:

lab^*tch^* und lab^*icu^*

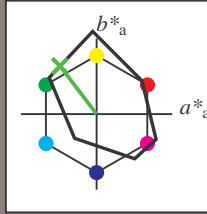
Buntontexte:

$u^*_e = j50g$ $u^*_d = y69l$

Kontrastreduzierungsfaktor:

$c_R = 1.0$

Dreiecks-Helligkeit t^*



FRS09_92a; adaptierte CIELAB-Daten						
u^*_e	$L^*=L^*_a$	a^*_a	b^*_a	$C^*_{ab,a}$	$h^*_{ab,a}$	
O _{Ma}	35.06	60.0	44.0	74.4	36	
Y _{Ma}	83.77	-5.17	109.32	109.44	93	
L _{Ma}	44.13	-62.67	48.24	79.09	142	
C _{Ma}	52.66	-29.14	-31.99	43.27	228	
V _{Ma}	14.15	50.3	-59.04	77.57	310	
M _{Ma}	37.37	78.64	-33.5	85.48	337	
N _{Ma}	8.58	0.0	0.0	0.0	0	
W _{Ma}	92.02	0.0	0.0	0.0	0	
R _{Ma}	39.92	58.74	27.99	65.07	25	
J _{Ma}	81.26	-2.89	71.56	71.62	92	
G _{Ma}	52.23	-42.42	13.6	44.55	162	
B _{Ma}	30.57	1.41	-46.47	46.49	272	

Daten für Maximalfarbe (Ma):

$LAB^*LAB^*_{Ma}$: 54 -48 63

$LAB^*LCH^*_{Ma}$: 54 80 127

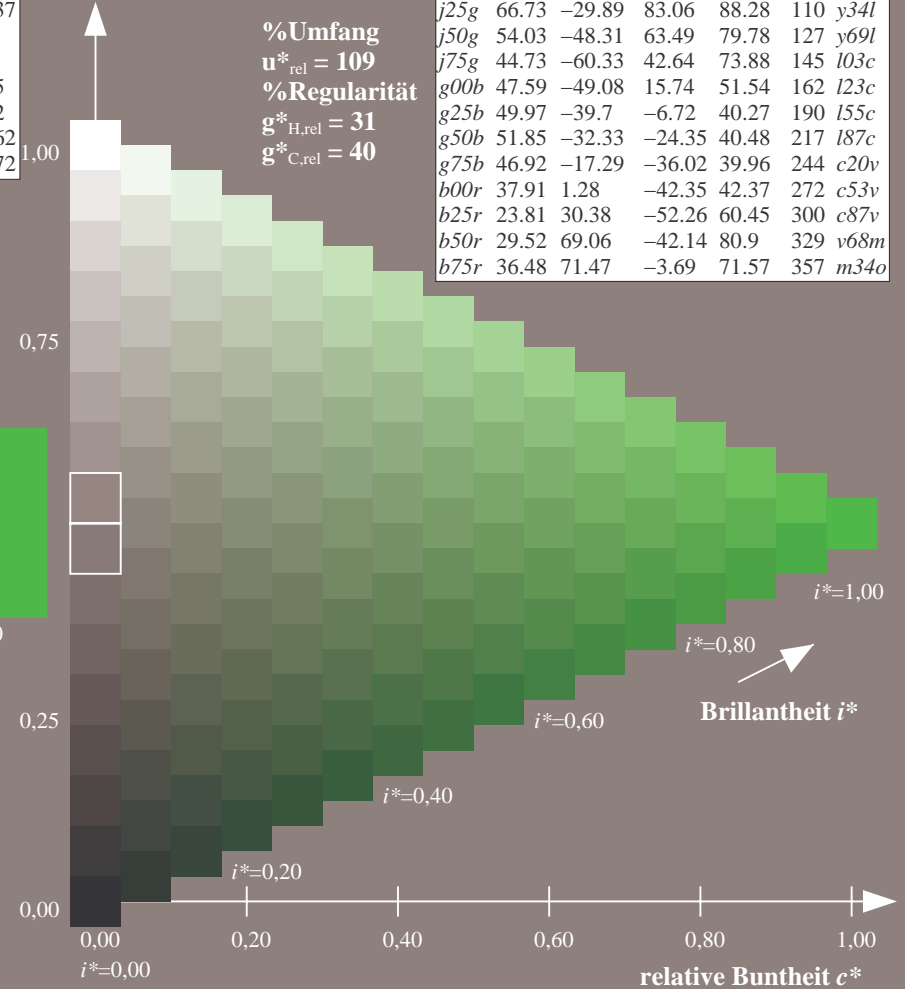
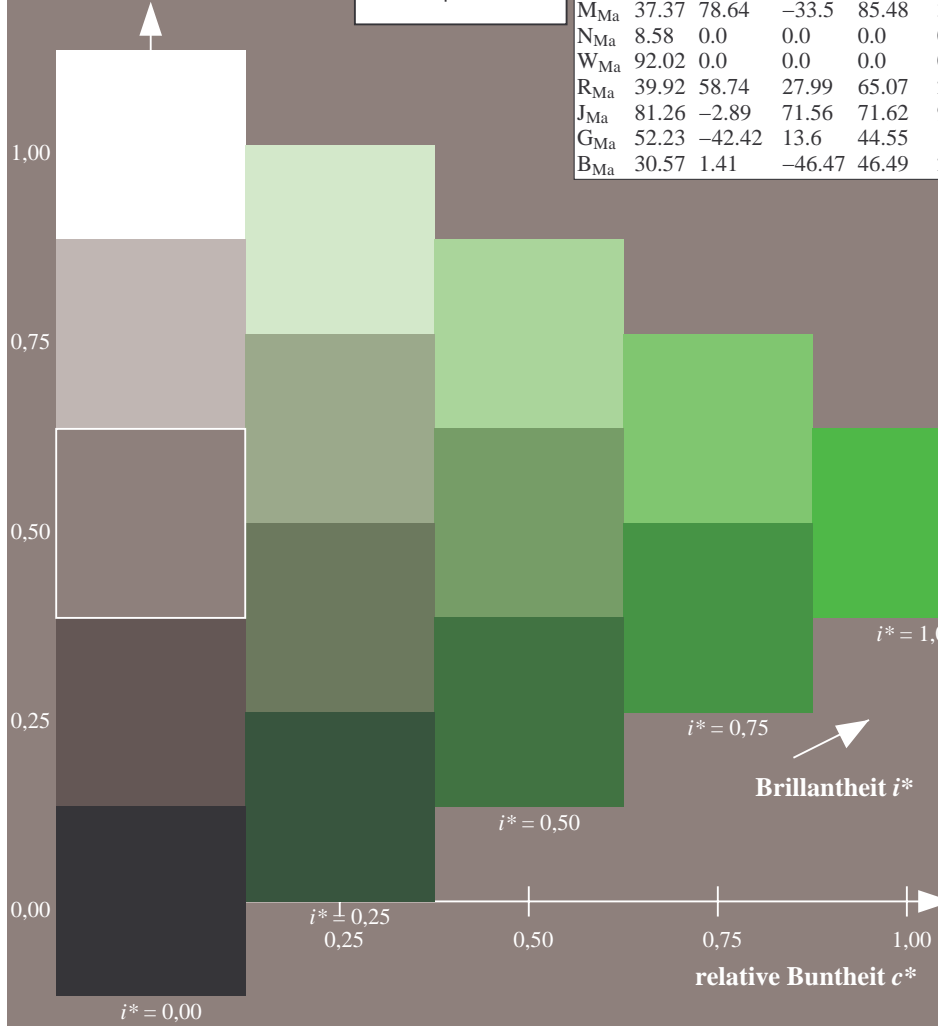
$lab^*rgb^*_{Ma}$: 0.5 1.0 0.0

$lab^*olv^*_{Ma}$: 0.3 1.0 0.0

Dreiecks-Helligkeit t^*

FRS09_92a; adaptierte CIELAB-Daten

u^*_e	$L^*=L^*_a$	a^*_a	b^*_a	$C^*_{ab,a}$	$h^*_{ab,a}$	u^*_d
r00j	35.47	63.32	30.17	70.15	25	m81o
r25j	39.12	54.56	49.45	73.64	42	o10y
r50j	50.64	39.15	64.89	75.79	59	o40y
r75j	64.01	21.26	82.83	85.52	76	o69y
j00g	83.18	-4.38	108.53	108.62	92	o98y
j25g	66.73	-29.89	83.06	88.28	110	y34l
j50g	54.03	-48.31	63.49	79.78	127	y69l
j75g	44.73	-60.33	42.64	73.88	145	l03c
g00b	47.59	-49.08	15.74	51.54	162	l23c
g25b	49.97	-39.7	-6.72	40.27	190	l55c
g50b	51.85	-32.33	-24.35	40.48	217	l87c
g75b	46.92	-17.29	-36.02	39.96	244	c20v
b00r	37.91	1.28	-42.35	42.37	272	c53v
b25r	23.81	30.38	-52.26	60.45	300	c87v
b50r	29.52	69.06	-42.14	80.9	329	v68m
b75r	36.48	71.47	-3.69	71.57	357	m34o



Ein und Ausgabe: Farbmatisches Drucker-Reflektiv-System FRS09_92a für relativen CIELAB-Bunton $h^* = lab^*h^* = h_{ab}/360 = 0.402$

$u^*_e = j75g$

Daten für jede Farbe:

lab^*tch^* und lab^*icu^*

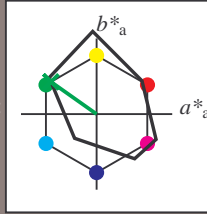
Buntontexte:

$u^*_e = j75g$ $u^*_d = l03c$

Kontrastreduzierungsfaktor:

$c_R = 1.0$

Dreiecks-Helligkeit t^*



FRS09_92a; adaptierte CIELAB-Daten						
u^*_e	$L^*=L^*_a$	a^*_a	b^*_a	$C^*_{ab,a}$	$h^*_{ab,a}$	
O _{Ma}	35.06	60.0	44.0	74.4	36	
Y _{Ma}	83.77	-5.17	109.32	109.44	93	
L _{Ma}	44.13	-62.67	48.24	79.09	142	
C _{Ma}	52.66	-29.14	-31.99	43.27	228	
V _{Ma}	14.15	50.3	-59.04	77.57	310	
M _{Ma}	37.37	78.64	-33.5	85.48	337	
N _{Ma}	8.58	0.0	0.0	0.0	0	
W _{Ma}	92.02	0.0	0.0	0.0	0	
R _{Ma}	39.92	58.74	27.99	65.07	25	
J _{Ma}	81.26	-2.89	71.56	71.62	92	
G _{Ma}	52.23	-42.42	13.6	44.55	162	
B _{Ma}	30.57	1.41	-46.47	46.49	272	

Daten für Maximalfarbe (Ma):

$LAB^*LAB^*_{Ma}$: 45 -60 43

$LAB^*LCH^*_{Ma}$: 45 74 144

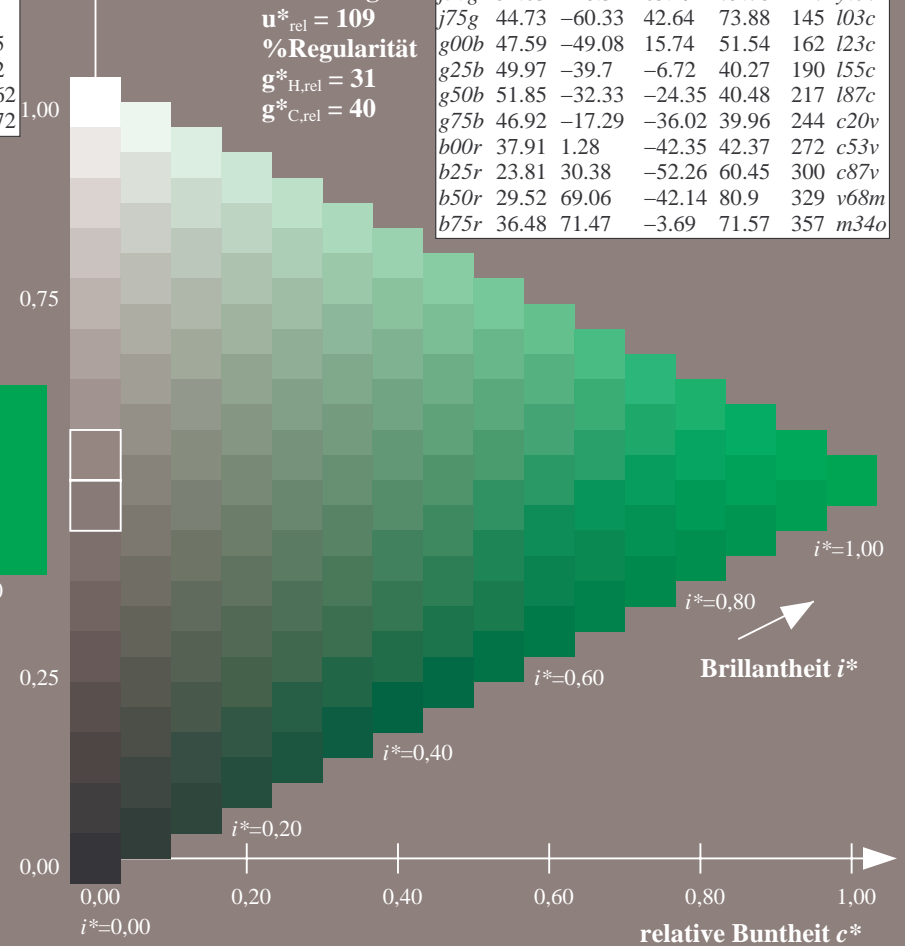
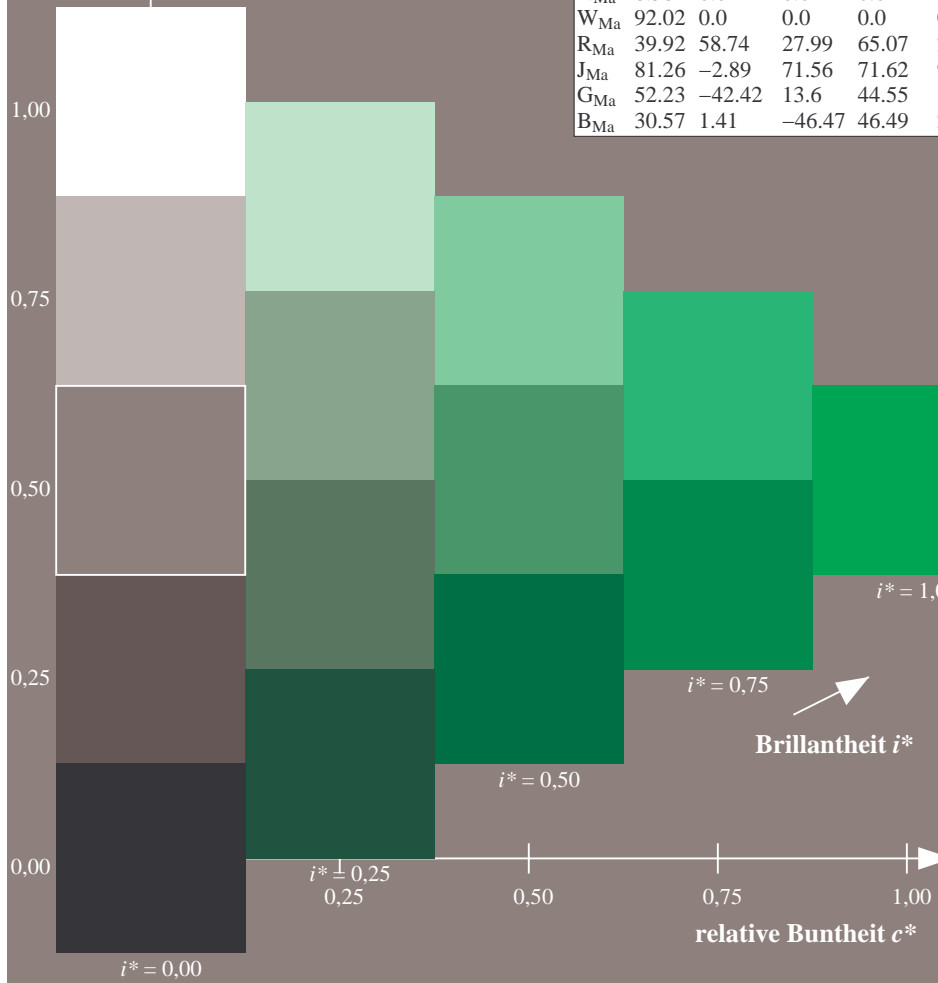
$lab^*rgb^*_{Ma}$: 0.25 1.0 0.0

$lab^*olv^*_{Ma}$: 0.0 1.0 0.03

Dreiecks-Helligkeit t^*

FRS09_92a; adaptierte CIELAB-Daten

u^*_e	$L^*=L^*_a$	a^*_a	b^*_a	$C^*_{ab,a}$	$h^*_{ab,a}$	u^*_d
r00j	35.47	63.32	30.17	70.15	25	m81o
r25j	39.12	54.56	49.45	73.64	42	o10y
r50j	50.64	39.15	64.89	75.79	59	o40y
r75j	64.01	21.26	82.83	85.52	76	o69y
j00g	83.18	-4.38	108.53	108.62	92	o98y
j25g	66.73	-29.89	83.06	88.28	110	y34l
j50g	54.03	-48.31	63.49	79.78	127	y69l
j75g	44.73	-60.33	42.64	73.88	145	l03c
g00b	47.59	-49.08	15.74	51.54	162	l23c
g25b	49.97	-39.7	-6.72	40.27	190	l55c
g50b	51.85	-32.33	-24.35	40.48	217	l87c
g75b	46.92	-17.29	-36.02	39.96	244	c20v
b00r	37.91	1.28	-42.35	42.37	272	c53v
b25r	23.81	30.38	-52.26	60.45	300	c87v
b50r	29.52	69.06	-42.14	80.9	329	v68m
b75r	36.48	71.47	-3.69	71.57	357	m34o



Ein und Ausgabe: Farbmatisches Drucker-Reflektiv-System FRS09_92a für relativen CIELAB-Bunton $h^* = lab^*h^* = h_{ab}/360 = 0.451$

$u^*_e = g00b$

Daten für jede Farbe:

lab^*tch^* und lab^*icu^*

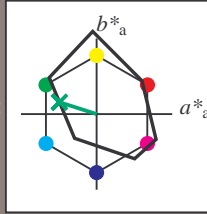
Buntontexte:

$u^*_e = g00b$ $u^*_d = l23c$

Kontrastreduzierungsfaktor:

$c_R = 1.0$

Dreiecks-Helligkeit t^*



FRS09_92a; adaptierte CIELAB-Daten						
u^*_e	$L^*=L^*_a$	a^*_a	b^*_a	$C^*_{ab,a}$	$h^*_{ab,a}$	
O _{Ma}	35.06	60.0	44.0	74.4	36	
Y _{Ma}	83.77	-5.17	109.32	109.44	93	
L _{Ma}	44.13	-62.67	48.24	79.09	142	
C _{Ma}	52.66	-29.14	-31.99	43.27	228	
V _{Ma}	14.15	50.3	-59.04	77.57	310	
M _{Ma}	37.37	78.64	-33.5	85.48	337	
N _{Ma}	8.58	0.0	0.0	0.0	0	
W _{Ma}	92.02	0.0	0.0	0.0	0	
R _{Ma}	39.92	58.74	27.99	65.07	25	
J _{Ma}	81.26	-2.89	71.56	71.62	92	
G _{Ma}	52.23	-42.42	13.6	44.55	162	
B _{Ma}	30.57	1.41	-46.47	46.49	272	

Daten für Maximalfarbe (Ma):

$LAB^*LAB^*_{Ma}$: 48 -49 16

$LAB^*LCH^*_{Ma}$: 48 52 162

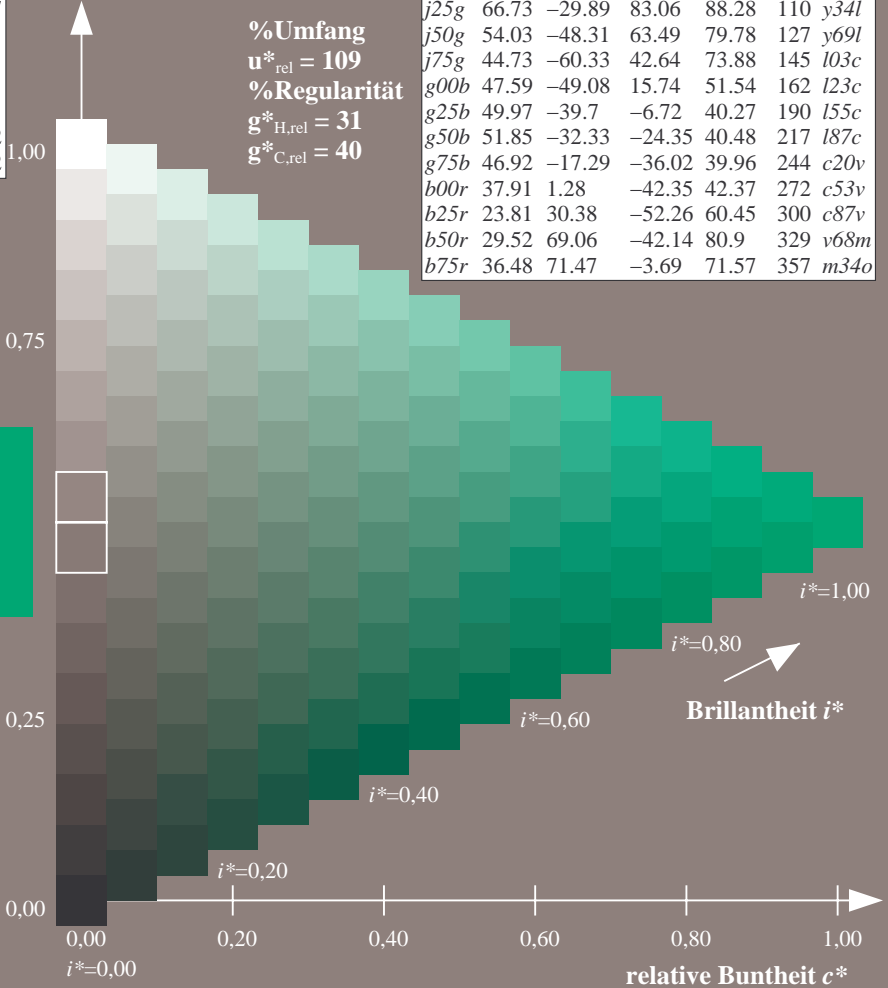
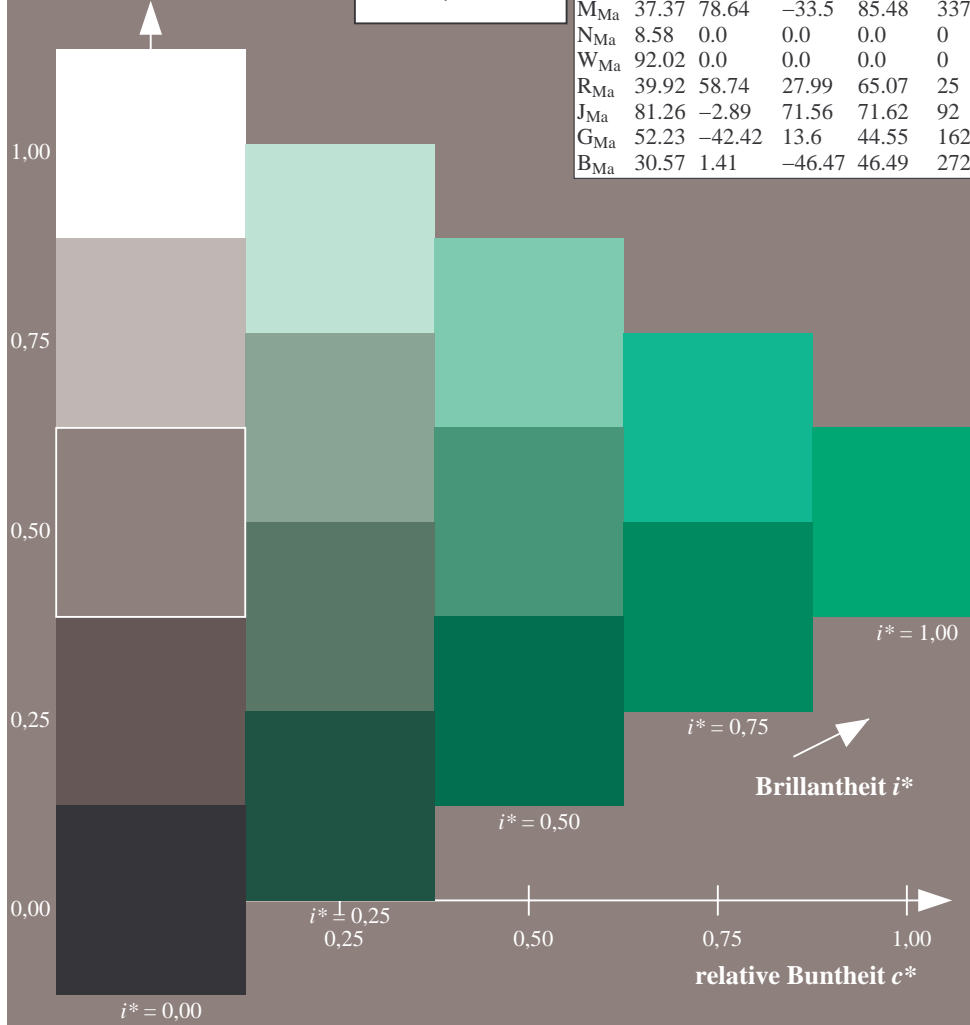
$lab^*rgb^*_{Ma}$: 0.0 1.0 0.0

$lab^*olv^*_{Ma}$: 0.0 1.0 0.23

Dreiecks-Helligkeit t^*

FRS09_92a; adaptierte CIELAB-Daten

u^*_e	$L^*=L^*_a$	a^*_a	b^*_a	$C^*_{ab,a}$	$h^*_{ab,a}$	u^*_d
r00j	35.47	63.32	30.17	70.15	25	m81o
r25j	39.12	54.56	49.45	73.64	42	o10y
r50j	50.64	39.15	64.89	75.79	59	o40y
r75j	64.01	21.26	82.83	85.52	76	o69y
j00g	83.18	-4.38	108.53	108.62	92	o98y
j25g	66.73	-29.89	83.06	88.28	110	y34l
j50g	54.03	-48.31	63.49	79.78	127	y69l
j75g	44.73	-60.33	42.64	73.88	145	l03c
g00b	47.59	-49.08	15.74	51.54	162	l23c
g25b	49.97	-39.7	-6.72	40.27	190	l55c
g50b	51.85	-32.33	-24.35	40.48	217	l87c
g75b	46.92	-17.29	-36.02	39.96	244	c20v
b00r	37.91	1.28	-42.35	42.37	272	c53v
b25r	23.81	30.38	-52.26	60.45	300	c87v
b50r	29.52	69.06	-42.14	80.9	329	v68m
b75r	36.48	71.47	-3.69	71.57	357	m34o



Ein und Ausgabe: Farbmatisches Drucker-Reflektiv-System FRS09_92a für relativen CIELAB-Bunton $h^* = lab^*h^* = h_{ab}/360 = 0.527$

$u^*_e = g25b$

Daten für jede Farbe:

lab^*tch^* und lab^*icu^*

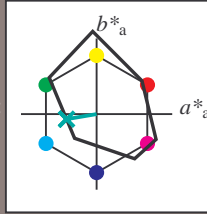
Buntontexte:

$u^*_e = g25b$ $u^*_d = l55c$

Kontrastreduzierungsfaktor:

$c_R = 1.0$

Dreiecks-Helligkeit t^*



FRS09_92a; adaptierte CIELAB-Daten

u^*_e	$L^*=L^*_a$	a^*_a	b^*_a	$C^*_{ab,a}$	$h^*_{ab,a}$
O _{Ma}	35.06	60.0	44.0	74.4	36
Y _{Ma}	83.77	-5.17	109.32	109.44	93
L _{Ma}	44.13	-62.67	48.24	79.09	142
C _{Ma}	52.66	-29.14	-31.99	43.27	228
V _{Ma}	14.15	50.3	-59.04	77.57	310
M _{Ma}	37.37	78.64	-33.5	85.48	337
N _{Ma}	8.58	0.0	0.0	0.0	0
W _{Ma}	92.02	0.0	0.0	0.0	0
R _{Ma}	39.92	58.74	27.99	65.07	25
J _{Ma}	81.26	-2.89	71.56	71.62	92
G _{Ma}	52.23	-42.42	13.6	44.55	162
B _{Ma}	30.57	1.41	-46.47	46.49	272

Daten für Maximalfarbe (Ma):

$LAB^*LAB^*_{Ma}: 50 -40 -7$

$LAB^*LCH^*_{Ma}: 50 40 189$

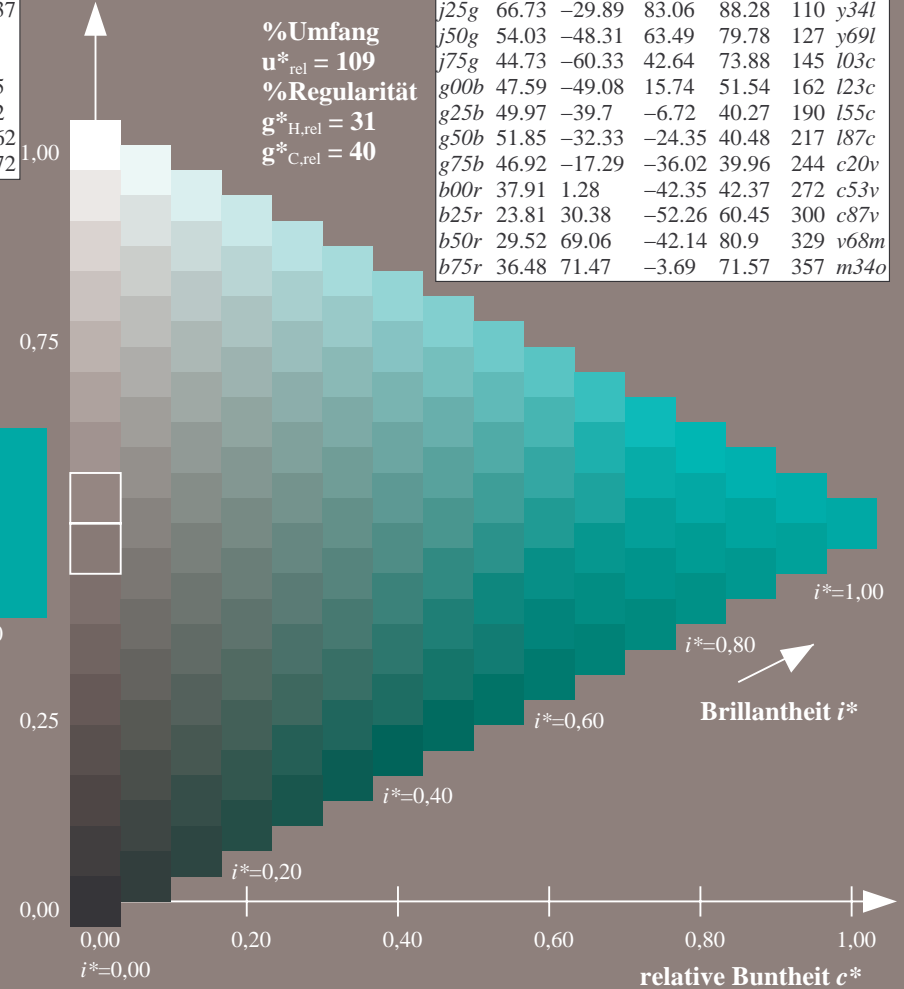
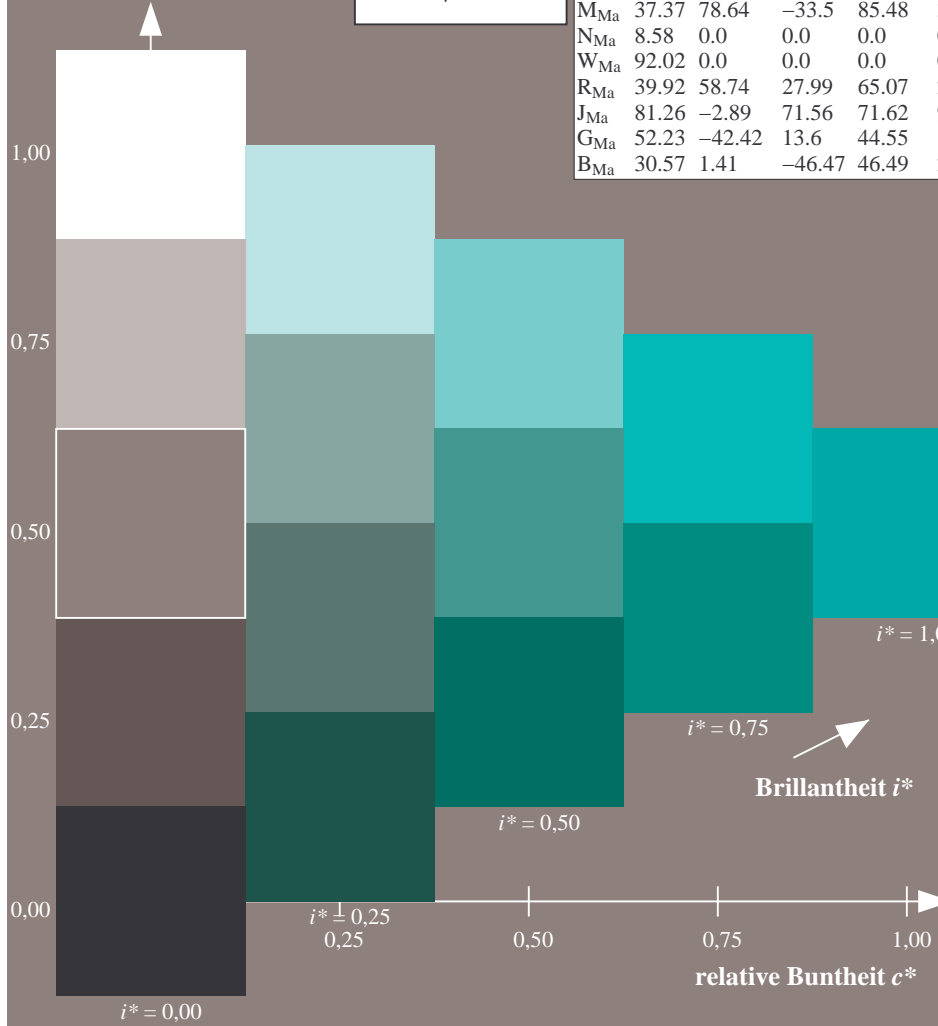
$lab^*rgb^*_{Ma}: 0.0 1.0 0.5$

$lab^*olv^*_{Ma}: 0.0 1.0 0.55$

Dreiecks-Helligkeit t^*

FRS09_92a; adaptierte CIELAB-Daten

u^*_e	$L^*=L^*_a$	a^*_a	b^*_a	$C^*_{ab,a}$	$h^*_{ab,a}$	u^*_d
r00j	35.47	63.32	30.17	70.15	25	m81o
r25j	39.12	54.56	49.45	73.64	42	o10y
r50j	50.64	39.15	64.89	75.79	59	o40y
r75j	64.01	21.26	82.83	85.52	76	o69y
j00g	83.18	-4.38	108.53	108.62	92	o98y
j25g	66.73	-29.89	83.06	88.28	110	y34l
j50g	54.03	-48.31	63.49	79.78	127	y69l
j75g	44.73	-60.33	42.64	73.88	145	l03c
g00b	47.59	-49.08	15.74	51.54	162	l23c
g25b	49.97	-39.7	-6.72	40.27	190	l55c
g50b	51.85	-32.33	-24.35	40.48	217	l87c
g75b	46.92	-17.29	-36.02	39.96	244	c20v
b00r	37.91	1.28	-42.35	42.37	272	c53v
b25r	23.81	30.38	-52.26	60.45	300	c87v
b50r	29.52	69.06	-42.14	80.9	329	v68m
b75r	36.48	71.47	-3.69	71.57	357	m34o



Ein und Ausgabe: Farbmatisches Drucker-Reflektiv-System FRS09_92a für relativen CIELAB-Bunton $h^* = lab^*h^* = h_{ab}/360 = 0.603$

$u^*_e = g50b$

Daten für jede Farbe:

lab^*tch^* und lab^*icu^*

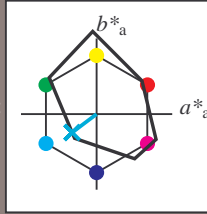
Buntontexte:

$u^*_e = g50b$ $u^*_d = l87c$

Kontrastreduzierungsfaktor:

$c_R = 1.0$

Dreiecks-Helligkeit t^*



FRS09_92a; adaptierte CIELAB-Daten						
u^*_e	$L^*=L^*_a$	a^*_a	b^*_a	$C^*_{ab,a}$	$h^*_{ab,a}$	
O _{Ma}	35.06	60.0	44.0	74.4	36	
Y _{Ma}	83.77	-5.17	109.32	109.44	93	
L _{Ma}	44.13	-62.67	48.24	79.09	142	
C _{Ma}	52.66	-29.14	-31.99	43.27	228	
V _{Ma}	14.15	50.3	-59.04	77.57	310	
M _{Ma}	37.37	78.64	-33.5	85.48	337	
N _{Ma}	8.58	0.0	0.0	0.0	0	
W _{Ma}	92.02	0.0	0.0	0.0	0	
R _{Ma}	39.92	58.74	27.99	65.07	25	
J _{Ma}	81.26	-2.89	71.56	71.62	92	
G _{Ma}	52.23	-42.42	13.6	44.55	162	
B _{Ma}	30.57	1.41	-46.47	46.49	272	

Daten für Maximalfarbe (Ma):

$LAB^*LAB^*_{Ma}: 52 -32 -24$

$LAB^*LCH^*_{Ma}: 52 40 216$

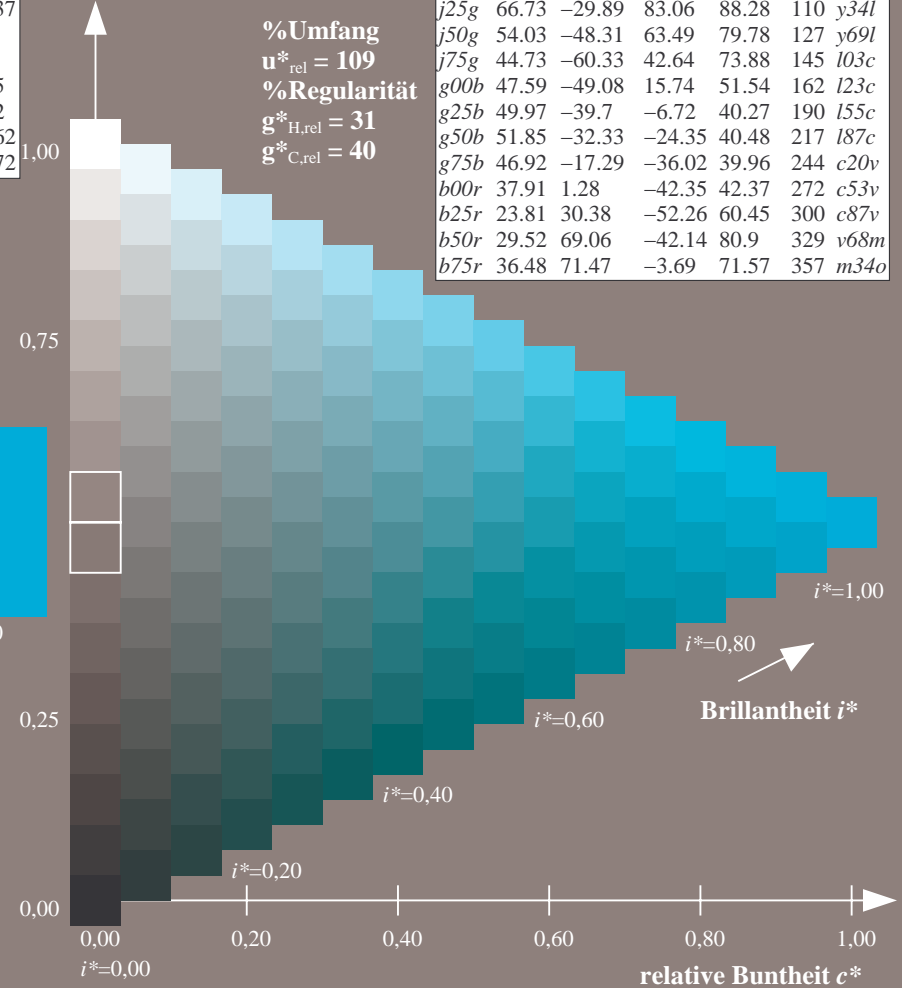
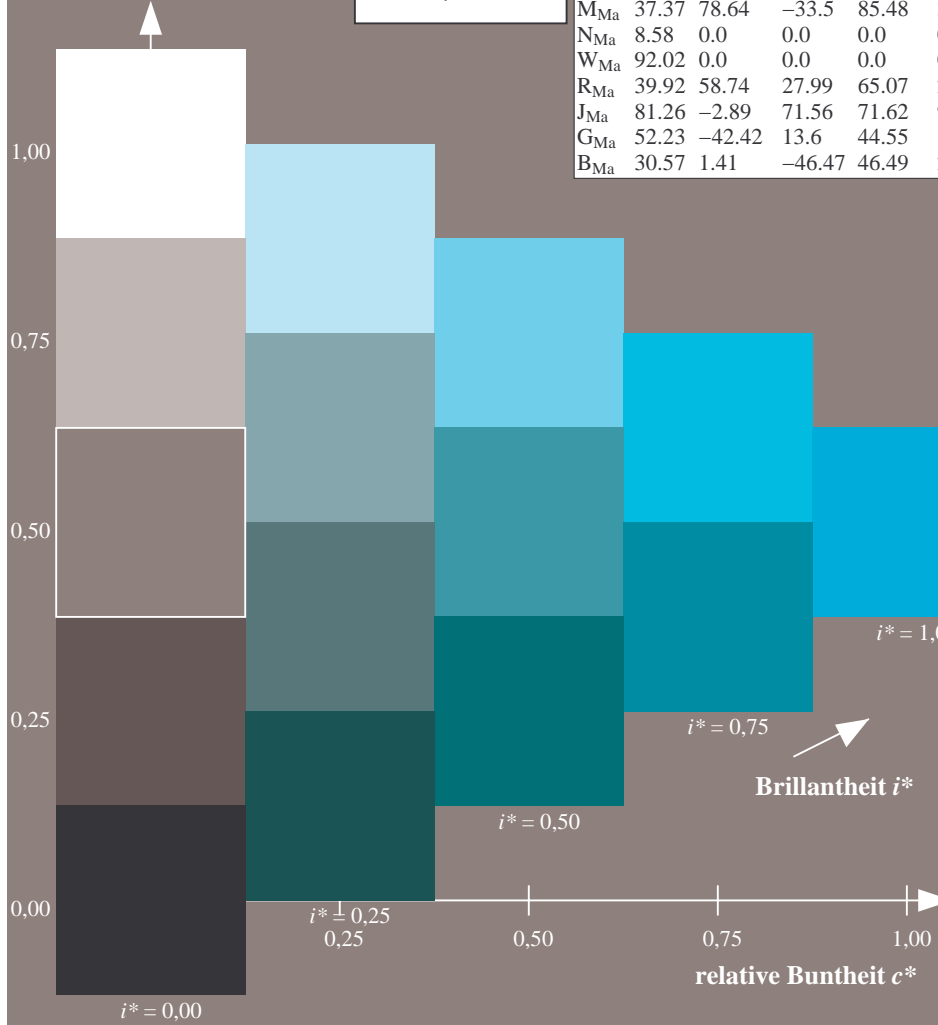
$lab^*rgb^*_{Ma}: 0.0 1.0 1.0$

$lab^*olv^*_{Ma}: 0.0 1.0 0.87$

Dreiecks-Helligkeit t^*

FRS09_92a; adaptierte CIELAB-Daten

u^*_e	$L^*=L^*_a$	a^*_a	b^*_a	$C^*_{ab,a}$	$h^*_{ab,a}$	u^*_d
r00j	35.47	63.32	30.17	70.15	25	m81o
r25j	39.12	54.56	49.45	73.64	42	o10y
r50j	50.64	39.15	64.89	75.79	59	o40y
r75j	64.01	21.26	82.83	85.52	76	o69y
j00g	83.18	-4.38	108.53	108.62	92	o98y
j25g	66.73	-29.89	83.06	88.28	110	y34l
j50g	54.03	-48.31	63.49	79.78	127	y69l
j75g	44.73	-60.33	42.64	73.88	145	l03c
g00b	47.59	-49.08	15.74	51.54	162	l23c
g25b	49.97	-39.7	-6.72	40.27	190	l55c
g50b	51.85	-32.33	-24.35	40.48	217	l87c
g75b	46.92	-17.29	-36.02	39.96	244	c20v
b00r	37.91	1.28	-42.35	42.37	272	c53v
b25r	23.81	30.38	-52.26	60.45	300	c87v
b50r	29.52	69.06	-42.14	80.9	329	v68m
b75r	36.48	71.47	-3.69	71.57	357	m34o



Ein und Ausgabe: Farbmatisches Drucker-Reflektiv-System FRS09_92a für relativen CIELAB-Bunton $h^* = lab^*h^* = h_{ab}/360 = 0.679$

$u^*_e = g75b$

Daten für jede Farbe:

lab^*tch^* und lab^*icu^*

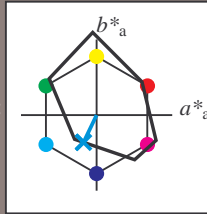
Buntontexte:

$u^*_e = g75b$ $u^*_d = c20v$

Kontrastreduzierungsfaktor:

$c_R = 1.0$

Dreiecks-Helligkeit t^*



FRS09_92a; adaptierte CIELAB-Daten						
u^*_e	$L^*=L^*_a$	a^*_a	b^*_a	$C^*_{ab,a}$	$h^*_{ab,a}$	
O _{Ma}	35.06	60.0	44.0	74.4	36	
Y _{Ma}	83.77	-5.17	109.32	109.44	93	
L _{Ma}	44.13	-62.67	48.24	79.09	142	
C _{Ma}	52.66	-29.14	-31.99	43.27	228	
V _{Ma}	14.15	50.3	-59.04	77.57	310	
M _{Ma}	37.37	78.64	-33.5	85.48	337	
N _{Ma}	8.58	0.0	0.0	0.0	0	
W _{Ma}	92.02	0.0	0.0	0.0	0	
R _{Ma}	39.92	58.74	27.99	65.07	25	
J _{Ma}	81.26	-2.89	71.56	71.62	92	
G _{Ma}	52.23	-42.42	13.6	44.55	162	
B _{Ma}	30.57	1.41	-46.47	46.49	272	

Daten für Maximalfarbe (Ma):

$LAB^*LAB^*_{Ma}: 47 -17 -36$

$LAB^*LCH^*_{Ma}: 47 40 244$

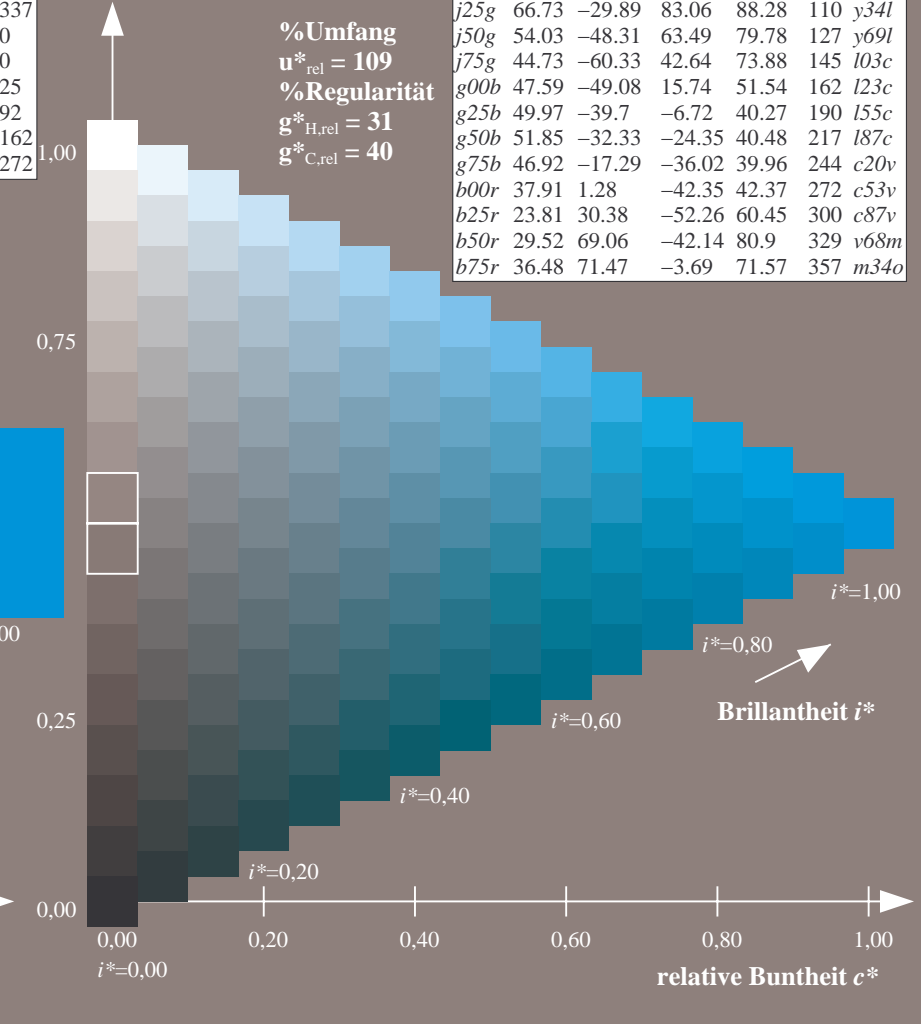
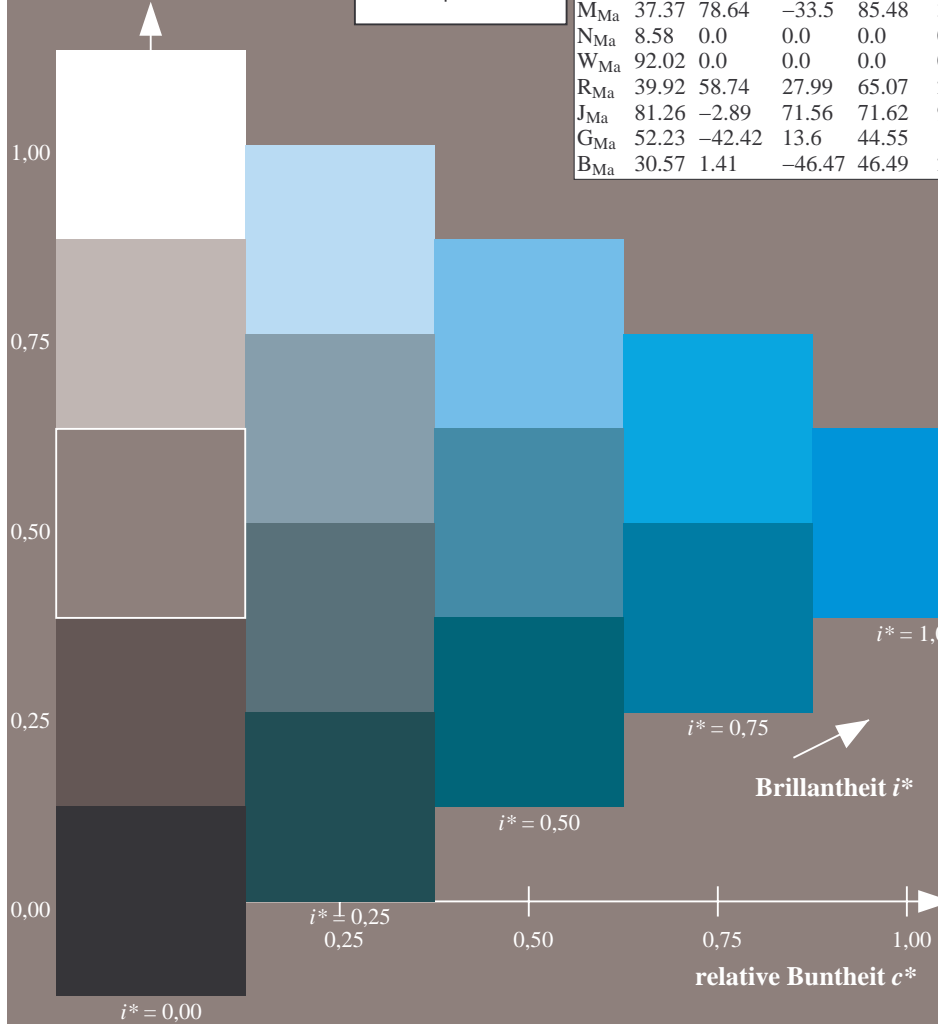
$lab^*rgb^*_{Ma}: 0.0 0.5 1.0$

$lab^*olv^*_{Ma}: 0.0 0.8 1.0$

Dreiecks-Helligkeit t^*

FRS09_92a; adaptierte CIELAB-Daten

u^*_e	$L^*=L^*_a$	a^*_a	b^*_a	$C^*_{ab,a}$	$h^*_{ab,a}$	u^*_d
r00j	35.47	63.32	30.17	70.15	25	m81o
r25j	39.12	54.56	49.45	73.64	42	o10y
r50j	50.64	39.15	64.89	75.79	59	o40y
r75j	64.01	21.26	82.83	85.52	76	o69y
j00g	83.18	-4.38	108.53	108.62	92	o98y
j25g	66.73	-29.89	83.06	88.28	110	y34l
j50g	54.03	-48.31	63.49	79.78	127	y69l
j75g	44.73	-60.33	42.64	73.88	145	l03c
g00b	47.59	-49.08	15.74	51.54	162	l23c
g25b	49.97	-39.7	-6.72	40.27	190	l55c
g50b	51.85	-32.33	-24.35	40.48	217	l87c
g75b	46.92	-17.29	-36.02	39.96	244	c20v
b00r	37.91	1.28	-42.35	42.37	272	c53v
b25r	23.81	30.38	-52.26	60.45	300	c87v
b50r	29.52	69.06	-42.14	80.9	329	v68m
b75r	36.48	71.47	-3.69	71.57	357	m34o



Daten für jede Farbe:

lab^*tch^* und lab^*icu^*

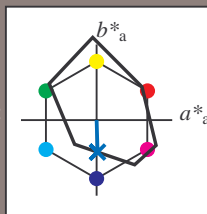
Buntontexte:

$u^*_e = b00r$ $u^*_d = c53v$

Kontrastreduzierungsfaktor:

$c_R = 1.0$

Dreiecks-Helligkeit t^*



FRS09_92a; adaptierte CIELAB-Daten						
u^*_e	$L^*=L^*_a$	a^*_a	b^*_a	$C^*_{ab,a}$	$h^*_{ab,a}$	
O _{Ma}	35.06	60.0	44.0	74.4	36	
Y _{Ma}	83.77	-5.17	109.32	109.44	93	
L _{Ma}	44.13	-62.67	48.24	79.09	142	
C _{Ma}	52.66	-29.14	-31.99	43.27	228	
V _{Ma}	14.15	50.3	-59.04	77.57	310	
M _{Ma}	37.37	78.64	-33.5	85.48	337	
N _{Ma}	8.58	0.0	0.0	0.0	0	
W _{Ma}	92.02	0.0	0.0	0.0	0	
R _{Ma}	39.92	58.74	27.99	65.07	25	
J _{Ma}	81.26	-2.89	71.56	71.62	92	
G _{Ma}	52.23	-42.42	13.6	44.55	162	
B _{Ma}	30.57	1.41	-46.47	46.49	272	

Daten für Maximalfarbe (Ma):

$LAB^*LAB^*_{Ma}$: 38 1 -42

$LAB^*LCH^*_{Ma}$: 38 42 271

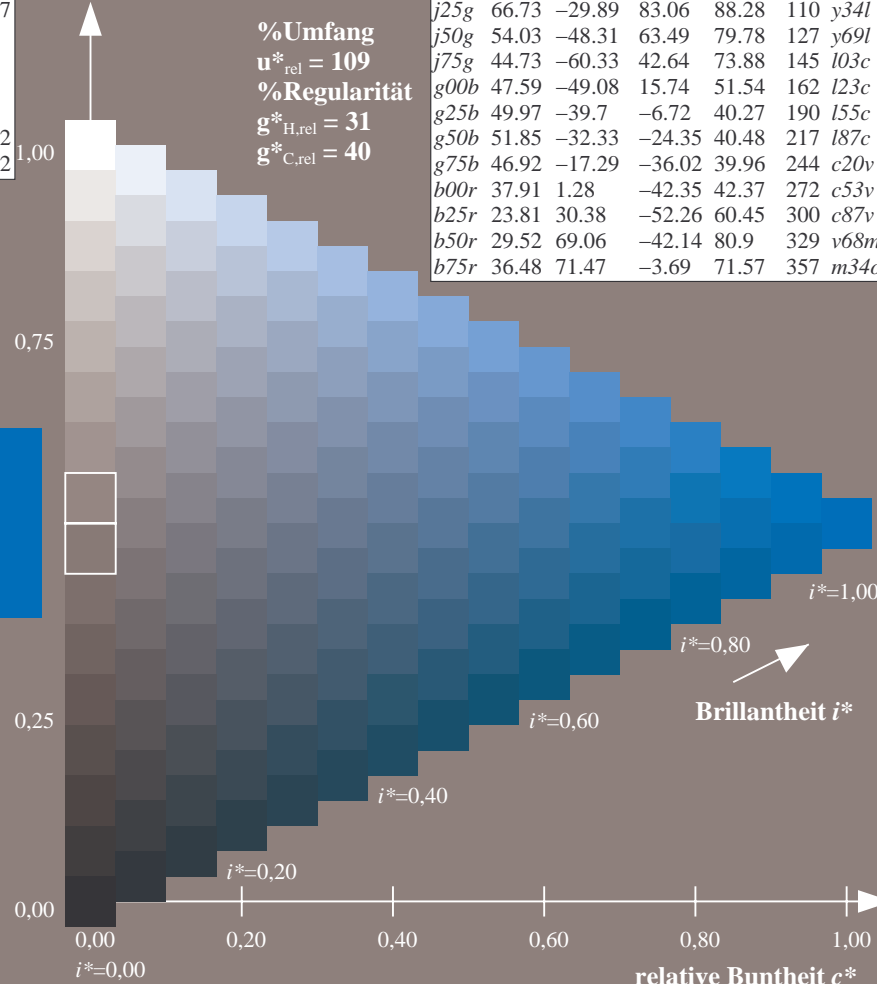
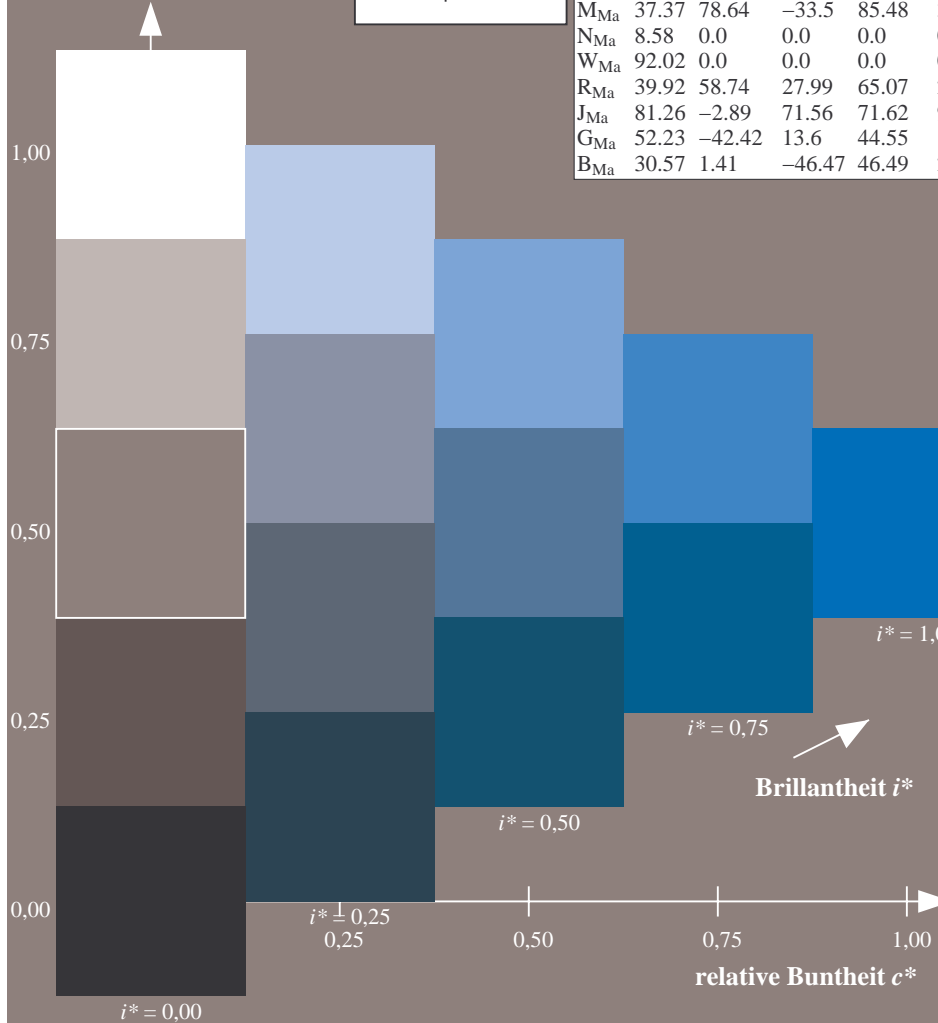
$lab^*rgb^*_{Ma}$: 0.0 0.0 1.0

$lab^*olv^*_{Ma}$: 0.0 0.47 1.0

Dreiecks-Helligkeit t^*

FRS09_92a; adaptierte CIELAB-Daten

u^*_e	$L^*=L^*_a$	a^*_a	b^*_a	$C^*_{ab,a}$	$h^*_{ab,a}$	u^*_d
r00j	35.47	63.32	30.17	70.15	25	m81o
r25j	39.12	54.56	49.45	73.64	42	o10y
r50j	50.64	39.15	64.89	75.79	59	o40y
r75j	64.01	21.26	82.83	85.52	76	o69y
j00g	83.18	-4.38	108.53	108.62	92	o98y
j25g	66.73	-29.89	83.06	88.28	110	y34l
j50g	54.03	-48.31	63.49	79.78	127	y69l
j75g	44.73	-60.33	42.64	73.88	145	l03c
g00b	47.59	-49.08	15.74	51.54	162	l23c
g25b	49.97	-39.7	-6.72	40.27	190	l55c
g50b	51.85	-32.33	-24.35	40.48	217	l87c
g75b	46.92	-17.29	-36.02	39.96	244	c20v
b00r	37.91	1.28	-42.35	42.37	272	c53v
b25r	23.81	30.38	-52.26	60.45	300	c87v
b50r	29.52	69.06	-42.14	80.9	329	v68m
b75r	36.48	71.47	-3.69	71.57	357	m34o



%Umfang
 $u^*_{rel} = 109$
 %Regularität
 $g^*_{H,rel} = 31$
 $g^*_{C,rel} = 40$

Ein und Ausgabe: Farbmatisches Drucker-Reflektiv-System FRS09_92a für relativen CIELAB-Bunton $h^* = lab^*h^* = h_{ab}/360 = 0.834$

$u^*_e = b25r$

Daten für jede Farbe:

lab^*tch^* und lab^*icu^*

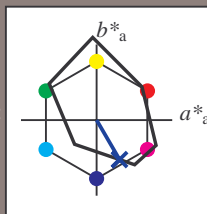
Buntontexte:

$u^*_e = b25r$ $u^*_d = c87v$

Kontrastreduzierungsfaktor:

$c_R = 1.0$

Dreiecks-Helligkeit t^*



FRS09_92a; adaptierte CIELAB-Daten						
u^*_e	$L^*=L^*_a$	a^*_a	b^*_a	$C^*_{ab,a}$	$h^*_{ab,a}$	
O _{Ma}	35.06	60.0	44.0	74.4	36	
Y _{Ma}	83.77	-5.17	109.32	109.44	93	
L _{Ma}	44.13	-62.67	48.24	79.09	142	
C _{Ma}	52.66	-29.14	-31.99	43.27	228	
V _{Ma}	14.15	50.3	-59.04	77.57	310	
M _{Ma}	37.37	78.64	-33.5	85.48	337	
N _{Ma}	8.58	0.0	0.0	0.0	0	
W _{Ma}	92.02	0.0	0.0	0.0	0	
R _{Ma}	39.92	58.74	27.99	65.07	25	
J _{Ma}	81.26	-2.89	71.56	71.62	92	
G _{Ma}	52.23	-42.42	13.6	44.55	162	
B _{Ma}	30.57	1.41	-46.47	46.49	272	

Daten für Maximalfarbe (Ma):

$LAB^*LAB^*_{Ma}: 24\ 30\ -52$

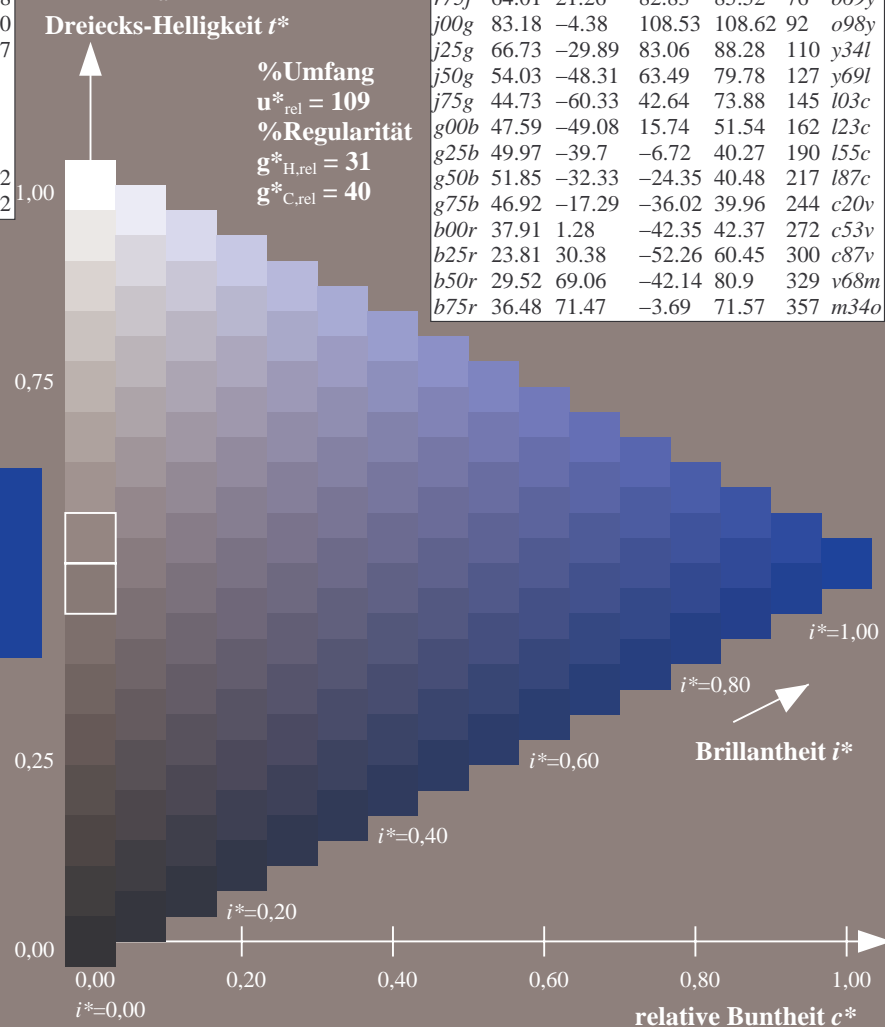
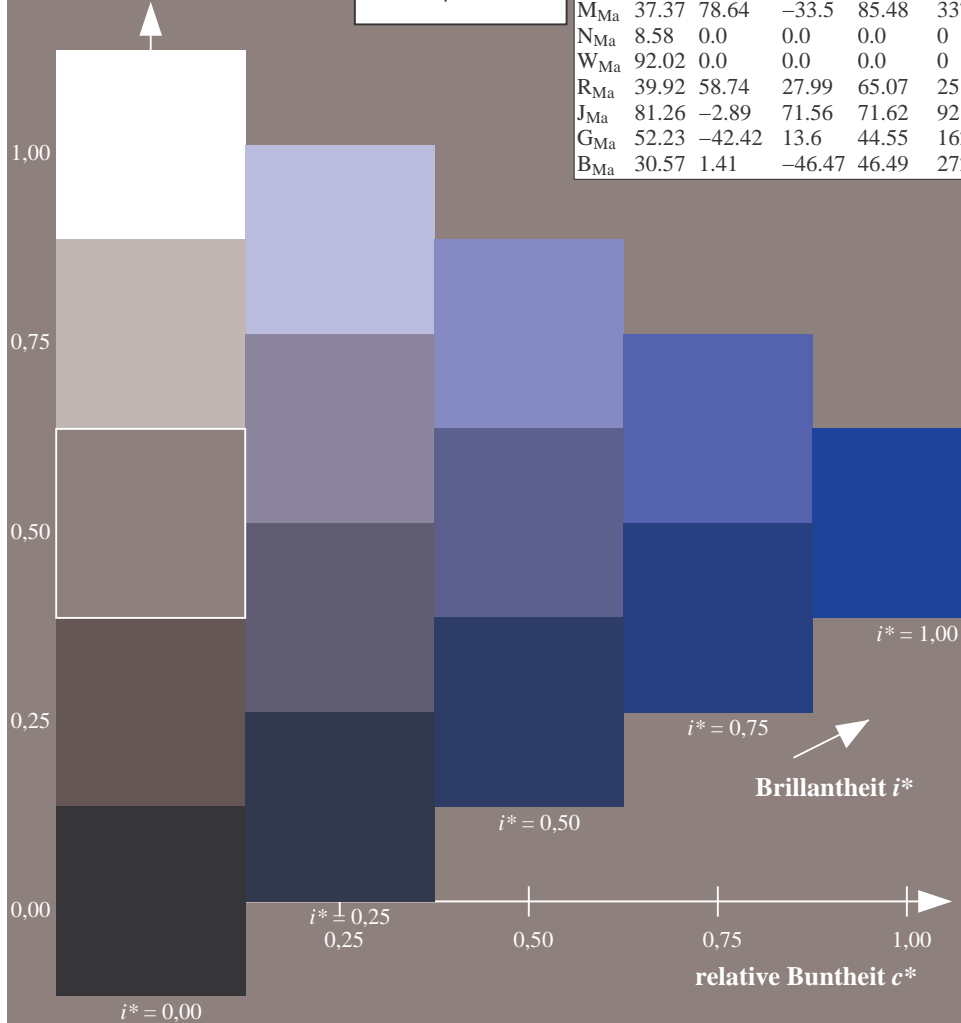
$LAB^*LCH^*_{Ma}: 24\ 60\ 300$

$lab^*rgb^*_{Ma}: 0.5\ 0.0\ 1.0$

$lab^*olv^*_{Ma}: 0.0\ 0.12\ 1.0$

FRS09_92a; adaptierte CIELAB-Daten

u^*_e	$L^*=L^*_a$	a^*_a	b^*_a	$C^*_{ab,a}$	$h^*_{ab,a}$	u^*_d
r00j	35.47	63.32	30.17	70.15	25	m81o
r25j	39.12	54.56	49.45	73.64	42	o10y
r50j	50.64	39.15	64.89	75.79	59	o40y
r75j	64.01	21.26	82.83	85.52	76	o69y
j00g	83.18	-4.38	108.53	108.62	92	o98y
j25g	66.73	-29.89	83.06	88.28	110	y34l
j50g	54.03	-48.31	63.49	79.78	127	y69l
j75g	44.73	-60.33	42.64	73.88	145	l03c
g00b	47.59	-49.08	15.74	51.54	162	l23c
g25b	49.97	-39.7	-6.72	40.27	190	l55c
g50b	51.85	-32.33	-24.35	40.48	217	l87c
g75b	46.92	-17.29	-36.02	39.96	244	c20v
b00r	37.91	1.28	-42.35	42.37	272	c53v
b25r	23.81	30.38	-52.26	60.45	300	c87v
b50r	29.52	69.06	-42.14	80.9	329	v68m
b75r	36.48	71.47	-3.69	71.57	357	m34o



Daten für jede Farbe:

lab^*tch^* und lab^*icu^*

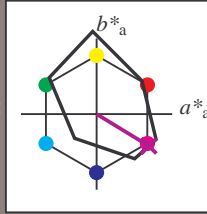
Buntontexte:

$u^*_e = b50r$ $u^*_d = v68m$

Kontrastreduzierungsfaktor:

$c_R = 1.0$

Dreiecks-Helligkeit t^*



FRS09_92a; adaptierte CIELAB-Daten						
u^*_e	$L^*=L^*_a$	a^*_a	b^*_a	$C^*_{ab,a}$	$h^*_{ab,a}$	
O_{Ma}	35.06	60.0	44.0	74.4	36	
Y_{Ma}	83.77	-5.17	109.32	109.44	93	
L_{Ma}	44.13	-62.67	48.24	79.09	142	
C_{Ma}	52.66	-29.14	-31.99	43.27	228	
V_{Ma}	14.15	50.3	-59.04	77.57	310	
M_{Ma}	37.37	78.64	-33.5	85.48	337	
N_{Ma}	8.58	0.0	0.0	0.0	0	
W_{Ma}	92.02	0.0	0.0	0.0	0	
R_{Ma}	39.92	58.74	27.99	65.07	25	
J_{Ma}	81.26	-2.89	71.56	71.62	92	
G_{Ma}	52.23	-42.42	13.6	44.55	162	
B_{Ma}	30.57	1.41	-46.47	46.49	272	

Daten für Maximalfarbe (Ma):

$LAB^*LAB^*_{Ma}$: 30 69 -42

$LAB^*LCH^*_{Ma}$: 30 81 328

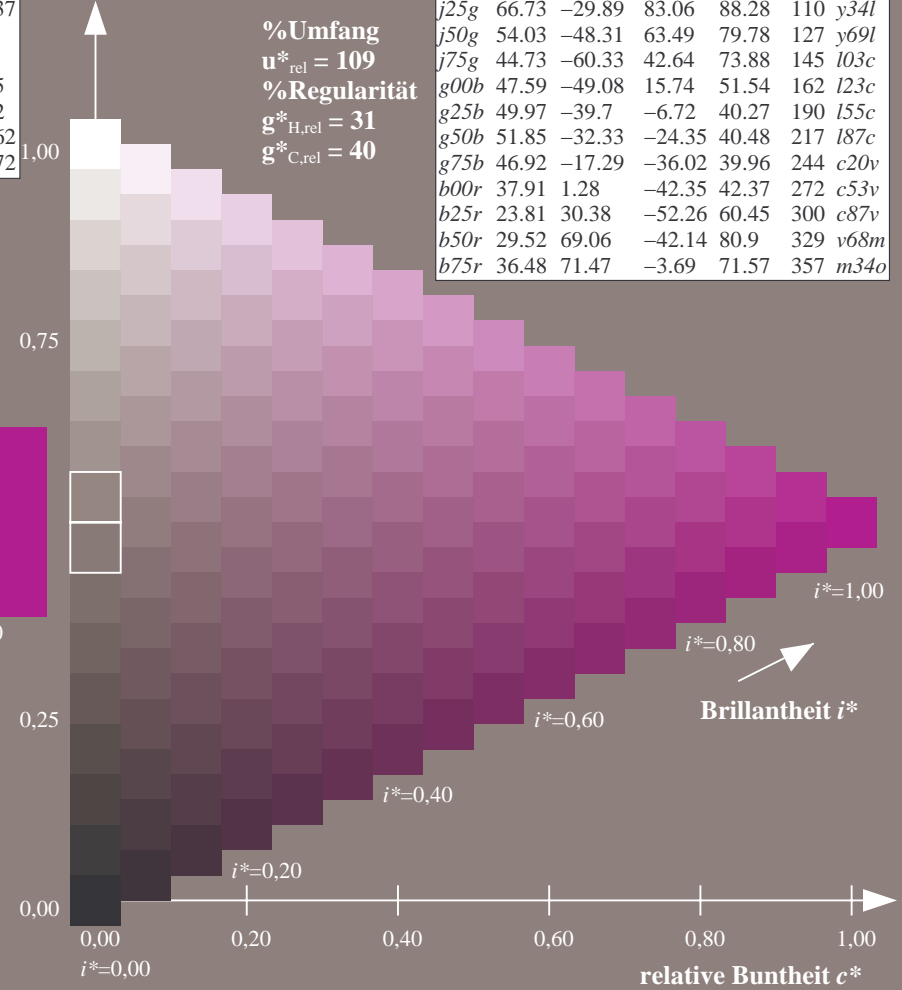
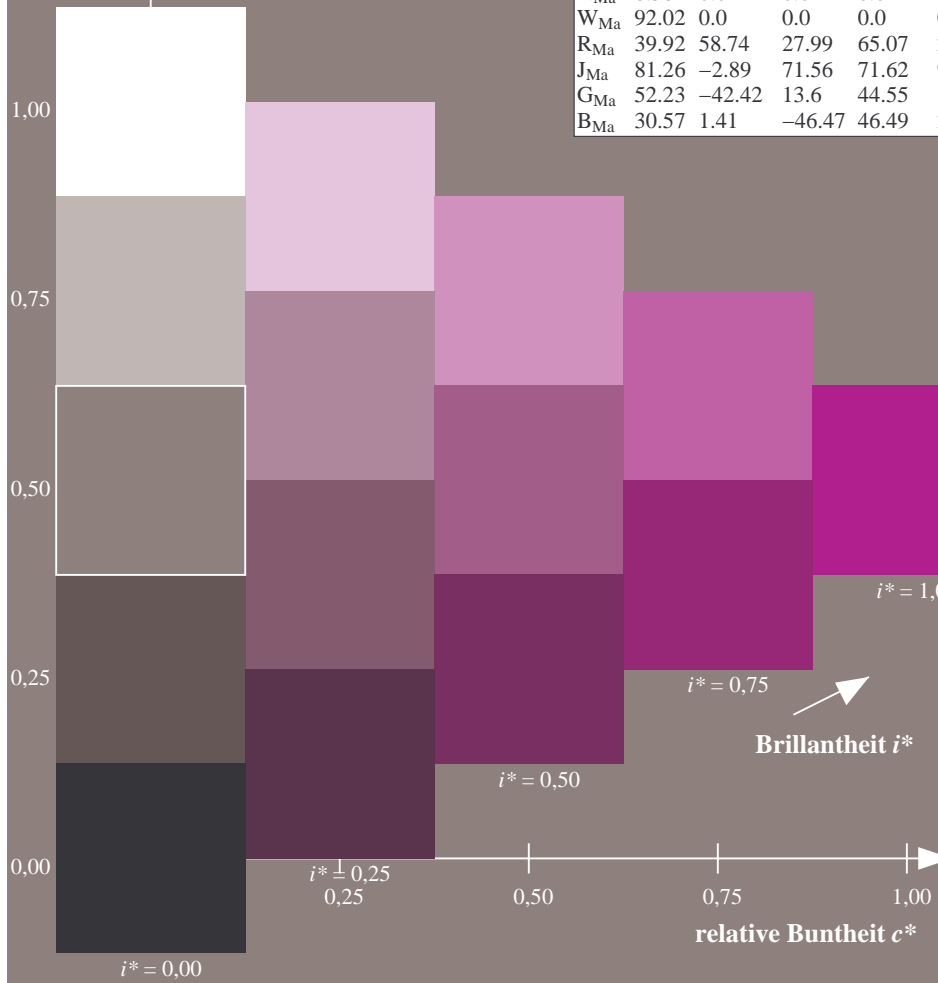
$lab^*rgb^*_{Ma}$: 1.0 0.0 1.0

$lab^*olv^*_{Ma}$: 0.69 0.0 1.0

Dreiecks-Helligkeit t^*

FRS09_92a; adaptierte CIELAB-Daten

u^*_e	$L^*=L^*_a$	a^*_a	b^*_a	$C^*_{ab,a}$	$h^*_{ab,a}$	u^*_d
$r00j$	35.47	63.32	30.17	70.15	25	$m81o$
$r25j$	39.12	54.56	49.45	73.64	42	$o10y$
$r50j$	50.64	39.15	64.89	75.79	59	$o40y$
$r75j$	64.01	21.26	82.83	85.52	76	$o69y$
$j00g$	83.18	-4.38	108.53	108.62	92	$o98y$
$j25g$	66.73	-29.89	83.06	88.28	110	$y34l$
$j50g$	54.03	-48.31	63.49	79.78	127	$y69l$
$j75g$	44.73	-60.33	42.64	73.88	145	$l03c$
$g00b$	47.59	-49.08	15.74	51.54	162	$l23c$
$g25b$	49.97	-39.7	-6.72	40.27	190	$l55c$
$g50b$	51.85	-32.33	-24.35	40.48	217	$l87c$
$g75b$	46.92	-17.29	-36.02	39.96	244	$c20v$
$b00r$	37.91	1.28	-42.35	42.37	272	$c53v$
$b25r$	23.81	30.38	-52.26	60.45	300	$c87v$
$b50r$	29.52	69.06	-42.14	80.9	329	$v68m$
$b75r$	36.48	71.47	-3.69	71.57	357	$m34o$



Daten für jede Farbe:

lab^*tch^* und lab^*icu^*

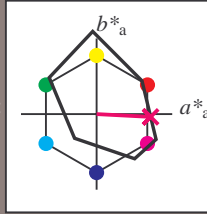
Buntontexte:

$u^*_e = b75r$ $u^*_d = m34o$

Kontrastreduzierungsfaktor:

$c_R = 1.0$

Dreiecks-Helligkeit t^*



FRS09_92a; adaptierte CIELAB-Daten

u^*_e	$L^*=L^*_a$	a^*_a	b^*_a	$C^*_{ab,a}$	$h^*_{ab,a}$
O _{Ma}	35.06	60.0	44.0	74.4	36
Y _{Ma}	83.77	-5.17	109.32	109.44	93
L _{Ma}	44.13	-62.67	48.24	79.09	142
C _{Ma}	52.66	-29.14	-31.99	43.27	228
V _{Ma}	14.15	50.3	-59.04	77.57	310
M _{Ma}	37.37	78.64	-33.5	85.48	337
N _{Ma}	8.58	0.0	0.0	0.0	0
W _{Ma}	92.02	0.0	0.0	0.0	0
R _{Ma}	39.92	58.74	27.99	65.07	25
J _{Ma}	81.26	-2.89	71.56	71.62	92
G _{Ma}	52.23	-42.42	13.6	44.55	162
B _{Ma}	30.57	1.41	-46.47	46.49	272

Daten für Maximalfarbe (Ma):

$LAB^*LAB^*_{Ma}$: 36 71 -4

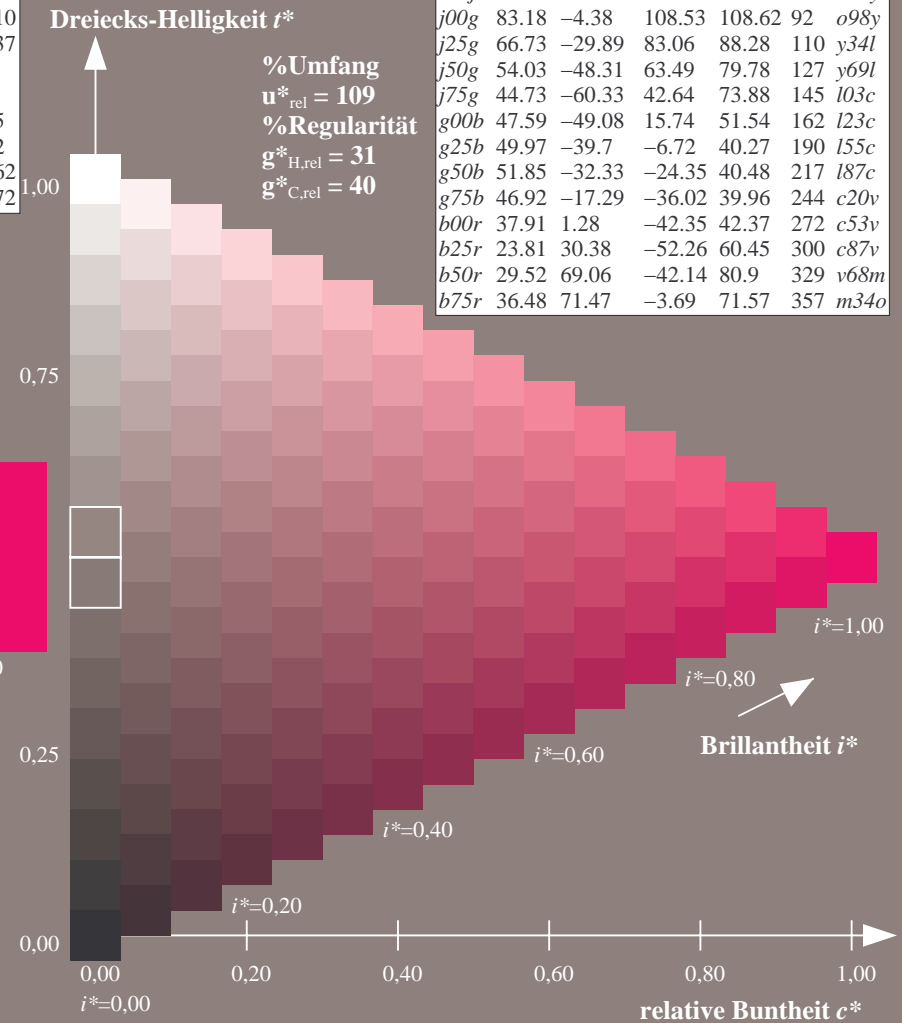
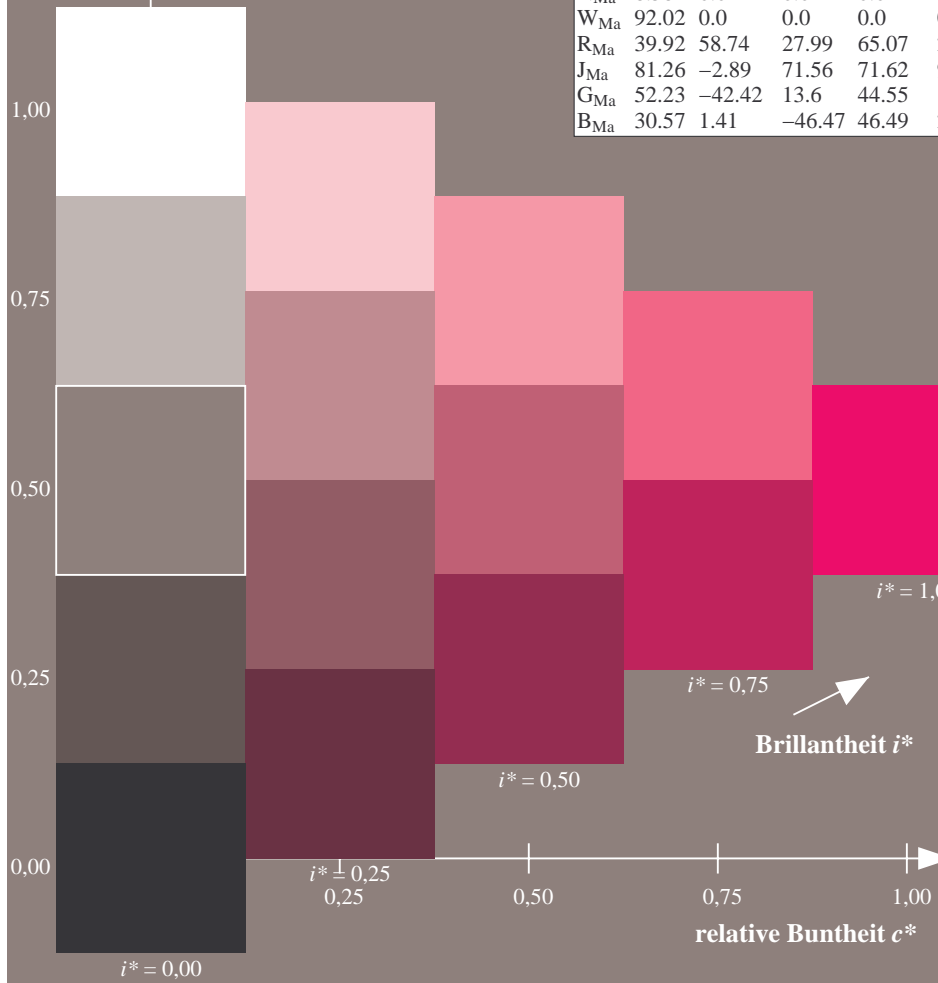
$LAB^*LCH^*_{Ma}$: 36 72 357

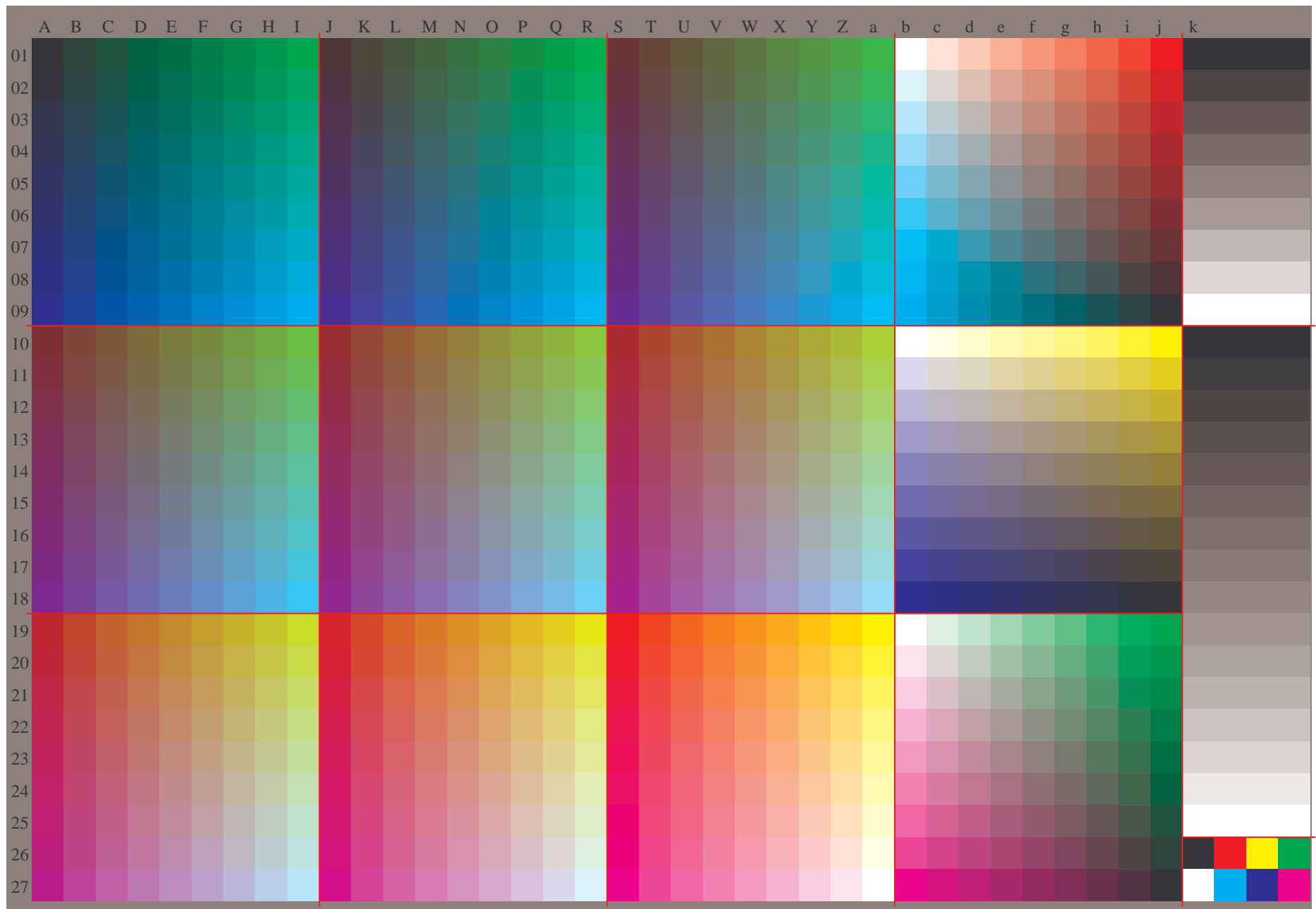
$lab^*rgb^*_{Ma}$: 1.0 0.0 0.5

$lab^*olv^*_{Ma}$: 1.0 0.0 0.66

FRS09_92a; adaptierte CIELAB-Daten

u^*_e	$L^*=L^*_a$	a^*_a	b^*_a	$C^*_{ab,a}$	$h^*_{ab,a}$	u^*_d
r00j	35.47	63.32	30.17	70.15	25	m81o
r25j	39.12	54.56	49.45	73.64	42	o10y
r50j	50.64	39.15	64.89	75.79	59	o40y
r75j	64.01	21.26	82.83	85.52	76	o69y
j00g	83.18	-4.38	108.53	108.62	92	o98y
j25g	66.73	-29.89	83.06	88.28	110	y34l
j50g	54.03	-48.31	63.49	79.78	127	y69l
j75g	44.73	-60.33	42.64	73.88	145	l03c
g00b	47.59	-49.08	15.74	51.54	162	l23c
g25b	49.97	-39.7	-6.72	40.27	190	l55c
g50b	51.85	-32.33	-24.35	40.48	217	l87c
g75b	46.92	-17.29	-36.02	39.96	244	c20v
b00r	37.91	1.28	-42.35	42.37	272	c53v
b25r	23.81	30.38	-52.26	60.45	300	c87v
b50r	29.52	69.06	-42.14	80.9	329	v68m
b75r	36.48	71.47	-3.69	71.57	357	m34o





Ein und Ausgabe:
 Farbmimetrisches Drucker-Reflektiv-System FRS09_92a

Daten für jede Farbe:

u^*_e und Nummer $Nr. = 00 \dots 15$

Elementar-Bunttextext:

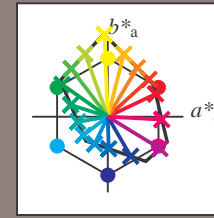
$u^*_e = 16$ Bunttoene $r00j, r25j, \dots, b75r$

Kontrastreduzierungsfaktor:

$c_R = 1.0$

FRS09_92a; adaptierte CIELAB-Daten

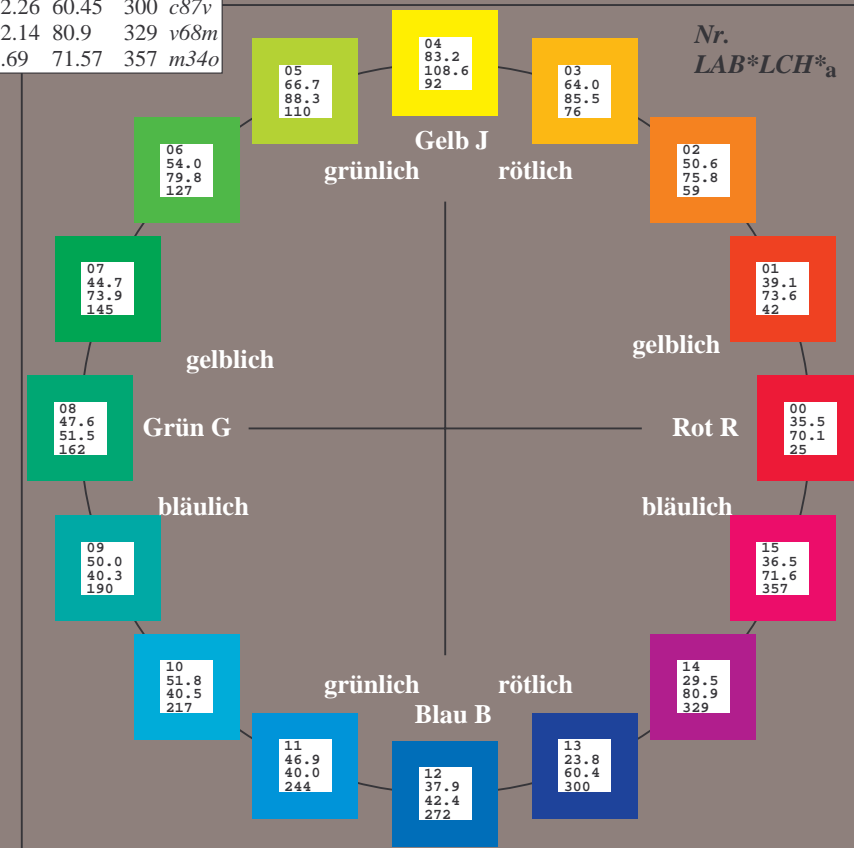
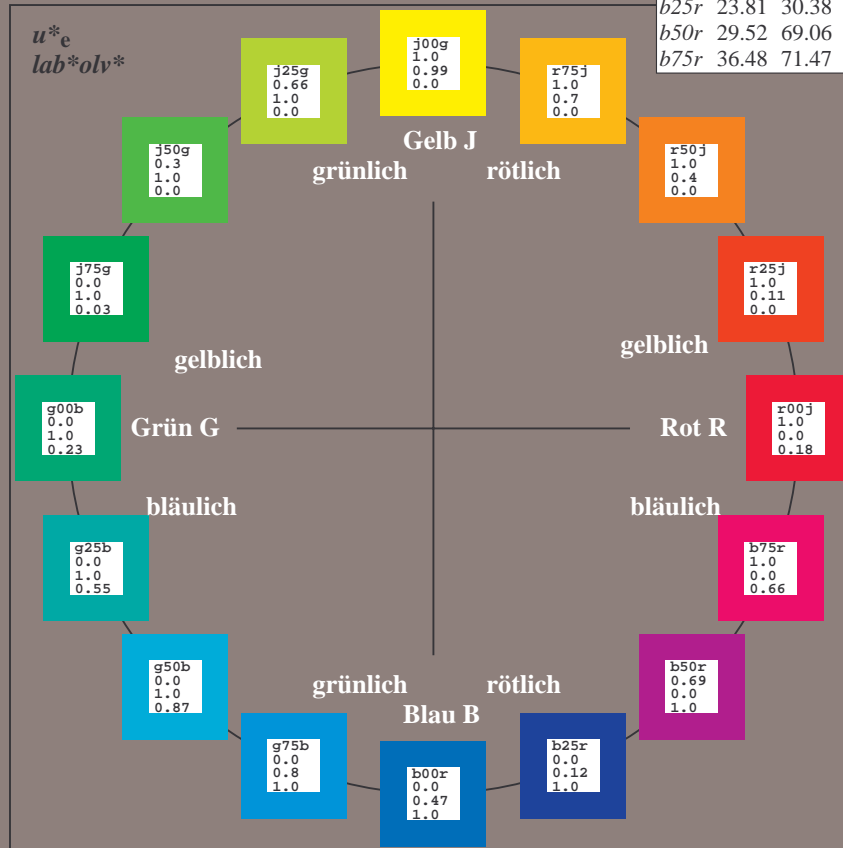
u^*_e	$L^*=L^*_a$	a^*_a	b^*_a	$C^*_{ab,a}$	$h^*_{ab,a}$	u^*_d
r00j	35.47	63.32	30.17	70.15	25	m81o
r25j	39.12	54.56	49.45	73.64	42	o10y
r50j	50.64	39.15	64.89	75.79	59	o40y
r75j	64.01	21.26	82.83	85.52	76	o69y
j00g	83.18	-4.38	108.53	108.62	92	o98y
j25g	66.73	-29.89	83.06	88.28	110	y34l
j50g	54.03	-48.31	63.49	79.78	127	y69l
j75g	44.73	-60.33	42.64	73.88	145	l03c
g00b	47.59	-49.08	15.74	51.54	162	l23c
g25b	49.97	-39.7	-6.72	40.27	190	l55c
g50b	51.85	-32.33	-24.35	40.48	217	l87c
g75b	46.92	-17.29	-36.02	39.96	244	c20v
b00r	37.91	1.28	-42.35	42.37	272	c53v
b25r	23.81	30.38	-52.26	60.45	300	c87v
b50r	29.52	69.06	-42.14	80.9	329	v68m
b75r	36.48	71.47	-3.69	71.57	357	m34o



%Umfang
 $u^*_{rel} = 109$
 %Regularität
 $g^*_{H,rel} = 31$
 $g^*_{C,rel} = 40$

FRS09_92a; adaptierte CIELAB-Daten

Name	$L^*=L^*_a$	a^*_a	b^*_a	$C^*_{ab,a}$	$h^*_{ab,a}$
OMa	35.06	60.0	44.0	74.4	36
YMa	83.77	-5.17	109.32	109.44	93
LMa	44.13	-62.67	48.24	79.09	142
CMa	52.66	-29.14	-31.99	43.27	228
VMa	14.15	50.3	-59.04	77.57	310
MMa	37.37	78.64	-33.5	85.48	337
NMa	8.58	0.0	0.0	0.0	0
WMa	92.02	0.0	0.0	0.0	0
RCIE	39.92	58.74	27.99	65.07	25
JCIE	81.26	-2.89	71.56	71.62	92
GCIE	52.23	-42.42	13.6	44.55	162
BCIE	30.57	1.41	-46.47	46.49	272



Ein und Ausgabe: Farbmatisches Drucker-Reflektiv-System FRS09_92a für relativen CIELAB-Bunton $h^* = lab^*h^* = h_{ab}/360 = 0.071$

$$u^*_e = r00j$$

$$lab^*olv^*$$

Daten für jede Farbe:

lab^*tch^* und lab^*icu^*

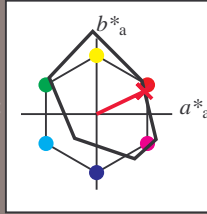
Buntontexte:

$u^*_e = r00j$ $u^*_d = m81o$

Kontrastreduzierungsfaktor:

$c_R = 1.0$

Dreiecks-Helligkeit t^*



FRS09_92a; adaptierte CIELAB-Daten

u^*_e	$L^*=L^*_a$	a^*_a	b^*_a	$C^*_{ab,a}$	$h^*_{ab,a}$
O _{Ma}	35.06	60.0	44.0	74.4	36
Y _{Ma}	83.77	-5.17	109.32	109.44	93
L _{Ma}	44.13	-62.67	48.24	79.09	142
C _{Ma}	52.66	-29.14	-31.99	43.27	228
V _{Ma}	14.15	50.3	-59.04	77.57	310
M _{Ma}	37.37	78.64	-33.5	85.48	337
N _{Ma}	8.58	0.0	0.0	0.0	0
W _{Ma}	92.02	0.0	0.0	0.0	0
R _{Ma}	39.92	58.74	27.99	65.07	25
J _{Ma}	81.26	-2.89	71.56	71.62	92
G _{Ma}	52.23	-42.42	13.6	44.55	162
B _{Ma}	30.57	1.41	-46.47	46.49	272

Daten für Maximalfarbe (Ma):

$LAB^*LAB^*_{Ma}$: 35 63 30

$LAB^*LCH^*_{Ma}$: 35 70 25

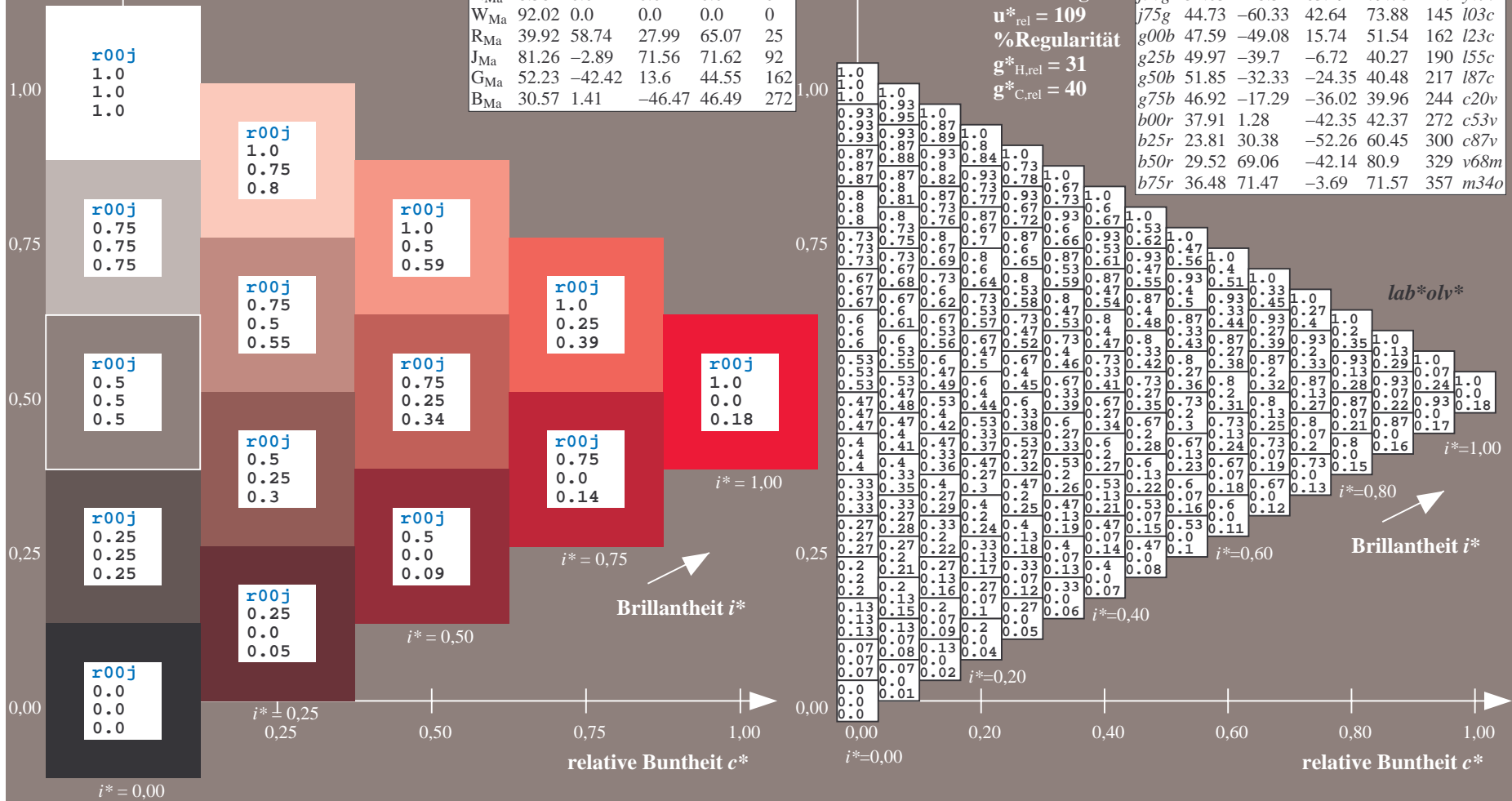
$lab^*rgb^*_{Ma}$: 1.0 0.0 0.0

$lab^*olv^*_{Ma}$: 1.0 0.0 0.18

Dreiecks-Helligkeit t^*

FRS09_92a; adaptierte CIELAB-Daten

u^*_e	$L^*=L^*_a$	a^*_a	b^*_a	$C^*_{ab,a}$	$h^*_{ab,a}$	u^*_d
r00j	35.47	63.32	30.17	70.15	25	m81o
r25j	39.12	54.56	49.45	73.64	42	o10y
r50j	50.64	39.15	64.89	75.79	59	o40y
r75j	64.01	21.26	82.83	85.52	76	o69y
j00g	83.18	-4.38	108.53	108.62	92	o98y
j25g	66.73	-29.89	83.06	88.28	110	y34l
j50g	54.03	-48.31	63.49	79.78	127	y69l
j75g	44.73	-60.33	42.64	73.88	145	103c
g00b	47.59	-49.08	15.74	51.54	162	l23c
g25b	49.97	-39.7	-6.72	40.27	190	l55c
g50b	51.85	-32.33	-24.35	40.48	217	l87c
g75b	46.92	-17.29	-36.02	39.96	244	c20v
b00r	37.91	1.28	-42.35	42.37	272	c53v
b25r	23.81	30.38	-52.26	60.45	300	c87v
b50r	29.52	69.06	-42.14	80.9	329	v68m
b75r	36.48	71.47	-3.69	71.57	357	m34o



Ein und Ausgabe: Farbmatisches Drucker-Reflektiv-System FRS09_92a für relativen CIELAB-Bunton $h^* = lab^*h^* = h_{ab}/360 = 0.117$

$u^*_e = r25j$
 lab^*olv^*

Daten für jede Farbe:

lab^*tch^* und lab^*icu^*

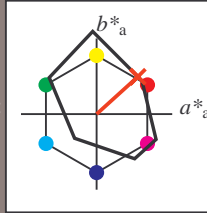
Buntontexte:

$u^*_e = r25j$ $u^*_d = o10y$

Kontrastreduzierungsfaktor:

$c_R = 1.0$

Dreiecks-Helligkeit t^*



FRS09_92a; adaptierte CIELAB-Daten

u^*_e	$L^*=L^*_a$	a^*_a	b^*_a	$C^*_{ab,a}$	$h^*_{ab,a}$
O _{Ma}	35.06	60.0	44.0	74.4	36
Y _{Ma}	83.77	-5.17	109.32	109.44	93
L _{Ma}	44.13	-62.67	48.24	79.09	142
C _{Ma}	52.66	-29.14	-31.99	43.27	228
V _{Ma}	14.15	50.3	-59.04	77.57	310
M _{Ma}	37.37	78.64	-33.5	85.48	337
N _{Ma}	8.58	0.0	0.0	0.0	0
W _{Ma}	92.02	0.0	0.0	0.0	0
R _{Ma}	39.92	58.74	27.99	65.07	25
J _{Ma}	81.26	-2.89	71.56	71.62	92
G _{Ma}	52.23	-42.42	13.6	44.55	162
B _{Ma}	30.57	1.41	-46.47	46.49	272

Daten für Maximalfarbe (Ma):

$LAB^*LAB^*_{Ma}$: 39 55 49

$LAB^*LCH^*_{Ma}$: 39 74 42

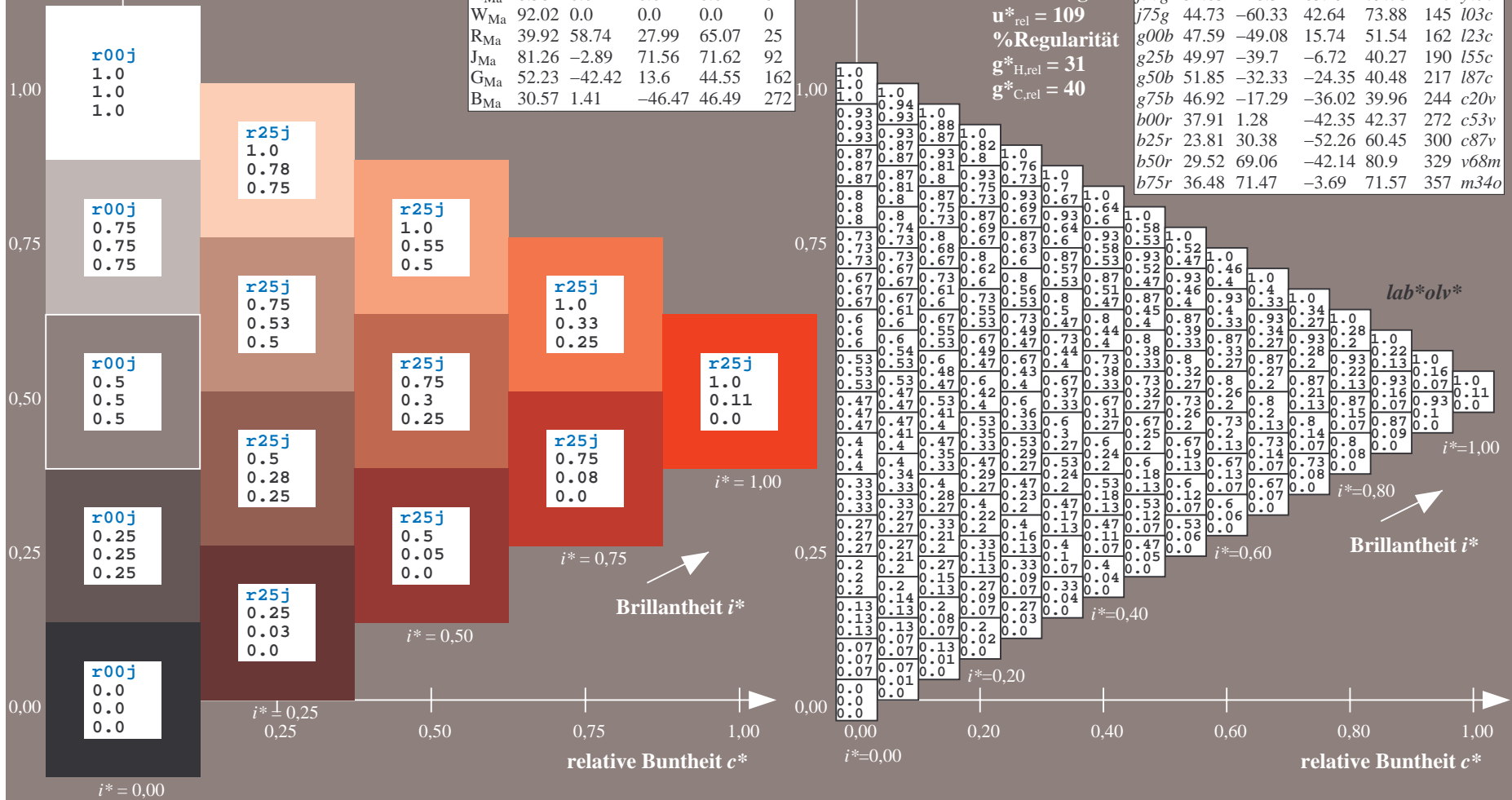
$lab^*rgb^*_{Ma}$: 1.0 0.25 0.0

$lab^*olv^*_{Ma}$: 1.0 0.11 0.0

Dreiecks-Helligkeit t^*

FRS09_92a; adaptierte CIELAB-Daten

u^*_e	$L^*=L^*_a$	a^*_a	b^*_a	$C^*_{ab,a}$	$h^*_{ab,a}$	u^*_d
r00j	35.47	63.32	30.17	70.15	25	m81o
r25j	39.12	54.56	49.45	73.64	42	o10y
r50j	50.64	39.15	64.89	75.79	59	o40y
r75j	64.01	21.26	82.83	85.52	76	o69y
j00g	83.18	-4.38	108.53	108.62	92	o98y
j25g	66.73	-29.89	83.06	88.28	110	y34l
j50g	54.03	-48.31	63.49	79.78	127	y69l
j75g	44.73	-60.33	42.64	73.88	145	103c
g00b	47.59	-49.08	15.74	51.54	162	l23c
g25b	49.97	-39.7	-6.72	40.27	190	l55c
g50b	51.85	-32.33	-24.35	40.48	217	l87c
g75b	46.92	-17.29	-36.02	39.96	244	c20v
b00r	37.91	1.28	-42.35	42.37	272	c53v
b25r	23.81	30.38	-52.26	60.45	300	c87v
b50r	29.52	69.06	-42.14	80.9	329	v68m
b75r	36.48	71.47	-3.69	71.57	357	m34o



Ein und Ausgabe: Farbmatisches Drucker-Reflektiv-System FRS09_92a für relativen CIELAB-Bunton $h^* = lab^*h^* = h_{ab}/360 = 0.164$

$u^*_e = r50j$
 lab^*olv^*

Daten für jede Farbe:

lab^*ch^* und lab^*icu^*

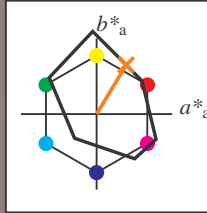
Buntontexte:

$u^*_e = r50j$ $u^*_d = o40y$

Kontrastreduzierungsfaktor:

$c_R = 1.0$

Dreiecks-Helligkeit t^*



FRS09_92a; adaptierte CIELAB-Daten

u^*_e	$L^*=L^*_a$	a^*_a	b^*_a	$C^*_{ab,a}$	$h^*_{ab,a}$
O _{Ma}	35.06	60.0	44.0	74.4	36
Y _{Ma}	83.77	-5.17	109.32	109.44	93
L _{Ma}	44.13	-62.67	48.24	79.09	142
C _{Ma}	52.66	-29.14	-31.99	43.27	228
V _{Ma}	14.15	50.3	-59.04	77.57	310
M _{Ma}	37.37	78.64	-33.5	85.48	337
N _{Ma}	8.58	0.0	0.0	0.0	0
W _{Ma}	92.02	0.0	0.0	0.0	0
R _{Ma}	39.92	58.74	27.99	65.07	25
J _{Ma}	81.26	-2.89	71.56	71.62	92
G _{Ma}	52.23	-42.42	13.6	44.55	162
B _{Ma}	30.57	1.41	-46.47	46.49	272

Daten für Maximalfarbe (Ma):

$LAB^*LAB^*_{Ma}$: 51 39 65

$LAB^*LCH^*_{Ma}$: 51 76 58

$lab^*rgb^*_{Ma}$: 1.0 0.5 0.0

$lab^*olv^*_{Ma}$: 1.0 0.4 0.0

Dreiecks-Helligkeit t^*

%Umfang

$u^*_{rel} = 109$

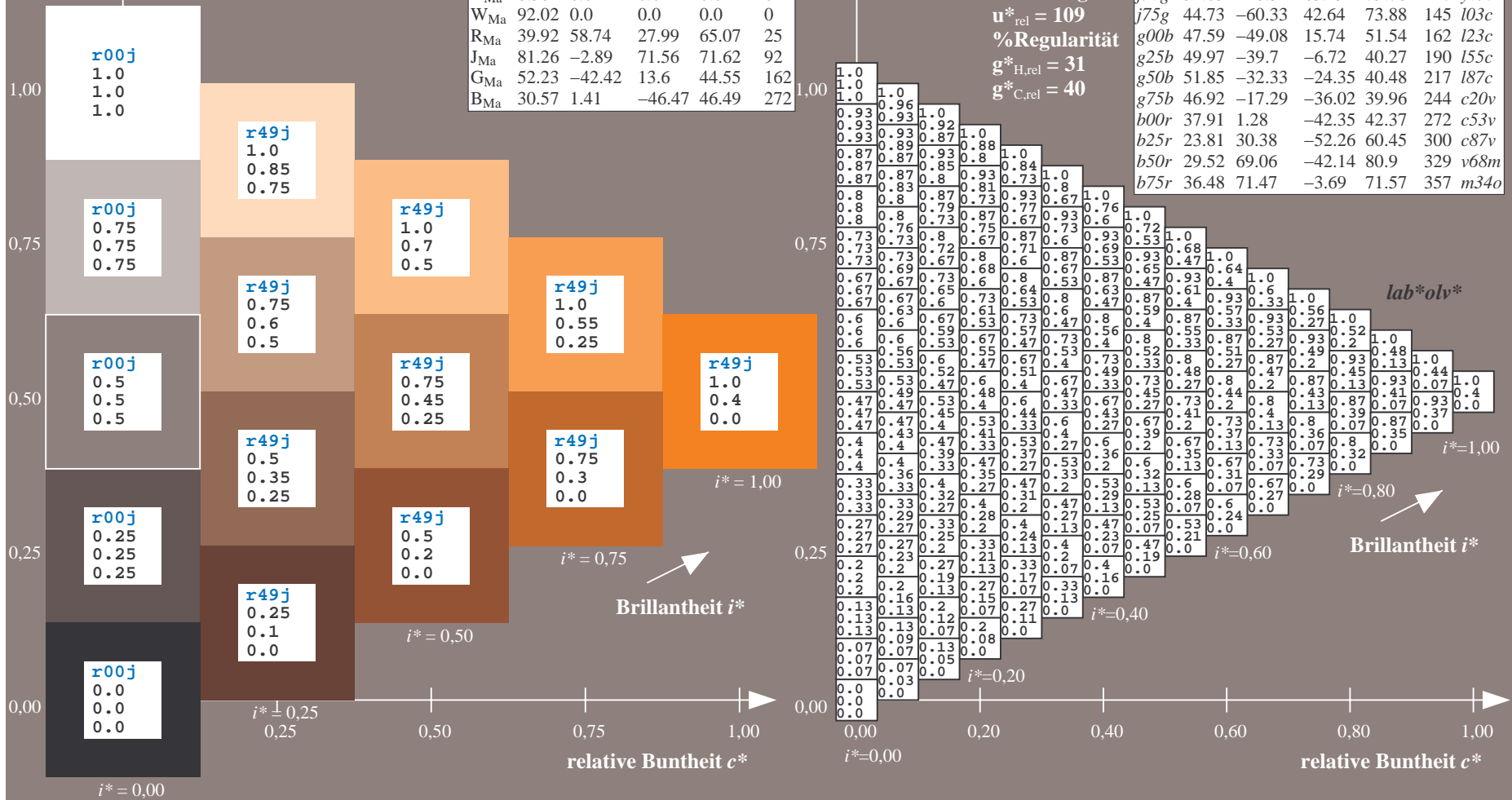
%Regularität

$g^*_{H,rel} = 31$

$g^*_{C,rel} = 40$

FRS09_92a; adaptierte CIELAB-Daten

u^*_e	$L^*=L^*_a$	a^*_a	b^*_a	$C^*_{ab,a}$	$h^*_{ab,a}$	u^*_d
r00j	35.47	63.32	30.17	70.15	25	m81o
r25j	39.12	54.56	49.45	73.64	42	o10y
r50j	50.64	39.15	64.89	75.79	59	o40y
r75j	64.01	21.26	82.83	85.52	76	o69y
j00g	83.18	-4.38	108.53	108.62	92	o98y
j25g	66.73	-29.89	83.06	88.28	110	y34l
j50g	54.03	-48.31	63.49	79.78	127	y69l
j75g	44.73	-60.33	42.64	73.88	145	103c
g00b	47.59	-49.08	15.74	51.54	162	i23c
g25b	49.97	-39.7	-6.72	40.27	190	i55c
g50b	51.85	-32.33	-24.35	40.48	217	i87c
g75b	46.92	-17.29	-36.02	39.96	244	c20v
b00r	37.91	1.28	-42.35	42.37	272	c53v
b25r	23.81	30.38	-52.26	60.45	300	c87v
b50r	29.52	69.06	-42.14	80.9	329	v68m
b75r	36.48	71.47	-3.69	71.57	357	m34o



Ein und Ausgabe: Farbmatisches Drucker-Reflektiv-System FRS09_92a für relativen CIELAB-Bunton $h^* = lab^*h^* = h_{ab}/360 = 0.21$

$u^*_e = r75j$

Daten für jede Farbe:

lab^*ch^* und lab^*icu^*

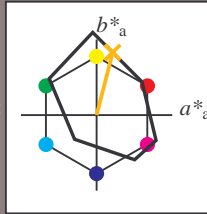
Buntontexte:

$u^*_e = r75j$ $u^*_d = o69y$

Kontrastreduzierungsfaktor:

$c_R = 1.0$

Dreiecks-Helligkeit t^*



FRS09_92a; adaptierte CIELAB-Daten						
u^*_e	$L^*=L^*_a$	a^*_a	b^*_a	$C^*_{ab,a}$	$h^*_{ab,a}$	
O _{Ma}	35.06	60.0	44.0	74.4	36	
Y _{Ma}	83.77	-5.17	109.32	109.44	93	
L _{Ma}	44.13	-62.67	48.24	79.09	142	
C _{Ma}	52.66	-29.14	-31.99	43.27	228	
V _{Ma}	14.15	50.3	-59.04	77.57	310	
M _{Ma}	37.37	78.64	-33.5	85.48	337	
N _{Ma}	8.58	0.0	0.0	0.0	0	
W _{Ma}	92.02	0.0	0.0	0.0	0	
R _{Ma}	39.92	58.74	27.99	65.07	25	
J _{Ma}	81.26	-2.89	71.56	71.62	92	
G _{Ma}	52.23	-42.42	13.6	44.55	162	
B _{Ma}	30.57	1.41	-46.47	46.49	272	

Daten für Maximalfarbe (Ma):

$LAB^*LAB^*_{Ma}$: 64 21 83

$LAB^*LCH^*_{Ma}$: 64 86 75

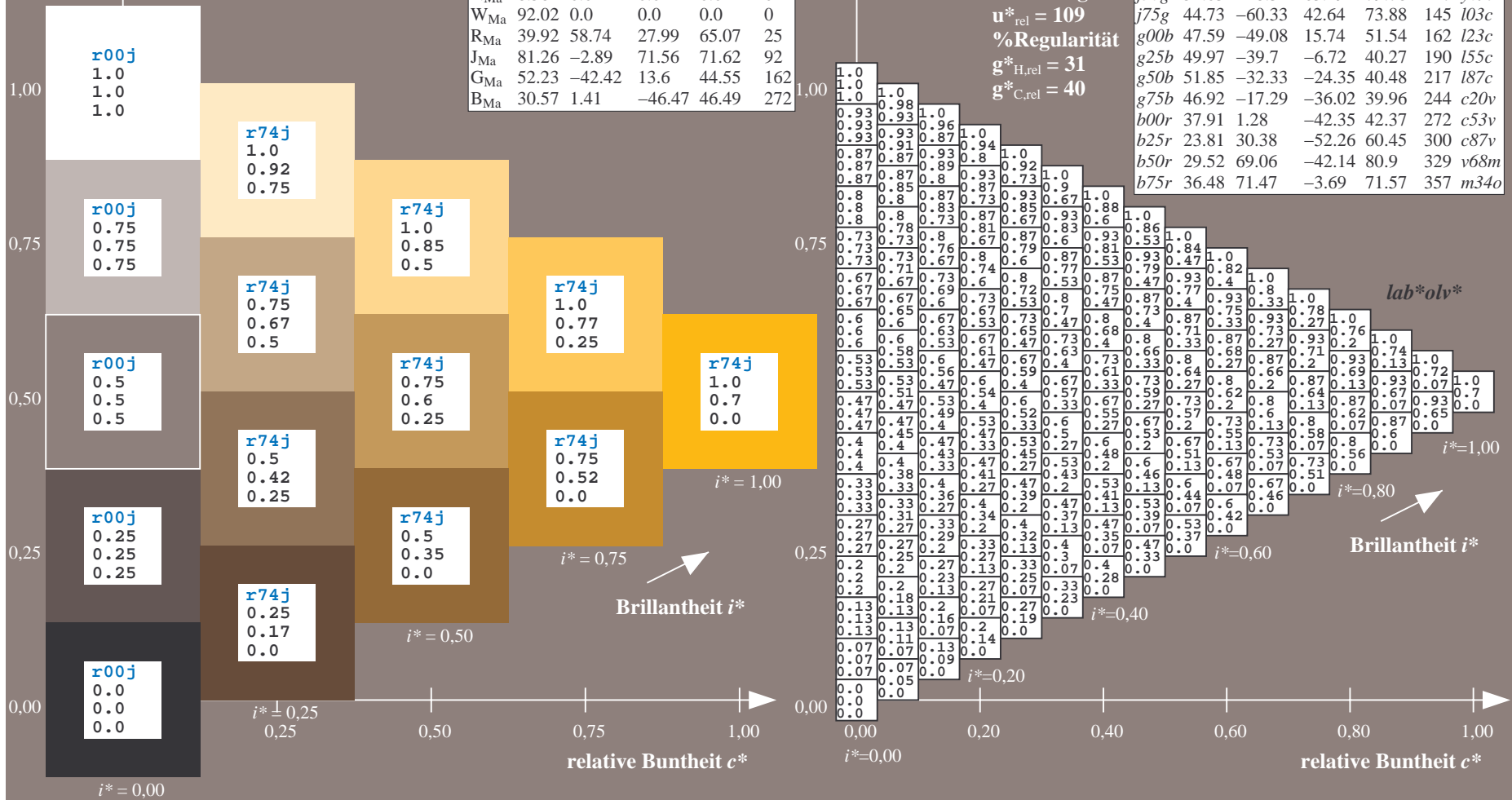
$lab^*rgb^*_{Ma}$: 1.0 0.75 0.0

$lab^*olv^*_{Ma}$: 1.0 0.7 0.0

Dreiecks-Helligkeit t^*

FRS09_92a; adaptierte CIELAB-Daten

u^*_e	$L^*=L^*_a$	a^*_a	b^*_a	$C^*_{ab,a}$	$h^*_{ab,a}$	u^*_d
r00j	35.47	63.32	30.17	70.15	25	m81o
r25j	39.12	54.56	49.45	73.64	42	o10y
r50j	50.64	39.15	64.89	75.79	59	o40y
r75j	64.01	21.26	82.83	85.52	76	o69y
j00g	83.18	-4.38	108.53	108.62	92	o98y
j25g	66.73	-29.89	83.06	88.28	110	y34l
j50g	54.03	-48.31	63.49	79.78	127	y69l
j75g	44.73	-60.33	42.64	73.88	145	103c
g00b	47.59	-49.08	15.74	51.54	162	i23c
g25b	49.97	-39.7	-6.72	40.27	190	i55c
g50b	51.85	-32.33	-24.35	40.48	217	i87c
g75b	46.92	-17.29	-36.02	39.96	244	c20v
b00r	37.91	1.28	-42.35	42.37	272	c53v
b25r	23.81	30.38	-52.26	60.45	300	c87v
b50r	29.52	69.06	-42.14	80.9	329	v68m
b75r	36.48	71.47	-3.69	71.57	357	m34o



Ein und Ausgabe: Farbmatisches Drucker-Reflektiv-System FRS09_92a für relativen CIELAB-Bunton $h^* = lab^*h^* = h_{ab}/360 = 0.256$

$u^*_e = j00g$
 lab^*olv^*

Daten für jede Farbe:

lab^*tch^* und lab^*icu^*

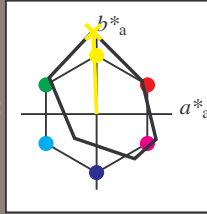
Buntontexte:

$u^*_e = j00g$ $u^*_d = o98y$

Kontrastreduzierungsfaktor:

$c_R = 1.0$

Dreiecks-Helligkeit t^*



FRS09_92a; adaptierte CIELAB-Daten

u^*_e	$L^*=L^*_a$	a^*_a	b^*_a	$C^*_{ab,a}$	$h^*_{ab,a}$
O _{Ma}	35.06	60.0	44.0	74.4	36
Y _{Ma}	83.77	-5.17	109.32	109.44	93
L _{Ma}	44.13	-62.67	48.24	79.09	142
C _{Ma}	52.66	-29.14	-31.99	43.27	228
V _{Ma}	14.15	50.3	-59.04	77.57	310
M _{Ma}	37.37	78.64	-33.5	85.48	337
N _{Ma}	8.58	0.0	0.0	0.0	0
W _{Ma}	92.02	0.0	0.0	0.0	0
R _{Ma}	39.92	58.74	27.99	65.07	25
J _{Ma}	81.26	-2.89	71.56	71.62	92
G _{Ma}	52.23	-42.42	13.6	44.55	162
B _{Ma}	30.57	1.41	-46.47	46.49	272

Daten für Maximalfarbe (Ma):

$LAB^*LAB^*_{Ma}$: 83 -4 109

$LAB^*LCH^*_{Ma}$: 83 109 92

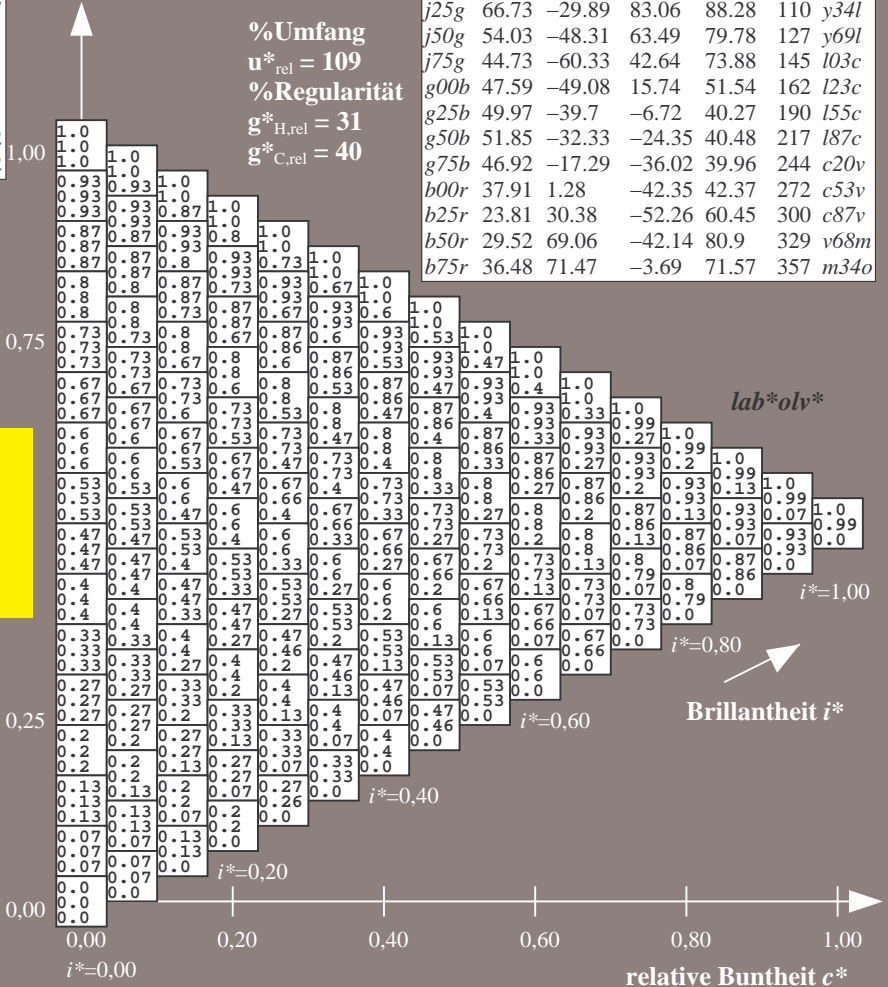
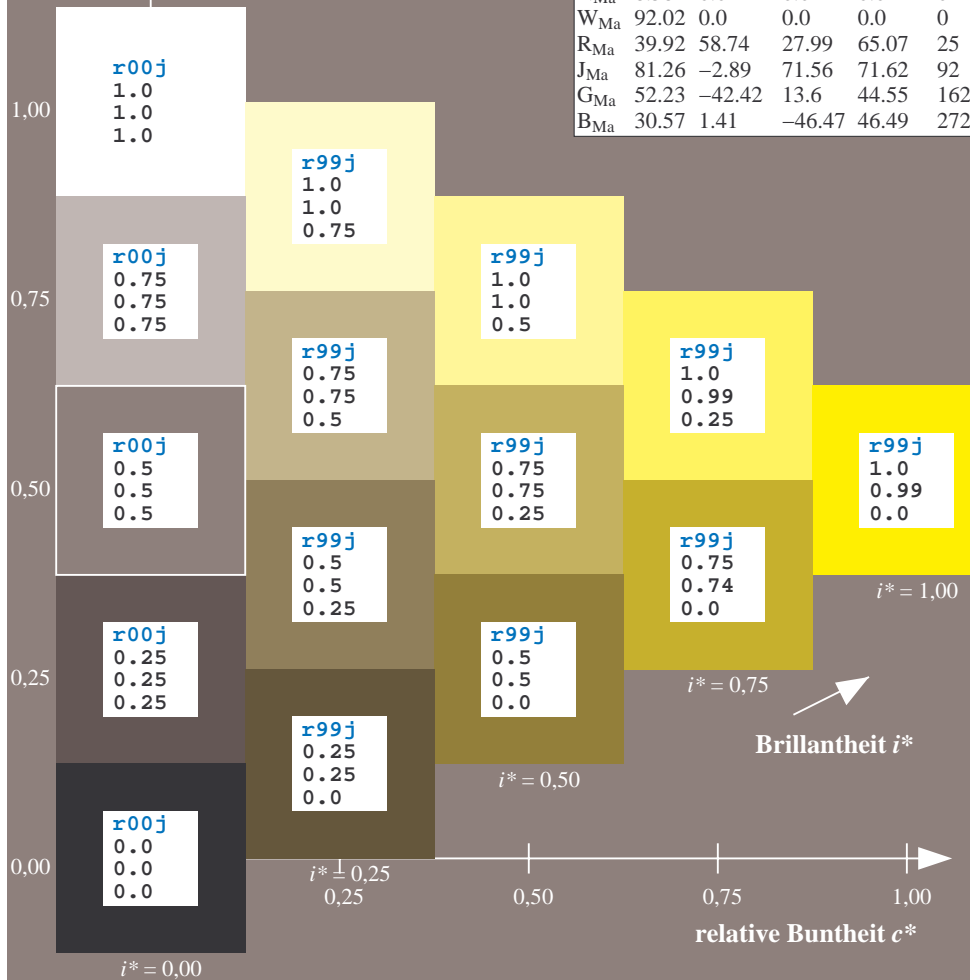
$lab^*rgb^*_{Ma}$: 1.0 1.0 0.0

$lab^*olv^*_{Ma}$: 1.0 0.99 0.0

Dreiecks-Helligkeit t^*

FRS09_92a; adaptierte CIELAB-Daten

u^*_e	$L^*=L^*_a$	a^*_a	b^*_a	$C^*_{ab,a}$	$h^*_{ab,a}$	u^*_d
r00j	35.47	63.32	30.17	70.15	25	m81o
r25j	39.12	54.56	49.45	73.64	42	o10y
r50j	50.64	39.15	64.89	75.79	59	o40y
r75j	64.01	21.26	82.83	85.52	76	o69y
j00g	83.18	-4.38	108.53	108.62	92	o98y
j25g	66.73	-29.89	83.06	88.28	110	y34l
j50g	54.03	-48.31	63.49	79.78	127	y69l
j75g	44.73	-60.33	42.64	73.88	145	l03c
g00b	47.59	-49.08	15.74	51.54	162	i23c
g25b	49.97	-39.7	-6.72	40.27	190	i55c
g50b	51.85	-32.33	-24.35	40.48	217	i87c
g75b	46.92	-17.29	-36.02	39.96	244	c20v
b00r	37.91	1.28	-42.35	42.37	272	c53v
b25r	23.81	30.38	-52.26	60.45	300	c87v
b50r	29.52	69.06	-42.14	80.9	329	v68m
b75r	36.48	71.47	-3.69	71.57	357	m34o



Ein und Ausgabe: Farbmatisches Drucker-Reflektiv-System FRS09_92a für relativen CIELAB-Bunton $h^* = lab^*h^* = h_{ab}/360 = 0.305$

$u^*_e = j25g$
 lab^*olv^*

Daten für jede Farbe:

lab^*tch^* und lab^*icu^*

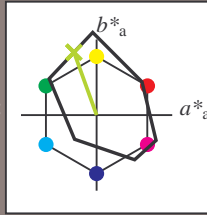
Buntontexte:

$u^*_e = j25g$ $u^*_d = y34l$

Kontrastreduzierungsfaktor:

$c_R = 1.0$

Dreiecks-Helligkeit t^*



FRS09_92a; adaptierte CIELAB-Daten

u^*_e	$L^*=L^*_a$	a^*_a	b^*_a	$C^*_{ab,a}$	$h^*_{ab,a}$
O _{Ma}	35.06	60.0	44.0	74.4	36
Y _{Ma}	83.77	-5.17	109.32	109.44	93
L _{Ma}	44.13	-62.67	48.24	79.09	142
C _{Ma}	52.66	-29.14	-31.99	43.27	228
V _{Ma}	14.15	50.3	-59.04	77.57	310
M _{Ma}	37.37	78.64	-33.5	85.48	337
N _{Ma}	8.58	0.0	0.0	0.0	0
W _{Ma}	92.02	0.0	0.0	0.0	0
R _{Ma}	39.92	58.74	27.99	65.07	25
J _{Ma}	81.26	-2.89	71.56	71.62	92
G _{Ma}	52.23	-42.42	13.6	44.55	162
B _{Ma}	30.57	1.41	-46.47	46.49	272

Daten für Maximalfarbe (Ma):

$LAB^*LAB^*_{Ma}$: 67 -30 83

$LAB^*LCH^*_{Ma}$: 67 88 109

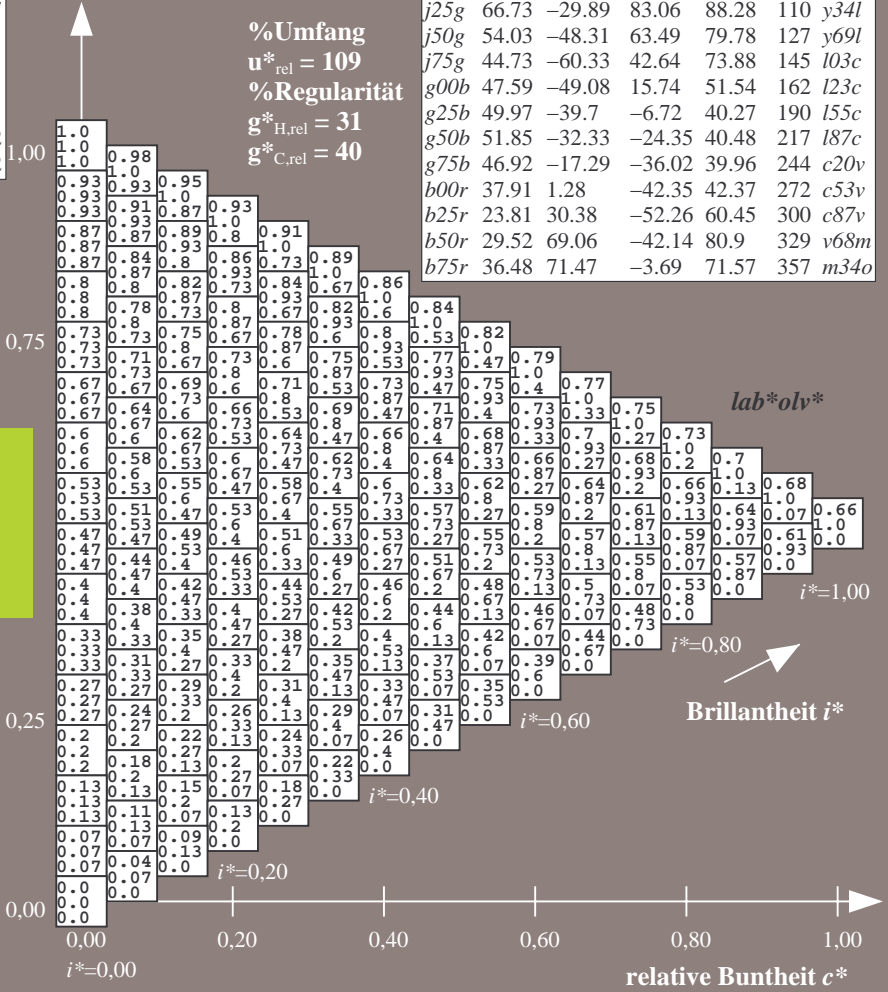
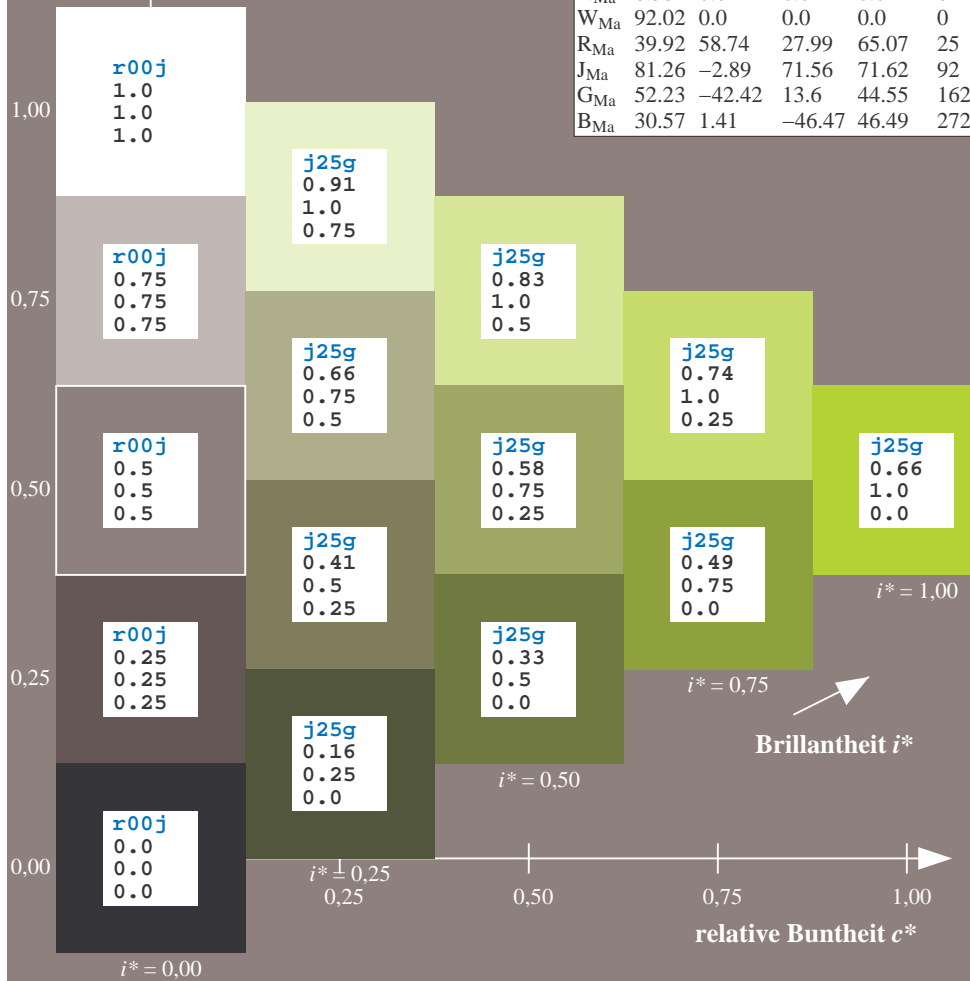
$lab^*rgb^*_{Ma}$: 0.75 1.0 0.0

$lab^*olv^*_{Ma}$: 0.66 1.0 0.0

Dreiecks-Helligkeit t^*

FRS09_92a; adaptierte CIELAB-Daten

u^*_e	$L^*=L^*_a$	a^*_a	b^*_a	$C^*_{ab,a}$	$h^*_{ab,a}$	u^*_d
r00j	35.47	63.32	30.17	70.15	25	m81o
r25j	39.12	54.56	49.45	73.64	42	o10y
r50j	50.64	39.15	64.89	75.79	59	o40y
r75j	64.01	21.26	82.83	85.52	76	o69y
j00g	83.18	-4.38	108.53	108.62	92	o98y
j25g	66.73	-29.89	83.06	88.28	110	y34l
j50g	54.03	-48.31	63.49	79.78	127	y69l
j75g	44.73	-60.33	42.64	73.88	145	l03c
g00b	47.59	-49.08	15.74	51.54	162	i23c
g25b	49.97	-39.7	-6.72	40.27	190	i55c
g50b	51.85	-32.33	-24.35	40.48	217	i87c
g75b	46.92	-17.29	-36.02	39.96	244	c20v
b00r	37.91	1.28	-42.35	42.37	272	c53v
b25r	23.81	30.38	-52.26	60.45	300	c87v
b50r	29.52	69.06	-42.14	80.9	329	v68m
b75r	36.48	71.47	-3.69	71.57	357	m34o



%Umfang
 $u^*_{rel} = 109$
%Regularität
 $g^*_{H,rel} = 31$
 $g^*_{C,rel} = 40$

Brillantheit i^*

$i^* = 1.00$

$i^* = 0.80$

$i^* = 0.60$

$i^* = 0.40$

$i^* = 0.20$

$i^* = 0.00$

Ein und Ausgabe: Farbmatisches Drucker-Reflektiv-System FRS09_92a für relativen CIELAB-Bunton $h^* = lab^*h^* = h_{ab}/360 = 0.354$

$u^*_e = j50g$
 lab^*olv^*

Daten für jede Farbe:

lab^*tch^* und lab^*icu^*

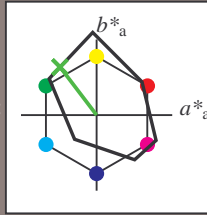
Buntontexte:

$u^*_e = j50g$ $u^*_d = y69l$

Kontrastreduzierungsfaktor:

$c_R = 1.0$

Dreiecks-Helligkeit t^*



FRS09_92a; adaptierte CIELAB-Daten

u^*_e	$L^*=L^*_a$	a^*_a	b^*_a	$C^*_{ab,a}$	$h^*_{ab,a}$
O _{Ma}	35.06	60.0	44.0	74.4	36
Y _{Ma}	83.77	-5.17	109.32	109.44	93
L _{Ma}	44.13	-62.67	48.24	79.09	142
C _{Ma}	52.66	-29.14	-31.99	43.27	228
V _{Ma}	14.15	50.3	-59.04	77.57	310
M _{Ma}	37.37	78.64	-33.5	85.48	337
N _{Ma}	8.58	0.0	0.0	0.0	0
W _{Ma}	92.02	0.0	0.0	0.0	0
R _{Ma}	39.92	58.74	27.99	65.07	25
J _{Ma}	81.26	-2.89	71.56	71.62	92
G _{Ma}	52.23	-42.42	13.6	44.55	162
B _{Ma}	30.57	1.41	-46.47	46.49	272

Daten für Maximalfarbe (Ma):

$LAB^*LAB^*_{Ma}$: 54 -48 63

$LAB^*LCH^*_{Ma}$: 54 80 127

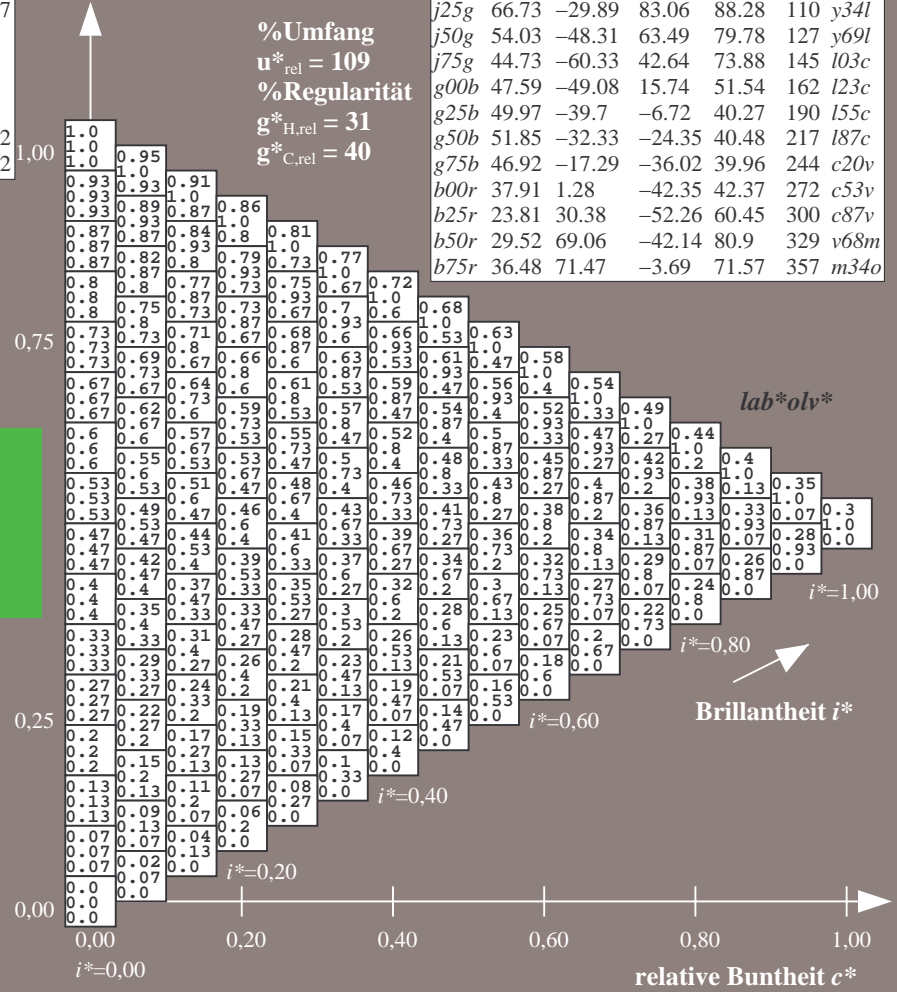
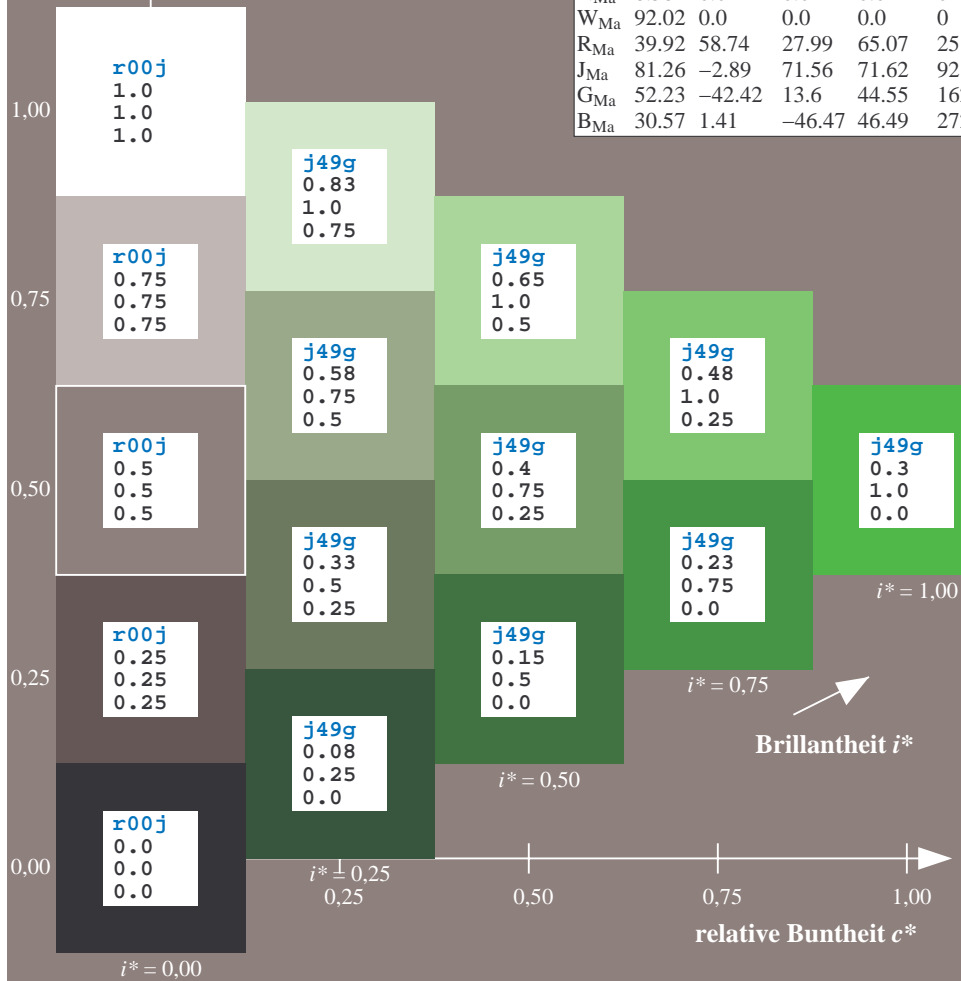
$lab^*rgb^*_{Ma}$: 0.5 1.0 0.0

$lab^*olv^*_{Ma}$: 0.3 1.0 0.0

Dreiecks-Helligkeit t^*

FRS09_92a; adaptierte CIELAB-Daten

u^*_e	$L^*=L^*_a$	a^*_a	b^*_a	$C^*_{ab,a}$	$h^*_{ab,a}$	u^*_d
r00j	35.47	63.32	30.17	70.15	25	m81o
r25j	39.12	54.56	49.45	73.64	42	o10y
r50j	50.64	39.15	64.89	75.79	59	o40y
r75j	64.01	21.26	82.83	85.52	76	o69y
j00g	83.18	-4.38	108.53	108.62	92	o98y
j25g	66.73	-29.89	83.06	88.28	110	y34l
j50g	54.03	-48.31	63.49	79.78	127	y69l
j75g	44.73	-60.33	42.64	73.88	145	103c
g00b	47.59	-49.08	15.74	51.54	162	l23c
g25b	49.97	-39.7	-6.72	40.27	190	l55c
g50b	51.85	-32.33	-24.35	40.48	217	l87c
g75b	46.92	-17.29	-36.02	39.96	244	c20v
b00r	37.91	1.28	-42.35	42.37	272	c53v
b25r	23.81	30.38	-52.26	60.45	300	c87v
b50r	29.52	69.06	-42.14	80.9	329	v68m
b75r	36.48	71.47	-3.69	71.57	357	m34o



Ein und Ausgabe: Farbmatisches Drucker-Reflektiv-System FRS09_92a für relativen CIELAB-Bunton $h^* = lab^*h^* = h_{ab}/360 = 0.402$

$u^*_e = j75g$
 lab^*olv^*

Daten für jede Farbe:

lab^*tch^* und lab^*icu^*

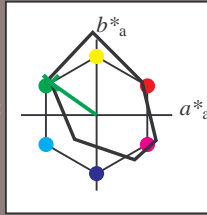
Buntontexte:

$u^*_e = j75g$ $u^*_d = l03c$

Kontrastreduzierungsfaktor:

$c_R = 1.0$

Dreiecks-Helligkeit t^*



FRS09_92a; adaptierte CIELAB-Daten

u^*_e	$L^*=L^*_a$	a^*_a	b^*_a	$C^*_{ab,a}$	$h^*_{ab,a}$
O _{Ma}	35.06	60.0	44.0	74.4	36
Y _{Ma}	83.77	-5.17	109.32	109.44	93
L _{Ma}	44.13	-62.67	48.24	79.09	142
C _{Ma}	52.66	-29.14	-31.99	43.27	228
V _{Ma}	14.15	50.3	-59.04	77.57	310
M _{Ma}	37.37	78.64	-33.5	85.48	337
N _{Ma}	8.58	0.0	0.0	0.0	0
W _{Ma}	92.02	0.0	0.0	0.0	0
R _{Ma}	39.92	58.74	27.99	65.07	25
J _{Ma}	81.26	-2.89	71.56	71.62	92
G _{Ma}	52.23	-42.42	13.6	44.55	162
B _{Ma}	30.57	1.41	-46.47	46.49	272

Daten für Maximalfarbe (Ma):

$LAB^*LAB^*_{Ma}: 45 -60 43$

$LAB^*LCH^*_{Ma}: 45 74 144$

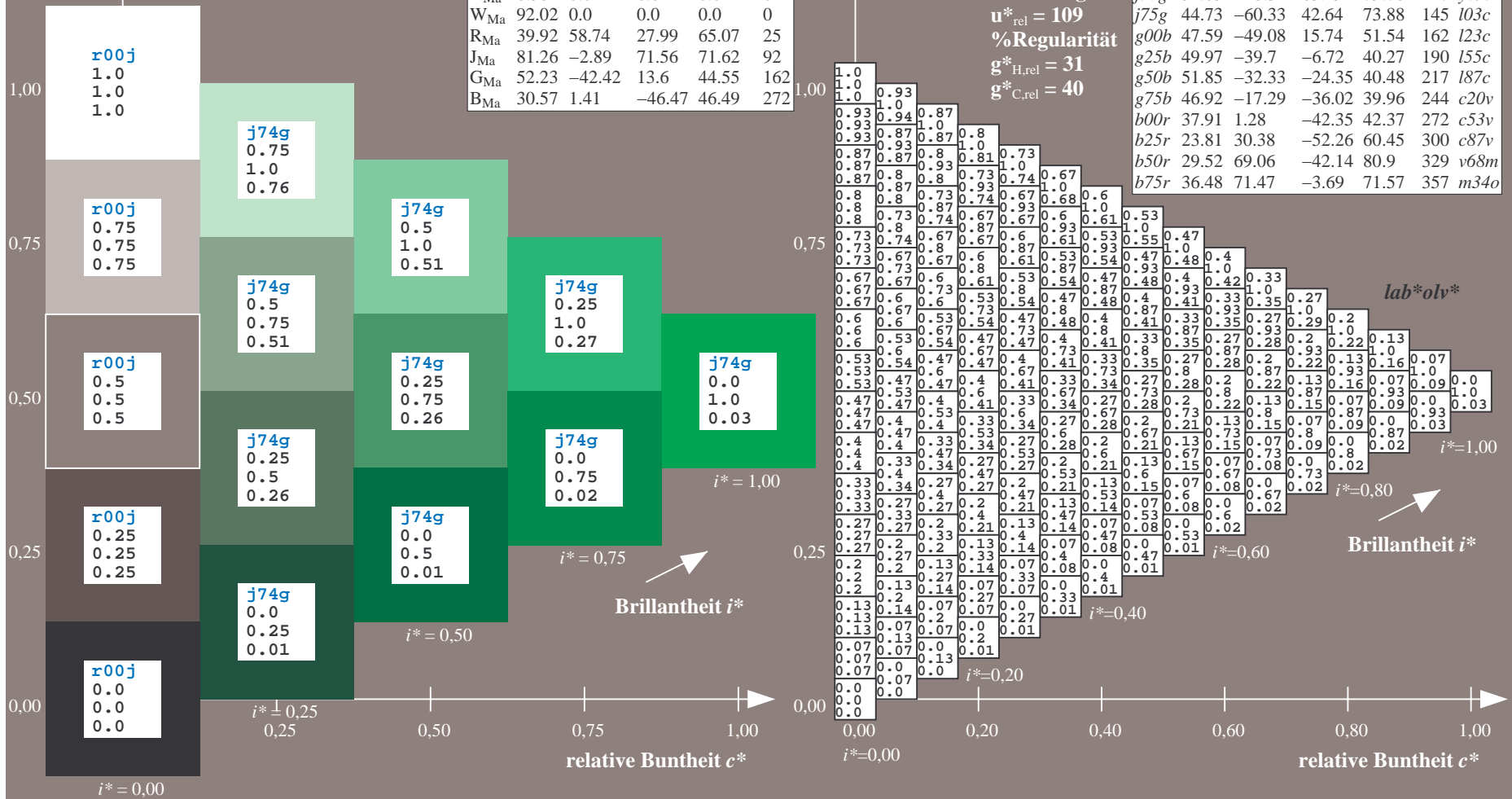
$lab^*rgb^*_{Ma}: 0.25 1.0 0.0$

$lab^*olv^*_{Ma}: 0.0 1.0 0.03$

Dreiecks-Helligkeit t^*

FRS09_92a; adaptierte CIELAB-Daten

u^*_e	$L^*=L^*_a$	a^*_a	b^*_a	$C^*_{ab,a}$	$h^*_{ab,a}$	u^*_d
r00j	35.47	63.32	30.17	70.15	25	m81o
r25j	39.12	54.56	49.45	73.64	42	o10y
r50j	50.64	39.15	64.89	75.79	59	o40y
r75j	64.01	21.26	82.83	85.52	76	o69y
j00g	83.18	-4.38	108.53	108.62	92	o98y
j25g	66.73	-29.89	83.06	88.28	110	y34l
j50g	54.03	-48.31	63.49	79.78	127	y69l
j75g	44.73	-60.33	42.64	73.88	145	l03c
g00b	47.59	-49.08	15.74	51.54	162	l23c
g25b	49.97	-39.7	-6.72	40.27	190	l55c
g50b	51.85	-32.33	-24.35	40.48	217	l87c
g75b	46.92	-17.29	-36.02	39.96	244	c20v
b00r	37.91	1.28	-42.35	42.47	272	c53v
b25r	23.81	30.38	-52.26	60.45	300	c87v
b50r	29.52	69.06	-42.14	80.9	329	v68m
b75r	36.48	71.47	-3.69	71.57	357	m34o



Ein und Ausgabe: Farbmatisches Drucker-Reflektiv-System FRS09_92a für relativen CIELAB-Bunton $h^* = lab^*h^* = h_{ab}/360 = 0.451$

$u^*_e = g00b$
 lab^*olv^*

Daten für jede Farbe:

lab^*tch^* und lab^*icu^*

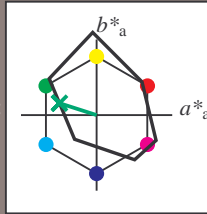
Buntontexte:

$u^*_e = g00b$ $u^*_d = l23c$

Kontrastreduzierungsfaktor:

$c_R = 1.0$

Dreiecks-Helligkeit t^*



FRS09_92a; adaptierte CIELAB-Daten

u^*_e	$L^*=L^*_a$	a^*_a	b^*_a	$C^*_{ab,a}$	$h^*_{ab,a}$
O _{Ma}	35.06	60.0	44.0	74.4	36
Y _{Ma}	83.77	-5.17	109.32	109.44	93
L _{Ma}	44.13	-62.67	48.24	79.09	142
C _{Ma}	52.66	-29.14	-31.99	43.27	228
V _{Ma}	14.15	50.3	-59.04	77.57	310
M _{Ma}	37.37	78.64	-33.5	85.48	337
N _{Ma}	8.58	0.0	0.0	0.0	0
W _{Ma}	92.02	0.0	0.0	0.0	0
R _{Ma}	39.92	58.74	27.99	65.07	25
J _{Ma}	81.26	-2.89	71.56	71.62	92
G _{Ma}	52.23	-42.42	13.6	44.55	162
B _{Ma}	30.57	1.41	-46.47	46.49	272

Daten für Maximalfarbe (Ma):

$LAB^*LAB^*_{Ma}$: 48 -49 16

$LAB^*LCH^*_{Ma}$: 48 52 162

$lab^*rgb^*_{Ma}$: 0.0 1.0 0.0

$lab^*olv^*_{Ma}$: 0.0 1.0 0.23

Dreiecks-Helligkeit t^*

%Umfang

$u^*_{rel} = 109$

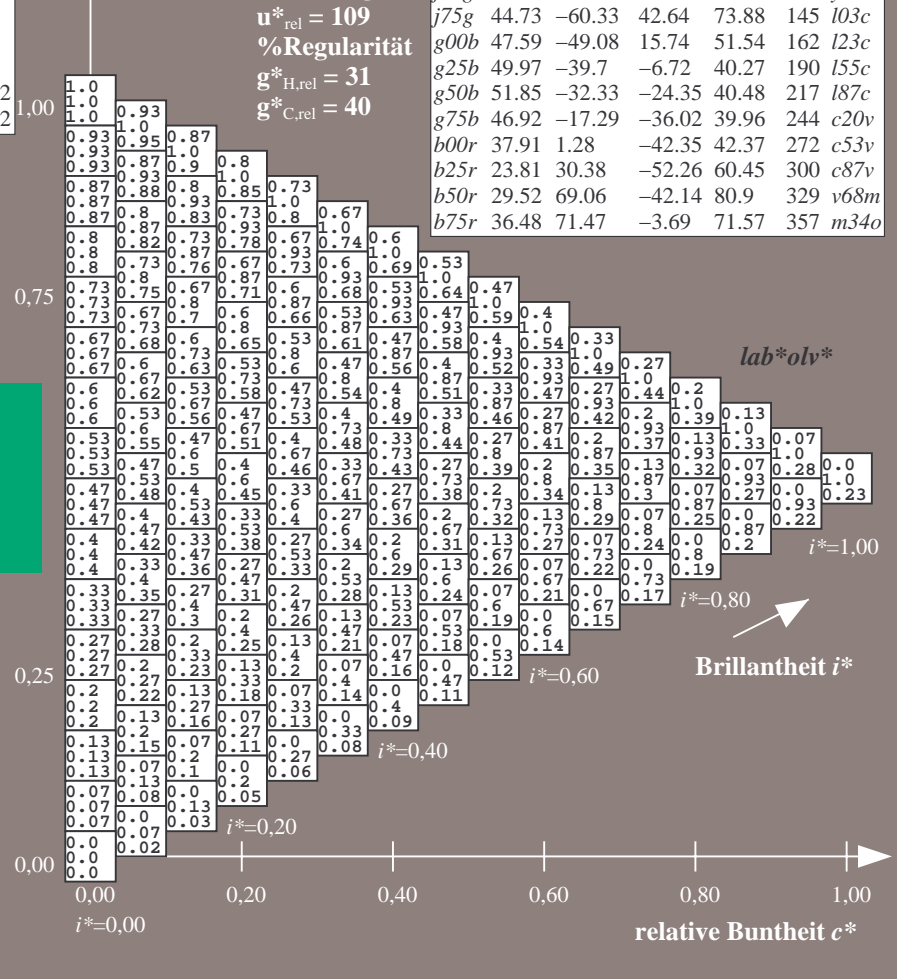
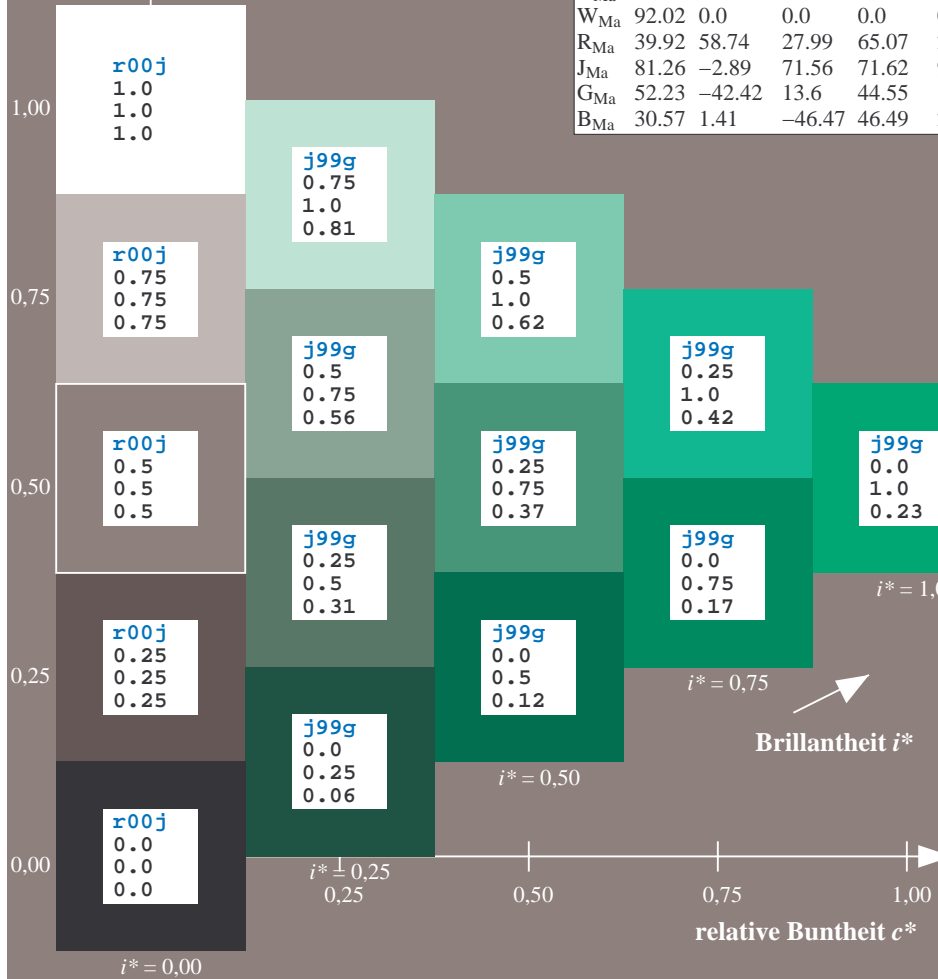
%Regularität

$g^*_{H,rel} = 31$

$g^*_{C,rel} = 40$

FRS09_92a; adaptierte CIELAB-Daten

u^*_e	$L^*=L^*_a$	a^*_a	b^*_a	$C^*_{ab,a}$	$h^*_{ab,a}$	u^*_d
r00j	35.47	63.32	30.17	70.15	25	m81o
r25j	39.12	54.56	49.45	73.64	42	o10y
r50j	50.64	39.15	64.89	75.79	59	o40y
r75j	64.01	21.26	82.83	85.52	76	o69y
j00g	83.18	-4.38	108.53	108.62	92	o98y
j25g	66.73	-29.89	83.06	88.28	110	y34l
j50g	54.03	-48.31	63.49	79.78	127	y69l
j75g	44.73	-60.33	42.64	73.88	145	162 l23c
g00b	47.59	-49.08	15.74	51.54	162	145 l23c
g25b	49.97	-39.7	-6.72	40.27	190	155c
g50b	51.85	-32.33	-24.35	40.48	217	187c
g75b	46.92	-17.29	-36.02	39.96	244	c20v
b00r	37.91	1.28	-42.35	42.37	272	c53v
b25r	23.81	30.38	-52.26	60.45	300	c87v
b50r	29.52	69.06	-42.14	80.9	329	v68m
b75r	36.48	71.47	-3.69	71.57	357	m34o



Ein und Ausgabe: Farbmatisches Drucker-Reflektiv-System FRS09_92a für relativen CIELAB-Bunton $h^* = lab^*h^* = h_{ab}/360 = 0.527$

$u^*_e = g25b$
 lab^*olv^*

Daten für jede Farbe:

lab^*tch^* und lab^*icu^*

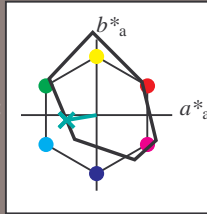
Buntontexte:

$u^*_e = g25b$ $u^*_d = l55c$

Kontrastreduzierungsfaktor:

$c_R = 1.0$

Dreiecks-Helligkeit t^*



FRS09_92a; adaptierte CIELAB-Daten

u^*_e	$L^*=L^*_a$	a^*_a	b^*_a	$C^*_{ab,a}$	$h^*_{ab,a}$
O _{Ma}	35.06	60.0	44.0	74.4	36
Y _{Ma}	83.77	-5.17	109.32	109.44	93
L _{Ma}	44.13	-62.67	48.24	79.09	142
C _{Ma}	52.66	-29.14	-31.99	43.27	228
V _{Ma}	14.15	50.3	-59.04	77.57	310
M _{Ma}	37.37	78.64	-33.5	85.48	337
N _{Ma}	8.58	0.0	0.0	0.0	0
W _{Ma}	92.02	0.0	0.0	0.0	0
R _{Ma}	39.92	58.74	27.99	65.07	25
J _{Ma}	81.26	-2.89	71.56	71.62	92
G _{Ma}	52.23	-42.42	13.6	44.55	162
B _{Ma}	30.57	1.41	-46.47	46.49	272

Daten für Maximalfarbe (Ma):

$LAB^*LAB^*_{Ma}: 50 -40 -7$

$LAB^*LCH^*_{Ma}: 50 40 189$

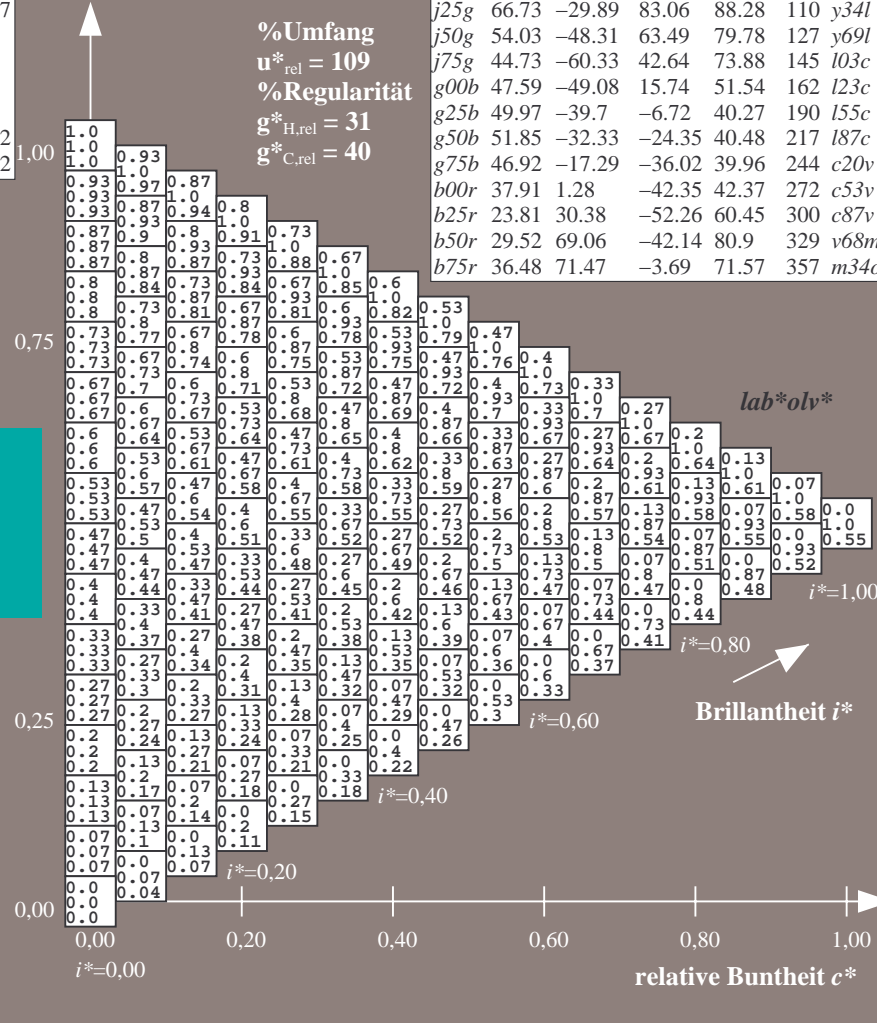
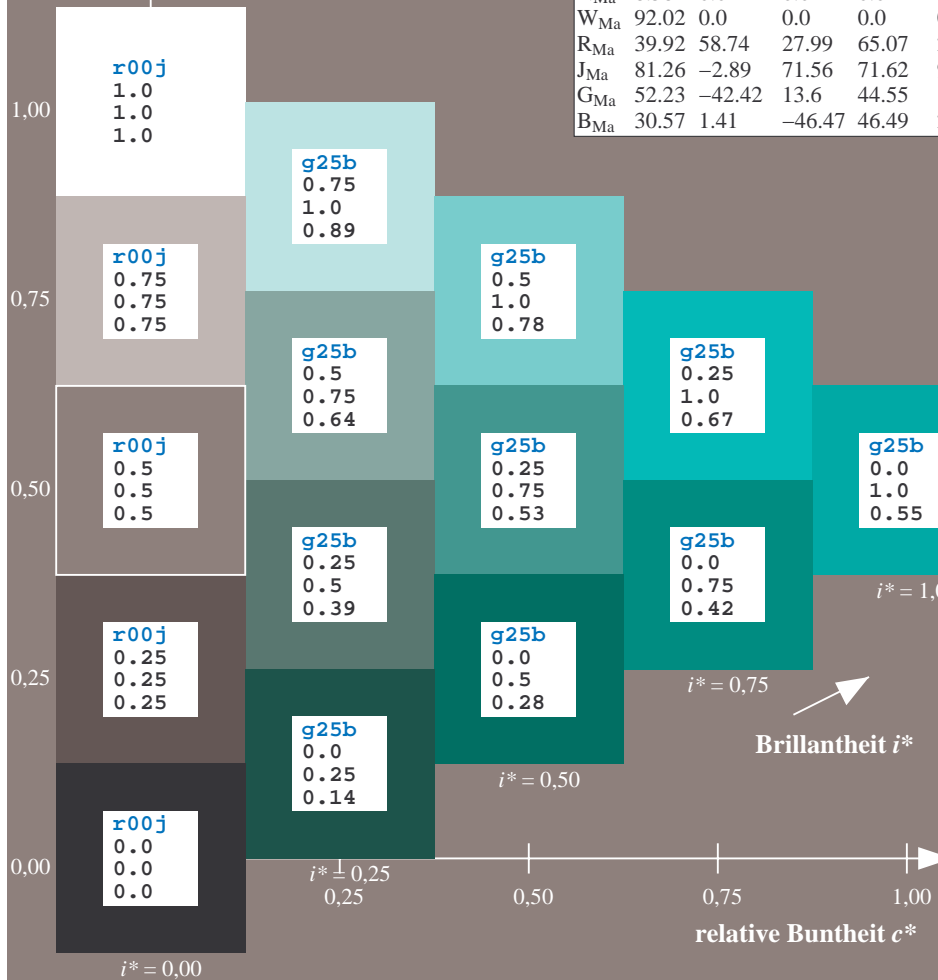
$lab^*rgb^*_{Ma}: 0.0 1.0 0.5$

$lab^*olv^*_{Ma}: 0.0 1.0 0.55$

Dreiecks-Helligkeit t^*

FRS09_92a; adaptierte CIELAB-Daten

u^*_e	$L^*=L^*_a$	a^*_a	b^*_a	$C^*_{ab,a}$	$h^*_{ab,a}$	u^*_d
r00j	35.47	63.32	30.17	70.15	25	m81o
r25j	39.12	54.56	49.45	73.64	42	o10y
r50j	50.64	39.15	64.89	75.79	59	o40y
r75j	64.01	21.26	82.83	85.52	76	o69y
j00g	83.18	-4.38	108.53	108.62	92	o98y
j25g	66.73	-29.89	83.06	88.28	110	y34l
j50g	54.03	-48.31	63.49	79.78	127	y69l
j75g	44.73	-60.33	42.64	73.88	145	l03c
g00b	47.59	-49.08	15.74	51.54	162	l23c
g25b	49.97	-39.7	-6.72	40.27	190	l55c
g50b	51.85	-32.33	-24.35	40.48	217	l87c
g75b	46.92	-17.29	-36.02	39.96	244	c20v
b00r	37.91	1.28	-42.35	42.37	272	c53v
b25r	23.81	30.38	-52.26	60.45	300	c87v
b50r	29.52	69.06	-42.14	80.9	329	v68m
b75r	36.48	71.47	-3.69	71.57	357	m34o



%Umfang
 $u^*_{rel} = 109$
%Regularität
 $g^*_{H,rel} = 31$
 $g^*_{C,rel} = 40$

lab^*olv^*

Brillantheit i^*

$i^* = 1,00$

$i^* = 0,80$

$i^* = 0,60$

$i^* = 0,40$

$i^* = 0,20$

Ein und Ausgabe: Farbmatisches Drucker-Reflektiv-System FRS09_92a für relativen CIELAB-Bunton $h^* = lab^*h^* = h_{ab}/360 = 0.603$

$u^*_e = g50b$
 lab^*olv^*

Daten für jede Farbe:

lab^*tch^* und lab^*icu^*

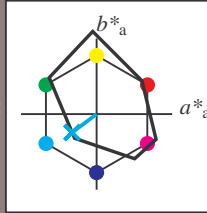
Buntontexte:

$u^*_e = g50b$ $u^*_d = l87c$

Kontrastreduzierungsfaktor:

$c_R = 1.0$

Dreiecks-Helligkeit t^*



FRS09_92a; adaptierte CIELAB-Daten

u^*_e	$L^*=L^*_a$	a^*_a	b^*_a	$C^*_{ab,a}$	$h^*_{ab,a}$
O _{Ma}	35.06	60.0	44.0	74.4	36
Y _{Ma}	83.77	-5.17	109.32	109.44	93
L _{Ma}	44.13	-62.67	48.24	79.09	142
C _{Ma}	52.66	-29.14	-31.99	43.27	228
V _{Ma}	14.15	50.3	-59.04	77.57	310
M _{Ma}	37.37	78.64	-33.5	85.48	337
N _{Ma}	8.58	0.0	0.0	0.0	0
W _{Ma}	92.02	0.0	0.0	0.0	0
R _{Ma}	39.92	58.74	27.99	65.07	25
J _{Ma}	81.26	-2.89	71.56	71.62	92
G _{Ma}	52.23	-42.42	13.6	44.55	162
B _{Ma}	30.57	1.41	-46.47	46.49	272

Daten für Maximalfarbe (Ma):

$LAB^*LAB^*_{Ma}: 52 -32 -24$

$LAB^*LCH^*_{Ma}: 52 40 216$

$lab^*rgb^*_{Ma}: 0.0 1.0 1.0$

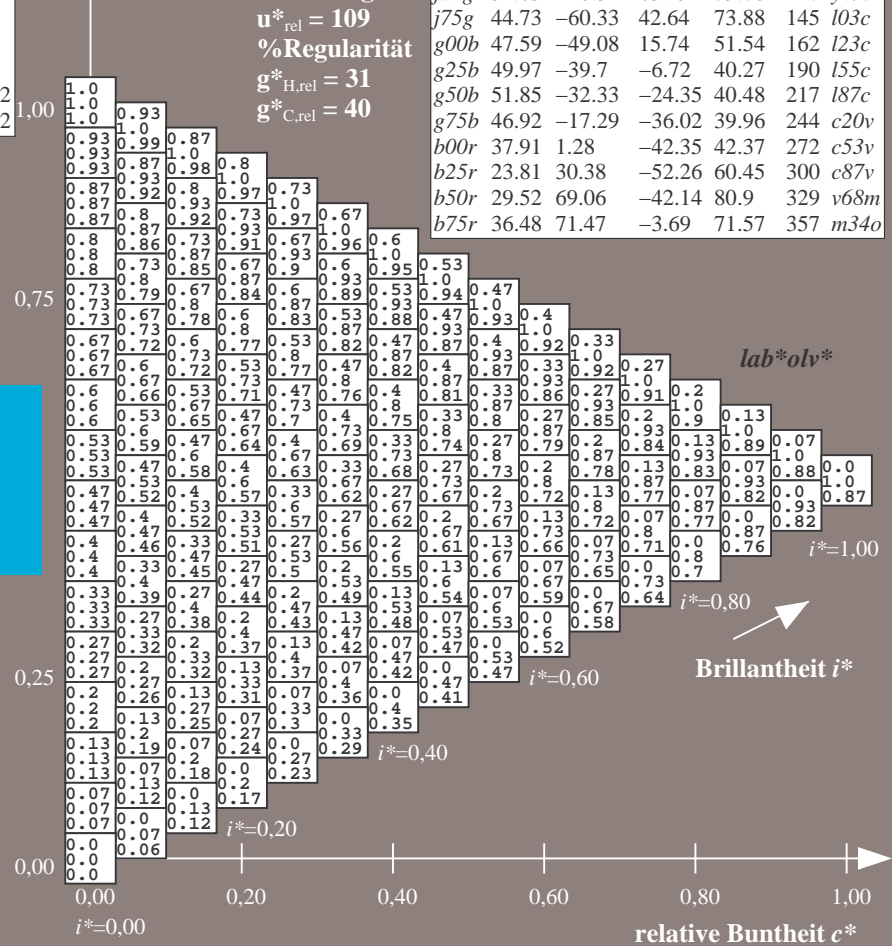
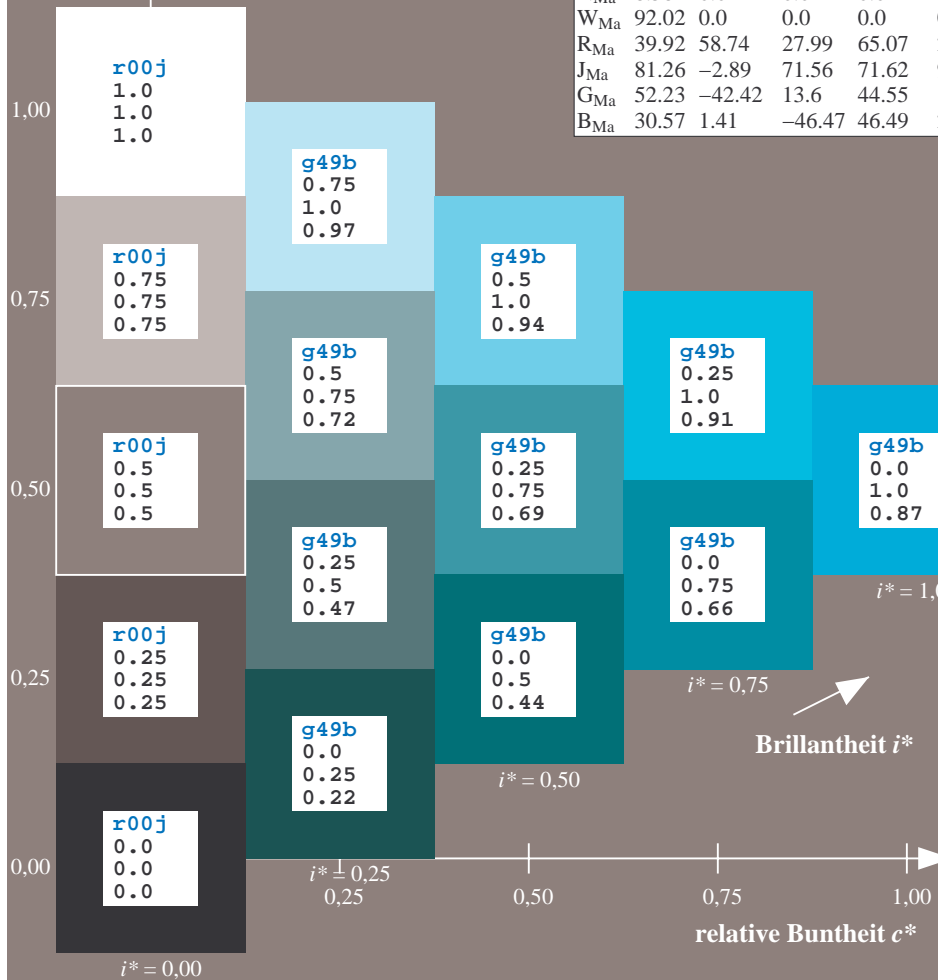
$lab^*olv^*_{Ma}: 0.0 1.0 0.87$

Dreiecks-Helligkeit t^*

%Umfang
 $u^*_{rel} = 109$
%Regularität
 $g^*_{H,rel} = 31$
 $g^*_{C,rel} = 40$

FRS09_92a; adaptierte CIELAB-Daten

u^*_e	$L^*=L^*_a$	a^*_a	b^*_a	$C^*_{ab,a}$	$h^*_{ab,a}$	u^*_d
r00j	35.47	63.32	30.17	70.15	25	m81o
r25j	39.12	54.56	49.45	73.64	42	o10y
r50j	50.64	39.15	64.89	75.79	59	o40y
r75j	64.01	21.26	82.83	85.52	76	o69y
j00g	83.18	-4.38	108.53	108.62	92	o98y
j25g	66.73	-29.89	83.06	88.28	110	y34l
j50g	54.03	-48.31	63.49	79.78	127	y69l
j75g	44.73	-60.33	42.64	73.88	145	103c
g00b	47.59	-49.08	15.74	51.54	162	l23c
g25b	49.97	-39.7	-6.72	40.27	190	l55c
g50b	51.85	-32.33	-24.35	40.48	217	l87c
g75b	46.92	-17.29	-36.02	39.96	244	c20v
b00r	37.91	1.28	-42.35	42.37	272	c53v
b25r	23.81	30.38	-52.26	60.45	300	c87v
b50r	29.52	69.06	-42.14	80.9	329	v68m
b75r	36.48	71.47	-3.69	71.57	357	m34o



Ein und Ausgabe: Farbmatisches Drucker-Reflektiv-System FRS09_92a für relativen CIELAB-Bunton $h^* = lab^*h^* = h_{ab}/360 = 0.679$

$u^*_e = g75b$
 lab^*olv^*

Daten für jede Farbe:

lab^*tch^* und lab^*icu^*

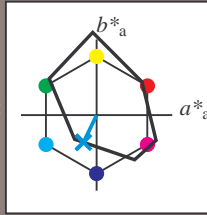
Buntontexte:

$u^*_e = g75b$ $u^*_d = c20v$

Kontrastreduzierungsfaktor:

$c_R = 1.0$

Dreiecks-Helligkeit t^*



FRS09_92a; adaptierte CIELAB-Daten

u^*_e	$L^*=L^*_a$	a^*_a	b^*_a	$C^*_{ab,a}$	$h^*_{ab,a}$
O _{Ma}	35.06	60.0	44.0	74.4	36
Y _{Ma}	83.77	-5.17	109.32	109.44	93
L _{Ma}	44.13	-62.67	48.24	79.09	142
C _{Ma}	52.66	-29.14	-31.99	43.27	228
V _{Ma}	14.15	50.3	-59.04	77.57	310
M _{Ma}	37.37	78.64	-33.5	85.48	337
N _{Ma}	8.58	0.0	0.0	0.0	0
W _{Ma}	92.02	0.0	0.0	0.0	0
R _{Ma}	39.92	58.74	27.99	65.07	25
J _{Ma}	81.26	-2.89	71.56	71.62	92
G _{Ma}	52.23	-42.42	13.6	44.55	162
B _{Ma}	30.57	1.41	-46.47	46.49	272

Daten für Maximalfarbe (Ma):

$LAB^*LAB^*_{Ma}$: 47 -17 -36

$LAB^*LCH^*_{Ma}$: 47 40 244

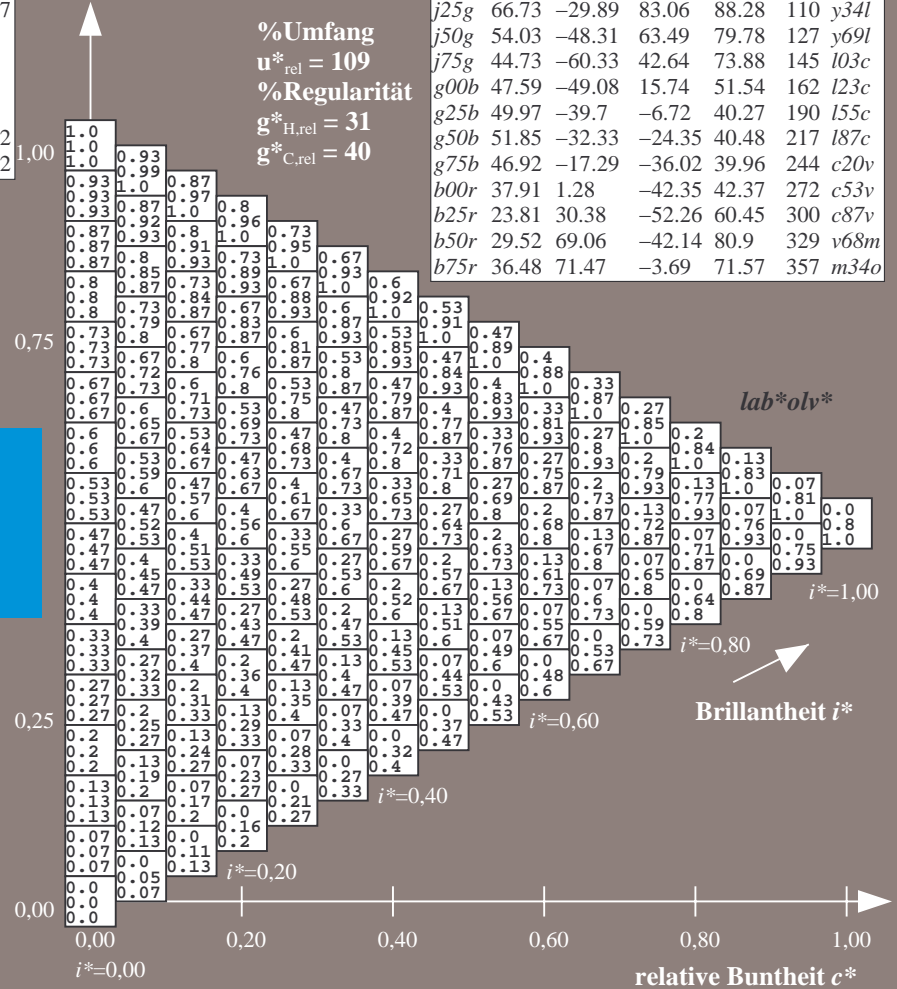
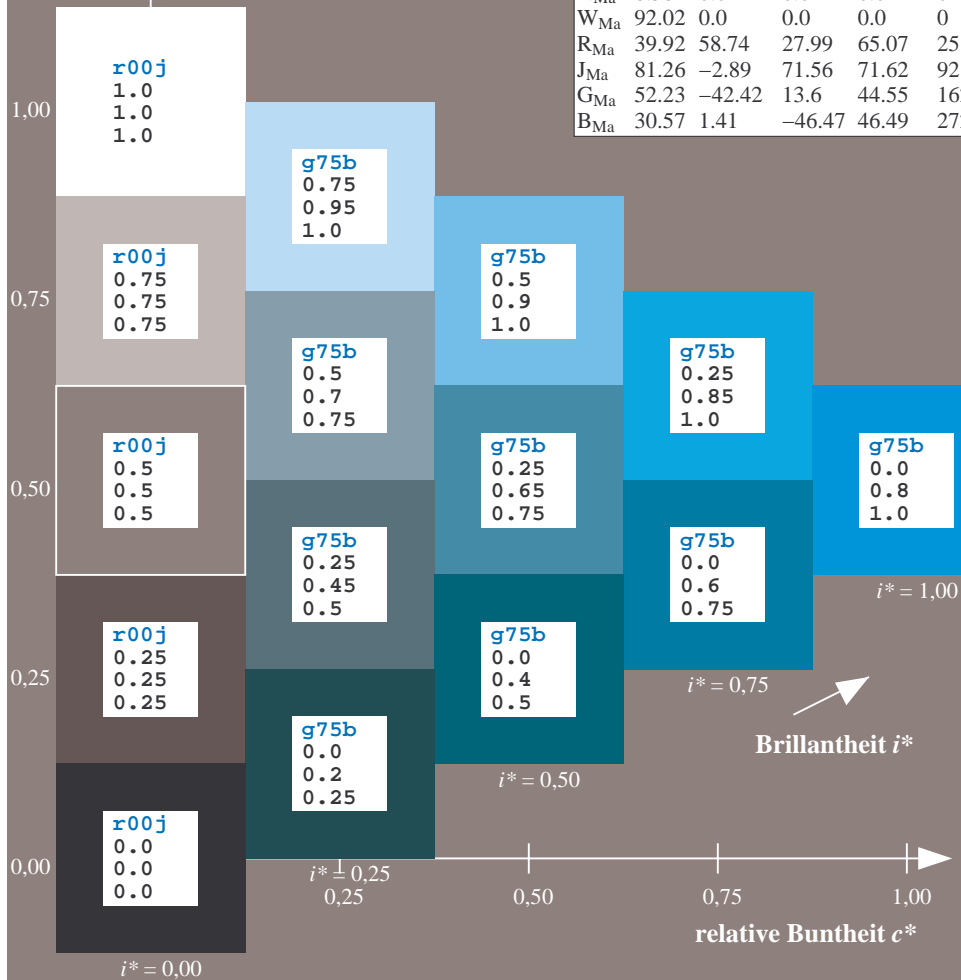
$lab^*rgb^*_{Ma}$: 0.0 0.5 1.0

$lab^*olv^*_{Ma}$: 0.0 0.8 1.0

Dreiecks-Helligkeit t^*

FRS09_92a; adaptierte CIELAB-Daten

u^*_e	$L^*=L^*_a$	a^*_a	b^*_a	$C^*_{ab,a}$	$h^*_{ab,a}$	u^*_d
r00j	35.47	63.32	30.17	70.15	25	m81o
r25j	39.12	54.56	49.45	73.64	42	o10y
r50j	50.64	39.15	64.89	75.79	59	o40y
r75j	64.01	21.26	82.83	85.52	76	o69y
j00g	83.18	-4.38	108.53	108.62	92	o98y
j25g	66.73	-29.89	83.06	88.28	110	y34l
j50g	54.03	-48.31	63.49	79.78	127	y69l
j75g	44.73	-60.33	42.64	73.88	145	103c
g00b	47.59	-49.08	15.74	51.54	162	l23c
g25b	49.97	-39.7	-6.72	40.27	190	l55c
g50b	51.85	-32.33	-24.35	40.48	217	l87c
g75b	46.92	-17.29	-36.02	39.96	244	c20v
b00r	37.91	1.28	-42.35	42.37	272	c53v
b25r	23.81	30.38	-52.26	60.45	300	c87v
b50r	29.52	69.06	-42.14	80.9	329	v68m
b75r	36.48	71.47	-3.69	71.57	357	m34o



Ein und Ausgabe: Farbmatisches Drucker-Reflektiv-System FRS09_92a für relativen CIELAB-Bunton $h^* = lab^*h^* = h_{ab}/360 = 0.755$

$u^*_e = b00r$

Daten für jede Farbe:

lab^*ch^* und lab^*icu^*

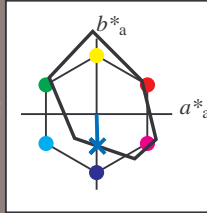
Buntontexte:

$u^*_e = b00r$ $u^*_d = c53v$

Kontrastreduzierungsfaktor:

$c_R = 1.0$

Dreiecks-Helligkeit t^*



FRS09_92a; adaptierte CIELAB-Daten

u^*_e	$L^*=L^*_a$	a^*_a	b^*_a	$C^*_{ab,a}$	$h^*_{ab,a}$
O _{Ma}	35.06	60.0	44.0	74.4	36
Y _{Ma}	83.77	-5.17	109.32	109.44	93
L _{Ma}	44.13	-62.67	48.24	79.09	142
C _{Ma}	52.66	-29.14	-31.99	43.27	228
V _{Ma}	14.15	50.3	-59.04	77.57	310
M _{Ma}	37.37	78.64	-33.5	85.48	337
N _{Ma}	8.58	0.0	0.0	0.0	0
W _{Ma}	92.02	0.0	0.0	0.0	0
R _{Ma}	39.92	58.74	27.99	65.07	25
J _{Ma}	81.26	-2.89	71.56	71.62	92
G _{Ma}	52.23	-42.42	13.6	44.55	162
B _{Ma}	30.57	1.41	-46.47	46.49	272

Daten für Maximalfarbe (Ma):

$LAB^*LAB^*_{Ma}: 38 \ 1 \ -42$

$LAB^*LCH^*_{Ma}: 38 \ 42 \ 271$

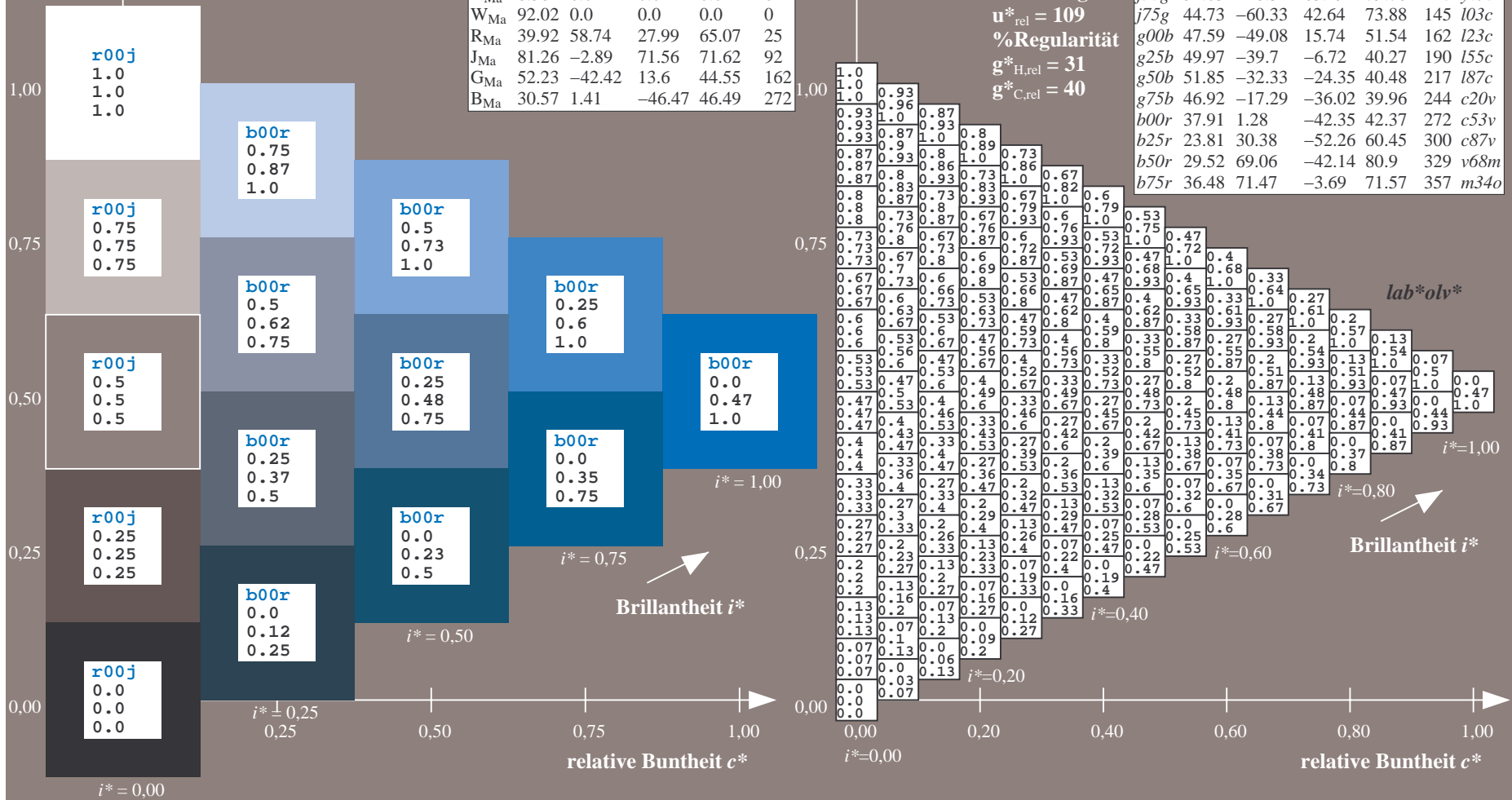
$lab^*rgb^*_{Ma}: 0.0 \ 0.0 \ 1.0$

$lab^*olv^*_{Ma}: 0.0 \ 0.47 \ 1.0$

Dreiecks-Helligkeit t^*

FRS09_92a; adaptierte CIELAB-Daten

u^*_e	$L^*=L^*_a$	a^*_a	b^*_a	$C^*_{ab,a}$	$h^*_{ab,a}$	u^*_d
r00j	35.47	63.32	30.17	70.15	25	m81o
r25j	39.12	54.56	49.45	73.64	42	o10y
r50j	50.64	39.15	64.89	75.79	59	o40y
r75j	64.01	21.26	82.83	85.52	76	o69y
j00g	83.18	-4.38	108.53	108.62	92	o98y
j25g	66.73	-29.89	83.06	88.28	110	y34l
j50g	54.03	-48.31	63.49	79.78	127	y69l
j75g	44.73	-60.33	42.64	73.88	145	103c
g00b	47.59	-49.08	15.74	51.54	162	l23c
g25b	49.97	-39.7	-6.72	40.27	190	l55c
g50b	51.85	-32.33	-24.35	40.48	217	l87c
g75b	46.92	-17.29	-36.02	39.96	244	c20v
b00r	37.91	1.28	-42.35	42.37	272	c53v
b25r	23.81	30.38	-52.26	60.45	300	c87v
b50r	29.52	69.06	-42.14	80.9	329	v68m
b75r	36.48	71.47	-3.69	71.57	357	m34o



Ein und Ausgabe: Farbmatisches Drucker-Reflektiv-System FRS09_92a für relativen CIELAB-Bunton $h^* = lab^*h^* = h_{ab}/360 = 0.834$

$u^*_e = b25r$

Daten für jede Farbe:

lab^*ch^* und lab^*icu^*

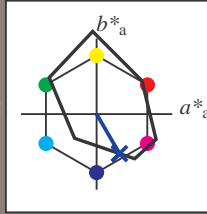
Buntontexte:

$u^*_e = b25r$ $u^*_d = c87v$

Kontrastreduzierungsfaktor:

$c_R = 1.0$

Dreiecks-Helligkeit t^*



FRS09_92a; adaptierte CIELAB-Daten						
u^*_e	$L^*=L^*_a$	a^*_a	b^*_a	$C^*_{ab,a}$	$h^*_{ab,a}$	
O _{Ma}	35.06	60.0	44.0	74.4	36	
Y _{Ma}	83.77	-5.17	109.32	109.44	93	
L _{Ma}	44.13	-62.67	48.24	79.09	142	
C _{Ma}	52.66	-29.14	-31.99	43.27	228	
V _{Ma}	14.15	50.3	-59.04	77.57	310	
M _{Ma}	37.37	78.64	-33.5	85.48	337	
N _{Ma}	8.58	0.0	0.0	0.0	0	
W _{Ma}	92.02	0.0	0.0	0.0	0	
R _{Ma}	39.92	58.74	27.99	65.07	25	
J _{Ma}	81.26	-2.89	71.56	71.62	92	
G _{Ma}	52.23	-42.42	13.6	44.55	162	
B _{Ma}	30.57	1.41	-46.47	46.49	272	

Daten für Maximalfarbe (Ma):

$LAB^*LAB^*_{Ma}: 24 \ 30 \ -52$

$LAB^*LCH^*_{Ma}: 24 \ 60 \ 300$

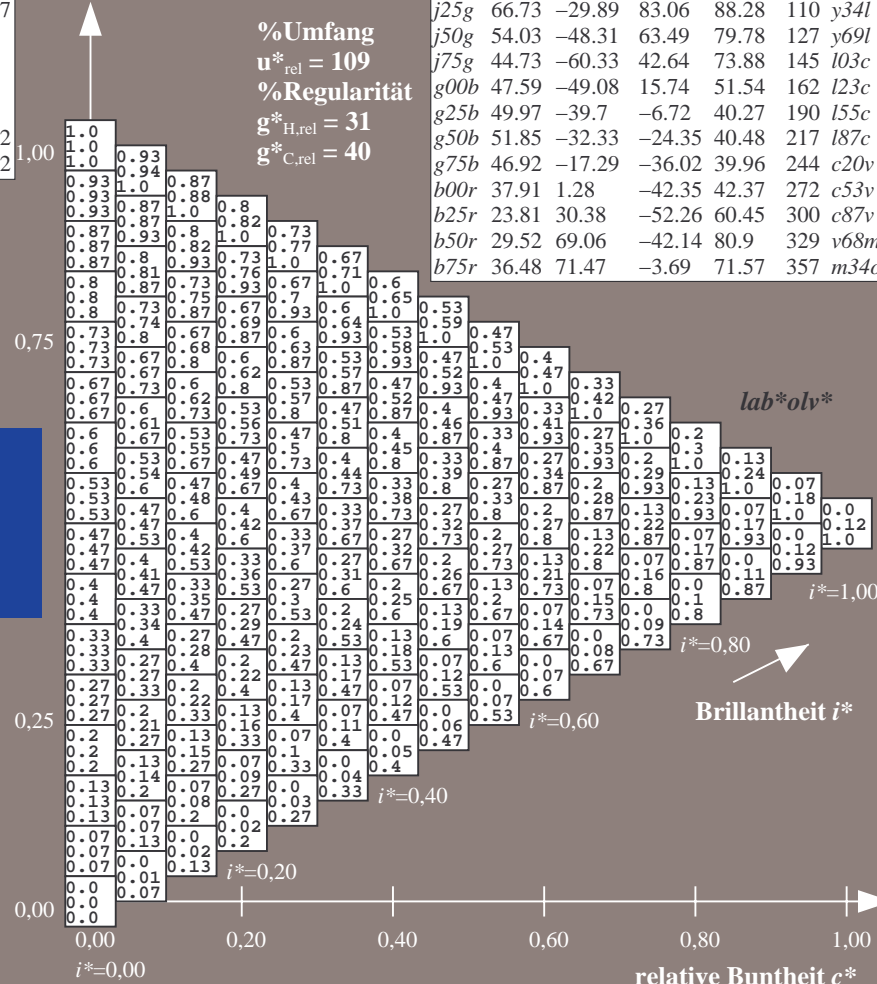
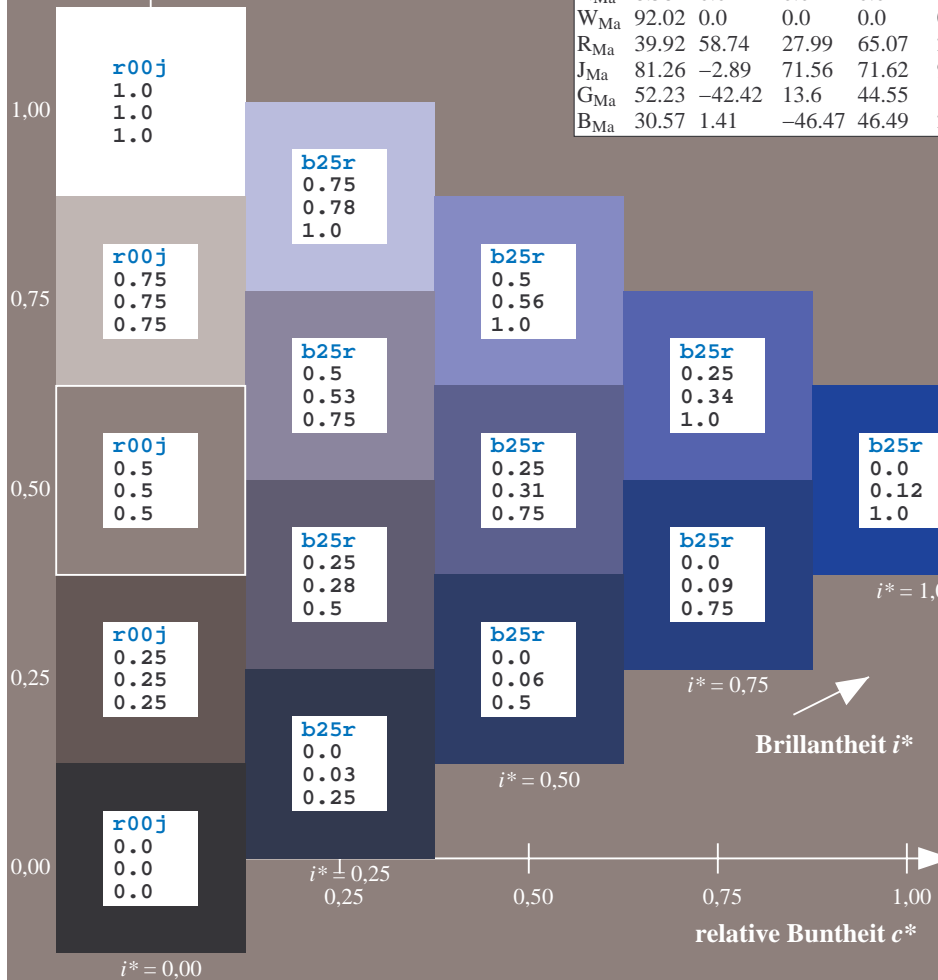
$lab^*rgb^*_{Ma}: 0.5 \ 0.0 \ 1.0$

$lab^*olv^*_{Ma}: 0.0 \ 0.12 \ 1.0$

Dreiecks-Helligkeit t^*

FRS09_92a; adaptierte CIELAB-Daten

u^*_e	$L^*=L^*_a$	a^*_a	b^*_a	$C^*_{ab,a}$	$h^*_{ab,a}$	u^*_d
r00j	35.47	63.32	30.17	70.15	25	m81o
r25j	39.12	54.56	49.45	73.64	42	o10y
r50j	50.64	39.15	64.89	75.79	59	o40y
r75j	64.01	21.26	82.83	85.52	76	o69y
j00g	83.18	-4.38	108.53	108.62	92	o98y
j25g	66.73	-29.89	83.06	88.28	110	y34l
j50g	54.03	-48.31	63.49	79.78	127	y69l
j75g	44.73	-60.33	42.64	73.88	145	103c
g00b	47.59	-49.08	15.74	51.54	162	l23c
g25b	49.97	-39.7	-6.72	40.27	190	l55c
g50b	51.85	-32.33	-24.35	40.48	217	l87c
g75b	46.92	-17.29	-36.02	39.96	244	c20v
b00r	37.91	1.28	-42.35	42.37	272	c53v
b25r	23.81	30.38	-52.26	60.45	300	c87v
b50r	29.52	69.06	-42.14	80.9	329	v68m
b75r	36.48	71.47	-3.69	71.57	357	m34o



%Umfang
 $u^*_{rel} = 109$
%Regularität
 $g^*_{H,rel} = 31$
 $g^*_{C,rel} = 40$

Brillantheit i^*

$i^* = 0,80$

$i^* = 0,60$

$i^* = 0,40$

$i^* = 0,20$

$i^* = 0,00$

Ein und Ausgabe: Farbmatisches Drucker-Reflektiv-System FRS09_92a für relativen CIELAB-Bunton $h^* = lab^*h^* = h_{ab}^*/360 = 0.913$

$u^*_e = b50r$

Daten für jede Farbe:

lab^*ch^* und lab^*icu^*

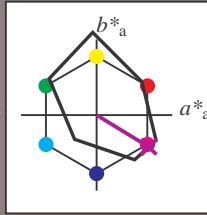
Buntontexte:

$u^*_e = b50r$ $u^*_d = v68m$

Kontrastreduzierungsfaktor:

$c_R = 1.0$

Dreiecks-Helligkeit t^*



FRS09_92a; adaptierte CIELAB-Daten

u^*_e	$L^*=L^*_a$	a^*_a	b^*_a	$C^*_{ab,a}$	$h^*_{ab,a}$
O _{Ma}	35.06	60.0	44.0	74.4	36
Y _{Ma}	83.77	-5.17	109.32	109.44	93
L _{Ma}	44.13	-62.67	48.24	79.09	142
C _{Ma}	52.66	-29.14	-31.99	43.27	228
V _{Ma}	14.15	50.3	-59.04	77.57	310
M _{Ma}	37.37	78.64	-33.5	85.48	337
N _{Ma}	8.58	0.0	0.0	0.0	0
W _{Ma}	92.02	0.0	0.0	0.0	0
R _{Ma}	39.92	58.74	27.99	65.07	25
J _{Ma}	81.26	-2.89	71.56	71.62	92
G _{Ma}	52.23	-42.42	13.6	44.55	162
B _{Ma}	30.57	1.41	-46.47	46.49	272

Daten für Maximalfarbe (Ma):

$LAB^*LAB^*_{Ma}$: 30 69 -42

$LAB^*LCH^*_{Ma}$: 30 81 328

$lab^*rgb^*_{Ma}$: 1.0 0.0 1.0

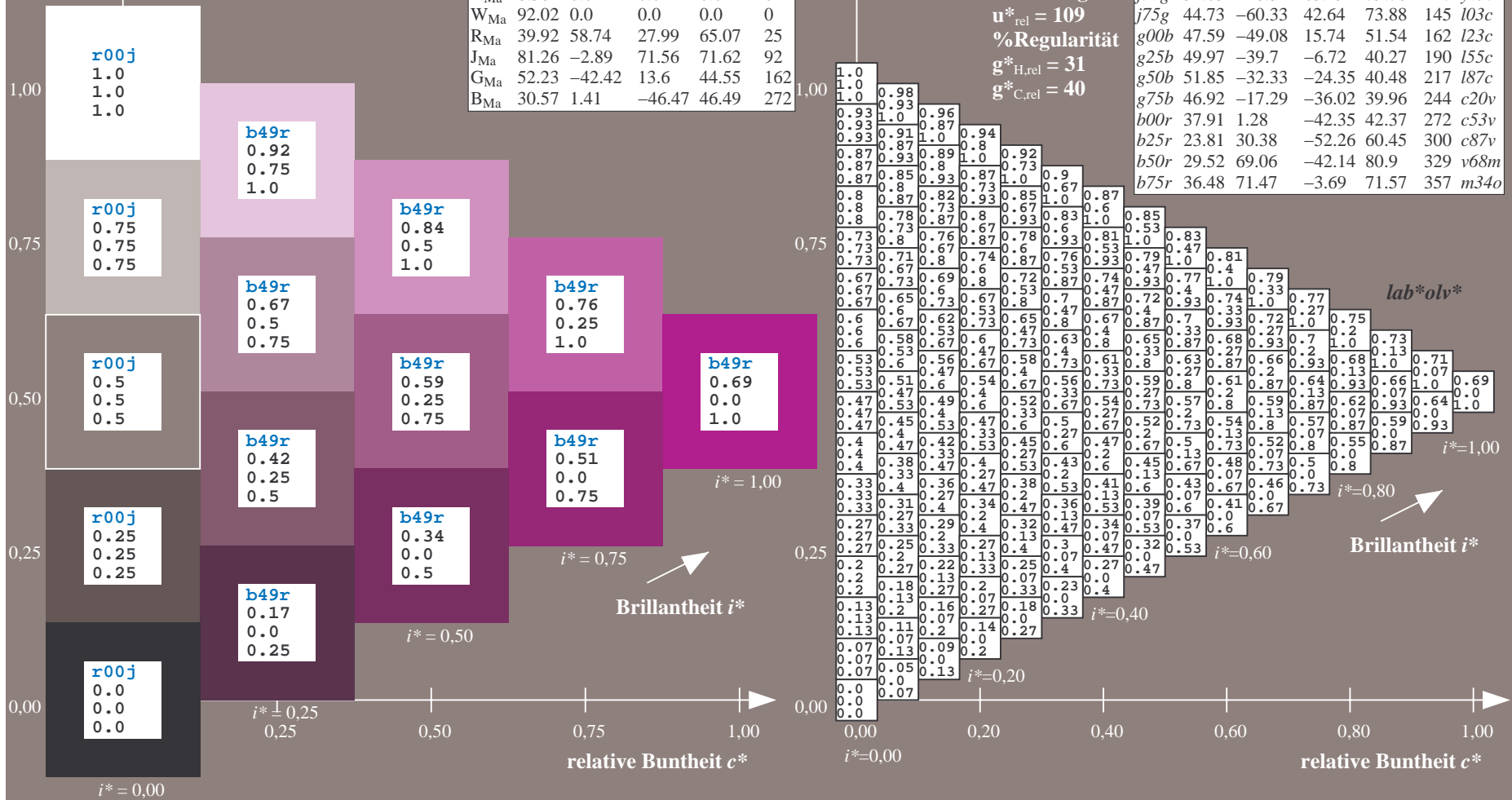
$lab^*olv^*_{Ma}$: 0.69 0.0 1.0

Dreiecks-Helligkeit t^*

FRS09_92a; adaptierte CIELAB-Daten

u^*_e	$L^*=L^*_a$	a^*_a	b^*_a	$C^*_{ab,a}$	$h^*_{ab,a}$	u^*_d
r00j	35.47	63.32	30.17	70.15	25	m81o
r25j	39.12	54.56	49.45	73.64	42	o10y
r50j	50.64	39.15	64.89	75.79	59	o40y
r75j	64.01	21.26	82.83	85.52	76	o69y
j00g	83.18	-4.38	108.53	108.62	92	o98y
j25g	66.73	-29.89	83.06	88.28	110	y34l
j50g	54.03	-48.31	63.49	79.78	127	y69l
j75g	44.73	-60.33	42.64	73.88	145	l03c
g00b	47.59	-49.08	15.74	51.54	162	l23c
g25b	49.97	-39.7	-6.72	40.27	190	l55c
g50b	51.85	-32.33	-24.35	40.48	217	l87c
g75b	46.92	-17.29	-36.02	39.96	244	c20v
b00r	37.91	1.28	-42.35	42.37	272	c53v
b25r	23.81	30.38	-52.26	60.45	300	c87v
b50r	29.52	69.06	-42.14	80.9	329	v68m
b75r	36.48	71.47	-3.69	71.57	357	m34o

lab^*olv^*



%Umfang
 $u^*_{rel} = 109$
 %Regularität
 $g^*_{H,rel} = 31$
 $g^*_{C,rel} = 40$

Brillanz i^*

Ein und Ausgabe: Farbmatisches Drucker-Reflektiv-System FRS09_92a für relativen CIELAB-Bunton $h^* = lab^*h^* = h_{ab}/360 = 0.992$

$u^*_e = b75r$

Daten für jede Farbe:

lab^*ch^* und lab^*icu^*

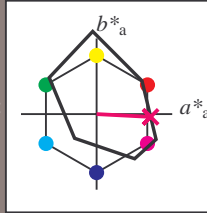
Buntontexte:

$u^*_e = b75r$ $u^*_d = m34o$

Kontrastreduzierungsfaktor:

$c_R = 1.0$

Dreiecks-Helligkeit t^*



FRS09_92a; adaptierte CIELAB-Daten

u^*_e	$L^*=L^*_a$	a^*_a	b^*_a	$C^*_{ab,a}$	$h^*_{ab,a}$
O _{Ma}	35.06	60.0	44.0	74.4	36
Y _{Ma}	83.77	-5.17	109.32	109.44	93
L _{Ma}	44.13	-62.67	48.24	79.09	142
C _{Ma}	52.66	-29.14	-31.99	43.27	228
V _{Ma}	14.15	50.3	-59.04	77.57	310
M _{Ma}	37.37	78.64	-33.5	85.48	337
N _{Ma}	8.58	0.0	0.0	0.0	0
W _{Ma}	92.02	0.0	0.0	0.0	0
R _{Ma}	39.92	58.74	27.99	65.07	25
J _{Ma}	81.26	-2.89	71.56	71.62	92
G _{Ma}	52.23	-42.42	13.6	44.55	162
B _{Ma}	30.57	1.41	-46.47	46.49	272

Daten für Maximalfarbe (Ma):

$LAB^*LAB^*_{Ma}$: 36 71 -4

$LAB^*LCH^*_{Ma}$: 36 72 357

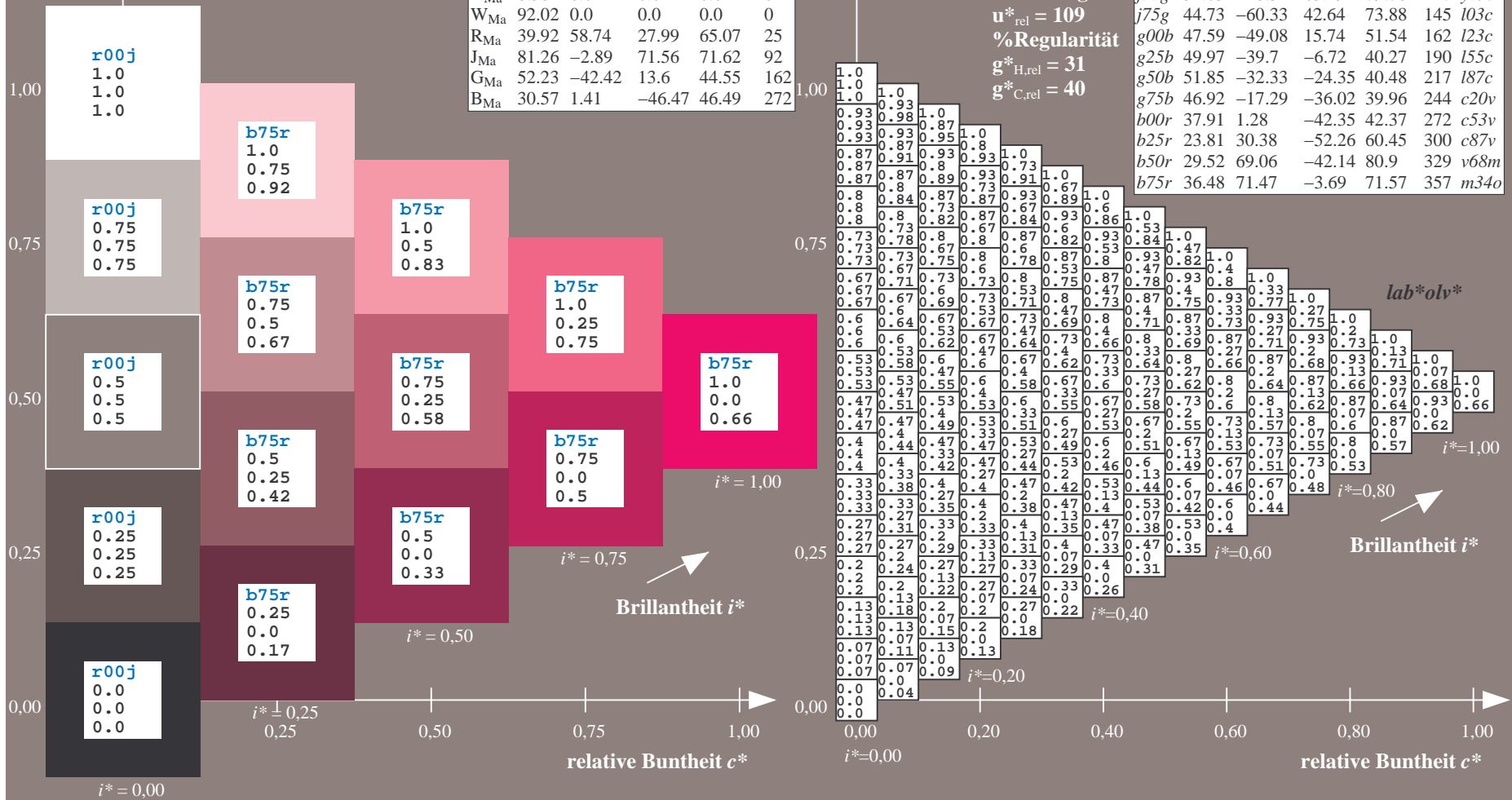
$lab^*rgb^*_{Ma}$: 1.0 0.0 0.5

$lab^*olv^*_{Ma}$: 1.0 0.0 0.66

Dreiecks-Helligkeit t^*

FRS09_92a; adaptierte CIELAB-Daten

u^*_e	$L^*=L^*_a$	a^*_a	b^*_a	$C^*_{ab,a}$	$h^*_{ab,a}$	u^*_d
r00j	35.47	63.32	30.17	70.15	25	m81o
r25j	39.12	54.56	49.45	73.64	42	o10y
r50j	50.64	39.15	64.89	75.79	59	o40y
r75j	64.01	21.26	82.83	85.52	76	o69y
j00g	83.18	-4.38	108.53	108.62	92	o98y
j25g	66.73	-29.89	83.06	88.28	110	y34l
j50g	54.03	-48.31	63.49	79.78	127	y69l
j75g	44.73	-60.33	42.64	73.88	145	103c
g00b	47.59	-49.08	15.74	51.54	162	l23c
g25b	49.97	-39.7	-6.72	40.27	190	l55c
g50b	51.85	-32.33	-24.35	40.48	217	l87c
g75b	46.92	-17.29	-36.02	39.96	244	c20v
b00r	37.91	1.28	-42.35	42.37	272	c53v
b25r	23.81	30.38	-52.26	60.45	300	c87v
b50r	29.52	69.06	-42.14	80.9	329	v68m
b75r	36.48	71.47	-3.69	71.57	357	m34o



Ein und Ausgabe:
 Farbmetrisches Drucker-Reflektiv-System FRS09_92a

Daten für jede Farbe:

u^*_e und Nummer $Nr. = 00 \dots 15$

Elementar-Bunttextext:

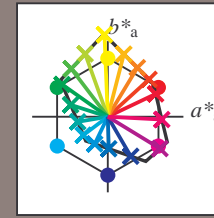
$u^*_e = 16$ Bunttoene $r00j, r25j, \dots, b75r$

Kontrastreduzierungsfaktor:

$c_R = 1.0$

FRS09_92a; adaptierte CIELAB-Daten

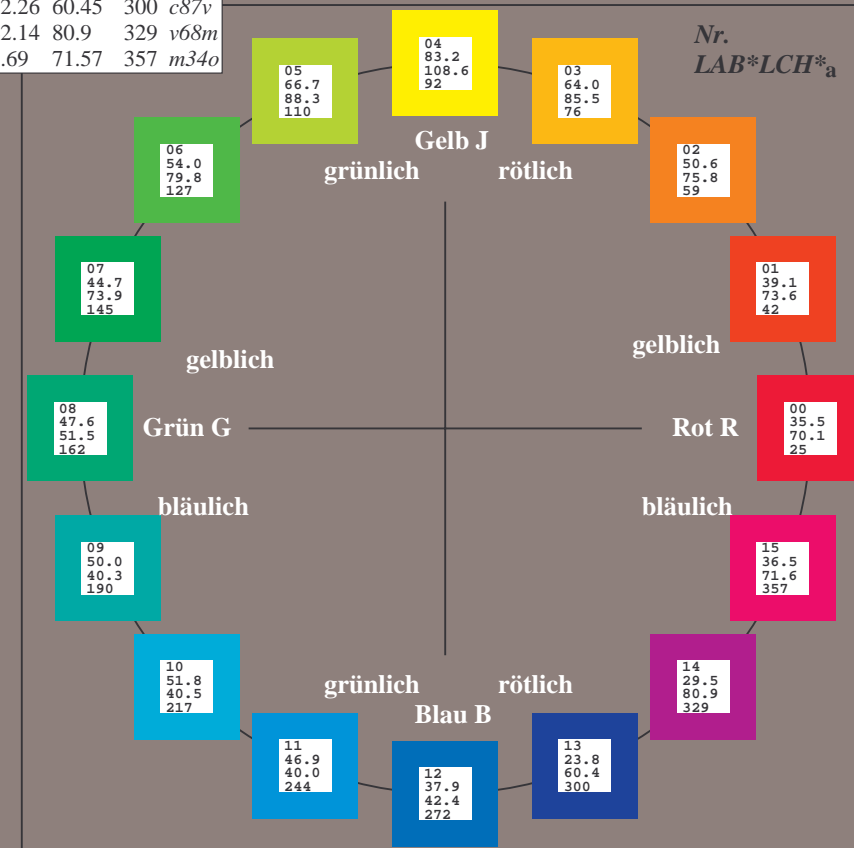
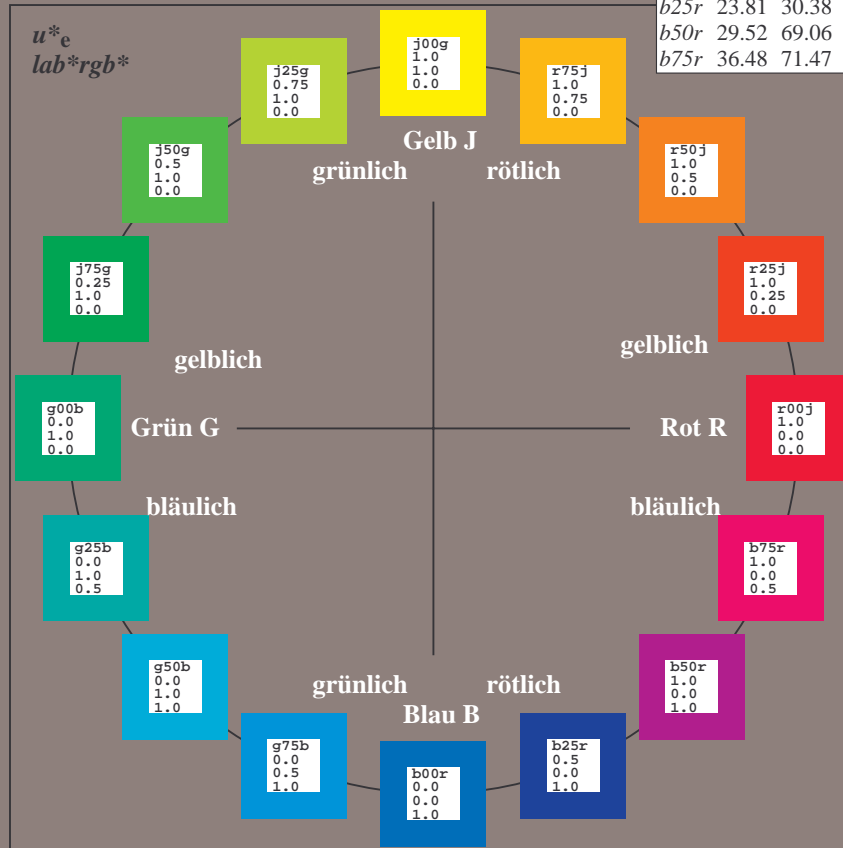
u^*_e	$L^*=L^*_a$	a^*_a	b^*_a	$C^*_{ab,a}$	$h^*_{ab,a}$	u^*_d
r00j	35.47	63.32	30.17	70.15	25	m81o
r25j	39.12	54.56	49.45	73.64	42	o10y
r50j	50.64	39.15	64.89	75.79	59	o40y
r75j	64.01	21.26	82.83	85.52	76	o69y
j00g	83.18	-4.38	108.53	108.62	92	o98y
j25g	66.73	-29.89	83.06	88.28	110	y34l
j50g	54.03	-48.31	63.49	79.78	127	y69l
j75g	44.73	-60.33	42.64	73.88	145	l03c
g00b	47.59	-49.08	15.74	51.54	162	l23c
g25b	49.97	-39.7	-6.72	40.27	190	l55c
g50b	51.85	-32.33	-24.35	40.48	217	l87c
g75b	46.92	-17.29	-36.02	39.96	244	c20v
b00r	37.91	1.28	-42.35	42.37	272	c53v
b25r	23.81	30.38	-52.26	60.45	300	c87v
b50r	29.52	69.06	-42.14	80.9	329	v68m
b75r	36.48	71.47	-3.69	71.57	357	m34o



%Umfang
 $u^*_{rel} = 109$
 %Regularität
 $g^*_{H,rel} = 31$
 $g^*_{C,rel} = 40$

FRS09_92a; adaptierte CIELAB-Daten

Name	$L^*=L^*_a$	a^*_a	b^*_a	$C^*_{ab,a}$	$h^*_{ab,a}$
O _{Ma}	35.06	60.0	44.0	74.4	36
Y _{Ma}	83.77	-5.17	109.32	109.44	93
L _{Ma}	44.13	-62.67	48.24	79.09	142
C _{Ma}	52.66	-29.14	-31.99	43.27	228
V _{Ma}	14.15	50.3	-59.04	77.57	310
M _{Ma}	37.37	78.64	-33.5	85.48	337
N _{Ma}	8.58	0.0	0.0	0.0	0
W _{Ma}	92.02	0.0	0.0	0.0	0
R _{CIE}	39.92	58.74	27.99	65.07	25
J _{CIE}	81.26	-2.89	71.56	71.62	92
G _{CIE}	52.23	-42.42	13.6	44.55	162
B _{CIE}	30.57	1.41	-46.47	46.49	272



Ein und Ausgabe: Farbmatisches Drucker-Reflektiv-System FRS09_92a für relativen CIELAB-Bunton $h^* = lab^*h^* = h_{ab}/360 = 0.071$

$$u^*_e = r00j$$

$$lab^*rgb^*$$

Daten für jede Farbe:

lab^*ch^* und lab^*icu^*

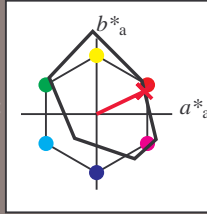
Buntontexte:

$$u^*_e = r00j \quad u^*_d = m81o$$

Kontrastreduzierungsfaktor:

$$c_R = 1.0$$

Dreiecks-Helligkeit t^*



FRS09_92a; adaptierte CIELAB-Daten

u^*_e	$L^*=L^*_a$	a^*_a	b^*_a	$C^*_{ab,a}$	$h^*_{ab,a}$
O _{Ma}	35.06	60.0	44.0	74.4	36
Y _{Ma}	83.77	-5.17	109.32	109.44	93
L _{Ma}	44.13	-62.67	48.24	79.09	142
C _{Ma}	52.66	-29.14	-31.99	43.27	228
V _{Ma}	14.15	50.3	-59.04	77.57	310
M _{Ma}	37.37	78.64	-33.5	85.48	337
N _{Ma}	8.58	0.0	0.0	0.0	0
W _{Ma}	92.02	0.0	0.0	0.0	0
R _{Ma}	39.92	58.74	27.99	65.07	25
J _{Ma}	81.26	-2.89	71.56	71.62	92
G _{Ma}	52.23	-42.42	13.6	44.55	162
B _{Ma}	30.57	1.41	-46.47	46.49	272

Daten für Maximalfarbe (Ma):

$LAB^*LAB^*_{Ma}$: 35 63 30

$LAB^*LCH^*_{Ma}$: 35 70 25

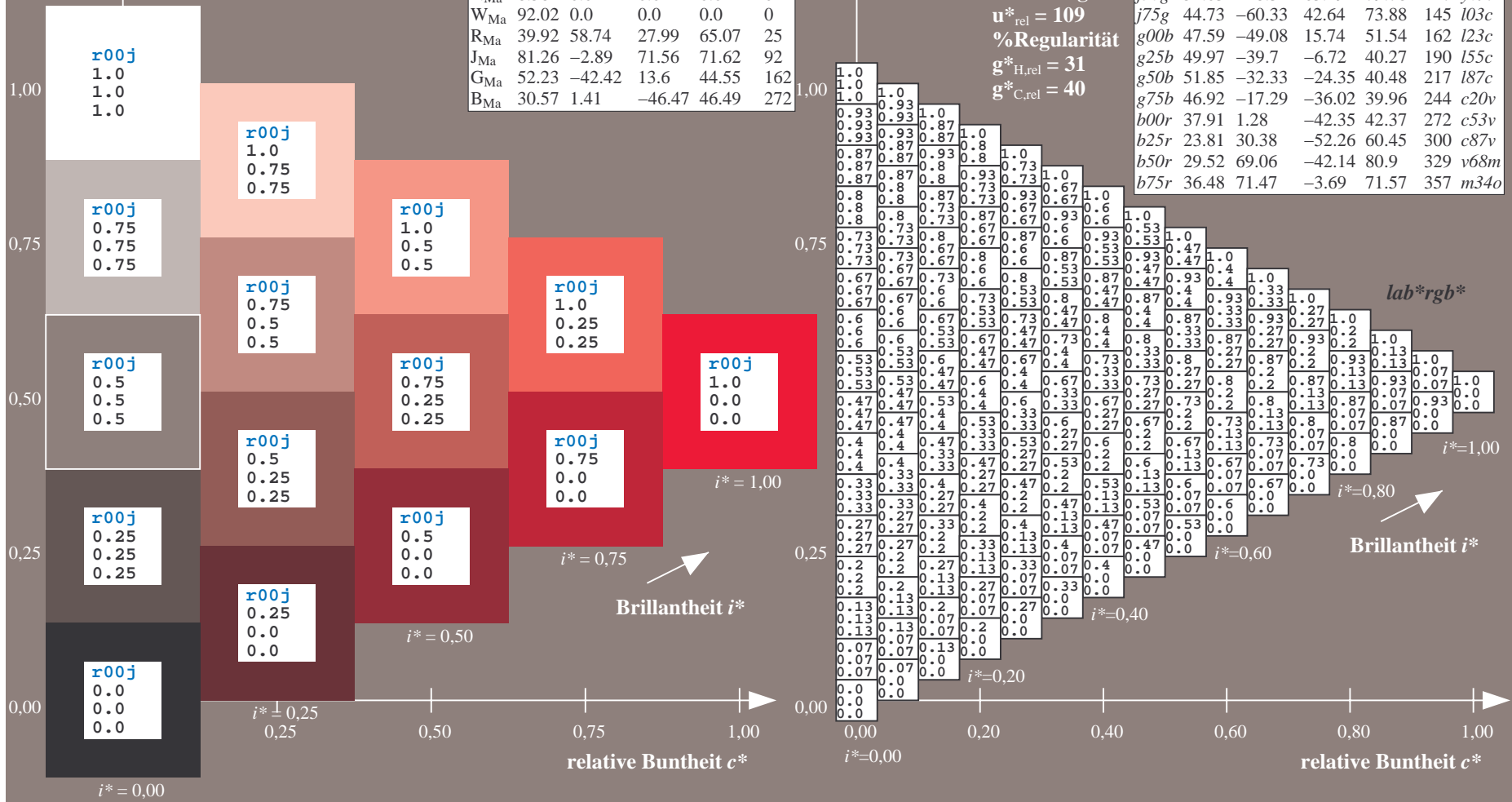
$lab^*rgb^*_{Ma}$: 1.0 0.0 0.0

$lab^*olv^*_{Ma}$: 1.0 0.0 0.18

Dreiecks-Helligkeit t^*

FRS09_92a; adaptierte CIELAB-Daten

u^*_e	$L^*=L^*_a$	a^*_a	b^*_a	$C^*_{ab,a}$	$h^*_{ab,a}$	u^*_d
r00j	35.47	63.32	30.17	70.15	25	m81o
r25j	39.12	54.56	49.45	73.64	42	o10y
r50j	50.64	39.15	64.89	75.79	59	o40y
r75j	64.01	21.26	82.83	85.52	76	o69y
j00g	83.18	-4.38	108.53	108.62	92	o98y
j25g	66.73	-29.89	83.06	88.28	110	y34l
j50g	54.03	-48.31	63.49	79.78	127	y69l
j75g	44.73	-60.33	42.64	73.88	145	103c
g00b	47.59	-49.08	15.74	51.54	162	i23c
g25b	49.97	-39.7	-6.72	40.27	190	i55c
g50b	51.85	-32.33	-24.35	40.48	217	i87c
g75b	46.92	-17.29	-36.02	39.96	244	c20v
b00r	37.91	1.28	-42.35	42.37	272	c53v
b25r	23.81	30.38	-52.26	60.45	300	c87v
b50r	29.52	69.06	-42.14	80.9	329	v68m
b75r	36.48	71.47	-3.69	71.57	357	m34o



Ein und Ausgabe: Farbmatisches Drucker-Reflektiv-System FRS09_92a für relativen CIELAB-Bunton $h^* = lab^*h^* = h_{ab}/360 = 0.117$

$u^*_e = r25j$
 lab^*rgb^*

Daten für jede Farbe:

lab^*tch^* und lab^*icu^*

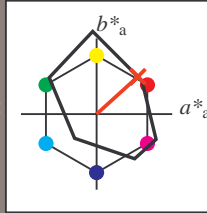
Buntontexte:

$u^*_e = r25j$ $u^*_d = o10y$

Kontrastreduzierungsfaktor:

$c_R = 1.0$

Dreiecks-Helligkeit t^*



FRS09_92a; adaptierte CIELAB-Daten

u^*_e	$L^*=L^*_a$	a^*_a	b^*_a	$C^*_{ab,a}$	$h^*_{ab,a}$
O _{Ma}	35.06	60.0	44.0	74.4	36
Y _{Ma}	83.77	-5.17	109.32	109.44	93
L _{Ma}	44.13	-62.67	48.24	79.09	142
C _{Ma}	52.66	-29.14	-31.99	43.27	228
V _{Ma}	14.15	50.3	-59.04	77.57	310
M _{Ma}	37.37	78.64	-33.5	85.48	337
N _{Ma}	8.58	0.0	0.0	0.0	0
W _{Ma}	92.02	0.0	0.0	0.0	0
R _{Ma}	39.92	58.74	27.99	65.07	25
J _{Ma}	81.26	-2.89	71.56	71.62	92
G _{Ma}	52.23	-42.42	13.6	44.55	162
B _{Ma}	30.57	1.41	-46.47	46.49	272

Daten für Maximalfarbe (Ma):

$LAB^*LAB^*_{Ma}$: 39 55 49

$LAB^*LCH^*_{Ma}$: 39 74 42

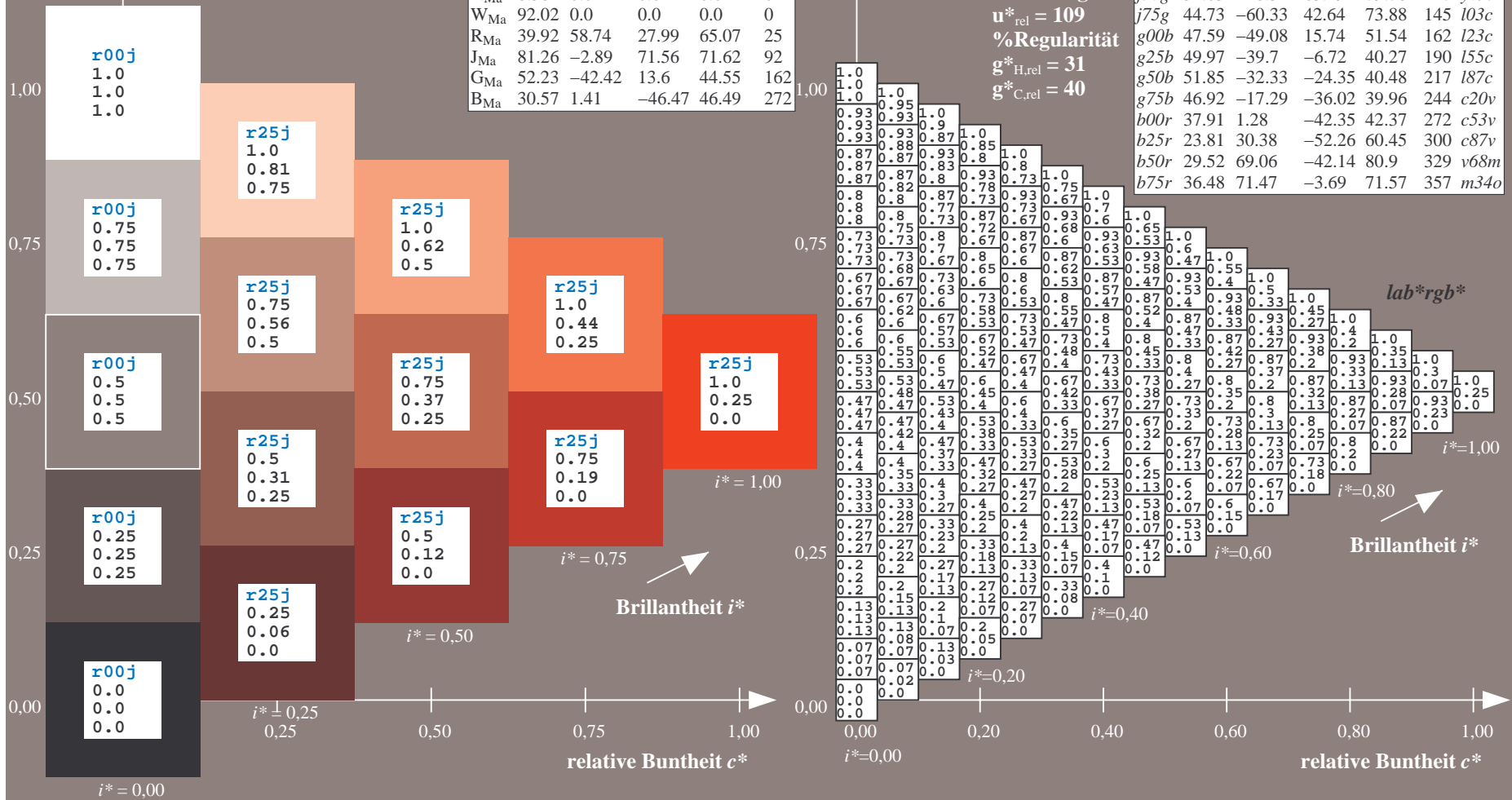
$lab^*rgb^*_{Ma}$: 1.0 0.25 0.0

$lab^*olv^*_{Ma}$: 1.0 0.11 0.0

Dreiecks-Helligkeit t^*

FRS09_92a; adaptierte CIELAB-Daten

u^*_e	$L^*=L^*_a$	a^*_a	b^*_a	$C^*_{ab,a}$	$h^*_{ab,a}$	u^*_d
r00j	35.47	63.32	30.17	70.15	25	m81o
r25j	39.12	54.56	49.45	73.64	42	o10y
r50j	50.64	39.15	64.89	75.79	59	o40y
r75j	64.01	21.26	82.83	85.52	76	o69y
j00g	83.18	-4.38	108.53	108.62	92	o98y
j25g	66.73	-29.89	83.06	88.28	110	y34l
j50g	54.03	-48.31	63.49	79.78	127	y69l
j75g	44.73	-60.33	42.64	73.88	145	l03c
g00b	47.59	-49.08	15.74	51.54	162	i23c
g25b	49.97	-39.7	-6.72	40.27	190	i55c
g50b	51.85	-32.33	-24.35	40.48	217	i87c
g75b	46.92	-17.29	-36.02	39.96	244	c20v
b00r	37.91	1.28	-42.35	42.37	272	c53v
b25r	23.81	30.38	-52.26	60.45	300	c87v
b50r	29.52	69.06	-42.14	80.9	329	v68m
b75r	36.48	71.47	-3.69	71.57	357	m34o



Ein und Ausgabe: Farbmatisches Drucker-Reflektiv-System FRS09_92a für relativen CIELAB-Bunton $h^* = lab^*h^* = h_{ab}/360 = 0.164$

$u^*_e = r50j$
 lab^*rgb^*

Daten für jede Farbe:

lab^*ch^* und lab^*icu^*

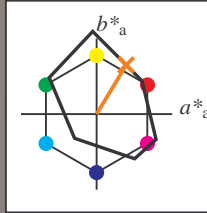
Buntontexte:

$u^*_e = r50j$ $u^*_d = o40y$

Kontrastreduzierungsfaktor:

$c_R = 1.0$

Dreiecks-Helligkeit t^*



FRS09_92a; adaptierte CIELAB-Daten						
u^*_e	$L^*=L^*_a$	a^*_a	b^*_a	$C^*_{ab,a}$	$h^*_{ab,a}$	
O _{Ma}	35.06	60.0	44.0	74.4	36	
Y _{Ma}	83.77	-5.17	109.32	109.44	93	
L _{Ma}	44.13	-62.67	48.24	79.09	142	
C _{Ma}	52.66	-29.14	-31.99	43.27	228	
V _{Ma}	14.15	50.3	-59.04	77.57	310	
M _{Ma}	37.37	78.64	-33.5	85.48	337	
N _{Ma}	8.58	0.0	0.0	0.0	0	
W _{Ma}	92.02	0.0	0.0	0.0	0	
R _{Ma}	39.92	58.74	27.99	65.07	25	
J _{Ma}	81.26	-2.89	71.56	71.62	92	
G _{Ma}	52.23	-42.42	13.6	44.55	162	
B _{Ma}	30.57	1.41	-46.47	46.49	272	

Daten für Maximalfarbe (Ma):

$LAB^*LAB^*_{Ma}: 51\ 39\ 65$

$LAB^*LCH^*_{Ma}: 51\ 76\ 58$

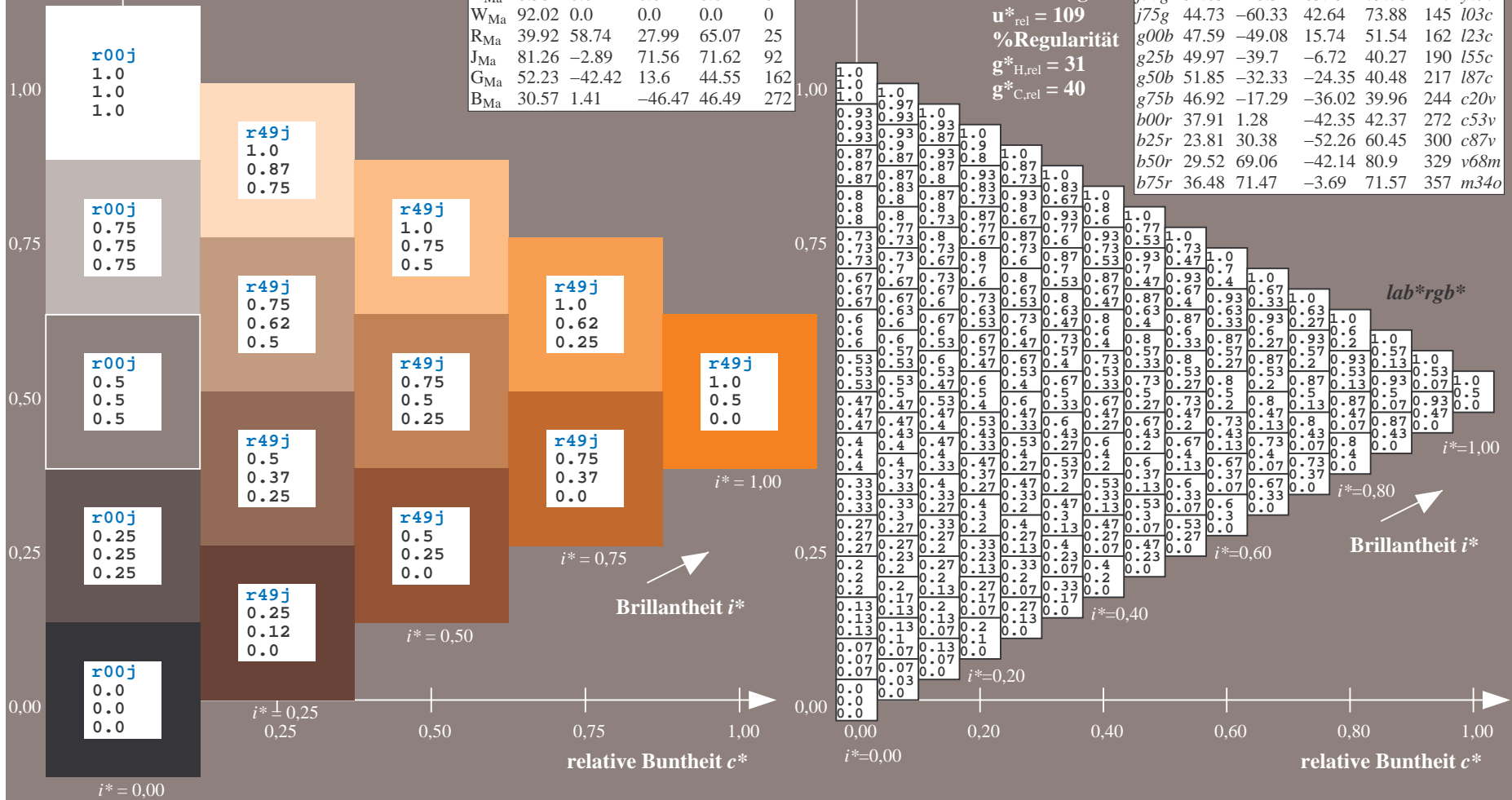
$lab^*rgb^*_{Ma}: 1.0\ 0.5\ 0.0$

$lab^*olv^*_{Ma}: 1.0\ 0.4\ 0.0$

Dreiecks-Helligkeit t^*

FRS09_92a; adaptierte CIELAB-Daten

u^*_e	$L^*=L^*_a$	a^*_a	b^*_a	$C^*_{ab,a}$	$h^*_{ab,a}$	u^*_d
r00j	35.47	63.32	30.17	70.15	25	m81o
r25j	39.12	54.56	49.45	73.64	42	o10y
r50j	50.64	39.15	64.89	75.79	59	o40y
r75j	64.01	21.26	82.83	85.52	76	o69y
j00g	83.18	-4.38	108.53	108.62	92	o98y
j25g	66.73	-29.89	83.06	88.28	110	y34l
j50g	54.03	-48.31	63.49	79.78	127	y69l
j75g	44.73	-60.33	42.64	73.88	145	103c
g00b	47.59	-49.08	15.74	51.54	162	i23c
g25b	49.97	-39.7	-6.72	40.27	190	i55c
g50b	51.85	-32.33	-24.35	40.48	217	i87c
g75b	46.92	-17.29	-36.02	39.96	244	c20v
b00r	37.91	1.28	-42.35	42.37	272	c53v
b25r	23.81	30.38	-52.26	60.45	300	c87v
b50r	29.52	69.06	-42.14	80.9	329	v68m
b75r	36.48	71.47	-3.69	71.57	357	m34o



Ein und Ausgabe: Farbmatisches Drucker-Reflektiv-System FRS09_92a für relativen CIELAB-Bunton $h^* = lab^*h^* = h_{ab}/360 = 0.21$

$u^*_e = r75j$
 lab^*rgb^*

Daten für jede Farbe:

lab^*ch^* und lab^*icu^*

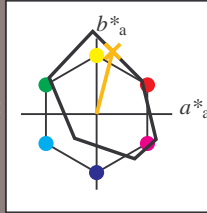
Buntontexte:

$u^*_e = r75j$ $u^*_d = o69y$

Kontrastreduzierungsfaktor:

$c_R = 1.0$

Dreiecks-Helligkeit t^*



FRS09_92a; adaptierte CIELAB-Daten

u^*_e	$L^*=L^*_a$	a^*_a	b^*_a	$C^*_{ab,a}$	$h^*_{ab,a}$
O _{Ma}	35.06	60.0	44.0	74.4	36
Y _{Ma}	83.77	-5.17	109.32	109.44	93
L _{Ma}	44.13	-62.67	48.24	79.09	142
C _{Ma}	52.66	-29.14	-31.99	43.27	228
V _{Ma}	14.15	50.3	-59.04	77.57	310
M _{Ma}	37.37	78.64	-33.5	85.48	337
N _{Ma}	8.58	0.0	0.0	0.0	0
W _{Ma}	92.02	0.0	0.0	0.0	0
R _{Ma}	39.92	58.74	27.99	65.07	25
J _{Ma}	81.26	-2.89	71.56	71.62	92
G _{Ma}	52.23	-42.42	13.6	44.55	162
B _{Ma}	30.57	1.41	-46.47	46.49	272

Daten für Maximalfarbe (Ma):

$LAB^*LAB^*_{Ma}$: 64 21 83

$LAB^*LCH^*_{Ma}$: 64 86 75

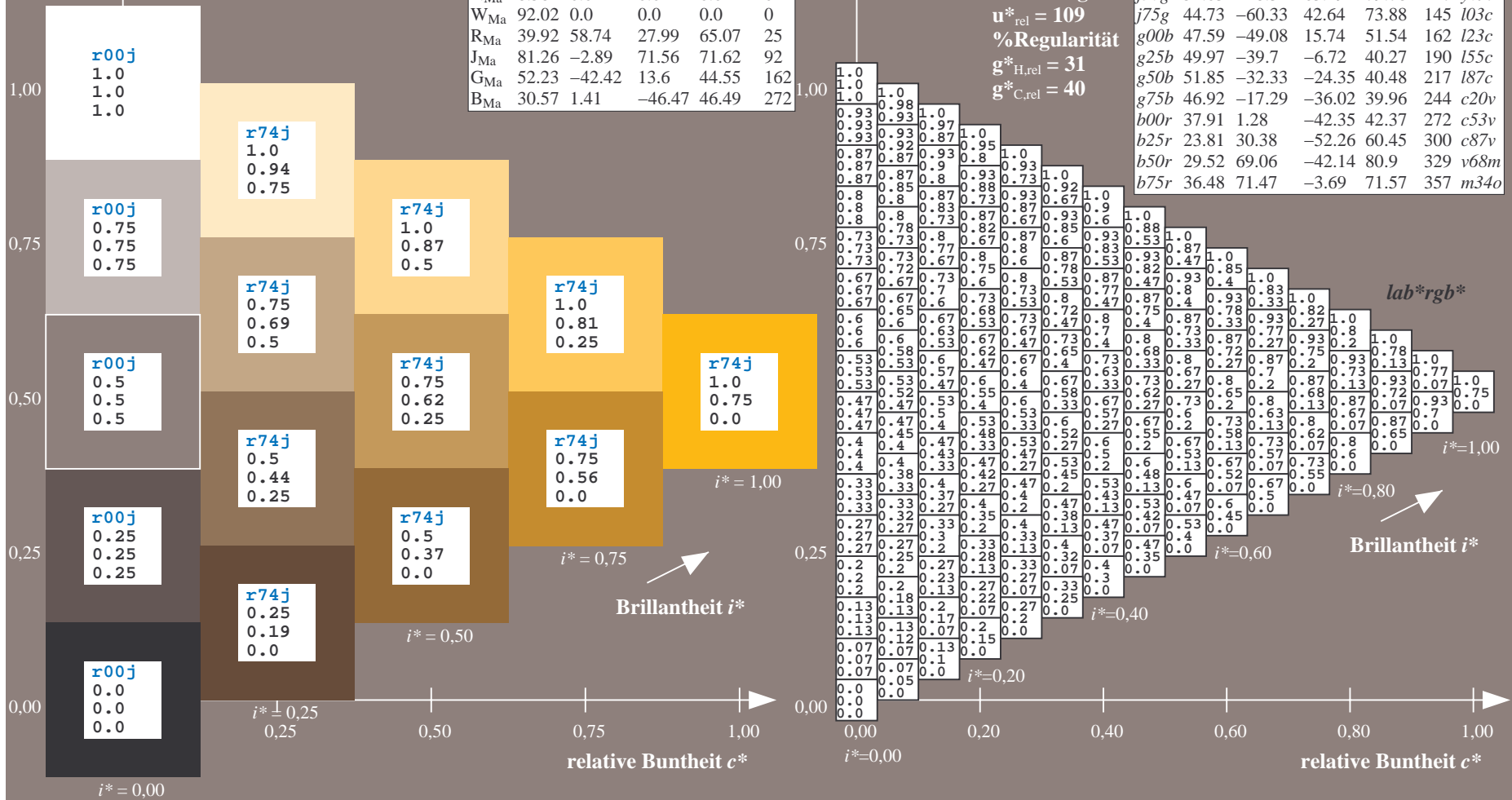
$lab^*rgb^*_{Ma}$: 1.0 0.75 0.0

$lab^*olv^*_{Ma}$: 1.0 0.7 0.0

Dreiecks-Helligkeit t^*

FRS09_92a; adaptierte CIELAB-Daten

u^*_e	$L^*=L^*_a$	a^*_a	b^*_a	$C^*_{ab,a}$	$h^*_{ab,a}$	u^*_d
r00j	35.47	63.32	30.17	70.15	25	m81o
r25j	39.12	54.56	49.45	73.64	42	o10y
r50j	50.64	39.15	64.89	75.79	59	o40y
r75j	64.01	21.26	82.83	85.52	76	o69y
j00g	83.18	-4.38	108.53	108.62	92	o98y
j25g	66.73	-29.89	83.06	88.28	110	y34l
j50g	54.03	-48.31	63.49	79.78	127	y69l
j75g	44.73	-60.33	42.64	73.88	145	103c
g00b	47.59	-49.08	15.74	51.54	162	l23c
g25b	49.97	-39.7	-6.72	40.27	190	l55c
g50b	51.85	-32.33	-24.35	40.48	217	l87c
g75b	46.92	-17.29	-36.02	39.96	244	c20v
b00r	37.91	1.28	-42.35	42.47	272	c53v
b25r	23.81	30.38	-52.26	60.35	300	c87v
b50r	29.52	69.06	-42.14	80.9	329	v68m
b75r	36.48	71.47	-3.69	71.57	357	m34o



Ein und Ausgabe: Farbmatisches Drucker-Reflektiv-System FRS09_92a für relativen CIELAB-Bunton $h^* = lab^*h^* = h_{ab}/360 = 0.256$

$u^*_e = j00g$
 lab^*rgb^*

Daten für jede Farbe:

lab^*tch^* und lab^*icu^*

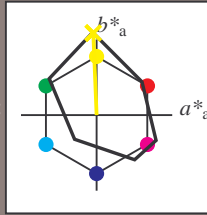
Buntontexte:

$u^*_e = j00g$ $u^*_d = o98y$

Kontrastreduzierungsfaktor:

$c_R = 1.0$

Dreiecks-Helligkeit t^*



FRS09_92a; adaptierte CIELAB-Daten						
u^*_e	$L^*=L^*_a$	a^*_a	b^*_a	$C^*_{ab,a}$	$h^*_{ab,a}$	
O _{Ma}	35.06	60.0	44.0	74.4	36	
Y _{Ma}	83.77	-5.17	109.32	109.44	93	
L _{Ma}	44.13	-62.67	48.24	79.09	142	
C _{Ma}	52.66	-29.14	-31.99	43.27	228	
V _{Ma}	14.15	50.3	-59.04	77.57	310	
M _{Ma}	37.37	78.64	-33.5	85.48	337	
N _{Ma}	8.58	0.0	0.0	0.0	0	
W _{Ma}	92.02	0.0	0.0	0.0	0	
R _{Ma}	39.92	58.74	27.99	65.07	25	
J _{Ma}	81.26	-2.89	71.56	71.62	92	
G _{Ma}	52.23	-42.42	13.6	44.55	162	
B _{Ma}	30.57	1.41	-46.47	46.49	272	

Daten für Maximalfarbe (Ma):

$LAB^*LAB^*_{Ma}$: 83 -4 109

$LAB^*LCH^*_{Ma}$: 83 109 92

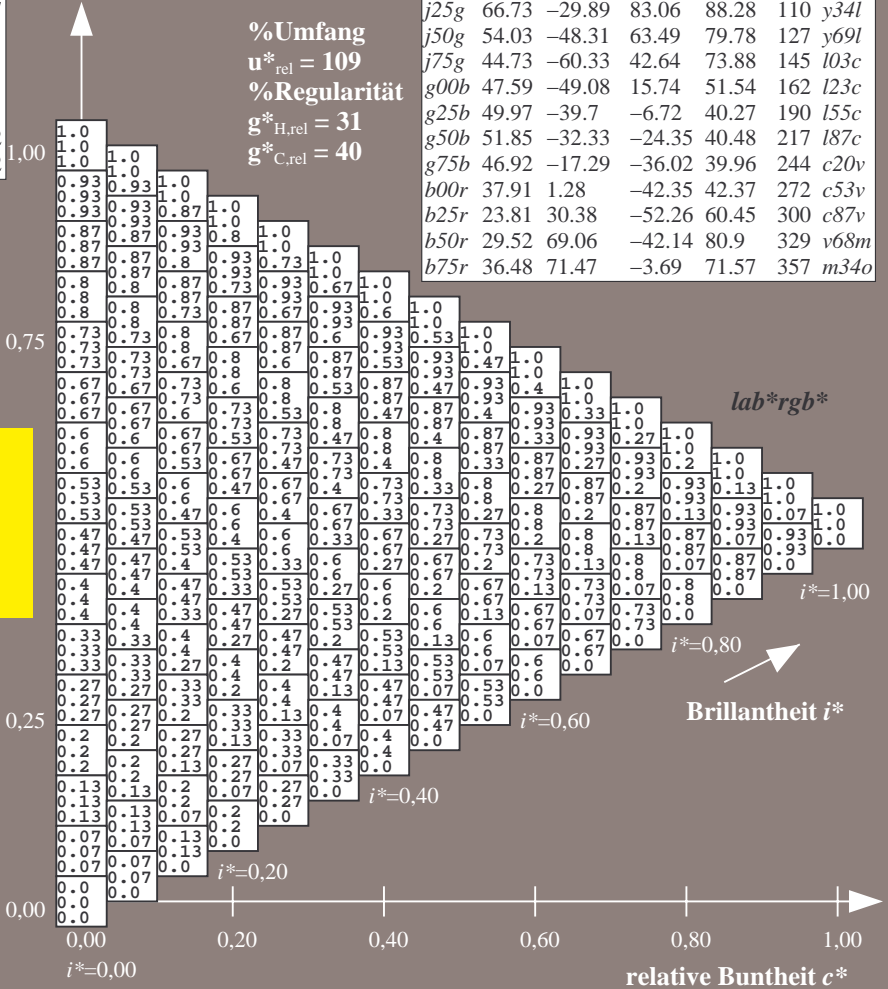
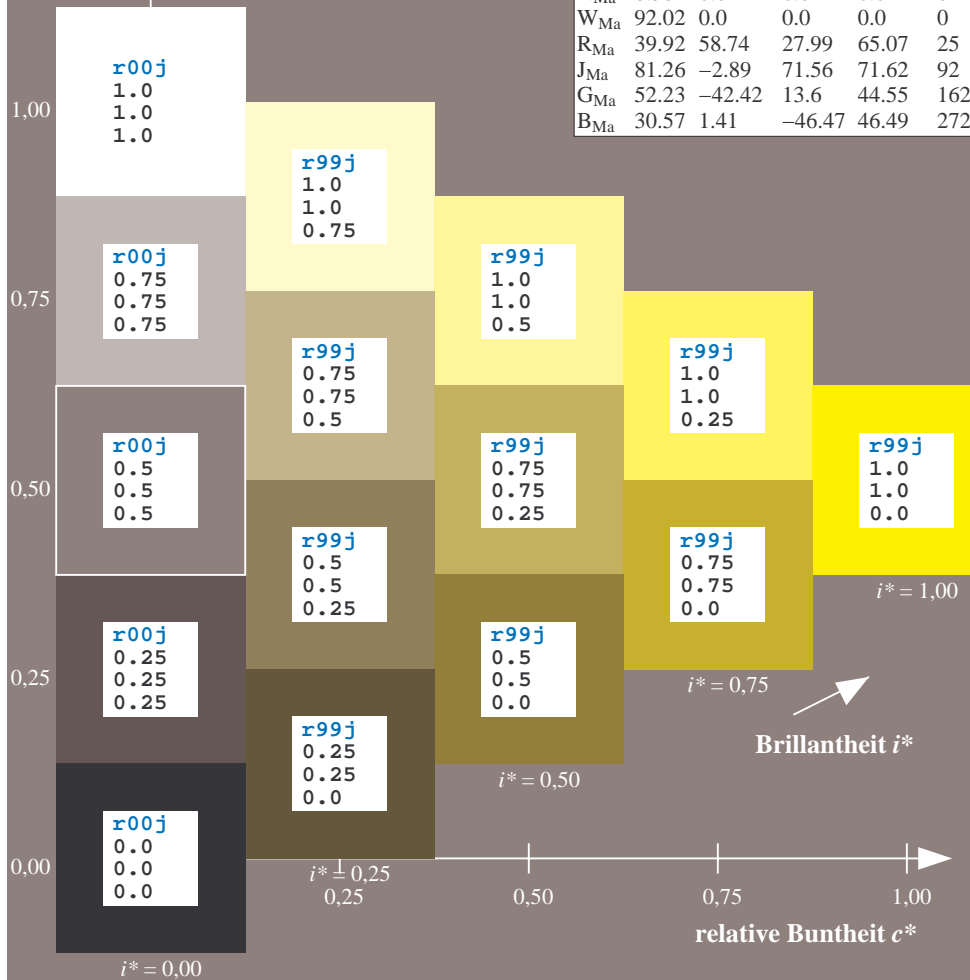
$lab^*rgb^*_{Ma}$: 1.0 1.0 0.0

$lab^*olv^*_{Ma}$: 1.0 0.99 0.0

Dreiecks-Helligkeit t^*

FRS09_92a; adaptierte CIELAB-Daten

u^*_e	$L^*=L^*_a$	a^*_a	b^*_a	$C^*_{ab,a}$	$h^*_{ab,a}$	u^*_d
r00j	35.47	63.32	30.17	70.15	25	m81o
r25j	39.12	54.56	49.45	73.64	42	o10y
r50j	50.64	39.15	64.89	75.79	59	o40y
r75j	64.01	21.26	82.83	85.52	76	o69y
j00g	83.18	-4.38	108.53	108.62	92	o98y
j25g	66.73	-29.89	83.06	88.28	110	y34l
j50g	54.03	-48.31	63.49	79.78	127	y69l
j75g	44.73	-60.33	42.64	73.88	145	l03c
g00b	47.59	-49.08	15.74	51.54	162	i23c
g25b	49.97	-39.7	-6.72	40.27	190	i55c
g50b	51.85	-32.33	-24.35	40.48	217	i87c
g75b	46.92	-17.29	-36.02	39.96	244	c20v
b00r	37.91	1.28	-42.35	42.37	272	c53v
b25r	23.81	30.38	-52.26	60.45	300	c87v
b50r	29.52	69.06	-42.14	80.9	329	v68m
b75r	36.48	71.47	-3.69	71.57	357	m34o



Ein und Ausgabe: Farbmatisches Drucker-Reflektiv-System FRS09_92a für relativen CIELAB-Bunton $h^* = lab^*h^* = h_{ab}/360 = 0.305$

$u^*_e = j25g$
 lab^*rgb^*

Daten für jede Farbe:

lab^*tch^* und lab^*icu^*

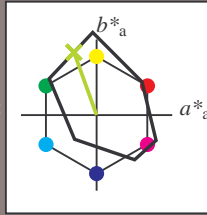
Buntontexte:

$u^*_e = j25g$ $u^*_d = y34l$

Kontrastreduzierungsfaktor:

$c_R = 1.0$

Dreiecks-Helligkeit t^*



FRS09_92a; adaptierte CIELAB-Daten

u^*_e	$L^*=L^*_a$	a^*_a	b^*_a	$C^*_{ab,a}$	$h^*_{ab,a}$
O _{Ma}	35.06	60.0	44.0	74.4	36
Y _{Ma}	83.77	-5.17	109.32	109.44	93
L _{Ma}	44.13	-62.67	48.24	79.09	142
C _{Ma}	52.66	-29.14	-31.99	43.27	228
V _{Ma}	14.15	50.3	-59.04	77.57	310
M _{Ma}	37.37	78.64	-33.5	85.48	337
N _{Ma}	8.58	0.0	0.0	0.0	0
W _{Ma}	92.02	0.0	0.0	0.0	0
R _{Ma}	39.92	58.74	27.99	65.07	25
J _{Ma}	81.26	-2.89	71.56	71.62	92
G _{Ma}	52.23	-42.42	13.6	44.55	162
B _{Ma}	30.57	1.41	-46.47	46.49	272

Daten für Maximalfarbe (Ma):

$LAB^*LAB^*_{Ma}$: 67 -30 83

$LAB^*LCH^*_{Ma}$: 67 88 109

$lab^*rgb^*_{Ma}$: 0.75 1.0 0.0

$lab^*olv^*_{Ma}$: 0.66 1.0 0.0

Dreiecks-Helligkeit t^*

%Umfang

$u^*_{rel} = 109$

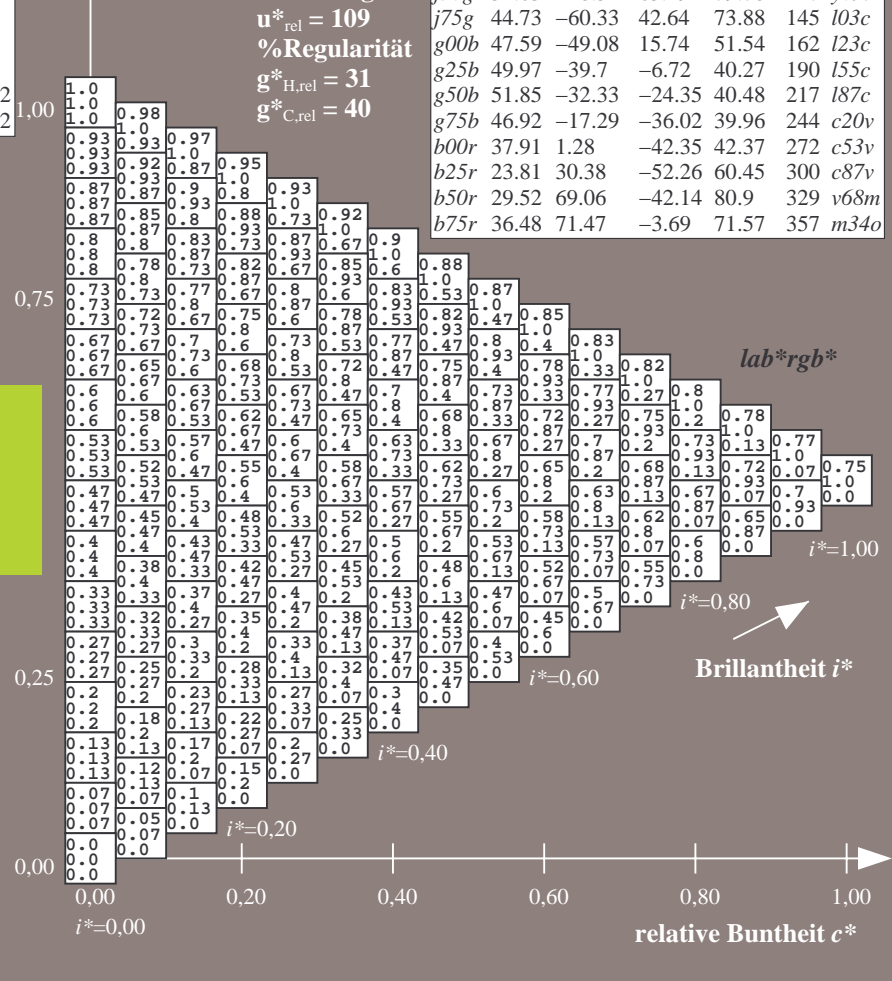
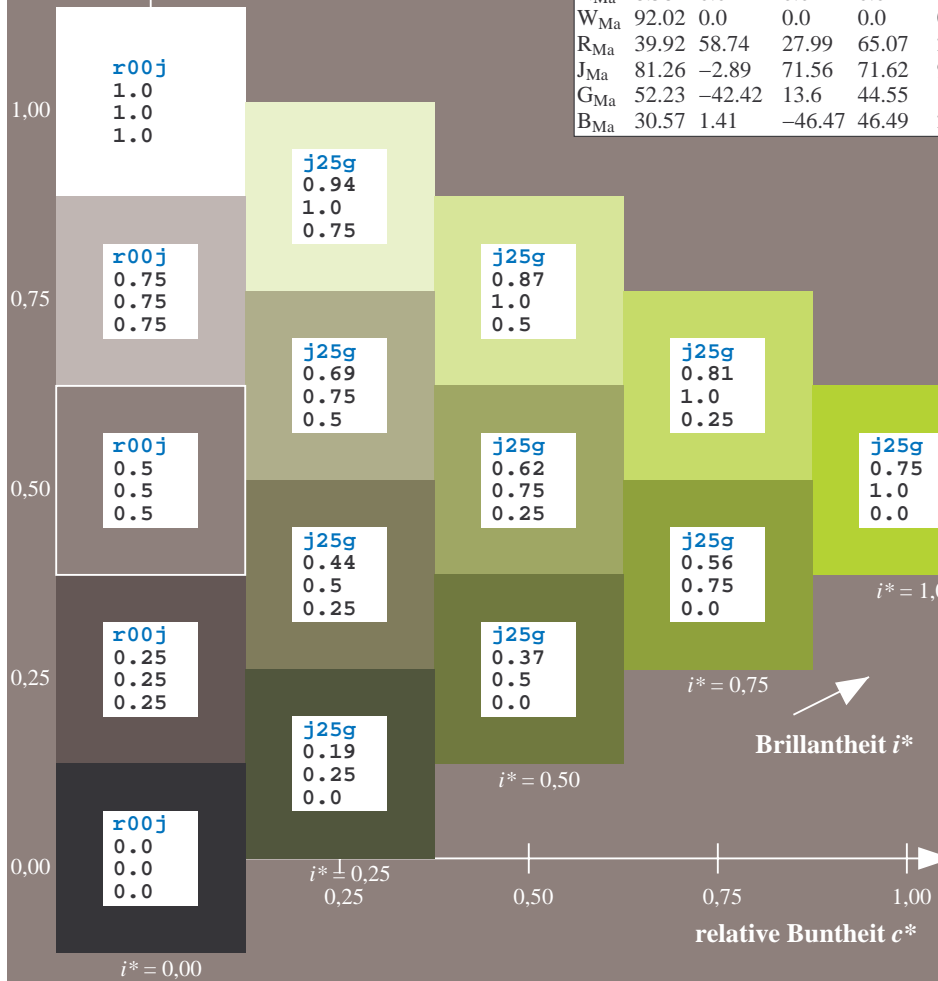
%Regularität

$g^*_{H,rel} = 31$

$g^*_{C,rel} = 40$

FRS09_92a; adaptierte CIELAB-Daten

u^*_e	$L^*=L^*_a$	a^*_a	b^*_a	$C^*_{ab,a}$	$h^*_{ab,a}$	u^*_d
r00j	35.47	63.32	30.17	70.15	25	m81o
r25j	39.12	54.56	49.45	73.64	42	o10y
r50j	50.64	39.15	64.89	75.79	59	o40y
r75j	64.01	21.26	82.83	85.52	76	o69y
j00g	83.18	-4.38	108.53	108.62	92	o98y
j25g	66.73	-29.89	83.06	88.28	110	y34l
j50g	54.03	-48.31	63.49	79.78	127	y69l
j75g	44.73	-60.33	42.64	73.88	145	103c
g00b	47.59	-49.08	15.74	51.54	162	i23c
g25b	49.97	-39.7	-6.72	40.27	190	i55c
g50b	51.85	-32.33	-24.35	40.48	217	i87c
g75b	46.92	-17.29	-36.02	39.96	244	c20v
b00r	37.91	1.28	-42.35	42.37	272	c53v
b25r	23.81	30.38	-52.26	60.45	300	c87v
b50r	29.52	69.06	-42.14	80.9	329	v68m
b75r	36.48	71.47	-3.69	71.57	357	m34o



Ein und Ausgabe: Farbmatisches Drucker-Reflektiv-System FRS09_92a für relativen CIELAB-Bunton $h^* = lab^*h^* = h_{ab}/360 = 0.354$

$u^*_e = j50g$
 lab^*rgb^*

Daten für jede Farbe:

lab^*ch^* und lab^*icu^*

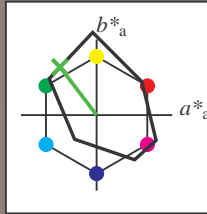
Buntontexte:

$u^*_e = j50g$ $u^*_d = y69l$

Kontrastreduzierungsfaktor:

$c_R = 1.0$

Dreiecks-Helligkeit t^*



FRS09_92a; adaptierte CIELAB-Daten

u^*_e	$L^*=L^*_a$	a^*_a	b^*_a	$C^*_{ab,a}$	$h^*_{ab,a}$
O _{Ma}	35.06	60.0	44.0	74.4	36
Y _{Ma}	83.77	-5.17	109.32	109.44	93
L _{Ma}	44.13	-62.67	48.24	79.09	142
C _{Ma}	52.66	-29.14	-31.99	43.27	228
V _{Ma}	14.15	50.3	-59.04	77.57	310
M _{Ma}	37.37	78.64	-33.5	85.48	337
N _{Ma}	8.58	0.0	0.0	0.0	0
W _{Ma}	92.02	0.0	0.0	0.0	0
R _{Ma}	39.92	58.74	27.99	65.07	25
J _{Ma}	81.26	-2.89	71.56	71.62	92
G _{Ma}	52.23	-42.42	13.6	44.55	162
B _{Ma}	30.57	1.41	-46.47	46.49	272

Daten für Maximalfarbe (Ma):

$LAB^*LAB^*_{Ma}$: 54 -48 63

$LAB^*LCH^*_{Ma}$: 54 80 127

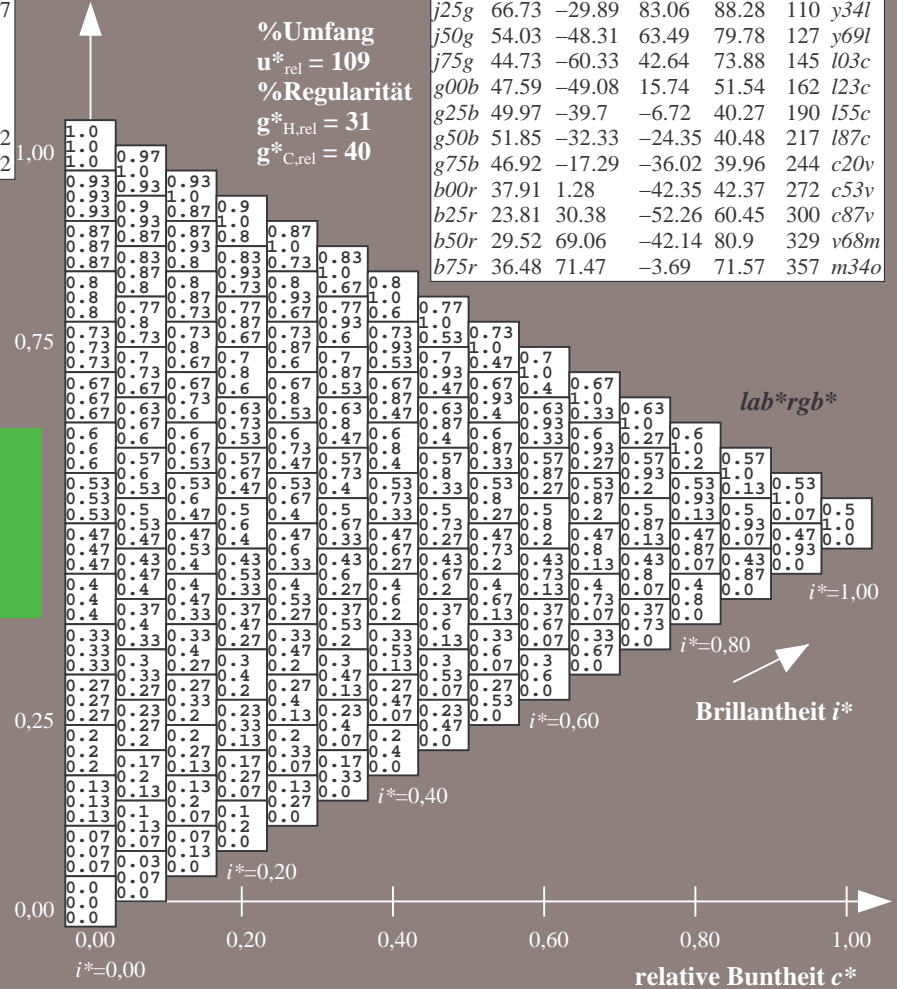
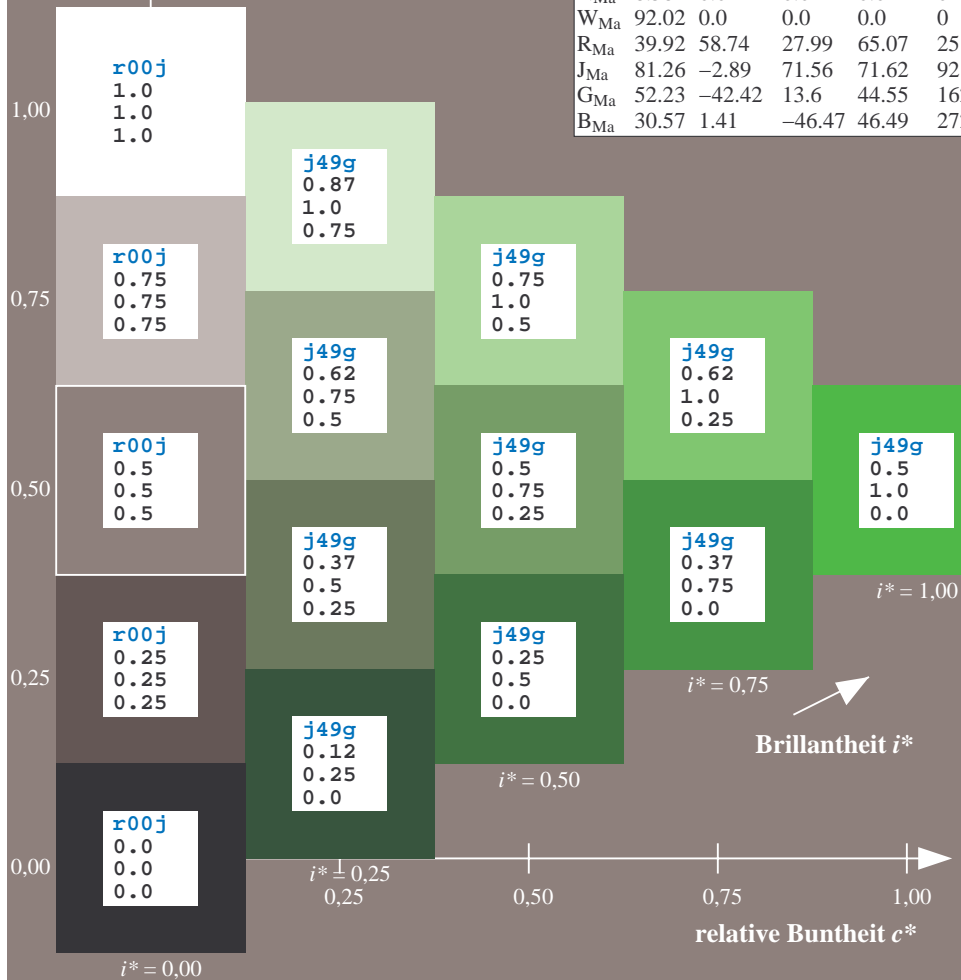
$lab^*rgb^*_{Ma}$: 0.5 1.0 0.0

$lab^*olv^*_{Ma}$: 0.3 1.0 0.0

Dreiecks-Helligkeit t^*

FRS09_92a; adaptierte CIELAB-Daten

u^*_e	$L^*=L^*_a$	a^*_a	b^*_a	$C^*_{ab,a}$	$h^*_{ab,a}$	u^*_d
r00j	35.47	63.32	30.17	70.15	25	m81o
r25j	39.12	54.56	49.45	73.64	42	o10y
r50j	50.64	39.15	64.89	75.79	59	o40y
r75j	64.01	21.26	82.83	85.52	76	o69y
j00g	83.18	-4.38	108.53	108.62	92	o98y
j25g	66.73	-29.89	83.06	88.28	110	y34l
j50g	54.03	-48.31	63.49	79.78	127	y69l
j75g	44.73	-60.33	42.64	73.88	145	l03c
g00b	47.59	-49.08	15.74	51.54	162	i23c
g25b	49.97	-39.7	-6.72	40.27	190	i55c
g50b	51.85	-32.33	-24.35	40.48	217	i87c
g75b	46.92	-17.29	-36.02	39.96	244	c20v
b00r	37.91	1.28	-42.35	42.37	272	c53v
b25r	23.81	30.38	-52.26	60.45	300	c87v
b50r	29.52	69.06	-42.14	80.9	329	v68m
b75r	36.48	71.47	-3.69	71.57	357	m34o



%Umfang
 $u^*_{rel} = 109$
%Regularität
 $g^*_{H,rel} = 31$
 $g^*_{C,rel} = 40$

Brillantheit i^*

Brillantheit i^*

Ein und Ausgabe: Farbmatisches Drucker-Reflektiv-System FRS09_92a für relativen CIELAB-Bunton $h^* = lab^*h^* = h_{ab}/360 = 0.402$

$u^*_e = j75g$
 lab^*rgb^*

Daten für jede Farbe:

lab^*tch^* und lab^*icu^*

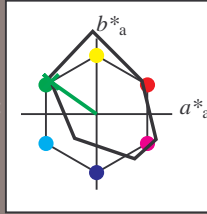
Buntontexte:

$u^*_e = j75g$ $u^*_d = l03c$

Kontrastreduzierungsfaktor:

$c_R = 1.0$

Dreiecks-Helligkeit t^*



FRS09_92a; adaptierte CIELAB-Daten

u^*_e	$L^*=L^*_a$	a^*_a	b^*_a	$C^*_{ab,a}$	$h^*_{ab,a}$
O _{Ma}	35.06	60.0	44.0	74.4	36
Y _{Ma}	83.77	-5.17	109.32	109.44	93
L _{Ma}	44.13	-62.67	48.24	79.09	142
C _{Ma}	52.66	-29.14	-31.99	43.27	228
V _{Ma}	14.15	50.3	-59.04	77.57	310
M _{Ma}	37.37	78.64	-33.5	85.48	337
N _{Ma}	8.58	0.0	0.0	0.0	0
W _{Ma}	92.02	0.0	0.0	0.0	0
R _{Ma}	39.92	58.74	27.99	65.07	25
J _{Ma}	81.26	-2.89	71.56	71.62	92
G _{Ma}	52.23	-42.42	13.6	44.55	162
B _{Ma}	30.57	1.41	-46.47	46.49	272

Daten für Maximalfarbe (Ma):

$LAB^*LAB^*_{Ma}: 45 -60 43$

$LAB^*LCH^*_{Ma}: 45 74 144$

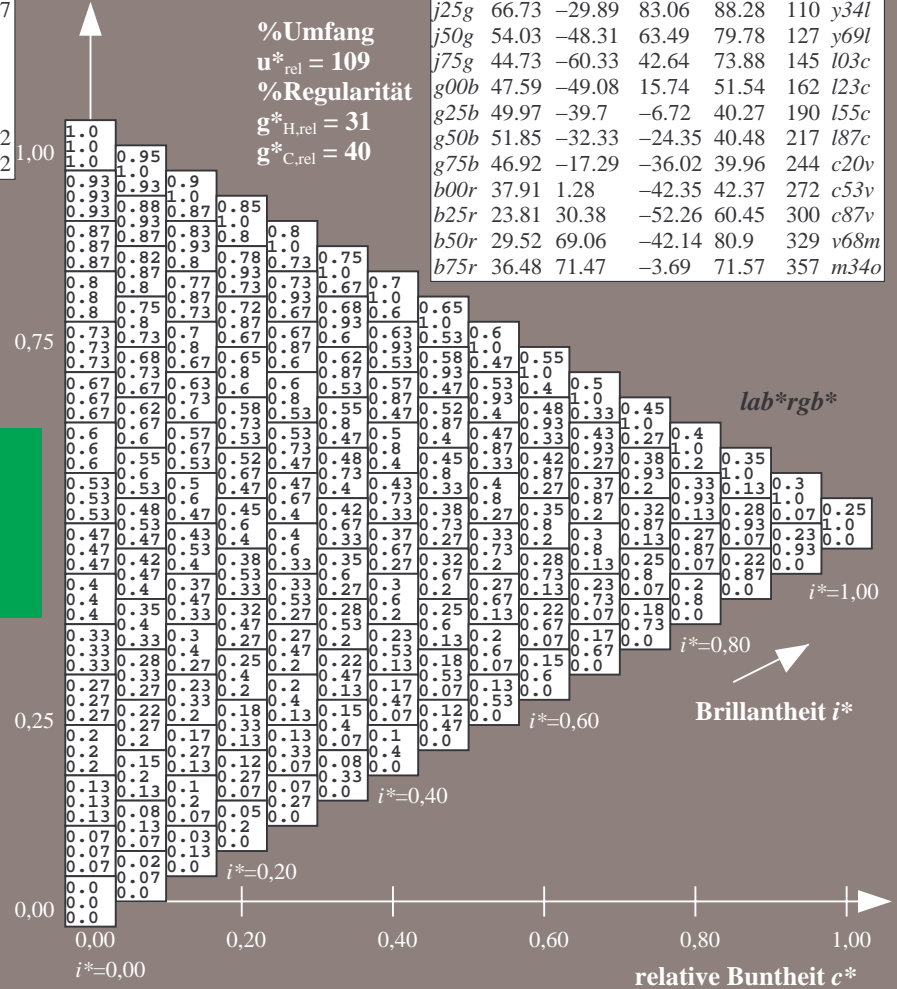
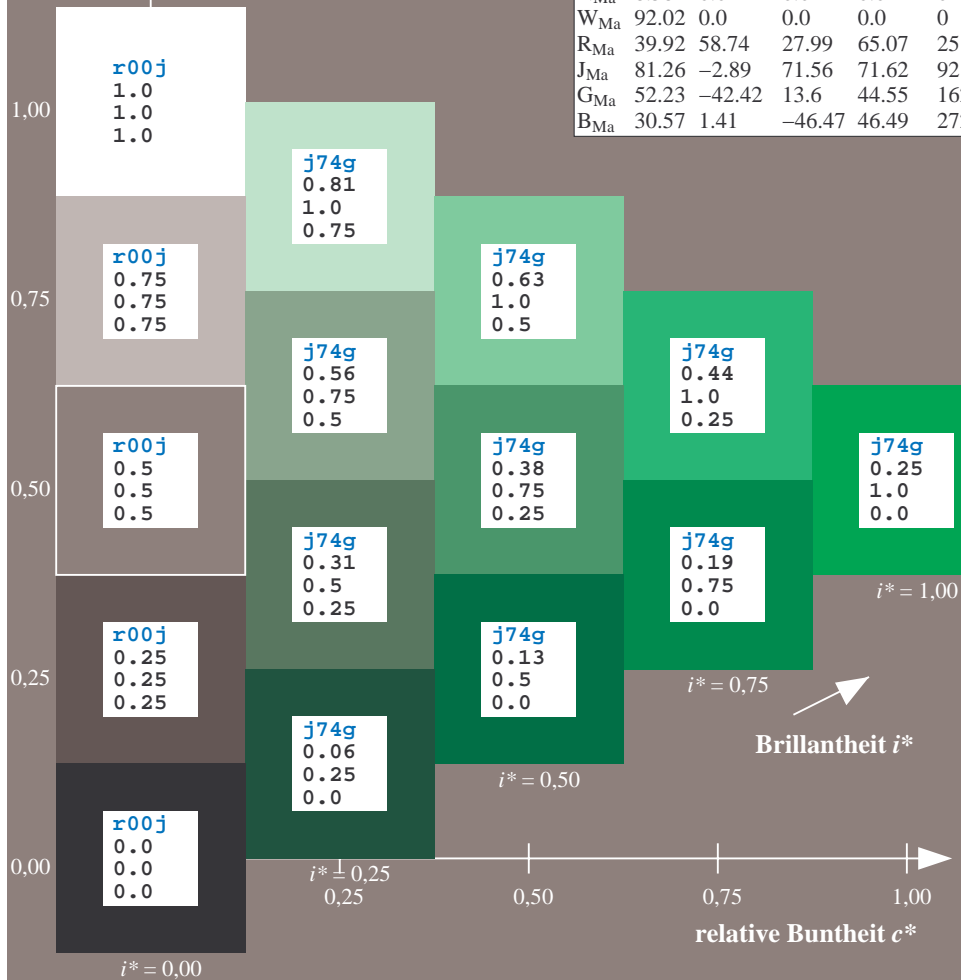
$lab^*rgb^*_{Ma}: 0.25 1.0 0.0$

$lab^*olv^*_{Ma}: 0.0 1.0 0.03$

Dreiecks-Helligkeit t^*

FRS09_92a; adaptierte CIELAB-Daten

u^*_e	$L^*=L^*_a$	a^*_a	b^*_a	$C^*_{ab,a}$	$h^*_{ab,a}$	u^*_d
r00j	35.47	63.32	30.17	70.15	25	m81o
r25j	39.12	54.56	49.45	73.64	42	o10y
r50j	50.64	39.15	64.89	75.79	59	o40y
r75j	64.01	21.26	82.83	85.52	76	o69y
j00g	83.18	-4.38	108.53	108.62	92	o98y
j25g	66.73	-29.89	83.06	88.28	110	y34l
j50g	54.03	-48.31	63.49	79.78	127	y69l
j75g	44.73	-60.33	42.64	73.88	145	l03c
g00b	47.59	-49.08	15.74	51.54	162	i23c
g25b	49.97	-39.7	-6.72	40.27	190	i55c
g50b	51.85	-32.33	-24.35	40.48	217	i87c
g75b	46.92	-17.29	-36.02	39.96	244	c20v
b00r	37.91	1.28	-42.35	42.37	272	c53v
b25r	23.81	30.38	-52.26	60.45	300	c87v
b50r	29.52	69.06	-42.14	80.9	329	v68m
b75r	36.48	71.47	-3.69	71.57	357	m34o



%Umfang
 $u^*_{rel} = 109$
%Regularität
 $g^*_{H,rel} = 31$
 $g^*_{C,rel} = 40$

lab^*rgb^*

Brillantheit i^*

$i^* = 1.00$

$i^* = 0.80$

$i^* = 0.60$

$i^* = 0.40$

$i^* = 0.20$

$i^* = 0.00$

Ein und Ausgabe: Farbmatisches Drucker-Reflektiv-System FRS09_92a für relativen CIELAB-Bunton $h^* = lab^*h^* = h_{ab}/360 = 0.451$

$u^*_e = g00b$
 lab^*rgb^*

Daten für jede Farbe:

lab^*tch^* und lab^*icu^*

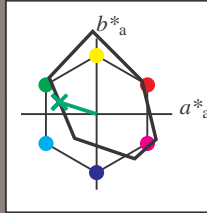
Buntontexte:

$u^*_e = g00b$ $u^*_d = l23c$

Kontrastreduzierungsfaktor:

$c_R = 1.0$

Dreiecks-Helligkeit t^*



FRS09_92a; adaptierte CIELAB-Daten

u^*_e	$L^*=L^*_a$	a^*_a	b^*_a	$C^*_{ab,a}$	$h^*_{ab,a}$
O _{Ma}	35.06	60.0	44.0	74.4	36
Y _{Ma}	83.77	-5.17	109.32	109.44	93
L _{Ma}	44.13	-62.67	48.24	79.09	142
C _{Ma}	52.66	-29.14	-31.99	43.27	228
V _{Ma}	14.15	50.3	-59.04	77.57	310
M _{Ma}	37.37	78.64	-33.5	85.48	337
N _{Ma}	8.58	0.0	0.0	0.0	0
W _{Ma}	92.02	0.0	0.0	0.0	0
R _{Ma}	39.92	58.74	27.99	65.07	25
J _{Ma}	81.26	-2.89	71.56	71.62	92
G _{Ma}	52.23	-42.42	13.6	44.55	162
B _{Ma}	30.57	1.41	-46.47	46.49	272

Daten für Maximalfarbe (Ma):

$LAB^*LAB^*_{Ma}$: 48 -49 16

$LAB^*LCH^*_{Ma}$: 48 52 162

$lab^*rgb^*_{Ma}$: 0.0 1.0 0.0

$lab^*olv^*_{Ma}$: 0.0 1.0 0.23

Dreiecks-Helligkeit t^*

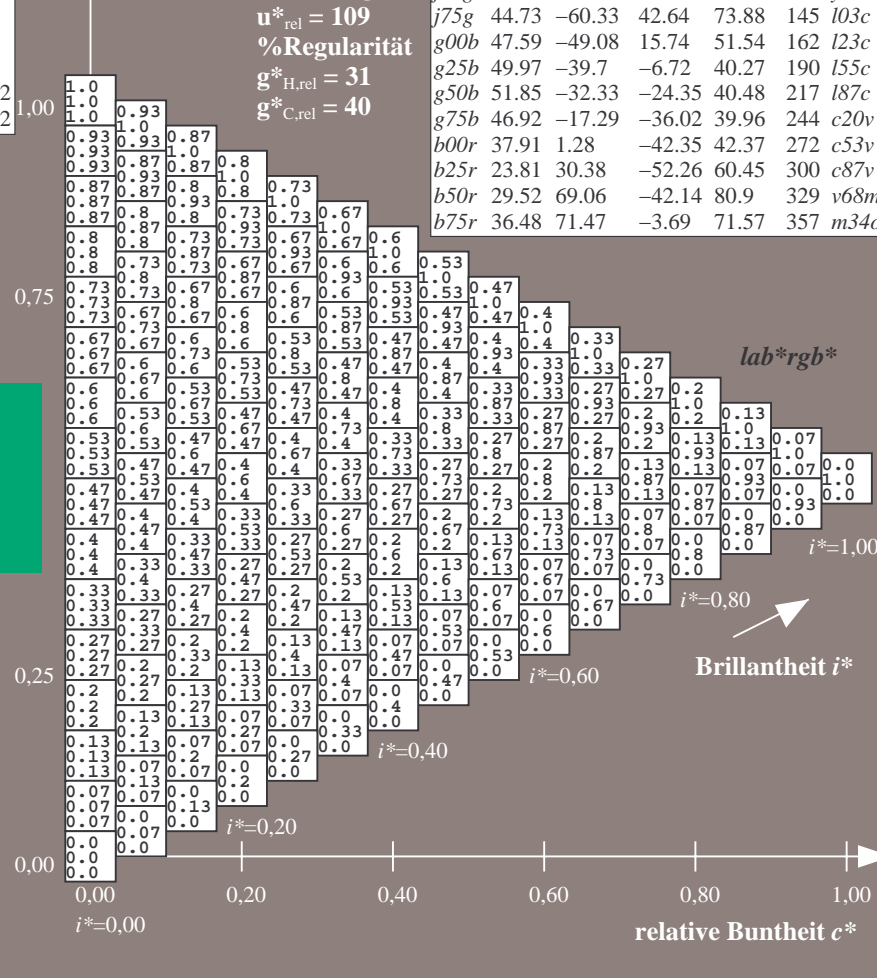
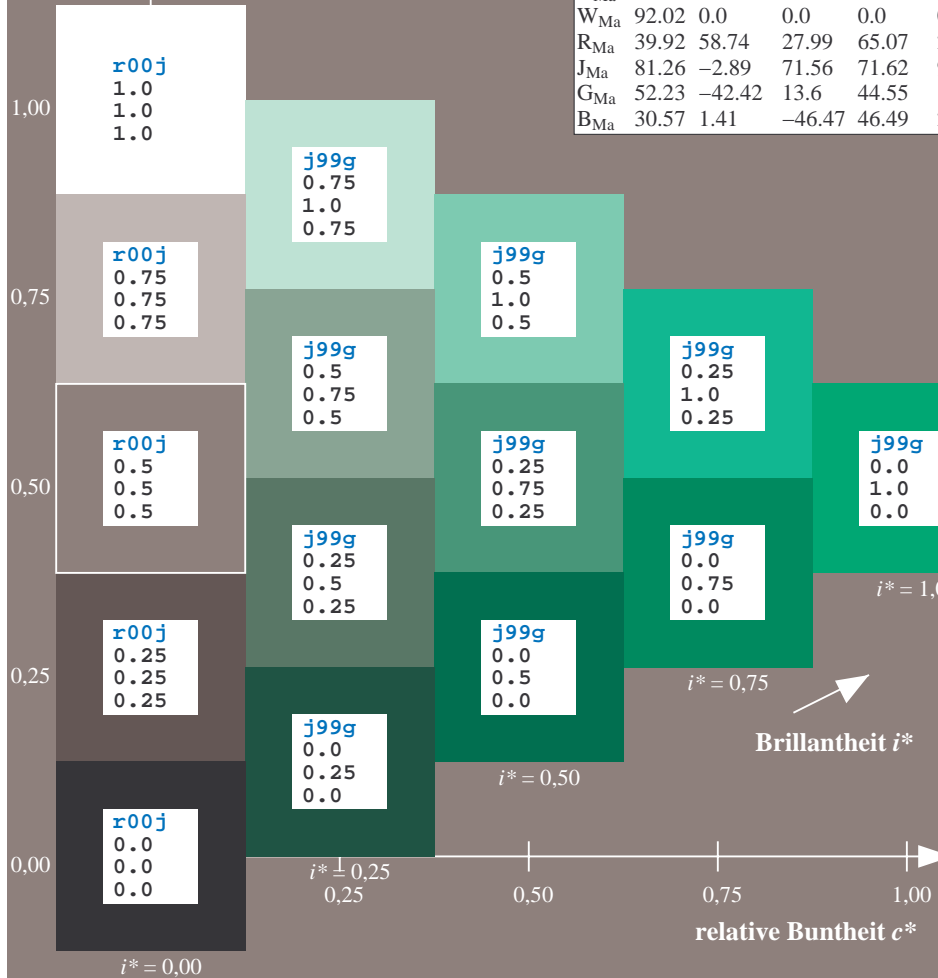
%Umfang

$u^*_{rel} = 109$

%Regularität

$g^*_{H,rel} = 31$

$g^*_{C,rel} = 40$



FRS09_92a; adaptierte CIELAB-Daten

u^*_e	$L^*=L^*_a$	a^*_a	b^*_a	$C^*_{ab,a}$	$h^*_{ab,a}$	u^*_d
r00j	35.47	63.32	30.17	70.15	25	m81o
r25j	39.12	54.56	49.45	73.64	42	o10y
r50j	50.64	39.15	64.89	75.79	59	o40y
r75j	64.01	21.26	82.83	85.52	76	o69y
j00g	83.18	-4.38	108.53	108.62	92	o98y
j25g	66.73	-29.89	83.06	88.28	110	y34l
j50g	54.03	-48.31	63.49	79.78	127	y69l
j75g	44.73	-60.33	42.64	73.88	145	l23c
g00b	47.59	-49.08	15.74	51.54	162	l03c
g25b	49.97	-39.7	-6.72	40.27	190	l55c
g50b	51.85	-32.33	-24.35	40.48	217	l87c
g75b	46.92	-17.29	-36.02	39.96	244	c20v
b00r	37.91	1.28	-42.35	42.37	272	c53v
b25r	23.81	30.38	-52.26	60.45	300	c87v
b50r	29.52	69.06	-42.14	80.9	329	v68m
b75r	36.48	71.47	-3.69	71.57	357	m34o

Ein und Ausgabe: Farbmatisches Drucker-Reflektiv-System FRS09_92a für relativen CIELAB-Bunton $h^* = lab^*h^* = h_{ab}/360 = 0.527$

$u^*_e = g25b$
 lab^*rgb^*

Daten für jede Farbe:

lab^*tch^* und lab^*icu^*

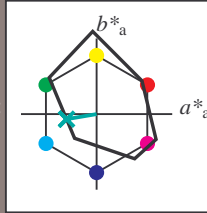
Buntontexte:

$u^*_e = g25b$ $u^*_d = l55c$

Kontrastreduzierungsfaktor:

$c_R = 1.0$

Dreiecks-Helligkeit t^*



FRS09_92a; adaptierte CIELAB-Daten

u^*_e	$L^*=L^*_a$	a^*_a	b^*_a	$C^*_{ab,a}$	$h^*_{ab,a}$
O _{Ma}	35.06	60.0	44.0	74.4	36
Y _{Ma}	83.77	-5.17	109.32	109.44	93
L _{Ma}	44.13	-62.67	48.24	79.09	142
C _{Ma}	52.66	-29.14	-31.99	43.27	228
V _{Ma}	14.15	50.3	-59.04	77.57	310
M _{Ma}	37.37	78.64	-33.5	85.48	337
N _{Ma}	8.58	0.0	0.0	0.0	0
W _{Ma}	92.02	0.0	0.0	0.0	0
R _{Ma}	39.92	58.74	27.99	65.07	25
J _{Ma}	81.26	-2.89	71.56	71.62	92
G _{Ma}	52.23	-42.42	13.6	44.55	162
B _{Ma}	30.57	1.41	-46.47	46.49	272

Daten für Maximalfarbe (Ma):

$LAB^*LAB^*_{Ma}$: 50 -40 -7

$LAB^*LCH^*_{Ma}$: 50 40 189

$lab^*rgb^*_{Ma}$: 0.0 1.0 0.5

$lab^*olv^*_{Ma}$: 0.0 1.0 0.55

Dreiecks-Helligkeit t^*

%Umfang

$u^*_{rel} = 109$

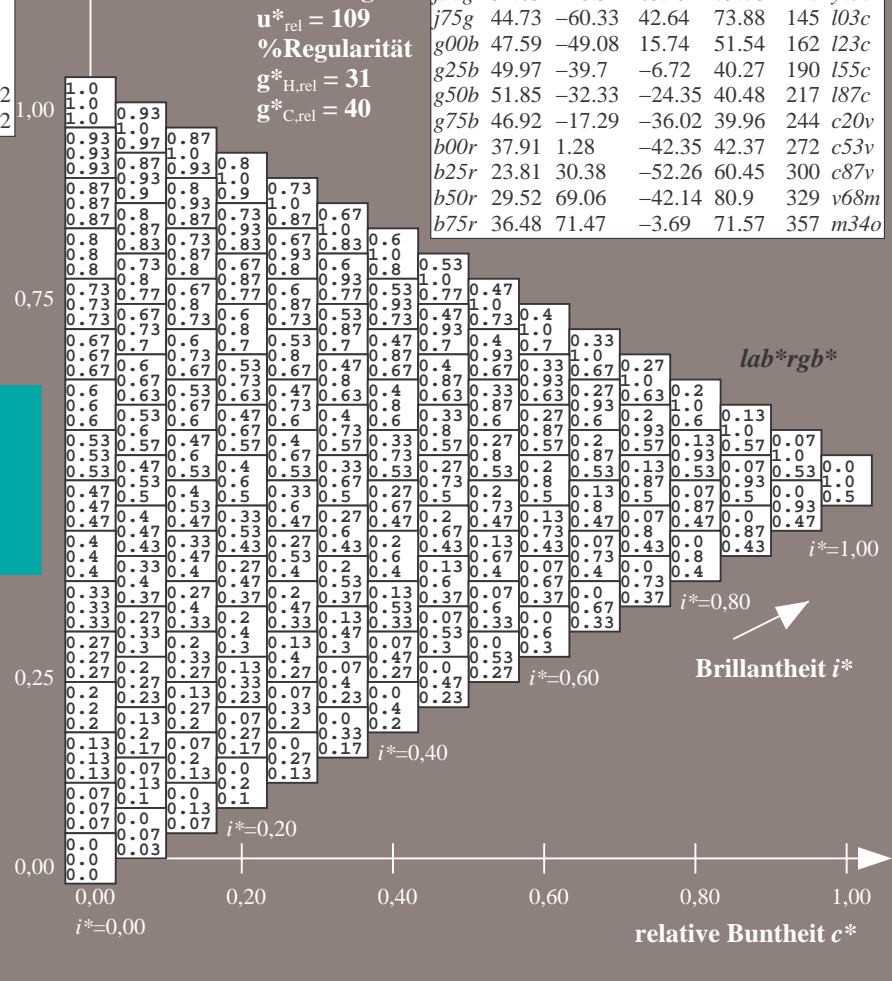
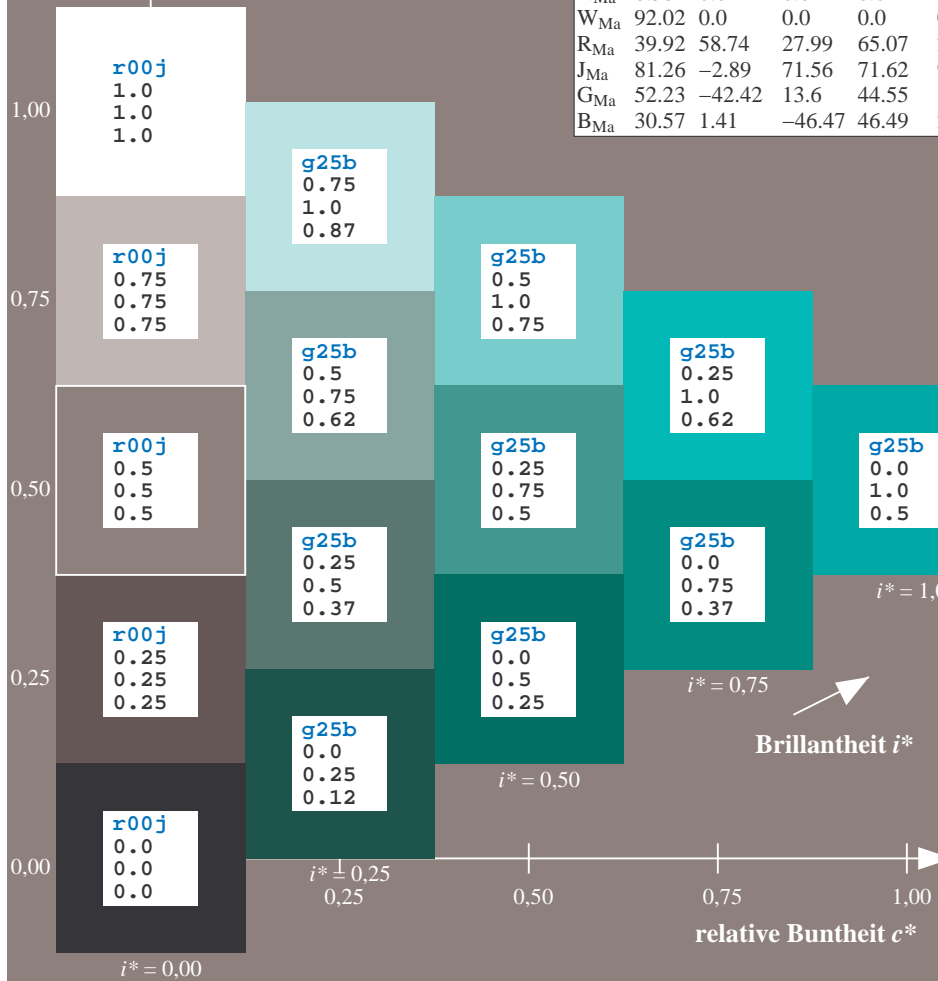
%Regularität

$g^*_{H,rel} = 31$

$g^*_{C,rel} = 40$

FRS09_92a; adaptierte CIELAB-Daten

u^*_e	$L^*=L^*_a$	a^*_a	b^*_a	$C^*_{ab,a}$	$h^*_{ab,a}$	u^*_d
r00j	35.47	63.32	30.17	70.15	25	m81o
r25j	39.12	54.56	49.45	73.64	42	o10y
r50j	50.64	39.15	64.89	75.79	59	o40y
r75j	64.01	21.26	82.83	85.52	76	o69y
j00g	83.18	-4.38	108.53	108.62	92	o98y
j25g	66.73	-29.89	83.06	88.28	110	y34l
j50g	54.03	-48.31	63.49	79.78	127	y69l
j75g	44.73	-60.33	42.64	73.88	145	l03c
g00b	47.59	-49.08	15.74	51.54	162	i23c
g25b	49.97	-39.7	-6.72	40.27	190	i55c
g50b	51.85	-32.33	-24.35	40.48	217	i87c
g75b	46.92	-17.29	-36.02	39.96	244	c20v
b00r	37.91	1.28	-42.35	42.37	272	c53v
b25r	23.81	30.38	-52.26	60.45	300	c87v
b50r	29.52	69.06	-42.14	80.9	329	v68m
b75r	36.48	71.47	-3.69	71.57	357	m34o



Ein und Ausgabe: Farbmatisches Drucker-Reflektiv-System FRS09_92a für relativen CIELAB-Bunton $h^* = lab^*h^* = h_{ab}/360 = 0.603$

$u^*_e = g50b$
 lab^*rgb^*

Daten für jede Farbe:

lab^*tch^* und lab^*icu^*

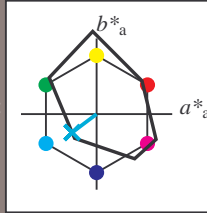
Buntontexte:

$u^*_e = g50b$ $u^*_d = l87c$

Kontrastreduzierungsfaktor:

$c_R = 1.0$

Dreiecks-Helligkeit t^*



FRS09_92a; adaptierte CIELAB-Daten

u^*_e	$L^*=L^*_a$	a^*_a	b^*_a	$C^*_{ab,a}$	$h^*_{ab,a}$
O _{Ma}	35.06	60.0	44.0	74.4	36
Y _{Ma}	83.77	-5.17	109.32	109.44	93
L _{Ma}	44.13	-62.67	48.24	79.09	142
C _{Ma}	52.66	-29.14	-31.99	43.27	228
V _{Ma}	14.15	50.3	-59.04	77.57	310
M _{Ma}	37.37	78.64	-33.5	85.48	337
N _{Ma}	8.58	0.0	0.0	0.0	0
W _{Ma}	92.02	0.0	0.0	0.0	0
R _{Ma}	39.92	58.74	27.99	65.07	25
J _{Ma}	81.26	-2.89	71.56	71.62	92
G _{Ma}	52.23	-42.42	13.6	44.55	162
B _{Ma}	30.57	1.41	-46.47	46.49	272

Daten für Maximalfarbe (Ma):

$LAB^*LAB^*_{Ma}$: 52 -32 -24

$LAB^*LCH^*_{Ma}$: 52 40 216

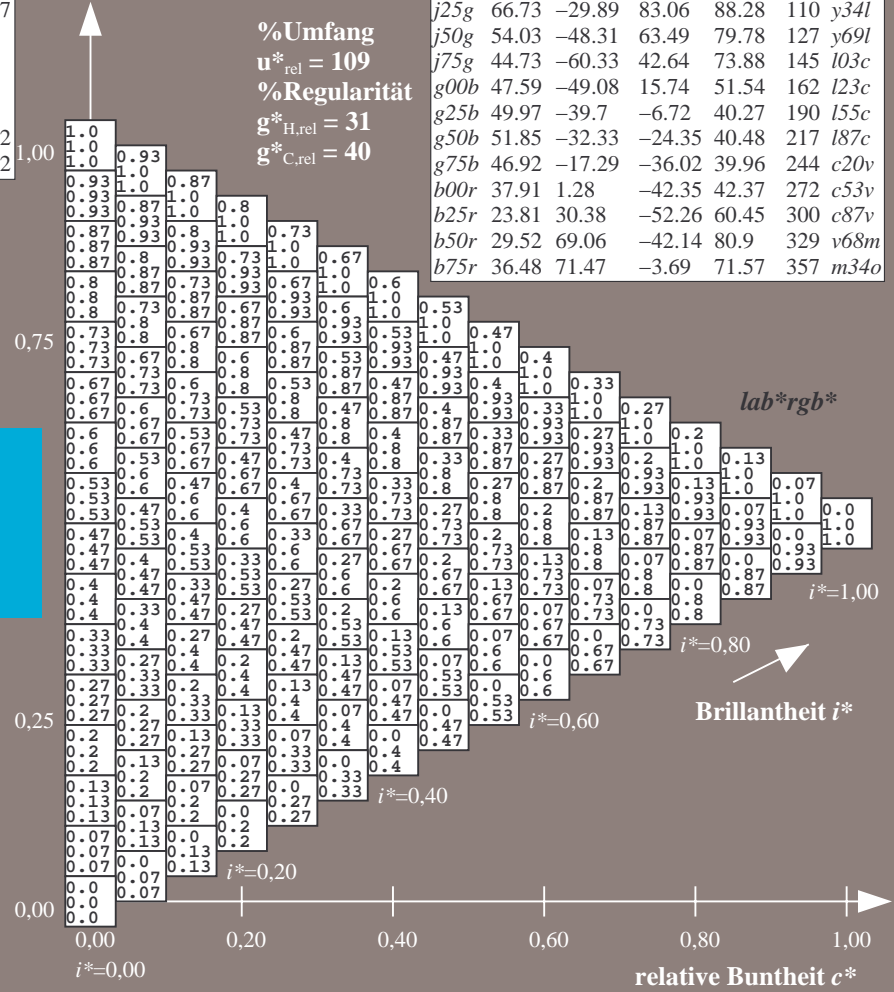
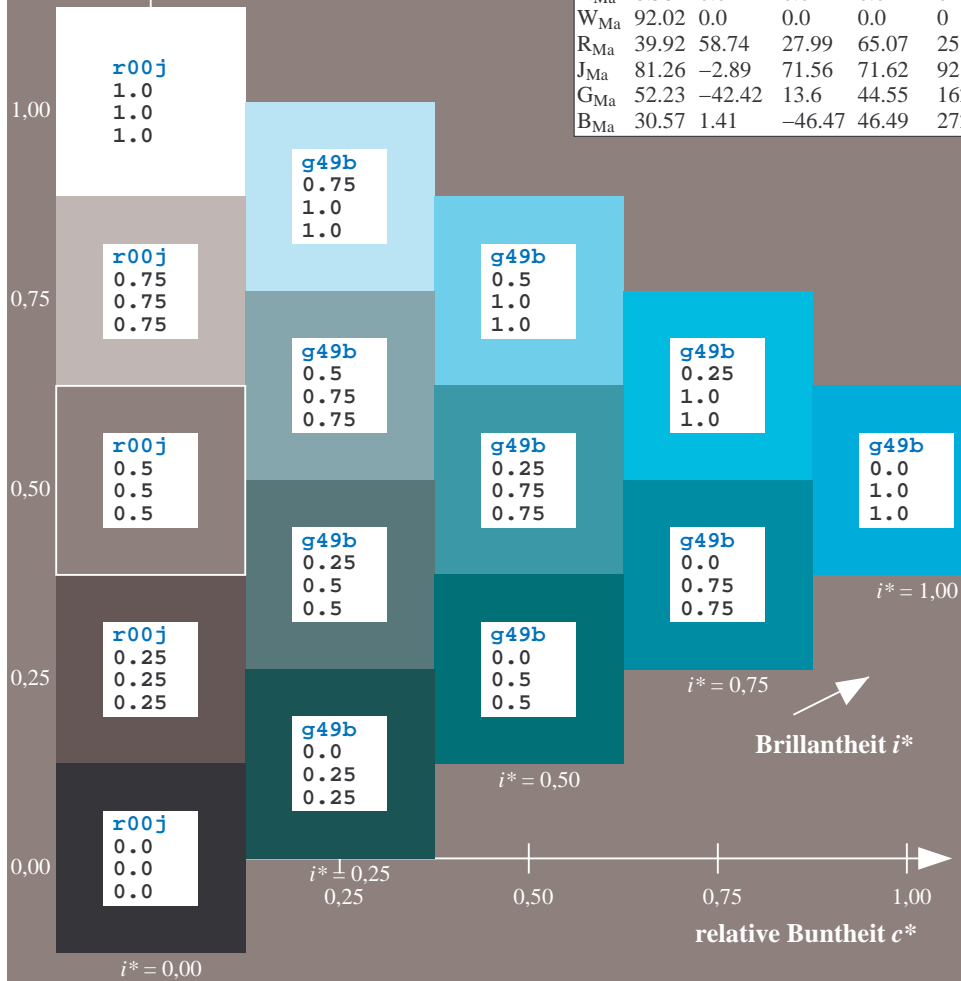
$lab^*rgb^*_{Ma}$: 0.0 1.0 1.0

$lab^*olv^*_{Ma}$: 0.0 1.0 0.87

Dreiecks-Helligkeit t^*

FRS09_92a; adaptierte CIELAB-Daten

u^*_e	$L^*=L^*_a$	a^*_a	b^*_a	$C^*_{ab,a}$	$h^*_{ab,a}$	u^*_d
r00j	35.47	63.32	30.17	70.15	25	m81o
r25j	39.12	54.56	49.45	73.64	42	o10y
r50j	50.64	39.15	64.89	75.79	59	o40y
r75j	64.01	21.26	82.83	85.52	76	o69y
j00g	83.18	-4.38	108.53	108.62	92	o98y
j25g	66.73	-29.89	83.06	88.28	110	y34l
j50g	54.03	-48.31	63.49	79.78	127	y69l
j75g	44.73	-60.33	42.64	73.88	145	l03c
g00b	47.59	-49.08	15.74	51.54	162	l23c
g25b	49.97	-39.7	-6.72	40.27	190	l55c
g50b	51.85	-32.33	-24.35	40.48	217	l87c
g75b	46.92	-17.29	-36.02	39.96	244	c20v
b00r	37.91	1.28	-42.35	42.37	272	c53v
b25r	23.81	30.38	-52.26	60.45	300	c87v
b50r	29.52	69.06	-42.14	80.9	329	v68m
b75r	36.48	71.47	-3.69	71.57	357	m34o



%Umfang
 $u^*_{rel} = 109$
%Regularität
 $g^*_{H,rel} = 31$
 $g^*_{C,rel} = 40$

Ein und Ausgabe: Farbmatisches Drucker-Reflektiv-System FRS09_92a für relativen CIELAB-Bunton $h^* = lab^*h^* = h_{ab}/360 = 0.679$

$u^*_e = g75b$
 lab^*rgb^*

Daten für jede Farbe:

lab^*tch^* und lab^*icu^*

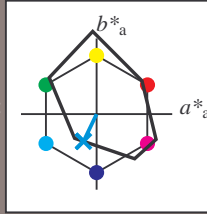
Buntontexte:

$u^*_e = g75b$ $u^*_d = c20v$

Kontrastreduzierungsfaktor:

$c_R = 1.0$

Dreiecks-Helligkeit t^*



FRS09_92a; adaptierte CIELAB-Daten

u^*_e	$L^*=L^*_a$	a^*_a	b^*_a	$C^*_{ab,a}$	$h^*_{ab,a}$
O _{Ma}	35.06	60.0	44.0	74.4	36
Y _{Ma}	83.77	-5.17	109.32	109.44	93
L _{Ma}	44.13	-62.67	48.24	79.09	142
C _{Ma}	52.66	-29.14	-31.99	43.27	228
V _{Ma}	14.15	50.3	-59.04	77.57	310
M _{Ma}	37.37	78.64	-33.5	85.48	337
N _{Ma}	8.58	0.0	0.0	0.0	0
W _{Ma}	92.02	0.0	0.0	0.0	0
R _{Ma}	39.92	58.74	27.99	65.07	25
J _{Ma}	81.26	-2.89	71.56	71.62	92
G _{Ma}	52.23	-42.42	13.6	44.55	162
B _{Ma}	30.57	1.41	-46.47	46.49	272

Daten für Maximalfarbe (Ma):

$LAB^*LAB^*_{Ma}$: 47 -17 -36

$LAB^*LCH^*_{Ma}$: 47 40 244

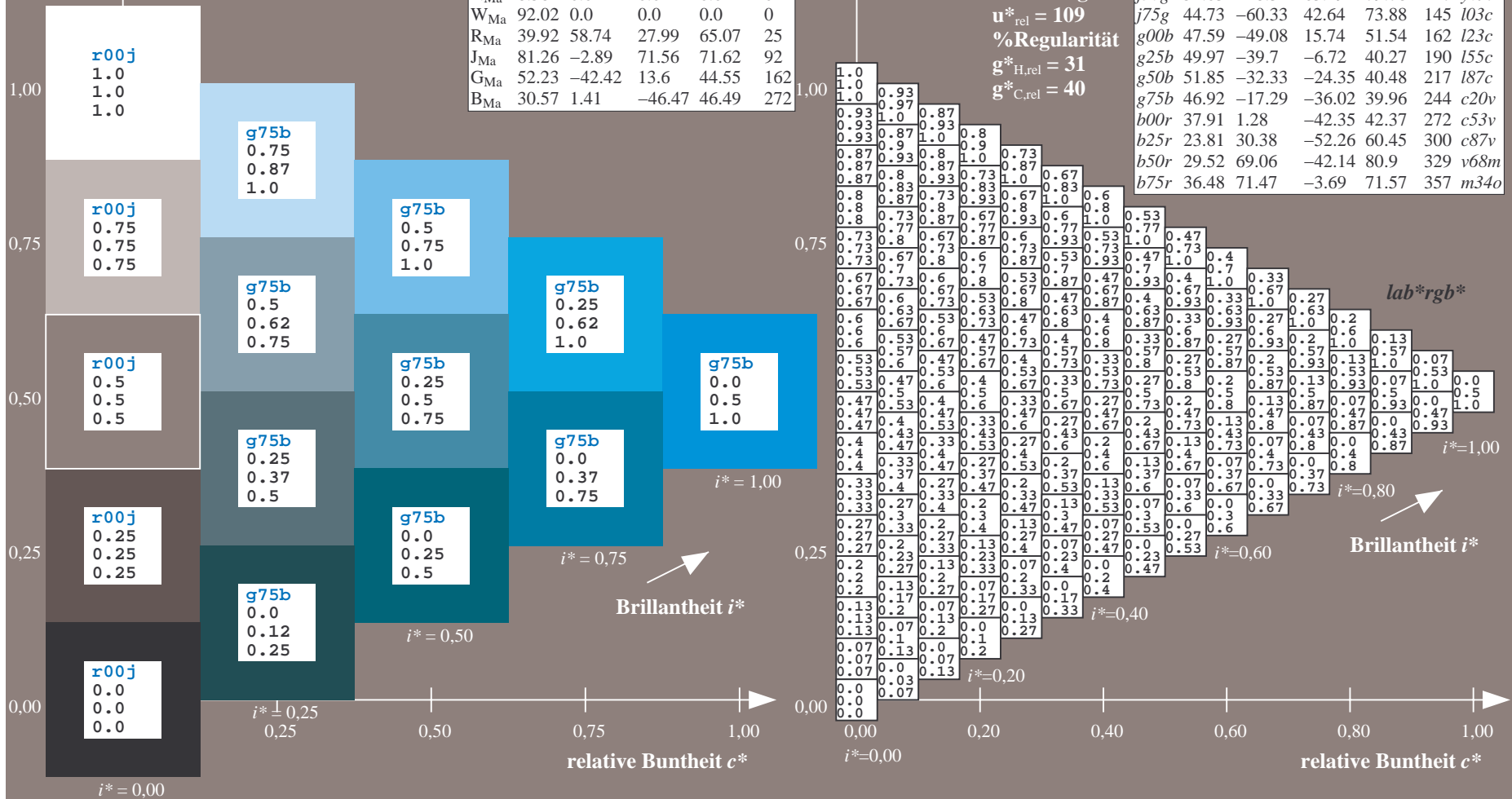
$lab^*rgb^*_{Ma}$: 0.0 0.5 1.0

$lab^*olv^*_{Ma}$: 0.0 0.8 1.0

Dreiecks-Helligkeit t^*

FRS09_92a; adaptierte CIELAB-Daten

u^*_e	$L^*=L^*_a$	a^*_a	b^*_a	$C^*_{ab,a}$	$h^*_{ab,a}$	u^*_d
r00j	35.47	63.32	30.17	70.15	25	m81o
r25j	39.12	54.56	49.45	73.64	42	o10y
r50j	50.64	39.15	64.89	75.79	59	o40y
r75j	64.01	21.26	82.83	85.52	76	o69y
j00g	83.18	-4.38	108.53	108.62	92	o98y
j25g	66.73	-29.89	83.06	88.28	110	y34l
j50g	54.03	-48.31	63.49	79.78	127	y69l
j75g	44.73	-60.33	42.64	73.88	145	103c
g00b	47.59	-49.08	15.74	51.54	162	l23c
g25b	49.97	-39.7	-6.72	40.27	190	l55c
g50b	51.85	-32.33	-24.35	40.48	217	l87c
g75b	46.92	-17.29	-36.02	39.96	244	c20v
b00r	37.91	1.28	-42.35	42.37	272	c53v
b25r	23.81	30.38	-52.26	60.45	300	c87v
b50r	29.52	69.06	-42.14	80.9	329	v68m
b75r	36.48	71.47	-3.69	71.57	357	m34o



Ein und Ausgabe: Farbmatisches Drucker-Reflektiv-System FRS09_92a für relativen CIELAB-Bunton $h^* = lab^*h^* = h_{ab}/360 = 0.755$

$u^*_e = b00r$

Daten für jede Farbe:

lab^*ch^* und lab^*icu^*

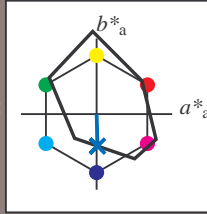
Buntontexte:

$u^*_e = b00r$ $u^*_d = c53v$

Kontrastreduzierungsfaktor:

$c_R = 1.0$

Dreiecks-Helligkeit t^*



FRS09_92a; adaptierte CIELAB-Daten

u^*_e	$L^*=L^*_a$	a^*_a	b^*_a	$C^*_{ab,a}$	$h^*_{ab,a}$
O _{Ma}	35.06	60.0	44.0	74.4	36
Y _{Ma}	83.77	-5.17	109.32	109.44	93
L _{Ma}	44.13	-62.67	48.24	79.09	142
C _{Ma}	52.66	-29.14	-31.99	43.27	228
V _{Ma}	14.15	50.3	-59.04	77.57	310
M _{Ma}	37.37	78.64	-33.5	85.48	337
N _{Ma}	8.58	0.0	0.0	0.0	0
W _{Ma}	92.02	0.0	0.0	0.0	0
R _{Ma}	39.92	58.74	27.99	65.07	25
J _{Ma}	81.26	-2.89	71.56	71.62	92
G _{Ma}	52.23	-42.42	13.6	44.55	162
B _{Ma}	30.57	1.41	-46.47	46.49	272

Daten für Maximalfarbe (Ma):

$LAB^*LAB^*_{Ma}$: 38 1 -42

$LAB^*LCH^*_{Ma}$: 38 42 271

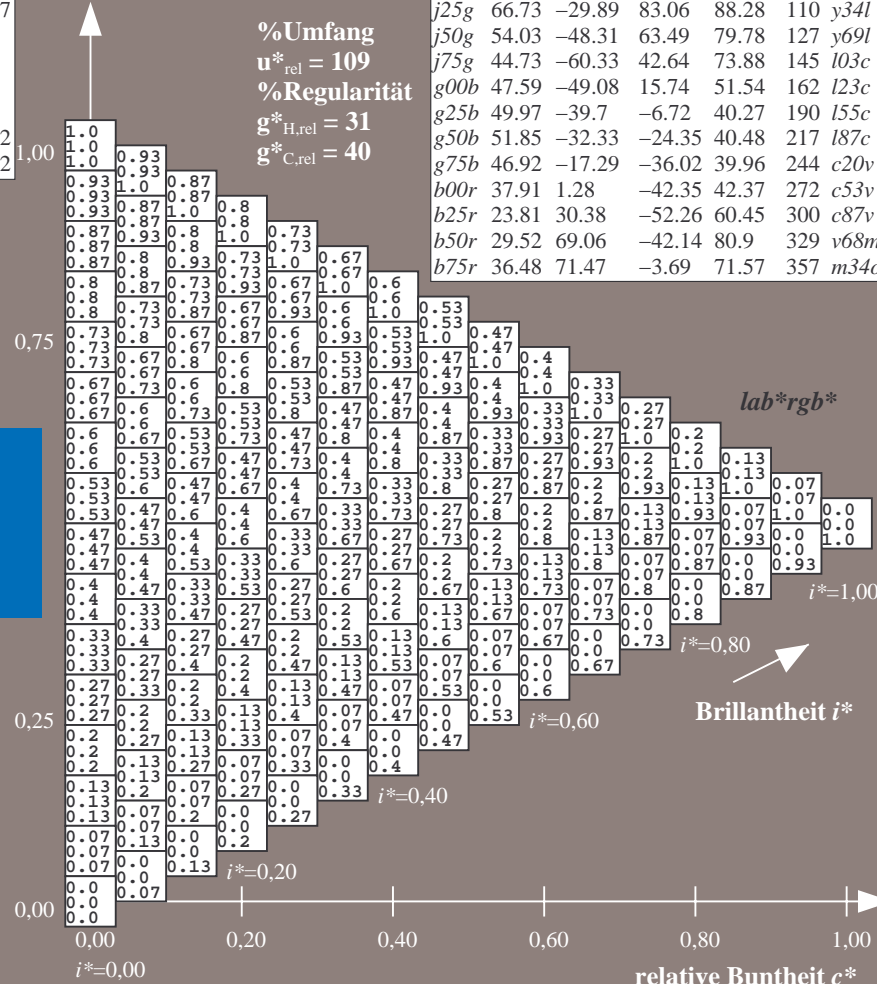
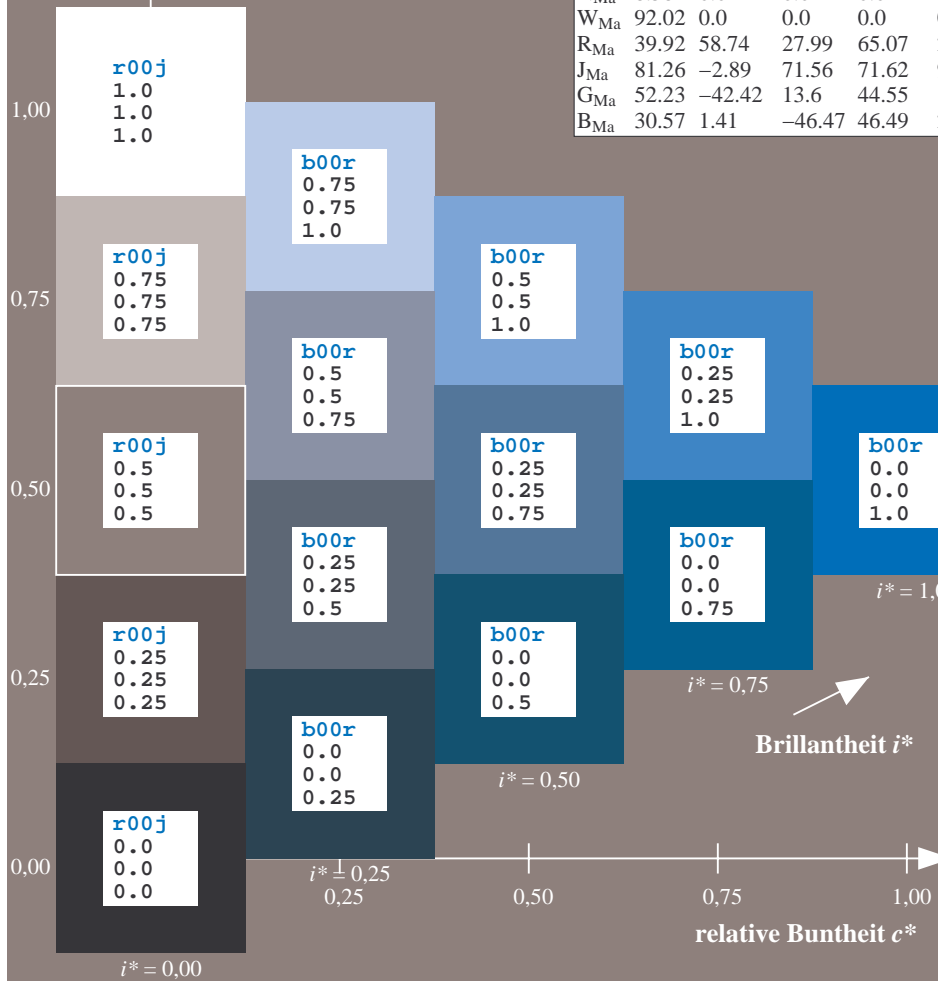
$lab^*rgb^*_{Ma}$: 0.0 0.0 1.0

$lab^*olv^*_{Ma}$: 0.0 0.47 1.0

Dreiecks-Helligkeit t^*

FRS09_92a; adaptierte CIELAB-Daten

u^*_e	$L^*=L^*_a$	a^*_a	b^*_a	$C^*_{ab,a}$	$h^*_{ab,a}$	u^*_d
r00j	35.47	63.32	30.17	70.15	25	m81o
r25j	39.12	54.56	49.45	73.64	42	o10y
r50j	50.64	39.15	64.89	75.79	59	o40y
r75j	64.01	21.26	82.83	85.52	76	o69y
j00g	83.18	-4.38	108.53	108.62	92	o98y
j25g	66.73	-29.89	83.06	88.28	110	y34l
j50g	54.03	-48.31	63.49	79.78	127	y69l
j75g	44.73	-60.33	42.64	73.88	145	103c
g00b	47.59	-49.08	15.74	51.54	162	l23c
g25b	49.97	-39.7	-6.72	40.27	190	l55c
g50b	51.85	-32.33	-24.35	40.48	217	l87c
g75b	46.92	-17.29	-36.02	39.96	244	c20v
b00r	37.91	1.28	-42.35	42.37	272	c53v
b25r	23.81	30.38	-52.26	60.45	300	c87v
b50r	29.52	69.06	-42.14	80.9	329	v68m
b75r	36.48	71.47	-3.69	71.57	357	m34o



%Umfang
 $u^*_{rel} = 109$
%Regularität
 $g^*_{H,rel} = 31$
 $g^*_{C,rel} = 40$

Brillanz i^*

Brillanz i^*

Brillanz i^*

Brillanz i^*

Ein und Ausgabe: Farbmatisches Drucker-Reflektiv-System FRS09_92a für relativen CIELAB-Bunton $h^* = lab^*h^* = h_{ab}/360 = 0.834$

$u^*_e = b25r$

Daten für jede Farbe:

lab^*ch^* und lab^*icu^*

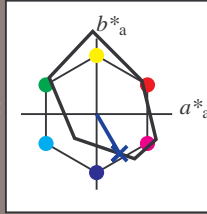
Buntontexte:

$u^*_e = b25r$ $u^*_d = c87v$

Kontrastreduzierungsfaktor:

$c_R = 1.0$

Dreiecks-Helligkeit t^*



FRS09_92a; adaptierte CIELAB-Daten

u^*_e	$L^*=L^*_a$	a^*_a	b^*_a	$C^*_{ab,a}$	$h^*_{ab,a}$
O _{Ma}	35.06	60.0	44.0	74.4	36
Y _{Ma}	83.77	-5.17	109.32	109.44	93
L _{Ma}	44.13	-62.67	48.24	79.09	142
C _{Ma}	52.66	-29.14	-31.99	43.27	228
V _{Ma}	14.15	50.3	-59.04	77.57	310
M _{Ma}	37.37	78.64	-33.5	85.48	337
N _{Ma}	8.58	0.0	0.0	0.0	0
W _{Ma}	92.02	0.0	0.0	0.0	0
R _{Ma}	39.92	58.74	27.99	65.07	25
J _{Ma}	81.26	-2.89	71.56	71.62	92
G _{Ma}	52.23	-42.42	13.6	44.55	162
B _{Ma}	30.57	1.41	-46.47	46.49	272

Daten für Maximalfarbe (Ma):

$LAB^*LAB^*_{Ma}$: 24 30 -52

$LAB^*LCH^*_{Ma}$: 24 60 300

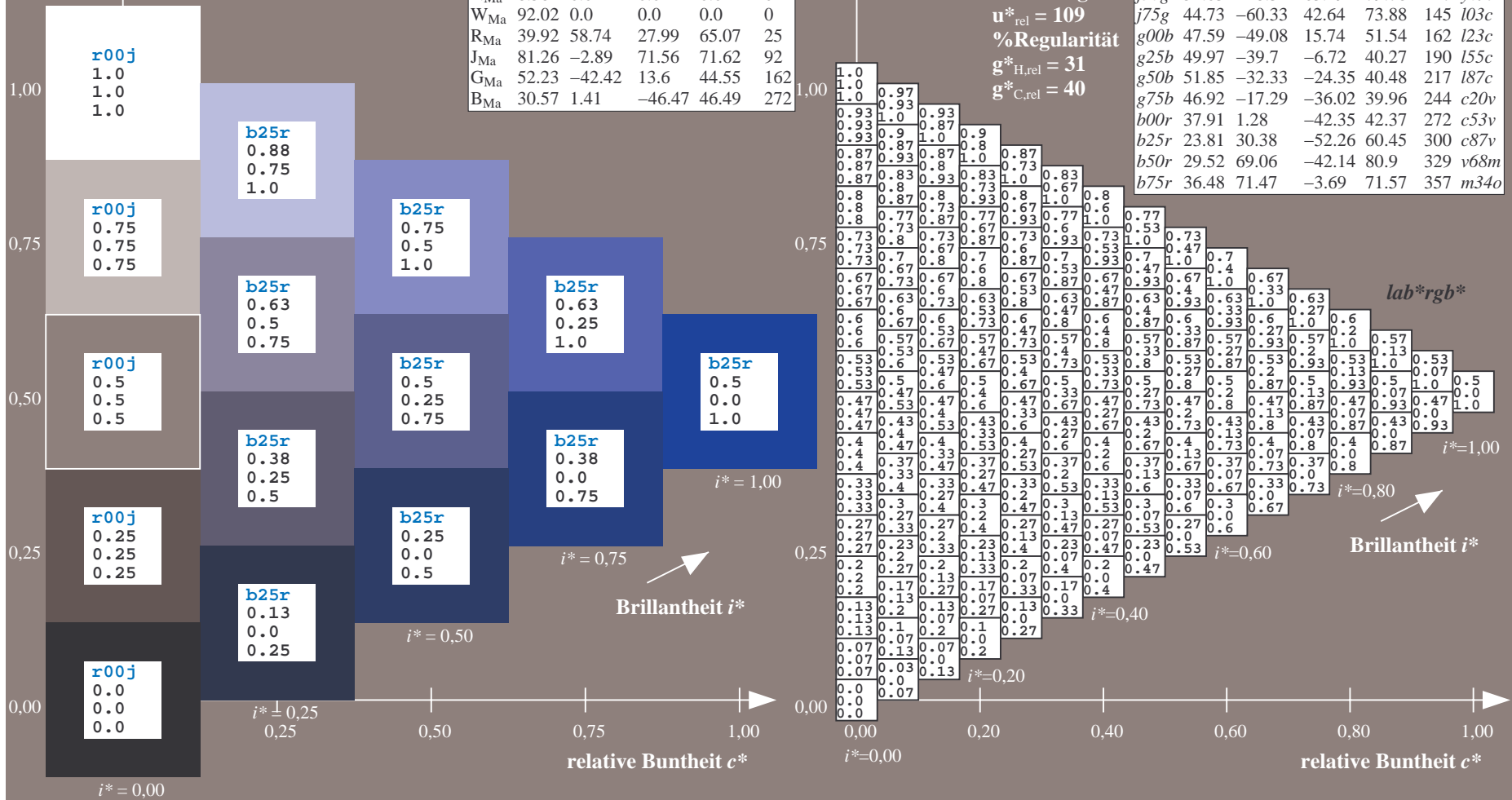
$lab^*rgb^*_{Ma}$: 0.5 0.0 1.0

$lab^*olv^*_{Ma}$: 0.0 0.12 1.0

Dreiecks-Helligkeit t^*

FRS09_92a; adaptierte CIELAB-Daten

u^*_e	$L^*=L^*_a$	a^*_a	b^*_a	$C^*_{ab,a}$	$h^*_{ab,a}$	u^*_d
r00j	35.47	63.32	30.17	70.15	25	m81o
r25j	39.12	54.56	49.45	73.64	42	o10y
r50j	50.64	39.15	64.89	75.79	59	o40y
r75j	64.01	21.26	82.83	85.52	76	o69y
j00g	83.18	-4.38	108.53	108.62	92	o98y
j25g	66.73	-29.89	83.06	88.28	110	y34l
j50g	54.03	-48.31	63.49	79.78	127	y69l
j75g	44.73	-60.33	42.64	73.88	145	l03c
g00b	47.59	-49.08	15.74	51.54	162	i23c
g25b	49.97	-39.7	-6.72	40.27	190	i55c
g50b	51.85	-32.33	-24.35	40.48	217	i87c
g75b	46.92	-17.29	-36.02	39.96	244	c20v
b00r	37.91	1.28	-42.35	42.37	272	c53v
b25r	23.81	30.38	-52.26	60.45	300	c87v
b50r	29.52	69.06	-42.14	80.9	329	v68m
b75r	36.48	71.47	-3.69	71.57	357	m34o



Ein und Ausgabe: Farbmatisches Drucker-Reflektiv-System FRS09_92a für relativen CIELAB-Bunton $h^* = lab^*h^* = h_{ab}/360 = 0.913$

$u^*_e = b50r$

Daten für jede Farbe:

lab^*ch^* und lab^*icu^*

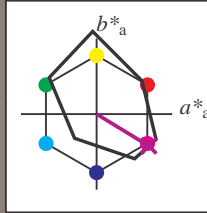
Buntontexte:

$u^*_e = b50r$ $u^*_d = v68m$

Kontrastreduzierungsfaktor:

$c_R = 1.0$

Dreiecks-Helligkeit t^*



FRS09_92a; adaptierte CIELAB-Daten

u^*_e	$L^*=L^*_a$	a^*_a	b^*_a	$C^*_{ab,a}$	$h^*_{ab,a}$
O _{Ma}	35.06	60.0	44.0	74.4	36
Y _{Ma}	83.77	-5.17	109.32	109.44	93
L _{Ma}	44.13	-62.67	48.24	79.09	142
C _{Ma}	52.66	-29.14	-31.99	43.27	228
V _{Ma}	14.15	50.3	-59.04	77.57	310
M _{Ma}	37.37	78.64	-33.5	85.48	337
N _{Ma}	8.58	0.0	0.0	0.0	0
W _{Ma}	92.02	0.0	0.0	0.0	0
R _{Ma}	39.92	58.74	27.99	65.07	25
J _{Ma}	81.26	-2.89	71.56	71.62	92
G _{Ma}	52.23	-42.42	13.6	44.55	162
B _{Ma}	30.57	1.41	-46.47	46.49	272

Daten für Maximalfarbe (Ma):

$LAB^*LAB^*_{Ma}$: 30 69 -42

$LAB^*LCH^*_{Ma}$: 30 81 328

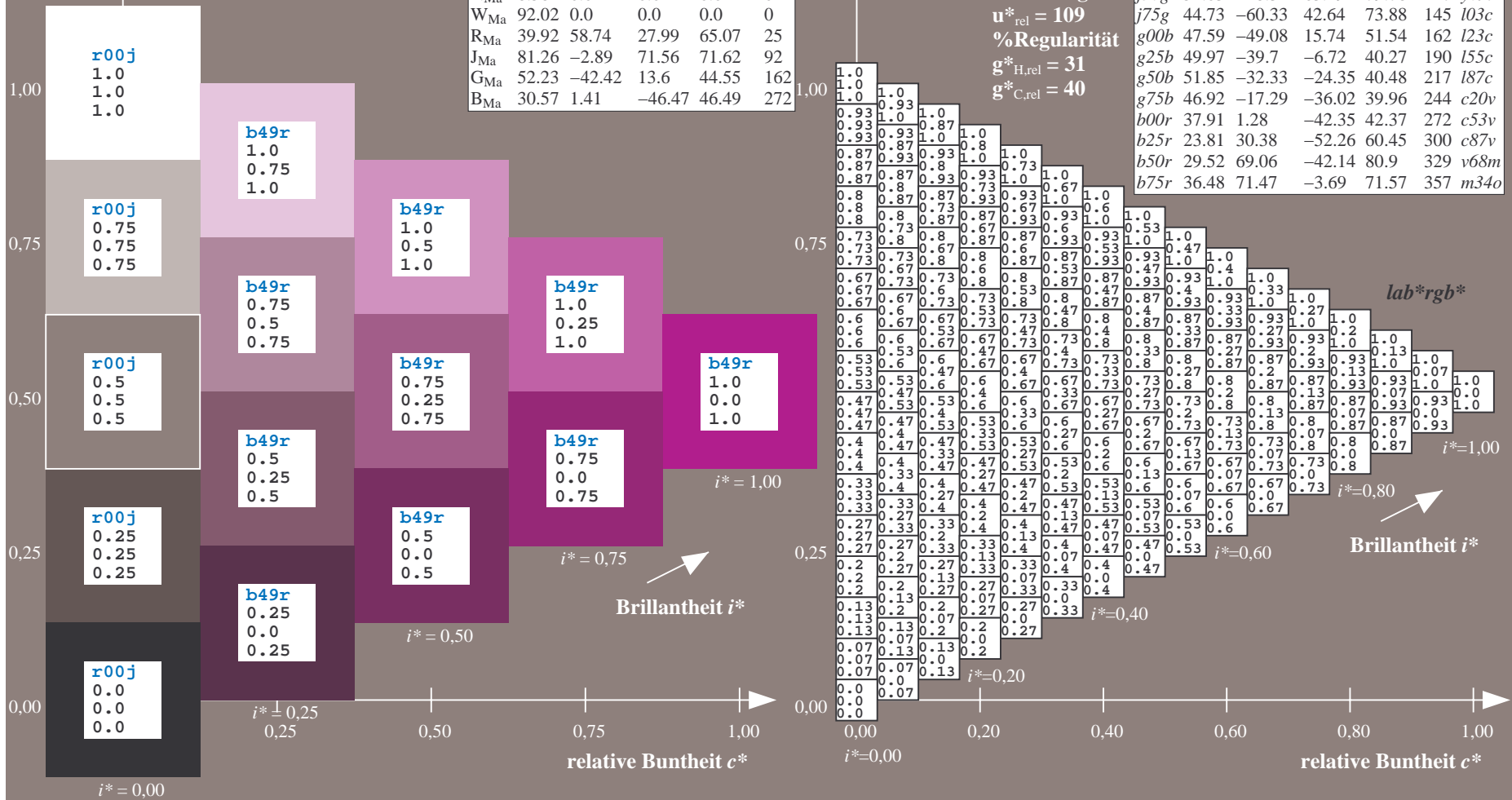
$lab^*rgb^*_{Ma}$: 1.0 0.0 1.0

$lab^*olv^*_{Ma}$: 0.69 0.0 1.0

Dreiecks-Helligkeit t^*

FRS09_92a; adaptierte CIELAB-Daten

u^*_e	$L^*=L^*_a$	a^*_a	b^*_a	$C^*_{ab,a}$	$h^*_{ab,a}$	u^*_d
r00j	35.47	63.32	30.17	70.15	25	m81o
r25j	39.12	54.56	49.45	73.64	42	o10y
r50j	50.64	39.15	64.89	75.79	59	o40y
r75j	64.01	21.26	82.83	85.52	76	o69y
j00g	83.18	-4.38	108.53	108.62	92	o98y
j25g	66.73	-29.89	83.06	88.28	110	y34l
j50g	54.03	-48.31	63.49	79.78	127	y69l
j75g	44.73	-60.33	42.64	73.88	145	l03c
g00b	47.59	-49.08	15.74	51.54	162	l23c
g25b	49.97	-39.7	-6.72	40.27	190	l55c
g50b	51.85	-32.33	-24.35	40.48	217	l87c
g75b	46.92	-17.29	-36.02	39.96	244	c20v
b00r	37.91	1.28	-42.35	42.37	272	c53v
b25r	23.81	30.38	-52.26	60.45	300	c87v
b50r	29.52	69.06	-42.14	80.9	329	v68m
b75r	36.48	71.47	-3.69	71.57	357	m34o



Ein und Ausgabe: Farbmatisches Drucker-Reflektiv-System FRS09_92a für relativen CIELAB-Bunton $h^* = lab^*h^* = h_{ab}/360 = 0.992$

$u^*_e = b75r$

Daten für jede Farbe:

lab^*ch^* und lab^*icu^*

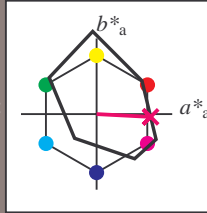
Buntontexte:

$u^*_e = b75r$ $u^*_d = m34o$

Kontrastreduzierungsfaktor:

$c_R = 1.0$

Dreiecks-Helligkeit t^*



FRS09_92a; adaptierte CIELAB-Daten

u^*_e	$L^*=L^*_a$	a^*_a	b^*_a	$C^*_{ab,a}$	$h^*_{ab,a}$
O _{Ma}	35.06	60.0	44.0	74.4	36
Y _{Ma}	83.77	-5.17	109.32	109.44	93
L _{Ma}	44.13	-62.67	48.24	79.09	142
C _{Ma}	52.66	-29.14	-31.99	43.27	228
V _{Ma}	14.15	50.3	-59.04	77.57	310
M _{Ma}	37.37	78.64	-33.5	85.48	337
N _{Ma}	8.58	0.0	0.0	0.0	0
W _{Ma}	92.02	0.0	0.0	0.0	0
R _{Ma}	39.92	58.74	27.99	65.07	25
J _{Ma}	81.26	-2.89	71.56	71.62	92
G _{Ma}	52.23	-42.42	13.6	44.55	162
B _{Ma}	30.57	1.41	-46.47	46.49	272

Daten für Maximalfarbe (Ma):

$LAB^*LAB^*_{Ma}$: 36 71 -4

$LAB^*LCH^*_{Ma}$: 36 72 357

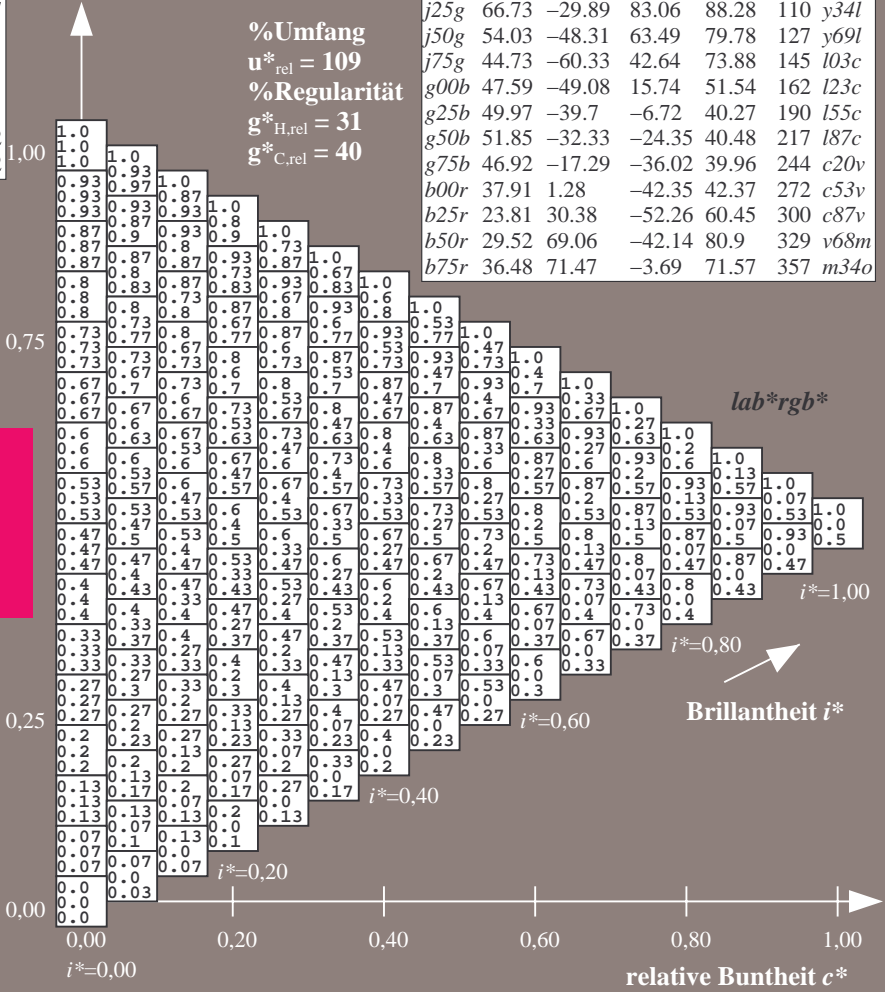
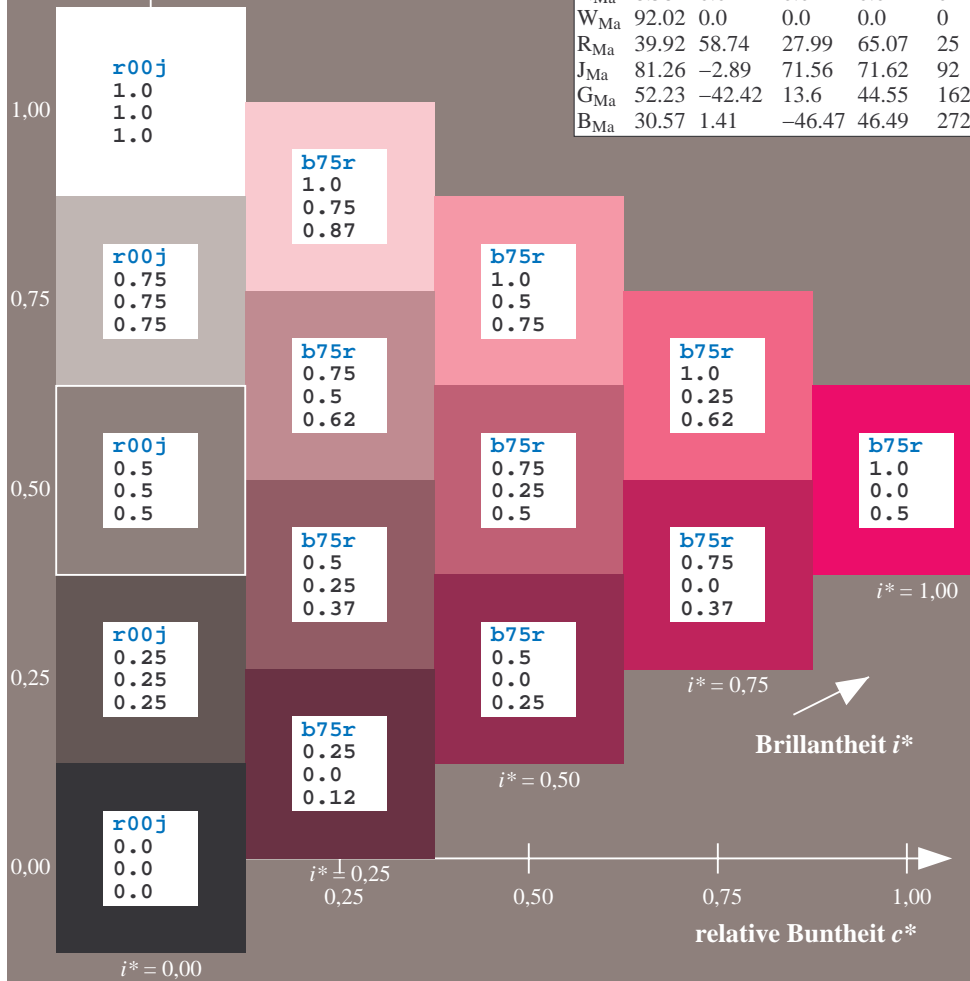
$lab^*rgb^*_{Ma}$: 1.0 0.0 0.5

$lab^*olv^*_{Ma}$: 1.0 0.0 0.66

Dreiecks-Helligkeit t^*

FRS09_92a; adaptierte CIELAB-Daten

u^*_e	$L^*=L^*_a$	a^*_a	b^*_a	$C^*_{ab,a}$	$h^*_{ab,a}$	u^*_d
r00j	35.47	63.32	30.17	70.15	25	m81o
r25j	39.12	54.56	49.45	73.64	42	o10y
r50j	50.64	39.15	64.89	75.79	59	o40y
r75j	64.01	21.26	82.83	85.52	76	o69y
j00g	83.18	-4.38	108.53	108.62	92	o98y
j25g	66.73	-29.89	83.06	88.28	110	y34l
j50g	54.03	-48.31	63.49	79.78	127	y69l
j75g	44.73	-60.33	42.64	73.88	145	l03c
g00b	47.59	-49.08	15.74	51.54	162	i23c
g25b	49.97	-39.7	-6.72	40.27	190	i55c
g50b	51.85	-32.33	-24.35	40.48	217	i87c
g75b	46.92	-17.29	-36.02	39.96	244	c20v
b00r	37.91	1.28	-42.35	42.37	272	c53v
b25r	23.81	30.38	-52.26	60.45	300	c87v
b50r	29.52	69.06	-42.14	80.9	329	v68m
b75r	36.48	71.47	-3.69	71.57	357	m34o



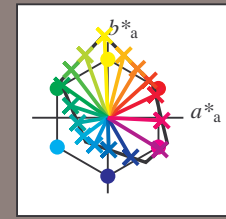
Ein und Ausgabe:
 Farbmetrisches Drucker-Reflektiv-System FRS09_92a

Daten für jede Farbe:
 u^*_e und Nummer $Nr. = 00 \dots 15$

Elementar-Bunttextext:
 $u^*_e = 16$ Bunttoene $r00j, r25j, \dots, b75r$

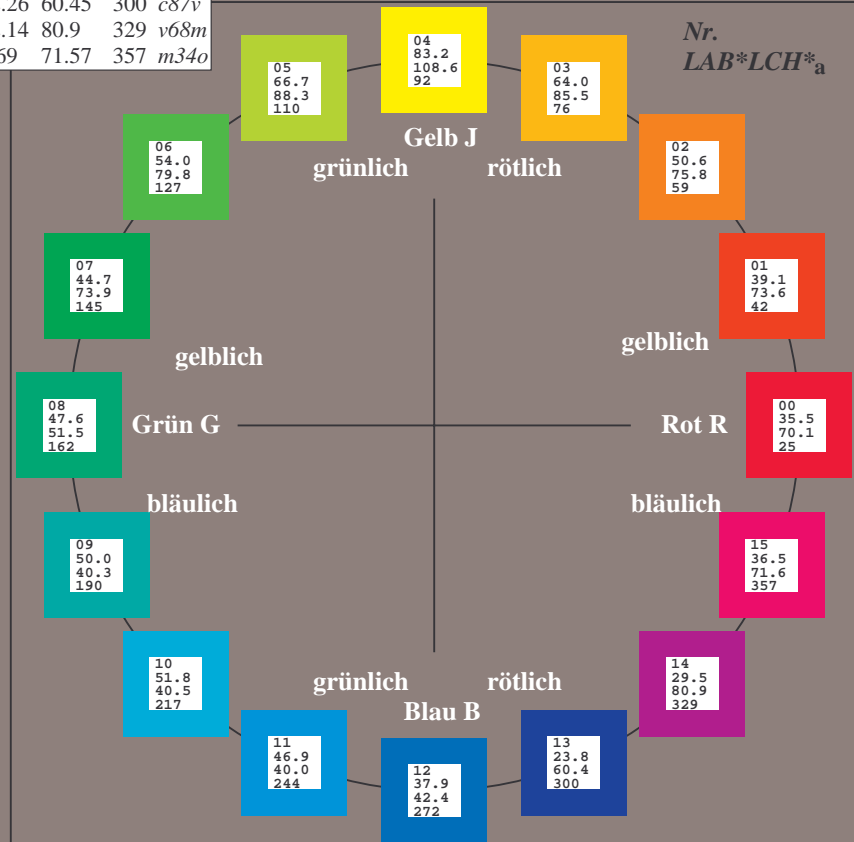
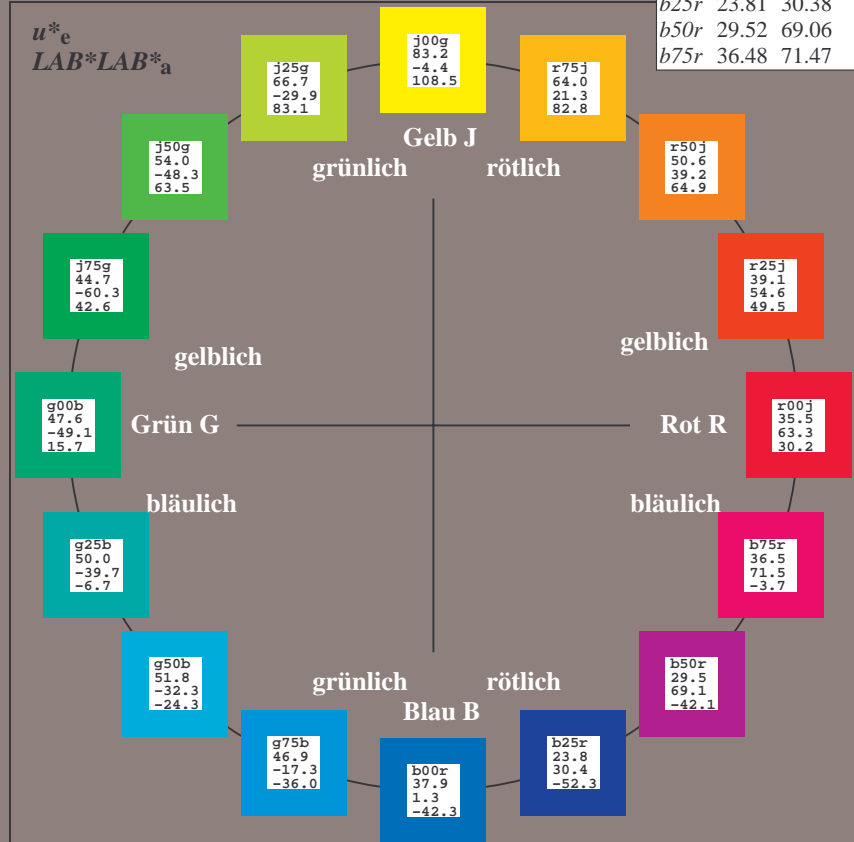
Kontrastreduzierungsfaktor:
 $c_R = 1.0$

FRS09_92a; adaptierte CIELAB-Daten							
u^*_e	$L^*=L^*_a$	a^*_a	b^*_a	$C^*_{ab,a}$	$h^*_{ab,a}$	u^*_d	
r00j	35.47	63.32	30.17	70.15	25	m81o	
r25j	39.12	54.56	49.45	73.64	42	o10y	
r50j	50.64	39.15	64.89	75.79	59	o40y	
r75j	64.01	21.26	82.83	85.52	76	o69y	
j00g	83.18	-4.38	108.53	108.62	92	o98y	
j25g	66.73	-29.89	83.06	88.28	110	y34l	
j50g	54.03	-48.31	63.49	79.78	127	y69l	
j75g	44.73	-60.33	42.64	73.88	145	l03c	
g00b	47.59	-49.08	15.74	51.54	162	l23c	
g25b	49.97	-39.7	-6.72	40.27	190	l55c	
g50b	51.85	-32.33	-24.35	40.48	217	l87c	
g75b	46.92	-17.29	-36.02	39.96	244	c20v	
b00r	37.91	1.28	-42.35	42.37	272	c53v	
b25r	23.81	30.38	-52.26	60.45	300	c87v	
b50r	29.52	69.06	-42.14	80.9	329	v68m	
b75r	36.48	71.47	-3.69	71.57	357	m34o	



%Umfang
 $u^*_{rel} = 109$
 %Regularität
 $g^*_{H,rel} = 31$
 $g^*_{C,rel} = 40$

FRS09_92a; adaptierte CIELAB-Daten						
Name	$L^*=L^*_a$	a^*_a	b^*_a	$C^*_{ab,a}$	$h^*_{ab,a}$	
OMa	35.06	60.0	44.0	74.4	36	
YMa	83.77	-5.17	109.32	109.44	93	
LMa	44.13	-62.67	48.24	79.09	142	
CMa	52.66	-29.14	-31.99	43.27	228	
VMa	14.15	50.3	-59.04	77.57	310	
MMa	37.37	78.64	-33.5	85.48	337	
NMa	8.58	0.0	0.0	0.0	0	
WMa	92.02	0.0	0.0	0.0	0	
RCIE	39.92	58.74	27.99	65.07	25	
JCIE	81.26	-2.89	71.56	71.62	92	
GCIE	52.23	-42.42	13.6	44.55	162	
BCIE	30.57	1.41	-46.47	46.49	272	



Ein und Ausgabe: Farbmatisches Drucker-Reflektiv-System FRS09_92a für relativen CIELAB-Bunton $h^* = lab \cdot h^* = h_{ab}/360 = 0.071$

Daten für jede Farbe:

$lab \cdot tch^*$ und $lab \cdot icu^*$

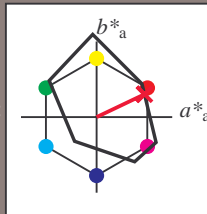
Buntontexte:

$u^*_e = r00j$ $u^*_d = m81o$

Kontrastreduzierungsfaktor:

$c_R = 1.0$

Dreiecks-Helligkeit t^*



FRS09_92a; adaptierte CIELAB-Daten

	u^*_e	$L^*=L^*_a$	a^*_a	b^*_a	$C^*_{ab,a}$	$h^*_{ab,a}$
O _{Ma}	35.06	60.0	44.0	74.4	36	
Y _{Ma}	83.77	-5.17	109.32	109.44	93	
L _{Ma}	44.13	-62.67	48.24	79.09	142	
C _{Ma}	52.66	-29.14	-31.99	43.27	228	
V _{Ma}	14.15	50.3	-59.04	77.57	310	
M _{Ma}	37.37	78.64	-33.5	85.48	337	
N _{Ma}	8.58	0.0	0.0	0.0	0	
W _{Ma}	92.02	0.0	0.0	0.0	0	
R _{Ma}	39.92	58.74	27.99	65.07	25	
J _{Ma}	81.26	-2.89	71.56	71.62	92	
G _{Ma}	52.23	-42.42	13.6	44.55	162	
B _{Ma}	30.57	1.41	-46.47	46.49	272	

Daten für Maximalfarbe (Ma):

$LAB \cdot LAB^*_{Ma}$: 35 63 30

$LAB \cdot LCH^*_{Ma}$: 35 70 25

$lab \cdot rgb^*_{Ma}$: 1.0 0.0 0.0

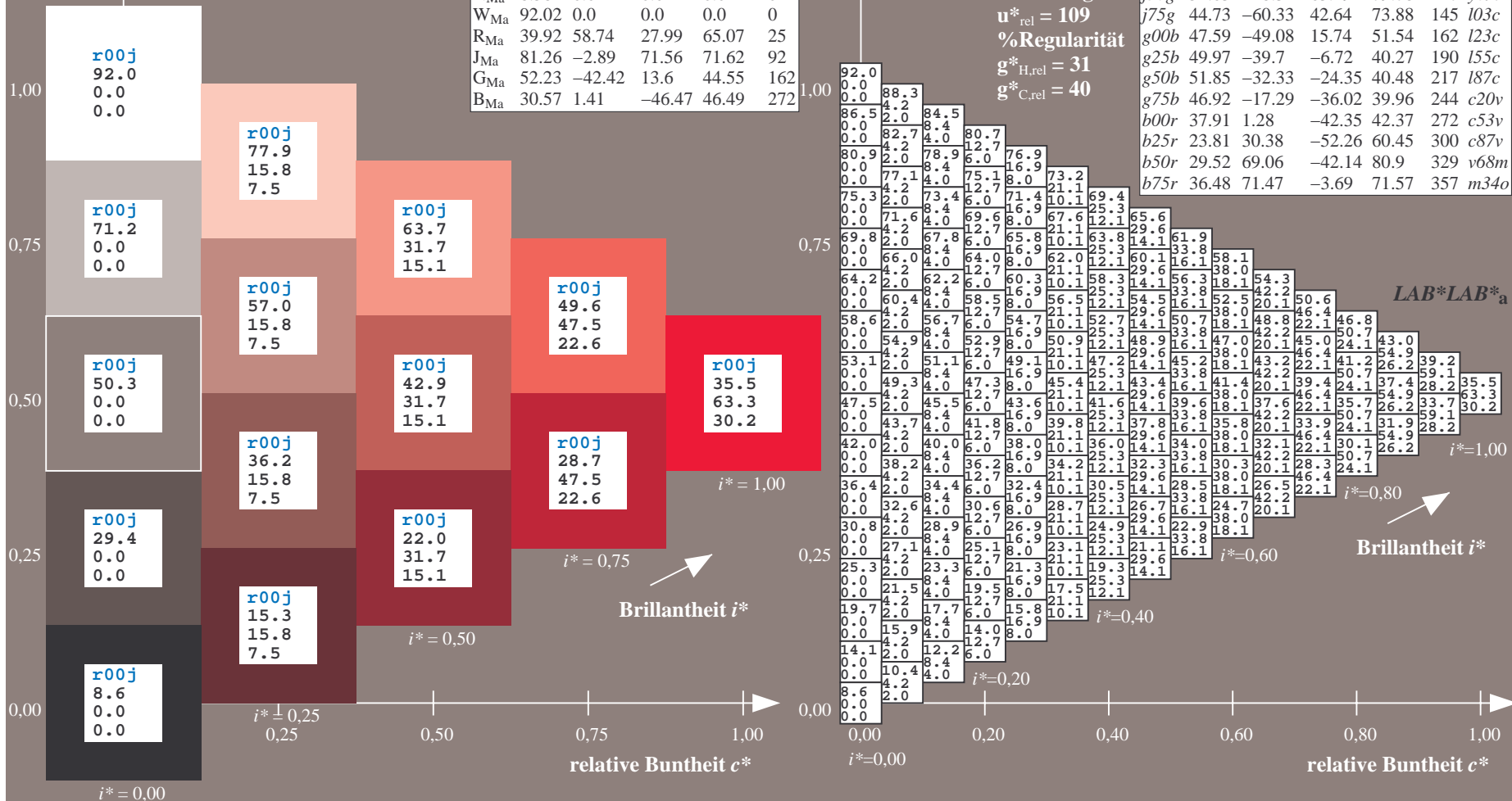
$lab \cdot olv^*_{Ma}$: 1.0 0.0 0.18

Dreiecks-Helligkeit t^*

FRS09_92a; adaptierte CIELAB-Daten

	u^*_e	$L^*=L^*_a$	a^*_a	b^*_a	$C^*_{ab,a}$	$h^*_{ab,a}$	u^*_d
r00j	35.47	63.32	30.17	70.15	25	m81o	
r25j	39.12	54.56	49.45	73.64	42	o10y	
r50j	50.64	39.15	64.89	75.79	59	o40y	
r75j	64.01	21.26	82.83	85.52	76	o69y	
j00g	83.18	-4.38	108.53	108.62	92	o98y	
j25g	66.73	-29.89	83.06	88.28	110	y34l	
j50g	54.03	-48.31	63.49	79.78	127	y69l	
j75g	44.73	-60.33	42.64	73.88	145	l03c	
g00b	47.59	-49.08	15.74	51.54	162	l23c	
g25b	49.97	-39.7	-6.72	40.27	190	l55c	
g50b	51.85	-32.33	-24.35	40.48	217	l87c	
g75b	46.92	-17.29	-36.02	39.96	244	c20v	
b00r	37.91	1.28	-42.35	42.37	272	c53v	
b25r	23.81	30.38	-52.26	60.45	300	c87v	
b50r	29.52	69.06	-42.14	80.9	329	v68m	
b75r	36.48	71.47	-3.69	71.57	357	m34o	

$u^*_e = r00j$
 $LAB \cdot LAB^*_a$



Ein und Ausgabe: Farbmatisches Drucker-Reflektiv-System FRS09_92a für relativen CIELAB-Bunton $h^* = lab^*h^* = h_{ab}/360 = 0.117$

$u^*_e = r25j$
 $LAB^*LAB^*_a$

Daten für jede Farbe:

lab^*ch^* und lab^*icu^*

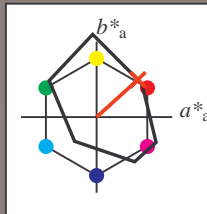
Buntontexte:

$u^*_e = r25j$ $u^*_d = o10y$

Kontrastreduzierungsfaktor:

$c_R = 1.0$

Dreiecks-Helligkeit t^*



FRS09_92a; adaptierte CIELAB-Daten

	u^*_e	$L^*=L^*_a$	a^*_a	b^*_a	$C^*_{ab,a}$	$h^*_{ab,a}$
O _{Ma}	35.06	60.0	44.0	74.4	36	
Y _{Ma}	83.77	-5.17	109.32	109.44	93	
L _{Ma}	44.13	-62.67	48.24	79.09	142	
C _{Ma}	52.66	-29.14	-31.99	43.27	228	
V _{Ma}	14.15	50.3	-59.04	77.57	310	
M _{Ma}	37.37	78.64	-33.5	85.48	337	
N _{Ma}	8.58	0.0	0.0	0.0	0	
W _{Ma}	92.02	0.0	0.0	0.0	0	
R _{Ma}	39.92	58.74	27.99	65.07	25	
J _{Ma}	81.26	-2.89	71.56	71.62	92	
G _{Ma}	52.23	-42.42	13.6	44.55	162	
B _{Ma}	30.57	1.41	-46.47	46.49	272	

Daten für Maximalfarbe (Ma):

$LAB^*LAB^*_Ma: 39 55 49$

$LAB^*LCH^*_Ma: 39 74 42$

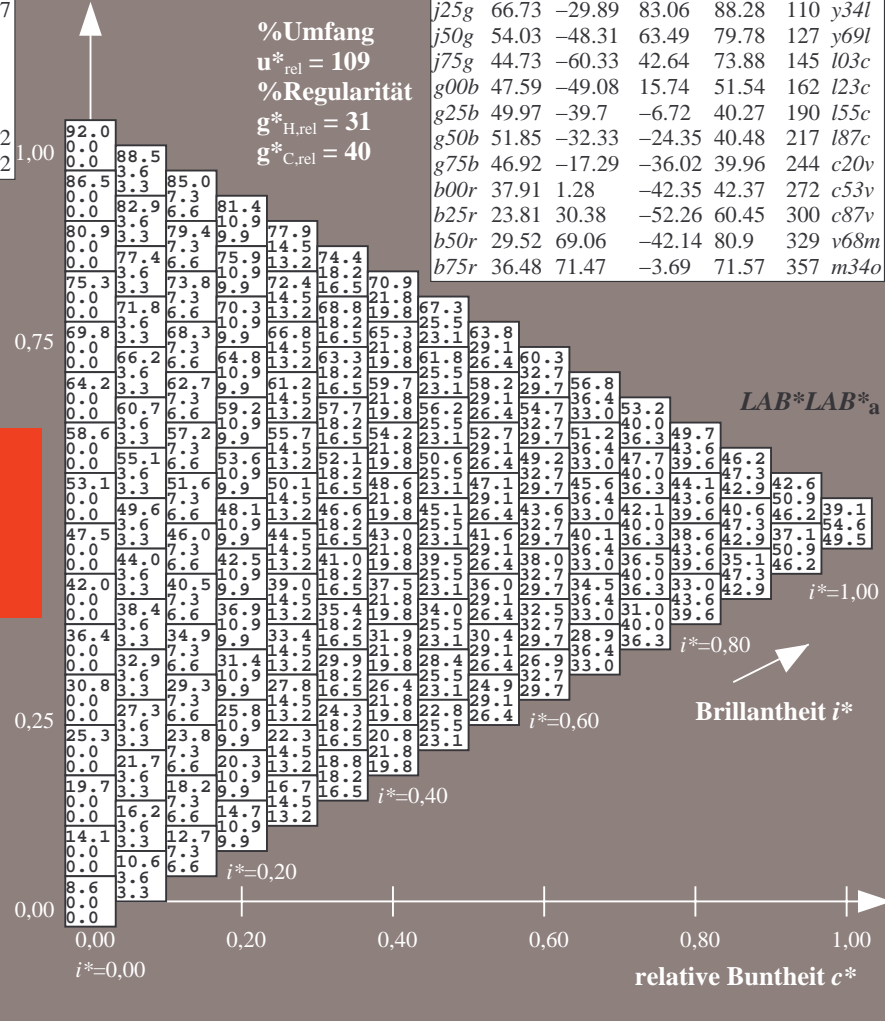
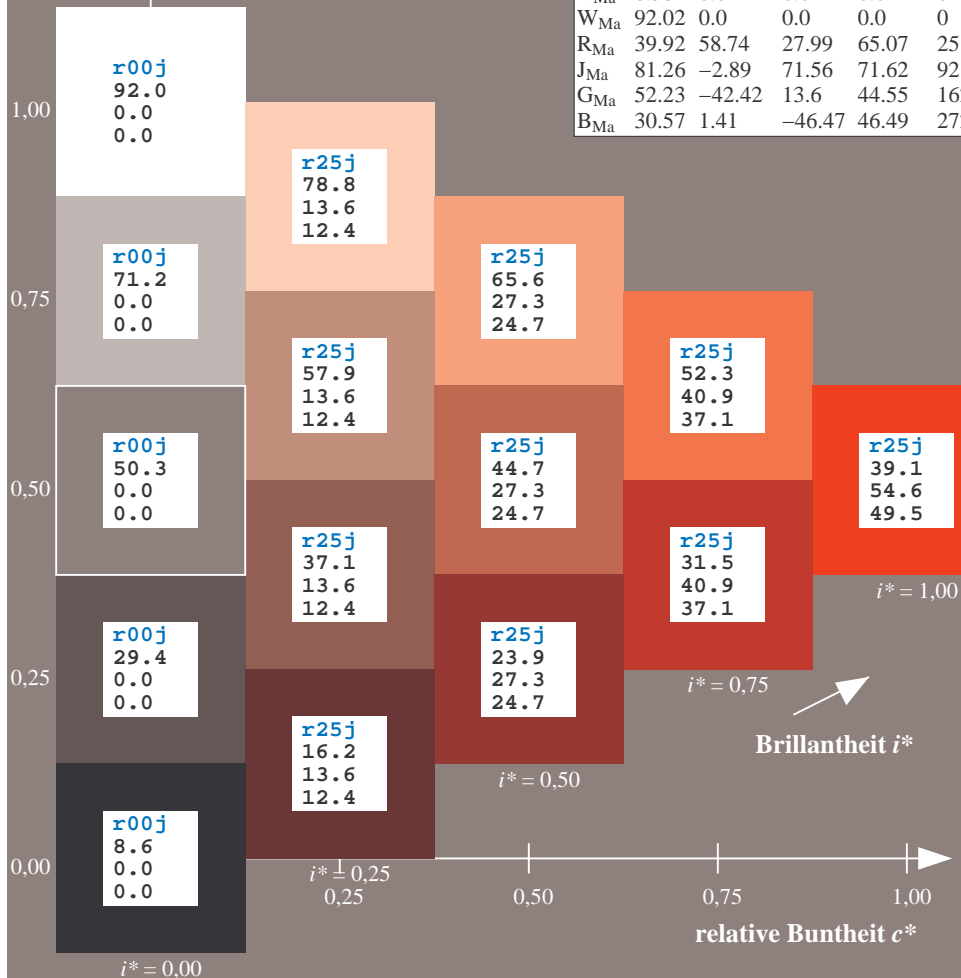
$lab^*rgb^*_Ma: 1.0 0.25 0.0$

$lab^*olv^*_Ma: 1.0 0.11 0.0$

Dreiecks-Helligkeit t^*

FRS09_92a; adaptierte CIELAB-Daten

	u^*_e	$L^*=L^*_a$	a^*_a	b^*_a	$C^*_{ab,a}$	$h^*_{ab,a}$	u^*_d
r00j	35.47	63.32	30.17	70.15	25	m81o	
r25j	39.12	54.56	49.45	73.64	42	o10y	
r50j	50.64	39.15	64.89	75.79	59	o40y	
r75j	64.01	21.26	82.83	85.52	76	o69y	
j00g	83.18	-4.38	108.53	108.62	92	o98y	
j25g	66.73	-29.89	83.06	88.28	110	y34l	
j50g	54.03	-48.31	63.49	79.78	127	y69l	
j75g	44.73	-60.33	42.64	73.88	145	103c	
g00b	47.59	-49.08	15.74	51.54	162	i23c	
g25b	49.97	-39.7	-6.72	40.27	190	i55c	
g50b	51.85	-32.33	-24.35	40.48	217	i87c	
g75b	46.92	-17.29	-36.02	39.96	244	c20v	
b00r	37.91	1.28	-42.35	42.37	272	c53v	
b25r	23.81	30.38	-52.26	60.45	300	c87v	
b50r	29.52	69.06	-42.14	80.9	329	v68m	
b75r	36.48	71.47	-3.69	71.57	357	m34o	



Ein und Ausgabe: Farbmatisches Drucker-Reflektiv-System FRS09_92a für relativen CIELAB-Bunton $h^* = lab^*h^* = h_{ab}/360 = 0.164$

$u^*_e = r50j$
 $LAB^*LAB^*_a$

Daten für jede Farbe:

lab^*ch^* und lab^*icu^*

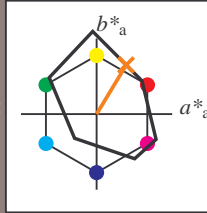
Buntontexte:

$u^*_e = r50j$ $u^*_d = o40y$

Kontrastreduzierungsfaktor:

$c_R = 1.0$

Dreiecks-Helligkeit t^*



FRS09_92a; adaptierte CIELAB-Daten

u^*_e	$L^*=L^*_a$	a^*_a	b^*_a	$C^*_{ab,a}$	$h^*_{ab,a}$
O _{Ma}	35.06	60.0	44.0	74.4	36
Y _{Ma}	83.77	-5.17	109.32	109.44	93
L _{Ma}	44.13	-62.67	48.24	79.09	142
C _{Ma}	52.66	-29.14	-31.99	43.27	228
V _{Ma}	14.15	50.3	-59.04	77.57	310
M _{Ma}	37.37	78.64	-33.5	85.48	337
N _{Ma}	8.58	0.0	0.0	0.0	0
W _{Ma}	92.02	0.0	0.0	0.0	0
R _{Ma}	39.92	58.74	27.99	65.07	25
J _{Ma}	81.26	-2.89	71.56	71.62	92
G _{Ma}	52.23	-42.42	13.6	44.55	162
B _{Ma}	30.57	1.41	-46.47	46.49	272

Daten für Maximalfarbe (Ma):

$LAB^*LAB^*_Ma: 51\ 39\ 65$

$LAB^*LCH^*_Ma: 51\ 76\ 58$

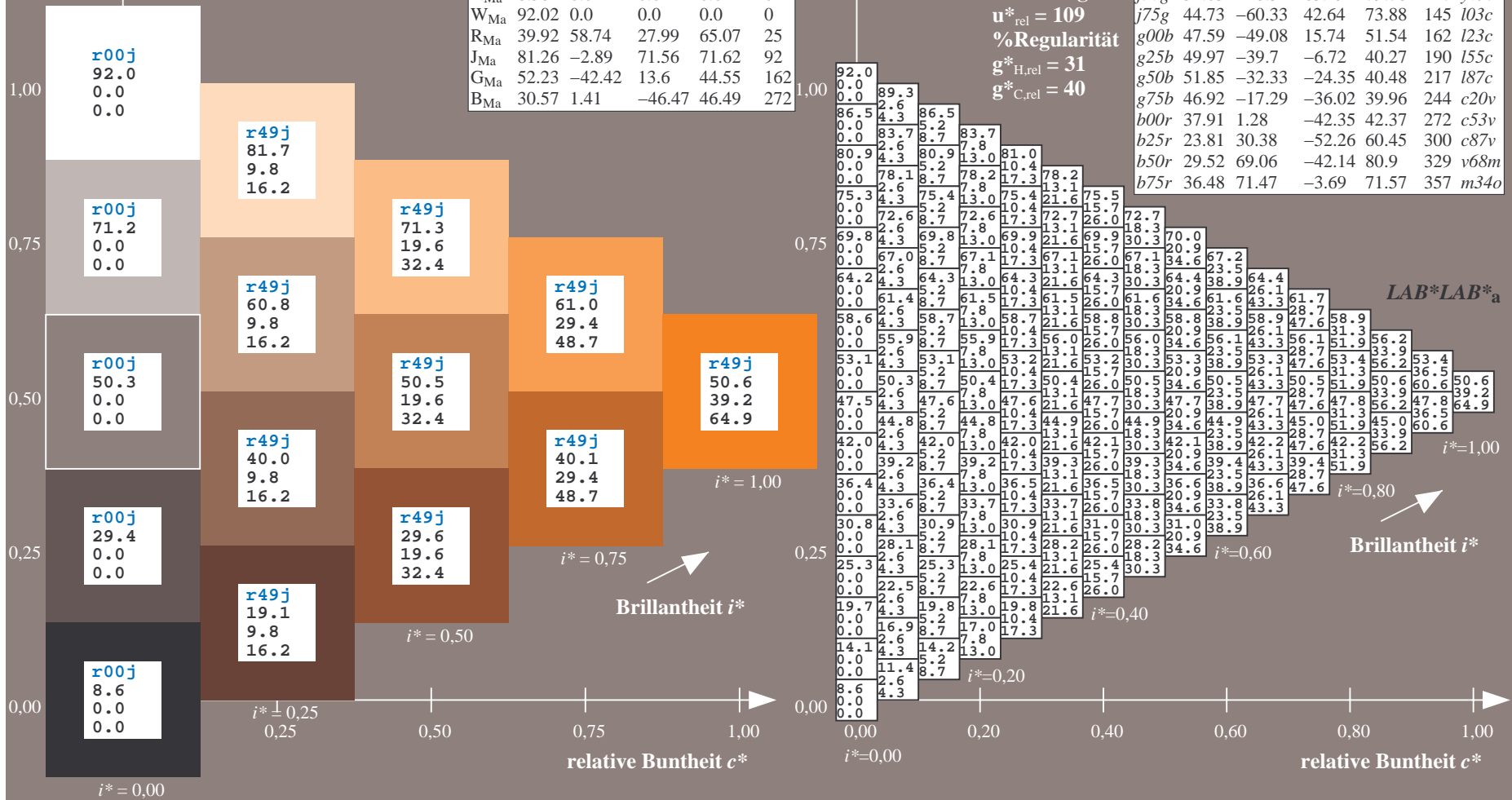
$lab^*rgb^*_Ma: 1.0\ 0.5\ 0.0$

$lab^*olv^*_Ma: 1.0\ 0.4\ 0.0$

Dreiecks-Helligkeit t^*

FRS09_92a; adaptierte CIELAB-Daten

u^*_e	$L^*=L^*_a$	a^*_a	b^*_a	$C^*_{ab,a}$	$h^*_{ab,a}$	u^*_d
r00j	35.47	63.32	30.17	70.15	25	m81o
r25j	39.12	54.56	49.45	73.64	42	o10y
r50j	50.64	39.15	64.89	75.79	59	o40y
r75j	64.01	21.26	82.83	85.52	76	o69y
j00g	83.18	-4.38	108.53	108.62	92	o98y
j25g	66.73	-29.89	83.06	88.28	110	y34l
j50g	54.03	-48.31	63.49	79.78	127	y69l
j75g	44.73	-60.33	42.64	73.88	145	l03c
g00b	47.59	-49.08	15.74	51.54	162	l23c
g25b	49.97	-39.7	-6.72	40.27	190	l55c
g50b	51.85	-32.33	-24.35	40.48	217	l87c
g75b	46.92	-17.29	-36.02	39.96	244	c20v
b00r	37.91	1.28	-42.35	42.37	272	c53v
b25r	23.81	30.38	-52.26	60.45	300	c87v
b50r	29.52	69.06	-42.14	80.9	329	v68m
b75r	36.48	71.47	-3.69	71.57	357	m34o



Ein und Ausgabe: Farbmatisches Drucker-Reflektiv-System FRS09_92a für relativen CIELAB-Bunton $h^* = lab^*h^* = h_{ab}/360 = 0.21$

Daten für jede Farbe:

lab^*ch^* und lab^*icu^*

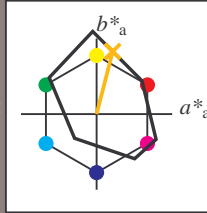
Buntontexte:

$u^*_e = r75j$ $u^*_d = o69y$

Kontrastreduzierungsfaktor:

$c_R = 1.0$

Dreiecks-Helligkeit t^*



FRS09_92a; adaptierte CIELAB-Daten

	u^*_e	$L^*=L^*_a$	a^*_a	b^*_a	$C^*_{ab,a}$	$h^*_{ab,a}$
O _{Ma}	35.06	60.0	44.0	74.4	36	
Y _{Ma}	83.77	-5.17	109.32	109.44	93	
L _{Ma}	44.13	-62.67	48.24	79.09	142	
C _{Ma}	52.66	-29.14	-31.99	43.27	228	
V _{Ma}	14.15	50.3	-59.04	77.57	310	
M _{Ma}	37.37	78.64	-33.5	85.48	337	
N _{Ma}	8.58	0.0	0.0	0.0	0	
W _{Ma}	92.02	0.0	0.0	0.0	0	
R _{Ma}	39.92	58.74	27.99	65.07	25	
J _{Ma}	81.26	-2.89	71.56	71.62	92	
G _{Ma}	52.23	-42.42	13.6	44.55	162	
B _{Ma}	30.57	1.41	-46.47	46.49	272	

$u^*_e = r75j$
 $LAB^*LAB^*_a$

Daten für Maximalfarbe (Ma):

$LAB^*LAB^*_Ma: 64\ 21\ 83$

$LAB^*LCH^*_Ma: 64\ 86\ 75$

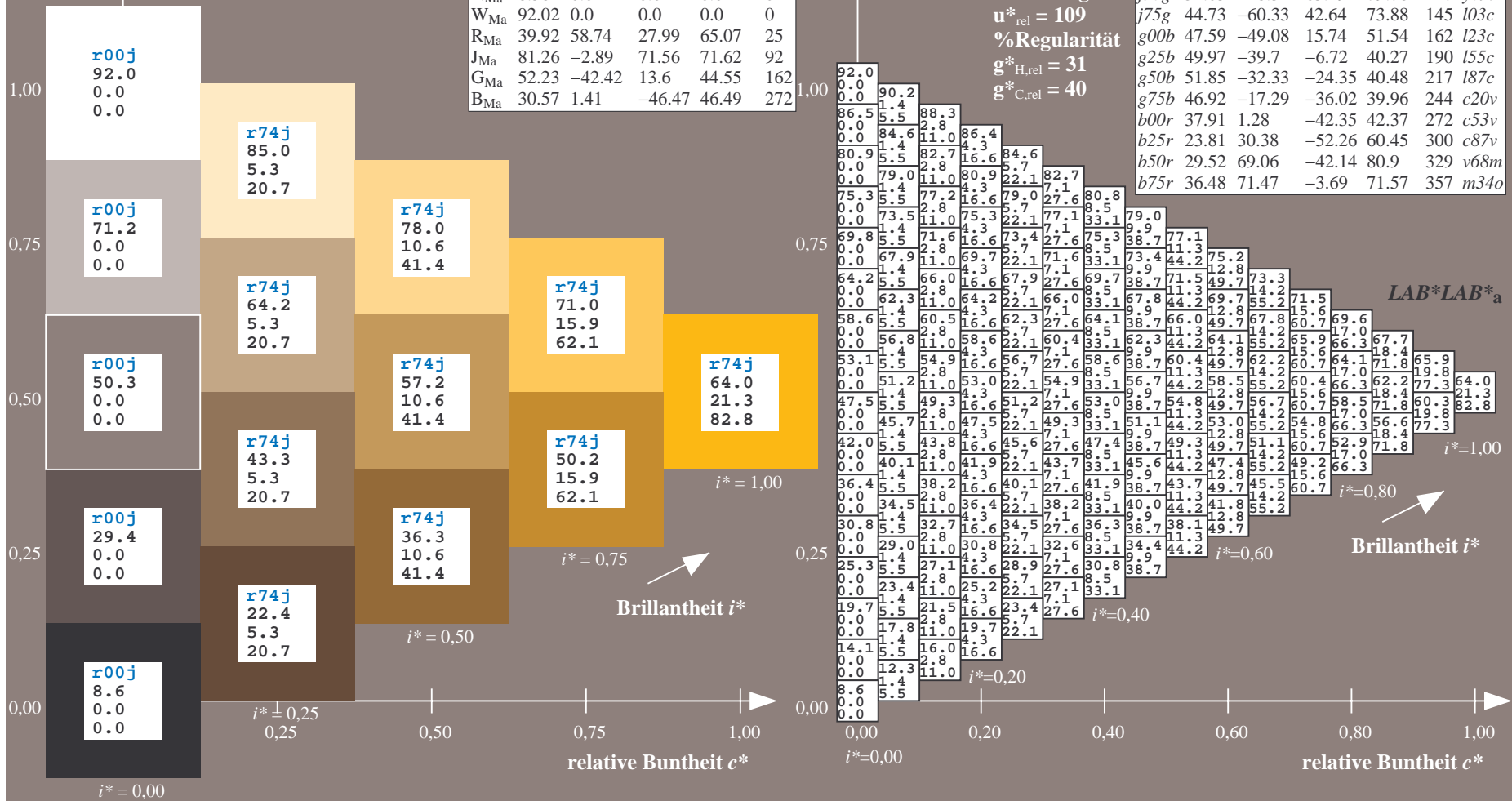
$lab^*rgb^*_Ma: 1.0\ 0.75\ 0.0$

$lab^*olv^*_Ma: 1.0\ 0.7\ 0.0$

Dreiecks-Helligkeit t^*

FRS09_92a; adaptierte CIELAB-Daten

	u^*_e	$L^*=L^*_a$	a^*_a	b^*_a	$C^*_{ab,a}$	$h^*_{ab,a}$	u^*_d
r00j	35.47	63.32	30.17	70.15	25	m81o	
r25j	39.12	54.56	49.45	73.64	42	o10y	
r50j	50.64	39.15	64.89	75.79	59	o40y	
r75j	64.01	21.26	82.83	85.52	76	o69y	
j00g	83.18	-4.38	108.53	108.62	92	o98y	
j25g	66.73	-29.89	83.06	88.28	110	y34l	
j50g	54.03	-48.31	63.49	79.78	127	y69l	
j75g	44.73	-60.33	42.64	73.88	145	i03c	
g00b	47.59	-49.08	15.74	51.54	162	i23c	
g25b	49.97	-39.7	-6.72	40.27	190	i55c	
g50b	51.85	-32.33	-24.35	40.48	217	i87c	
g75b	46.92	-17.29	-36.02	39.96	244	c20v	
b00r	37.91	1.28	-42.35	42.37	272	c53v	
b25r	23.81	30.38	-52.26	60.45	300	c87v	
b50r	29.52	69.06	-42.14	80.9	329	v68m	
b75r	36.48	71.47	-3.69	71.57	357	m34o	



Ein und Ausgabe: Farbmatisches Drucker-Reflektiv-System FRS09_92a für relativen CIELAB-Bunton $h^* = lab^*h^* = h_{ab}/360 = 0.256$

$u^*_e = j00g$
LAB*LAB*a

Daten für jede Farbe:

lab^*tch^* und lab^*icu^*

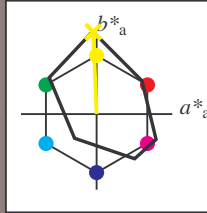
Buntontexte:

$u^*_e = j00g$ $u^*_d = o98y$

Kontrastreduzierungsfaktor:

$c_R = 1.0$

Dreiecks-Helligkeit t^*



FRS09_92a; adaptierte CIELAB-Daten

u^*_e	$L^*=L^*_a$	a^*_a	b^*_a	$C^*_{ab,a}$	$h^*_{ab,a}$
O _{Ma}	35.06	60.0	44.0	74.4	36
Y _{Ma}	83.77	-5.17	109.32	109.44	93
L _{Ma}	44.13	-62.67	48.24	79.09	142
C _{Ma}	52.66	-29.14	-31.99	43.27	228
V _{Ma}	14.15	50.3	-59.04	77.57	310
M _{Ma}	37.37	78.64	-33.5	85.48	337
N _{Ma}	8.58	0.0	0.0	0.0	0
W _{Ma}	92.02	0.0	0.0	0.0	0
R _{Ma}	39.92	58.74	27.99	65.07	25
J _{Ma}	81.26	-2.89	71.56	71.62	92
G _{Ma}	52.23	-42.42	13.6	44.55	162
B _{Ma}	30.57	1.41	-46.47	46.49	272

Daten für Maximalfarbe (Ma):

LAB*LAB*_{Ma}: 83 -4 109

LAB*LCH*_{Ma}: 83 109 92

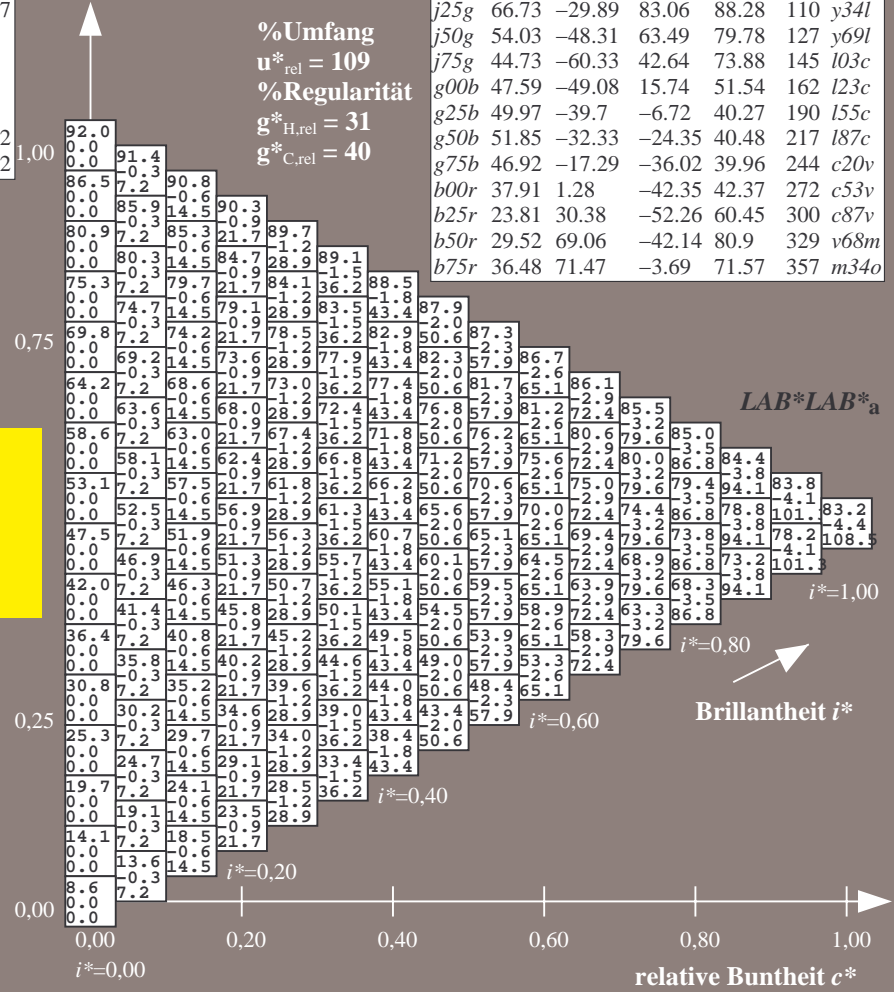
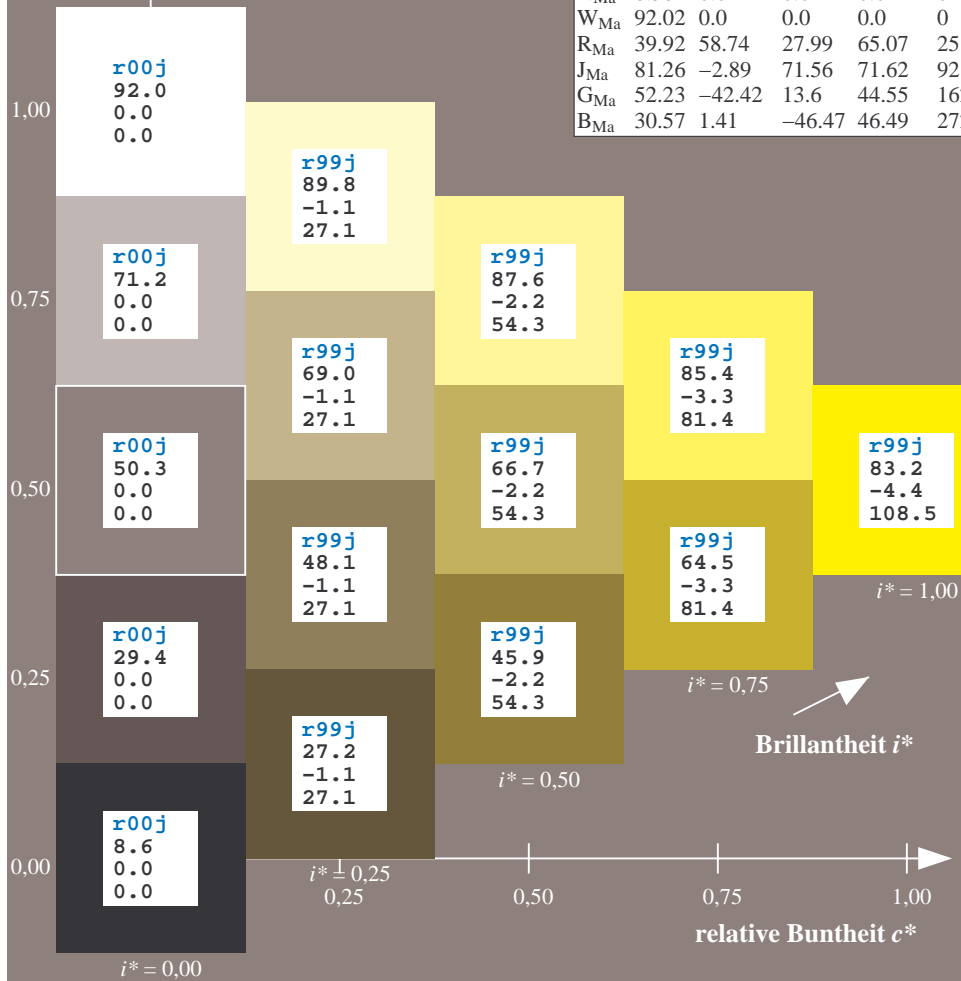
lab*rgb*_{Ma}: 1.0 1.0 0.0

lab*olv*_{Ma}: 1.0 0.99 0.0

Dreiecks-Helligkeit t^*

FRS09_92a; adaptierte CIELAB-Daten

u^*_e	$L^*=L^*_a$	a^*_a	b^*_a	$C^*_{ab,a}$	$h^*_{ab,a}$	u^*_d
r00j	35.47	63.32	30.17	70.15	25	m81o
r25j	39.12	54.56	49.45	73.64	42	o10y
r50j	50.64	39.15	64.89	75.79	59	o40y
r75j	64.01	21.26	82.83	85.52	76	o69y
j00g	83.18	-4.38	108.53	108.62	92	o98y
j25g	66.73	-29.89	83.06	88.28	110	y34l
j50g	54.03	-48.31	63.49	79.78	127	y69l
j75g	44.73	-60.33	42.64	73.88	145	l03c
g00b	47.59	-49.08	15.74	51.54	162	l23c
g25b	49.97	-39.7	-6.72	40.27	190	l55c
g50b	51.85	-32.33	-24.35	40.48	217	l87c
g75b	46.92	-17.29	-36.02	39.96	244	c20v
b00r	37.91	1.28	-42.35	42.37	272	c53v
b25r	23.81	30.38	-52.26	60.45	300	c87v
b50r	29.52	69.06	-42.14	80.9	329	v68m
b75r	36.48	71.47	-3.69	71.57	357	m34o



Ein und Ausgabe: Farbmimetrisches Drucker-Reflektiv-System FRS09_92a für relativen CIELAB-Bunton $h^* = lab \cdot h^* = h_{ab}/360 = 0.305$

Daten für jede Farbe:

$lab \cdot tch^*$ und $lab \cdot icu^*$

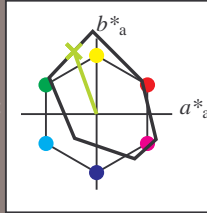
Buntontexte:

$u^*_e = j25g$ $u^*_d = y34l$

Kontrastreduzierungsfaktor:

$c_R = 1.0$

Dreiecks-Helligkeit t^*



FRS09_92a; adaptierte CIELAB-Daten

u^*_e	$L^*=L^*_a$	a^*_a	b^*_a	$C^*_{ab,a}$	$h^*_{ab,a}$
O _{Ma}	35.06	60.0	44.0	74.4	36
Y _{Ma}	83.77	-5.17	109.32	109.44	93
L _{Ma}	44.13	-62.67	48.24	79.09	142
C _{Ma}	52.66	-29.14	-31.99	43.27	228
V _{Ma}	14.15	50.3	-59.04	77.57	310
M _{Ma}	37.37	78.64	-33.5	85.48	337
N _{Ma}	8.58	0.0	0.0	0.0	0
W _{Ma}	92.02	0.0	0.0	0.0	0
R _{Ma}	39.92	58.74	27.99	65.07	25
J _{Ma}	81.26	-2.89	71.56	71.62	92
G _{Ma}	52.23	-42.42	13.6	44.55	162
B _{Ma}	30.57	1.41	-46.47	46.49	272

$u^*_e = j25g$
 $LAB^*LAB^*_a$

Daten für Maximalfarbe (Ma):

$LAB^*LAB^*_Ma: 67 -30 83$

$LAB^*LCH^*_Ma: 67 88 109$

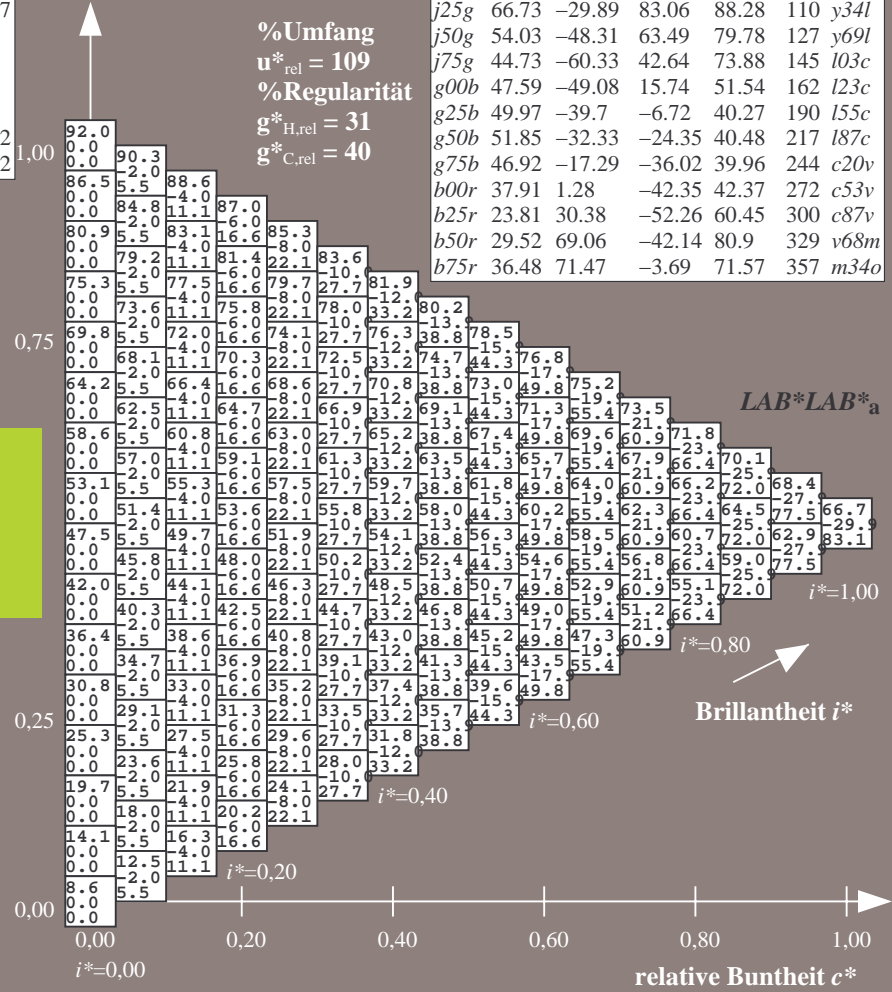
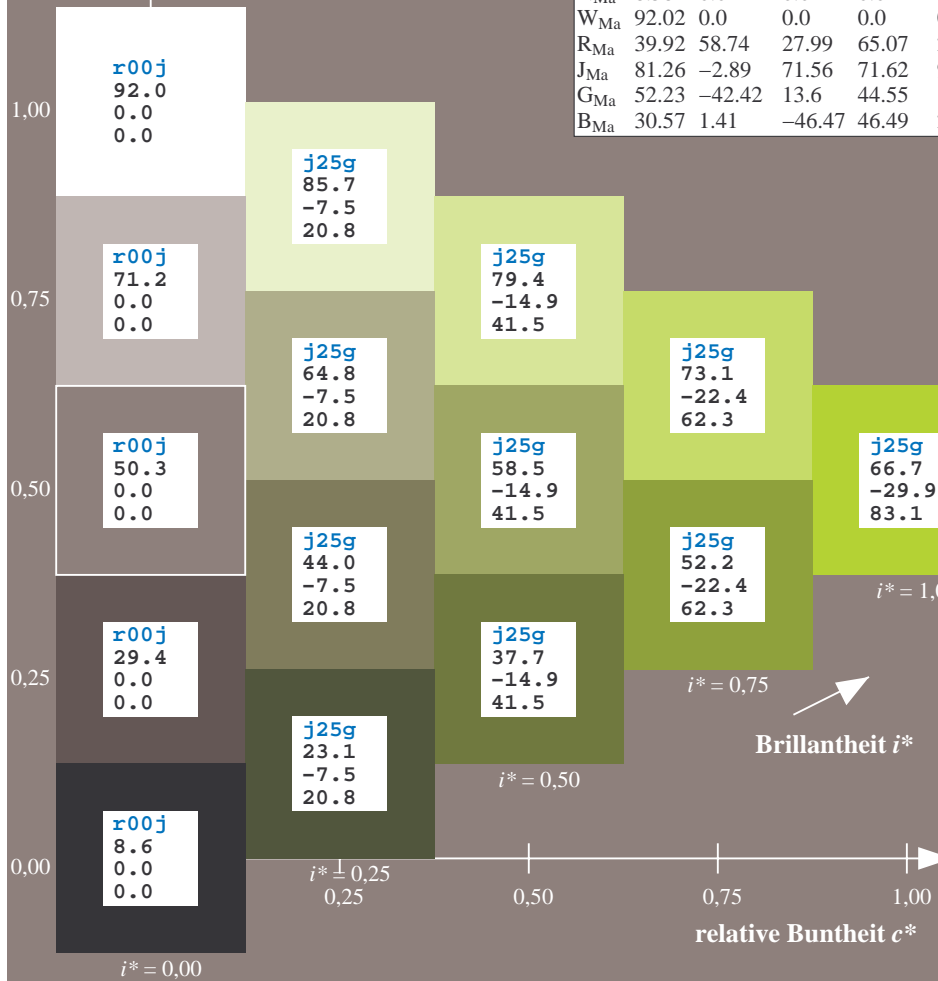
$lab^*rgb^*_Ma: 0.75 1.0 0.0$

$lab^*olv^*_Ma: 0.66 1.0 0.0$

Dreiecks-Helligkeit t^*

FRS09_92a; adaptierte CIELAB-Daten

u^*_e	$L^*=L^*_a$	a^*_a	b^*_a	$C^*_{ab,a}$	$h^*_{ab,a}$	u^*_d
r00j	35.47	63.32	30.17	70.15	25	m81o
r25j	39.12	54.56	49.45	73.64	42	o10y
r50j	50.64	39.15	64.89	75.79	59	o40y
r75j	64.01	21.26	82.83	85.52	76	o69y
j00g	83.18	-4.38	108.53	108.62	92	o98y
j25g	66.73	-29.89	83.06	88.28	110	y34l
j50g	54.03	-48.31	63.49	79.78	127	y69l
j75g	44.73	-60.33	42.64	73.88	145	l03c
g00b	47.59	-49.08	15.74	51.54	162	l23c
g25b	49.97	-39.7	-6.72	40.27	190	l55c
g50b	51.85	-32.33	-24.35	40.48	217	l87c
g75b	46.92	-17.29	-36.02	39.96	244	c20v
b00r	37.91	1.28	-42.35	42.37	272	c53v
b25r	23.81	30.38	-52.26	60.45	300	c87v
b50r	29.52	69.06	-42.14	80.9	329	v68m
b75r	36.48	71.47	-3.69	71.57	357	m34o



Ein und Ausgabe: Farbmatisches Drucker-Reflektiv-System FRS09_92a für relativen CIELAB-Bunton $h^* = lab \cdot h^* = h_{ab}/360 = 0.354$

Daten für jede Farbe:

$lab \cdot tch^*$ und $lab \cdot icu^*$

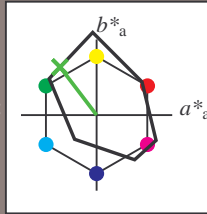
Buntontexte:

$u^*_e = j50g$ $u^*_d = y69l$

Kontrastreduzierungsfaktor:

$c_R = 1.0$

Dreiecks-Helligkeit t^*



FRS09_92a; adaptierte CIELAB-Daten

u^*_e	$L^*=L^*_a$	a^*_a	b^*_a	$C^*_{ab,a}$	$h^*_{ab,a}$
O _{Ma}	35.06	60.0	44.0	74.4	36
Y _{Ma}	83.77	-5.17	109.32	109.44	93
L _{Ma}	44.13	-62.67	48.24	79.09	142
C _{Ma}	52.66	-29.14	-31.99	43.27	228
V _{Ma}	14.15	50.3	-59.04	77.57	310
M _{Ma}	37.37	78.64	-33.5	85.48	337
N _{Ma}	8.58	0.0	0.0	0.0	0
W _{Ma}	92.02	0.0	0.0	0.0	0
R _{Ma}	39.92	58.74	27.99	65.07	25
J _{Ma}	81.26	-2.89	71.56	71.62	92
G _{Ma}	52.23	-42.42	13.6	44.55	162
B _{Ma}	30.57	1.41	-46.47	46.49	272

$u^*_e = j50g$
 $LAB^*LAB^*_a$

Daten für Maximalfarbe (Ma):

$LAB^*LAB^*_Ma: 54 -48 63$

$LAB^*LCH^*_Ma: 54 80 127$

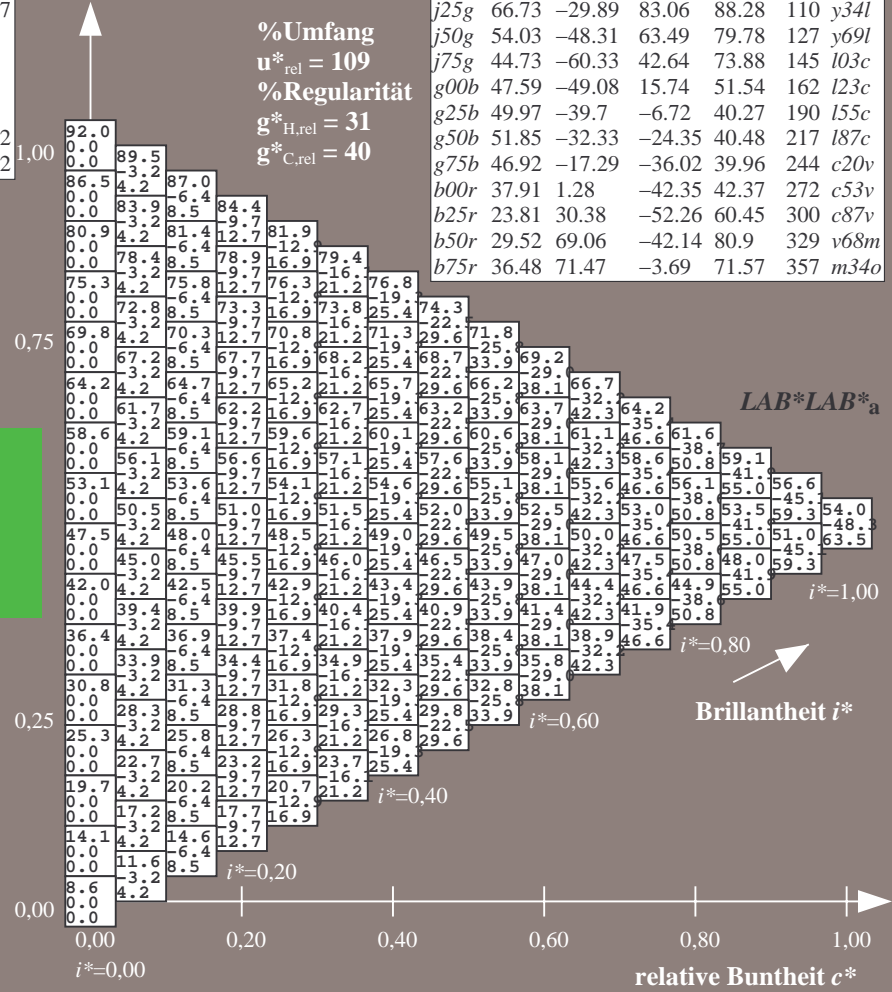
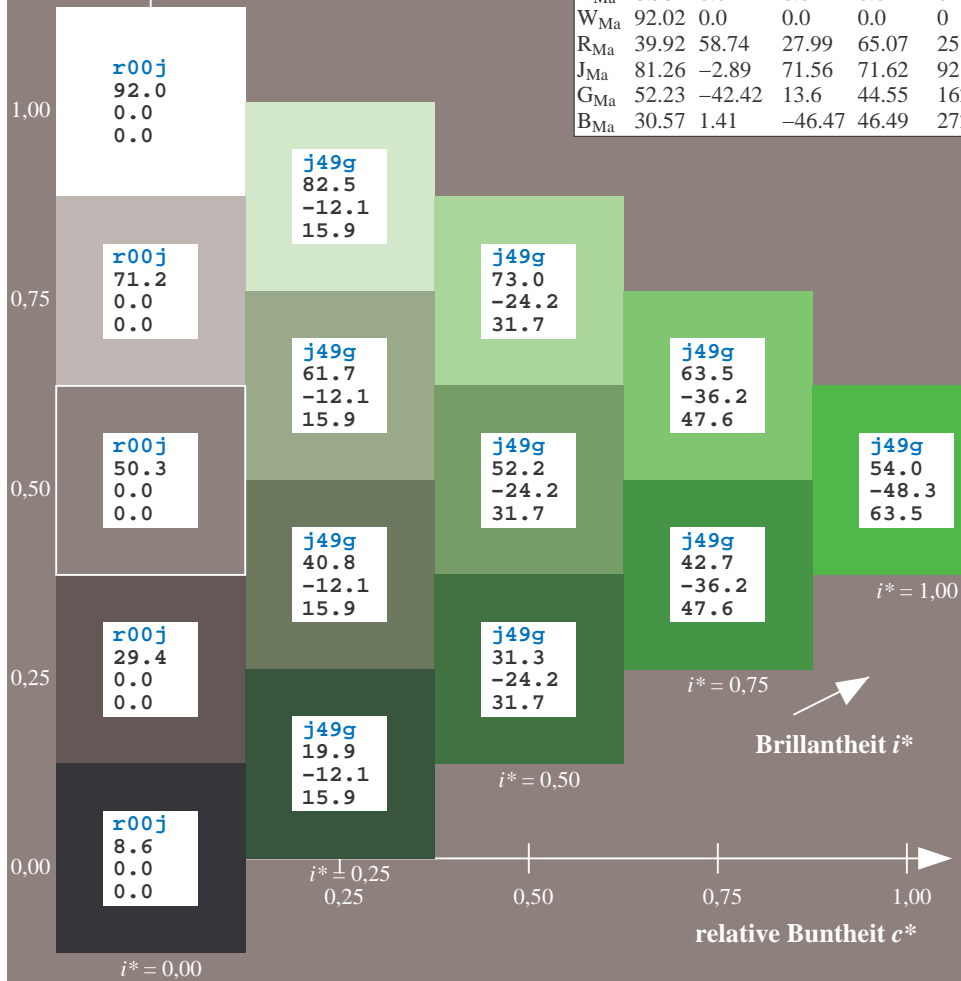
$lab^*rgb^*_Ma: 0.5 1.0 0.0$

$lab^*olv^*_Ma: 0.3 1.0 0.0$

Dreiecks-Helligkeit t^*

FRS09_92a; adaptierte CIELAB-Daten

u^*_e	$L^*=L^*_a$	a^*_a	b^*_a	$C^*_{ab,a}$	$h^*_{ab,a}$	u^*_d
r00j	35.47	63.32	30.17	70.15	25	m81o
r25j	39.12	54.56	49.45	73.64	42	o10y
r50j	50.64	39.15	64.89	75.79	59	o40y
r75j	64.01	21.26	82.83	85.52	76	o69y
j00g	83.18	-4.38	108.53	108.62	92	o98y
j25g	66.73	-29.89	83.06	88.28	110	y34l
j50g	54.03	-48.31	63.49	79.78	127	y69l
j75g	44.73	-60.33	42.64	73.88	145	l03c
g00b	47.59	-49.08	15.74	51.54	162	l23c
g25b	49.97	-39.7	-6.72	40.27	190	l55c
g50b	51.85	-32.33	-24.35	40.48	217	l87c
g75b	46.92	-17.29	-36.02	39.96	244	c20v
b00r	37.91	1.28	-42.35	42.37	272	c53v
b25r	23.81	30.38	-52.26	60.45	300	c87v
b50r	29.52	69.06	-42.14	80.9	329	v68m
b75r	36.48	71.47	-3.69	71.57	357	m34o



Ein und Ausgabe: Farbmatisches Drucker-Reflektiv-System FRS09_92a für relativen CIELAB-Bunton $h^* = lab \cdot h^* = h_{ab}/360 = 0.402$

Daten für jede Farbe:

$lab \cdot tch^*$ und $lab \cdot icu^*$

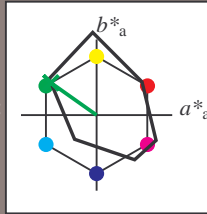
Buntontexte:

$u^*_e = j75g$ $u^*_d = l03c$

Kontrastreduzierungsfaktor:

$c_R = 1.0$

Dreiecks-Helligkeit t^*



FRS09_92a; adaptierte CIELAB-Daten

u^*_e	$L^*=L^*_a$	a^*_a	b^*_a	$C^*_{ab,a}$	$h^*_{ab,a}$
O _{Ma}	35.06	60.0	44.0	74.4	36
Y _{Ma}	83.77	-5.17	109.32	109.44	93
L _{Ma}	44.13	-62.67	48.24	79.09	142
C _{Ma}	52.66	-29.14	-31.99	43.27	228
V _{Ma}	14.15	50.3	-59.04	77.57	310
M _{Ma}	37.37	78.64	-33.5	85.48	337
N _{Ma}	8.58	0.0	0.0	0.0	0
W _{Ma}	92.02	0.0	0.0	0.0	0
R _{Ma}	39.92	58.74	27.99	65.07	25
J _{Ma}	81.26	-2.89	71.56	71.62	92
G _{Ma}	52.23	-42.42	13.6	44.55	162
B _{Ma}	30.57	1.41	-46.47	46.49	272

Daten für Maximalfarbe (Ma):

$LAB \cdot LAB^*_{Ma}$: 45 -60 43

$LAB \cdot LCH^*_{Ma}$: 45 74 144

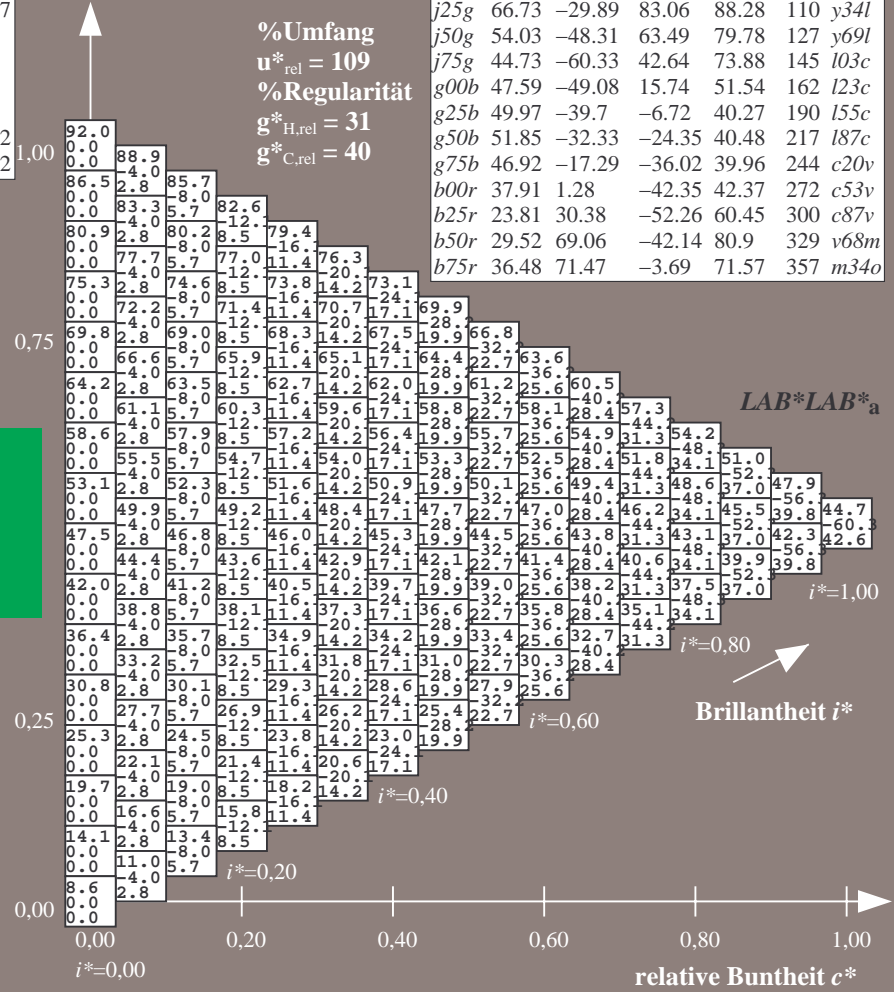
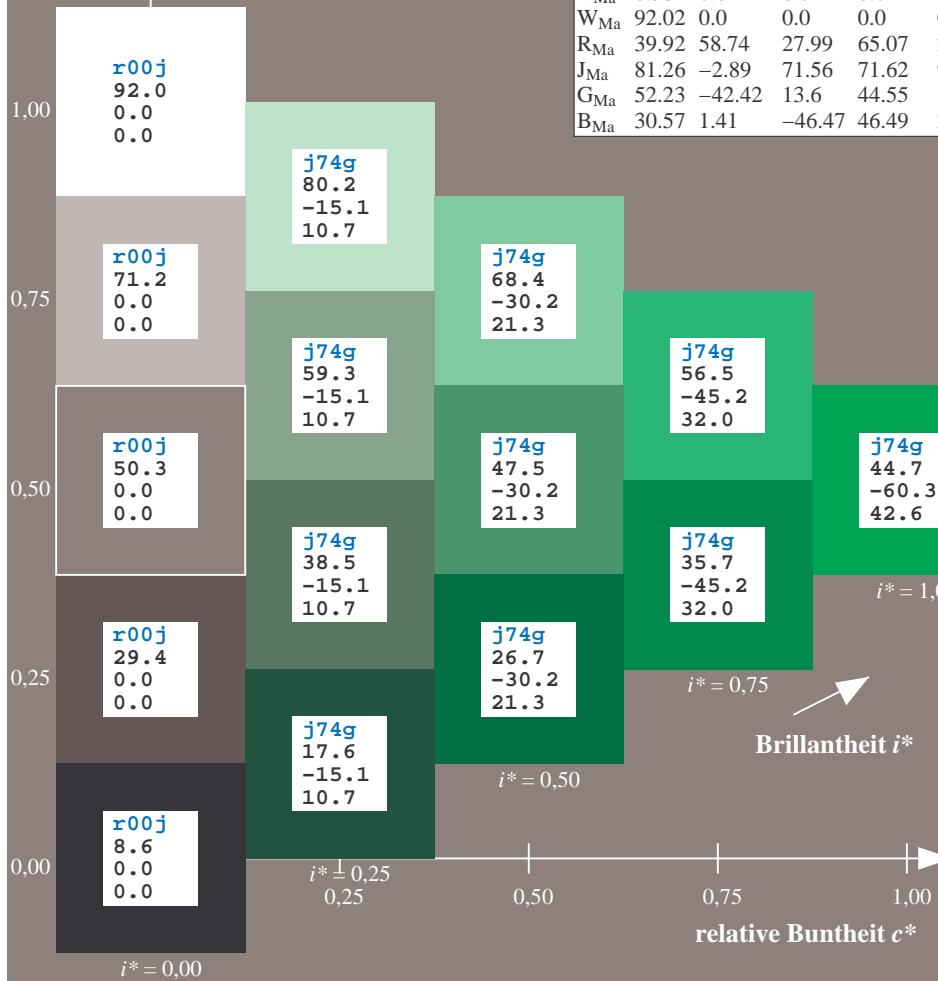
$lab \cdot rgb^*_{Ma}$: 0.25 1.0 0.0

$lab \cdot olv^*_{Ma}$: 0.0 1.0 0.03

Dreiecks-Helligkeit t^*

FRS09_92a; adaptierte CIELAB-Daten

u^*_e	$L^*=L^*_a$	a^*_a	b^*_a	$C^*_{ab,a}$	$h^*_{ab,a}$	u^*_d
r00j	35.47	63.32	30.17	70.15	25	m81o
r25j	39.12	54.56	49.45	73.64	42	o10y
r50j	50.64	39.15	64.89	75.79	59	o40y
r75j	64.01	21.26	82.83	85.52	76	o69y
j00g	83.18	-4.38	108.53	108.62	92	o98y
j25g	66.73	-29.89	83.06	88.28	110	y34l
j50g	54.03	-48.31	63.49	79.78	127	y69l
j75g	44.73	-60.33	42.64	73.88	145	l03c
g00b	47.59	-49.08	15.74	51.54	162	i23c
g25b	49.97	-39.7	-6.72	40.27	190	i55c
g50b	51.85	-32.33	-24.35	40.48	217	i87c
g75b	46.92	-17.29	-36.02	39.96	244	c20v
b00r	37.91	1.28	-42.35	42.37	272	c53v
b25r	23.81	30.38	-52.26	60.45	300	c87v
b50r	29.52	69.06	-42.14	80.9	329	v68m
b75r	36.48	71.47	-3.69	71.57	357	m34o



%Umfang
 $u^*_{rel} = 109$
%Regularität
 $g^*_{H,rel} = 31$
 $g^*_{C,rel} = 40$

Ein und Ausgabe: Farbmatisches Drucker-Reflektiv-System FRS09_92a für relativen CIELAB-Bunton $h^* = lab^*h^* = h_{ab}/360 = 0.451$

$u^*_e = g00b$
 $LAB^*LAB^*_a$

Daten für jede Farbe:

lab^*ch^* und lab^*icu^*

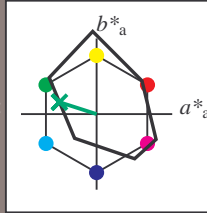
Buntontexte:

$u^*_e = g00b$ $u^*_d = l23c$

Kontrastreduzierungsfaktor:

$c_R = 1.0$

Dreiecks-Helligkeit t^*



FRS09_92a; adaptierte CIELAB-Daten

u^*_e	$L^*=L^*_a$	a^*_a	b^*_a	$C^*_{ab,a}$	$h^*_{ab,a}$
O _{Ma}	35.06	60.0	44.0	74.4	36
Y _{Ma}	83.77	-5.17	109.32	109.44	93
L _{Ma}	44.13	-62.67	48.24	79.09	142
C _{Ma}	52.66	-29.14	-31.99	43.27	228
V _{Ma}	14.15	50.3	-59.04	77.57	310
M _{Ma}	37.37	78.64	-33.5	85.48	337
N _{Ma}	8.58	0.0	0.0	0.0	0
W _{Ma}	92.02	0.0	0.0	0.0	0
R _{Ma}	39.92	58.74	27.99	65.07	25
J _{Ma}	81.26	-2.89	71.56	71.62	92
G _{Ma}	52.23	-42.42	13.6	44.55	162
B _{Ma}	30.57	1.41	-46.47	46.49	272

Daten für Maximalfarbe (Ma):

$LAB^*LAB^*_Ma$: 48 -49 16

$LAB^*LCH^*_Ma$: 48 52 162

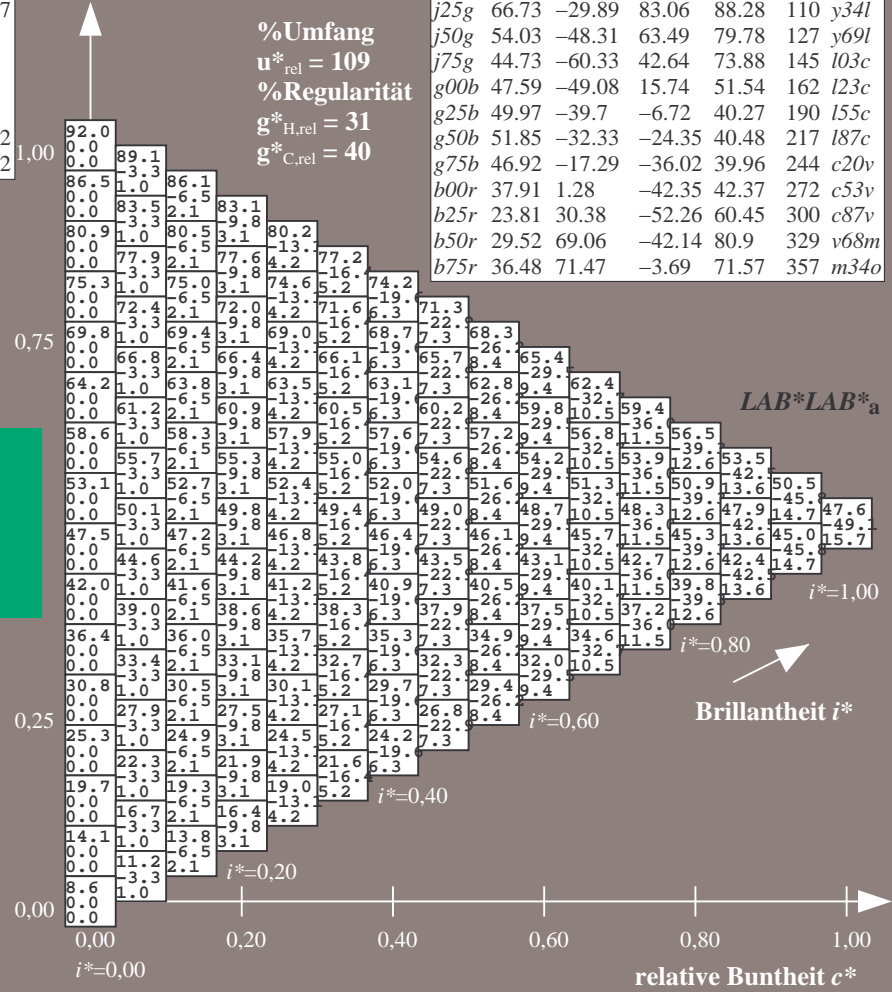
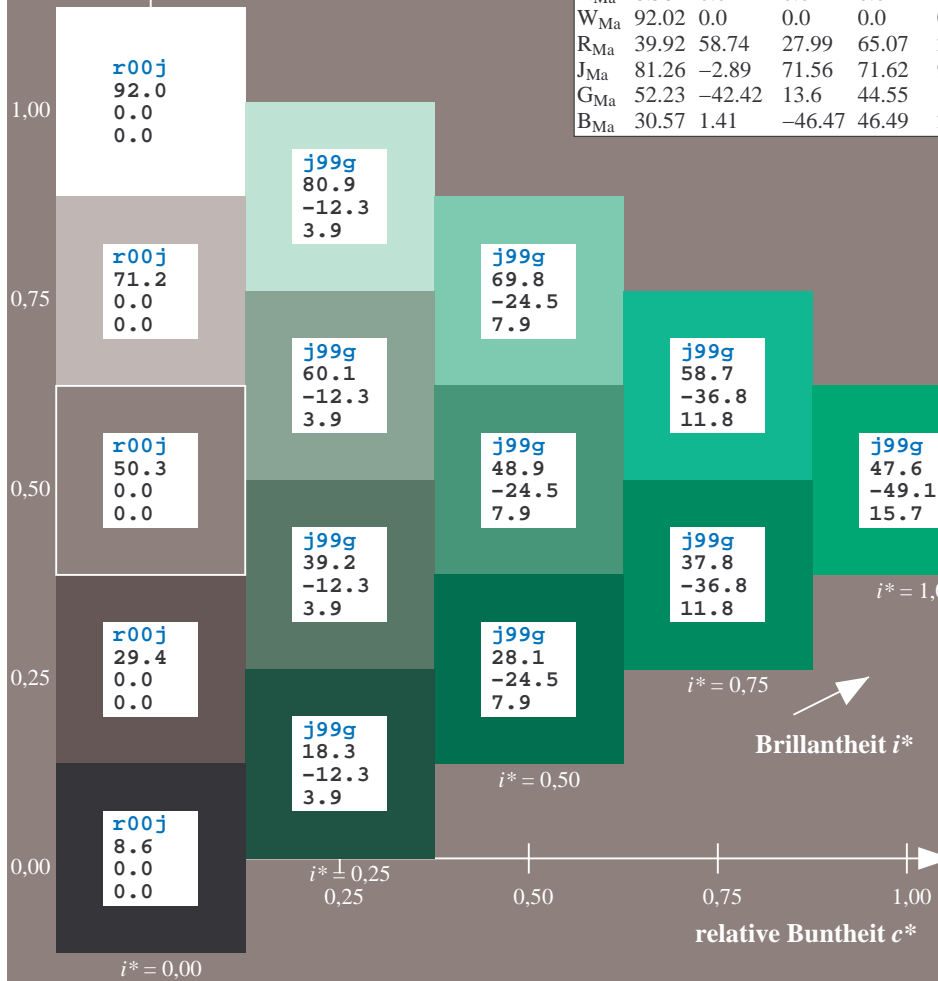
$lab^*rgb^*_Ma$: 0.0 1.0 0.0

$lab^*olv^*_Ma$: 0.0 1.0 0.23

Dreiecks-Helligkeit t^*

FRS09_92a; adaptierte CIELAB-Daten

u^*_e	$L^*=L^*_a$	a^*_a	b^*_a	$C^*_{ab,a}$	$h^*_{ab,a}$	u^*_d
r00j	35.47	63.32	30.17	70.15	25	m81o
r25j	39.12	54.56	49.45	73.64	42	o10y
r50j	50.64	39.15	64.89	75.79	59	o40y
r75j	64.01	21.26	82.83	85.52	76	o69y
j00g	83.18	-4.38	108.53	108.62	92	o98y
j25g	66.73	-29.89	83.06	88.28	110	y34l
j50g	54.03	-48.31	63.49	79.78	127	y69l
j75g	44.73	-60.33	42.64	73.88	145	l03c
g00b	47.59	-49.08	15.74	51.54	162	l23c
g25b	49.97	-39.7	-6.72	40.27	190	l55c
g50b	51.85	-32.33	-24.35	40.48	217	l87c
g75b	46.92	-17.29	-36.02	39.96	244	c20v
b00r	37.91	1.28	-42.35	42.37	272	c53v
b25r	23.81	30.38	-52.26	60.45	300	c87v
b50r	29.52	69.06	-42.14	80.9	329	v68m
b75r	36.48	71.47	-3.69	71.57	357	m34o



%Umfang
 $u^*_{rel} = 109$
%Regularität
 $g^*_{H,rel} = 31$
 $g^*_{C,rel} = 40$

$LAB^*LAB^*_a$

Brillantheit i^*

Ein und Ausgabe: Farbmatisches Drucker-Reflektiv-System FRS09_92a für relativen CIELAB-Bunton $h^* = lab^*h^* = h_{ab}/360 = 0.527$

$u^*_e = g25b$
 $LAB^*LAB^*_a$

Daten für jede Farbe:

lab^*tch^* und lab^*icu^*

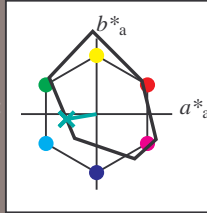
Buntontexte:

$u^*_e = g25b$ $u^*_d = l55c$

Kontrastreduzierungsfaktor:

$c_R = 1.0$

Dreiecks-Helligkeit t^*



FRS09_92a; adaptierte CIELAB-Daten						
u^*_e	$L^*=L^*_a$	a^*_a	b^*_a	$C^*_{ab,a}$	$h^*_{ab,a}$	
O _{Ma}	35.06	60.0	44.0	74.4	36	
Y _{Ma}	83.77	-5.17	109.32	109.44	93	
L _{Ma}	44.13	-62.67	48.24	79.09	142	
C _{Ma}	52.66	-29.14	-31.99	43.27	228	
V _{Ma}	14.15	50.3	-59.04	77.57	310	
M _{Ma}	37.37	78.64	-33.5	85.48	337	
N _{Ma}	8.58	0.0	0.0	0.0	0	
W _{Ma}	92.02	0.0	0.0	0.0	0	
R _{Ma}	39.92	58.74	27.99	65.07	25	
J _{Ma}	81.26	-2.89	71.56	71.62	92	
G _{Ma}	52.23	-42.42	13.6	44.55	162	
B _{Ma}	30.57	1.41	-46.47	46.49	272	

Daten für Maximalfarbe (Ma):

$LAB^*LAB^*_Ma: 50 -40 -7$

$LAB^*LCH^*_Ma: 50 40 189$

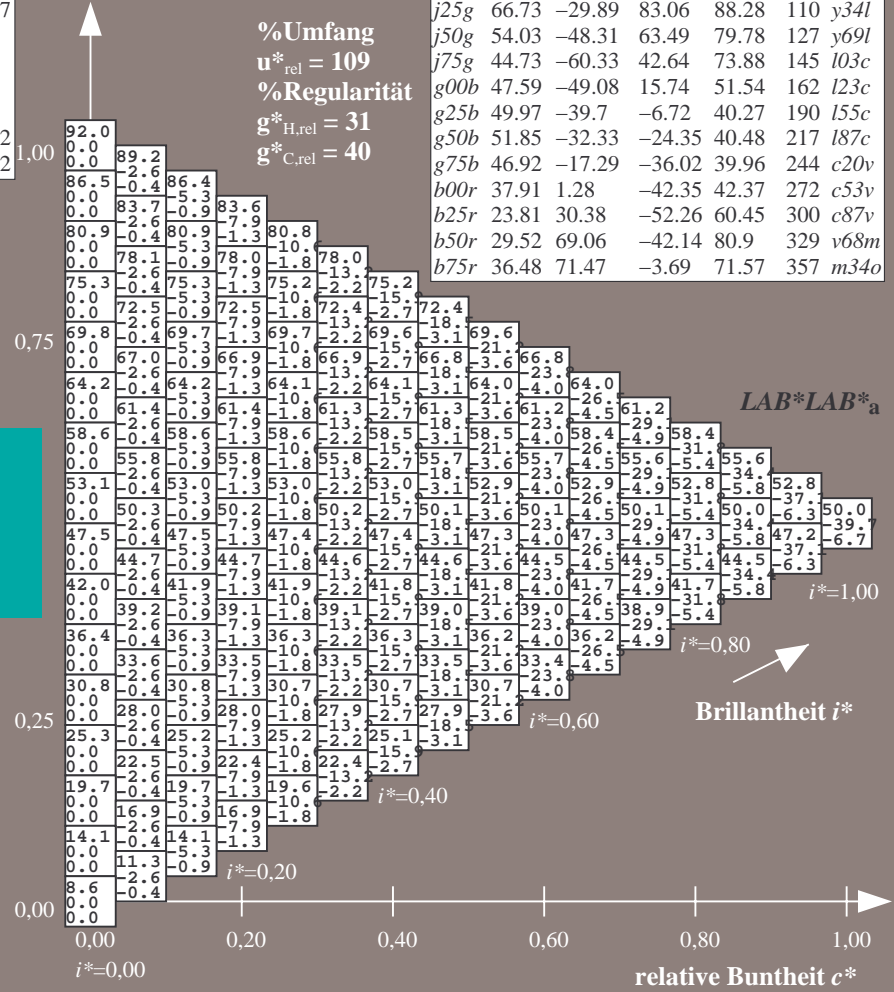
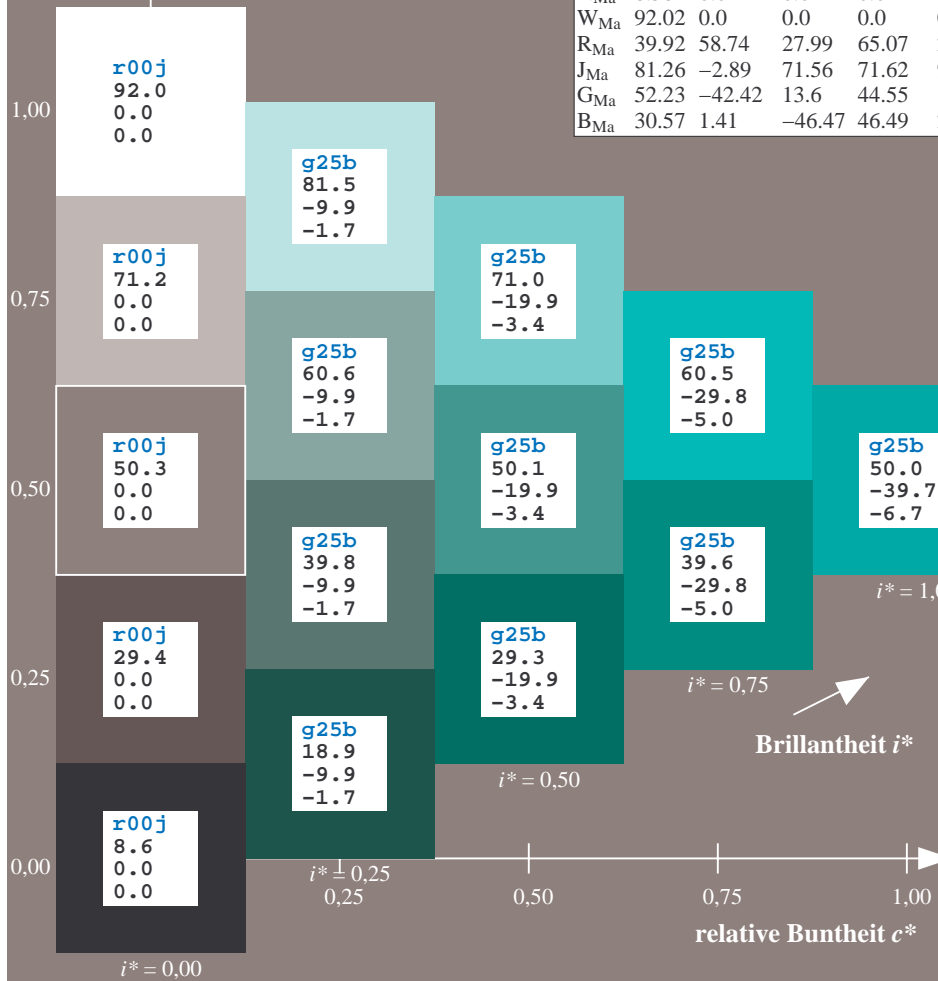
$lab^*rgb^*_Ma: 0.0 1.0 0.5$

$lab^*olv^*_Ma: 0.0 1.0 0.55$

Dreiecks-Helligkeit t^*

FRS09_92a; adaptierte CIELAB-Daten

u^*_e	$L^*=L^*_a$	a^*_a	b^*_a	$C^*_{ab,a}$	$h^*_{ab,a}$	u^*_d
r00j	35.47	63.32	30.17	70.15	25	m81o
r25j	39.12	54.56	49.45	73.64	42	o10y
r50j	50.64	39.15	64.89	75.79	59	o40y
r75j	64.01	21.26	82.83	85.52	76	o69y
j00g	83.18	-4.38	108.53	108.62	92	o98y
j25g	66.73	-29.89	83.06	88.28	110	y34l
j50g	54.03	-48.31	63.49	79.78	127	y69l
j75g	44.73	-60.33	42.64	73.88	145	l03c
g00b	47.59	-49.08	15.74	51.54	162	l23c
g25b	49.97	-39.7	-6.72	40.27	190	l55c
g50b	51.85	-32.33	-24.35	40.48	217	l87c
g75b	46.92	-17.29	-36.02	39.96	244	c20v
b00r	37.91	1.28	-42.35	42.37	272	c53v
b25r	23.81	30.38	-52.26	60.45	300	c87v
b50r	29.52	69.06	-42.14	80.9	329	v68m
b75r	36.48	71.47	-3.69	71.57	357	m34o



%Umfang
 $u^*_{rel} = 109$
%Regularität
 $g^*_{H,rel} = 31$
 $g^*_{C,rel} = 40$

$LAB^*LAB^*_a$

Brillantheit i^*

$i^* = 1.00$

$i^* = 0.80$

$i^* = 0.60$

$i^* = 0.40$

$i^* = 0.20$

Ein und Ausgabe: Farbmatisches Drucker-Reflektiv-System FRS09_92a für relativen CIELAB-Bunton $h^* = lab \cdot h^* = h_{ab}/360 = 0.603$

Daten für jede Farbe:

$lab \cdot tch^*$ und $lab \cdot icu^*$

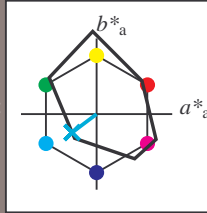
Buntontexte:

$u^*_e = g50b$ $u^*_d = l87c$

Kontrastreduzierungsfaktor:

$c_R = 1.0$

Dreiecks-Helligkeit t^*



FRS09_92a; adaptierte CIELAB-Daten

u^*_e	$L^*=L^*_a$	a^*_a	b^*_a	$C^*_{ab,a}$	$h^*_{ab,a}$
O _{Ma}	35.06	60.0	44.0	74.4	36
Y _{Ma}	83.77	-5.17	109.32	109.44	93
L _{Ma}	44.13	-62.67	48.24	79.09	142
C _{Ma}	52.66	-29.14	-31.99	43.27	228
V _{Ma}	14.15	50.3	-59.04	77.57	310
M _{Ma}	37.37	78.64	-33.5	85.48	337
N _{Ma}	8.58	0.0	0.0	0.0	0
W _{Ma}	92.02	0.0	0.0	0.0	0
R _{Ma}	39.92	58.74	27.99	65.07	25
J _{Ma}	81.26	-2.89	71.56	71.62	92
G _{Ma}	52.23	-42.42	13.6	44.55	162
B _{Ma}	30.57	1.41	-46.47	46.49	272

$u^*_e = g50b$
 $LAB^*LAB^*_a$

Daten für Maximalfarbe (Ma):

$LAB^*LAB^*_Ma: 52 -32 -24$

$LAB^*LCH^*_Ma: 52 40 216$

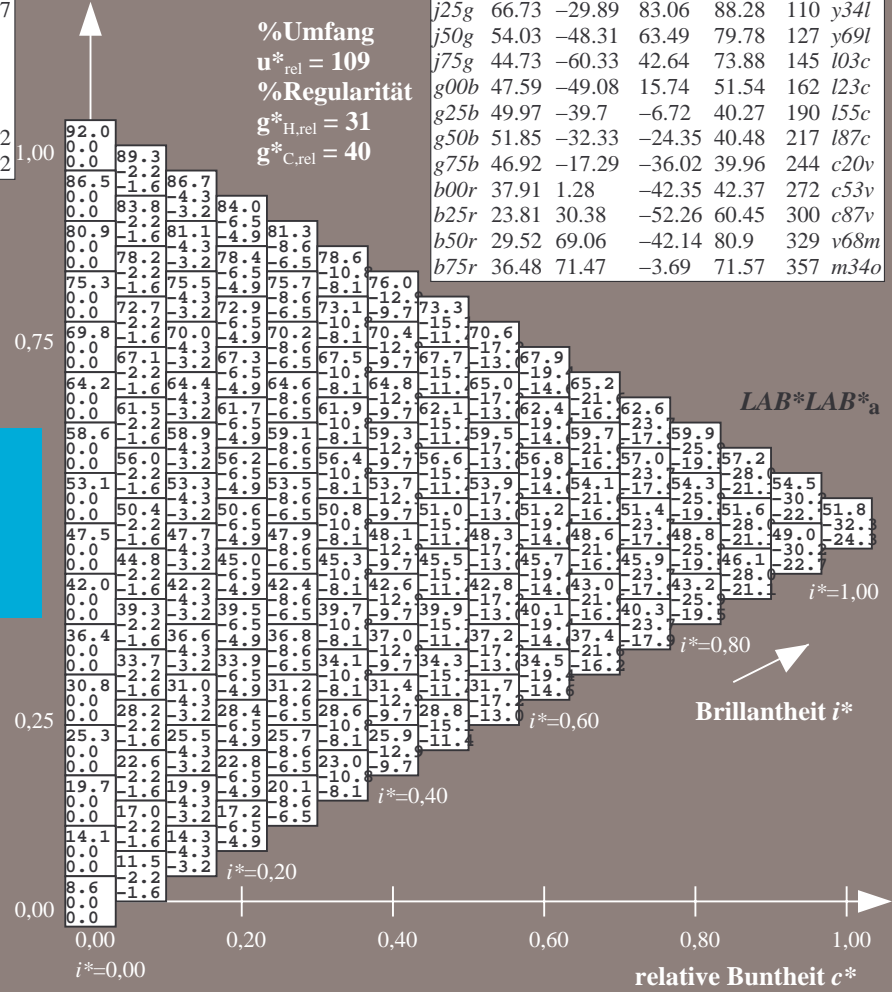
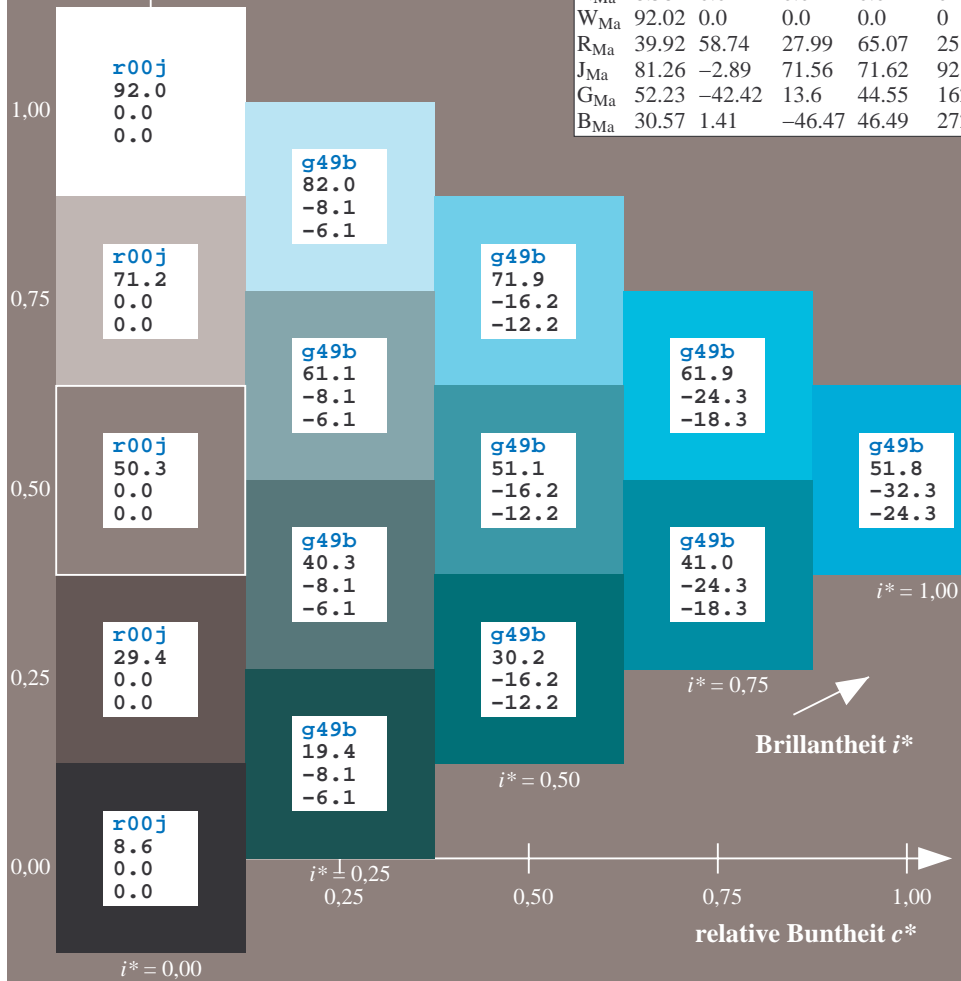
$lab^*rgb^*_Ma: 0.0 1.0 1.0$

$lab^*olv^*_Ma: 0.0 1.0 0.87$

Dreiecks-Helligkeit t^*

FRS09_92a; adaptierte CIELAB-Daten

u^*_e	$L^*=L^*_a$	a^*_a	b^*_a	$C^*_{ab,a}$	$h^*_{ab,a}$	u^*_d
r00j	35.47	63.32	30.17	70.15	25	m81o
r25j	39.12	54.56	49.45	73.64	42	o10y
r50j	50.64	39.15	64.89	75.79	59	o40y
r75j	64.01	21.26	82.83	85.52	76	o69y
j00g	83.18	-4.38	108.53	108.62	92	o98y
j25g	66.73	-29.89	83.06	88.28	110	y34l
j50g	54.03	-48.31	63.49	79.78	127	y69l
j75g	44.73	-60.33	42.64	73.88	145	l03c
g00b	47.59	-49.08	15.74	51.54	162	l23c
g25b	49.97	-39.7	-6.72	40.27	190	l55c
g50b	51.85	-32.33	-24.35	40.48	217	l87c
g75b	46.92	-17.29	-36.02	39.96	244	c20v
b00r	37.91	1.28	-42.35	42.37	272	c53v
b25r	23.81	30.38	-52.26	60.45	300	c87v
b50r	29.52	69.06	-42.14	80.9	329	v68m
b75r	36.48	71.47	-3.69	71.57	357	m34o



Ein und Ausgabe: Farbmatisches Drucker-Reflektiv-System FRS09_92a für relativen CIELAB-Bunton $h^* = lab^*h^* = h_{ab}/360 = 0.679$

$u^*_e = g75b$
LAB*LAB*a

Daten für jede Farbe:

lab^*ch^* und lab^*icu^*

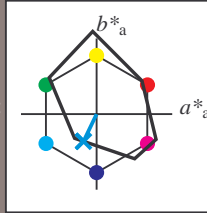
Buntontexte:

$u^*_e = g75b$ $u^*_d = c20v$

Kontrastreduzierungsfaktor:

$c_R = 1.0$

Dreiecks-Helligkeit t^*



FRS09_92a; adaptierte CIELAB-Daten

	u^*_e	$L^*=L^*_a$	a^*_a	b^*_a	$C^*_{ab,a}$	$h^*_{ab,a}$
O _{Ma}	35.06	60.0	44.0	74.4	36	
Y _{Ma}	83.77	-5.17	109.32	109.44	93	
L _{Ma}	44.13	-62.67	48.24	79.09	142	
C _{Ma}	52.66	-29.14	-31.99	43.27	228	
V _{Ma}	14.15	50.3	-59.04	77.57	310	
M _{Ma}	37.37	78.64	-33.5	85.48	337	
N _{Ma}	8.58	0.0	0.0	0.0	0	
W _{Ma}	92.02	0.0	0.0	0.0	0	
R _{Ma}	39.92	58.74	27.99	65.07	25	
J _{Ma}	81.26	-2.89	71.56	71.62	92	
G _{Ma}	52.23	-42.42	13.6	44.55	162	
B _{Ma}	30.57	1.41	-46.47	46.49	272	

Daten für Maximalfarbe (Ma):

LAB*LAB*_{Ma}: 47 -17 -36

LAB*LCH*_{Ma}: 47 40 244

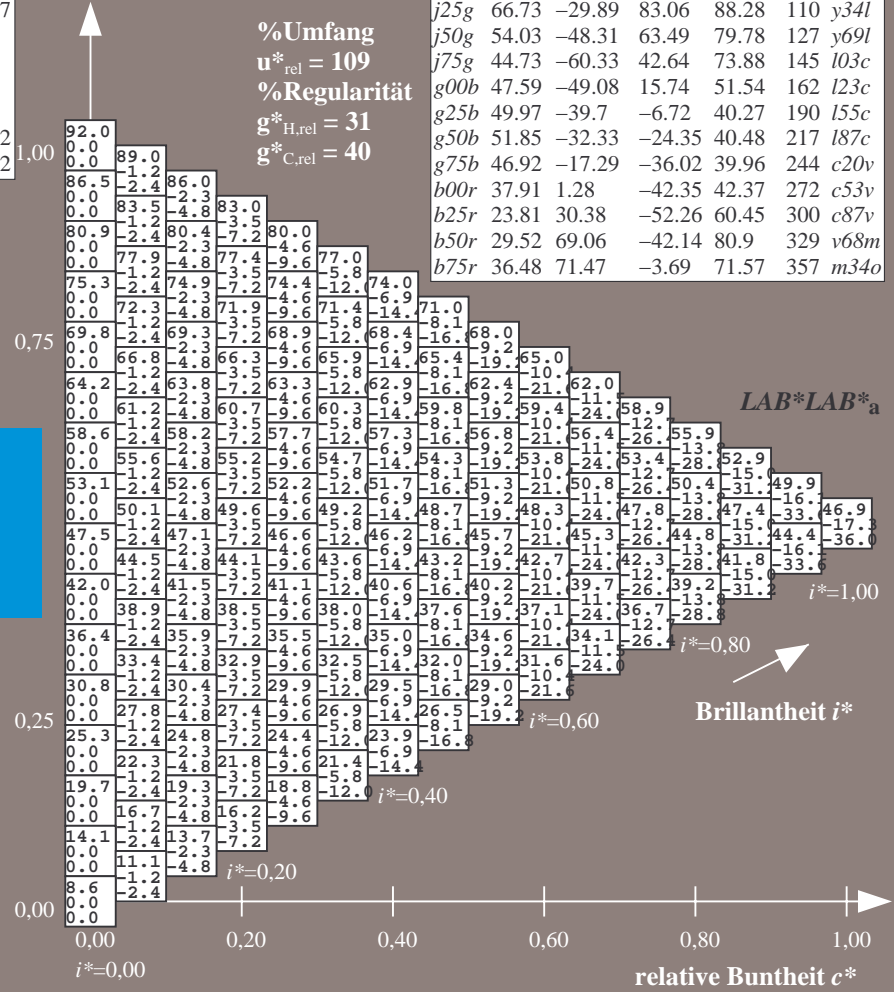
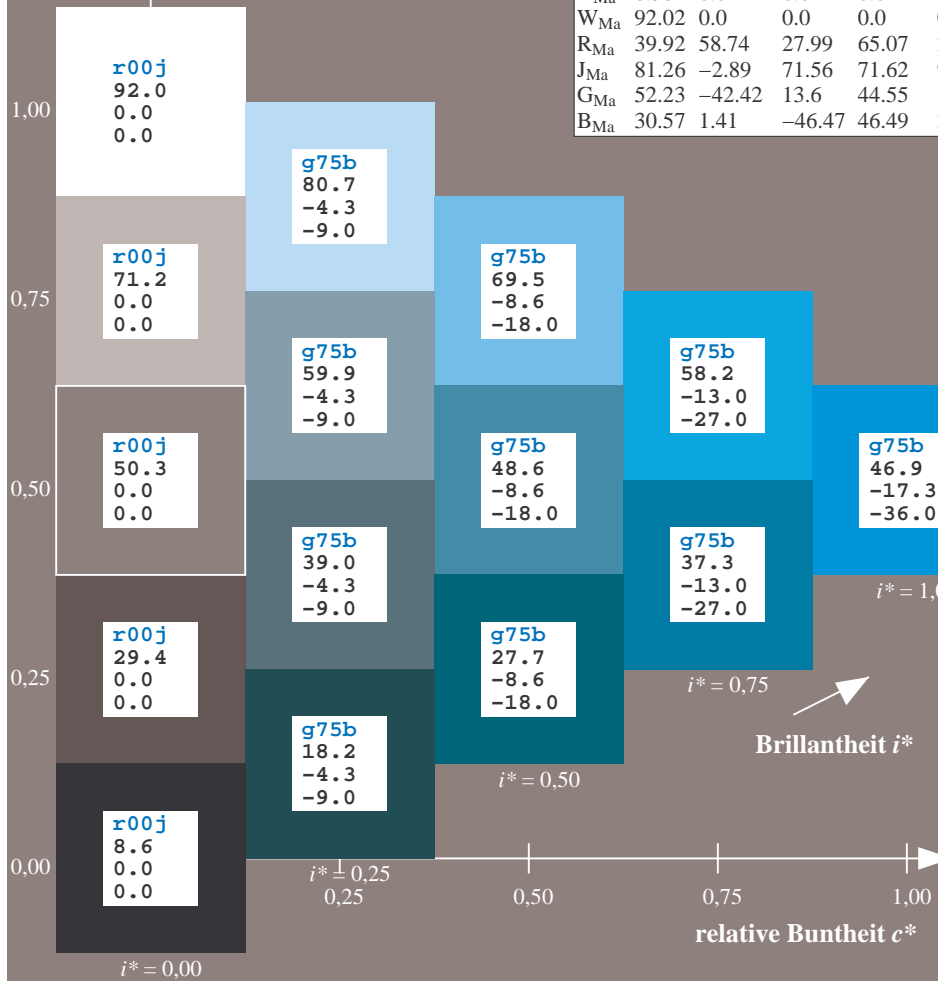
lab*rgb*_{Ma}: 0.0 0.5 1.0

lab*olv*_{Ma}: 0.0 0.8 1.0

Dreiecks-Helligkeit t^*

FRS09_92a; adaptierte CIELAB-Daten

	u^*_e	$L^*=L^*_a$	a^*_a	b^*_a	$C^*_{ab,a}$	$h^*_{ab,a}$	u^*_d
r00j	35.47	63.32	30.17	70.15	25	m81o	
r25j	39.12	54.56	49.45	73.64	42	o10y	
r50j	50.64	39.15	64.89	75.79	59	o40y	
r75j	64.01	21.26	82.83	85.52	76	o69y	
j00g	83.18	-4.38	108.53	108.62	92	o98y	
j25g	66.73	-29.89	83.06	88.28	110	y34l	
j50g	54.03	-48.31	63.49	79.78	127	y69l	
j75g	44.73	-60.33	42.64	73.88	145	l03c	
g00b	47.59	-49.08	15.74	51.54	162	i23c	
g25b	49.97	-39.7	-6.72	40.27	190	i55c	
g50b	51.85	-32.33	-24.35	40.48	217	i87c	
g75b	46.92	-17.29	-36.02	39.96	244	c20v	
b00r	37.91	1.28	-42.35	42.37	272	c53v	
b25r	23.81	30.38	-52.26	60.45	300	c87v	
b50r	29.52	69.06	-42.14	80.9	329	v68m	
b75r	36.48	71.47	-3.69	71.57	357	m34o	



%Umfang
 $u^*_{rel} = 109$
%Regularität
 $g^*_{H,rel} = 31$
 $g^*_{C,rel} = 40$

Brillantheit i^*

$i^* = 1.00$

$i^* = 0.80$

$i^* = 0.60$

$i^* = 0.40$

$i^* = 0.20$

$i^* = 0.00$

Ein und Ausgabe: Farbmatisches Drucker-Reflektiv-System FRS09_92a für relativen CIELAB-Bunton $h^* = lab^*h^* = h_{ab}/360 = 0.755$

$u^*_e = b00r$
 $LAB^*LAB^*_a$

Daten für jede Farbe:

lab^*ch^* und lab^*icu^*

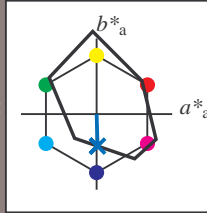
Buntontexte:

$u^*_e = b00r$ $u^*_d = c53v$

Kontrastreduzierungsfaktor:

$c_R = 1.0$

Dreiecks-Helligkeit t^*



FRS09_92a; adaptierte CIELAB-Daten

	u^*_e	$L^*=L^*_a$	a^*_a	b^*_a	$C^*_{ab,a}$	$h^*_{ab,a}$
O _{Ma}	35.06	60.0	44.0	74.4	36	
Y _{Ma}	83.77	-5.17	109.32	109.44	93	
L _{Ma}	44.13	-62.67	48.24	79.09	142	
C _{Ma}	52.66	-29.14	-31.99	43.27	228	
V _{Ma}	14.15	50.3	-59.04	77.57	310	
M _{Ma}	37.37	78.64	-33.5	85.48	337	
N _{Ma}	8.58	0.0	0.0	0.0	0	
W _{Ma}	92.02	0.0	0.0	0.0	0	
R _{Ma}	39.92	58.74	27.99	65.07	25	
J _{Ma}	81.26	-2.89	71.56	71.62	92	
G _{Ma}	52.23	-42.42	13.6	44.55	162	
B _{Ma}	30.57	1.41	-46.47	46.49	272	

Daten für Maximalfarbe (Ma):

$LAB^*LAB^*_Ma: 38 \ 1 \ -42$

$LAB^*LCH^*_Ma: 38 \ 42 \ 271$

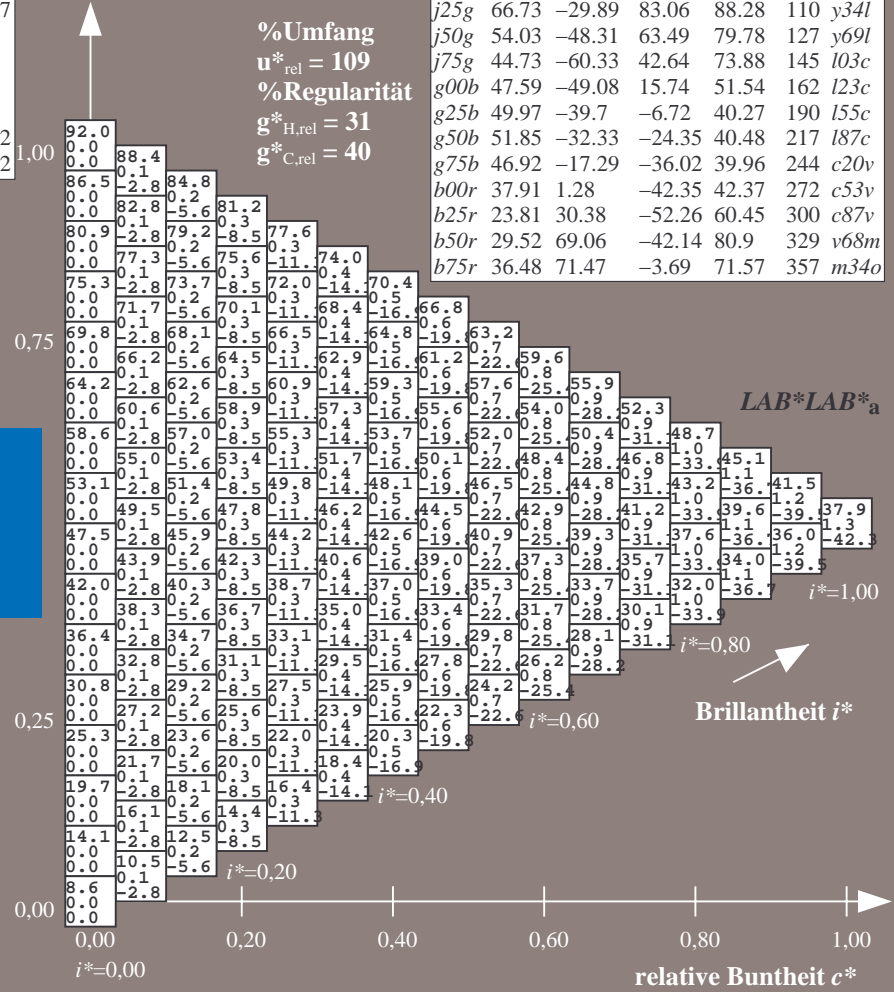
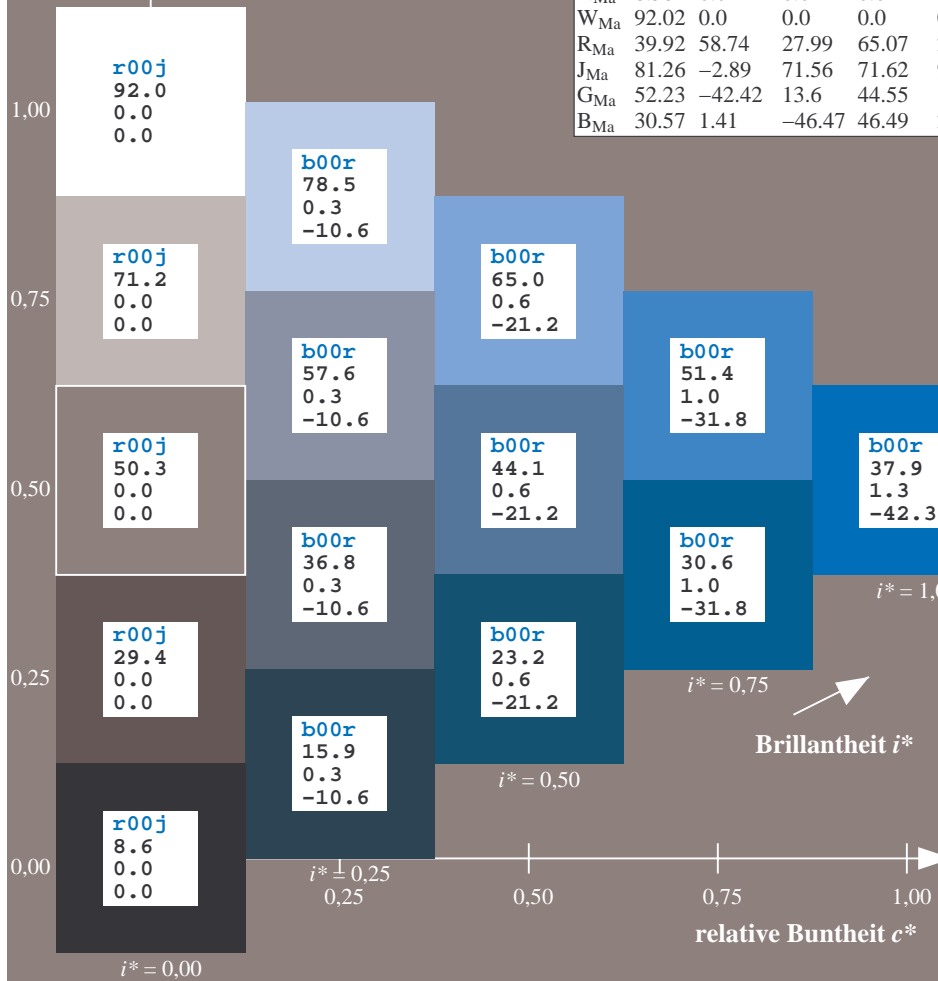
$lab^*rgb^*_Ma: 0.0 \ 0.0 \ 1.0$

$lab^*olv^*_Ma: 0.0 \ 0.47 \ 1.0$

Dreiecks-Helligkeit t^*

FRS09_92a; adaptierte CIELAB-Daten

	u^*_e	$L^*=L^*_a$	a^*_a	b^*_a	$C^*_{ab,a}$	$h^*_{ab,a}$	u^*_d
r00j	35.47	63.32	30.17	70.15	25	m81o	
r25j	39.12	54.56	49.45	73.64	42	o10y	
r50j	50.64	39.15	64.89	75.79	59	o40y	
r75j	64.01	21.26	82.83	85.52	76	o69y	
j00g	83.18	-4.38	108.53	108.62	92	o98y	
j25g	66.73	-29.89	83.06	88.28	110	y34l	
j50g	54.03	-48.31	63.49	79.78	127	y69l	
j75g	44.73	-60.33	42.64	73.88	145	103c	
g00b	47.59	-49.08	15.74	51.54	162	l23c	
g25b	49.97	-39.7	-6.72	40.27	190	l55c	
g50b	51.85	-32.33	-24.35	40.48	217	l87c	
g75b	46.92	-17.29	-36.02	39.96	244	c20v	
b00r	37.91	1.28	-42.35	42.37	272	c53v	
b25r	23.81	30.38	-52.26	60.45	300	c87v	
b50r	29.52	69.06	-42.14	80.9	329	v68m	
b75r	36.48	71.47	-3.69	71.57	357	m34o	



%Umfang
 $u^*_{rel} = 109$
%Regularität
 $g^*_{H,rel} = 31$
 $g^*_{C,rel} = 40$

Ein und Ausgabe: Farbmimetrisches Drucker-Reflektiv-System FRS09_92a für relativen CIELAB-Bunton $h^* = lab \cdot h^* = h_{ab}/360 = 0.834$

$u^*_e = b25r$
LAB*LAB*a

Daten für jede Farbe:

$lab \cdot tch^*$ und $lab \cdot icu^*$

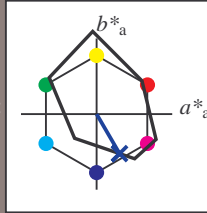
Buntontexte:

$u^*_e = b25r$ $u^*_d = c87v$

Kontrastreduzierungsfaktor:

$c_R = 1.0$

Dreiecks-Helligkeit t^*



FRS09_92a; adaptierte CIELAB-Daten

u^*_e	$L^*=L^*_a$	a^*_a	b^*_a	$C^*_{ab,a}$	$h^*_{ab,a}$
O _{Ma}	35.06	60.0	44.0	74.4	36
Y _{Ma}	83.77	-5.17	109.32	109.44	93
L _{Ma}	44.13	-62.67	48.24	79.09	142
C _{Ma}	52.66	-29.14	-31.99	43.27	228
V _{Ma}	14.15	50.3	-59.04	77.57	310
M _{Ma}	37.37	78.64	-33.5	85.48	337
N _{Ma}	8.58	0.0	0.0	0.0	0
W _{Ma}	92.02	0.0	0.0	0.0	0
R _{Ma}	39.92	58.74	27.99	65.07	25
J _{Ma}	81.26	-2.89	71.56	71.62	92
G _{Ma}	52.23	-42.42	13.6	44.55	162
B _{Ma}	30.57	1.41	-46.47	46.49	272

Daten für Maximalfarbe (Ma):

LAB*LAB*_{Ma}: 24 30 -52

LAB*LCH*_{Ma}: 24 60 300

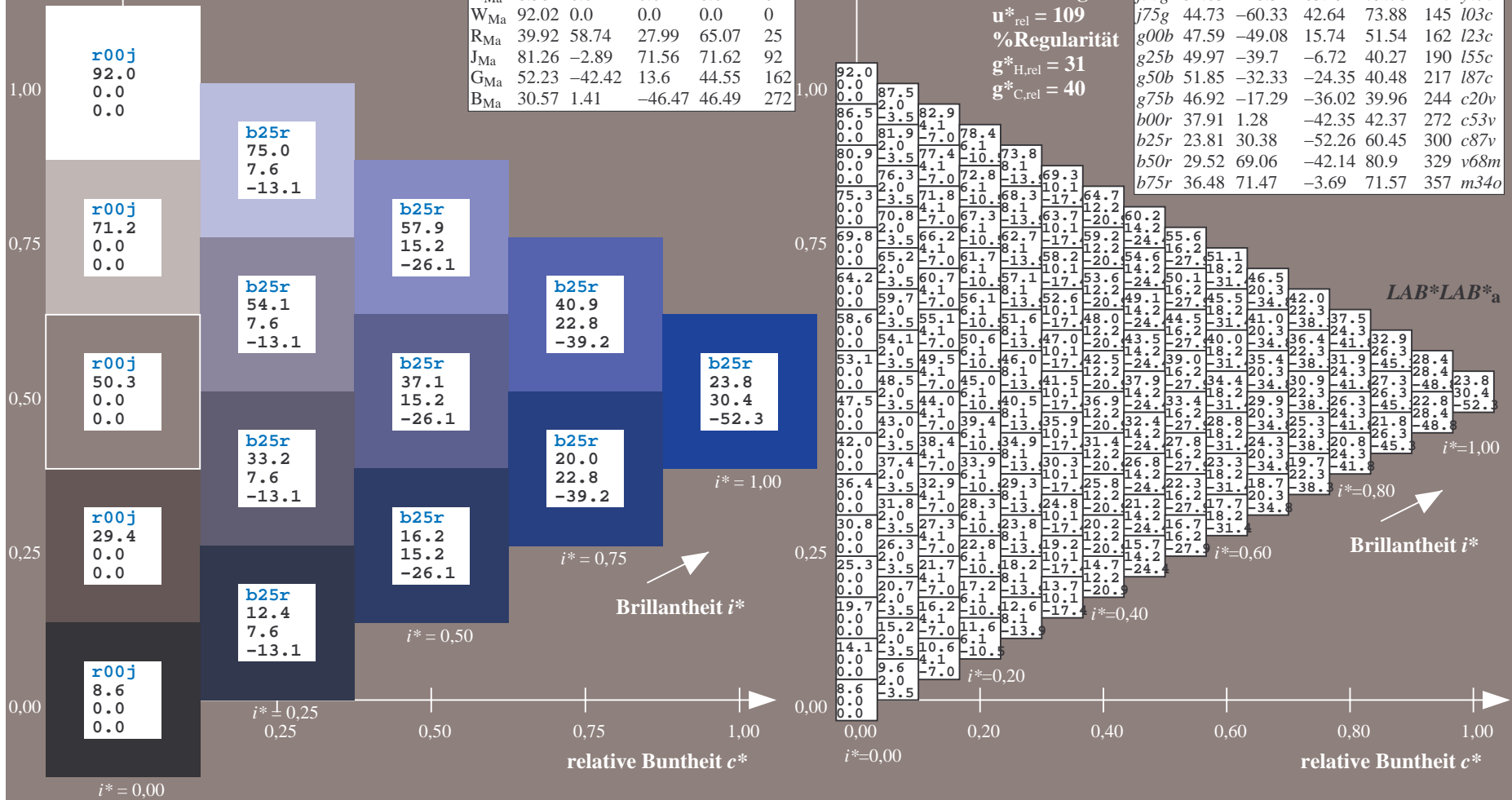
lab*rgb*_{Ma}: 0.5 0.0 1.0

lab*olv*_{Ma}: 0.0 0.12 1.0

Dreiecks-Helligkeit t^*

FRS09_92a; adaptierte CIELAB-Daten

u^*_e	$L^*=L^*_a$	a^*_a	b^*_a	$C^*_{ab,a}$	$h^*_{ab,a}$	u^*_d
r00j	35.47	63.32	30.17	70.15	25	m81o
r25j	39.12	54.56	49.45	73.64	42	o10y
r50j	50.64	39.15	64.89	75.79	59	o40y
r75j	64.01	21.26	82.83	85.52	76	o69y
j00g	83.18	-4.38	108.53	108.62	92	o98y
j25g	66.73	-29.89	83.06	88.28	110	y34l
j50g	54.03	-48.31	63.49	79.78	127	y69l
j75g	44.73	-60.33	42.64	73.88	145	l03c
g00b	47.59	-49.08	15.74	51.54	162	i23c
g25b	49.97	-39.7	-6.72	40.27	190	i55c
g50b	51.85	-32.33	-24.35	40.48	217	i87c
g75b	46.92	-17.29	-36.02	39.96	244	c20v
b00r	37.91	1.28	-42.35	42.37	272	c53v
b25r	23.81	30.38	-52.26	60.45	300	c87v
b50r	29.52	69.06	-42.14	80.9	329	v68m
b75r	36.48	71.47	-3.69	71.57	357	m34o



Ein und Ausgabe: Farbmatisches Drucker-Reflektiv-System FRS09_92a für relativen CIELAB-Bunton $h^* = lab^*h^* = h_{ab}/360 = 0.913$

Daten für jede Farbe:

lab^*ch^* und lab^*icu^*

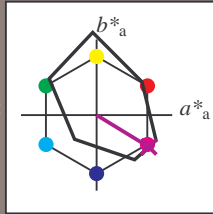
Buntontexte:

$u^*_e = b50r$ $u^*_d = v68m$

Kontrastreduzierungsfaktor:

$c_R = 1.0$

Dreiecks-Helligkeit t^*



FRS09_92a; adaptierte CIELAB-Daten						
u^*_e	$L^*=L^*_a$	a^*_a	b^*_a	$C^*_{ab,a}$	$h^*_{ab,a}$	
O _{Ma}	35.06	60.0	44.0	74.4	36	
Y _{Ma}	83.77	-5.17	109.32	109.44	93	
L _{Ma}	44.13	-62.67	48.24	79.09	142	
C _{Ma}	52.66	-29.14	-31.99	43.27	228	
V _{Ma}	14.15	50.3	-59.04	77.57	310	
M _{Ma}	37.37	78.64	-33.5	85.48	337	
N _{Ma}	8.58	0.0	0.0	0.0	0	
W _{Ma}	92.02	0.0	0.0	0.0	0	
R _{Ma}	39.92	58.74	27.99	65.07	25	
J _{Ma}	81.26	-2.89	71.56	71.62	92	
G _{Ma}	52.23	-42.42	13.6	44.55	162	
B _{Ma}	30.57	1.41	-46.47	46.49	272	

$u^*_e = b50r$
 $LAB^*LAB^*_a$

Daten für Maximalfarbe (Ma):

$LAB^*LAB^*_Ma: 30\ 69\ -42$

$LAB^*LCH^*_Ma: 30\ 81\ 328$

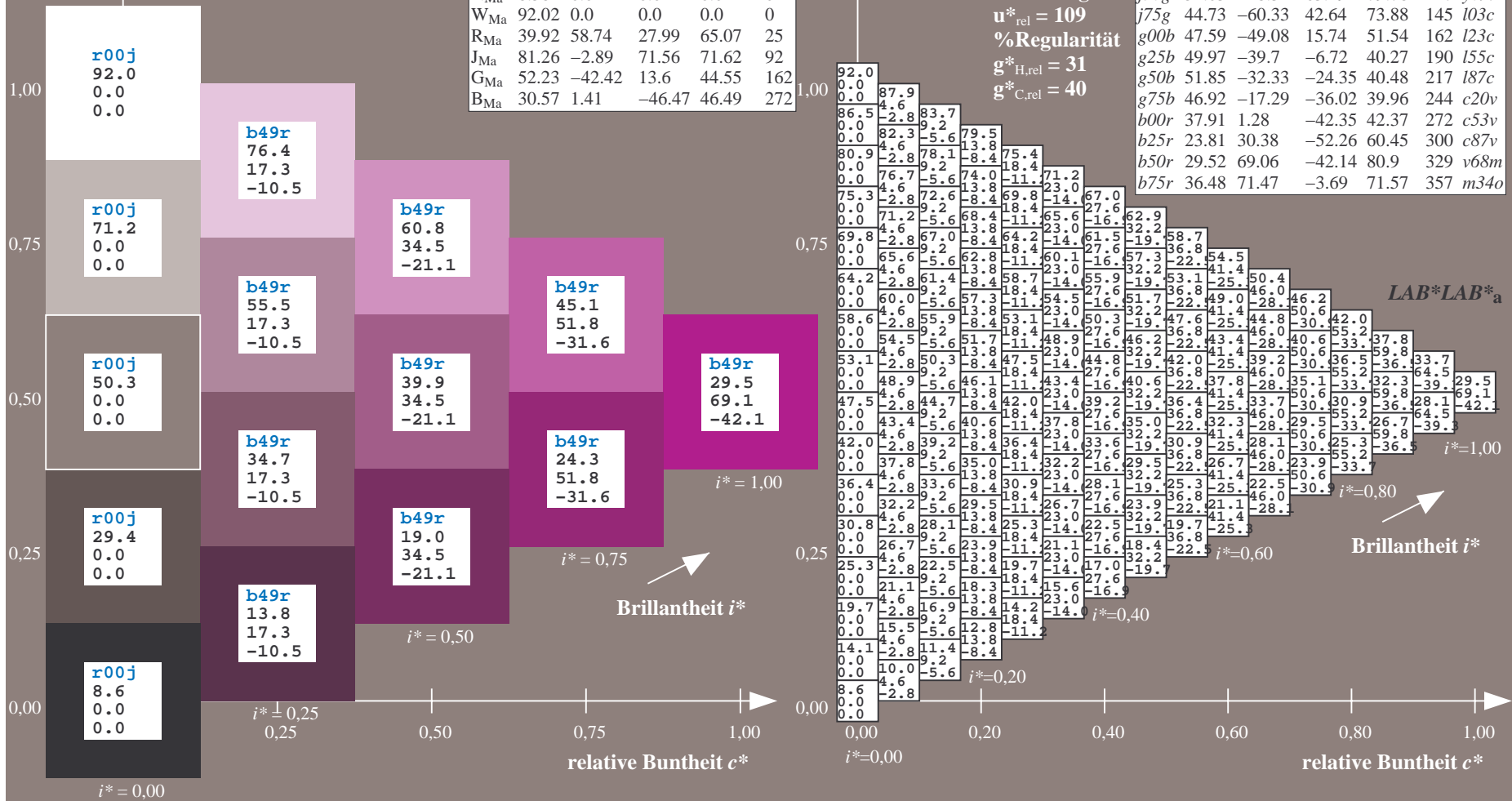
$lab^*rgb^*_Ma: 1.0\ 0.0\ 1.0$

$lab^*olv^*_Ma: 0.69\ 0.0\ 1.0$

Dreiecks-Helligkeit t^*

FRS09_92a; adaptierte CIELAB-Daten

u^*_e	$L^*=L^*_a$	a^*_a	b^*_a	$C^*_{ab,a}$	$h^*_{ab,a}$	u^*_d
r00j	35.47	63.32	30.17	70.15	25	m81o
r25j	39.12	54.56	49.45	73.64	42	o10y
r50j	50.64	39.15	64.89	75.79	59	o40y
r75j	64.01	21.26	82.83	85.52	76	o69y
j00g	83.18	-4.38	108.53	108.62	92	o98y
j25g	66.73	-29.89	83.06	88.28	110	y34l
j50g	54.03	-48.31	63.49	79.78	127	y69l
j75g	44.73	-60.33	42.64	73.88	145	l03c
g00b	47.59	-49.08	15.74	51.54	162	l23c
g25b	49.97	-39.7	-6.72	40.27	190	l55c
g50b	51.85	-32.33	-24.35	40.48	217	l87c
g75b	46.92	-17.29	-36.02	39.96	244	c20v
b00r	37.91	1.28	-42.35	42.37	272	c53v
b25r	23.81	30.38	-52.26	60.45	300	c87v
b50r	29.52	69.06	-42.14	80.9	329	v68m
b75r	36.48	71.47	-3.69	71.57	357	m34o



Ein und Ausgabe: Farbmatisches Drucker-Reflektiv-System FRS09_92a für relativen CIELAB-Bunton $h^* = lab^*h^* = h_{ab}/360 = 0.992$

Daten für jede Farbe:

lab^*ch^* und lab^*icu^*

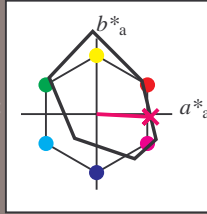
Buntontexte:

$u^*_e = b75r$ $u^*_d = m34o$

Kontrastreduzierungsfaktor:

$c_R = 1.0$

Dreiecks-Helligkeit t^*



FRS09_92a; adaptierte CIELAB-Daten

u^*_e	$L^*=L^*_a$	a^*_a	b^*_a	$C^*_{ab,a}$	$h^*_{ab,a}$
O _{Ma}	35.06	60.0	44.0	74.4	36
Y _{Ma}	83.77	-5.17	109.32	109.44	93
L _{Ma}	44.13	-62.67	48.24	79.09	142
C _{Ma}	52.66	-29.14	-31.99	43.27	228
V _{Ma}	14.15	50.3	-59.04	77.57	310
M _{Ma}	37.37	78.64	-33.5	85.48	337
N _{Ma}	8.58	0.0	0.0	0.0	0
W _{Ma}	92.02	0.0	0.0	0.0	0
R _{Ma}	39.92	58.74	27.99	65.07	25
J _{Ma}	81.26	-2.89	71.56	71.62	92
G _{Ma}	52.23	-42.42	13.6	44.55	162
B _{Ma}	30.57	1.41	-46.47	46.49	272

$u^*_e = b75r$
 $LAB^*LAB^*_a$

Daten für Maximalfarbe (Ma):

$LAB^*LAB^*_Ma: 36\ 71\ -4$

$LAB^*LCH^*_Ma: 36\ 72\ 357$

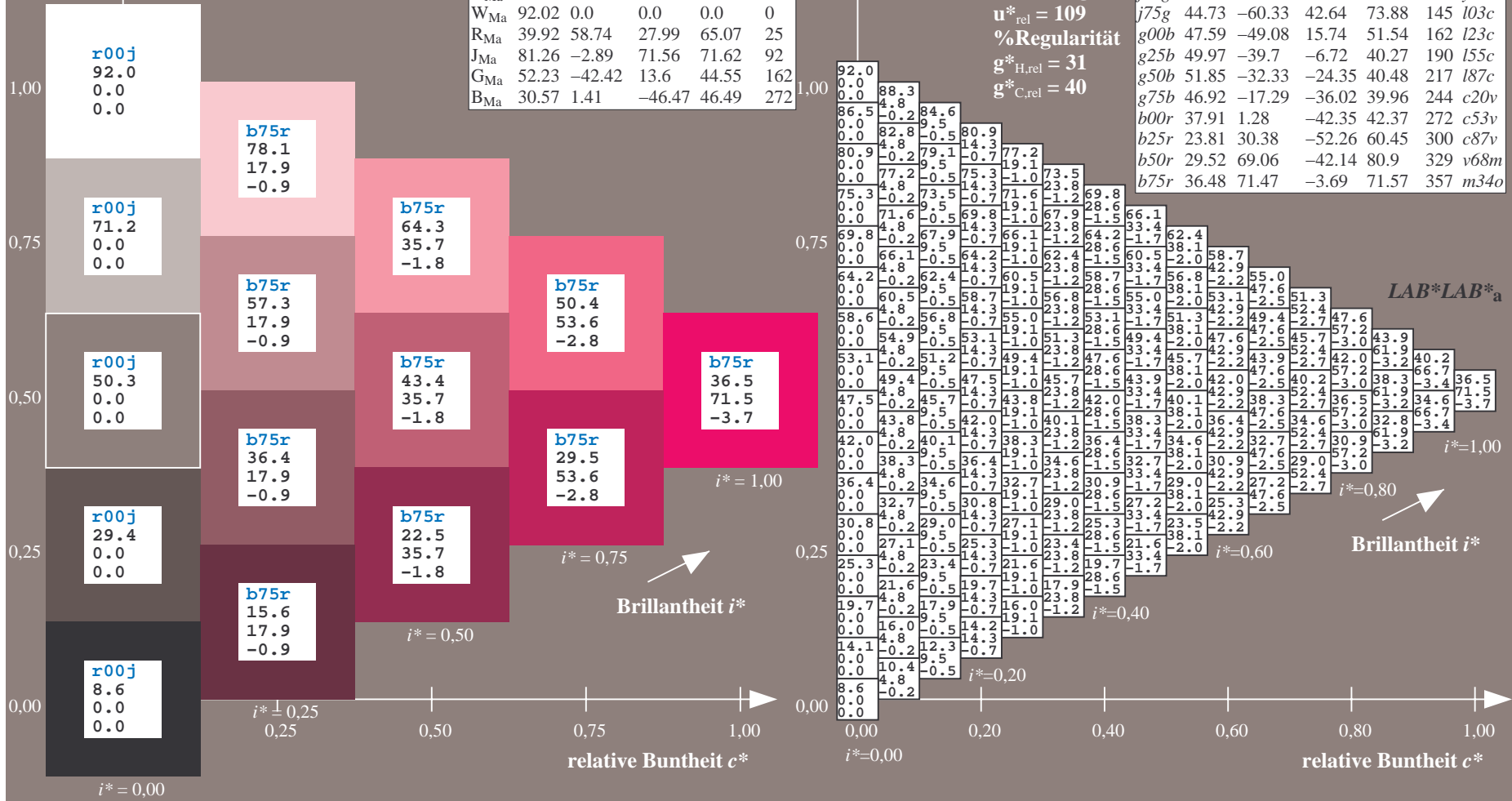
$lab^*rgb^*_Ma: 1.0\ 0.0\ 0.5$

$lab^*olv^*_Ma: 1.0\ 0.0\ 0.66$

Dreiecks-Helligkeit t^*

FRS09_92a; adaptierte CIELAB-Daten

u^*_e	$L^*=L^*_a$	a^*_a	b^*_a	$C^*_{ab,a}$	$h^*_{ab,a}$	u^*_d
r00j	35.47	63.32	30.17	70.15	25	m81o
r25j	39.12	54.56	49.45	73.64	42	o10y
r50j	50.64	39.15	64.89	75.79	59	o40y
r75j	64.01	21.26	82.83	85.52	76	o69y
j00g	83.18	-4.38	108.53	108.62	92	o98y
j25g	66.73	-29.89	83.06	88.28	110	y34l
j50g	54.03	-48.31	63.49	79.78	127	y69l
j75g	44.73	-60.33	42.64	73.88	145	l03c
g00b	47.59	-49.08	15.74	51.54	162	l23c
g25b	49.97	-39.7	-6.72	40.27	190	l55c
g50b	51.85	-32.33	-24.35	40.48	217	l87c
g75b	46.92	-17.29	-36.02	39.96	244	c20v
b00r	37.91	1.28	-42.35	42.37	272	c53v
b25r	23.81	30.38	-52.26	60.45	300	c87v
b50r	29.52	69.06	-42.14	80.9	329	v68m
b75r	36.48	71.47	-3.69	71.57	357	m34o



Ein und Ausgabe:
 Farbmetrisches Drucker-Reflektiv-System FRS09_92a

Daten für jede Farbe:

u^*_e und Nummer *Nr.* = 00 .. 15

Elementar-Bunttextext:

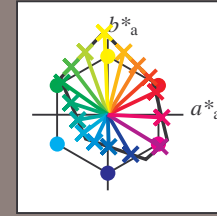
$u^*_e = 16$ Bunttoene *r00j, r25j, ..., b75r*

Kontrastreduzierungsfaktor:

$c_R = 1.0$

FRS09_92a; adaptierte CIELAB-Daten

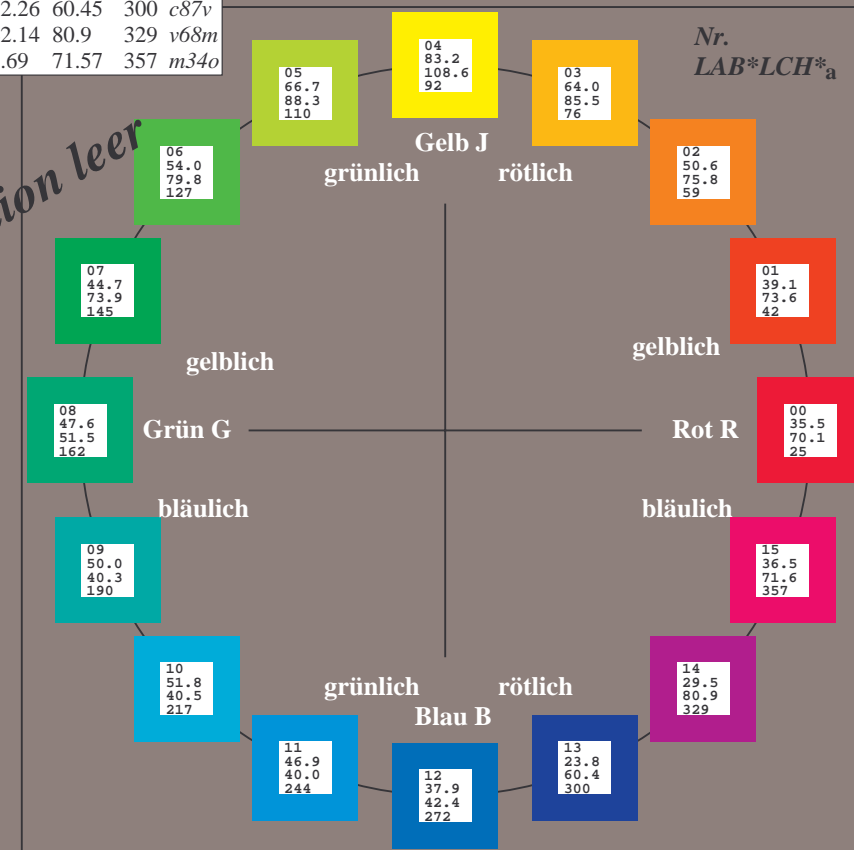
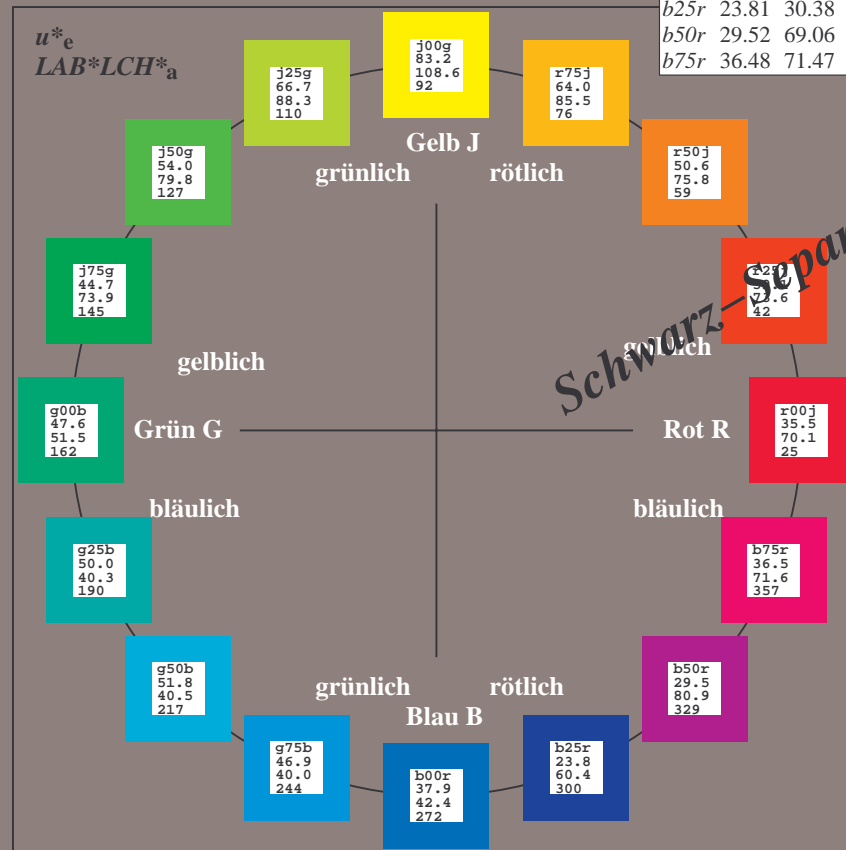
u^*_e	$L^*=L^*_a$	a^*_a	b^*_a	$C^*_{ab,a}$	$h^*_{ab,a}$	u^*_d
r00j	35.47	63.32	30.17	70.15	25	m81o
r25j	39.12	54.56	49.45	73.64	42	o10y
r50j	50.64	39.15	64.89	75.79	59	o40y
r75j	64.01	21.26	82.83	85.52	76	o69y
j00g	83.18	-4.38	108.53	108.62	92	o98y
j25g	66.73	-29.89	83.06	88.28	110	y34l
j50g	54.03	-48.31	63.49	79.78	127	y69l
j75g	44.73	-60.33	42.64	73.88	145	l03c
g00b	47.59	-49.08	15.74	51.54	162	l23c
g25b	49.97	-39.7	-6.72	40.27	190	l55c
g50b	51.85	-32.33	-24.35	40.48	217	l87c
g75b	46.92	-17.29	-36.02	39.96	244	c20v
b00r	37.91	1.28	-42.35	42.37	272	c53v
b25r	23.81	30.38	-52.26	60.45	300	c87v
b50r	29.52	69.06	-42.14	80.9	329	v68m
b75r	36.48	71.47	-3.69	71.57	357	m34o



%Umfang
 $u^*_{rel} = 109$
 %Regularität
 $g^*_{H,rel} = 31$
 $g^*_{C,rel} = 40$

FRS09_92a; adaptierte CIELAB-Daten

Name	$L^*=L^*_a$	a^*_a	b^*_a	$C^*_{ab,a}$	$h^*_{ab,a}$
OMa	35.06	60.0	44.0	74.4	36
YMa	83.77	-5.17	109.32	109.44	93
LMa	44.13	-62.67	48.24	79.09	142
CMa	52.66	-29.14	-31.99	43.27	228
VMa	14.15	50.3	-59.04	77.57	310
MMa	37.37	78.64	-33.5	85.48	337
NMa	8.58	0.0	0.0	0.0	0
WMa	92.02	0.0	0.0	0.0	0
RCIE	39.92	58.74	27.99	65.07	25
JCIE	81.26	-2.89	71.56	71.62	92
GCIE	52.23	-42.42	13.6	44.55	162
BCIE	30.57	1.41	-46.47	46.49	272



Ein und Ausgabe: Farbmatisches Drucker-Reflektiv-System FRS09_92a für relativen CIELAB-Bunton $h^* = lab \cdot h^* = h_{ab}/360 = 0.071$

Daten für jede Farbe:

$lab \cdot tch^*$ und $lab \cdot icu^*$

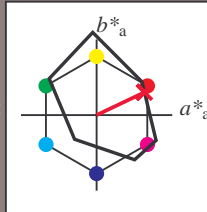
Buntontexte:

$u^*_e = r00j$ $u^*_d = m81o$

Kontrastreduzierungsfaktor:

$c_R = 1.0$

Dreiecks-Helligkeit t^*



FRS09_92a; adaptierte CIELAB-Daten

	u^*_e	$L^*=L^*_a$	a^*_a	b^*_a	$C^*_{ab,a}$	$h^*_{ab,a}$
O _{Ma}	35.06	60.0	44.0	74.4	36	
Y _{Ma}	83.77	-5.17	109.32	109.44	93	
L _{Ma}	44.13	-62.67	48.24	79.09	142	
C _{Ma}	52.66	-29.14	-31.99	43.27	228	
V _{Ma}	14.15	50.3	-59.04	77.57	310	
M _{Ma}	37.37	78.64	-33.5	85.48	337	
N _{Ma}	8.58	0.0	0.0	0.0	0	
W _{Ma}	92.02	0.0	0.0	0.0	0	
R _{Ma}	39.92	58.74	27.99	65.07	25	
J _{Ma}	81.26	-2.89	71.56	71.62	92	
G _{Ma}	52.23	-42.42	13.6	44.55	162	
B _{Ma}	30.57	1.41	-46.47	46.49	272	

$u^*_e = r00j$
 $LAB \cdot LCH^*_a$

Daten für Maximalfarbe (Ma):

$LAB \cdot LAB^*_Ma: 35 \ 63 \ 30$

$LAB \cdot LCH^*_Ma: 35 \ 70 \ 25$

$lab \cdot rgb^*_Ma: 1.0 \ 0.0 \ 0.0$

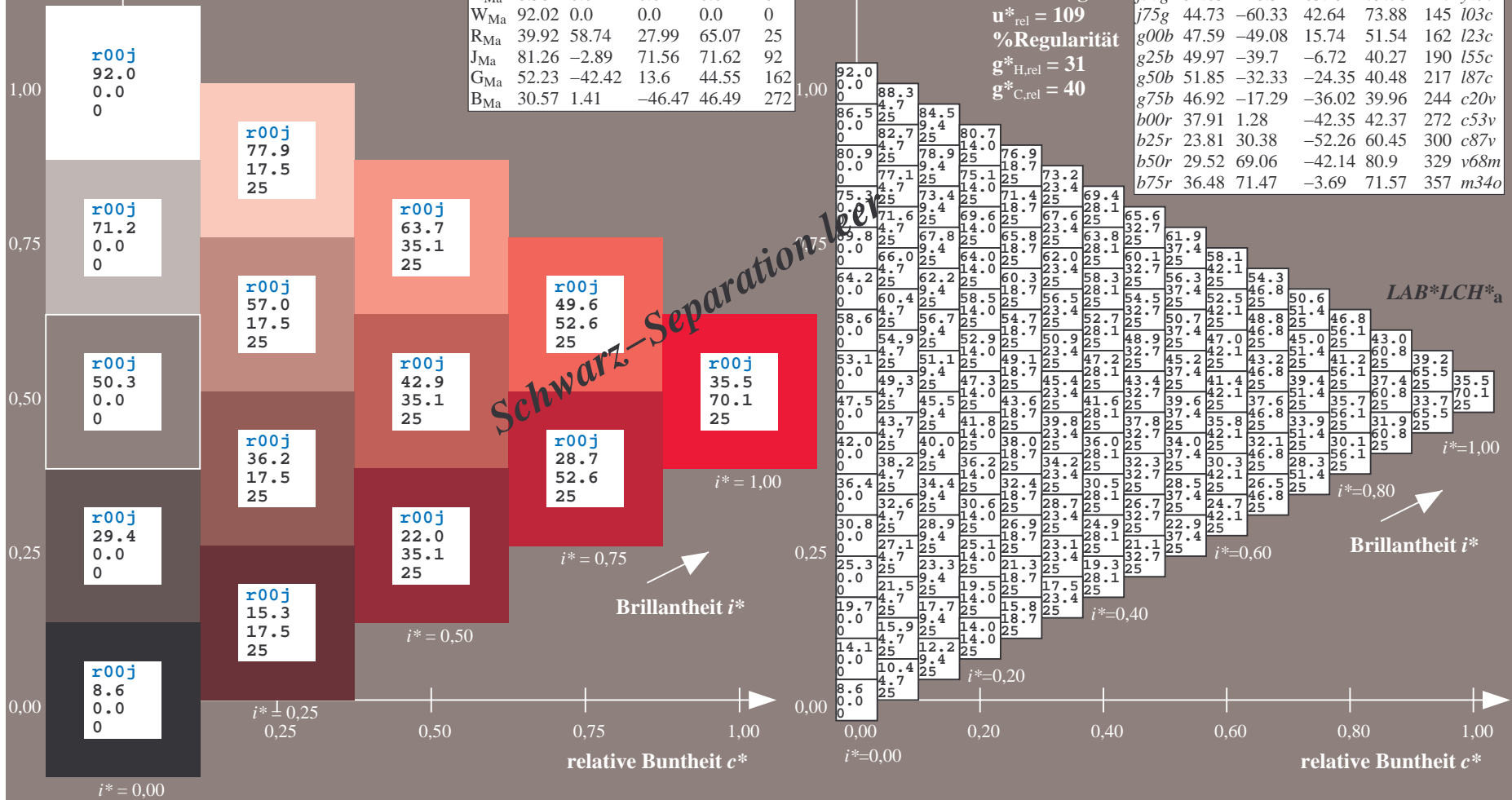
$lab \cdot olv^*_Ma: 1.0 \ 0.0 \ 0.18$

Dreiecks-Helligkeit t^*

FRS09_92a; adaptierte CIELAB-Daten

	u^*_e	$L^*=L^*_a$	a^*_a	b^*_a	$C^*_{ab,a}$	$h^*_{ab,a}$	u^*_d
r00j	35.47	63.32	30.17	70.15	25	m81o	
r25j	39.12	54.56	49.45	73.64	42	o10y	
r50j	50.64	39.15	64.89	75.79	59	o40y	
r75j	64.01	21.26	82.83	85.52	76	o69y	
j00g	83.18	-4.38	108.53	108.62	92	o98y	
j25g	66.73	-29.89	83.06	88.28	110	y34l	
j50g	54.03	-48.31	63.49	79.78	127	y69l	
j75g	44.73	-60.33	42.64	73.88	145	162c	
g00b	47.59	-49.08	15.74	51.54	162	l23c	
g25b	49.97	-39.7	-6.72	40.27	190	l55c	
g50b	51.85	-32.33	-24.35	40.48	217	l87c	
g75b	46.92	-17.29	-36.02	39.96	244	c20v	
b00r	37.91	1.28	-42.35	42.37	272	c53v	
b25r	23.81	30.38	-52.26	60.45	300	c87v	
b50r	29.52	69.06	-42.14	80.9	329	v68m	
b75r	36.48	71.47	-3.69	71.57	357	m34o	

%Umfang
 $u^*_{rel} = 109$
%Regularität
 $g^*_{H,rel} = 31$
 $g^*_{C,rel} = 40$



Schwarz-Separation

Ein und Ausgabe: Farbmatisches Drucker-Reflektiv-System FRS09_92a für relativen CIELAB-Bunton $h^* = lab^*h^* = h_{ab}/360 = 0.117$

$u^*_e = r25j$
 $LAB^*LCH^*_a$

Daten für jede Farbe:

lab^*ch^* und lab^*icu^*

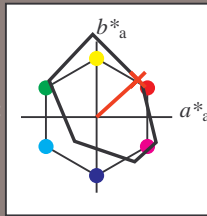
Buntontexte:

$u^*_e = r25j$ $u^*_d = o10y$

Kontrastreduzierungsfaktor:

$c_R = 1.0$

Dreiecks-Helligkeit t^*



FRS09_92a; adaptierte CIELAB-Daten

u^*_e	$L^*=L^*_a$	a^*_a	b^*_a	$C^*_{ab,a}$	$h^*_{ab,a}$
O _{Ma}	35.06	60.0	44.0	74.4	36
Y _{Ma}	83.77	-5.17	109.32	109.44	93
L _{Ma}	44.13	-62.67	48.24	79.09	142
C _{Ma}	52.66	-29.14	-31.99	43.27	228
V _{Ma}	14.15	50.3	-59.04	77.57	310
M _{Ma}	37.37	78.64	-33.5	85.48	337
N _{Ma}	8.58	0.0	0.0	0.0	0
W _{Ma}	92.02	0.0	0.0	0.0	0
R _{Ma}	39.92	58.74	27.99	65.07	25
J _{Ma}	81.26	-2.89	71.56	71.62	92
G _{Ma}	52.23	-42.42	13.6	44.55	162
B _{Ma}	30.57	1.41	-46.47	46.49	272

Daten für Maximalfarbe (Ma):

$LAB^*LAB^*_Ma: 39\ 55\ 49$

$LAB^*LCH^*_Ma: 39\ 74\ 42$

$lab^*rgb^*_Ma: 1.0\ 0.25\ 0.0$

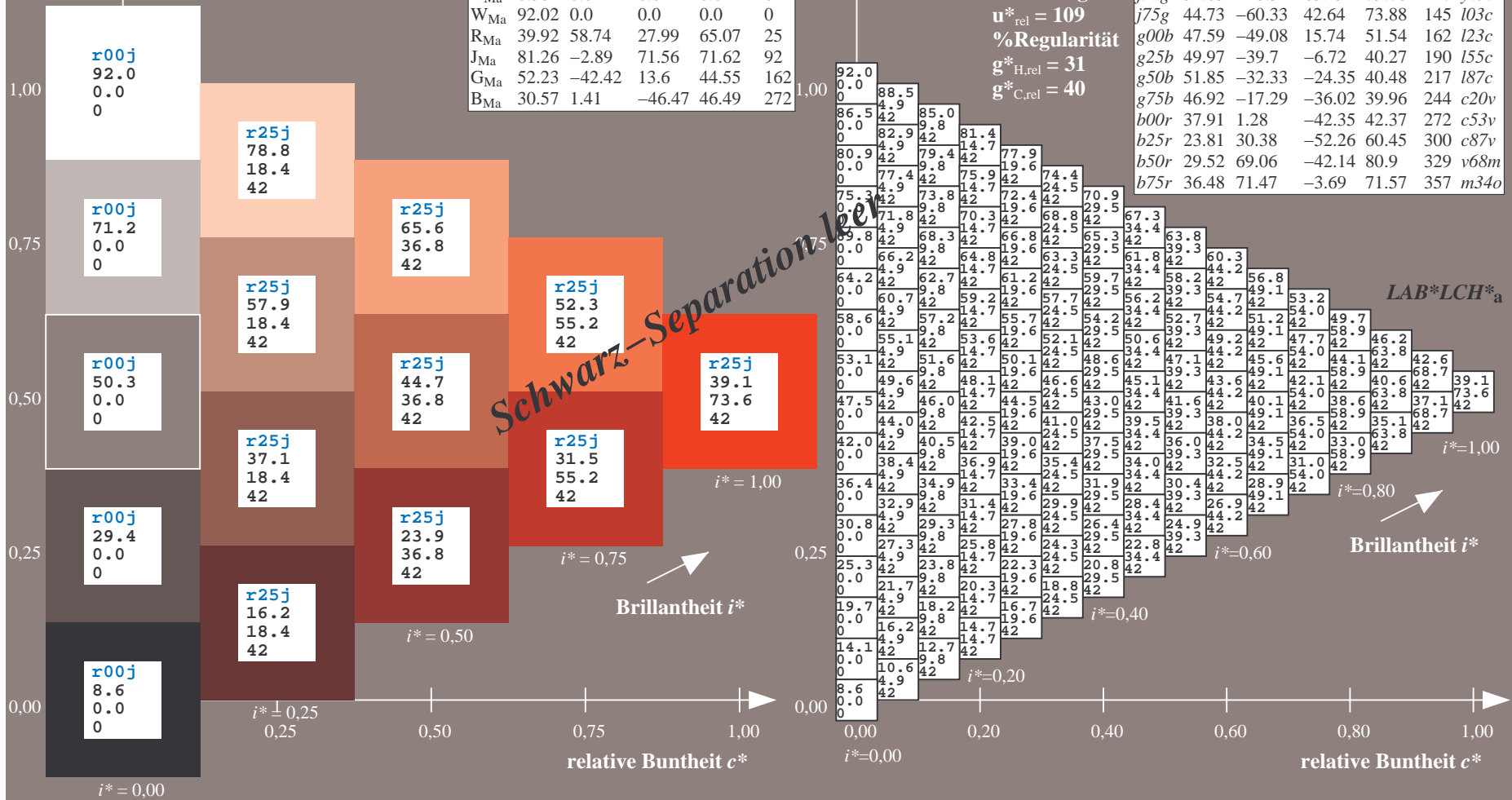
$lab^*olv^*_Ma: 1.0\ 0.11\ 0.0$

Dreiecks-Helligkeit t^*

FRS09_92a; adaptierte CIELAB-Daten

u^*_e	$L^*=L^*_a$	a^*_a	b^*_a	$C^*_{ab,a}$	$h^*_{ab,a}$	u^*_d
r00j	35.47	63.32	30.17	70.15	25	m81o
r25j	39.12	54.56	49.45	73.64	42	o10y
r50j	50.64	39.15	64.89	75.79	59	o40y
r75j	64.01	21.26	82.83	85.52	76	o69y
j00g	83.18	-4.38	108.53	108.62	92	o98y
j25g	66.73	-29.89	83.06	88.28	110	y34l
j50g	54.03	-48.31	63.49	79.78	127	y69l
j75g	44.73	-60.33	42.64	73.88	145	103c
g00b	47.59	-49.08	15.74	51.54	162	l23c
g25b	49.97	-39.7	-6.72	40.27	190	l55c
g50b	51.85	-32.33	-24.35	40.48	217	l87c
g75b	46.92	-17.29	-36.02	39.96	244	c20v
b00r	37.91	1.28	-42.35	42.37	272	c53v
b25r	23.81	30.38	-52.26	60.45	300	c87v
b50r	29.52	69.06	-42.14	80.9	329	v68m
b75r	36.48	71.47	-3.69	71.57	357	m34o

%Umfang
 $u^*_{rel} = 109$
%Regularität
 $g^*_{H,rel} = 31$
 $g^*_{C,rel} = 40$



Ein und Ausgabe: Farbmatisches Drucker-Reflektiv-System FRS09_92a für relativen CIELAB-Bunton $h^* = lab^*h^* = h_{ab}/360 = 0.164$

$u^*_e = r50j$
 $LAB^*LCH^*_a$

Daten für jede Farbe:

lab^*ch^* und lab^*icu^*

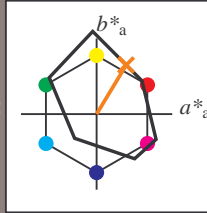
Buntontexte:

$u^*_e = r50j$ $u^*_d = o40y$

Kontrastreduzierungsfaktor:

$c_R = 1.0$

Dreiecks-Helligkeit t^*



FRS09_92a; adaptierte CIELAB-Daten

u^*_e	$L^*=L^*_a$	a^*_a	b^*_a	$C^*_{ab,a}$	$h^*_{ab,a}$
O _{Ma}	35.06	60.0	44.0	74.4	36
Y _{Ma}	83.77	-5.17	109.32	109.44	93
L _{Ma}	44.13	-62.67	48.24	79.09	142
C _{Ma}	52.66	-29.14	-31.99	43.27	228
V _{Ma}	14.15	50.3	-59.04	77.57	310
M _{Ma}	37.37	78.64	-33.5	85.48	337
N _{Ma}	8.58	0.0	0.0	0.0	0
W _{Ma}	92.02	0.0	0.0	0.0	0
R _{Ma}	39.92	58.74	27.99	65.07	25
J _{Ma}	81.26	-2.89	71.56	71.62	92
G _{Ma}	52.23	-42.42	13.6	44.55	162
B _{Ma}	30.57	1.41	-46.47	46.49	272

Daten für Maximalfarbe (Ma):

$LAB^*LAB^*_Ma: 51\ 39\ 65$

$LAB^*LCH^*_Ma: 51\ 76\ 58$

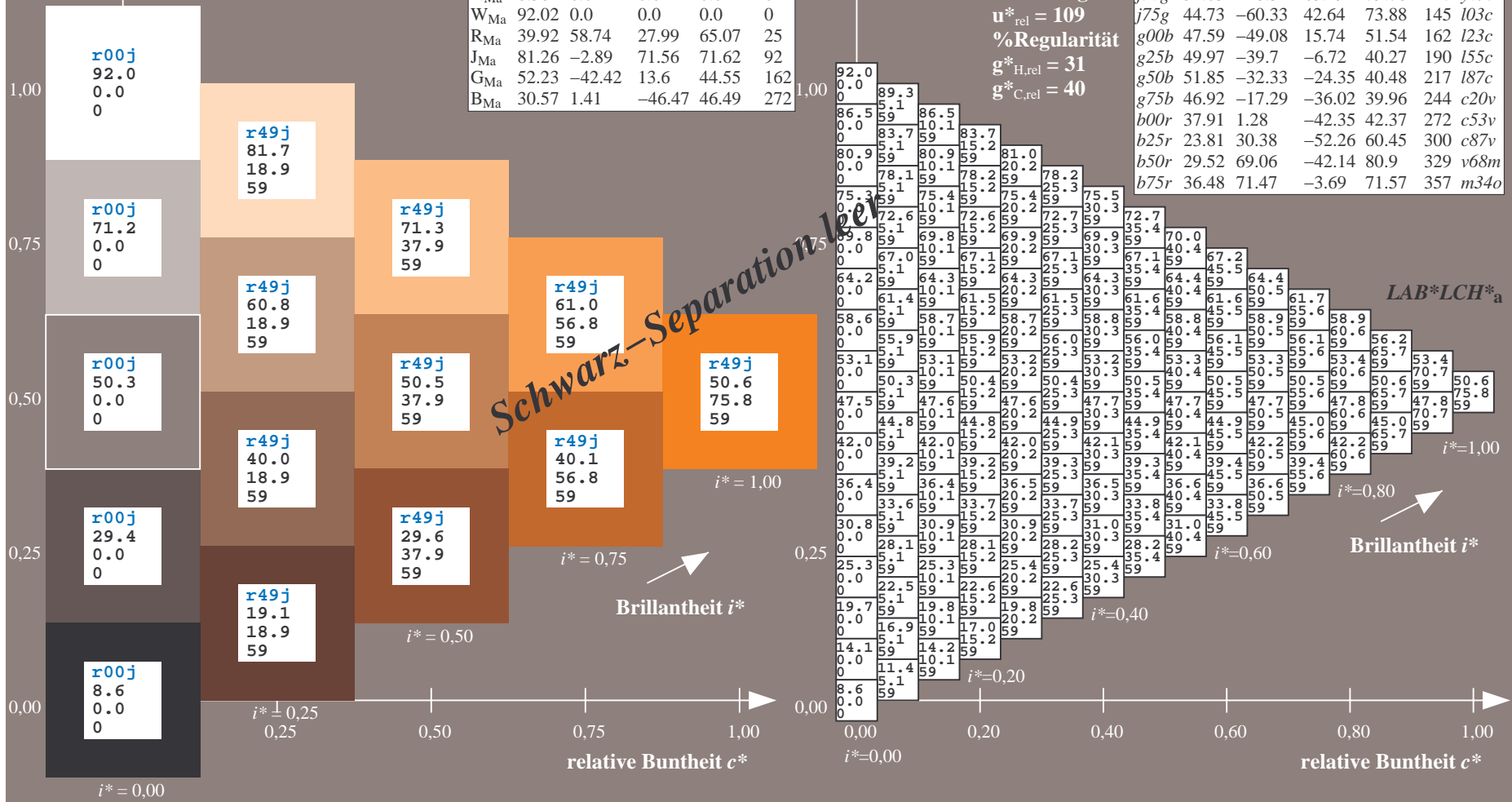
$lab^*rgb^*_Ma: 1.0\ 0.5\ 0.0$

$lab^*olv^*_Ma: 1.0\ 0.4\ 0.0$

Dreiecks-Helligkeit t^*

FRS09_92a; adaptierte CIELAB-Daten

u^*_e	$L^*=L^*_a$	a^*_a	b^*_a	$C^*_{ab,a}$	$h^*_{ab,a}$	u^*_d
r00j	35.47	63.32	30.17	70.15	25	m81o
r25j	39.12	54.56	49.45	73.64	42	o10y
r50j	50.64	39.15	64.89	75.79	59	o40y
r75j	64.01	21.26	82.83	85.52	76	o69y
j00g	83.18	-4.38	108.53	108.62	92	o98y
j25g	66.73	-29.89	83.06	88.28	110	y34l
j50g	54.03	-48.31	63.49	79.78	127	y69l
j75g	44.73	-60.33	42.64	73.88	145	103c
g00b	47.59	-49.08	15.74	51.54	162	l23c
g25b	49.97	-39.7	-6.72	40.27	190	l55c
g50b	51.85	-32.33	-24.35	40.48	217	l87c
g75b	46.92	-17.29	-36.02	39.96	244	c20v
b00r	37.91	1.28	-42.35	42.37	272	c53v
b25r	23.81	30.38	-52.26	60.45	300	c87v
b50r	29.52	69.06	-42.14	80.9	329	v68m
b75r	36.48	71.47	-3.69	71.57	357	m34o



Ein und Ausgabe: Farbmatisches Drucker-Reflektiv-System FRS09_92a für relativen CIELAB-Bunton $h^* = lab^*h^* = h_{ab}/360 = 0.21$

$u^*_e = r75j$
LAB*LCH*_a

Daten für jede Farbe:

lab^*ch^* und lab^*icu^*

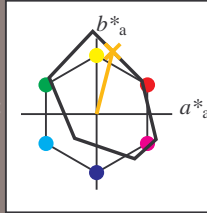
Buntontexte:

$u^*_e = r75j$ $u^*_d = o69y$

Kontrastreduzierungsfaktor:

$c_R = 1.0$

Dreiecks-Helligkeit t^*



FRS09_92a; adaptierte CIELAB-Daten

	u^*_e	$L^*=L^*_a$	a^*_a	b^*_a	$C^*_{ab,a}$	$h^*_{ab,a}$
O _{Ma}	35.06	60.0	44.0	74.4	36	
Y _{Ma}	83.77	-5.17	109.32	109.44	93	
L _{Ma}	44.13	-62.67	48.24	79.09	142	
C _{Ma}	52.66	-29.14	-31.99	43.27	228	
V _{Ma}	14.15	50.3	-59.04	77.57	310	
M _{Ma}	37.37	78.64	-33.5	85.48	337	
N _{Ma}	8.58	0.0	0.0	0.0	0	
W _{Ma}	92.02	0.0	0.0	0.0	0	
R _{Ma}	39.92	58.74	27.99	65.07	25	
J _{Ma}	81.26	-2.89	71.56	71.62	92	
G _{Ma}	52.23	-42.42	13.6	44.55	162	
B _{Ma}	30.57	1.41	-46.47	46.49	272	

Daten für Maximalfarbe (Ma):

LAB*LAB*_Ma: 64 21 83

LAB*LCH*_Ma: 64 86 75

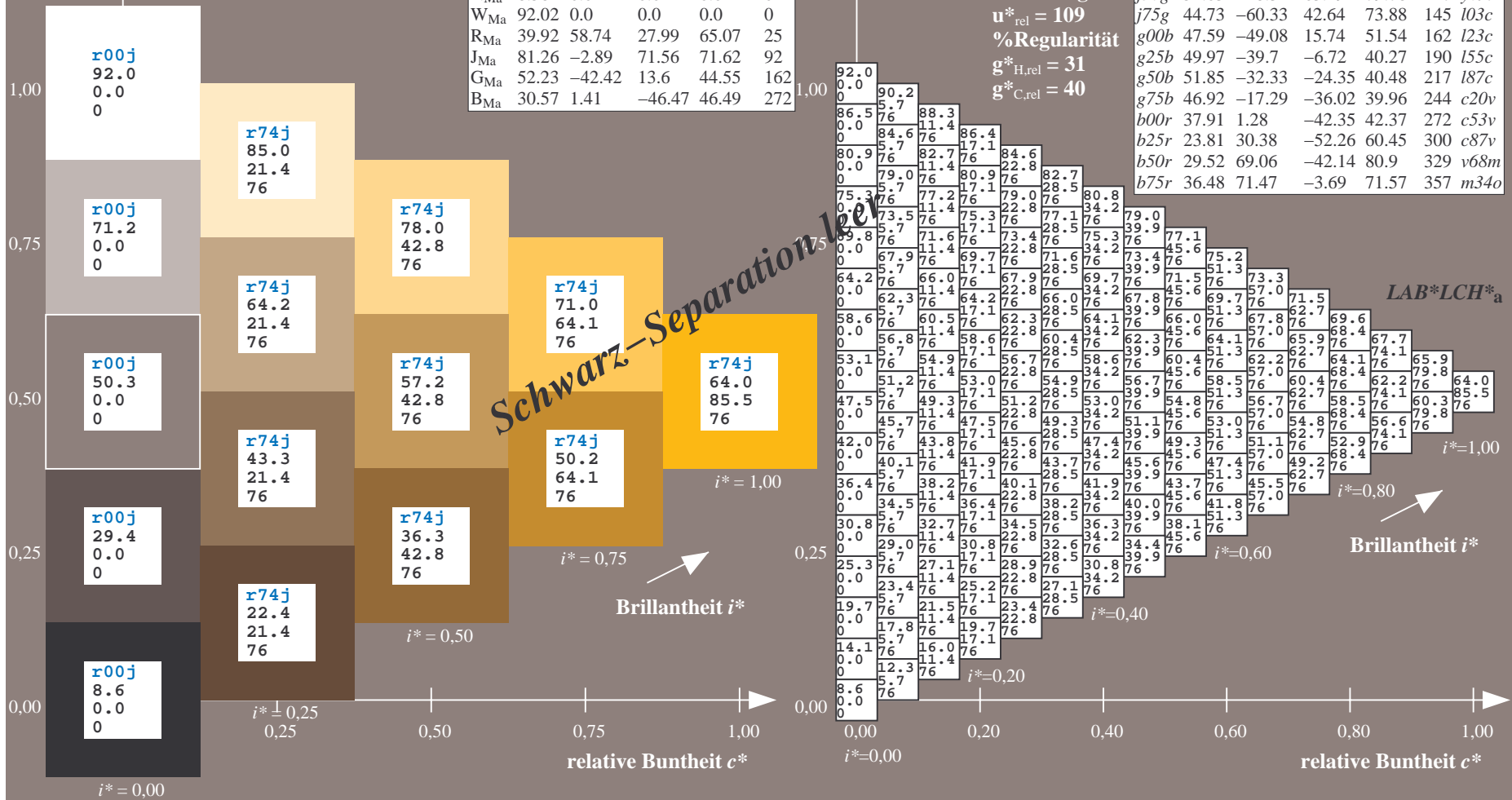
lab*rgb*_Ma: 1.0 0.75 0.0

lab*olv*_Ma: 1.0 0.7 0.0

Dreiecks-Helligkeit t^*

FRS09_92a; adaptierte CIELAB-Daten

	u^*_e	$L^*=L^*_a$	a^*_a	b^*_a	$C^*_{ab,a}$	$h^*_{ab,a}$	u^*_d
r00j	35.47	63.32	30.17	70.15	25	m81o	
r25j	39.12	54.56	49.45	73.64	42	o10y	
r50j	50.64	39.15	64.89	75.79	59	o40y	
r75j	64.01	21.26	82.83	85.52	76	o69y	
j00g	83.18	-4.38	108.53	108.62	92	o98y	
j25g	66.73	-29.89	83.06	88.28	110	y34l	
j50g	54.03	-48.31	63.49	79.78	127	y69l	
j75g	44.73	-60.33	42.64	73.88	145	103c	
g00b	47.59	-49.08	15.74	51.54	162	i23c	
g25b	49.97	-39.7	-6.72	40.27	190	i55c	
g50b	51.85	-32.33	-24.35	40.48	217	i87c	
g75b	46.92	-17.29	-36.02	39.96	244	c20v	
b00r	37.91	1.28	-42.35	42.37	272	c53v	
b25r	23.81	30.38	-52.26	60.45	300	c87v	
b50r	29.52	69.06	-42.14	80.9	329	v68m	
b75r	36.48	71.47	-3.69	71.57	357	m34o	



Ein und Ausgabe: Farbmatisches Drucker-Reflektiv-System FRS09_92a für relativen CIELAB-Bunton $h^* = lab^*h^* = h_{ab}/360 = 0.256$

$u^*_e = j00g$
 $LAB^*LCH^*_a$

Daten für jede Farbe:

lab^*tch^* und lab^*icu^*

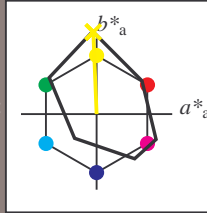
Buntontexte:

$u^*_e = j00g$ $u^*_d = o98y$

Kontrastreduzierungsfaktor:

$c_R = 1.0$

Dreiecks-Helligkeit t^*



FRS09_92a; adaptierte CIELAB-Daten

u^*_e	$L^*=L^*_a$	a^*_a	b^*_a	$C^*_{ab,a}$	$h^*_{ab,a}$
O _{Ma}	35.06	60.0	44.0	74.4	36
Y _{Ma}	83.77	-5.17	109.32	109.44	93
L _{Ma}	44.13	-62.67	48.24	79.09	142
C _{Ma}	52.66	-29.14	-31.99	43.27	228
V _{Ma}	14.15	50.3	-59.04	77.57	310
M _{Ma}	37.37	78.64	-33.5	85.48	337
N _{Ma}	8.58	0.0	0.0	0.0	0
W _{Ma}	92.02	0.0	0.0	0.0	0
R _{Ma}	39.92	58.74	27.99	65.07	25
J _{Ma}	81.26	-2.89	71.56	71.62	92
G _{Ma}	52.23	-42.42	13.6	44.55	162
B _{Ma}	30.57	1.41	-46.47	46.49	272

Daten für Maximalfarbe (Ma):

$LAB^*LAB^*_Ma: 83 -4 109$

$LAB^*LCH^*_Ma: 83 109 92$

$lab^*rgb^*_Ma: 1.0 1.0 0.0$

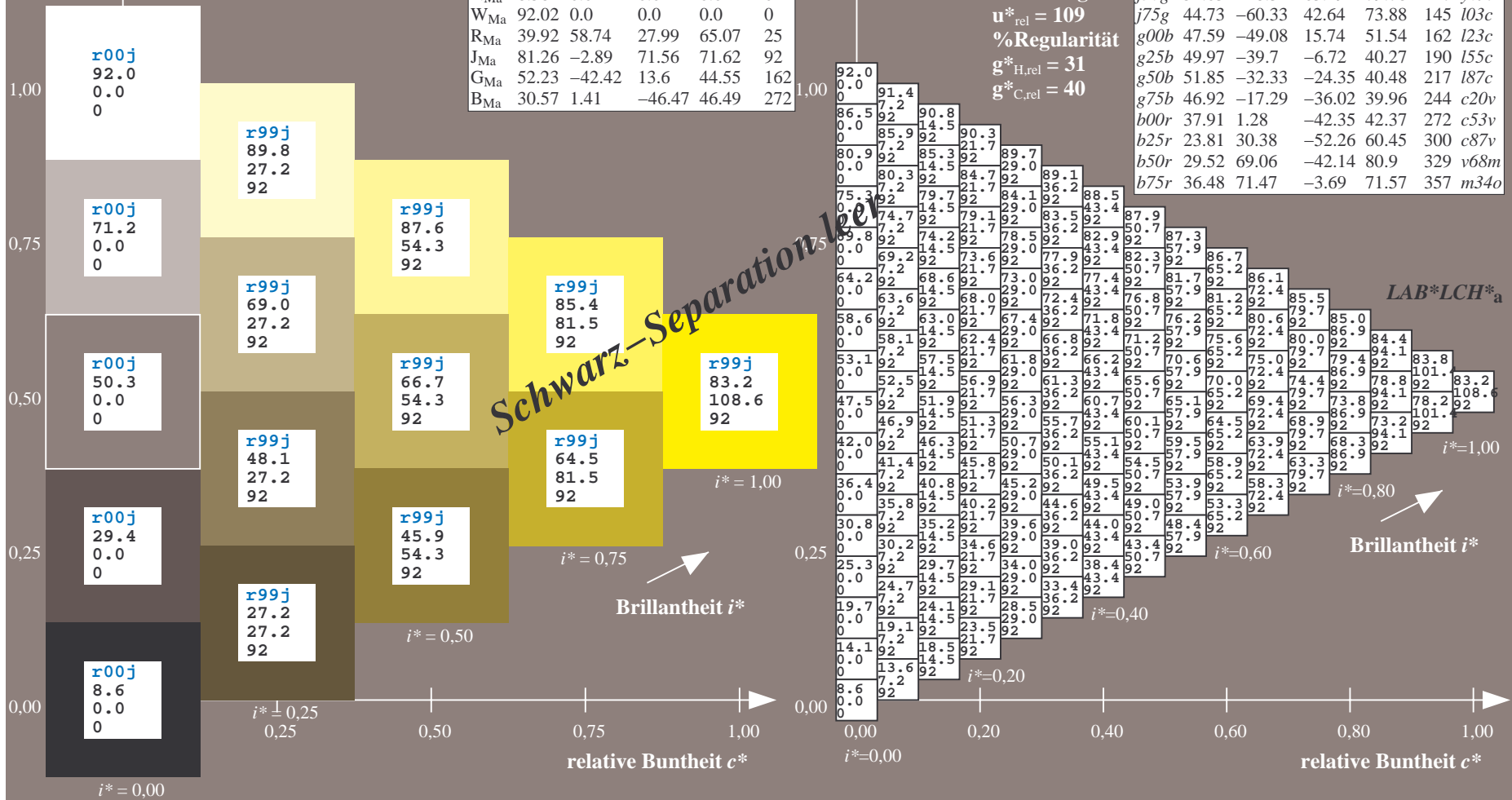
$lab^*olv^*_Ma: 1.0 0.99 0.0$

Dreiecks-Helligkeit t^*

FRS09_92a; adaptierte CIELAB-Daten

u^*_e	$L^*=L^*_a$	a^*_a	b^*_a	$C^*_{ab,a}$	$h^*_{ab,a}$	u^*_d
r00j	35.47	63.32	30.17	70.15	25	m81o
r25j	39.12	54.56	49.45	73.64	42	o10y
r50j	50.64	39.15	64.89	75.79	59	o40y
r75j	64.01	21.26	82.83	85.52	76	o69y
j00g	83.18	-4.38	108.53	108.62	92	o98y
j25g	66.73	-29.89	83.06	88.28	110	y34l
j50g	54.03	-48.31	63.49	79.78	127	y69l
j75g	44.73	-60.33	42.64	73.88	145	l03c
g00b	47.59	-49.08	15.74	51.54	162	i23c
g25b	49.97	-39.7	-6.72	40.27	190	i55c
g50b	51.85	-32.33	-24.35	40.48	217	i87c
g75b	46.92	-17.29	-36.02	39.96	244	c20v
b00r	37.91	1.28	-42.35	42.37	272	c53v
b25r	23.81	30.38	-52.26	60.45	300	c87v
b50r	29.52	69.06	-42.14	80.9	329	v68m
b75r	36.48	71.47	-3.69	71.57	357	m34o

%Umfang
 $u^*_{rel} = 109$
%Regularität
 $g^*_{H,rel} = 31$
 $g^*_{C,rel} = 40$



Ein und Ausgabe: Farbmatisches Drucker-Reflektiv-System FRS09_92a für relativen CIELAB-Bunton $h^* = lab^*h^* = h_{ab}/360 = 0.305$

$u^*_e = j25g$
 $LAB^*LCH^*_a$

Daten für jede Farbe:

lab^*ch^* und lab^*icu^*

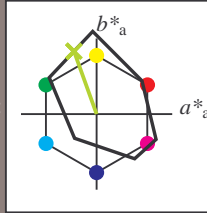
Buntontexte:

$u^*_e = j25g$ $u^*_d = y34l$

Kontrastreduzierungsfaktor:

$c_R = 1.0$

Dreiecks-Helligkeit t^*



FRS09_92a; adaptierte CIELAB-Daten

u^*_e	$L^*=L^*_a$	a^*_a	b^*_a	$C^*_{ab,a}$	$h^*_{ab,a}$
O _{Ma}	35.06	60.0	44.0	74.4	36
Y _{Ma}	83.77	-5.17	109.32	109.44	93
L _{Ma}	44.13	-62.67	48.24	79.09	142
C _{Ma}	52.66	-29.14	-31.99	43.27	228
V _{Ma}	14.15	50.3	-59.04	77.57	310
M _{Ma}	37.37	78.64	-33.5	85.48	337
N _{Ma}	8.58	0.0	0.0	0.0	0
W _{Ma}	92.02	0.0	0.0	0.0	0
R _{Ma}	39.92	58.74	27.99	65.07	25
J _{Ma}	81.26	-2.89	71.56	71.62	92
G _{Ma}	52.23	-42.42	13.6	44.55	162
B _{Ma}	30.57	1.41	-46.47	46.49	272

Daten für Maximalfarbe (Ma):

$LAB^*LAB^*_Ma: 67 -30 83$

$LAB^*LCH^*_Ma: 67 88 109$

$lab^*rgb^*_Ma: 0.75 1.0 0.0$

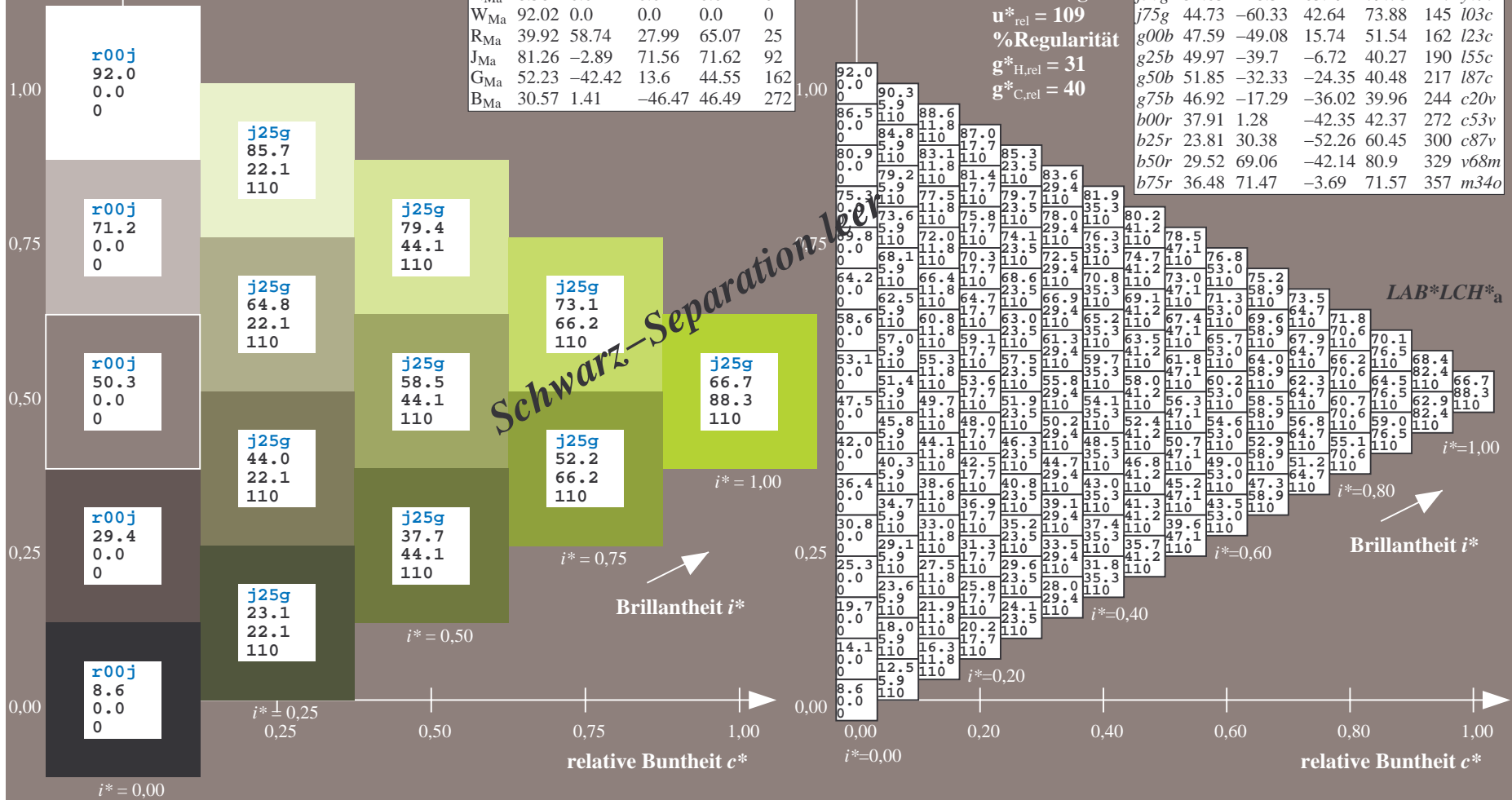
$lab^*olv^*_Ma: 0.66 1.0 0.0$

Dreiecks-Helligkeit t^*

FRS09_92a; adaptierte CIELAB-Daten

u^*_e	$L^*=L^*_a$	a^*_a	b^*_a	$C^*_{ab,a}$	$h^*_{ab,a}$	u^*_d
r00j	35.47	63.32	30.17	70.15	25	m81o
r25j	39.12	54.56	49.45	73.64	42	o10y
r50j	50.64	39.15	64.89	75.79	59	o40y
r75j	64.01	21.26	82.83	85.52	76	o69y
j00g	83.18	-4.38	108.53	108.62	92	o98y
j25g	66.73	-29.89	83.06	88.28	110	y34l
j50g	54.03	-48.31	63.49	79.78	127	y69l
j75g	44.73	-60.33	42.64	73.88	145	l03c
g00b	47.59	-49.08	15.74	51.54	162	i23c
g25b	49.97	-39.7	-6.72	40.27	190	i55c
g50b	51.85	-32.33	-24.35	40.48	217	i87c
g75b	46.92	-17.29	-36.02	39.96	244	c20v
b00r	37.91	1.28	-42.35	42.47	272	c53v
b25r	23.81	30.38	-52.26	60.45	300	c87v
b50r	29.52	69.06	-42.14	80.9	329	v68m
b75r	36.48	71.47	-3.69	71.57	357	m34o

%Umfang
 $u^*_{rel} = 109$
%Regularität
 $g^*_{H,rel} = 31$
 $g^*_{C,rel} = 40$



Ein und Ausgabe: Farbmatisches Drucker-Reflektiv-System FRS09_92a für relativen CIELAB-Bunton $h^* = lab^*h^* = h_{ab}/360 = 0.354$

$u^*_e = j50g$
 $LAB^*LCH^*_a$

Daten für jede Farbe:

lab^*tch^* und lab^*icu^*

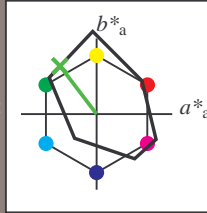
Buntontexte:

$u^*_e = j50g$ $u^*_d = y69l$

Kontrastreduzierungsfaktor:

$c_R = 1.0$

Dreiecks-Helligkeit t^*



FRS09_92a; adaptierte CIELAB-Daten

	u^*_e	$L^*=L^*_a$	a^*_a	b^*_a	$C^*_{ab,a}$	$h^*_{ab,a}$
O _{Ma}	35.06	60.0	44.0	74.4	36	
Y _{Ma}	83.77	-5.17	109.32	109.44	93	
L _{Ma}	44.13	-62.67	48.24	79.09	142	
C _{Ma}	52.66	-29.14	-31.99	43.27	228	
V _{Ma}	14.15	50.3	-59.04	77.57	310	
M _{Ma}	37.37	78.64	-33.5	85.48	337	
N _{Ma}	8.58	0.0	0.0	0.0	0	
W _{Ma}	92.02	0.0	0.0	0.0	0	
R _{Ma}	39.92	58.74	27.99	65.07	25	
J _{Ma}	81.26	-2.89	71.56	71.62	92	
G _{Ma}	52.23	-42.42	13.6	44.55	162	
B _{Ma}	30.57	1.41	-46.47	46.49	272	

Daten für Maximalfarbe (Ma):

$LAB^*LAB^*_Ma: 54 -48 63$

$LAB^*LCH^*_Ma: 54 80 127$

$lab^*rgb^*_Ma: 0.5 1.0 0.0$

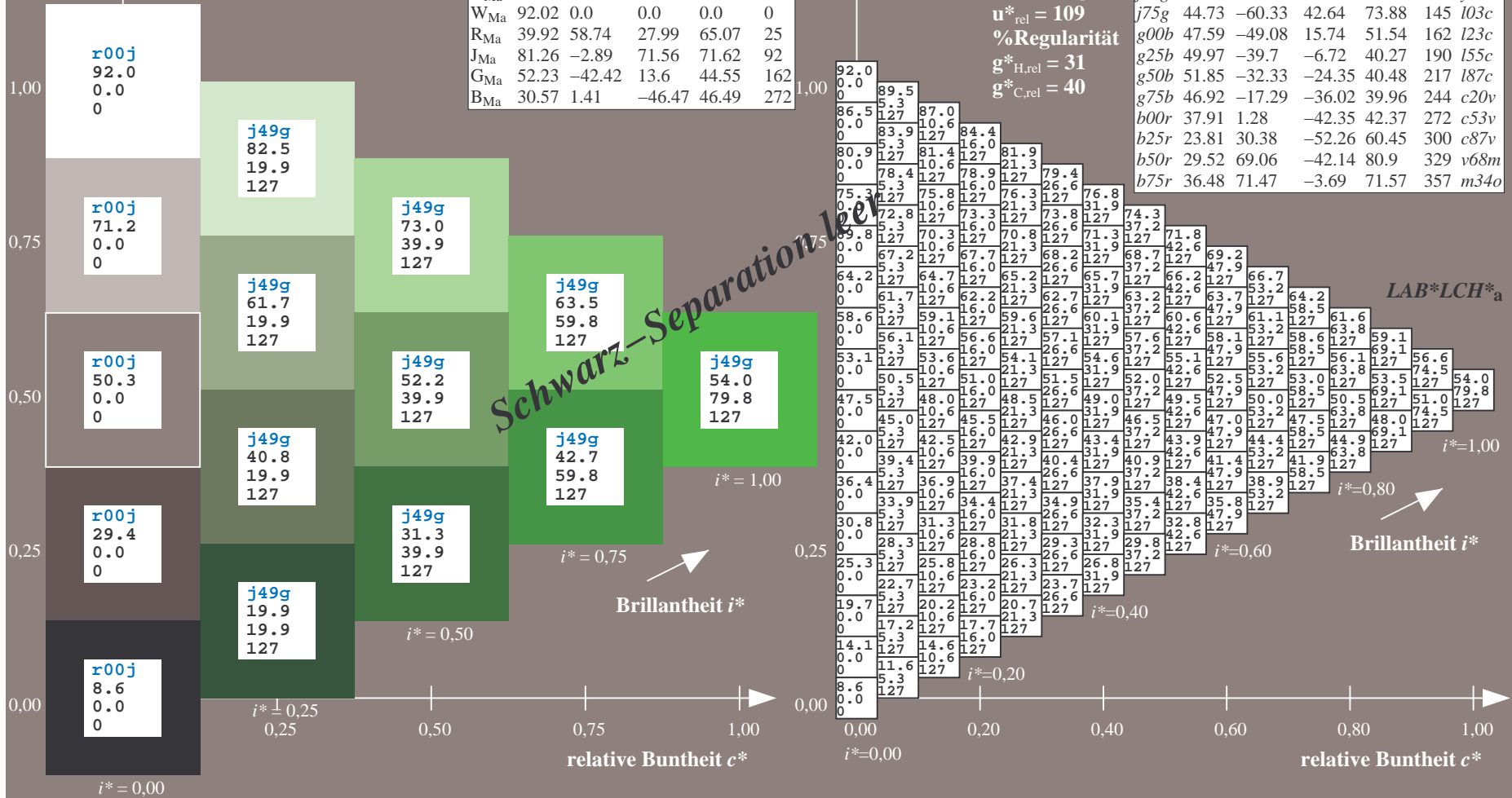
$lab^*olv^*_Ma: 0.3 1.0 0.0$

Dreiecks-Helligkeit t^*

FRS09_92a; adaptierte CIELAB-Daten

	u^*_e	$L^*=L^*_a$	a^*_a	b^*_a	$C^*_{ab,a}$	$h^*_{ab,a}$	u^*_d
r00j	35.47	63.32	30.17	70.15	25	m81o	
r25j	39.12	54.56	49.45	73.64	42	o10y	
r50j	50.64	39.15	64.89	75.79	59	o40y	
r75j	64.01	21.26	82.83	85.52	76	o69y	
j00g	83.18	-4.38	108.53	108.62	92	o98y	
j25g	66.73	-29.89	83.06	88.28	110	y34l	
j50g	54.03	-48.31	63.49	79.78	127	y69l	
j75g	44.73	-60.33	42.64	73.88	145	103c	
g00b	47.59	-49.08	15.74	51.54	162	i23c	
g25b	49.97	-39.7	-6.72	40.27	190	i55c	
g50b	51.85	-32.33	-24.35	40.48	217	i87c	
g75b	46.92	-17.29	-36.02	39.96	244	c20v	
b00r	37.91	1.28	-42.35	42.37	272	c53v	
b25r	23.81	30.38	-52.26	60.45	300	c87v	
b50r	29.52	69.06	-42.14	80.9	329	v68m	
b75r	36.48	71.47	-3.69	71.57	357	m34o	

%Umfang
 $u^*_{rel} = 109$
%Regularität
 $g^*_{H,rel} = 31$
 $g^*_{C,rel} = 40$



Ein und Ausgabe: Farbmatisches Drucker-Reflektiv-System FRS09_92a für relativen CIELAB-Bunton $h^* = lab \cdot h^* = h_{ab}/360 = 0.402$

$u^*_e = j75g$
 $LAB^*LCH^*_a$

Daten für jede Farbe:

lab^*tch^* und lab^*icu^*

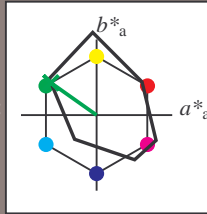
Buntontexte:

$u^*_e = j75g$ $u^*_d = l03c$

Kontrastreduzierungsfaktor:

$c_R = 1.0$

Dreiecks-Helligkeit t^*



FRS09_92a; adaptierte CIELAB-Daten

u^*_e	$L^*=L^*_a$	a^*_a	b^*_a	$C^*_{ab,a}$	$h^*_{ab,a}$
O _{Ma}	35.06	60.0	44.0	74.4	36
Y _{Ma}	83.77	-5.17	109.32	109.44	93
L _{Ma}	44.13	-62.67	48.24	79.09	142
C _{Ma}	52.66	-29.14	-31.99	43.27	228
V _{Ma}	14.15	50.3	-59.04	77.57	310
M _{Ma}	37.37	78.64	-33.5	85.48	337
N _{Ma}	8.58	0.0	0.0	0.0	0
W _{Ma}	92.02	0.0	0.0	0.0	0
R _{Ma}	39.92	58.74	27.99	65.07	25
J _{Ma}	81.26	-2.89	71.56	71.62	92
G _{Ma}	52.23	-42.42	13.6	44.55	162
B _{Ma}	30.57	1.41	-46.47	46.49	272

Daten für Maximalfarbe (Ma):

$LAB^*LAB^*_Ma: 45 -60 43$

$LAB^*LCH^*_Ma: 45 74 144$

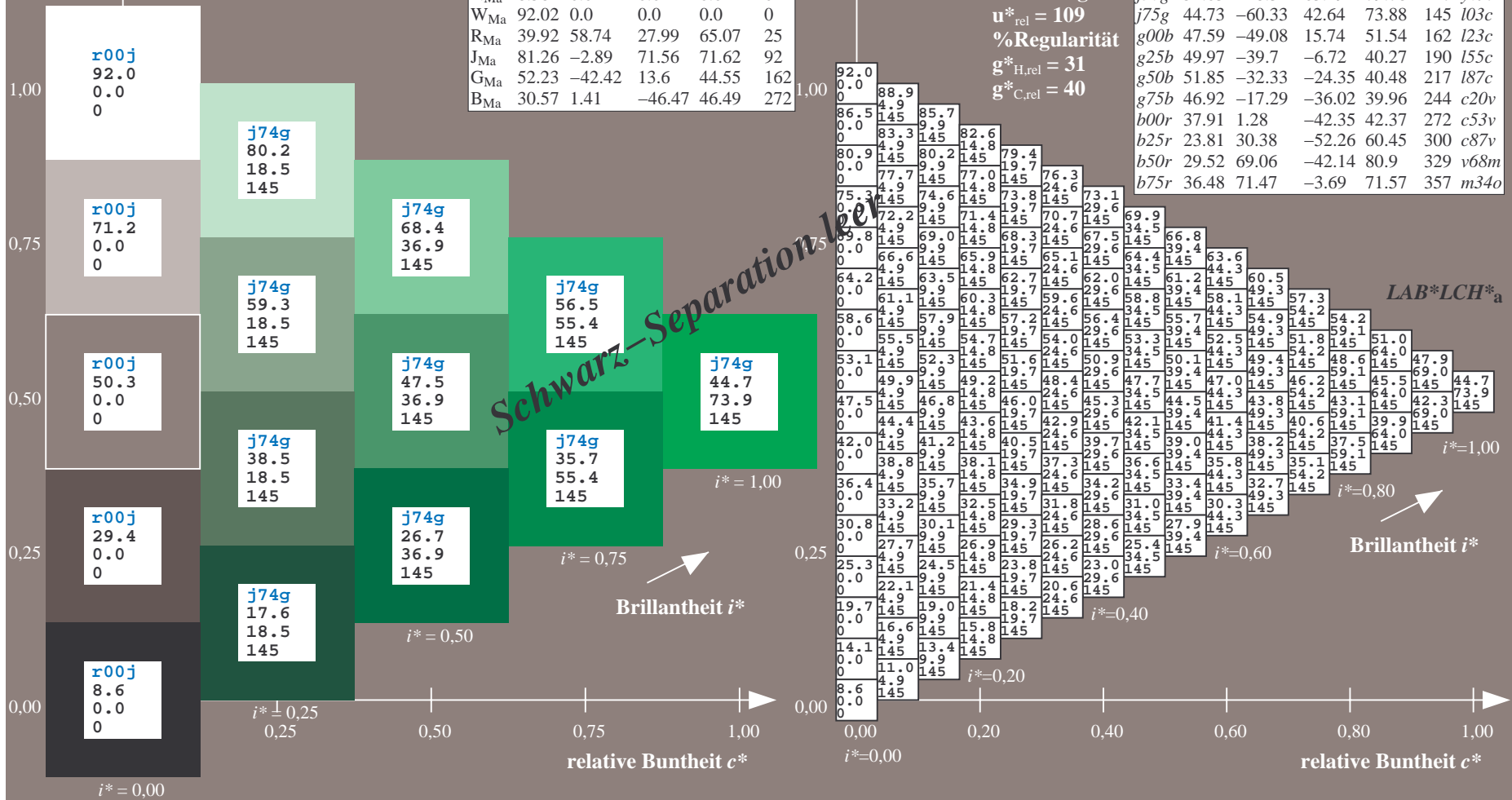
$lab^*rgb^*_Ma: 0.25 1.0 0.0$

$lab^*olv^*_Ma: 0.0 1.0 0.03$

Dreiecks-Helligkeit t^*

FRS09_92a; adaptierte CIELAB-Daten

u^*_e	$L^*=L^*_a$	a^*_a	b^*_a	$C^*_{ab,a}$	$h^*_{ab,a}$	u^*_d
r00j	35.47	63.32	30.17	70.15	25	m81o
r25j	39.12	54.56	49.45	73.64	42	o10y
r50j	50.64	39.15	64.89	75.79	59	o40y
r75j	64.01	21.26	82.83	85.52	76	o69y
j00g	83.18	-4.38	108.53	108.62	92	o98y
j25g	66.73	-29.89	83.06	88.28	110	y34l
j50g	54.03	-48.31	63.49	79.78	127	y69l
j75g	44.73	-60.33	42.64	73.88	145	i03c
g00b	47.59	-49.08	15.74	51.54	162	i23c
g25b	49.97	-39.7	-6.72	40.27	190	i55c
g50b	51.85	-32.33	-24.35	40.48	217	i87c
g75b	46.92	-17.29	-36.02	39.96	244	c20v
b00r	37.91	1.28	-42.35	42.37	272	c53v
b25r	23.81	30.38	-52.26	60.45	300	c87v
b50r	29.52	69.06	-42.14	80.9	329	v68m
b75r	36.48	71.47	-3.69	71.57	357	m34o



Ein und Ausgabe: Farbmatisches Drucker-Reflektiv-System FRS09_92a für relativen CIELAB-Bunton $h^* = lab^*h^* = h_{ab}/360 = 0.451$

$u^*_e = g00b$
 $LAB^*LCH^*_a$

Daten für jede Farbe:

lab^*tch^* und lab^*icu^*

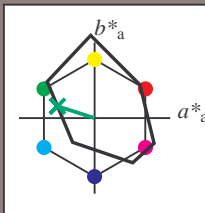
Buntontexte:

$u^*_e = g00b$ $u^*_d = l23c$

Kontrastreduzierungsfaktor:

$c_R = 1.0$

Dreiecks-Helligkeit t^*



FRS09_92a; adaptierte CIELAB-Daten

u^*_e	$L^*=L^*_a$	a^*_a	b^*_a	$C^*_{ab,a}$	$h^*_{ab,a}$
O _{Ma}	35.06	60.0	44.0	74.4	36
Y _{Ma}	83.77	-5.17	109.32	109.44	93
L _{Ma}	44.13	-62.67	48.24	79.09	142
C _{Ma}	52.66	-29.14	-31.99	43.27	228
V _{Ma}	14.15	50.3	-59.04	77.57	310
M _{Ma}	37.37	78.64	-33.5	85.48	337
N _{Ma}	8.58	0.0	0.0	0.0	0
W _{Ma}	92.02	0.0	0.0	0.0	0
R _{Ma}	39.92	58.74	27.99	65.07	25
J _{Ma}	81.26	-2.89	71.56	71.62	92
G _{Ma}	52.23	-42.42	13.6	44.55	162
B _{Ma}	30.57	1.41	-46.47	46.49	272

Daten für Maximalfarbe (Ma):

$LAB^*LAB^*_Ma: 48 -49 16$

$LAB^*LCH^*_Ma: 48 52 162$

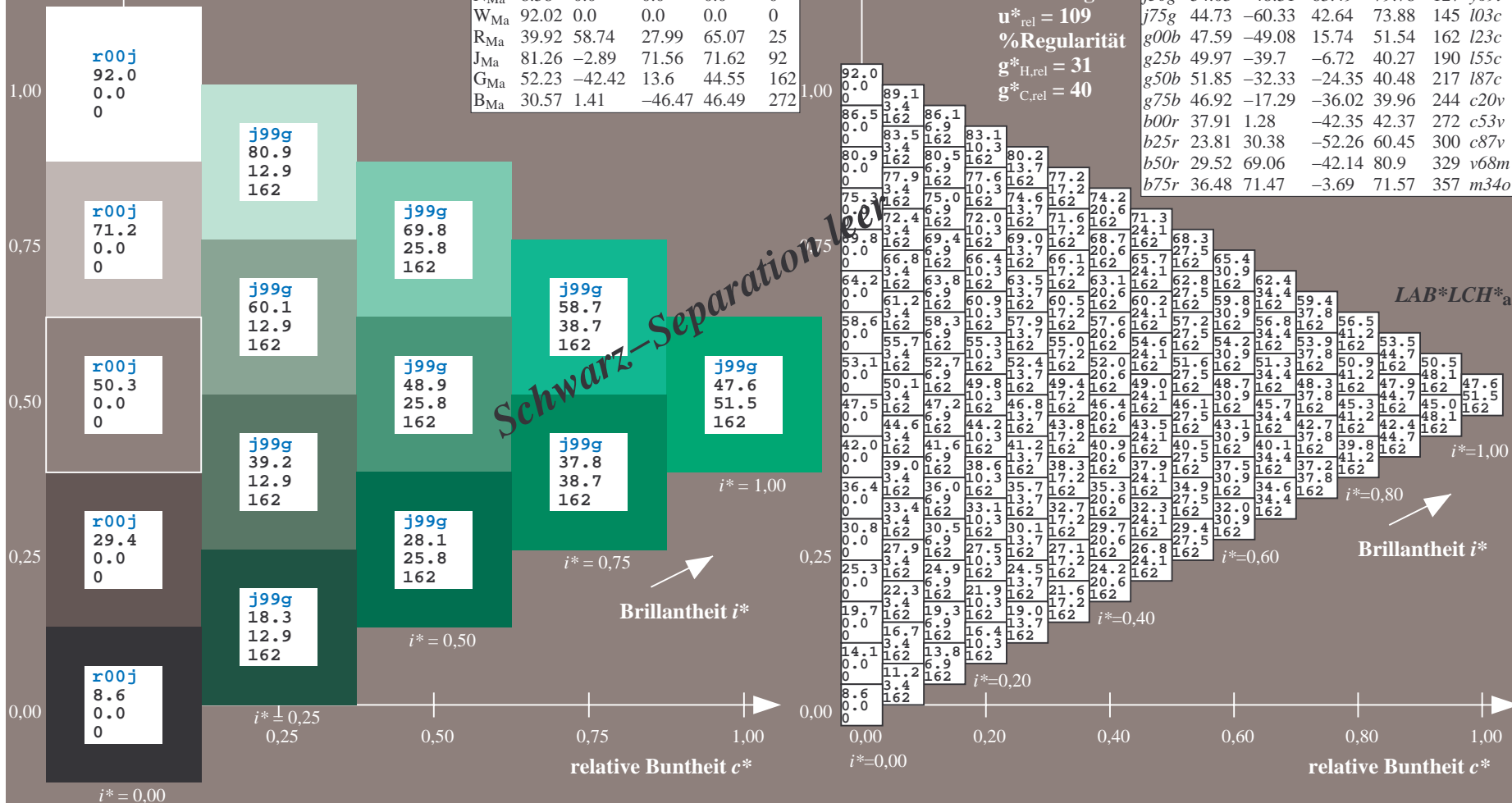
$lab^*rgb^*_Ma: 0.0 1.0 0.0$

$lab^*olv^*_Ma: 0.0 1.0 0.23$

Dreiecks-Helligkeit t^*

FRS09_92a; adaptierte CIELAB-Daten

u^*_e	$L^*=L^*_a$	a^*_a	b^*_a	$C^*_{ab,a}$	$h^*_{ab,a}$	u^*_d
r00j	35.47	63.32	30.17	70.15	25	m81o
r25j	39.12	54.56	49.45	73.64	42	o10y
r50j	50.64	39.15	64.89	75.79	59	o40y
r75j	64.01	21.26	82.83	85.52	76	o69y
j00g	83.18	-4.38	108.53	108.62	92	o98y
j25g	66.73	-29.89	83.06	88.28	110	y34l
j50g	54.03	-48.31	63.49	79.78	127	y69l
j75g	44.73	-60.33	42.64	73.88	145	i03c
g00b	47.59	-49.08	15.74	51.54	162	l23c
g25b	49.97	-39.7	-6.72	40.27	190	i55c
g50b	51.85	-32.33	-24.35	40.48	217	i87c
g75b	46.92	-17.29	-36.02	39.96	244	c20v
b00r	37.91	1.28	-42.35	42.37	272	c53v
b25r	23.81	30.38	-52.26	60.45	300	c87v
b50r	29.52	69.06	-42.14	80.9	329	v68m
b75r	36.48	71.47	-3.69	71.57	357	m34o



Schwarz-Separation

$LAB^*LCH^*_a$

$i^* = 1.00$

$i^* = 0.80$

Brillanz i^*

$i^* = 0.60$

$i^* = 0.40$

$i^* = 0.20$

$i^* = 0.00$

Ein und Ausgabe: Farbmatisches Drucker-Reflektiv-System FRS09_92a für relativen CIELAB-Bunton $h^* = lab^*h^* = h_{ab}/360 = 0.527$

$u^*_e = g25b$
 $LAB^*LCH^*_a$

Daten für jede Farbe:

lab^*ch^* und lab^*icu^*

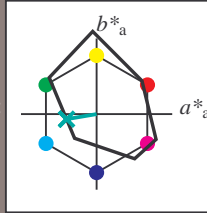
Buntontexte:

$u^*_e = g25b$ $u^*_d = l55c$

Kontrastreduzierungsfaktor:

$c_R = 1.0$

Dreiecks-Helligkeit t^*



FRS09_92a; adaptierte CIELAB-Daten

u^*_e	$L^*=L^*_a$	a^*_a	b^*_a	$C^*_{ab,a}$	$h^*_{ab,a}$
O _{Ma}	35.06	60.0	44.0	74.4	36
Y _{Ma}	83.77	-5.17	109.32	109.44	93
L _{Ma}	44.13	-62.67	48.24	79.09	142
C _{Ma}	52.66	-29.14	-31.99	43.27	228
V _{Ma}	14.15	50.3	-59.04	77.57	310
M _{Ma}	37.37	78.64	-33.5	85.48	337
N _{Ma}	8.58	0.0	0.0	0.0	0
W _{Ma}	92.02	0.0	0.0	0.0	0
R _{Ma}	39.92	58.74	27.99	65.07	25
J _{Ma}	81.26	-2.89	71.56	71.62	92
G _{Ma}	52.23	-42.42	13.6	44.55	162
B _{Ma}	30.57	1.41	-46.47	46.49	272

Daten für Maximalfarbe (Ma):

$LAB^*LAB^*_Ma: 50 -40 -7$

$LAB^*LCH^*_Ma: 50 40 189$

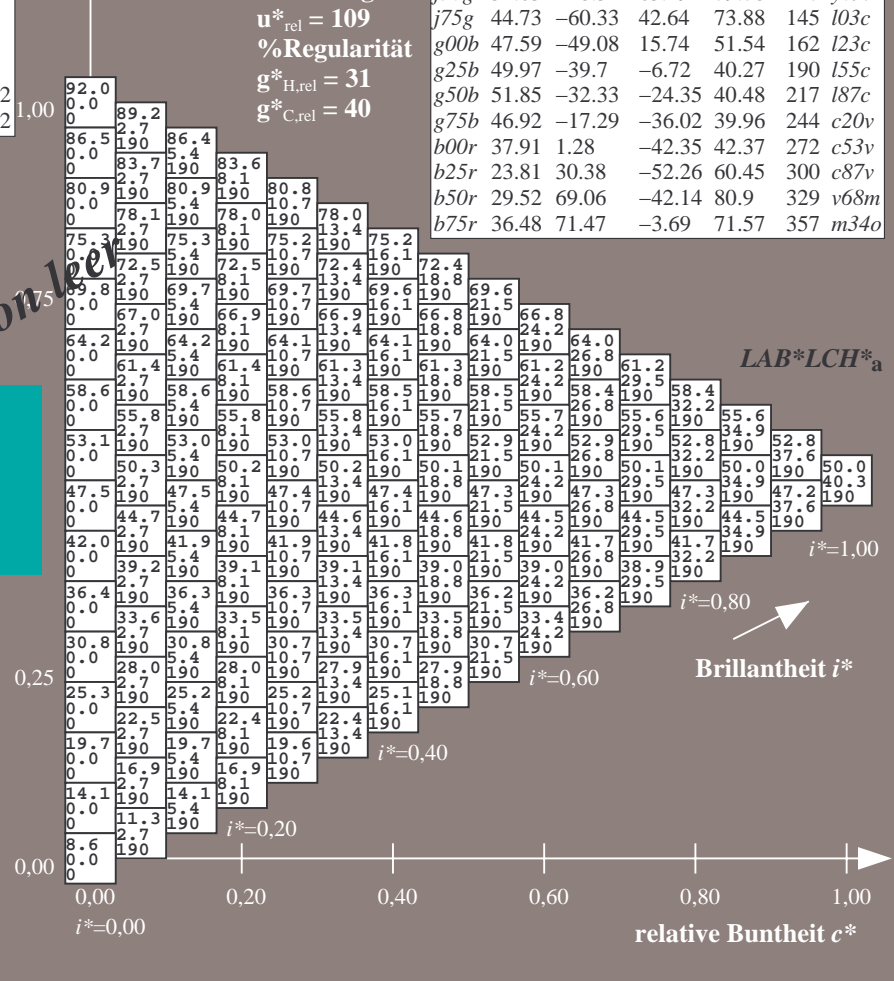
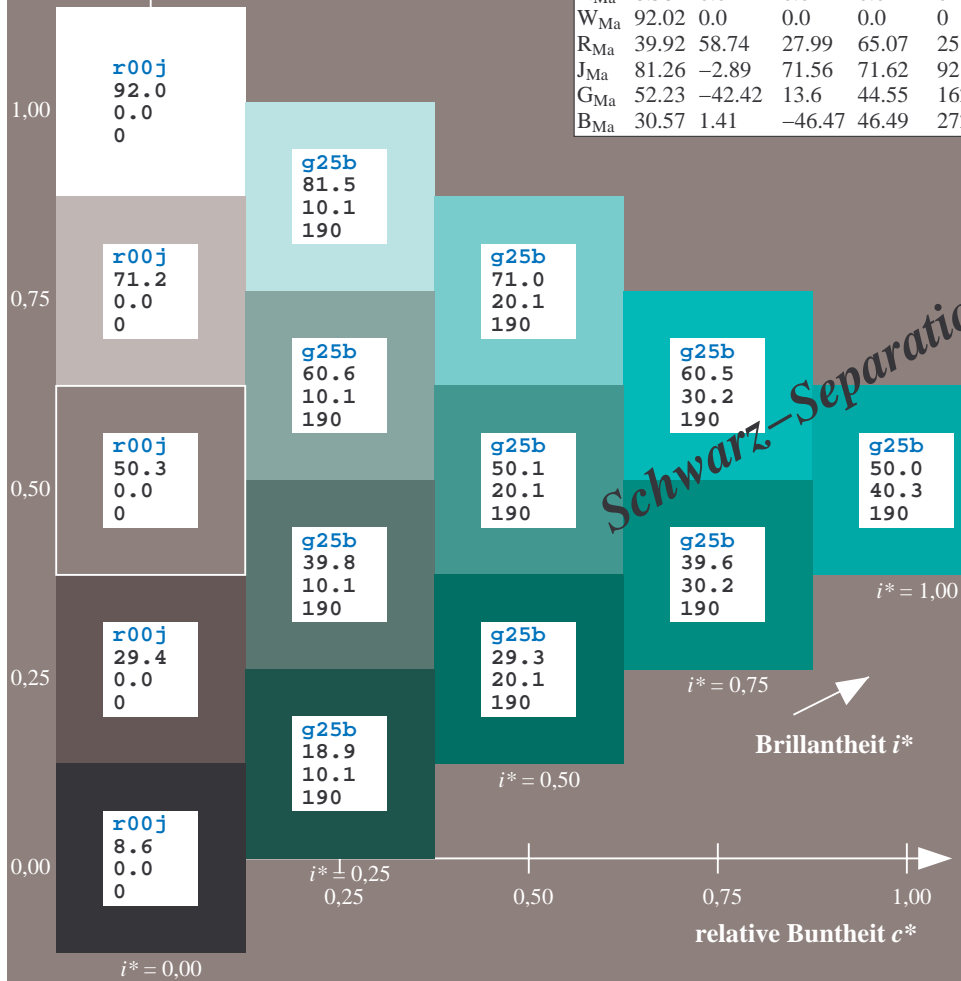
$lab^*rgb^*_Ma: 0.0 1.0 0.5$

$lab^*olv^*_Ma: 0.0 1.0 0.55$

Dreiecks-Helligkeit t^*

FRS09_92a; adaptierte CIELAB-Daten

u^*_e	$L^*=L^*_a$	a^*_a	b^*_a	$C^*_{ab,a}$	$h^*_{ab,a}$	u^*_d
r00j	35.47	63.32	30.17	70.15	25	m81o
r25j	39.12	54.56	49.45	73.64	42	o10y
r50j	50.64	39.15	64.89	75.79	59	o40y
r75j	64.01	21.26	82.83	85.52	76	o69y
j00g	83.18	-4.38	108.53	108.62	92	o98y
j25g	66.73	-29.89	83.06	88.28	110	y34l
j50g	54.03	-48.31	63.49	79.78	127	y69l
j75g	44.73	-60.33	42.64	73.88	145	l03c
g00b	47.59	-49.08	15.74	51.54	162	l23c
g25b	49.97	-39.7	-6.72	40.27	190	l55c
g50b	51.85	-32.33	-24.35	40.48	217	l87c
g75b	46.92	-17.29	-36.02	39.96	244	c20v
b00r	37.91	1.28	-42.35	42.37	272	c53v
b25r	23.81	30.38	-52.26	60.45	300	c87v
b50r	29.52	69.06	-42.14	80.9	329	v68m
b75r	36.48	71.47	-3.69	71.57	357	m34o



Schwarz-Separation

%Umfang
 $u^*_{rel} = 109$
%Regularität
 $g^*_{H,rel} = 31$
 $g^*_{C,rel} = 40$

Ein und Ausgabe: Farbmatisches Drucker-Reflektiv-System FRS09_92a für relativen CIELAB-Bunton $h^* = lab^*h^* = h_{ab}/360 = 0.603$

$u^*_e = g50b$
 $LAB^*LCH^*_a$

Daten für jede Farbe:

lab^*ch^* und lab^*icu^*

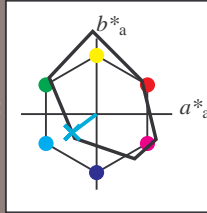
Buntontexte:

$u^*_e = g50b$ $u^*_d = l87c$

Kontrastreduzierungsfaktor:

$c_R = 1.0$

Dreiecks-Helligkeit t^*



FRS09_92a; adaptierte CIELAB-Daten

u^*_e	$L^*=L^*_a$	a^*_a	b^*_a	$C^*_{ab,a}$	$h^*_{ab,a}$
O _{Ma}	35.06	60.0	44.0	74.4	36
Y _{Ma}	83.77	-5.17	109.32	109.44	93
L _{Ma}	44.13	-62.67	48.24	79.09	142
C _{Ma}	52.66	-29.14	-31.99	43.27	228
V _{Ma}	14.15	50.3	-59.04	77.57	310
M _{Ma}	37.37	78.64	-33.5	85.48	337
N _{Ma}	8.58	0.0	0.0	0.0	0
W _{Ma}	92.02	0.0	0.0	0.0	0
R _{Ma}	39.92	58.74	27.99	65.07	25
J _{Ma}	81.26	-2.89	71.56	71.62	92
G _{Ma}	52.23	-42.42	13.6	44.55	162
B _{Ma}	30.57	1.41	-46.47	46.49	272

Daten für Maximalfarbe (Ma):

$LAB^*LAB^*_Ma: 52 -32 -24$

$LAB^*LCH^*_Ma: 52 40 216$

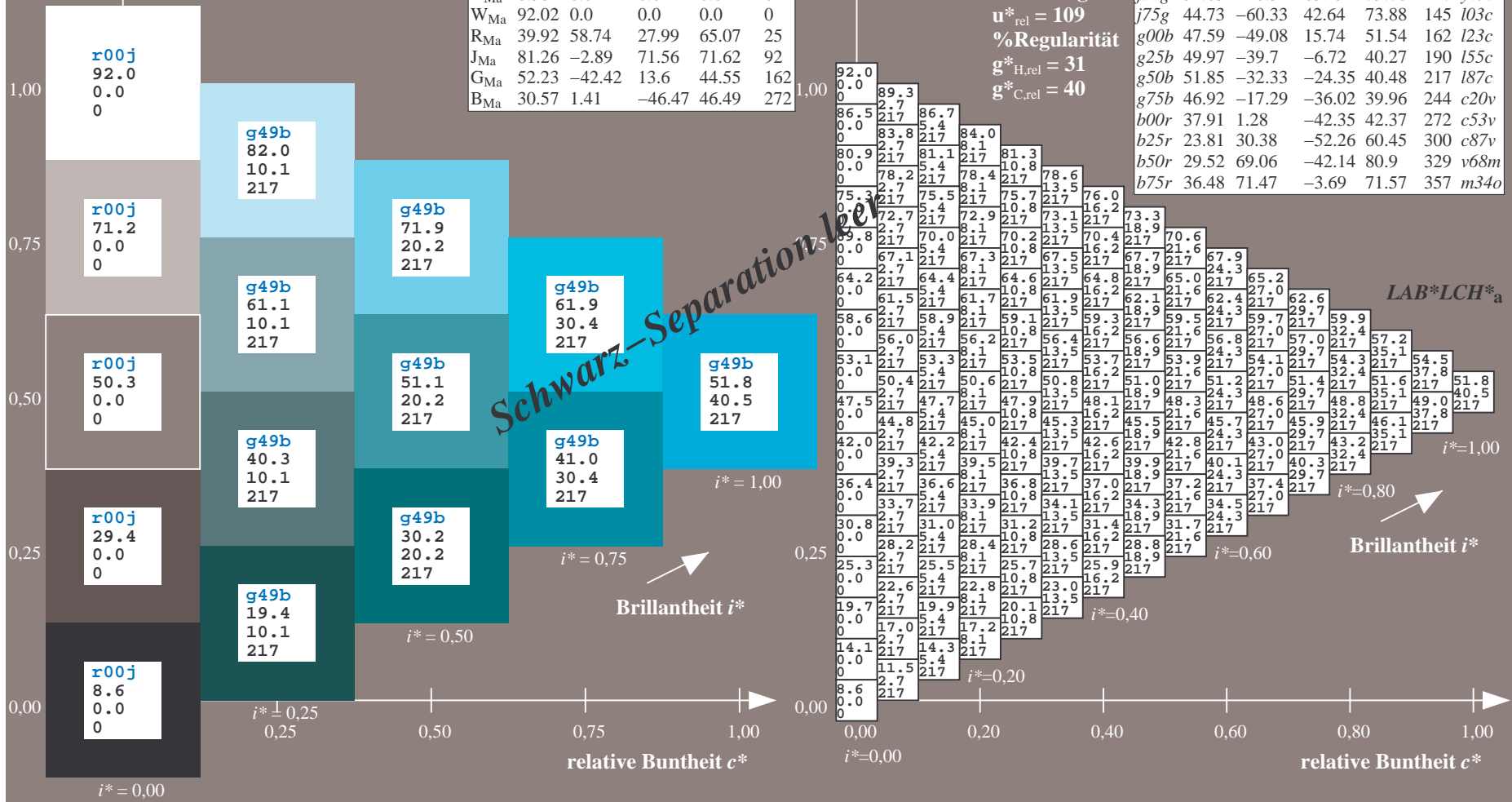
$lab^*rgb^*_Ma: 0.0 1.0 1.0$

$lab^*olv^*_Ma: 0.0 1.0 0.87$

Dreiecks-Helligkeit t^*

FRS09_92a; adaptierte CIELAB-Daten

u^*_e	$L^*=L^*_a$	a^*_a	b^*_a	$C^*_{ab,a}$	$h^*_{ab,a}$	u^*_d
r00j	35.47	63.32	30.17	70.15	25	m81o
r25j	39.12	54.56	49.45	73.64	42	o10y
r50j	50.64	39.15	64.89	75.79	59	o40y
r75j	64.01	21.26	82.83	85.52	76	o69y
j00g	83.18	-4.38	108.53	108.62	92	o98y
j25g	66.73	-29.89	83.06	88.28	110	y34l
j50g	54.03	-48.31	63.49	79.78	127	y69l
j75g	44.73	-60.33	42.64	73.88	145	l03c
g00b	47.59	-49.08	15.74	51.54	162	l23c
g25b	49.97	-39.7	-6.72	40.27	190	l55c
g50b	51.85	-32.33	-24.35	40.48	217	l87c
g75b	46.92	-17.29	-36.02	39.96	244	c20v
b00r	37.91	1.28	-42.35	42.37	272	c53v
b25r	23.81	30.38	-52.26	60.45	300	c87v
b50r	29.52	69.06	-42.14	80.9	329	v68m
b75r	36.48	71.47	-3.69	71.57	357	m34o



Ein und Ausgabe: Farbmatisches Drucker-Reflektiv-System FRS09_92a für relativen CIELAB-Bunton $h^* = lab \cdot h^* = h_{ab}/360 = 0.679$

$u^*_e = g75b$
 $LAB^*LCH^*_a$

Daten für jede Farbe:

lab^*ch^* und lab^*icu^*

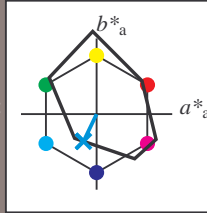
Buntontexte:

$u^*_e = g75b$ $u^*_d = c20v$

Kontrastreduzierungsfaktor:

$c_R = 1.0$

Dreiecks-Helligkeit t^*



FRS09_92a; adaptierte CIELAB-Daten

u^*_e	$L^*=L^*_a$	a^*_a	b^*_a	$C^*_{ab,a}$	$h^*_{ab,a}$
O _{Ma}	35.06	60.0	44.0	74.4	36
Y _{Ma}	83.77	-5.17	109.32	109.44	93
L _{Ma}	44.13	-62.67	48.24	79.09	142
C _{Ma}	52.66	-29.14	-31.99	43.27	228
V _{Ma}	14.15	50.3	-59.04	77.57	310
M _{Ma}	37.37	78.64	-33.5	85.48	337
N _{Ma}	8.58	0.0	0.0	0.0	0
W _{Ma}	92.02	0.0	0.0	0.0	0
R _{Ma}	39.92	58.74	27.99	65.07	25
J _{Ma}	81.26	-2.89	71.56	71.62	92
G _{Ma}	52.23	-42.42	13.6	44.55	162
B _{Ma}	30.57	1.41	-46.47	46.49	272

Daten für Maximalfarbe (Ma):

$LAB^*LAB^*_Ma: 47 -17 -36$

$LAB^*LCH^*_Ma: 47 40 244$

$lab^*rgb^*_Ma: 0.0 0.5 1.0$

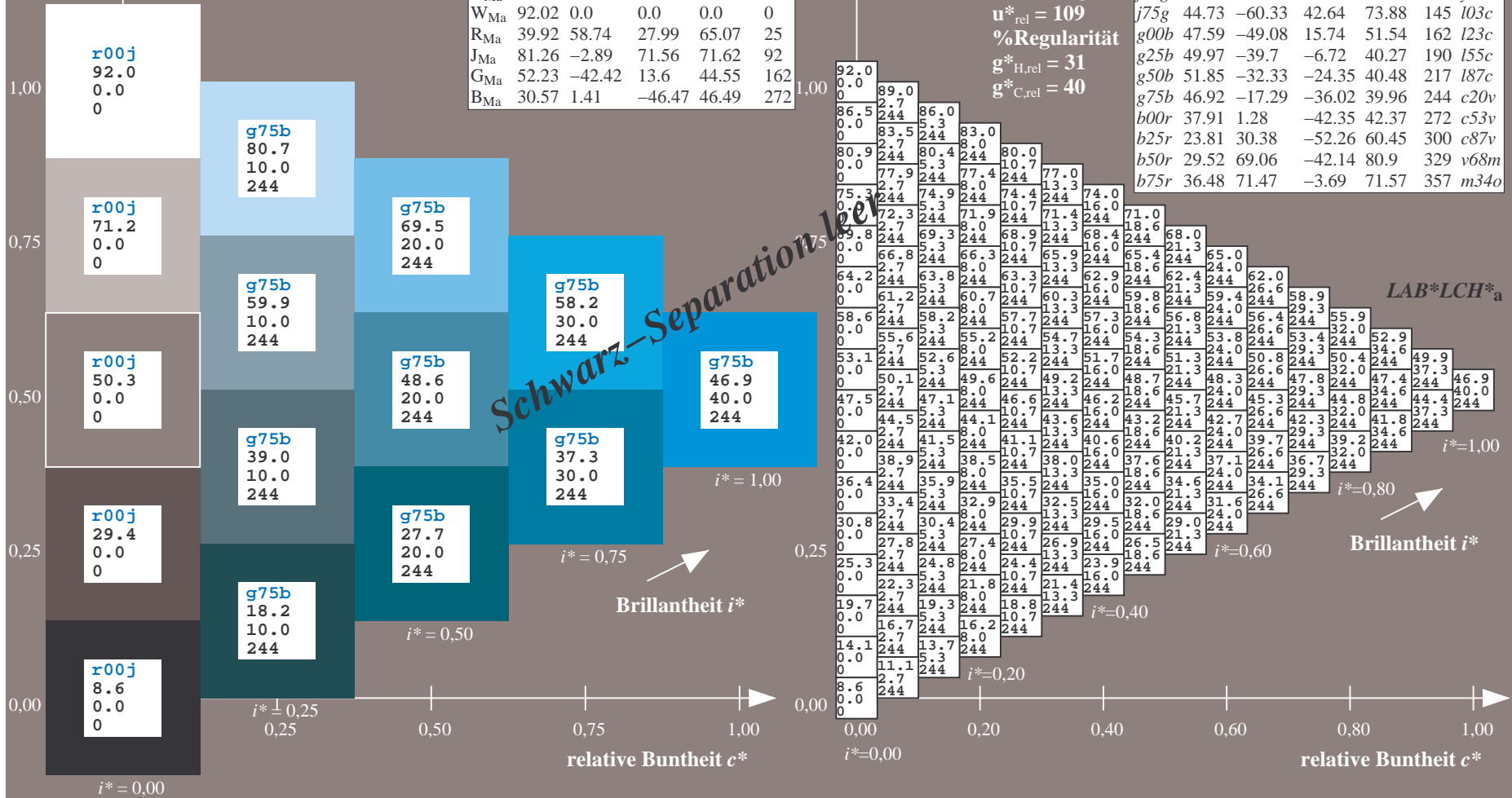
$lab^*olv^*_Ma: 0.0 0.8 1.0$

Dreiecks-Helligkeit t^*

FRS09_92a; adaptierte CIELAB-Daten

u^*_e	$L^*=L^*_a$	a^*_a	b^*_a	$C^*_{ab,a}$	$h^*_{ab,a}$	u^*_d
r00j	35.47	63.32	30.17	70.15	25	m81o
r25j	39.12	54.56	49.45	73.64	42	o10y
r50j	50.64	39.15	64.89	75.79	59	o40y
r75j	64.01	21.26	82.83	85.52	76	o69y
j00g	83.18	-4.38	108.53	108.62	92	o98y
j25g	66.73	-29.89	83.06	88.28	110	y34l
j50g	54.03	-48.31	63.49	79.78	127	y69l
j75g	44.73	-60.33	42.64	73.88	145	l03c
g00b	47.59	-49.08	15.74	51.54	162	l23c
g25b	49.97	-39.7	-6.72	40.27	190	l55c
g50b	51.85	-32.33	-24.35	40.48	217	l87c
g75b	46.92	-17.29	-36.02	39.96	244	c20v
b00r	37.91	1.28	-42.35	42.37	272	c53v
b25r	23.81	30.38	-52.26	60.45	300	c87v
b50r	29.52	69.06	-42.14	80.9	329	v68m
b75r	36.48	71.47	-3.69	71.57	357	m34o

%Umfang
 $u^*_{rel} = 109$
%Regularität
 $g^*_{H,rel} = 31$
 $g^*_{C,rel} = 40$



Ein und Ausgabe: Farbmatisches Drucker-Reflektiv-System FRS09_92a für relativen CIELAB-Bunton $h^* = lab^*h^* = h_{ab}/360 = 0.755$

$u^*_e = b00r$
 $LAB^*LCH^*_a$

Daten für jede Farbe:

lab^*ch^* und lab^*icu^*

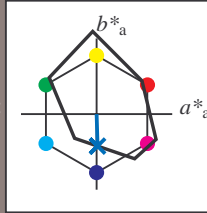
Buntontexte:

$u^*_e = b00r$ $u^*_d = c53v$

Kontrastreduzierungsfaktor:

$c_R = 1.0$

Dreiecks-Helligkeit t^*



FRS09_92a; adaptierte CIELAB-Daten

u^*_e	$L^*=L^*_a$	a^*_a	b^*_a	$C^*_{ab,a}$	$h^*_{ab,a}$
O _{Ma}	35.06	60.0	44.0	74.4	36
Y _{Ma}	83.77	-5.17	109.32	109.44	93
L _{Ma}	44.13	-62.67	48.24	79.09	142
C _{Ma}	52.66	-29.14	-31.99	43.27	228
V _{Ma}	14.15	50.3	-59.04	77.57	310
M _{Ma}	37.37	78.64	-33.5	85.48	337
N _{Ma}	8.58	0.0	0.0	0.0	0
W _{Ma}	92.02	0.0	0.0	0.0	0
R _{Ma}	39.92	58.74	27.99	65.07	25
J _{Ma}	81.26	-2.89	71.56	71.62	92
G _{Ma}	52.23	-42.42	13.6	44.55	162
B _{Ma}	30.57	1.41	-46.47	46.49	272

Daten für Maximalfarbe (Ma):

$LAB^*LAB^*_Ma: 38 \ 1 \ -42$

$LAB^*LCH^*_Ma: 38 \ 42 \ 271$

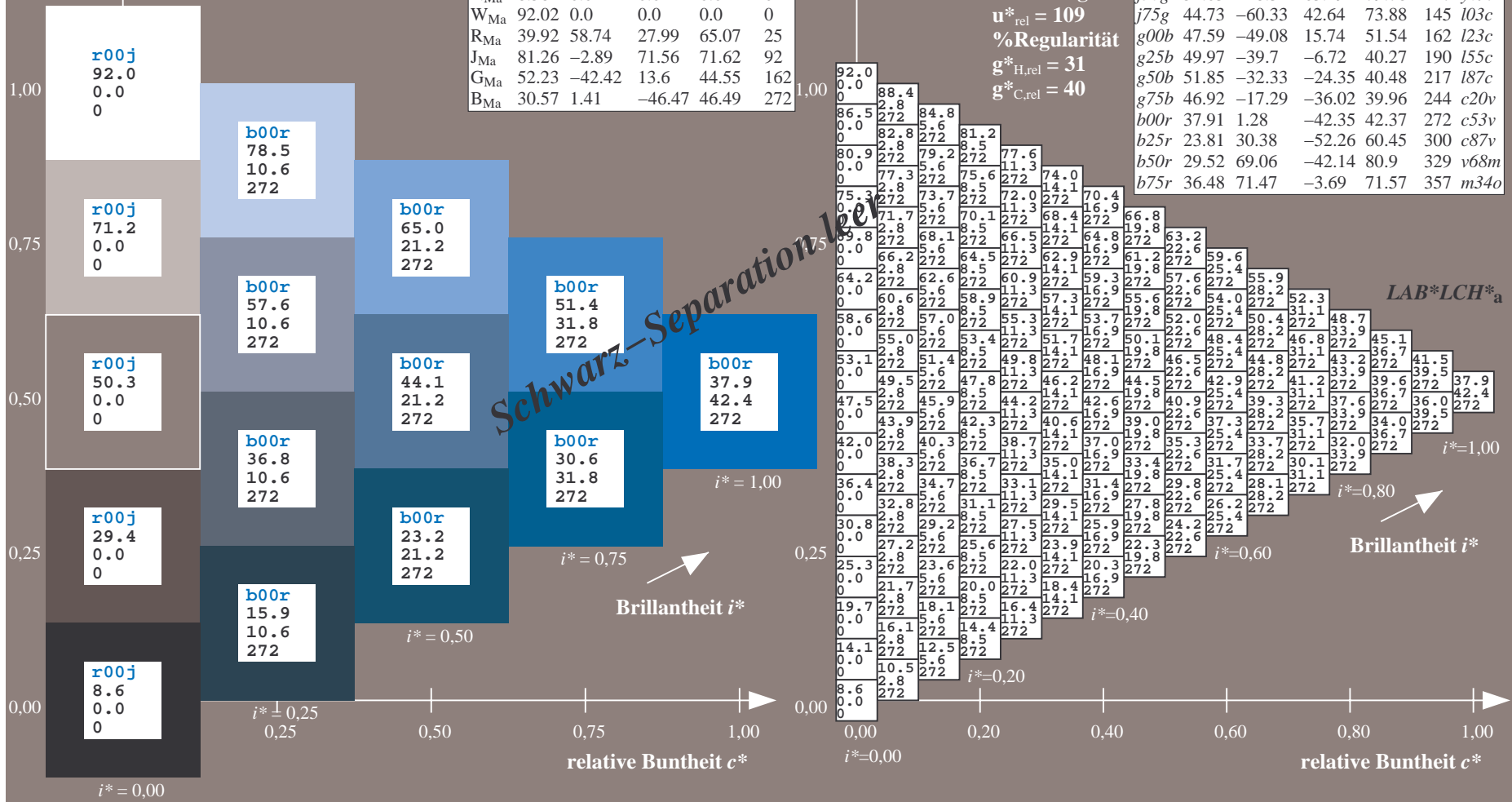
$lab^*rgb^*_Ma: 0.0 \ 0.0 \ 1.0$

$lab^*olv^*_Ma: 0.0 \ 0.47 \ 1.0$

Dreiecks-Helligkeit t^*

FRS09_92a; adaptierte CIELAB-Daten

u^*_e	$L^*=L^*_a$	a^*_a	b^*_a	$C^*_{ab,a}$	$h^*_{ab,a}$	u^*_d
r00j	35.47	63.32	30.17	70.15	25	m81o
r25j	39.12	54.56	49.45	73.64	42	o10y
r50j	50.64	39.15	64.89	75.79	59	o40y
r75j	64.01	21.26	82.83	85.52	76	o69y
j00g	83.18	-4.38	108.53	108.62	92	o98y
j25g	66.73	-29.89	83.06	88.28	110	y34l
j50g	54.03	-48.31	63.49	79.78	127	y69l
j75g	44.73	-60.33	42.64	73.88	145	i03c
g00b	47.59	-49.08	15.74	51.54	162	l23c
g25b	49.97	-39.7	-6.72	40.27	190	i55c
g50b	51.85	-32.33	-24.35	40.48	217	i87c
g75b	46.92	-17.29	-36.02	39.96	244	c20v
b00r	37.91	1.28	-42.35	42.37	272	c53v
b25r	23.81	30.38	-52.26	60.45	300	c87v
b50r	29.52	69.06	-42.14	80.9	329	v68m
b75r	36.48	71.47	-3.69	71.57	357	m34o



Ein und Ausgabe: Farbmatisches Drucker-Reflektiv-System FRS09_92a für relativen CIELAB-Bunton $h^* = lab^*h^* = h_{ab}/360 = 0.834$

$u^*_e = b25r$
 $LAB^*LCH^*_a$

Daten für jede Farbe:

lab^*ch^* und lab^*icu^*

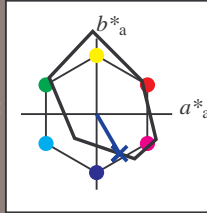
Buntontexte:

$u^*_e = b25r$ $u^*_d = c87v$

Kontrastreduzierungsfaktor:

$c_R = 1.0$

Dreiecks-Helligkeit t^*



FRS09_92a; adaptierte CIELAB-Daten

u^*_e	$L^*=L^*_a$	a^*_a	b^*_a	$C^*_{ab,a}$	$h^*_{ab,a}$
O _{Ma}	35.06	60.0	44.0	74.4	36
Y _{Ma}	83.77	-5.17	109.32	109.44	93
L _{Ma}	44.13	-62.67	48.24	79.09	142
C _{Ma}	52.66	-29.14	-31.99	43.27	228
V _{Ma}	14.15	50.3	-59.04	77.57	310
M _{Ma}	37.37	78.64	-33.5	85.48	337
N _{Ma}	8.58	0.0	0.0	0.0	0
W _{Ma}	92.02	0.0	0.0	0.0	0
R _{Ma}	39.92	58.74	27.99	65.07	25
J _{Ma}	81.26	-2.89	71.56	71.62	92
G _{Ma}	52.23	-42.42	13.6	44.55	162
B _{Ma}	30.57	1.41	-46.47	46.49	272

Daten für Maximalfarbe (Ma):

$LAB^*LAB^*_Ma: 24\ 30\ -52$

$LAB^*LCH^*_Ma: 24\ 60\ 300$

$lab^*rgb^*_Ma: 0.5\ 0.0\ 1.0$

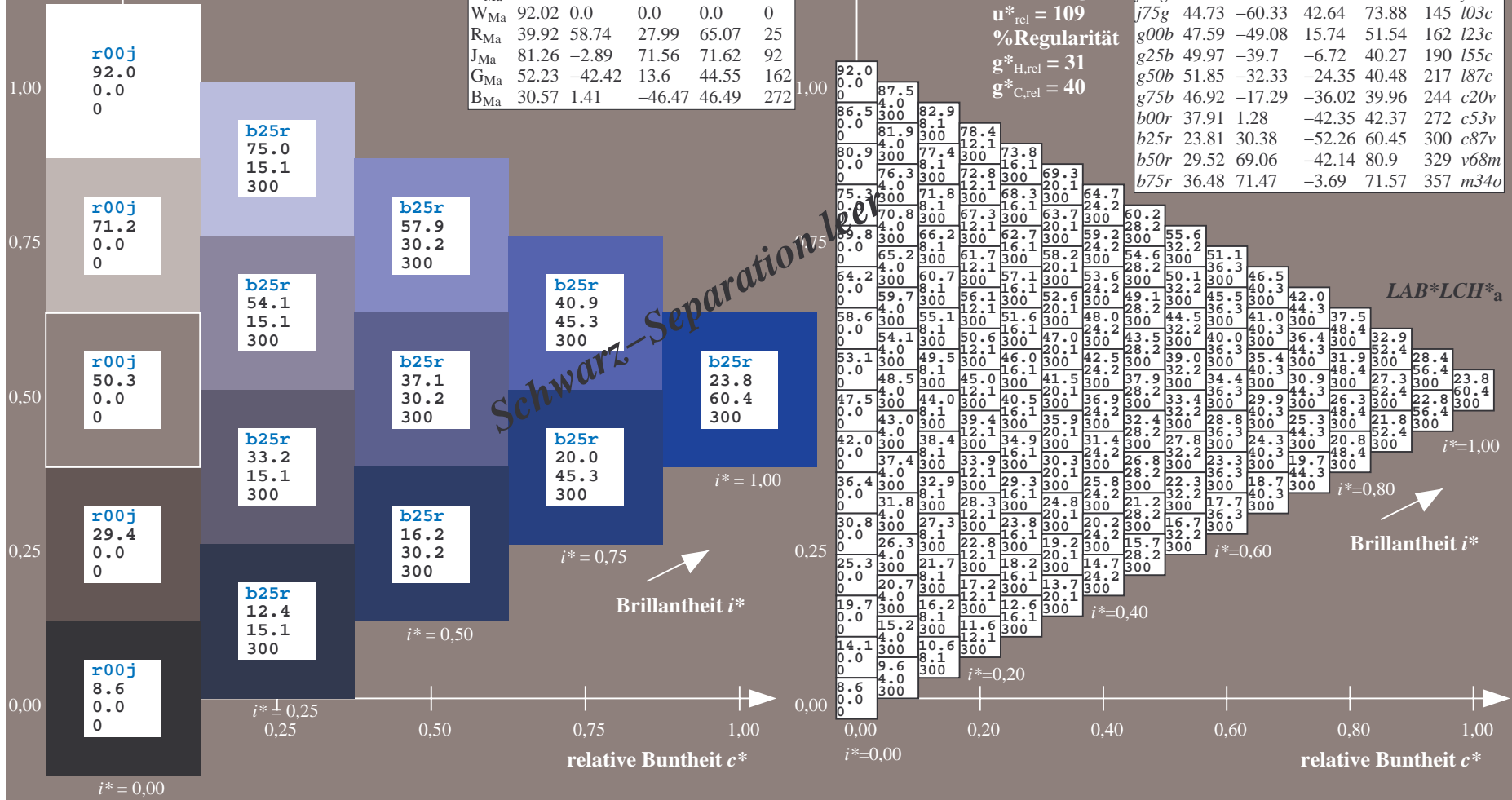
$lab^*olv^*_Ma: 0.0\ 0.12\ 1.0$

Dreiecks-Helligkeit t^*

FRS09_92a; adaptierte CIELAB-Daten

u^*_e	$L^*=L^*_a$	a^*_a	b^*_a	$C^*_{ab,a}$	$h^*_{ab,a}$	u^*_d
r00j	35.47	63.32	30.17	70.15	25	m81o
r25j	39.12	54.56	49.45	73.64	42	o10y
r50j	50.64	39.15	64.89	75.79	59	o40y
r75j	64.01	21.26	82.83	85.52	76	o69y
j00g	83.18	-4.38	108.53	108.62	92	o98y
j25g	66.73	-29.89	83.06	88.28	110	y34l
j50g	54.03	-48.31	63.49	79.78	127	y69l
j75g	44.73	-60.33	42.64	73.88	145	l03c
g00b	47.59	-49.08	15.74	51.54	162	l23c
g25b	49.97	-39.7	-6.72	40.27	190	l55c
g50b	51.85	-32.33	-24.35	40.48	217	l87c
g75b	46.92	-17.29	-36.02	39.96	244	c20v
b00r	37.91	1.28	-42.35	42.37	272	c53v
b25r	23.81	30.38	-52.26	60.45	300	c87v
b50r	29.52	69.06	-42.14	80.9	329	v68m
b75r	36.48	71.47	-3.69	71.57	357	m34o

%Umfang
 $u^*_{rel} = 109$
%Regularität
 $g^*_{H,rel} = 31$
 $g^*_{C,rel} = 40$



Ein und Ausgabe: Farbmatisches Drucker-Reflektiv-System FRS09_92a für relativen CIELAB-Bunton $h^* = lab^*h^* = h_{ab}/360 = 0.913$

$u^*_e = b50r$
 $LAB^*LCH^*_a$

Daten für jede Farbe:

lab^*tch^* und lab^*icu^*

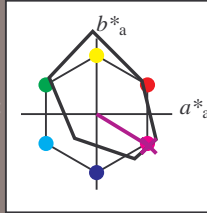
Buntontexte:

$u^*_e = b50r$ $u^*_d = v68m$

Kontrastreduzierungsfaktor:

$c_R = 1.0$

Dreiecks-Helligkeit t^*



FRS09_92a; adaptierte CIELAB-Daten

u^*_e	$L^*=L^*_a$	a^*_a	b^*_a	$C^*_{ab,a}$	$h^*_{ab,a}$
O _{Ma}	35.06	60.0	44.0	74.4	36
Y _{Ma}	83.77	-5.17	109.32	109.44	93
L _{Ma}	44.13	-62.67	48.24	79.09	142
C _{Ma}	52.66	-29.14	-31.99	43.27	228
V _{Ma}	14.15	50.3	-59.04	77.57	310
M _{Ma}	37.37	78.64	-33.5	85.48	337
N _{Ma}	8.58	0.0	0.0	0.0	0
W _{Ma}	92.02	0.0	0.0	0.0	0
R _{Ma}	39.92	58.74	27.99	65.07	25
J _{Ma}	81.26	-2.89	71.56	71.62	92
G _{Ma}	52.23	-42.42	13.6	44.55	162
B _{Ma}	30.57	1.41	-46.47	46.49	272

Daten für Maximalfarbe (Ma):

$LAB^*LAB^*_Ma: 30\ 69\ -42$

$LAB^*LCH^*_Ma: 30\ 81\ 328$

$lab^*rgb^*_Ma: 1.0\ 0.0\ 1.0$

$lab^*olv^*_Ma: 0.69\ 0.0\ 1.0$

Dreiecks-Helligkeit t^*

FRS09_92a; adaptierte CIELAB-Daten

u^*_e	$L^*=L^*_a$	a^*_a	b^*_a	$C^*_{ab,a}$	$h^*_{ab,a}$	u^*_d
r00j	35.47	63.32	30.17	70.15	25	m81o
r25j	39.12	54.56	49.45	73.64	42	o10y
r50j	50.64	39.15	64.89	75.79	59	o40y
r75j	64.01	21.26	82.83	85.52	76	o69y
j00g	83.18	-4.38	108.53	108.62	92	o98y
j25g	66.73	-29.89	83.06	88.28	110	y34l
j50g	54.03	-48.31	63.49	79.78	127	y69l
j75g	44.73	-60.33	42.64	73.88	145	l03c
g00b	47.59	-49.08	15.74	51.54	162	l23c
g25b	49.97	-39.7	-6.72	40.27	190	l55c
g50b	51.85	-32.33	-24.35	40.48	217	l87c
g75b	46.92	-17.29	-36.02	39.96	244	c20v
b00r	37.91	1.28	-42.35	42.37	272	c53v
b25r	23.81	30.38	-52.26	60.45	300	c87v
b50r	29.52	69.06	-42.14	80.9	329	v68m
b75r	36.48	71.47	-3.69	71.57	357	m34o

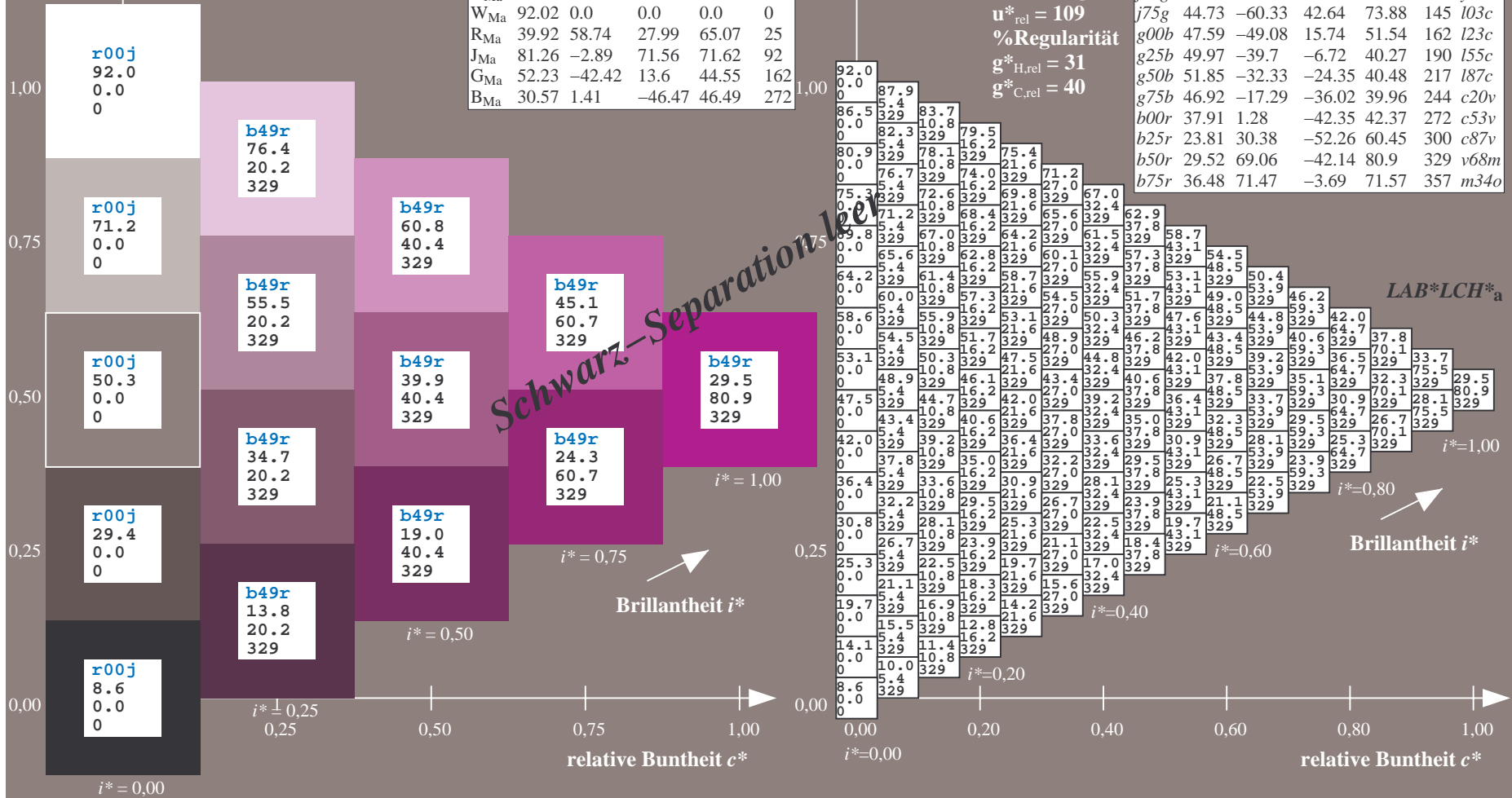
%Umfang

$u^*_{rel} = 109$

%Regularität

$g^*_{H,rel} = 31$

$g^*_{C,rel} = 40$



Ein und Ausgabe: Farbmatisches Drucker-Reflektiv-System FRS09_92a für relativen CIELAB-Bunton $h^* = lab^*h^* = h_{ab}/360 = 0.992$

$u^*_e = b75r$
LAB*LCH*_a

Daten für jede Farbe:

lab^*ch^* und lab^*icu^*

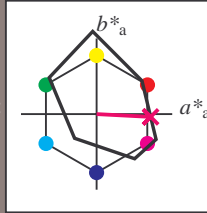
Buntontexte:

$u^*_e = b75r$ $u^*_d = m34o$

Kontrastreduzierungsfaktor:

$c_R = 1.0$

Dreiecks-Helligkeit t^*



FRS09_92a; adaptierte CIELAB-Daten

u^*_e	$L^*=L^*_a$	a^*_a	b^*_a	$C^*_{ab,a}$	$h^*_{ab,a}$
O _{Ma}	35.06	60.0	44.0	74.4	36
Y _{Ma}	83.77	-5.17	109.32	109.44	93
L _{Ma}	44.13	-62.67	48.24	79.09	142
C _{Ma}	52.66	-29.14	-31.99	43.27	228
V _{Ma}	14.15	50.3	-59.04	77.57	310
M _{Ma}	37.37	78.64	-33.5	85.48	337
N _{Ma}	8.58	0.0	0.0	0.0	0
W _{Ma}	92.02	0.0	0.0	0.0	0
R _{Ma}	39.92	58.74	27.99	65.07	25
J _{Ma}	81.26	-2.89	71.56	71.62	92
G _{Ma}	52.23	-42.42	13.6	44.55	162
B _{Ma}	30.57	1.41	-46.47	46.49	272

Daten für Maximalfarbe (Ma):

LAB*LAB*_Ma: 36 71 -4

LAB*LCH*_Ma: 36 72 357

lab*rgb*_Ma: 1.0 0.0 0.5

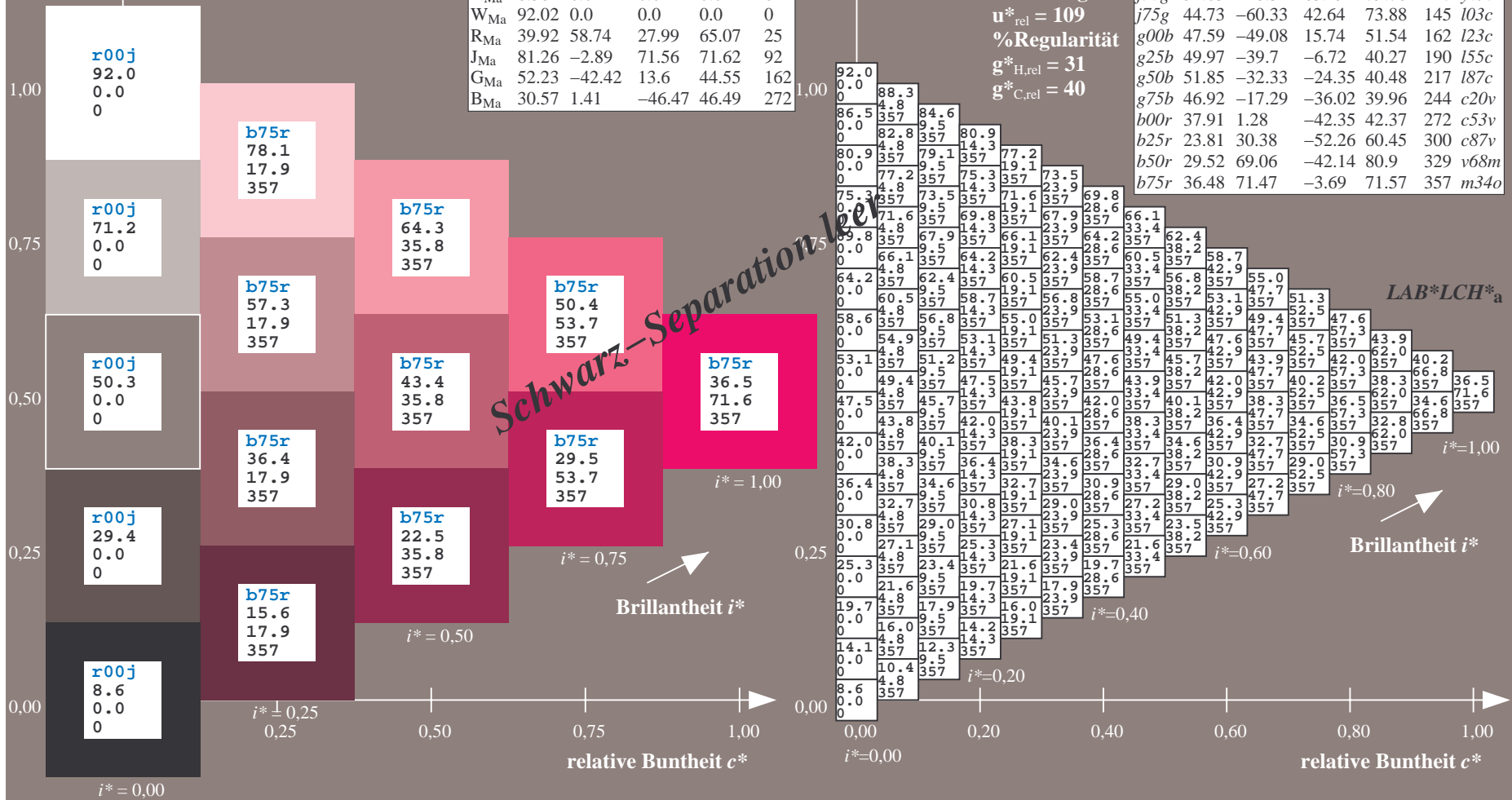
lab*olv*_Ma: 1.0 0.0 0.66

Dreiecks-Helligkeit t^*

FRS09_92a; adaptierte CIELAB-Daten

u^*_e	$L^*=L^*_a$	a^*_a	b^*_a	$C^*_{ab,a}$	$h^*_{ab,a}$	u^*_d
r00j	35.47	63.32	30.17	70.15	25	m81o
r25j	39.12	54.56	49.45	73.64	42	o10y
r50j	50.64	39.15	64.89	75.79	59	o40y
r75j	64.01	21.26	82.83	85.52	76	o69y
j00g	83.18	-4.38	108.53	108.62	92	o98y
j25g	66.73	-29.89	83.06	88.28	110	y34l
j50g	54.03	-48.31	63.49	79.78	127	y69l
j75g	44.73	-60.33	42.64	73.88	145	l03c
g00b	47.59	-49.08	15.74	51.54	162	l23c
g25b	49.97	-39.7	-6.72	40.27	190	l55c
g50b	51.85	-32.33	-24.35	40.48	217	l87c
g75b	46.92	-17.29	-36.02	39.96	244	c20v
b00r	37.91	1.28	-42.35	42.37	272	c53v
b25r	23.81	30.38	-52.26	60.45	300	c87v
b50r	29.52	69.06	-42.14	80.9	329	v68m
b75r	36.48	71.47	-3.69	71.57	357	m34o

%Umfang
 $u^*_{rel} = 109$
%Regularität
 $g^*_{H,rel} = 31$
 $g^*_{C,rel} = 40$



Schwarz-Separation

Table with columns labeled A through LAB*LCH*a and rows numbered 01 through 27. Each cell contains a numerical value representing a data point.

Schneider Separation

Ein und Ausgabe:
 Farbmetrisches Drucker-Reflektiv-System FRS09_92a

Daten für jede Farbe:

u^*_e und Nummer $Nr.$ = 00 .. 15

Elementar-Bunttextext:

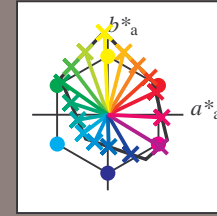
$u^*_e = 16$ Bunttoene $r00j, r25j, \dots, b75r$

Kontrastreduzierungsfaktor:

$c_R = 1.0$

FRS09_92a; adaptierte CIELAB-Daten

u^*_e	$L^*=L^*_a$	a^*_a	b^*_a	$C^*_{ab,a}$	$h^*_{ab,a}$	u^*_d
r00j	35.47	63.32	30.17	70.15	25	m81o
r25j	39.12	54.56	49.45	73.64	42	o10y
r50j	50.64	39.15	64.89	75.79	59	o40y
r75j	64.01	21.26	82.83	85.52	76	o69y
j00g	83.18	-4.38	108.53	108.62	92	o98y
j25g	66.73	-29.89	83.06	88.28	110	y34l
j50g	54.03	-48.31	63.49	79.78	127	y69l
j75g	44.73	-60.33	42.64	73.88	145	l03c
g00b	47.59	-49.08	15.74	51.54	162	l23c
g25b	49.97	-39.7	-6.72	40.27	190	l55c
g50b	51.85	-32.33	-24.35	40.48	217	l87c
g75b	46.92	-17.29	-36.02	39.96	244	c20v
b00r	37.91	1.28	-42.35	42.37	272	c53v
b25r	23.81	30.38	-52.26	60.45	300	c87v
b50r	29.52	69.06	-42.14	80.9	329	v68m
b75r	36.48	71.47	-3.69	71.57	357	m34o



%Umfang

$u^*_{rel} = 109$

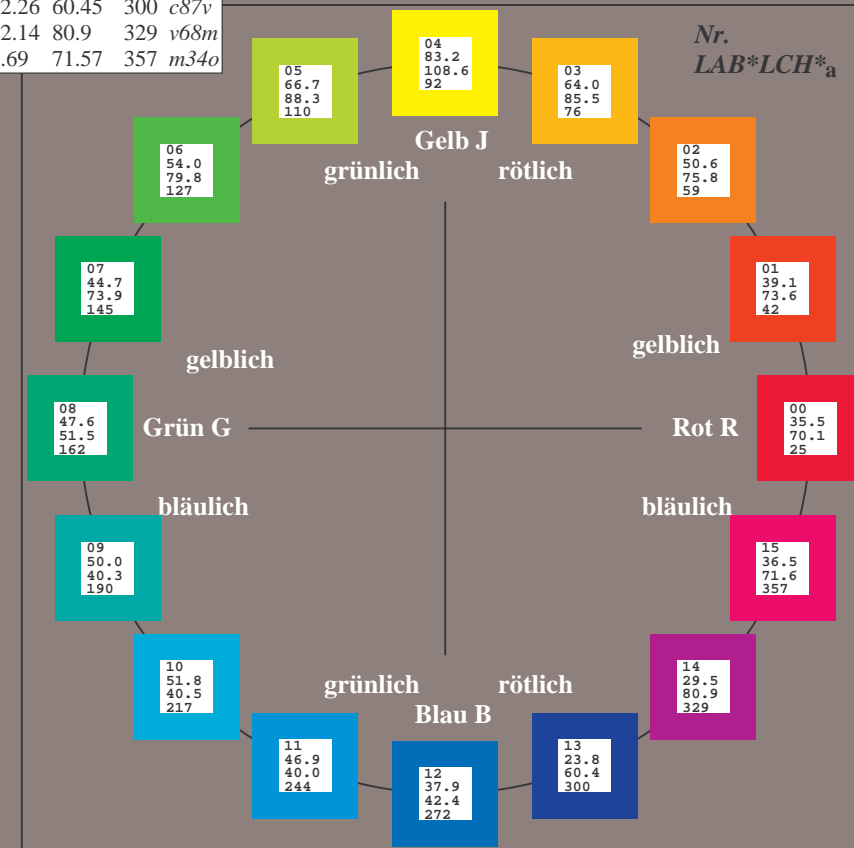
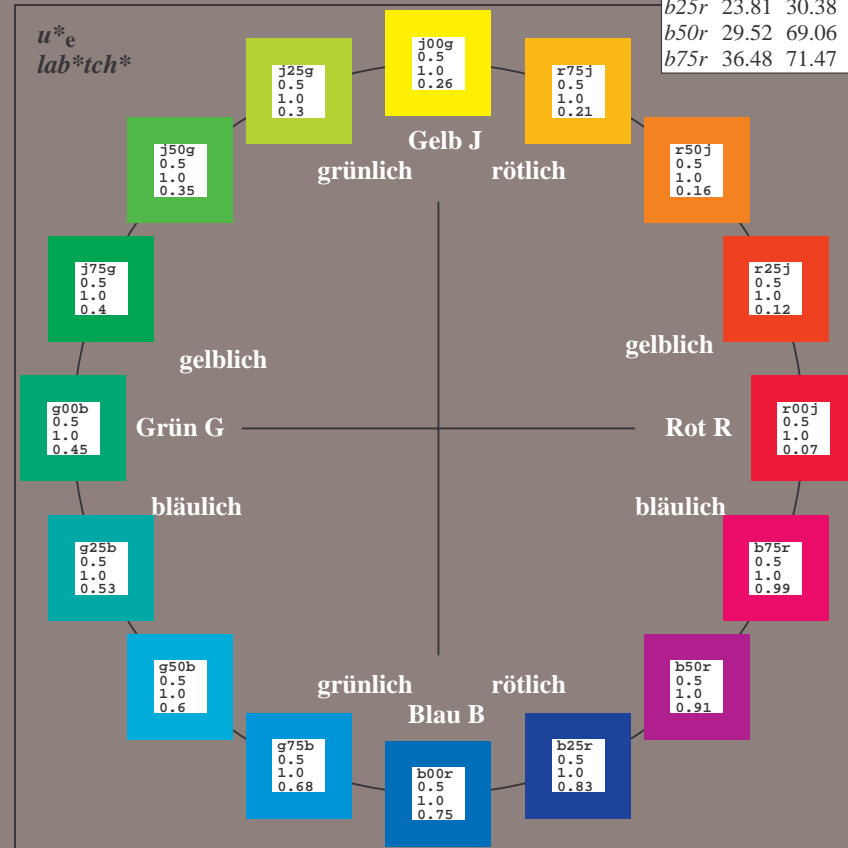
%Regularität

$g^*_{H,rel} = 31$

$g^*_{C,rel} = 40$

FRS09_92a; adaptierte CIELAB-Daten

Name	$L^*=L^*_a$	a^*_a	b^*_a	$C^*_{ab,a}$	$h^*_{ab,a}$
OMa	35.06	60.0	44.0	74.4	36
YMa	83.77	-5.17	109.32	109.44	93
LMa	44.13	-62.67	48.24	79.09	142
CMa	52.66	-29.14	-31.99	43.27	228
VMa	14.15	50.3	-59.04	77.57	310
MMa	37.37	78.64	-33.5	85.48	337
NMa	8.58	0.0	0.0	0.0	0
WMa	92.02	0.0	0.0	0.0	0
RCIE	39.92	58.74	27.99	65.07	25
JCIE	81.26	-2.89	71.56	71.62	92
GCIE	52.23	-42.42	13.6	44.55	162
BCIE	30.57	1.41	-46.47	46.49	272



Ein und Ausgabe: Farbmatisches Drucker-Reflektiv-System FRS09_92a für relativen CIELAB-Bunton $h^* = lab^*h^* = h_{ab}/360 = 0.071$

$u^*_e = r00j$
 lab^*tch^*

Daten für jede Farbe:

lab^*tch^* und lab^*icu^*

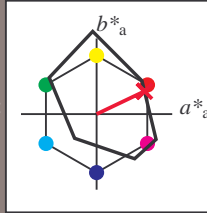
Buntontexte:

$u^*_e = r00j$ $u^*_d = m81o$

Kontrastreduzierungsfaktor:

$c_R = 1.0$

Dreiecks-Helligkeit t^*



FRS09_92a; adaptierte CIELAB-Daten

u^*_e	$L^*=L^*_a$	a^*_a	b^*_a	$C^*_{ab,a}$	$h^*_{ab,a}$
O _{Ma}	35.06	60.0	44.0	74.4	36
Y _{Ma}	83.77	-5.17	109.32	109.44	93
L _{Ma}	44.13	-62.67	48.24	79.09	142
C _{Ma}	52.66	-29.14	-31.99	43.27	228
V _{Ma}	14.15	50.3	-59.04	77.57	310
M _{Ma}	37.37	78.64	-33.5	85.48	337
N _{Ma}	8.58	0.0	0.0	0.0	0
W _{Ma}	92.02	0.0	0.0	0.0	0
R _{Ma}	39.92	58.74	27.99	65.07	25
J _{Ma}	81.26	-2.89	71.56	71.62	92
G _{Ma}	52.23	-42.42	13.6	44.55	162
B _{Ma}	30.57	1.41	-46.47	46.49	272

Daten für Maximalfarbe (Ma):

$LAB^*LAB^*_{Ma}$: 35 63 30

$LAB^*LCH^*_{Ma}$: 35 70 25

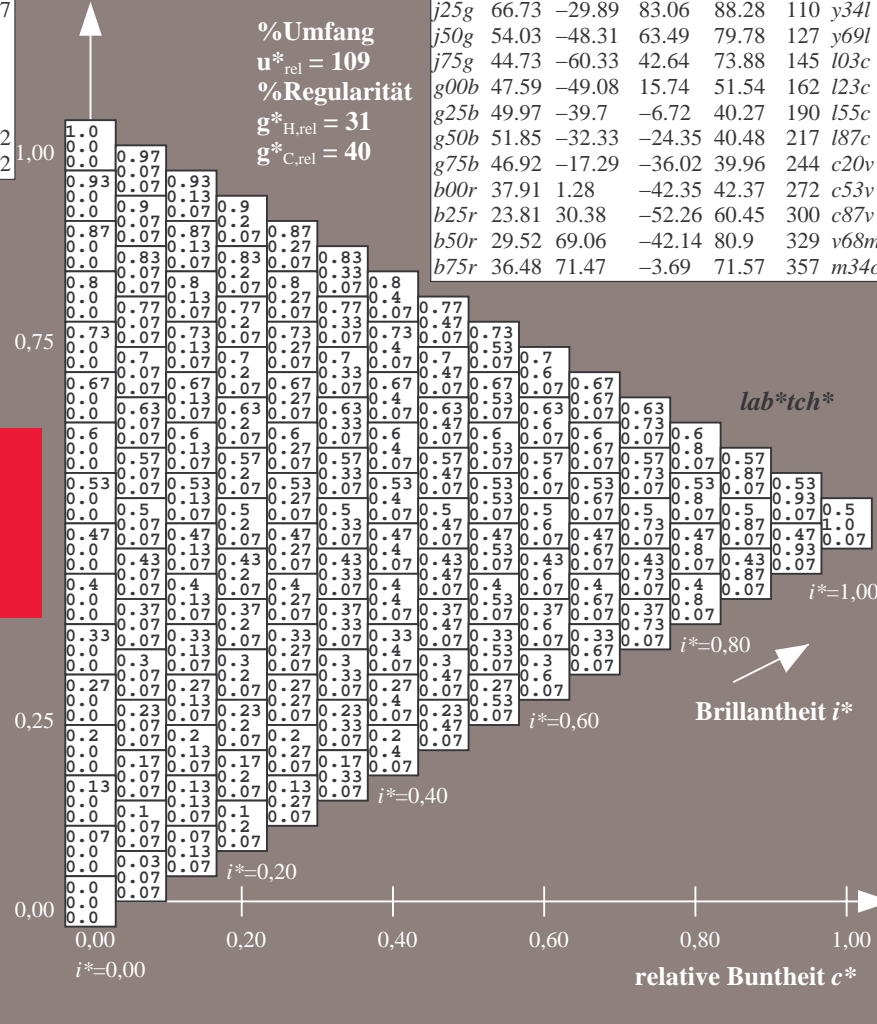
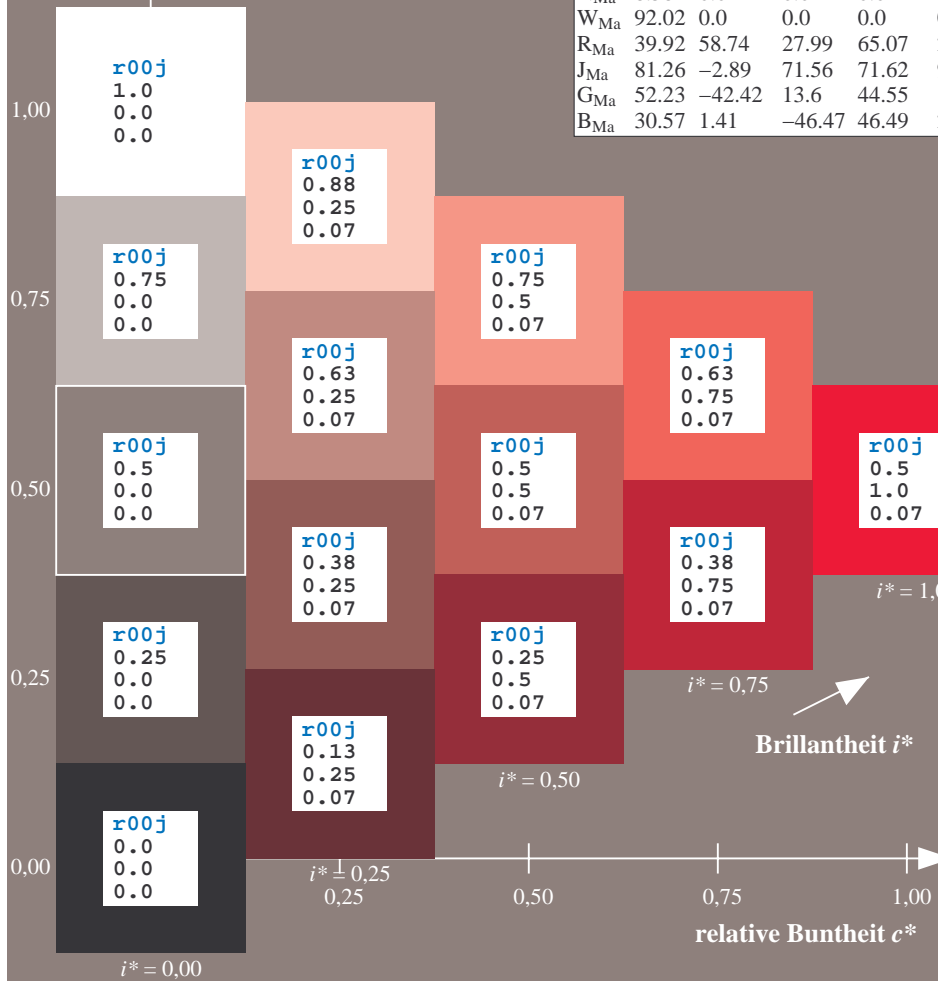
$lab^*rgb^*_{Ma}$: 1.0 0.0 0.0

$lab^*olv^*_{Ma}$: 1.0 0.0 0.18

Dreiecks-Helligkeit t^*

FRS09_92a; adaptierte CIELAB-Daten

u^*_e	$L^*=L^*_a$	a^*_a	b^*_a	$C^*_{ab,a}$	$h^*_{ab,a}$	u^*_d
r00j	35.47	63.32	30.17	70.15	25	m81o
r25j	39.12	54.56	49.45	73.64	42	o10y
r50j	50.64	39.15	64.89	75.79	59	o40y
r75j	64.01	21.26	82.83	85.52	76	o69y
j00g	83.18	-4.38	108.53	108.62	92	o98y
j25g	66.73	-29.89	83.06	88.28	110	y34l
j50g	54.03	-48.31	63.49	79.78	127	y69l
j75g	44.73	-60.33	42.64	73.88	145	l03c
g00b	47.59	-49.08	15.74	51.54	162	l23c
g25b	49.97	-39.7	-6.72	40.27	190	l55c
g50b	51.85	-32.33	-24.35	40.48	217	l87c
g75b	46.92	-17.29	-36.02	39.96	244	c20v
b00r	37.91	1.28	-42.35	42.37	272	c53v
b25r	23.81	30.38	-52.26	60.45	300	c87v
b50r	29.52	69.06	-42.14	80.9	329	v68m
b75r	36.48	71.47	-3.69	71.57	357	m34o



Ein und Ausgabe: Farbmatisches Drucker-Reflektiv-System FRS09_92a für relativen CIELAB-Bunton $h^* = lab^*h^* = h_{ab}/360 = 0.117$

$u^*_e = r25j$
 lab^*tch^*

Daten für jede Farbe:

lab^*tch^* und lab^*icu^*

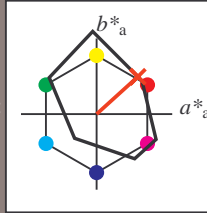
Buntontexte:

$u^*_e = r25j$ $u^*_d = o10y$

Kontrastreduzierungsfaktor:

$c_R = 1.0$

Dreiecks-Helligkeit t^*



FRS09_92a; adaptierte CIELAB-Daten

u^*_e	$L^*=L^*_a$	a^*_a	b^*_a	$C^*_{ab,a}$	$h^*_{ab,a}$
O _{Ma}	35.06	60.0	44.0	74.4	36
Y _{Ma}	83.77	-5.17	109.32	109.44	93
L _{Ma}	44.13	-62.67	48.24	79.09	142
C _{Ma}	52.66	-29.14	-31.99	43.27	228
V _{Ma}	14.15	50.3	-59.04	77.57	310
M _{Ma}	37.37	78.64	-33.5	85.48	337
N _{Ma}	8.58	0.0	0.0	0.0	0
W _{Ma}	92.02	0.0	0.0	0.0	0
R _{Ma}	39.92	58.74	27.99	65.07	25
J _{Ma}	81.26	-2.89	71.56	71.62	92
G _{Ma}	52.23	-42.42	13.6	44.55	162
B _{Ma}	30.57	1.41	-46.47	46.49	272

Daten für Maximalfarbe (Ma):

$LAB^*LAB^*_{Ma}$: 39 55 49

$LAB^*LCH^*_{Ma}$: 39 74 42

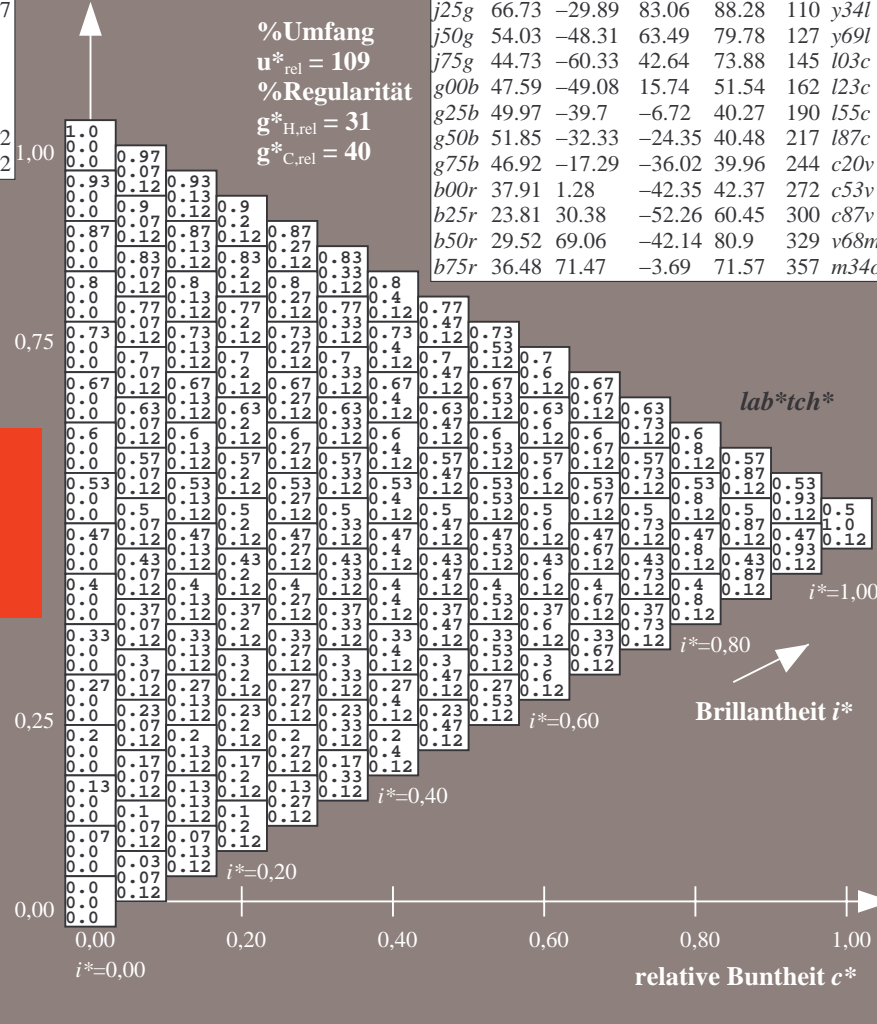
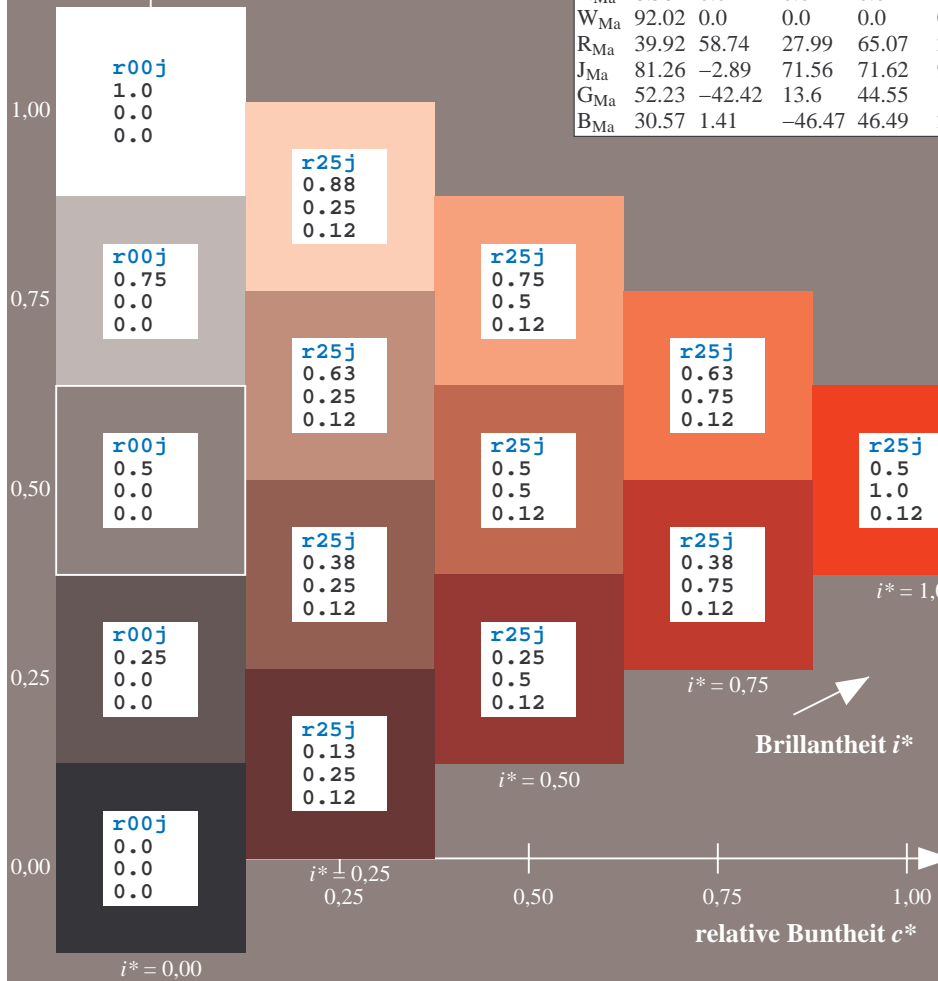
$lab^*rgb^*_{Ma}$: 1.0 0.25 0.0

$lab^*olv^*_{Ma}$: 1.0 0.11 0.0

Dreiecks-Helligkeit t^*

FRS09_92a; adaptierte CIELAB-Daten

u^*_e	$L^*=L^*_a$	a^*_a	b^*_a	$C^*_{ab,a}$	$h^*_{ab,a}$	u^*_d
r00j	35.47	63.32	30.17	70.15	25	m81o
r25j	39.12	54.56	49.45	73.64	42	o10y
r50j	50.64	39.15	64.89	75.79	59	o40y
r75j	64.01	21.26	82.83	85.52	76	o69y
j00g	83.18	-4.38	108.53	108.62	92	o98y
j25g	66.73	-29.89	83.06	88.28	110	y34l
j50g	54.03	-48.31	63.49	79.78	127	y69l
j75g	44.73	-60.33	42.64	73.88	145	l03c
g00b	47.59	-49.08	15.74	51.54	162	i23c
g25b	49.97	-39.7	-6.72	40.27	190	i55c
g50b	51.85	-32.33	-24.35	40.48	217	i87c
g75b	46.92	-17.29	-36.02	39.96	244	c20v
b00r	37.91	1.28	-42.35	42.37	272	c53v
b25r	23.81	30.38	-52.26	60.45	300	c87v
b50r	29.52	69.06	-42.14	80.9	329	v68m
b75r	36.48	71.47	-3.69	71.57	357	m34o



%Umfang
 $u^*_{rel} = 109$
%Regularität
 $g^*_{H,rel} = 31$
 $g^*_{C,rel} = 40$

lab^*tch^*

$i^* = 1.00$

Brillantheit i^*

$i^* = 0.80$

$i^* = 0.60$

$i^* = 0.40$

$i^* = 0.20$

Ein und Ausgabe: Farbmatisches Drucker-Reflektiv-System FRS09_92a für relativen CIELAB-Bunton $h^* = lab^*h^* = h_{ab}/360 = 0.164$

$u^*_e = r50j$
 lab^*tch^*

Daten für jede Farbe:

lab^*tch^* und lab^*icu^*

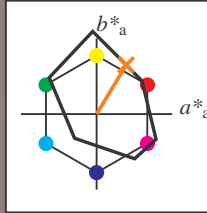
Buntontexte:

$u^*_e = r50j$ $u^*_d = o40y$

Kontrastreduzierungsfaktor:

$c_R = 1.0$

Dreiecks-Helligkeit t^*



FRS09_92a; adaptierte CIELAB-Daten

u^*_e	$L^*=L^*_a$	a^*_a	b^*_a	$C^*_{ab,a}$	$h^*_{ab,a}$
O _{Ma}	35.06	60.0	44.0	74.4	36
Y _{Ma}	83.77	-5.17	109.32	109.44	93
L _{Ma}	44.13	-62.67	48.24	79.09	142
C _{Ma}	52.66	-29.14	-31.99	43.27	228
V _{Ma}	14.15	50.3	-59.04	77.57	310
M _{Ma}	37.37	78.64	-33.5	85.48	337
N _{Ma}	8.58	0.0	0.0	0.0	0
W _{Ma}	92.02	0.0	0.0	0.0	0
R _{Ma}	39.92	58.74	27.99	65.07	25
J _{Ma}	81.26	-2.89	71.56	71.62	92
G _{Ma}	52.23	-42.42	13.6	44.55	162
B _{Ma}	30.57	1.41	-46.47	46.49	272

Daten für Maximalfarbe (Ma):

$LAB^*LAB^*_{Ma}$: 51 39 65

$LAB^*LCH^*_{Ma}$: 51 76 58

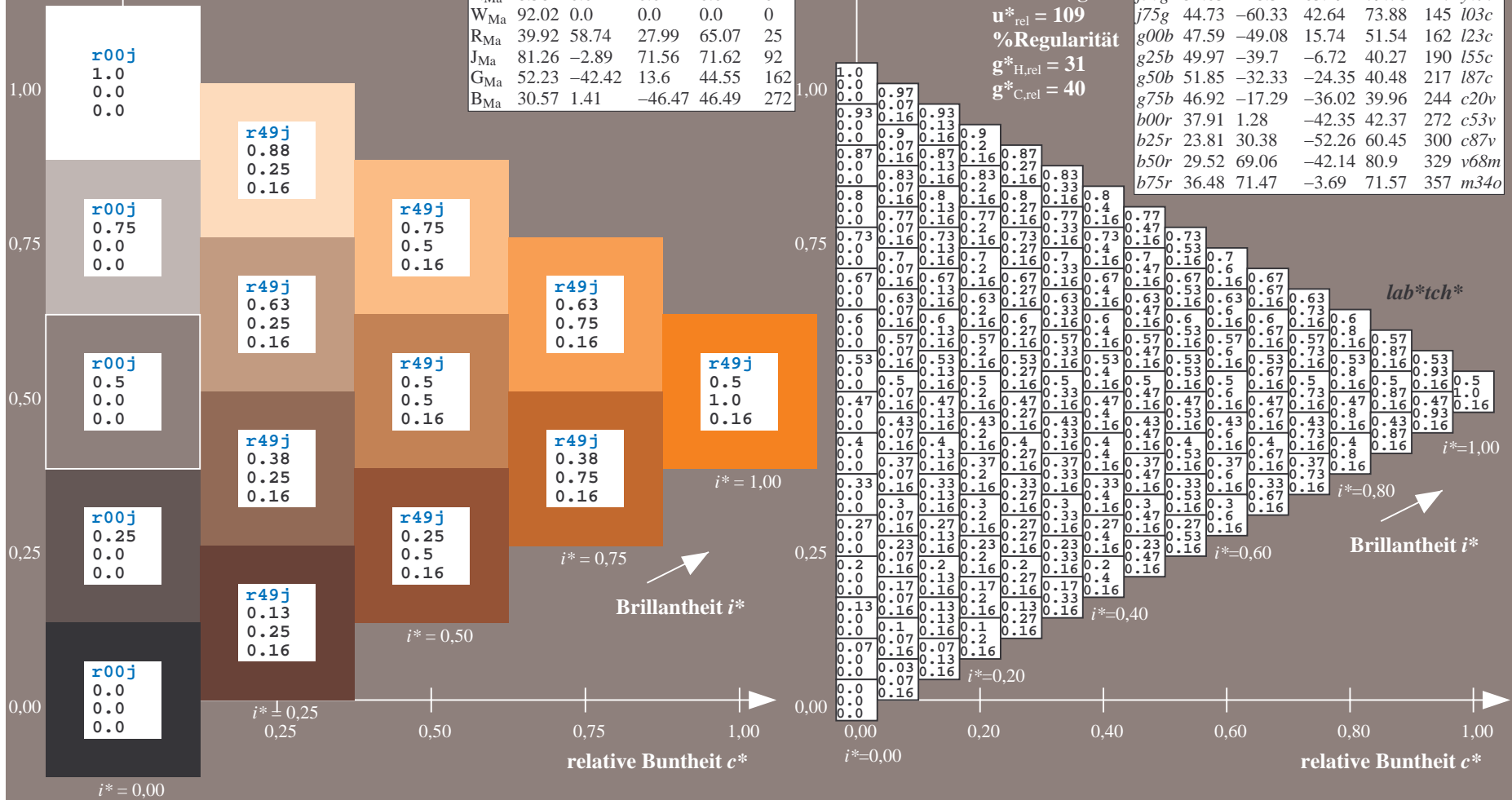
$lab^*rgb^*_{Ma}$: 1.0 0.5 0.0

$lab^*olv^*_{Ma}$: 1.0 0.4 0.0

Dreiecks-Helligkeit t^*

FRS09_92a; adaptierte CIELAB-Daten

u^*_e	$L^*=L^*_a$	a^*_a	b^*_a	$C^*_{ab,a}$	$h^*_{ab,a}$	u^*_d
r00j	35.47	63.32	30.17	70.15	25	m81o
r25j	39.12	54.56	49.45	73.64	42	o10y
r50j	50.64	39.15	64.89	75.79	59	o40y
r75j	64.01	21.26	82.83	85.52	76	o69y
j00g	83.18	-4.38	108.53	108.62	92	o98y
j25g	66.73	-29.89	83.06	88.28	110	y34l
j50g	54.03	-48.31	63.49	79.78	127	y69l
j75g	44.73	-60.33	42.64	73.88	145	103c
g00b	47.59	-49.08	15.74	51.54	162	l23c
g25b	49.97	-39.7	-6.72	40.27	190	l55c
g50b	51.85	-32.33	-24.35	40.48	217	l87c
g75b	46.92	-17.29	-36.02	39.96	244	c20v
b00r	37.91	1.28	-42.35	42.37	272	c53v
b25r	23.81	30.38	-52.26	60.45	300	c87v
b50r	29.52	69.06	-42.14	80.9	329	v68m
b75r	36.48	71.47	-3.69	71.57	357	m34o



Ein und Ausgabe: Farbmatisches Drucker-Reflektiv-System FRS09_92a für relativen CIELAB-Bunton $h^* = lab^*h^* = h_{ab}/360 = 0.21$

$u^*_e = r75j$
 lab^*tch^*

Daten für jede Farbe:

lab^*tch^* und lab^*icu^*

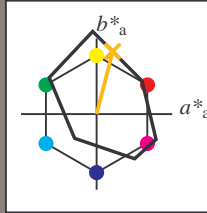
Buntontexte:

$u^*_e = r75j$ $u^*_d = o69y$

Kontrastreduzierungsfaktor:

$c_R = 1.0$

Dreiecks-Helligkeit t^*



FRS09_92a; adaptierte CIELAB-Daten

u^*_e	$L^*=L^*_a$	a^*_a	b^*_a	$C^*_{ab,a}$	$h^*_{ab,a}$
O _{Ma}	35.06	60.0	44.0	74.4	36
Y _{Ma}	83.77	-5.17	109.32	109.44	93
L _{Ma}	44.13	-62.67	48.24	79.09	142
C _{Ma}	52.66	-29.14	-31.99	43.27	228
V _{Ma}	14.15	50.3	-59.04	77.57	310
M _{Ma}	37.37	78.64	-33.5	85.48	337
N _{Ma}	8.58	0.0	0.0	0.0	0
W _{Ma}	92.02	0.0	0.0	0.0	0
R _{Ma}	39.92	58.74	27.99	65.07	25
J _{Ma}	81.26	-2.89	71.56	71.62	92
G _{Ma}	52.23	-42.42	13.6	44.55	162
B _{Ma}	30.57	1.41	-46.47	46.49	272

Daten für Maximalfarbe (Ma):

$LAB^*LAB^*_{Ma}$: 64 21 83

$LAB^*LCH^*_{Ma}$: 64 86 75

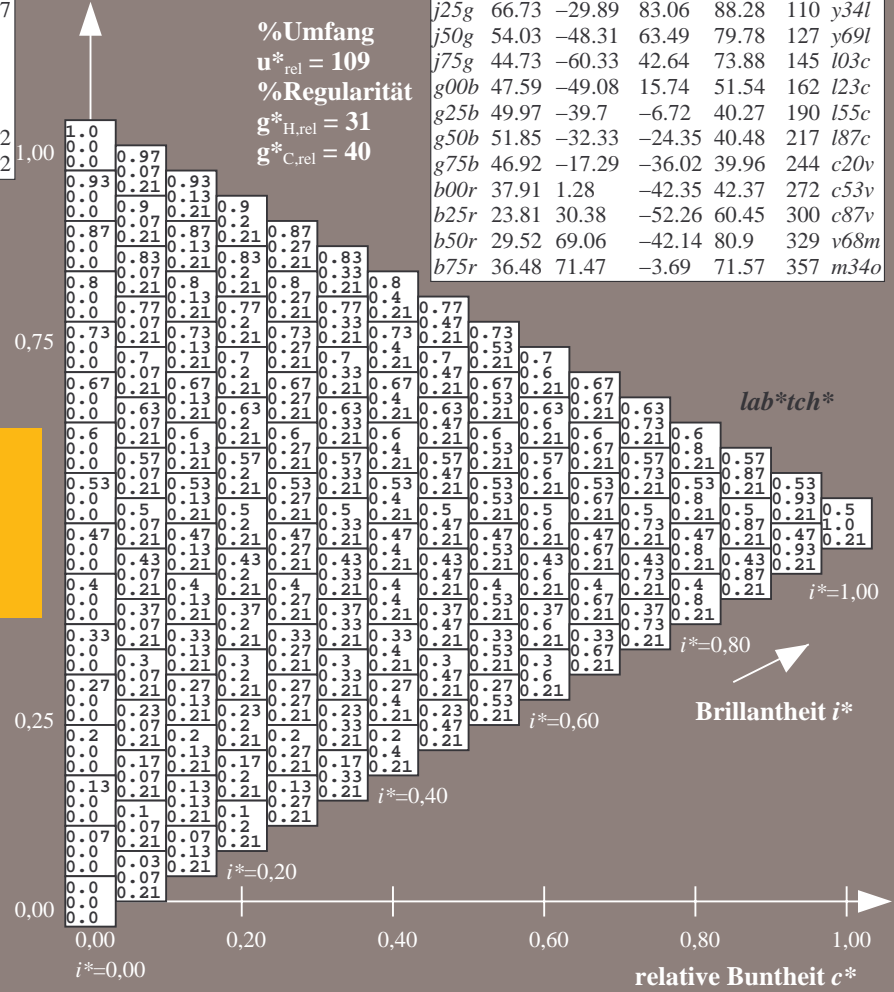
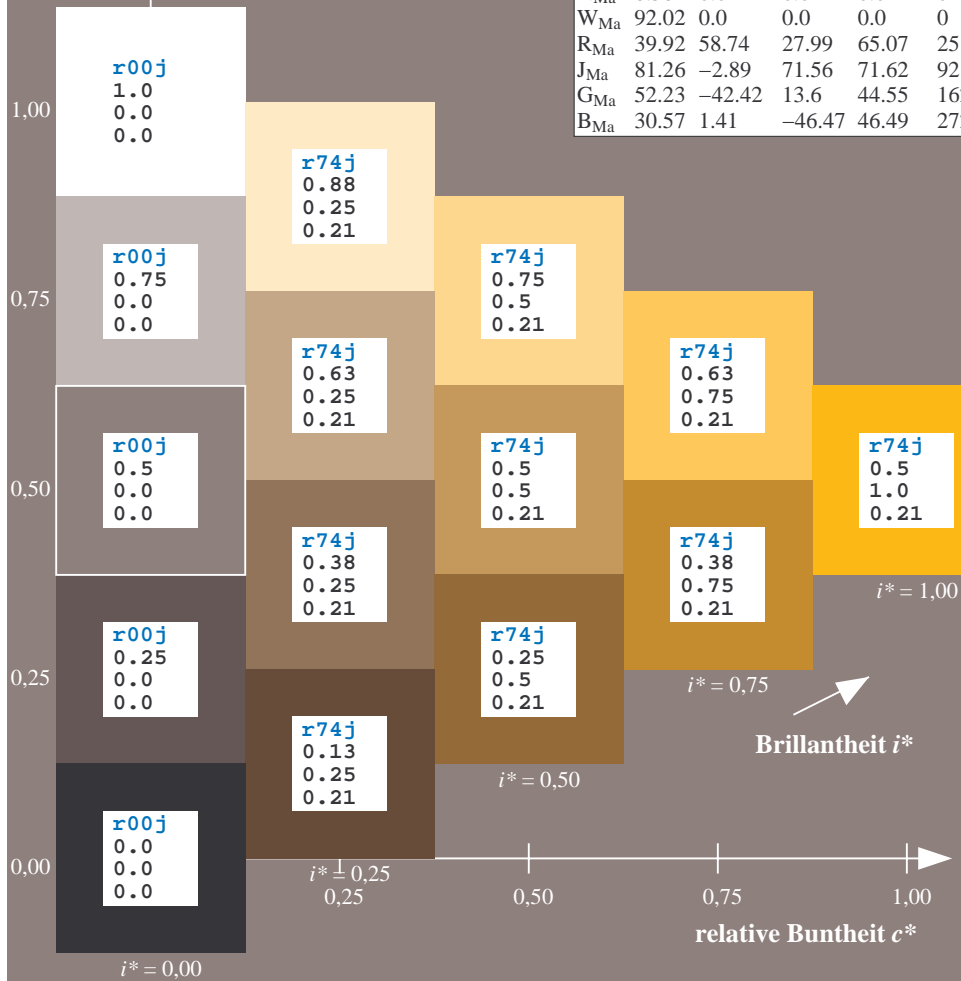
$lab^*rgb^*_{Ma}$: 1.0 0.75 0.0

$lab^*olv^*_{Ma}$: 1.0 0.7 0.0

Dreiecks-Helligkeit t^*

FRS09_92a; adaptierte CIELAB-Daten

u^*_e	$L^*=L^*_a$	a^*_a	b^*_a	$C^*_{ab,a}$	$h^*_{ab,a}$	u^*_d
r00j	35.47	63.32	30.17	70.15	25	m81o
r25j	39.12	54.56	49.45	73.64	42	o10y
r50j	50.64	39.15	64.89	75.79	59	o40y
r75j	64.01	21.26	82.83	85.52	76	o69y
j00g	83.18	-4.38	108.53	108.62	92	o98y
j25g	66.73	-29.89	83.06	88.28	110	y34l
j50g	54.03	-48.31	63.49	79.78	127	y69l
j75g	44.73	-60.33	42.64	73.88	145	103c
g00b	47.59	-49.08	15.74	51.54	162	l23c
g25b	49.97	-39.7	-6.72	40.27	190	l55c
g50b	51.85	-32.33	-24.35	40.48	217	l87c
g75b	46.92	-17.29	-36.02	39.96	244	c20v
b00r	37.91	1.28	-42.35	42.37	272	c53v
b25r	23.81	30.38	-52.26	60.45	300	c87v
b50r	29.52	69.06	-42.14	80.9	329	v68m
b75r	36.48	71.47	-3.69	71.57	357	m34o



%Umfang
 $u^*_{rel} = 109$
%Regularität
 $g^*_{H,rel} = 31$
 $g^*_{C,rel} = 40$

Brillantheit i^*

$i^* = 1.00$

$i^* = 0.80$

$i^* = 0.60$

$i^* = 0.40$

$i^* = 0.20$

$i^* = 0.00$

Ein und Ausgabe: Farbmatisches Drucker-Reflektiv-System FRS09_92a für relativen CIELAB-Bunton $h^* = lab^*h^* = h_{ab}/360 = 0.256$

$u^*_e = j00g$

Daten für jede Farbe:

lab^*tch^* und lab^*icu^*

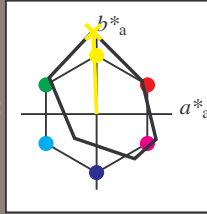
Buntontexte:

$u^*_e = j00g$ $u^*_d = o98y$

Kontrastreduzierungsfaktor:

$c_R = 1.0$

Dreiecks-Helligkeit t^*



FRS09_92a; adaptierte CIELAB-Daten

u^*_e	$L^*=L^*_a$	a^*_a	b^*_a	$C^*_{ab,a}$	$h^*_{ab,a}$
O _{Ma}	35.06	60.0	44.0	74.4	36
Y _{Ma}	83.77	-5.17	109.32	109.44	93
L _{Ma}	44.13	-62.67	48.24	79.09	142
C _{Ma}	52.66	-29.14	-31.99	43.27	228
V _{Ma}	14.15	50.3	-59.04	77.57	310
M _{Ma}	37.37	78.64	-33.5	85.48	337
N _{Ma}	8.58	0.0	0.0	0.0	0
W _{Ma}	92.02	0.0	0.0	0.0	0
R _{Ma}	39.92	58.74	27.99	65.07	25
J _{Ma}	81.26	-2.89	71.56	71.62	92
G _{Ma}	52.23	-42.42	13.6	44.55	162
B _{Ma}	30.57	1.41	-46.47	46.49	272

Daten für Maximalfarbe (Ma):

$LAB^*LAB^*_Ma: 83 -4 109$

$LAB^*LCH^*_Ma: 83 109 92$

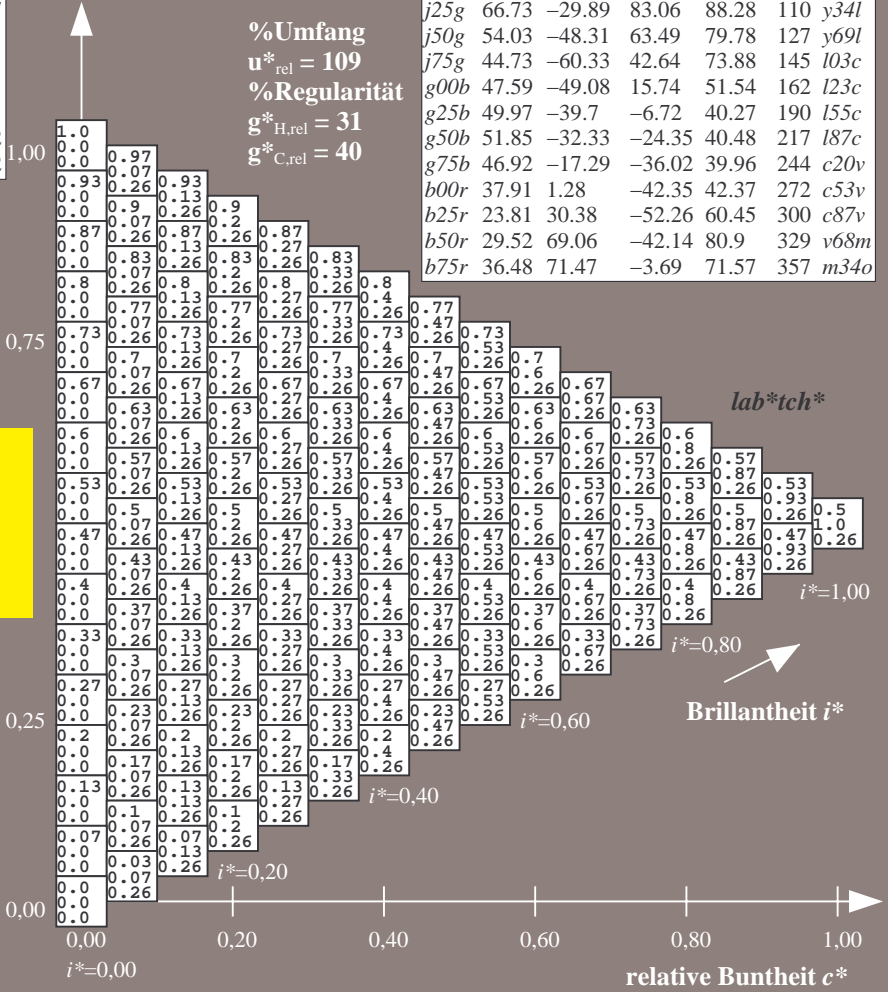
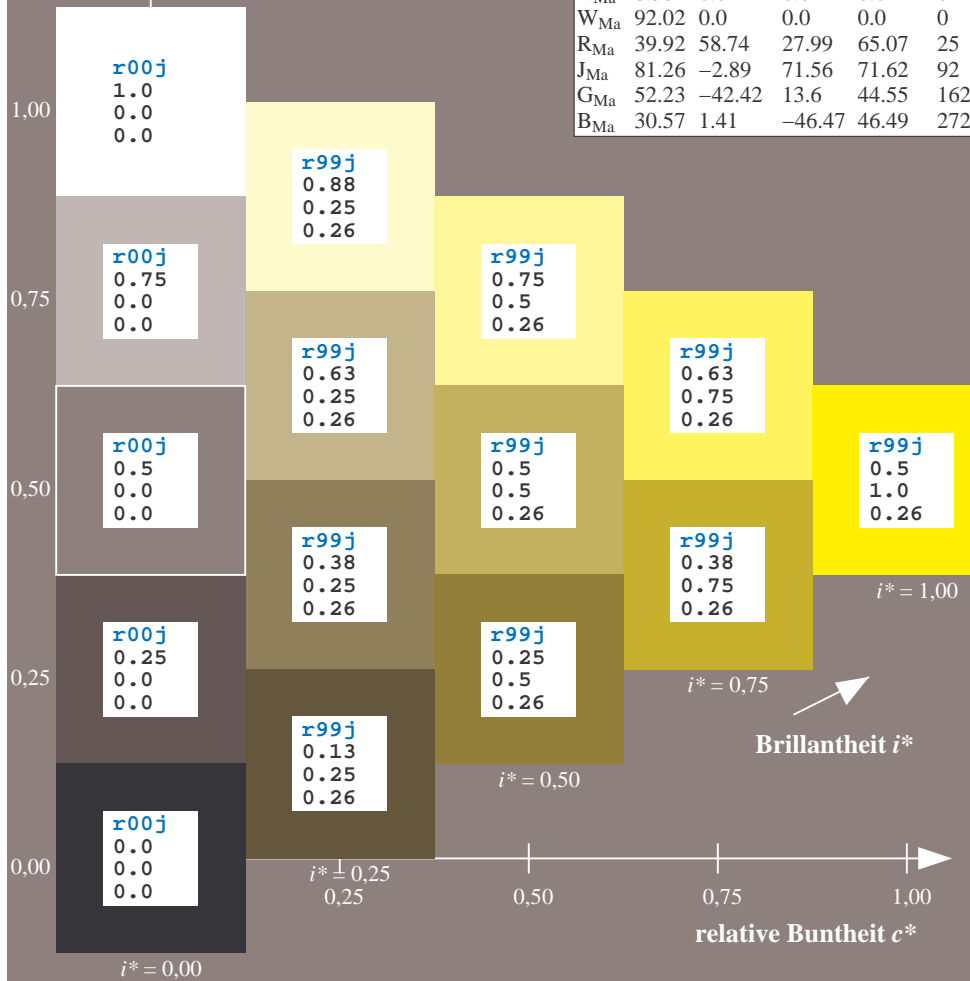
$lab^*rgb^*_Ma: 1.0 1.0 0.0$

$lab^*olv^*_Ma: 1.0 0.99 0.0$

Dreiecks-Helligkeit t^*

FRS09_92a; adaptierte CIELAB-Daten

u^*_e	$L^*=L^*_a$	a^*_a	b^*_a	$C^*_{ab,a}$	$h^*_{ab,a}$	u^*_d
r00j	35.47	63.32	30.17	70.15	25	m81o
r25j	39.12	54.56	49.45	73.64	42	o10y
r50j	50.64	39.15	64.89	75.79	59	o40y
r75j	64.01	21.26	82.83	85.52	76	o69y
j00g	83.18	-4.38	108.53	108.62	92	o98y
j25g	66.73	-29.89	83.06	88.28	110	y34l
j50g	54.03	-48.31	63.49	79.78	127	y69l
j75g	44.73	-60.33	42.64	73.88	145	l03c
g00b	47.59	-49.08	15.74	51.54	162	i23c
g25b	49.97	-39.7	-6.72	40.27	190	i55c
g50b	51.85	-32.33	-24.35	40.48	217	i87c
g75b	46.92	-17.29	-36.02	39.96	244	c20v
b00r	37.91	1.28	-42.35	42.37	272	c53v
b25r	23.81	30.38	-52.26	60.45	300	c87v
b50r	29.52	69.06	-42.14	80.9	329	v68m
b75r	36.48	71.47	-3.69	71.57	357	m34o



%Umfang
 $u^*_{rel} = 109$
%Regularität
 $g^*_{H,rel} = 31$
 $g^*_{C,rel} = 40$

lab^*tch^*

Brillantheit i^*

Ein und Ausgabe: Farbmatisches Drucker-Reflektiv-System FRS09_92a für relativen CIELAB-Bunton $h^* = lab^*h^* = h_{ab}/360 = 0.305$

$u^*_e = j25g$
 lab^*tch^*

Daten für jede Farbe:

lab^*tch^* und lab^*icu^*

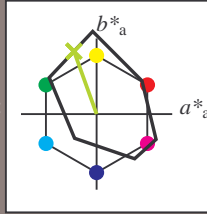
Buntontexte:

$u^*_e = j25g$ $u^*_d = y34l$

Kontrastreduzierungsfaktor:

$c_R = 1.0$

Dreiecks-Helligkeit t^*



FRS09_92a; adaptierte CIELAB-Daten

u^*_e	$L^*=L^*_a$	a^*_a	b^*_a	$C^*_{ab,a}$	$h^*_{ab,a}$
O _{Ma}	35.06	60.0	44.0	74.4	36
Y _{Ma}	83.77	-5.17	109.32	109.44	93
L _{Ma}	44.13	-62.67	48.24	79.09	142
C _{Ma}	52.66	-29.14	-31.99	43.27	228
V _{Ma}	14.15	50.3	-59.04	77.57	310
M _{Ma}	37.37	78.64	-33.5	85.48	337
N _{Ma}	8.58	0.0	0.0	0.0	0
W _{Ma}	92.02	0.0	0.0	0.0	0
R _{Ma}	39.92	58.74	27.99	65.07	25
J _{Ma}	81.26	-2.89	71.56	71.62	92
G _{Ma}	52.23	-42.42	13.6	44.55	162
B _{Ma}	30.57	1.41	-46.47	46.49	272

Daten für Maximalfarbe (Ma):

$LAB^*LAB^*_{Ma}: 67 -30 83$

$LAB^*LCH^*_{Ma}: 67 88 109$

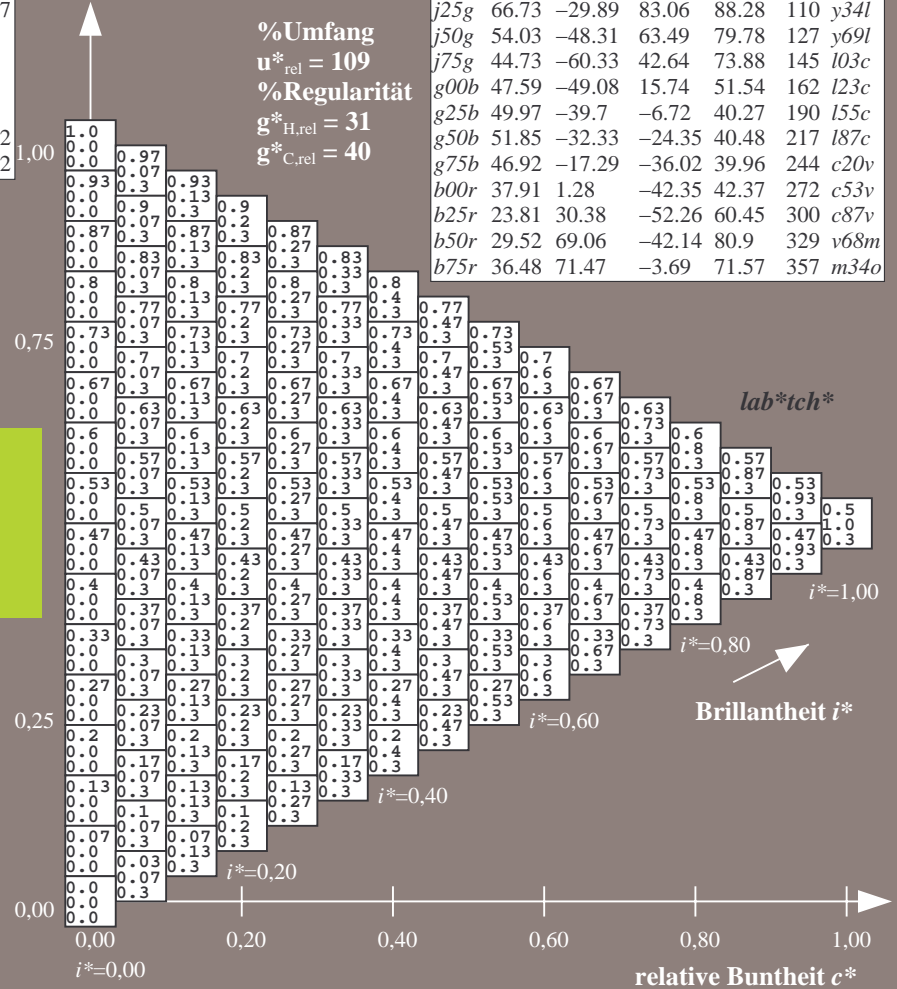
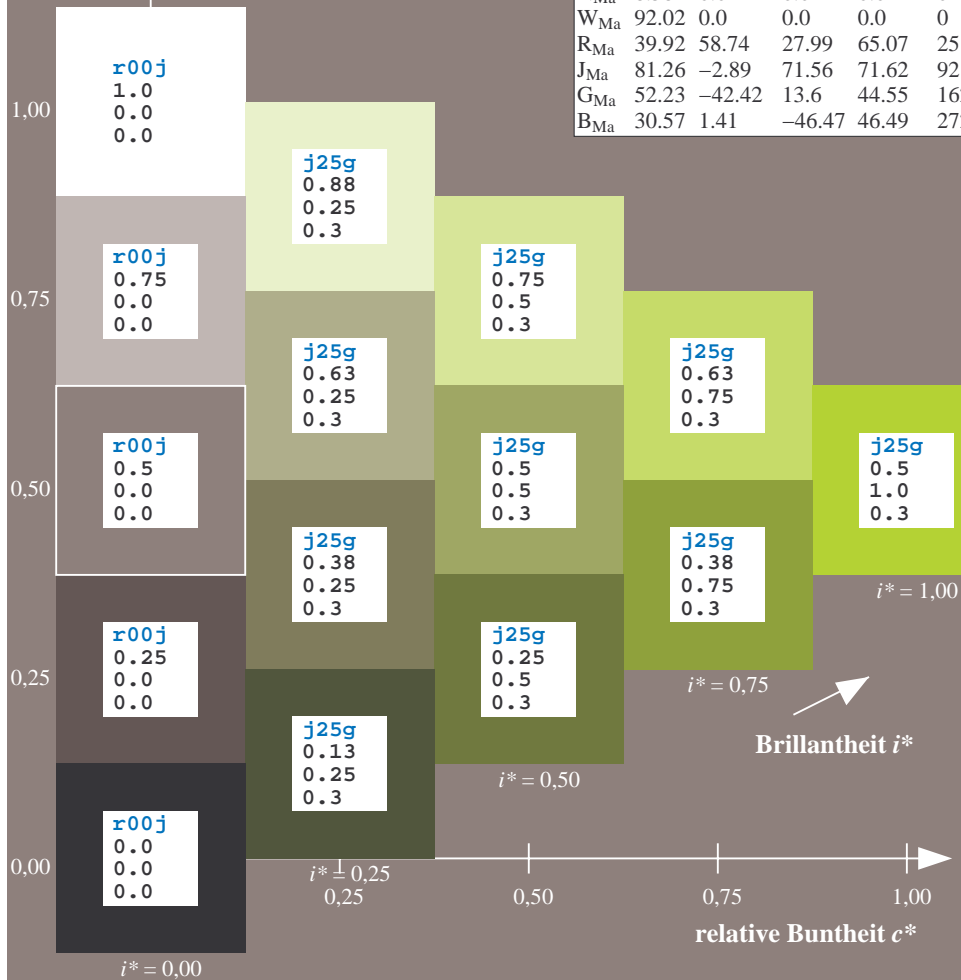
$lab^*rgb^*_{Ma}: 0.75 1.0 0.0$

$lab^*olv^*_{Ma}: 0.66 1.0 0.0$

Dreiecks-Helligkeit t^*

FRS09_92a; adaptierte CIELAB-Daten

u^*_e	$L^*=L^*_a$	a^*_a	b^*_a	$C^*_{ab,a}$	$h^*_{ab,a}$	u^*_d
r00j	35.47	63.32	30.17	70.15	25	m81o
r25j	39.12	54.56	49.45	73.64	42	o10y
r50j	50.64	39.15	64.89	75.79	59	o40y
r75j	64.01	21.26	82.83	85.52	76	o69y
j00g	83.18	-4.38	108.53	108.62	92	o98y
j25g	66.73	-29.89	83.06	88.28	110	y34l
j50g	54.03	-48.31	63.49	79.78	127	y69l
j75g	44.73	-60.33	42.64	73.88	145	103c
g00b	47.59	-49.08	15.74	51.54	162	l23c
g25b	49.97	-39.7	-6.72	40.27	190	l55c
g50b	51.85	-32.33	-24.35	40.48	217	l87c
g75b	46.92	-17.29	-36.02	39.96	244	c20v
b00r	37.91	1.28	-42.35	42.37	272	c53v
b25r	23.81	30.38	-52.26	60.45	300	c87v
b50r	29.52	69.06	-42.14	80.9	329	v68m
b75r	36.48	71.47	-3.69	71.57	357	m34o



Ein und Ausgabe: Farbmatisches Drucker-Reflektiv-System FRS09_92a für relativen CIELAB-Bunton $h^* = lab^*h^* = h_{ab}/360 = 0.354$

$u^*_e = j50g$
 lab^*tch^*

Daten für jede Farbe:

lab^*tch^* und lab^*icu^*

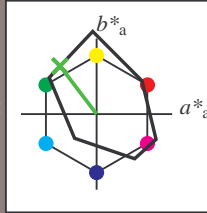
Buntontexte:

$u^*_e = j50g$ $u^*_d = y69l$

Kontrastreduzierungsfaktor:

$c_R = 1.0$

Dreiecks-Helligkeit t^*



FRS09_92a; adaptierte CIELAB-Daten

u^*_e	$L^*=L^*_a$	a^*_a	b^*_a	$C^*_{ab,a}$	$h^*_{ab,a}$
O _{Ma}	35.06	60.0	44.0	74.4	36
Y _{Ma}	83.77	-5.17	109.32	109.44	93
L _{Ma}	44.13	-62.67	48.24	79.09	142
C _{Ma}	52.66	-29.14	-31.99	43.27	228
V _{Ma}	14.15	50.3	-59.04	77.57	310
M _{Ma}	37.37	78.64	-33.5	85.48	337
N _{Ma}	8.58	0.0	0.0	0.0	0
W _{Ma}	92.02	0.0	0.0	0.0	0
R _{Ma}	39.92	58.74	27.99	65.07	25
J _{Ma}	81.26	-2.89	71.56	71.62	92
G _{Ma}	52.23	-42.42	13.6	44.55	162
B _{Ma}	30.57	1.41	-46.47	46.49	272

Daten für Maximalfarbe (Ma):

$LAB^*LAB^*_{Ma}$: 54 -48 63

$LAB^*LCH^*_{Ma}$: 54 80 127

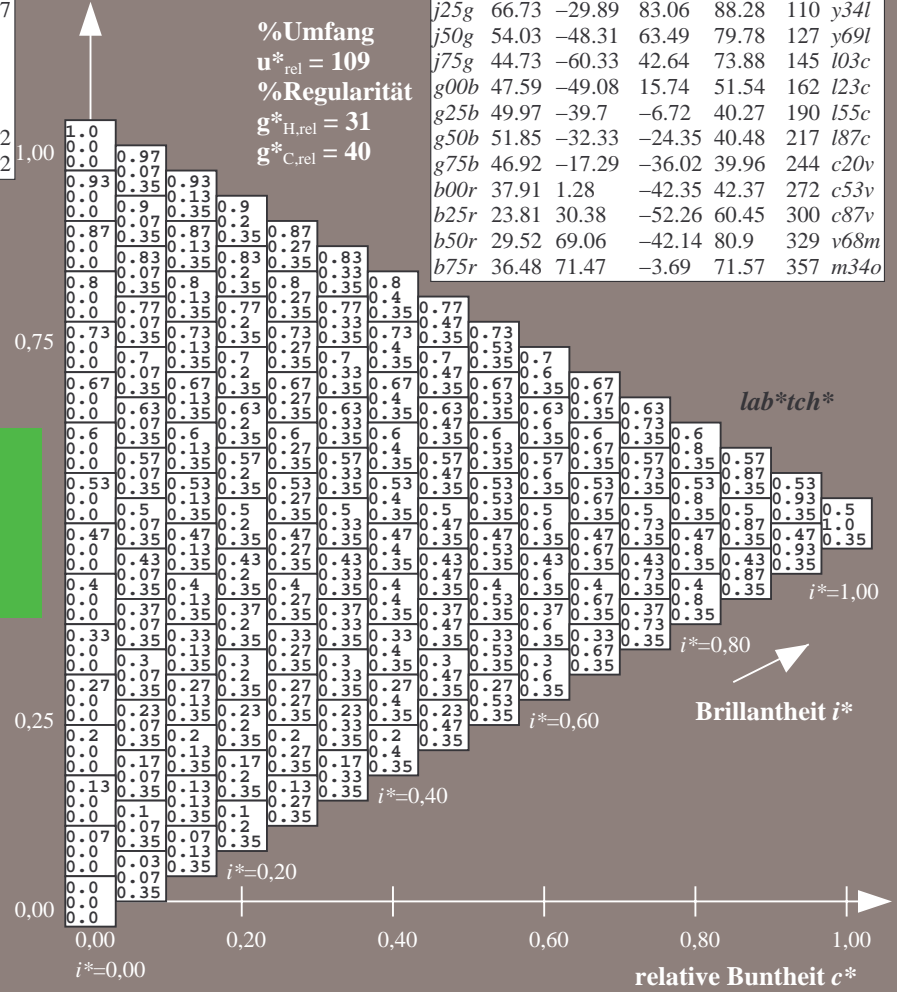
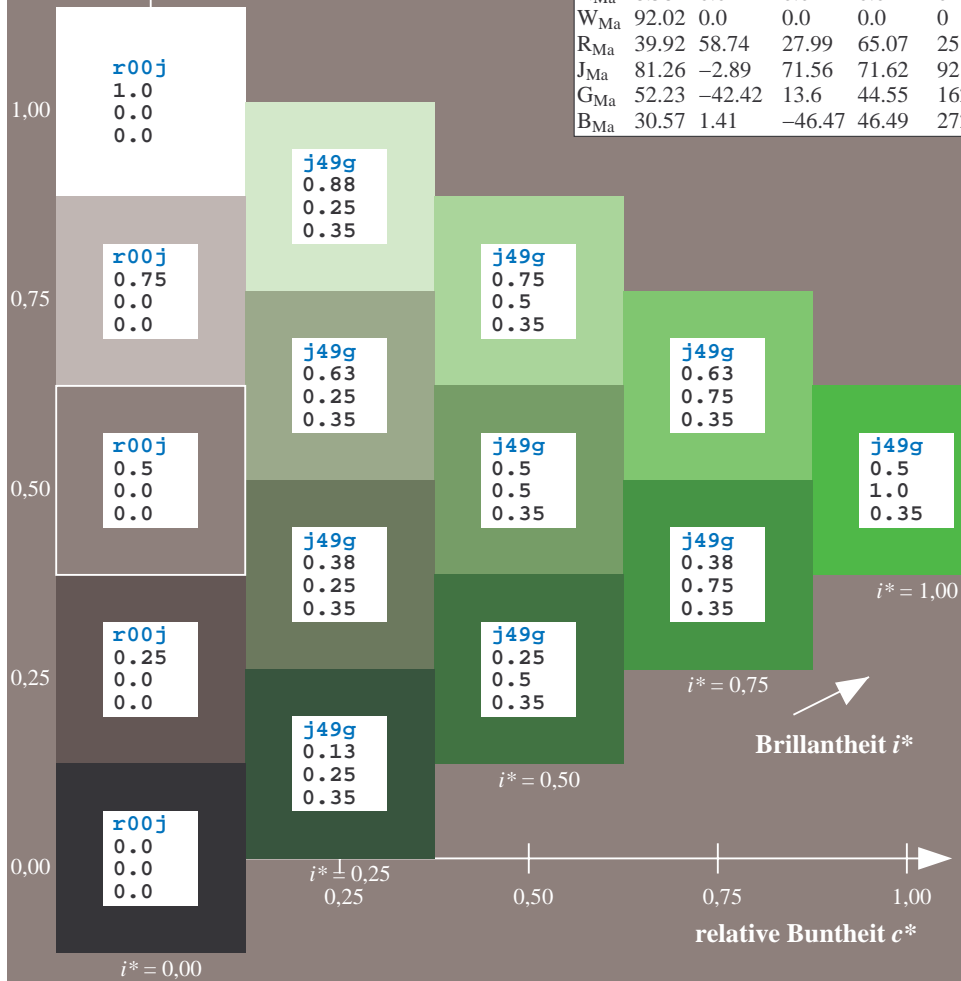
$lab^*rgb^*_{Ma}$: 0.5 1.0 0.0

$lab^*olv^*_{Ma}$: 0.3 1.0 0.0

Dreiecks-Helligkeit t^*

FRS09_92a; adaptierte CIELAB-Daten

u^*_e	$L^*=L^*_a$	a^*_a	b^*_a	$C^*_{ab,a}$	$h^*_{ab,a}$	u^*_d
r00j	35.47	63.32	30.17	70.15	25	m81o
r25j	39.12	54.56	49.45	73.64	42	o10y
r50j	50.64	39.15	64.89	75.79	59	o40y
r75j	64.01	21.26	82.83	85.52	76	o69y
j00g	83.18	-4.38	108.53	108.62	92	o98y
j25g	66.73	-29.89	83.06	88.28	110	y34l
j50g	54.03	-48.31	63.49	79.78	127	y69l
j75g	44.73	-60.33	42.64	73.88	145	l03c
g00b	47.59	-49.08	15.74	51.54	162	i23c
g25b	49.97	-39.7	-6.72	40.27	190	i55c
g50b	51.85	-32.33	-24.35	40.48	217	i87c
g75b	46.92	-17.29	-36.02	39.96	244	c20v
b00r	37.91	1.28	-42.35	42.37	272	c53v
b25r	23.81	30.38	-52.26	60.45	300	c87v
b50r	29.52	69.06	-42.14	80.9	329	v68m
b75r	36.48	71.47	-3.69	71.57	357	m34o



Ein und Ausgabe: Farbmatisches Drucker-Reflektiv-System FRS09_92a für relativen CIELAB-Bunton $h^* = lab^*h^* = h_{ab}/360 = 0.402$

$u^*_e = j75g$
 lab^*tch^*

Daten für jede Farbe:

lab^*tch^* und lab^*icu^*

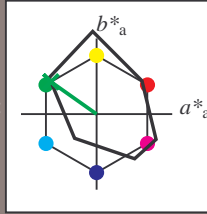
Buntontexte:

$u^*_e = j75g$ $u^*_d = l03c$

Kontrastreduzierungsfaktor:

$c_R = 1.0$

Dreiecks-Helligkeit t^*



FRS09_92a; adaptierte CIELAB-Daten

u^*_e	$L^*=L^*_a$	a^*_a	b^*_a	$C^*_{ab,a}$	$h^*_{ab,a}$
O _{Ma}	35.06	60.0	44.0	74.4	36
Y _{Ma}	83.77	-5.17	109.32	109.44	93
L _{Ma}	44.13	-62.67	48.24	79.09	142
C _{Ma}	52.66	-29.14	-31.99	43.27	228
V _{Ma}	14.15	50.3	-59.04	77.57	310
M _{Ma}	37.37	78.64	-33.5	85.48	337
N _{Ma}	8.58	0.0	0.0	0.0	0
W _{Ma}	92.02	0.0	0.0	0.0	0
R _{Ma}	39.92	58.74	27.99	65.07	25
J _{Ma}	81.26	-2.89	71.56	71.62	92
G _{Ma}	52.23	-42.42	13.6	44.55	162
B _{Ma}	30.57	1.41	-46.47	46.49	272

Daten für Maximalfarbe (Ma):

$LAB^*LAB^*_{Ma}: 45 -60 43$

$LAB^*LCH^*_{Ma}: 45 74 144$

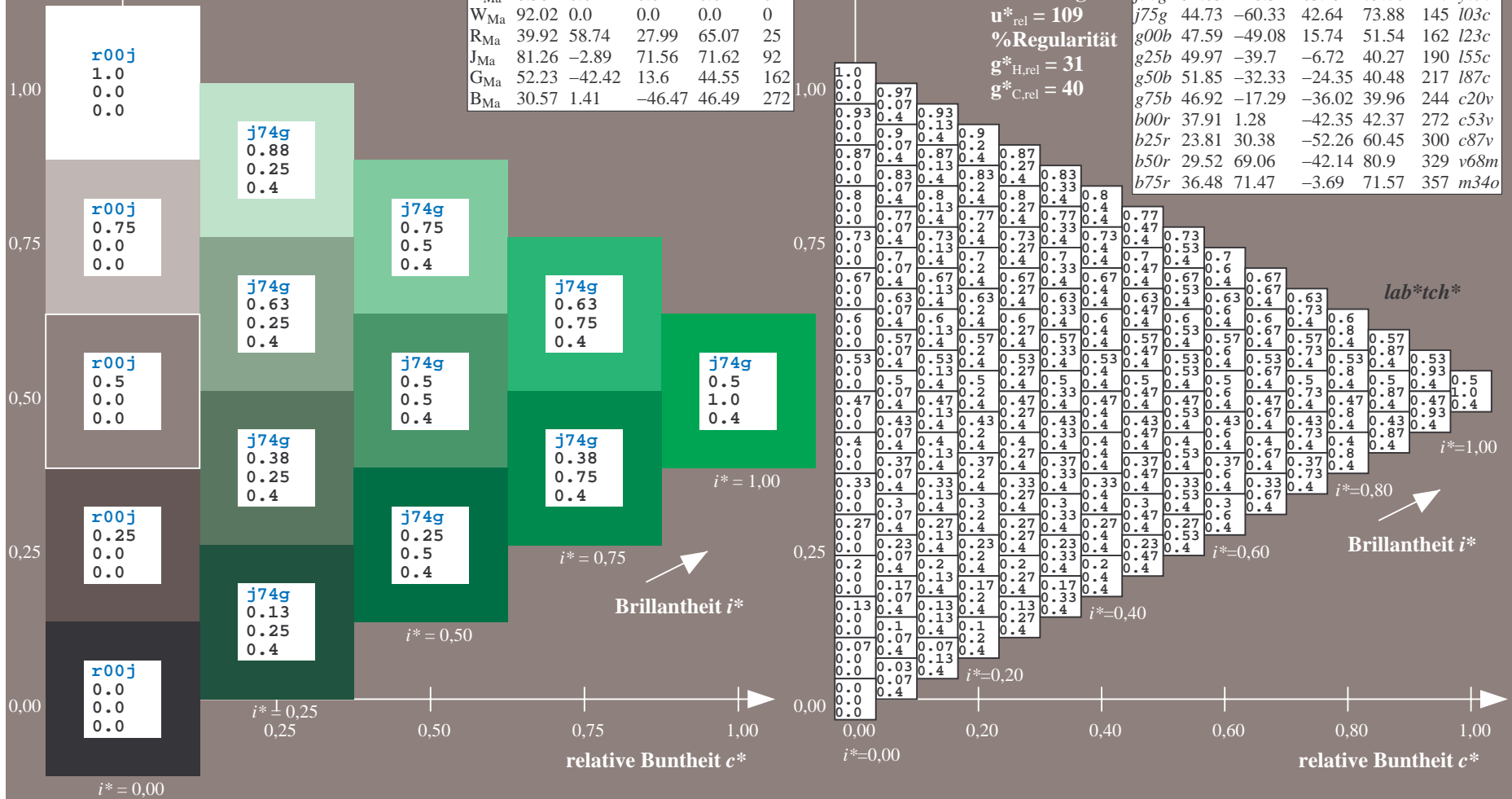
$lab^*rgb^*_{Ma}: 0.25 1.0 0.0$

$lab^*olv^*_{Ma}: 0.0 1.0 0.03$

Dreiecks-Helligkeit t^*

FRS09_92a; adaptierte CIELAB-Daten

u^*_e	$L^*=L^*_a$	a^*_a	b^*_a	$C^*_{ab,a}$	$h^*_{ab,a}$	u^*_d
r00j	35.47	63.32	30.17	70.15	25	m81o
r25j	39.12	54.56	49.45	73.64	42	o10y
r50j	50.64	39.15	64.89	75.79	59	o40y
r75j	64.01	21.26	82.83	85.52	76	o69y
j00g	83.18	-4.38	108.53	108.62	92	o98y
j25g	66.73	-29.89	83.06	88.28	110	y34l
j50g	54.03	-48.31	63.49	79.78	127	y69l
j75g	44.73	-60.33	42.64	73.88	145	l03c
g00b	47.59	-49.08	15.74	51.54	162	l23c
g25b	49.97	-39.7	-6.72	40.27	190	l55c
g50b	51.85	-32.33	-24.35	40.48	217	l87c
g75b	46.92	-17.29	-36.02	39.96	244	c20v
b00r	37.91	1.28	-42.35	42.37	272	c53v
b25r	23.81	30.38	-52.26	60.45	300	c87v
b50r	29.52	69.06	-42.14	80.9	329	v68m
b75r	36.48	71.47	-3.69	71.57	357	m34o



Ein und Ausgabe: Farbmatisches Drucker-Reflektiv-System FRS09_92a für relativen CIELAB-Bunton $h^* = lab^*h^* = h_{ab}/360 = 0.451$

$u^*_e = g00b$
 lab^*tch^*

Daten für jede Farbe:

lab^*tch^* und lab^*icu^*

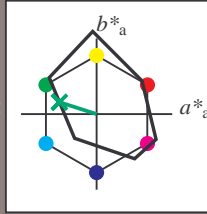
Buntontexte:

$u^*_e = g00b$ $u^*_d = l23c$

Kontrastreduzierungsfaktor:

$c_R = 1.0$

Dreiecks-Helligkeit t^*



FRS09_92a; adaptierte CIELAB-Daten

u^*_e	$L^*=L^*_a$	a^*_a	b^*_a	$C^*_{ab,a}$	$h^*_{ab,a}$
O _{Ma}	35.06	60.0	44.0	74.4	36
Y _{Ma}	83.77	-5.17	109.32	109.44	93
L _{Ma}	44.13	-62.67	48.24	79.09	142
C _{Ma}	52.66	-29.14	-31.99	43.27	228
V _{Ma}	14.15	50.3	-59.04	77.57	310
M _{Ma}	37.37	78.64	-33.5	85.48	337
N _{Ma}	8.58	0.0	0.0	0.0	0
W _{Ma}	92.02	0.0	0.0	0.0	0
R _{Ma}	39.92	58.74	27.99	65.07	25
J _{Ma}	81.26	-2.89	71.56	71.62	92
G _{Ma}	52.23	-42.42	13.6	44.55	162
B _{Ma}	30.57	1.41	-46.47	46.49	272

Daten für Maximalfarbe (Ma):

$LAB^*LAB^*_{Ma}$: 48 -49 16

$LAB^*LCH^*_{Ma}$: 48 52 162

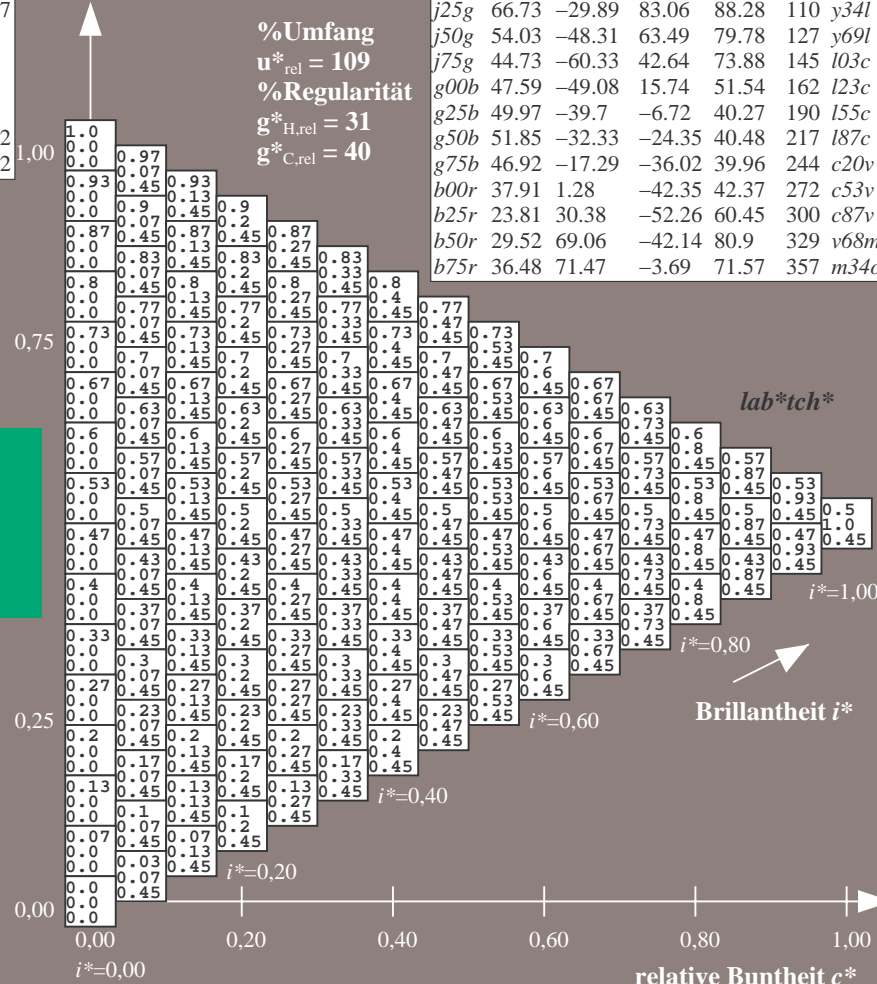
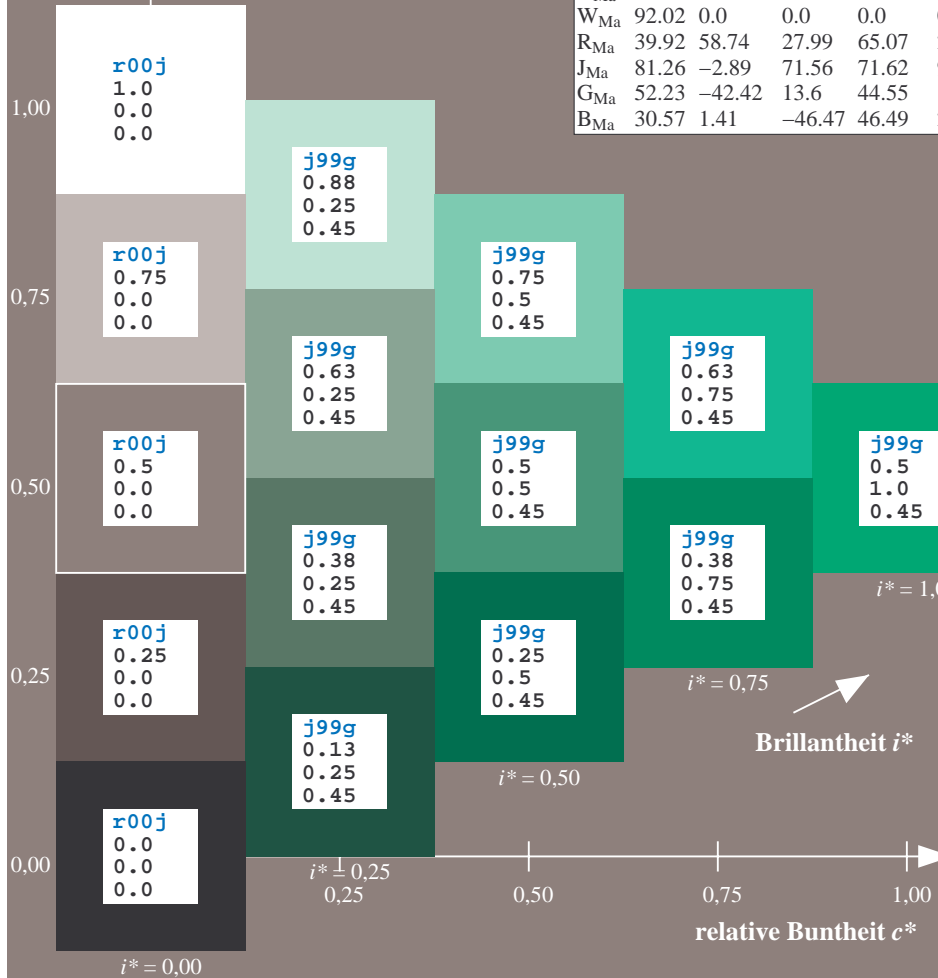
$lab^*rgb^*_{Ma}$: 0.0 1.0 0.0

$lab^*olv^*_{Ma}$: 0.0 1.0 0.23

Dreiecks-Helligkeit t^*

FRS09_92a; adaptierte CIELAB-Daten

u^*_e	$L^*=L^*_a$	a^*_a	b^*_a	$C^*_{ab,a}$	$h^*_{ab,a}$	u^*_d
r00j	35.47	63.32	30.17	70.15	25	m81o
r25j	39.12	54.56	49.45	73.64	42	o10y
r50j	50.64	39.15	64.89	75.79	59	o40y
r75j	64.01	21.26	82.83	85.52	76	o69y
j00g	83.18	-4.38	108.53	108.62	92	o98y
j25g	66.73	-29.89	83.06	88.28	110	y34l
j50g	54.03	-48.31	63.49	79.78	127	y69l
j75g	44.73	-60.33	42.64	73.88	145	l03c
g00b	47.59	-49.08	15.74	51.54	162	i23c
g25b	49.97	-39.7	-6.72	40.27	190	i55c
g50b	51.85	-32.33	-24.35	40.48	217	i87c
g75b	46.92	-17.29	-36.02	39.96	244	c20v
b00r	37.91	1.28	-42.35	42.37	272	c53v
b25r	23.81	30.38	-52.26	60.45	300	c87v
b50r	29.52	69.06	-42.14	80.9	329	v68m
b75r	36.48	71.47	-3.69	71.57	357	m34o



%Umfang
 $u^*_{rel} = 109$
%Regularität
 $g^*_{H,rel} = 31$
 $g^*_{C,rel} = 40$

lab^*tch^*

$i^* = 1.00$

$i^* = 0.80$

Brillantheit i^*

$i^* = 0.60$

$i^* = 0.40$

$i^* = 0.20$

$i^* = 0.00$

Ein und Ausgabe: Farbmatisches Drucker-Reflektiv-System FRS09_92a für relativen CIELAB-Bunton $h^* = lab^*h^* = h_{ab}/360 = 0.527$

$u^*_e = g25b$
 lab^*tch^*

Daten für jede Farbe:

lab^*tch^* und lab^*icu^*

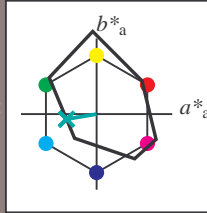
Buntontexte:

$u^*_e = g25b$ $u^*_d = l55c$

Kontrastreduzierungsfaktor:

$c_R = 1.0$

Dreiecks-Helligkeit t^*



FRS09_92a; adaptierte CIELAB-Daten

u^*_e	$L^*=L^*_a$	a^*_a	b^*_a	$C^*_{ab,a}$	$h^*_{ab,a}$
O _{Ma}	35.06	60.0	44.0	74.4	36
Y _{Ma}	83.77	-5.17	109.32	109.44	93
L _{Ma}	44.13	-62.67	48.24	79.09	142
C _{Ma}	52.66	-29.14	-31.99	43.27	228
V _{Ma}	14.15	50.3	-59.04	77.57	310
M _{Ma}	37.37	78.64	-33.5	85.48	337
N _{Ma}	8.58	0.0	0.0	0.0	0
W _{Ma}	92.02	0.0	0.0	0.0	0
R _{Ma}	39.92	58.74	27.99	65.07	25
J _{Ma}	81.26	-2.89	71.56	71.62	92
G _{Ma}	52.23	-42.42	13.6	44.55	162
B _{Ma}	30.57	1.41	-46.47	46.49	272

Daten für Maximalfarbe (Ma):

$LAB^*LAB^*_{Ma}: 50 -40 -7$

$LAB^*LCH^*_{Ma}: 50 40 189$

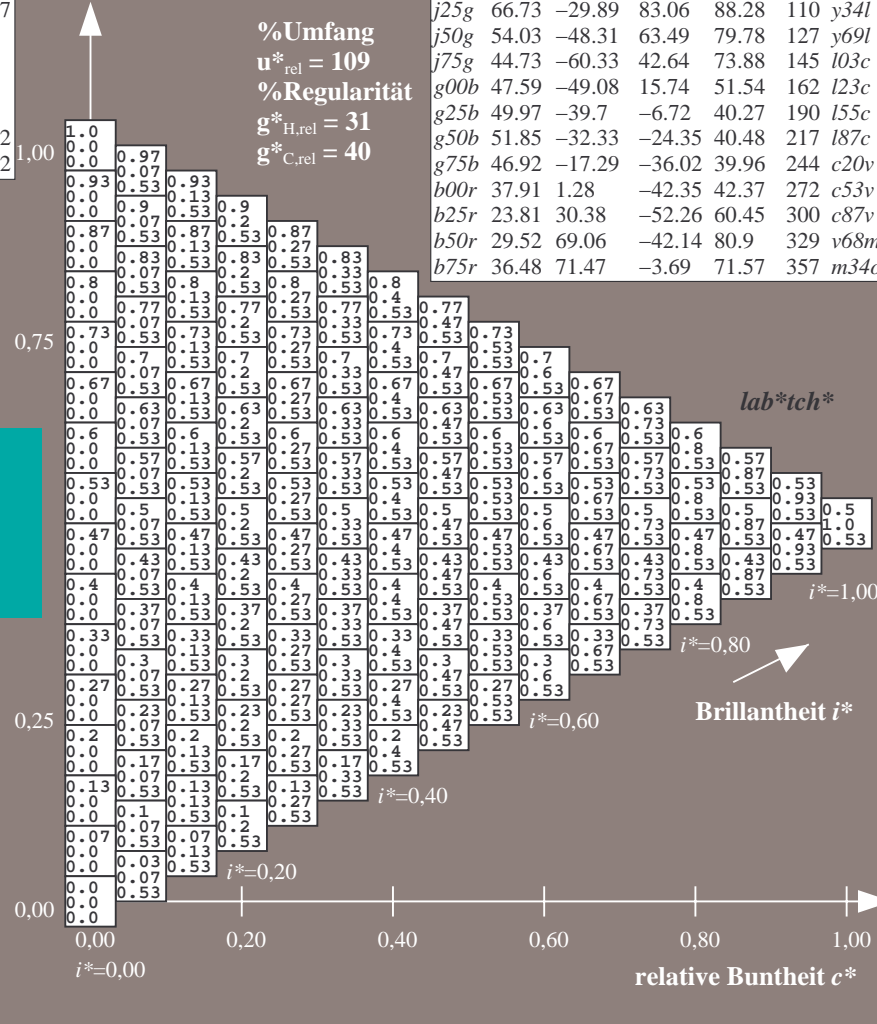
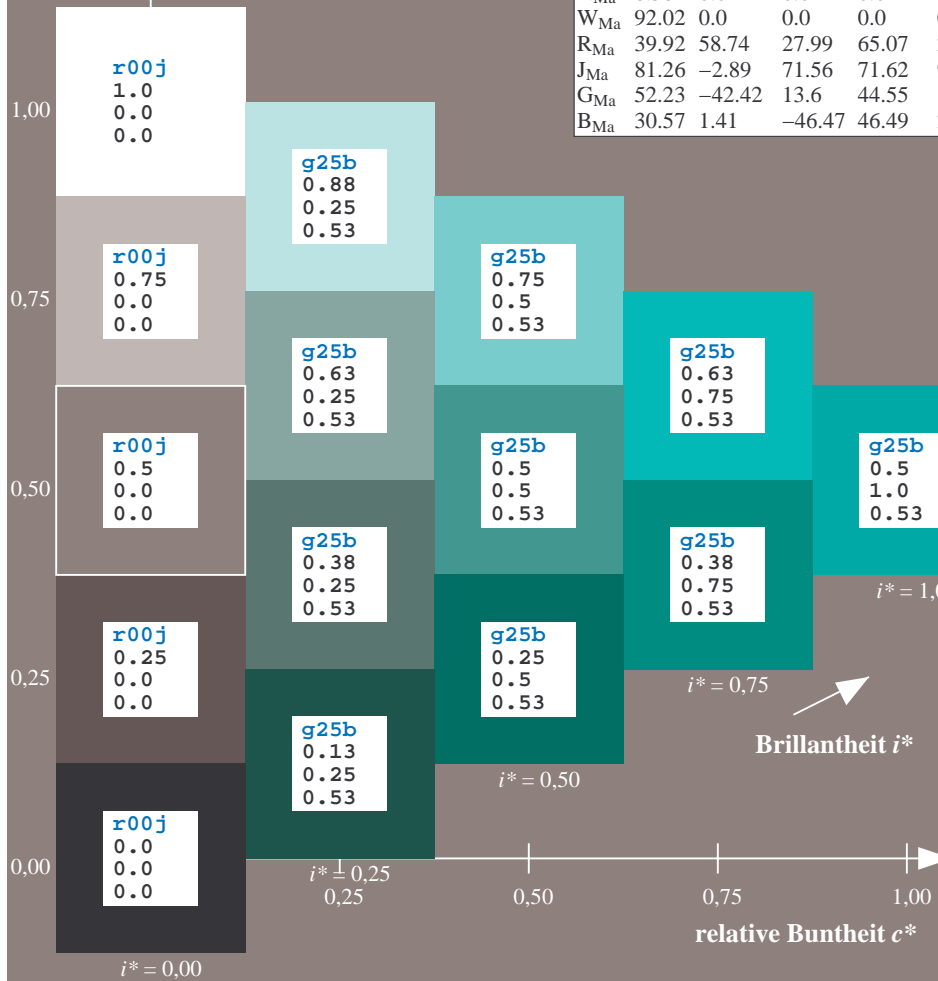
$lab^*rgb^*_{Ma}: 0.0 1.0 0.5$

$lab^*olv^*_{Ma}: 0.0 1.0 0.55$

Dreiecks-Helligkeit t^*

FRS09_92a; adaptierte CIELAB-Daten

u^*_e	$L^*=L^*_a$	a^*_a	b^*_a	$C^*_{ab,a}$	$h^*_{ab,a}$	u^*_d
r00j	35.47	63.32	30.17	70.15	25	m81o
r25j	39.12	54.56	49.45	73.64	42	o10y
r50j	50.64	39.15	64.89	75.79	59	o40y
r75j	64.01	21.26	82.83	85.52	76	o69y
j00g	83.18	-4.38	108.53	108.62	92	o98y
j25g	66.73	-29.89	83.06	88.28	110	y34l
j50g	54.03	-48.31	63.49	79.78	127	y69l
j75g	44.73	-60.33	42.64	73.88	145	l03c
g00b	47.59	-49.08	15.74	51.54	162	i23c
g25b	49.97	-39.7	-6.72	40.27	190	i55c
g50b	51.85	-32.33	-24.35	40.48	217	i87c
g75b	46.92	-17.29	-36.02	39.96	244	c20v
b00r	37.91	1.28	-42.35	42.37	272	c53v
b25r	23.81	30.38	-52.26	60.45	300	c87v
b50r	29.52	69.06	-42.14	80.9	329	v68m
b75r	36.48	71.47	-3.69	71.57	357	m34o



Ein und Ausgabe: Farbmatisches Drucker-Reflektiv-System FRS09_92a für relativen CIELAB-Bunton $h^* = lab^*h^* = h_{ab}/360 = 0.603$

$u^*_e = g50b$

Daten für jede Farbe:

lab^*tch^* und lab^*icu^*

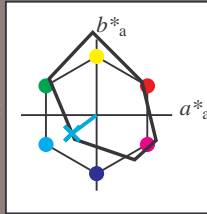
Buntontexte:

$u^*_e = g50b$ $u^*_d = l87c$

Kontrastreduzierungsfaktor:

$c_R = 1.0$

Dreiecks-Helligkeit t^*



FRS09_92a; adaptierte CIELAB-Daten

u^*_e	$L^*=L^*_a$	a^*_a	b^*_a	$C^*_{ab,a}$	$h^*_{ab,a}$
O _{Ma}	35.06	60.0	44.0	74.4	36
Y _{Ma}	83.77	-5.17	109.32	109.44	93
L _{Ma}	44.13	-62.67	48.24	79.09	142
C _{Ma}	52.66	-29.14	-31.99	43.27	228
V _{Ma}	14.15	50.3	-59.04	77.57	310
M _{Ma}	37.37	78.64	-33.5	85.48	337
N _{Ma}	8.58	0.0	0.0	0.0	0
W _{Ma}	92.02	0.0	0.0	0.0	0
R _{Ma}	39.92	58.74	27.99	65.07	25
J _{Ma}	81.26	-2.89	71.56	71.62	92
G _{Ma}	52.23	-42.42	13.6	44.55	162
B _{Ma}	30.57	1.41	-46.47	46.49	272

Daten für Maximalfarbe (Ma):

$LAB^*LAB^*_{Ma}: 52 -32 -24$

$LAB^*LCH^*_{Ma}: 52 40 216$

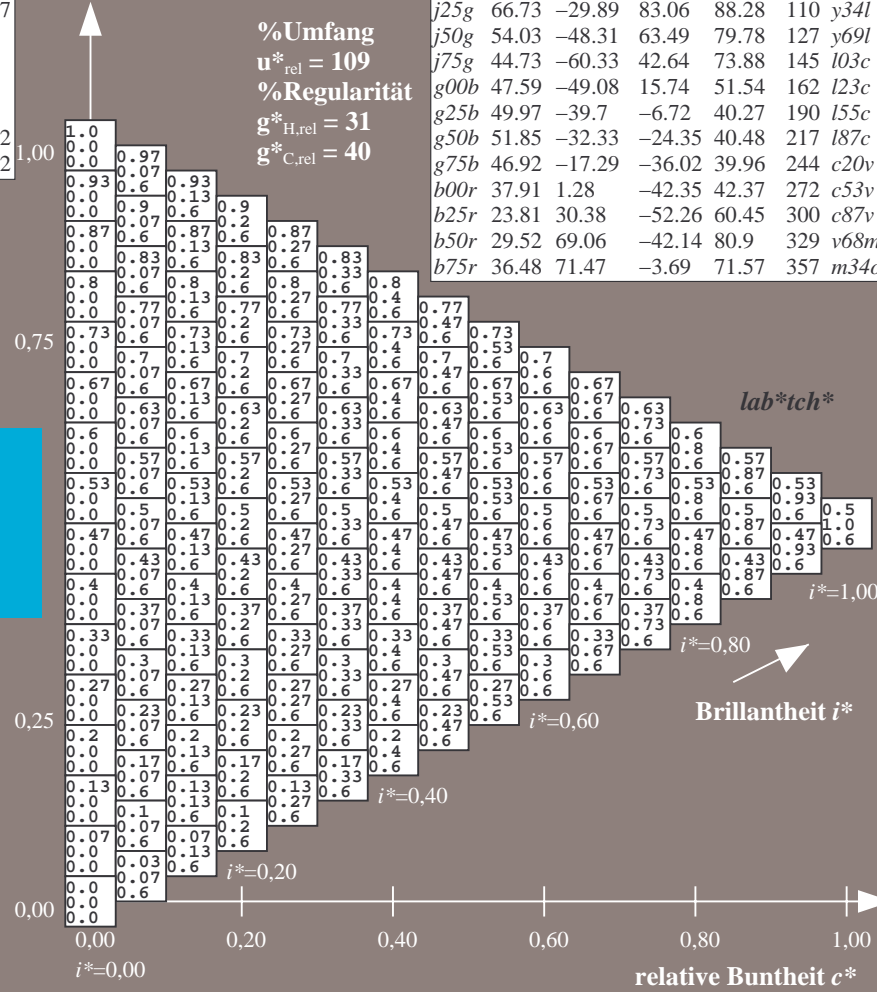
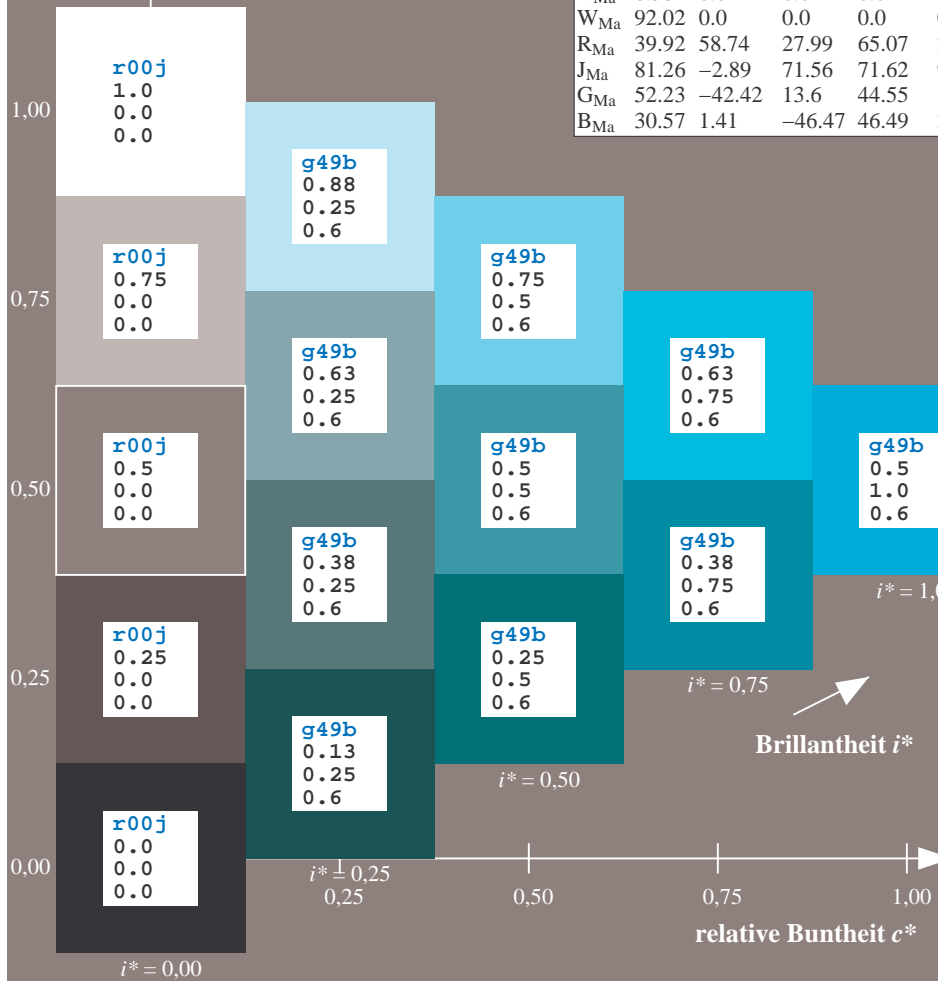
$lab^*rgb^*_{Ma}: 0.0 1.0 1.0$

$lab^*olv^*_{Ma}: 0.0 1.0 0.87$

Dreiecks-Helligkeit t^*

FRS09_92a; adaptierte CIELAB-Daten

u^*_e	$L^*=L^*_a$	a^*_a	b^*_a	$C^*_{ab,a}$	$h^*_{ab,a}$	u^*_d
r00j	35.47	63.32	30.17	70.15	25	m81o
r25j	39.12	54.56	49.45	73.64	42	o10y
r50j	50.64	39.15	64.89	75.79	59	o40y
r75j	64.01	21.26	82.83	85.52	76	o69y
j00g	83.18	-4.38	108.53	108.62	92	o98y
j25g	66.73	-29.89	83.06	88.28	110	y34l
j50g	54.03	-48.31	63.49	79.78	127	y69l
j75g	44.73	-60.33	42.64	73.88	145	103c
g00b	47.59	-49.08	15.74	51.54	162	l23c
g25b	49.97	-39.7	-6.72	40.27	190	l55c
g50b	51.85	-32.33	-24.35	40.48	217	l87c
g75b	46.92	-17.29	-36.02	39.96	244	c20v
b00r	37.91	1.28	-42.35	42.37	272	c53v
b25r	23.81	30.38	-52.26	60.45	300	c87v
b50r	29.52	69.06	-42.14	80.9	329	v68m
b75r	36.48	71.47	-3.69	71.57	357	m34o



Ein und Ausgabe: Farbmatisches Drucker-Reflektiv-System FRS09_92a für relativen CIELAB-Bunton $h^* = lab^*h^* = h_{ab}/360 = 0.679$

$u^*_e = g75b$
 lab^*tch^*

Daten für jede Farbe:

lab^*tch^* und lab^*icu^*

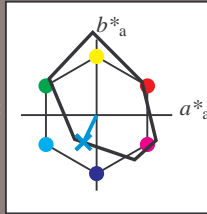
Buntontexte:

$u^*_e = g75b$ $u^*_d = c20v$

Kontrastreduzierungsfaktor:

$c_R = 1.0$

Dreiecks-Helligkeit t^*



FRS09_92a; adaptierte CIELAB-Daten

	u^*_e	$L^*=L^*_a$	a^*_a	b^*_a	$C^*_{ab,a}$	$h^*_{ab,a}$
O _{Ma}	35.06	60.0	44.0	74.4	36	
Y _{Ma}	83.77	-5.17	109.32	109.44	93	
L _{Ma}	44.13	-62.67	48.24	79.09	142	
C _{Ma}	52.66	-29.14	-31.99	43.27	228	
V _{Ma}	14.15	50.3	-59.04	77.57	310	
M _{Ma}	37.37	78.64	-33.5	85.48	337	
N _{Ma}	8.58	0.0	0.0	0.0	0	
W _{Ma}	92.02	0.0	0.0	0.0	0	
R _{Ma}	39.92	58.74	27.99	65.07	25	
J _{Ma}	81.26	-2.89	71.56	71.62	92	
G _{Ma}	52.23	-42.42	13.6	44.55	162	
B _{Ma}	30.57	1.41	-46.47	46.49	272	

Daten für Maximalfarbe (Ma):

$LAB^*LAB^*_{Ma}$: 47 -17 -36

$LAB^*LCH^*_{Ma}$: 47 40 244

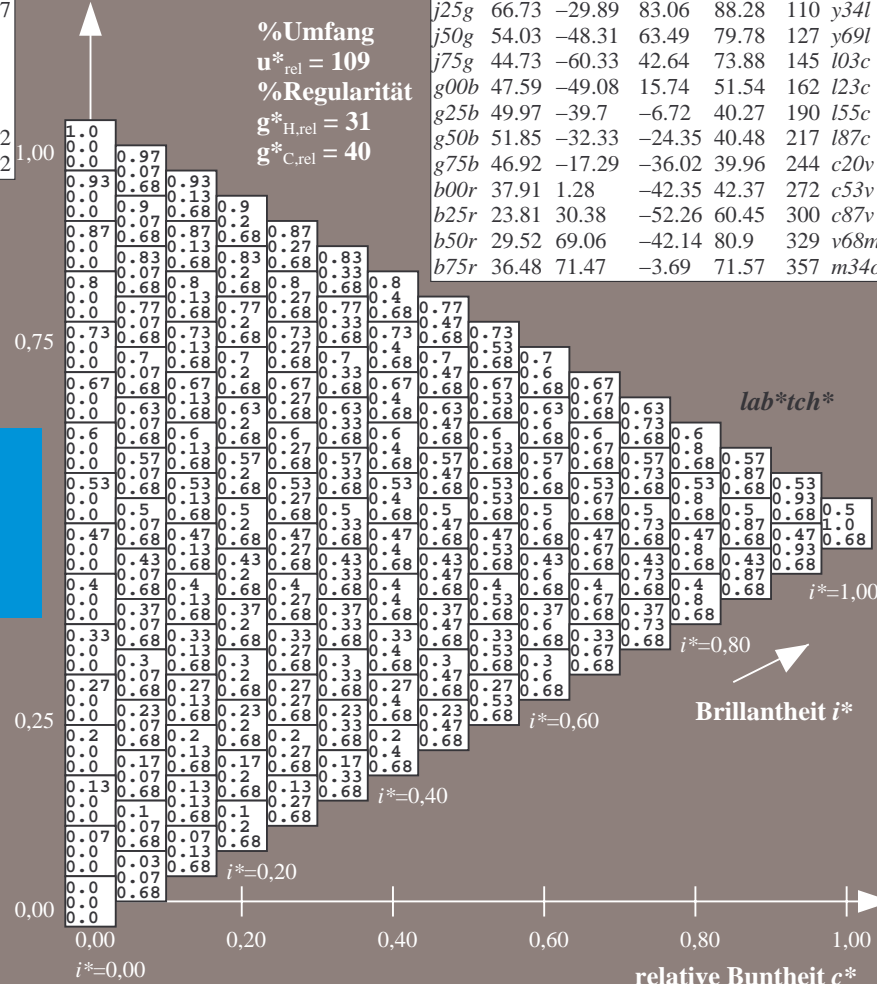
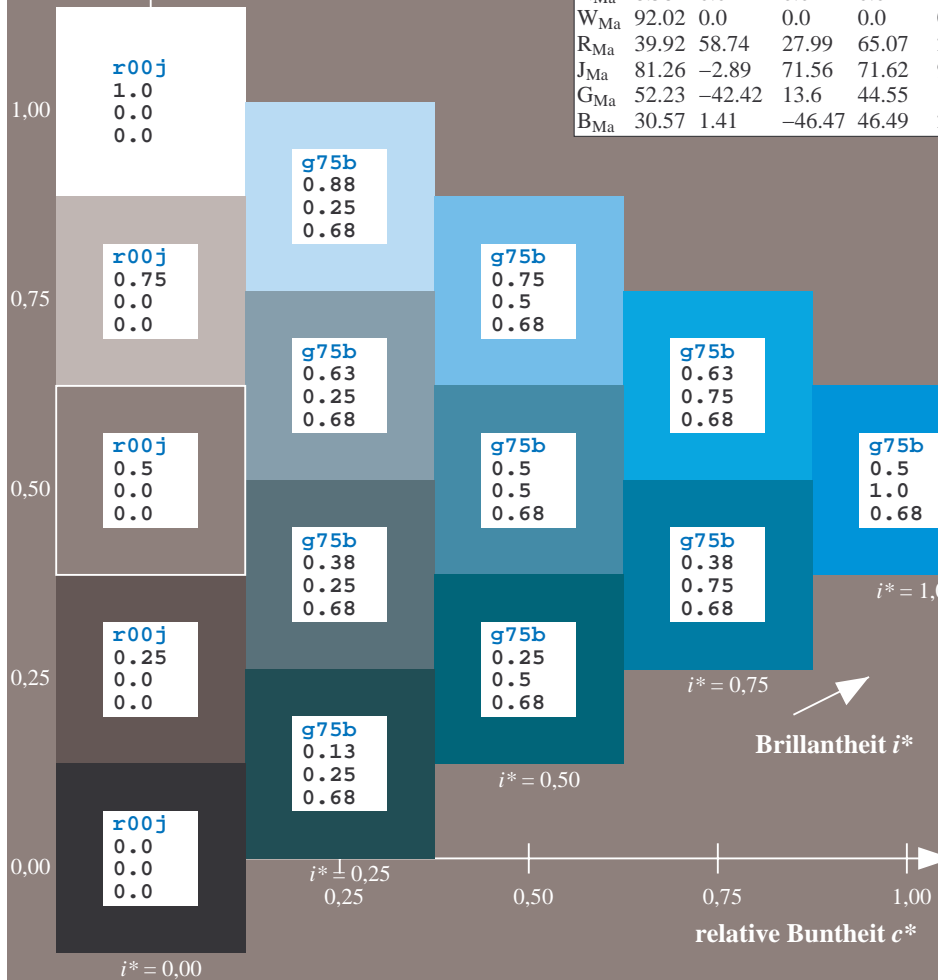
$lab^*rgb^*_{Ma}$: 0.0 0.5 1.0

$lab^*olv^*_{Ma}$: 0.0 0.8 1.0

Dreiecks-Helligkeit t^*

FRS09_92a; adaptierte CIELAB-Daten

	u^*_e	$L^*=L^*_a$	a^*_a	b^*_a	$C^*_{ab,a}$	$h^*_{ab,a}$	u^*_d
r00j	35.47	63.32	30.17	70.15	25	m81o	
r25j	39.12	54.56	49.45	73.64	42	o10y	
r50j	50.64	39.15	64.89	75.79	59	o40y	
r75j	64.01	21.26	82.83	85.52	76	o69y	
j00g	83.18	-4.38	108.53	108.62	92	o98y	
j25g	66.73	-29.89	83.06	88.28	110	y34l	
j50g	54.03	-48.31	63.49	79.78	127	y69l	
j75g	44.73	-60.33	42.64	73.88	145	103c	
g00b	47.59	-49.08	15.74	51.54	162	l23c	
g25b	49.97	-39.7	-6.72	40.27	190	l55c	
g50b	51.85	-32.33	-24.35	40.48	217	l87c	
g75b	46.92	-17.29	-36.02	39.96	244	c20v	
b00r	37.91	1.28	-42.35	42.37	272	c53v	
b25r	23.81	30.38	-52.26	60.45	300	c87v	
b50r	29.52	69.06	-42.14	80.9	329	v68m	
b75r	36.48	71.47	-3.69	71.57	357	m34o	



Ein und Ausgabe: Farbmetrisches Drucker-Reflektiv-System FRS09_92a für relativen CIELAB-Bunton $h^* = lab^*h^* = h_{ab}/360 = 0.755$

$u^*_e = b00r$

Daten für jede Farbe:

lab^*tch^* und lab^*icu^*

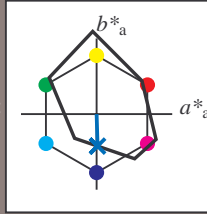
Buntontexte:

$u^*_e = b00r$ $u^*_d = c53v$

Kontrastreduzierungsfaktor:

$c_R = 1.0$

Dreiecks-Helligkeit t^*



FRS09_92a; adaptierte CIELAB-Daten

u^*_e	$L^*=L^*_a$	a^*_a	b^*_a	$C^*_{ab,a}$	$h^*_{ab,a}$
O _{Ma}	35.06	60.0	44.0	74.4	36
Y _{Ma}	83.77	-5.17	109.32	109.44	93
L _{Ma}	44.13	-62.67	48.24	79.09	142
C _{Ma}	52.66	-29.14	-31.99	43.27	228
V _{Ma}	14.15	50.3	-59.04	77.57	310
M _{Ma}	37.37	78.64	-33.5	85.48	337
N _{Ma}	8.58	0.0	0.0	0.0	0
W _{Ma}	92.02	0.0	0.0	0.0	0
R _{Ma}	39.92	58.74	27.99	65.07	25
J _{Ma}	81.26	-2.89	71.56	71.62	92
G _{Ma}	52.23	-42.42	13.6	44.55	162
B _{Ma}	30.57	1.41	-46.47	46.49	272

Daten für Maximalfarbe (Ma):

$LAB^*LAB^*_{Ma}$: 38 1 -42

$LAB^*LCH^*_{Ma}$: 38 42 271

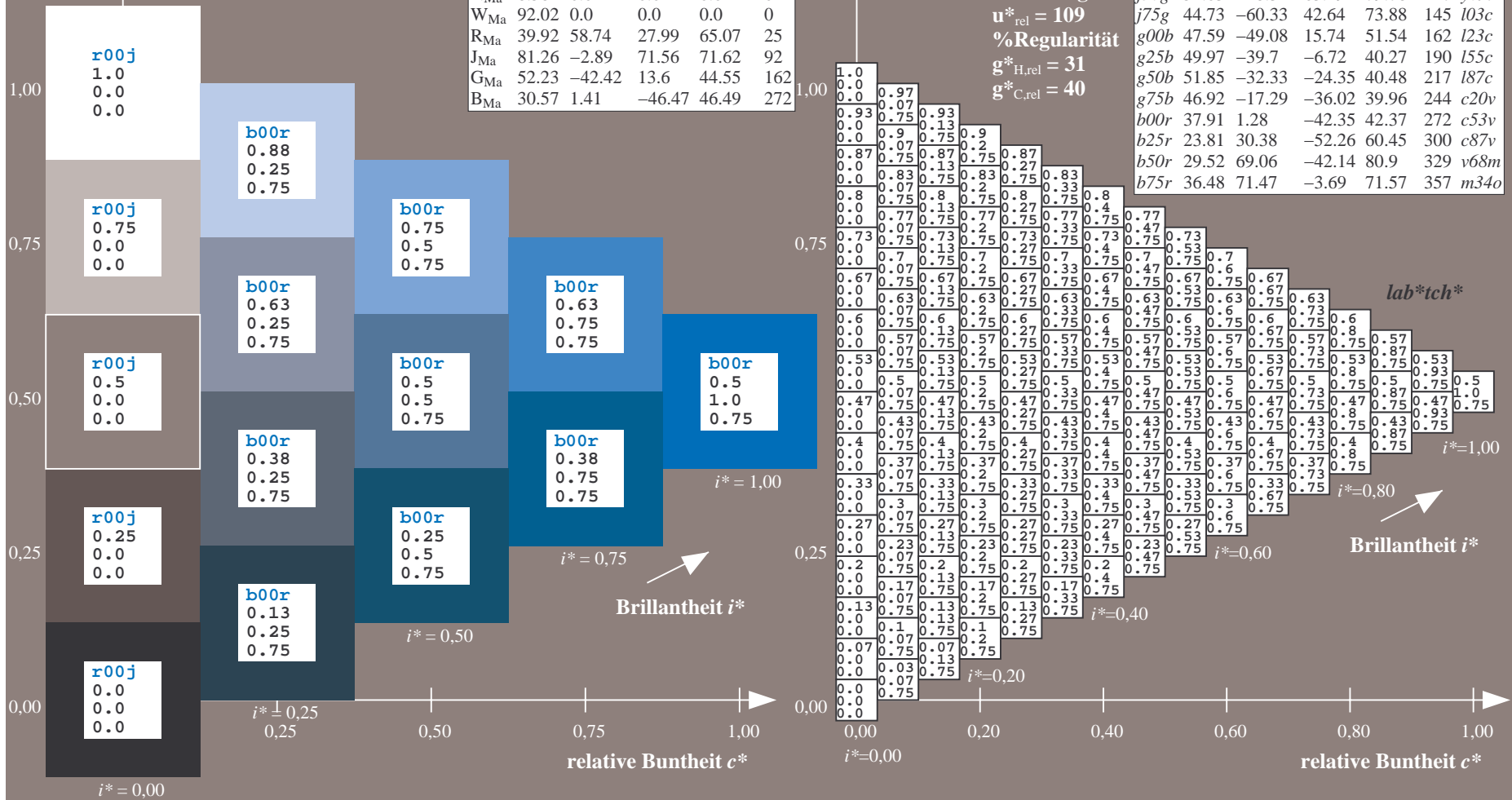
$lab^*rgb^*_{Ma}$: 0.0 0.0 1.0

$lab^*olv^*_{Ma}$: 0.0 0.47 1.0

Dreiecks-Helligkeit t^*

FRS09_92a; adaptierte CIELAB-Daten

u^*_e	$L^*=L^*_a$	a^*_a	b^*_a	$C^*_{ab,a}$	$h^*_{ab,a}$	u^*_d
r00j	35.47	63.32	30.17	70.15	25	m81o
r25j	39.12	54.56	49.45	73.64	42	o10y
r50j	50.64	39.15	64.89	75.79	59	o40y
r75j	64.01	21.26	82.83	85.52	76	o69y
j00g	83.18	-4.38	108.53	108.62	92	o98y
j25g	66.73	-29.89	83.06	88.28	110	y34l
j50g	54.03	-48.31	63.49	79.78	127	y69l
j75g	44.73	-60.33	42.64	73.88	145	103c
g00b	47.59	-49.08	15.74	51.54	162	l23c
g25b	49.97	-39.7	-6.72	40.27	190	l55c
g50b	51.85	-32.33	-24.35	40.48	217	l87c
g75b	46.92	-17.29	-36.02	39.96	244	c20v
b00r	37.91	1.28	-42.35	42.37	272	c53v
b25r	23.81	30.38	-52.26	60.45	300	c87v
b50r	29.52	69.06	-42.14	80.9	329	v68m
b75r	36.48	71.47	-3.69	71.57	357	m34o



Ein und Ausgabe: Farbmetrisches Drucker-Reflektiv-System FRS09_92a für relativen CIELAB-Bunton $h^* = \text{lab}^*h^* = h_{ab}/360 = 0.834$

$u^*_e = b25r$
 lab^*tch^*

Daten für jede Farbe:

lab^*tch^* und lab^*icu^*

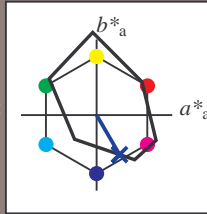
Buntontexte:

$u^*_e = b25r$ $u^*_d = c87v$

Kontrastreduzierungsfaktor:

$c_R = 1.0$

Dreiecks-Helligkeit t^*



FRS09_92a; adaptierte CIELAB-Daten

u^*_e	$L^*=L^*_a$	a^*_a	b^*_a	$C^*_{ab,a}$	$h^*_{ab,a}$
O _{Ma}	35.06	60.0	44.0	74.4	36
Y _{Ma}	83.77	-5.17	109.32	109.44	93
L _{Ma}	44.13	-62.67	48.24	79.09	142
C _{Ma}	52.66	-29.14	-31.99	43.27	228
V _{Ma}	14.15	50.3	-59.04	77.57	310
M _{Ma}	37.37	78.64	-33.5	85.48	337
N _{Ma}	8.58	0.0	0.0	0.0	0
W _{Ma}	92.02	0.0	0.0	0.0	0
R _{Ma}	39.92	58.74	27.99	65.07	25
J _{Ma}	81.26	-2.89	71.56	71.62	92
G _{Ma}	52.23	-42.42	13.6	44.55	162
B _{Ma}	30.57	1.41	-46.47	46.49	272

Daten für Maximalfarbe (Ma):

$\text{LAB}^*\text{LAB}^*_{Ma}$: 24 30 -52

$\text{LAB}^*\text{LCH}^*_{Ma}$: 24 60 300

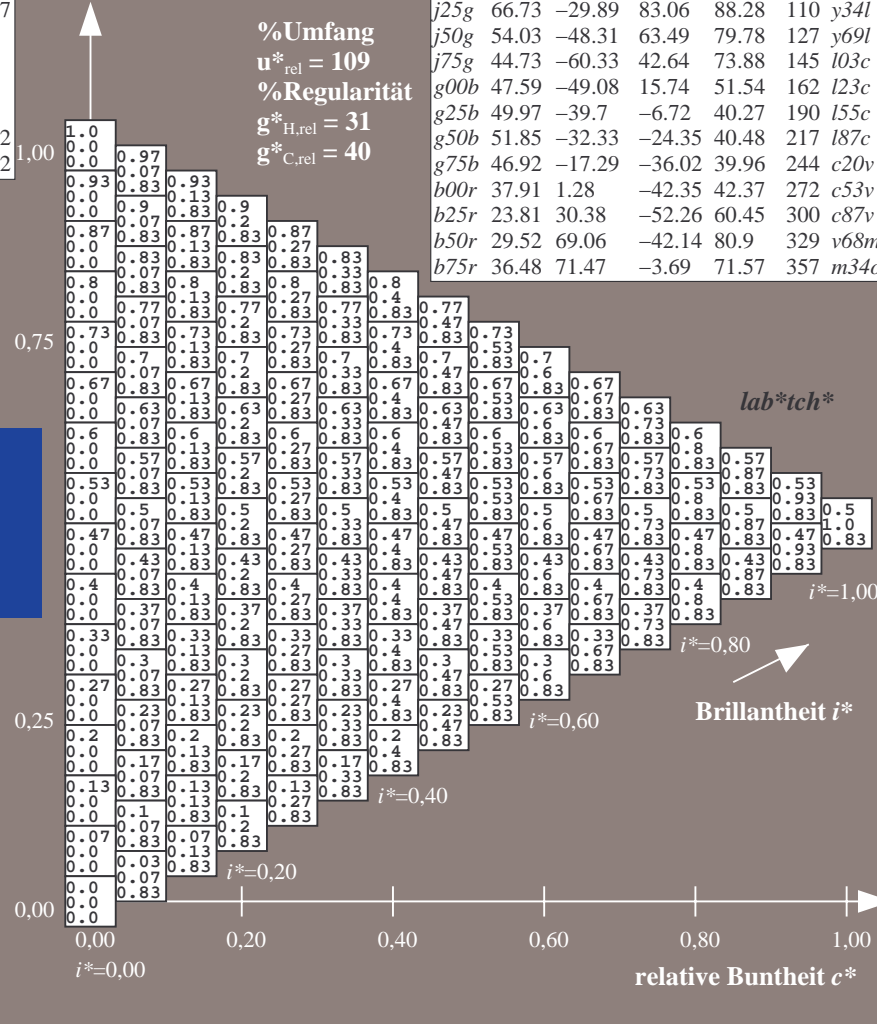
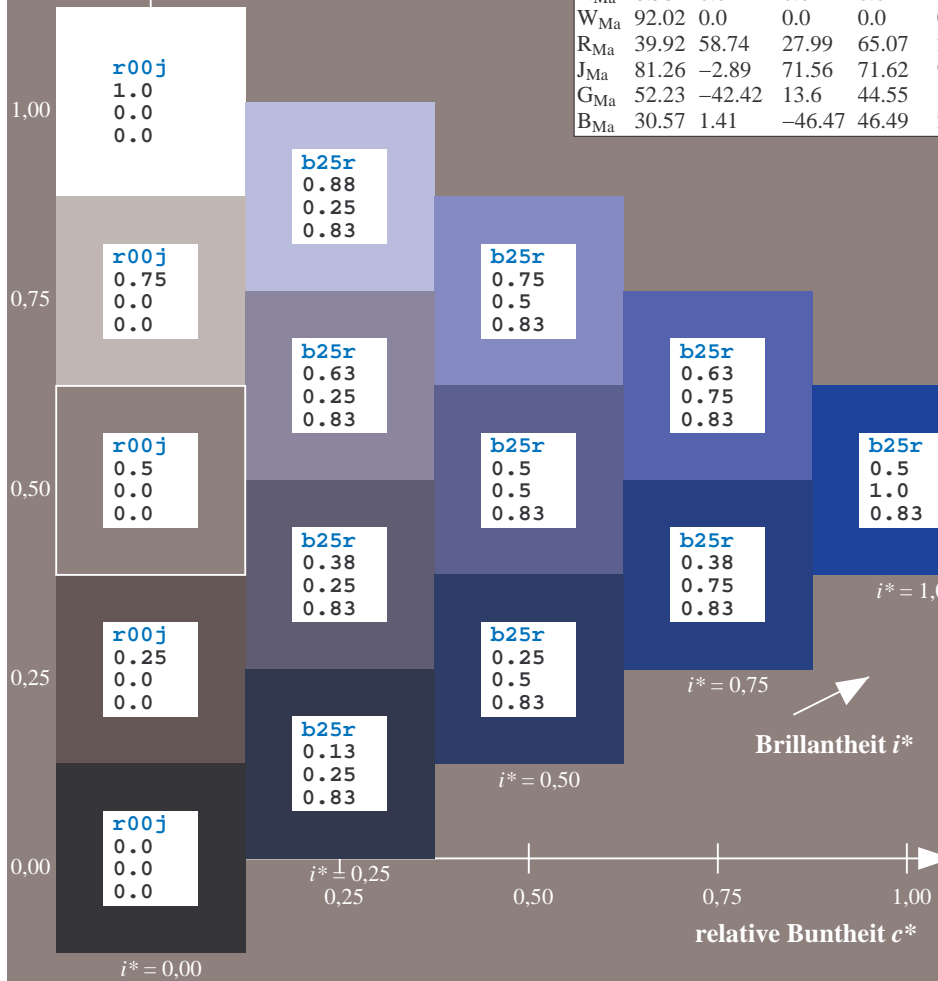
$\text{lab}^*rgb^*_{Ma}$: 0.5 0.0 1.0

$\text{lab}^*olv^*_{Ma}$: 0.0 0.12 1.0

Dreiecks-Helligkeit t^*

FRS09_92a; adaptierte CIELAB-Daten

u^*_e	$L^*=L^*_a$	a^*_a	b^*_a	$C^*_{ab,a}$	$h^*_{ab,a}$	u^*_d
r00j	35.47	63.32	30.17	70.15	25	m81o
r25j	39.12	54.56	49.45	73.64	42	o10y
r50j	50.64	39.15	64.89	75.79	59	o40y
r75j	64.01	21.26	82.83	85.52	76	o69y
j00g	83.18	-4.38	108.53	108.62	92	o98y
j25g	66.73	-29.89	83.06	88.28	110	y34l
j50g	54.03	-48.31	63.49	79.78	127	y69l
j75g	44.73	-60.33	42.64	73.88	145	103c
g00b	47.59	-49.08	15.74	51.54	162	l23c
g25b	49.97	-39.7	-6.72	40.27	190	l55c
g50b	51.85	-32.33	-24.35	40.48	217	l87c
g75b	46.92	-17.29	-36.02	39.96	244	c20v
b00r	37.91	1.28	-42.35	42.37	272	c53v
b25r	23.81	30.38	-52.26	60.45	300	c87v
b50r	29.52	69.06	-42.14	80.9	329	v68m
b75r	36.48	71.47	-3.69	71.57	357	m34o



%Umfang
 $u^*_{rel} = 109$
%Regularität
 $g^*_{H,rel} = 31$
 $g^*_{C,rel} = 40$

lab^*tch^*

Brillantheit i^*

$i^* = 1.00$

$i^* = 0.80$

$i^* = 0.60$

$i^* = 0.40$

$i^* = 0.20$

Ein und Ausgabe: Farbmatisches Drucker-Reflektiv-System FRS09_92a für relativen CIELAB-Bunton $h^* = lab^*h^* = h_{ab}/360 = 0.913$

$u^*_e = b50r$

Daten für jede Farbe:

lab^*tch^* und lab^*icu^*

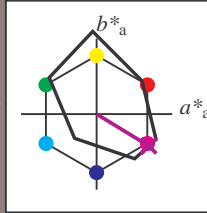
Buntontexte:

$u^*_e = b50r$ $u^*_d = v68m$

Kontrastreduzierungsfaktor:

$c_R = 1.0$

Dreiecks-Helligkeit t^*



FRS09_92a; adaptierte CIELAB-Daten

u^*_e	$L^*=L^*_a$	a^*_a	b^*_a	$C^*_{ab,a}$	$h^*_{ab,a}$
O _{Ma}	35.06	60.0	44.0	74.4	36
Y _{Ma}	83.77	-5.17	109.32	109.44	93
L _{Ma}	44.13	-62.67	48.24	79.09	142
C _{Ma}	52.66	-29.14	-31.99	43.27	228
V _{Ma}	14.15	50.3	-59.04	77.57	310
M _{Ma}	37.37	78.64	-33.5	85.48	337
N _{Ma}	8.58	0.0	0.0	0.0	0
W _{Ma}	92.02	0.0	0.0	0.0	0
R _{Ma}	39.92	58.74	27.99	65.07	25
J _{Ma}	81.26	-2.89	71.56	71.62	92
G _{Ma}	52.23	-42.42	13.6	44.55	162
B _{Ma}	30.57	1.41	-46.47	46.49	272

Daten für Maximalfarbe (Ma):

$LAB^*LAB^*_{Ma}$: 30 69 -42

$LAB^*LCH^*_{Ma}$: 30 81 328

$lab^*rgb^*_{Ma}$: 1.0 0.0 1.0

$lab^*olv^*_{Ma}$: 0.69 0.0 1.0

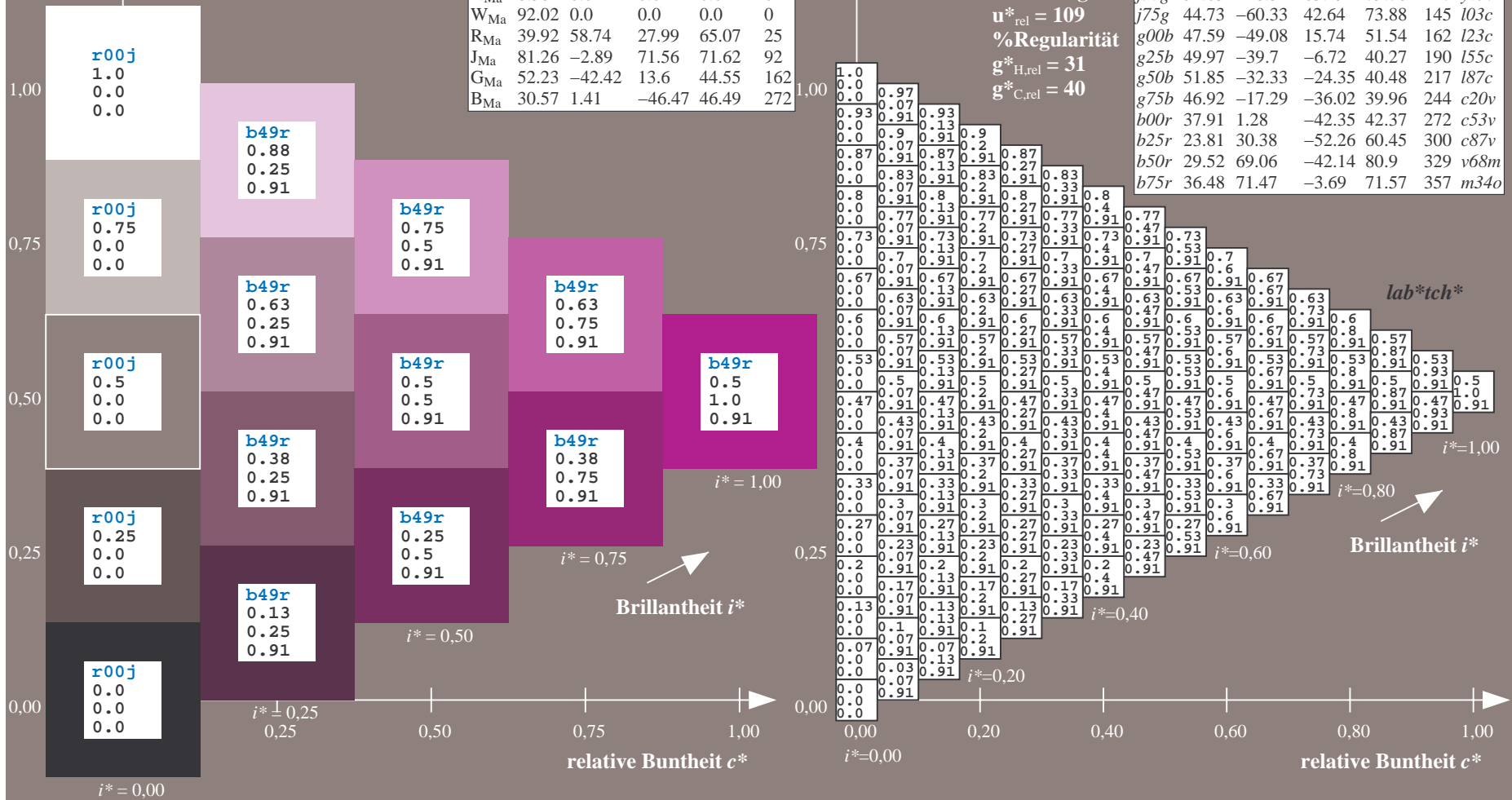
Dreiecks-Helligkeit t^*

FRS09_92a; adaptierte CIELAB-Daten

u^*_e	$L^*=L^*_a$	a^*_a	b^*_a	$C^*_{ab,a}$	$h^*_{ab,a}$	u^*_d
r00j	35.47	63.32	30.17	70.15	25	m81o
r25j	39.12	54.56	49.45	73.64	42	o10y
r50j	50.64	39.15	64.89	75.79	59	o40y
r75j	64.01	21.26	82.83	85.52	76	o69y
j00g	83.18	-4.38	108.53	108.62	92	o98y
j25g	66.73	-29.89	83.06	88.28	110	y34l
j50g	54.03	-48.31	63.49	79.78	127	y69l
j75g	44.73	-60.33	42.64	73.88	145	103c
g00b	47.59	-49.08	15.74	51.54	162	l23c
g25b	49.97	-39.7	-6.72	40.27	190	l55c
g50b	51.85	-32.33	-24.35	40.48	217	l87c
g75b	46.92	-17.29	-36.02	39.96	244	c20v
b00r	37.91	1.28	-42.35	42.37	272	c53v
b25r	23.81	30.38	-52.26	60.45	300	c87v
b50r	29.52	69.06	-42.14	80.9	329	v68m
b75r	36.48	71.47	-3.69	71.57	357	m34o

lab^*tch^*

Brillantheit i^*



Ein und Ausgabe: Farbmatisches Drucker-Reflektiv-System FRS09_92a für relativen CIELAB-Bunton $h^* = lab^*h^* = h_{ab}/360 = 0.992$

$u^*_e = b75r$

Daten für jede Farbe:

lab^*tch^* und lab^*icu^*

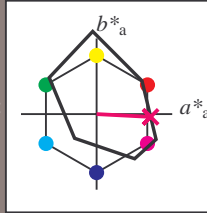
Buntontexte:

$u^*_e = b75r$ $u^*_d = m34o$

Kontrastreduzierungsfaktor:

$c_R = 1.0$

Dreiecks-Helligkeit t^*



FRS09_92a; adaptierte CIELAB-Daten

u^*_e	$L^*=L^*_a$	a^*_a	b^*_a	$C^*_{ab,a}$	$h^*_{ab,a}$
O _{Ma}	35.06	60.0	44.0	74.4	36
Y _{Ma}	83.77	-5.17	109.32	109.44	93
L _{Ma}	44.13	-62.67	48.24	79.09	142
C _{Ma}	52.66	-29.14	-31.99	43.27	228
V _{Ma}	14.15	50.3	-59.04	77.57	310
M _{Ma}	37.37	78.64	-33.5	85.48	337
N _{Ma}	8.58	0.0	0.0	0.0	0
W _{Ma}	92.02	0.0	0.0	0.0	0
R _{Ma}	39.92	58.74	27.99	65.07	25
J _{Ma}	81.26	-2.89	71.56	71.62	92
G _{Ma}	52.23	-42.42	13.6	44.55	162
B _{Ma}	30.57	1.41	-46.47	46.49	272

Daten für Maximalfarbe (Ma):

$LAB^*LAB^*_{Ma}$: 36 71 -4

$LAB^*LCH^*_{Ma}$: 36 72 357

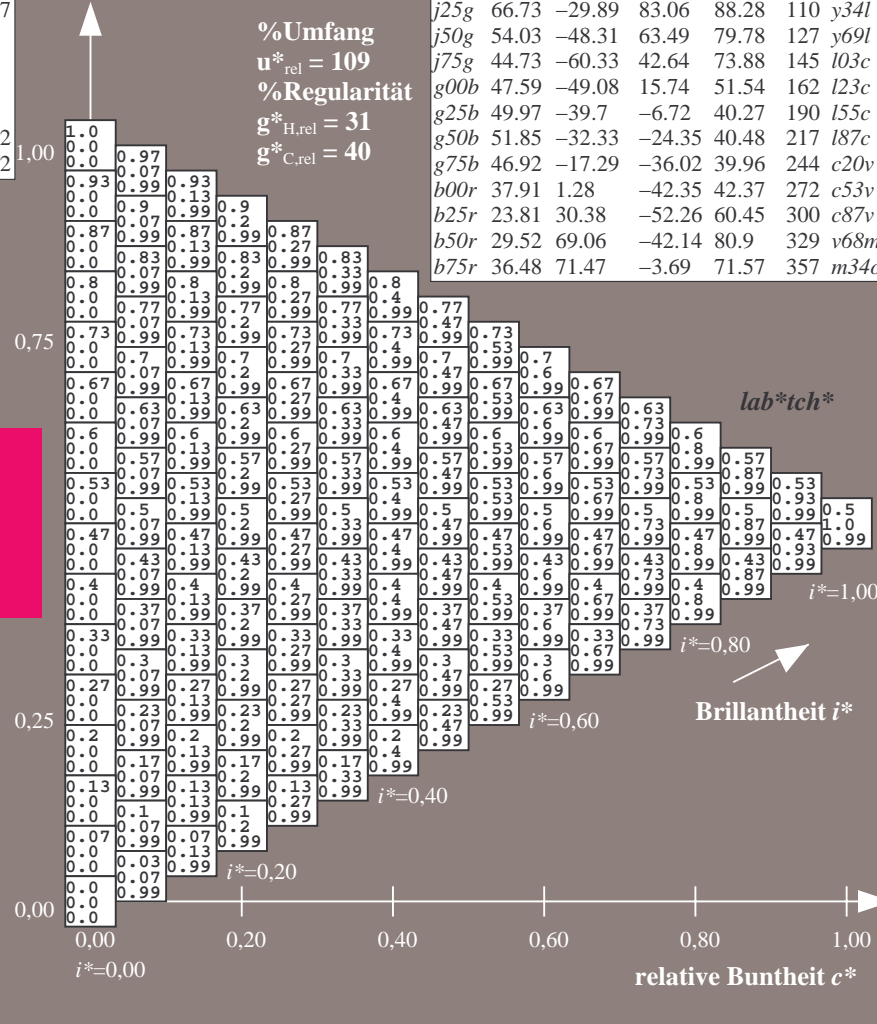
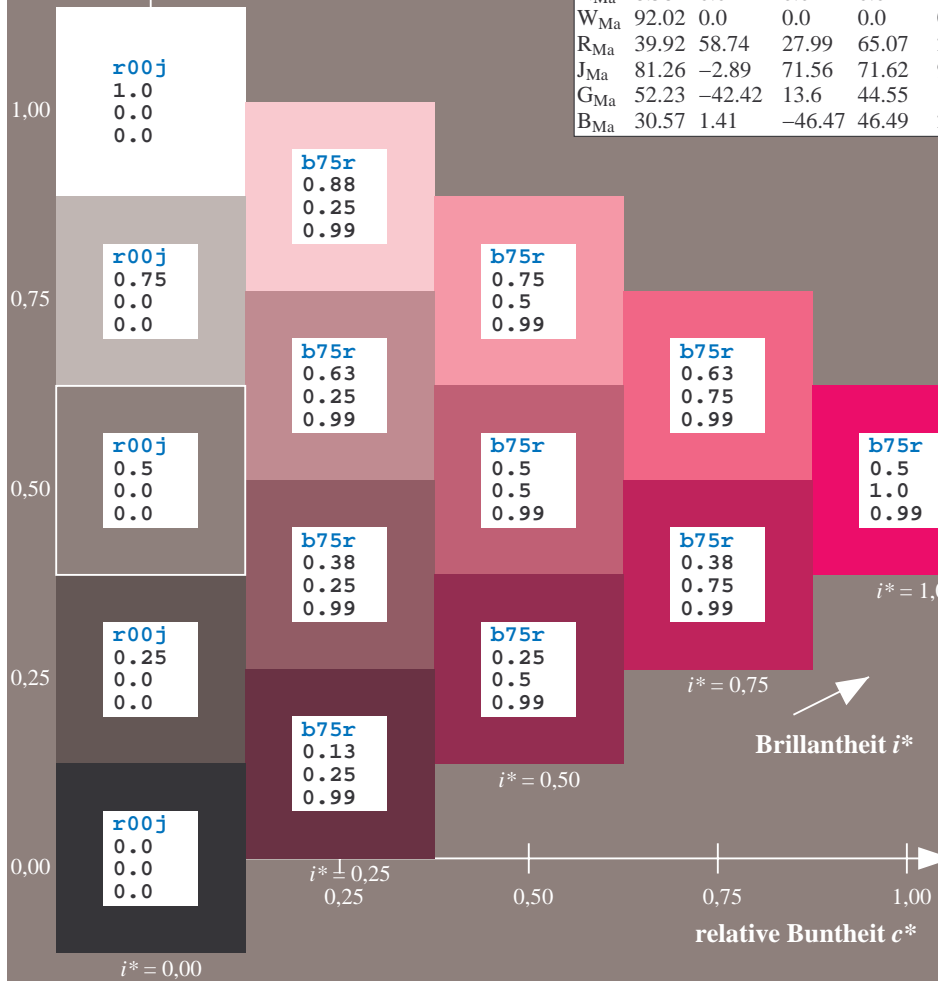
$lab^*rgb^*_{Ma}$: 1.0 0.0 0.5

$lab^*olv^*_{Ma}$: 1.0 0.0 0.66

Dreiecks-Helligkeit t^*

FRS09_92a; adaptierte CIELAB-Daten

u^*_e	$L^*=L^*_a$	a^*_a	b^*_a	$C^*_{ab,a}$	$h^*_{ab,a}$	u^*_d
r00j	35.47	63.32	30.17	70.15	25	m81o
r25j	39.12	54.56	49.45	73.64	42	o10y
r50j	50.64	39.15	64.89	75.79	59	o40y
r75j	64.01	21.26	82.83	85.52	76	o69y
j00g	83.18	-4.38	108.53	108.62	92	o98y
j25g	66.73	-29.89	83.06	88.28	110	y34l
j50g	54.03	-48.31	63.49	79.78	127	y69l
j75g	44.73	-60.33	42.64	73.88	145	l03c
g00b	47.59	-49.08	15.74	51.54	162	i23c
g25b	49.97	-39.7	-6.72	40.27	190	i55c
g50b	51.85	-32.33	-24.35	40.48	217	i87c
g75b	46.92	-17.29	-36.02	39.96	244	c20v
b00r	37.91	1.28	-42.35	42.37	272	c53v
b25r	23.81	30.38	-52.26	60.45	300	c87v
b50r	29.52	69.06	-42.14	80.9	329	v68m
b75r	36.48	71.47	-3.69	71.57	357	m34o



%Umfang
 $u^*_{rel} = 109$
%Regularität
 $g^*_{H,rel} = 31$
 $g^*_{C,rel} = 40$

lab^*tch^*

Brillantheit i^*

Ein und Ausgabe:
Farbmetrisches Drucker-Reflektiv-System FRS09_92a

Daten für jede Farbe:

u^*_e und Nummer *Nr.* = 00 .. 15

Elementar-Bunttextext:

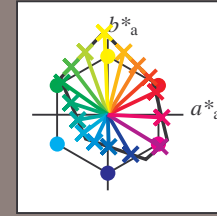
$u^*_e = 16$ Bunttoene *r00j, r25j, ..., b75r*

Kontrastreduzierungsfaktor:

$c_R = 1.0$

FRS09_92a; adaptierte CIELAB-Daten

u^*_e	$L^*=L^*_a$	a^*_a	b^*_a	$C^*_{ab,a}$	$h^*_{ab,a}$	u^*_d
r00j	35.47	63.32	30.17	70.15	25	m81o
r25j	39.12	54.56	49.45	73.64	42	o10y
r50j	50.64	39.15	64.89	75.79	59	o40y
r75j	64.01	21.26	82.83	85.52	76	o69y
j00g	83.18	-4.38	108.53	108.62	92	o98y
j25g	66.73	-29.89	83.06	88.28	110	y34l
j50g	54.03	-48.31	63.49	79.78	127	y69l
j75g	44.73	-60.33	42.64	73.88	145	l03c
g00b	47.59	-49.08	15.74	51.54	162	l23c
g25b	49.97	-39.7	-6.72	40.27	190	l55c
g50b	51.85	-32.33	-24.35	40.48	217	l87c
g75b	46.92	-17.29	-36.02	39.96	244	c20v
b00r	37.91	1.28	-42.35	42.37	272	c53v
b25r	23.81	30.38	-52.26	60.45	300	c87v
b50r	29.52	69.06	-42.14	80.9	329	v68m
b75r	36.48	71.47	-3.69	71.57	357	m34o



%Umfang

$u^*_{rel} = 109$

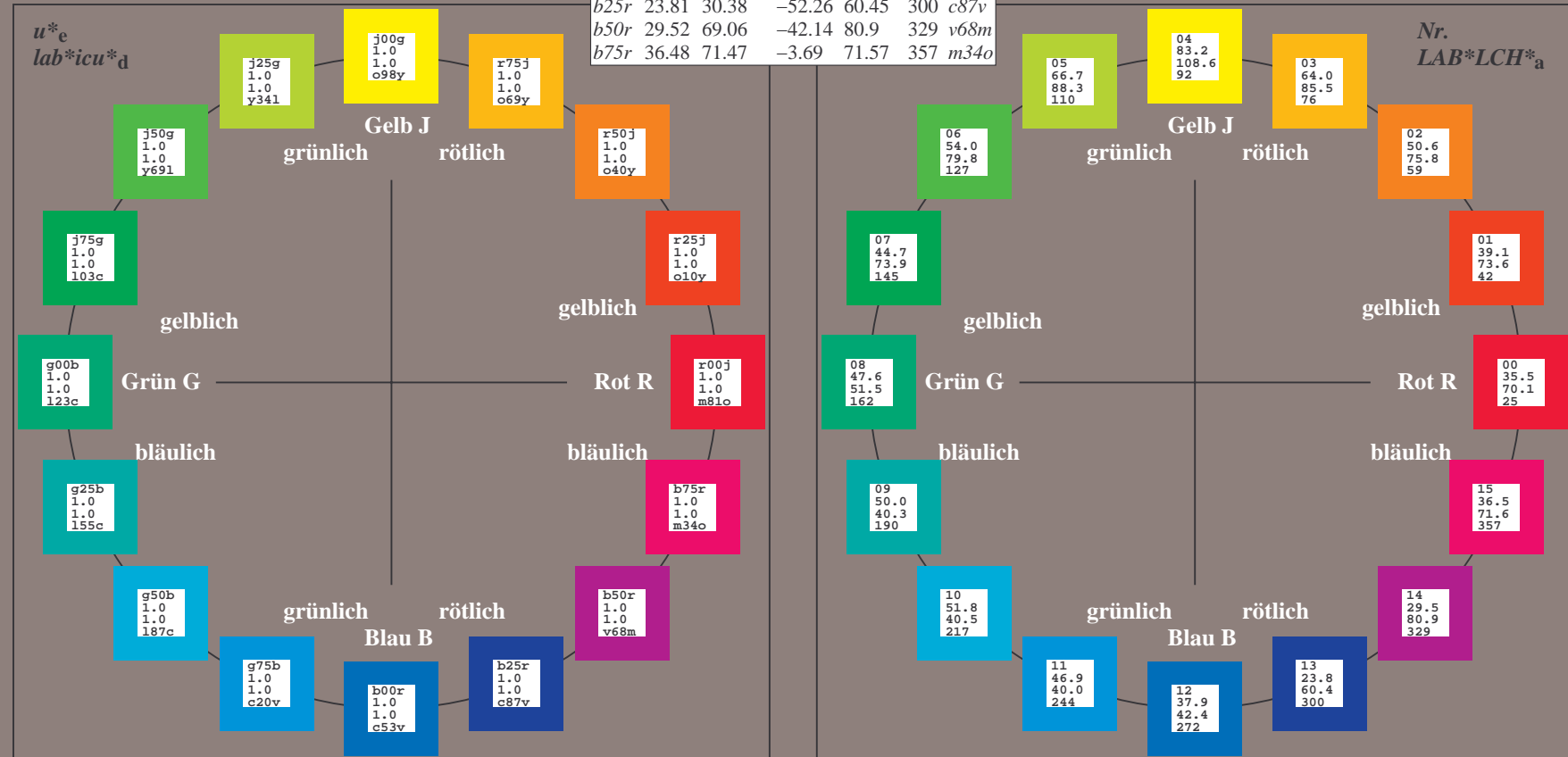
%Regularität

$g^*_{H,rel} = 31$

$g^*_{C,rel} = 40$

FRS09_92a; adaptierte CIELAB-Daten

Name	$L^*=L^*_a$	a^*_a	b^*_a	$C^*_{ab,a}$	$h^*_{ab,a}$
OMa	35.06	60.0	44.0	74.4	36
YMa	83.77	-5.17	109.32	109.44	93
LMa	44.13	-62.67	48.24	79.09	142
CMa	52.66	-29.14	-31.99	43.27	228
VMa	14.15	50.3	-59.04	77.57	310
MMa	37.37	78.64	-33.5	85.48	337
NMa	8.58	0.0	0.0	0.0	0
WMa	92.02	0.0	0.0	0.0	0
RCIE	39.92	58.74	27.99	65.07	25
JCIE	81.26	-2.89	71.56	71.62	92
GCIE	52.23	-42.42	13.6	44.55	162
BCIE	30.57	1.41	-46.47	46.49	272



Ein und Ausgabe: Farbmatisches Drucker-Reflektiv-System FRS09_92a für relativen CIELAB-Bunton $h^* = lab \cdot h^* = h_{ab}/360 = 0.071$

$u^*_e = r00j$
 $lab \cdot icu^*_d$

Daten für jede Farbe:

$lab \cdot tch^*$ und $lab \cdot icu^*$

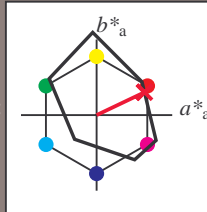
Buntontexte:

$u^*_e = r00j$ $u^*_d = m81o$

Kontrastreduzierungsfaktor:

$c_R = 1.0$

Dreiecks-Helligkeit t^*



FRS09_92a; adaptierte CIELAB-Daten						
u^*_e	$L^*=L^*_a$	a^*_a	b^*_a	$C^*_{ab,a}$	$h^*_{ab,a}$	
O _{Ma}	35.06	60.0	44.0	74.4	36	
Y _{Ma}	83.77	-5.17	109.32	109.44	93	
L _{Ma}	44.13	-62.67	48.24	79.09	142	
C _{Ma}	52.66	-29.14	-31.99	43.27	228	
V _{Ma}	14.15	50.3	-59.04	77.57	310	
M _{Ma}	37.37	78.64	-33.5	85.48	337	
N _{Ma}	8.58	0.0	0.0	0.0	0	
W _{Ma}	92.02	0.0	0.0	0.0	0	
R _{Ma}	39.92	58.74	27.99	65.07	25	
J _{Ma}	81.26	-2.89	71.56	71.62	92	
G _{Ma}	52.23	-42.42	13.6	44.55	162	
B _{Ma}	30.57	1.41	-46.47	46.49	272	

Daten für Maximalfarbe (Ma):

$LAB \cdot LAB \cdot Ma: 35 \ 63 \ 30$

$LAB \cdot LCH \cdot Ma: 35 \ 70 \ 25$

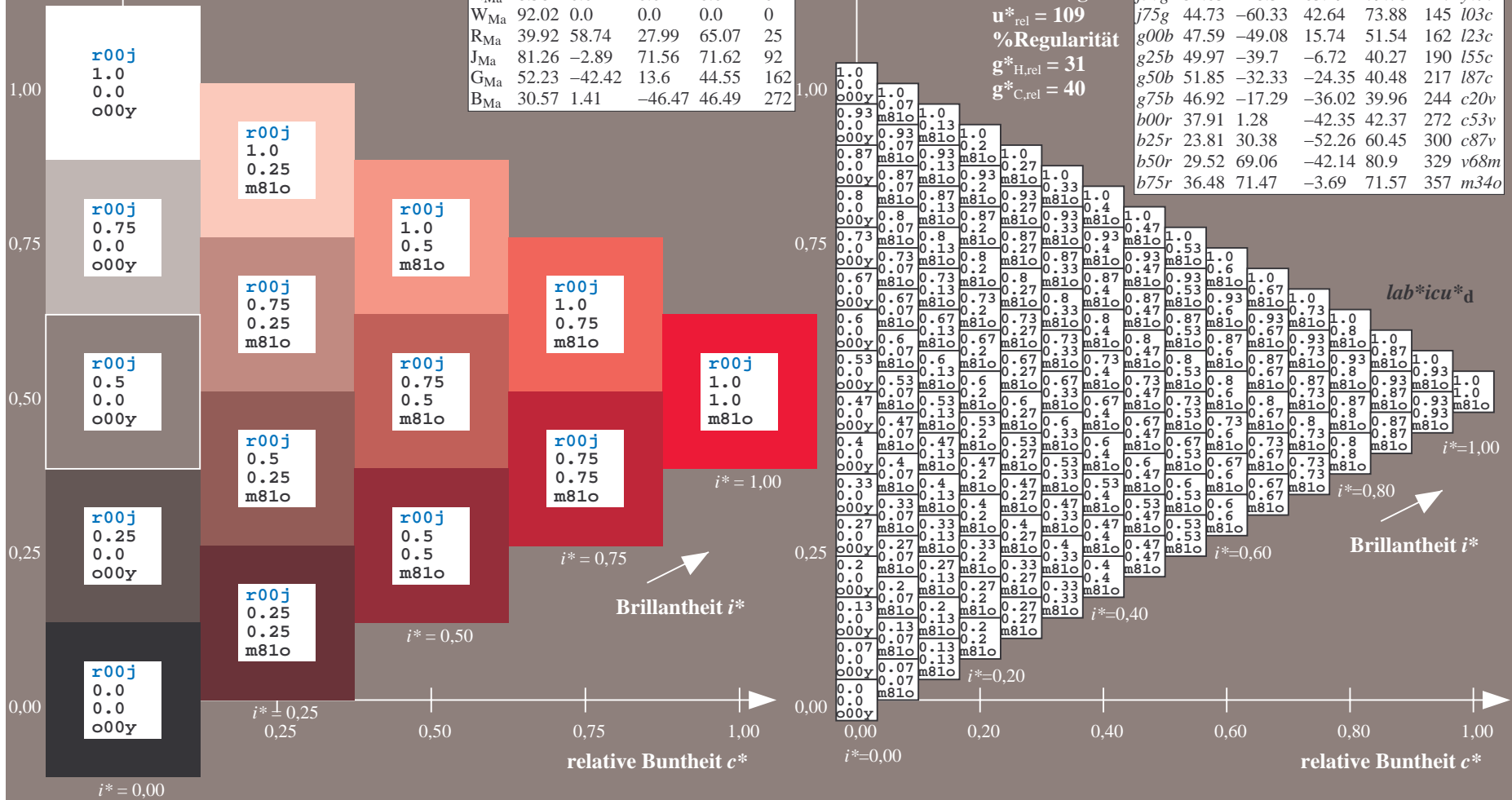
$lab \cdot rgb \cdot Ma: 1.0 \ 0.0 \ 0.0$

$lab \cdot olv \cdot Ma: 1.0 \ 0.0 \ 0.18$

Dreiecks-Helligkeit t^*

FRS09_92a; adaptierte CIELAB-Daten

u^*_e	$L^*=L^*_a$	a^*_a	b^*_a	$C^*_{ab,a}$	$h^*_{ab,a}$	u^*_d
r00j	35.47	63.32	30.17	70.15	25	m81o
r25j	39.12	54.56	49.45	73.64	42	o10y
r50j	50.64	39.15	64.89	75.79	59	o40y
r75j	64.01	21.26	82.83	85.52	76	o69y
j00g	83.18	-4.38	108.53	108.62	92	o98y
j25g	66.73	-29.89	83.06	88.28	110	y34l
j50g	54.03	-48.31	63.49	79.78	127	y69l
j75g	44.73	-60.33	42.64	73.88	145	l03c
g00b	47.59	-49.08	15.74	51.54	162	l23c
g25b	49.97	-39.7	-6.72	40.27	190	l55c
g50b	51.85	-32.33	-24.35	40.48	217	l87c
g75b	46.92	-17.29	-36.02	39.96	244	c20v
b00r	37.91	1.28	-42.35	42.37	272	c53v
b25r	23.81	30.38	-52.26	60.45	300	c87v
b50r	29.52	69.06	-42.14	80.9	329	v68m
b75r	36.48	71.47	-3.69	71.57	357	m34o



Ein und Ausgabe: Farbmatisches Drucker-Reflektiv-System FRS09_92a für relativen CIELAB-Bunton $h^* = lab^*h^* = h_{ab}/360 = 0.117$

$u^*_e = r25j$
 $lab^*icu^*_d$

Daten für jede Farbe:

lab^*tch^* und lab^*icu^*

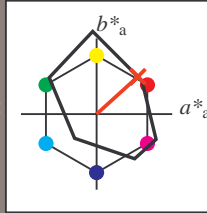
Buntontexte:

$u^*_e = r25j$ $u^*_d = o10y$

Kontrastreduzierungsfaktor:

$c_R = 1.0$

Dreiecks-Helligkeit t^*



FRS09_92a; adaptierte CIELAB-Daten

u^*_e	$L^*=L^*_a$	a^*_a	b^*_a	$C^*_{ab,a}$	$h^*_{ab,a}$
O _{Ma}	35.06	60.0	44.0	74.4	36
Y _{Ma}	83.77	-5.17	109.32	109.44	93
L _{Ma}	44.13	-62.67	48.24	79.09	142
C _{Ma}	52.66	-29.14	-31.99	43.27	228
V _{Ma}	14.15	50.3	-59.04	77.57	310
M _{Ma}	37.37	78.64	-33.5	85.48	337
N _{Ma}	8.58	0.0	0.0	0.0	0
W _{Ma}	92.02	0.0	0.0	0.0	0
R _{Ma}	39.92	58.74	27.99	65.07	25
J _{Ma}	81.26	-2.89	71.56	71.62	92
G _{Ma}	52.23	-42.42	13.6	44.55	162
B _{Ma}	30.57	1.41	-46.47	46.49	272

Daten für Maximalfarbe (Ma):

$LAB^*LAB^*_{Ma}$: 39 55 49

$LAB^*LCH^*_{Ma}$: 39 74 42

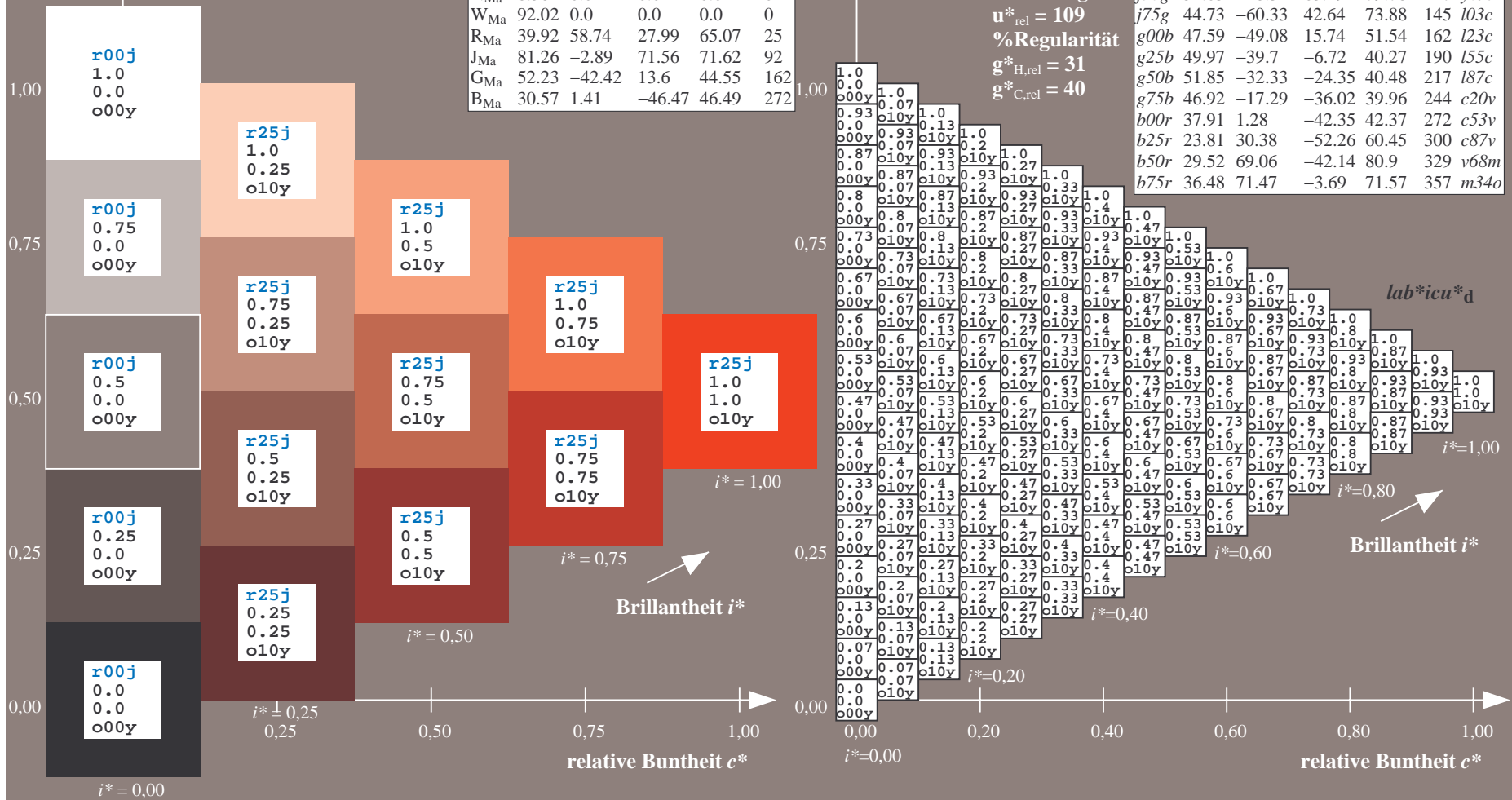
$lab^*rgb^*_{Ma}$: 1.0 0.25 0.0

$lab^*olv^*_{Ma}$: 1.0 0.11 0.0

Dreiecks-Helligkeit t^*

FRS09_92a; adaptierte CIELAB-Daten

u^*_e	$L^*=L^*_a$	a^*_a	b^*_a	$C^*_{ab,a}$	$h^*_{ab,a}$	u^*_d
r00j	35.47	63.32	30.17	70.15	25	m81o
r25j	39.12	54.56	49.45	73.64	42	o10y
r50j	50.64	39.15	64.89	75.79	59	o40y
r75j	64.01	21.26	82.83	85.52	76	o69y
j00g	83.18	-4.38	108.53	108.62	92	o98y
j25g	66.73	-29.89	83.06	88.28	110	y34l
j50g	54.03	-48.31	63.49	79.78	127	y69l
j75g	44.73	-60.33	42.64	73.88	145	l03c
g00b	47.59	-49.08	15.74	51.54	162	l23c
g25b	49.97	-39.7	-6.72	40.27	190	l55c
g50b	51.85	-32.33	-24.35	40.48	217	l87c
g75b	46.92	-17.29	-36.02	39.96	244	c20v
b00r	37.91	1.28	-42.35	42.37	272	c53v
b25r	23.81	30.38	-52.26	60.45	300	c87v
b50r	29.52	69.06	-42.14	80.9	329	v68m
b75r	36.48	71.47	-3.69	71.57	357	m34o



%Umfang
 $u^*_{rel} = 109$
%Regularität
 $g^*_{H,rel} = 31$
 $g^*_{C,rel} = 40$

Ein und Ausgabe: Farbmatisches Drucker-Reflektiv-System FRS09_92a für relativen CIELAB-Bunton $h^* = lab^*h^* = h_{ab}/360 = 0.164$

$u^*_e = r50j$
 $lab^*icu^*_d$

Daten für jede Farbe:

lab^*tch^* und lab^*icu^*

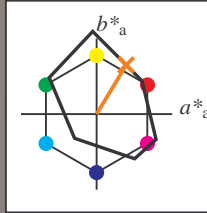
Buntontexte:

$u^*_e = r50j$ $u^*_d = o40y$

Kontrastreduzierungsfaktor:

$c_R = 1.0$

Dreiecks-Helligkeit t^*



FRS09_92a; adaptierte CIELAB-Daten

u^*_e	$L^*=L^*_a$	a^*_a	b^*_a	$C^*_{ab,a}$	$h^*_{ab,a}$
O _{Ma}	35.06	60.0	44.0	74.4	36
Y _{Ma}	83.77	-5.17	109.32	109.44	93
L _{Ma}	44.13	-62.67	48.24	79.09	142
C _{Ma}	52.66	-29.14	-31.99	43.27	228
V _{Ma}	14.15	50.3	-59.04	77.57	310
M _{Ma}	37.37	78.64	-33.5	85.48	337
N _{Ma}	8.58	0.0	0.0	0.0	0
W _{Ma}	92.02	0.0	0.0	0.0	0
R _{Ma}	39.92	58.74	27.99	65.07	25
J _{Ma}	81.26	-2.89	71.56	71.62	92
G _{Ma}	52.23	-42.42	13.6	44.55	162
B _{Ma}	30.57	1.41	-46.47	46.49	272

Daten für Maximalfarbe (Ma):

$LAB^*LAB^*_{Ma}$: 51 39 65

$LAB^*LCH^*_{Ma}$: 51 76 58

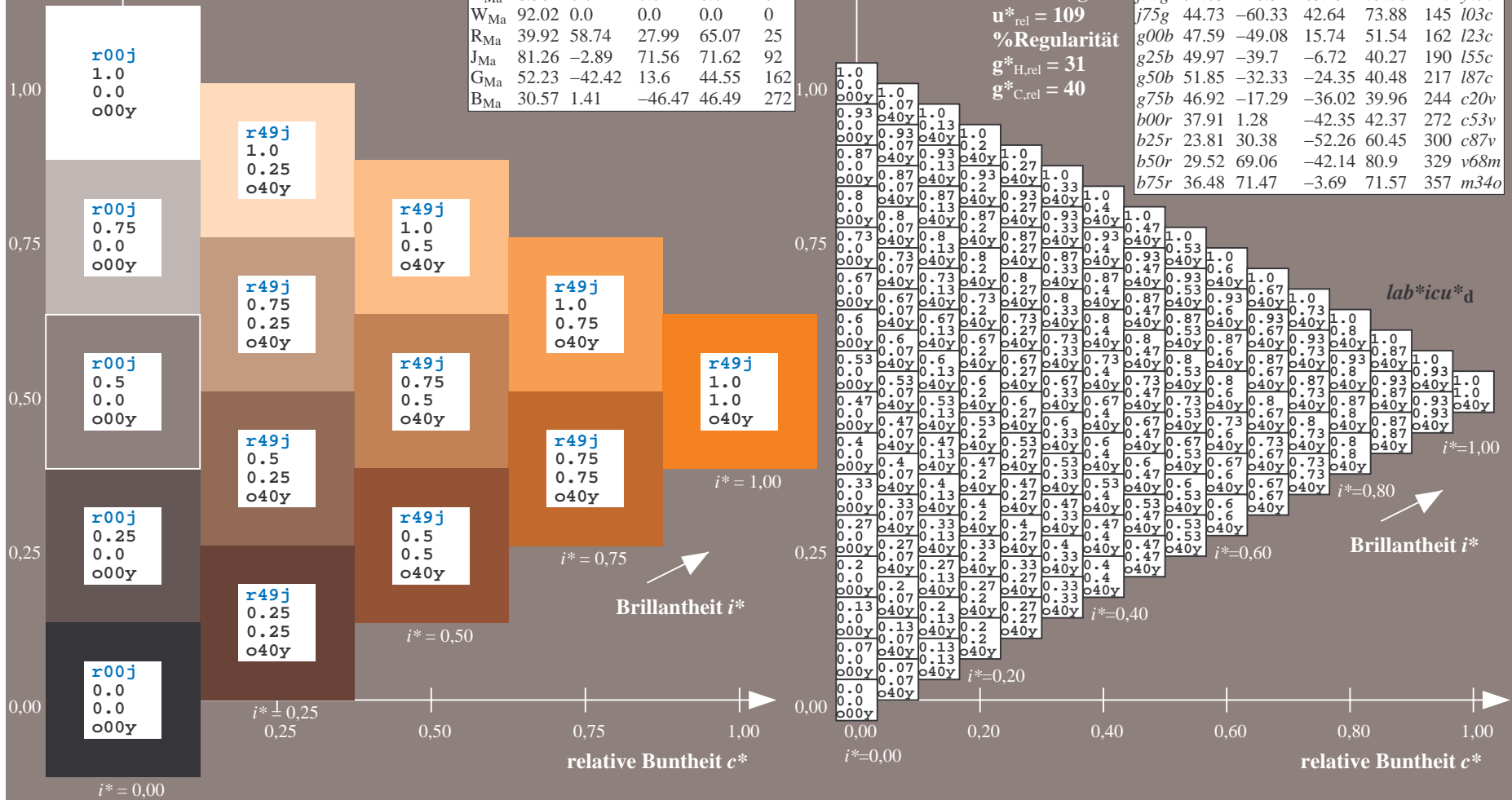
$lab^*rgb^*_{Ma}$: 1.0 0.5 0.0

$lab^*olv^*_{Ma}$: 1.0 0.4 0.0

Dreiecks-Helligkeit t^*

FRS09_92a; adaptierte CIELAB-Daten

u^*_e	$L^*=L^*_a$	a^*_a	b^*_a	$C^*_{ab,a}$	$h^*_{ab,a}$	u^*_d
r00j	35.47	63.32	30.17	70.15	25	m81o
r25j	39.12	54.56	49.45	73.64	42	o10y
r50j	50.64	39.15	64.89	75.79	59	o40y
r75j	64.01	21.26	82.83	85.52	76	o69y
j00g	83.18	-4.38	108.53	108.62	92	o98y
j25g	66.73	-29.89	83.06	88.28	110	y34l
j50g	54.03	-48.31	63.49	79.78	127	y69l
j75g	44.73	-60.33	42.64	73.88	145	l03c
g00b	47.59	-49.08	15.74	51.54	162	l23c
g25b	49.97	-39.7	-6.72	40.27	190	l55c
g50b	51.85	-32.33	-24.35	40.48	217	l87c
g75b	46.92	-17.29	-36.02	39.96	244	c20v
b00r	37.91	1.28	-42.35	42.37	272	c53v
b25r	23.81	30.38	-52.26	60.45	300	c87v
b50r	29.52	69.06	-42.14	80.9	329	v68m
b75r	36.48	71.47	-3.69	71.57	357	m34o



%Umfang
 $u^*_{rel} = 109$
%Regularität
 $g^*_{H,rel} = 31$
 $g^*_{C,rel} = 40$

Brillanz i^*

Brillanz i^*

$lab^*icu^*_d$

$i^* = 1.00$

$i^* = 0.80$

$i^* = 0.60$

$i^* = 0.40$

$i^* = 0.20$

$i^* = 0.00$

Ein und Ausgabe: Farbmatisches Drucker-Reflektiv-System FRS09_92a für relativen CIELAB-Bunton $h^* = lab^*h^* = h_{ab}/360 = 0.21$

$u^*_e = r75j$
 $lab^*icu^*_d$

Daten für jede Farbe:

lab^*tch^* und lab^*icu^*

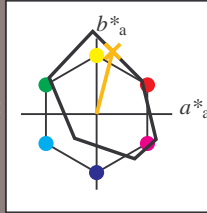
Buntontexte:

$u^*_e = r75j$ $u^*_d = o69y$

Kontrastreduzierungsfaktor:

$c_R = 1.0$

Dreiecks-Helligkeit t^*



FRS09_92a; adaptierte CIELAB-Daten

u^*_e	$L^*=L^*_a$	a^*_a	b^*_a	$C^*_{ab,a}$	$h^*_{ab,a}$
O _{Ma}	35.06	60.0	44.0	74.4	36
Y _{Ma}	83.77	-5.17	109.32	109.44	93
L _{Ma}	44.13	-62.67	48.24	79.09	142
C _{Ma}	52.66	-29.14	-31.99	43.27	228
V _{Ma}	14.15	50.3	-59.04	77.57	310
M _{Ma}	37.37	78.64	-33.5	85.48	337
N _{Ma}	8.58	0.0	0.0	0.0	0
W _{Ma}	92.02	0.0	0.0	0.0	0
R _{Ma}	39.92	58.74	27.99	65.07	25
J _{Ma}	81.26	-2.89	71.56	71.62	92
G _{Ma}	52.23	-42.42	13.6	44.55	162
B _{Ma}	30.57	1.41	-46.47	46.49	272

Daten für Maximalfarbe (Ma):

$LAB^*LAB^*_{Ma}$: 64 21 83

$LAB^*LCH^*_{Ma}$: 64 86 75

$lab^*rgb^*_{Ma}$: 1.0 0.75 0.0

$lab^*olv^*_{Ma}$: 1.0 0.7 0.0

Dreiecks-Helligkeit t^*

FRS09_92a; adaptierte CIELAB-Daten

u^*_e	$L^*=L^*_a$	a^*_a	b^*_a	$C^*_{ab,a}$	$h^*_{ab,a}$	u^*_d
r00j	35.47	63.32	30.17	70.15	25	m81o
r25j	39.12	54.56	49.45	73.64	42	o10y
r50j	50.64	39.15	64.89	75.79	59	o40y
r75j	64.01	21.26	82.83	85.52	76	o69y
j00g	83.18	-4.38	108.53	108.62	92	o98y
j25g	66.73	-29.89	83.06	88.28	110	y34l
j50g	54.03	-48.31	63.49	79.78	127	y69l
j75g	44.73	-60.33	42.64	73.88	145	l03c
g00b	47.59	-49.08	15.74	51.54	162	l23c
g25b	49.97	-39.7	-6.72	40.27	190	l55c
g50b	51.85	-32.33	-24.35	40.48	217	l87c
g75b	46.92	-17.29	-36.02	39.96	244	c20v
b00r	37.91	1.28	-42.35	42.37	272	c53v
b25r	23.81	30.38	-52.26	60.45	300	c87v
b50r	29.52	69.06	-42.14	80.9	329	v68m
b75r	36.48	71.47	-3.69	71.57	357	m34o

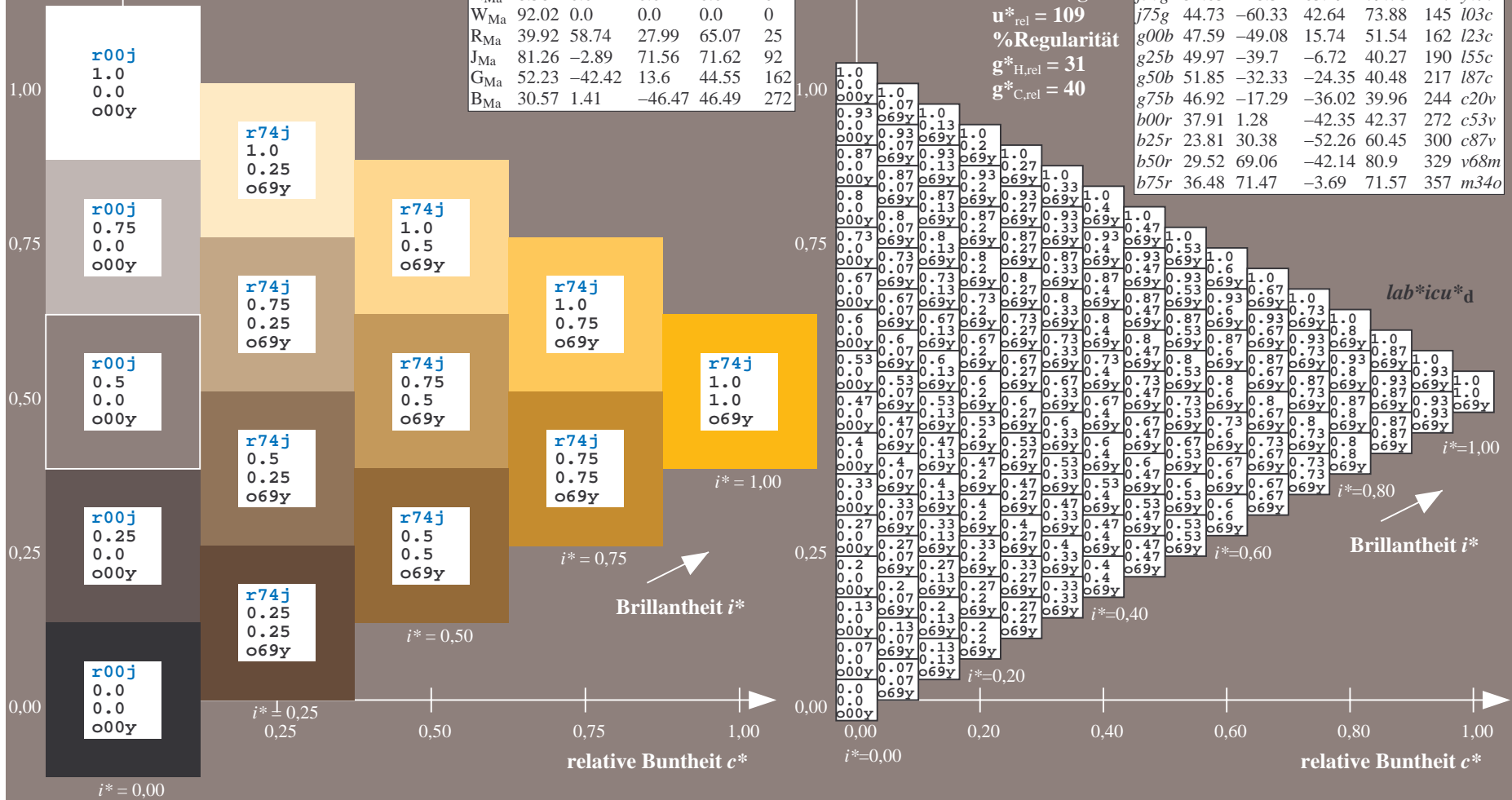
%Umfang

$u^*_{rel} = 109$

%Regularität

$g^*_{H,rel} = 31$

$g^*_{C,rel} = 40$



Ein und Ausgabe: Farbmatisches Drucker-Reflektiv-System FRS09_92a für relativen CIELAB-Bunton $h^* = lab^*h^* = h_{ab}/360 = 0.256$

$u^*_e = j00g$
 $lab^*icu^*_d$

Daten für jede Farbe:

lab^*tch^* und lab^*icu^*

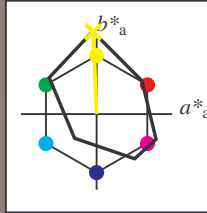
Buntontexte:

$u^*_e = j00g$ $u^*_d = o98y$

Kontrastreduzierungsfaktor:

$c_R = 1.0$

Dreiecks-Helligkeit t^*



FRS09_92a; adaptierte CIELAB-Daten

u^*_e	$L^*=L^*_a$	a^*_a	b^*_a	$C^*_{ab,a}$	$h^*_{ab,a}$
O _{Ma}	35.06	60.0	44.0	74.4	36
Y _{Ma}	83.77	-5.17	109.32	109.44	93
L _{Ma}	44.13	-62.67	48.24	79.09	142
C _{Ma}	52.66	-29.14	-31.99	43.27	228
V _{Ma}	14.15	50.3	-59.04	77.57	310
M _{Ma}	37.37	78.64	-33.5	85.48	337
N _{Ma}	8.58	0.0	0.0	0.0	0
W _{Ma}	92.02	0.0	0.0	0.0	0
R _{Ma}	39.92	58.74	27.99	65.07	25
J _{Ma}	81.26	-2.89	71.56	71.62	92
G _{Ma}	52.23	-42.42	13.6	44.55	162
B _{Ma}	30.57	1.41	-46.47	46.49	272

Daten für Maximalfarbe (Ma):

$LAB^*LAB^*_{Ma}$: 83 -4 109

$LAB^*LCH^*_{Ma}$: 83 109 92

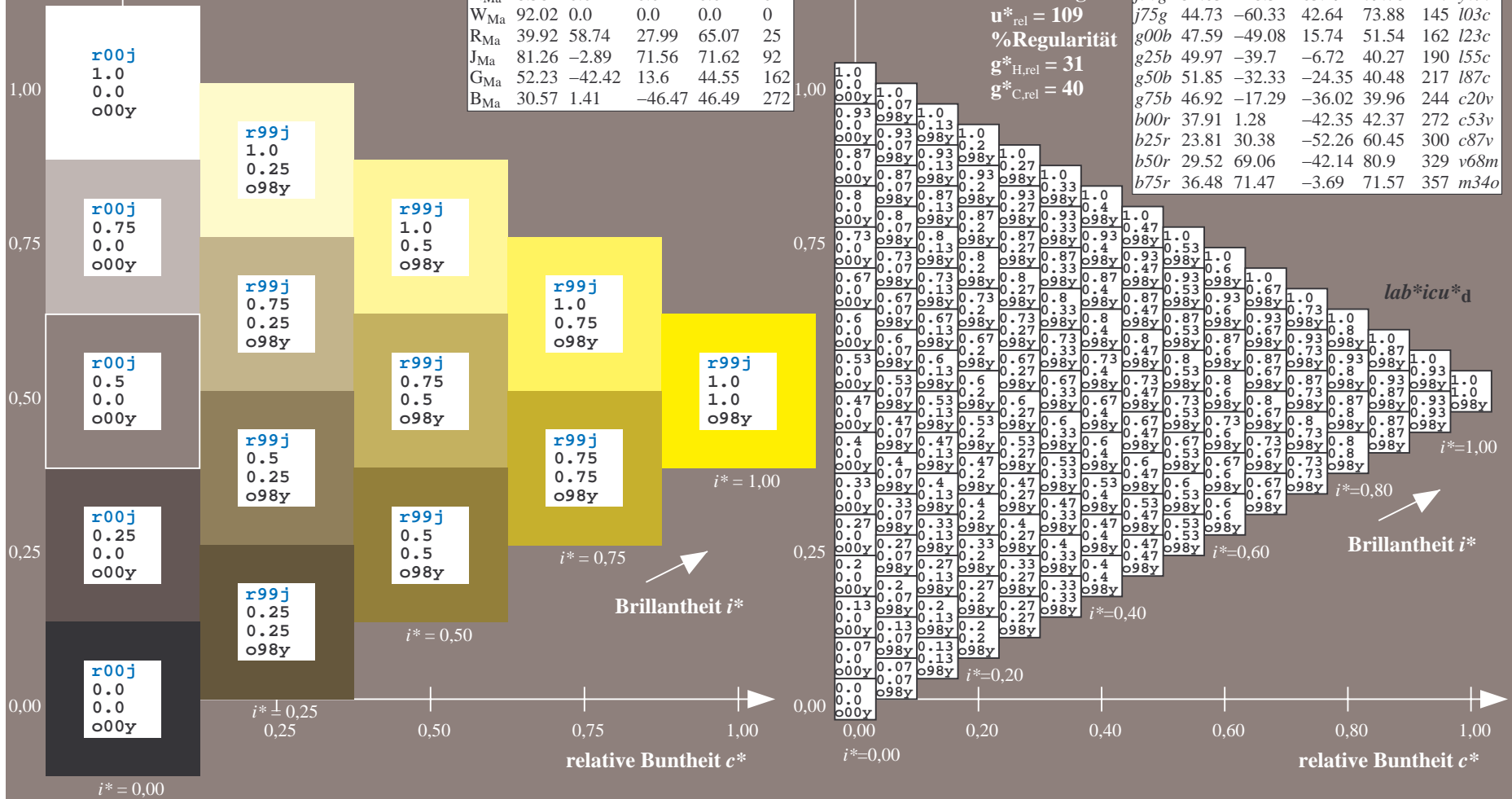
$lab^*rgb^*_{Ma}$: 1.0 1.0 0.0

$lab^*olv^*_{Ma}$: 1.0 0.99 0.0

Dreiecks-Helligkeit t^*

FRS09_92a; adaptierte CIELAB-Daten

u^*_e	$L^*=L^*_a$	a^*_a	b^*_a	$C^*_{ab,a}$	$h^*_{ab,a}$	u^*_d
r00j	35.47	63.32	30.17	70.15	25	m81o
r25j	39.12	54.56	49.45	73.64	42	o10y
r50j	50.64	39.15	64.89	75.79	59	o40y
r75j	64.01	21.26	82.83	85.52	76	o69y
j00g	83.18	-4.38	108.53	108.62	92	o98y
j25g	66.73	-29.89	83.06	88.28	110	y34l
j50g	54.03	-48.31	63.49	79.78	127	y69l
j75g	44.73	-60.33	42.64	73.88	145	l03c
g00b	47.59	-49.08	15.74	51.54	162	i23c
g25b	49.97	-39.7	-6.72	40.27	190	i55c
g50b	51.85	-32.33	-24.35	40.48	217	i87c
g75b	46.92	-17.29	-36.02	39.96	244	c20v
b00r	37.91	1.28	-42.35	42.37	272	c53v
b25r	23.81	30.38	-52.26	60.45	300	c87v
b50r	29.52	69.06	-42.14	80.9	329	v68m
b75r	36.48	71.47	-3.69	71.57	357	m34o



Ein und Ausgabe: Farbmatisches Drucker-Reflektiv-System FRS09_92a für relativen CIELAB-Bunton $h^* = lab^*h^* = h_{ab}/360 = 0.305$

$u^*_e = j25g$
 $lab^*icu^*_d$

Daten für jede Farbe:

lab^*tch^* und lab^*icu^*

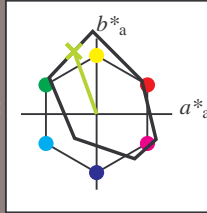
Buntontexte:

$u^*_e = j25g$ $u^*_d = y34l$

Kontrastreduzierungsfaktor:

$c_R = 1.0$

Dreiecks-Helligkeit t^*



FRS09_92a; adaptierte CIELAB-Daten

u^*_e	$L^*=L^*_a$	a^*_a	b^*_a	$C^*_{ab,a}$	$h^*_{ab,a}$
O _{Ma}	35.06	60.0	44.0	74.4	36
Y _{Ma}	83.77	-5.17	109.32	109.44	93
L _{Ma}	44.13	-62.67	48.24	79.09	142
C _{Ma}	52.66	-29.14	-31.99	43.27	228
V _{Ma}	14.15	50.3	-59.04	77.57	310
M _{Ma}	37.37	78.64	-33.5	85.48	337
N _{Ma}	8.58	0.0	0.0	0.0	0
W _{Ma}	92.02	0.0	0.0	0.0	0
R _{Ma}	39.92	58.74	27.99	65.07	25
J _{Ma}	81.26	-2.89	71.56	71.62	92
G _{Ma}	52.23	-42.42	13.6	44.55	162
B _{Ma}	30.57	1.41	-46.47	46.49	272

Daten für Maximalfarbe (Ma):

$LAB^*LAB^*_{Ma}: 67 -30 83$

$LAB^*LCH^*_{Ma}: 67 88 109$

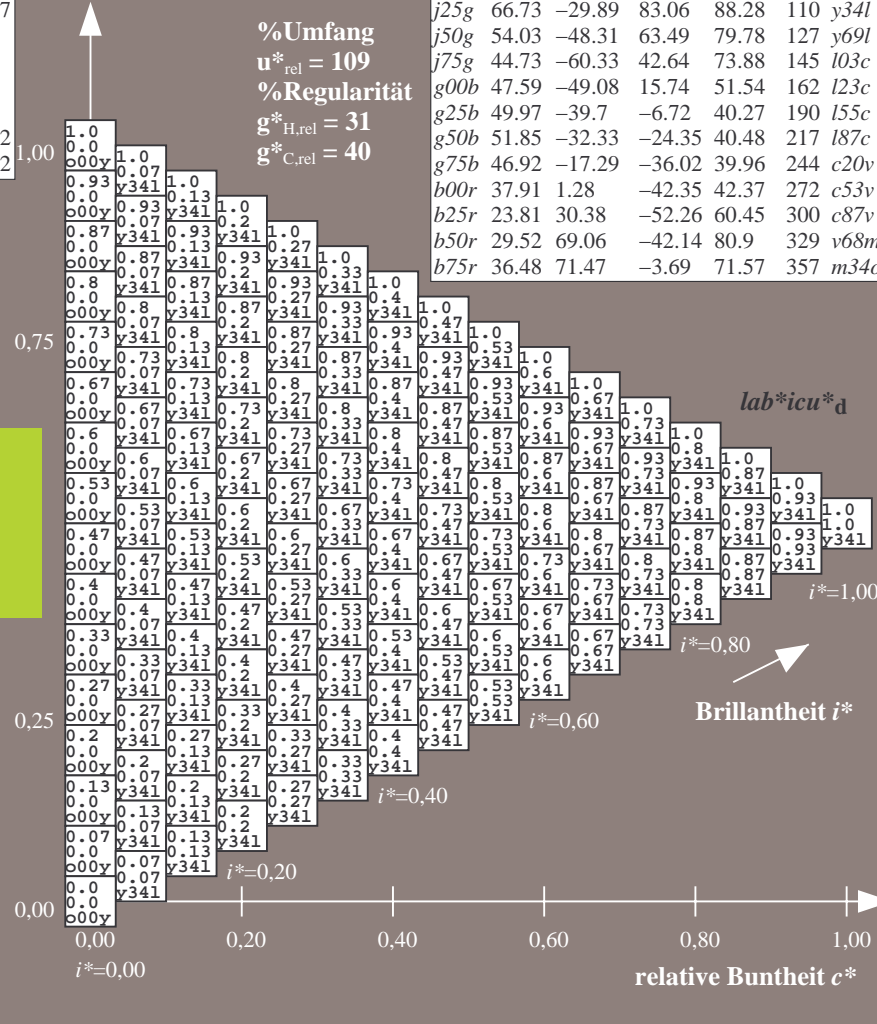
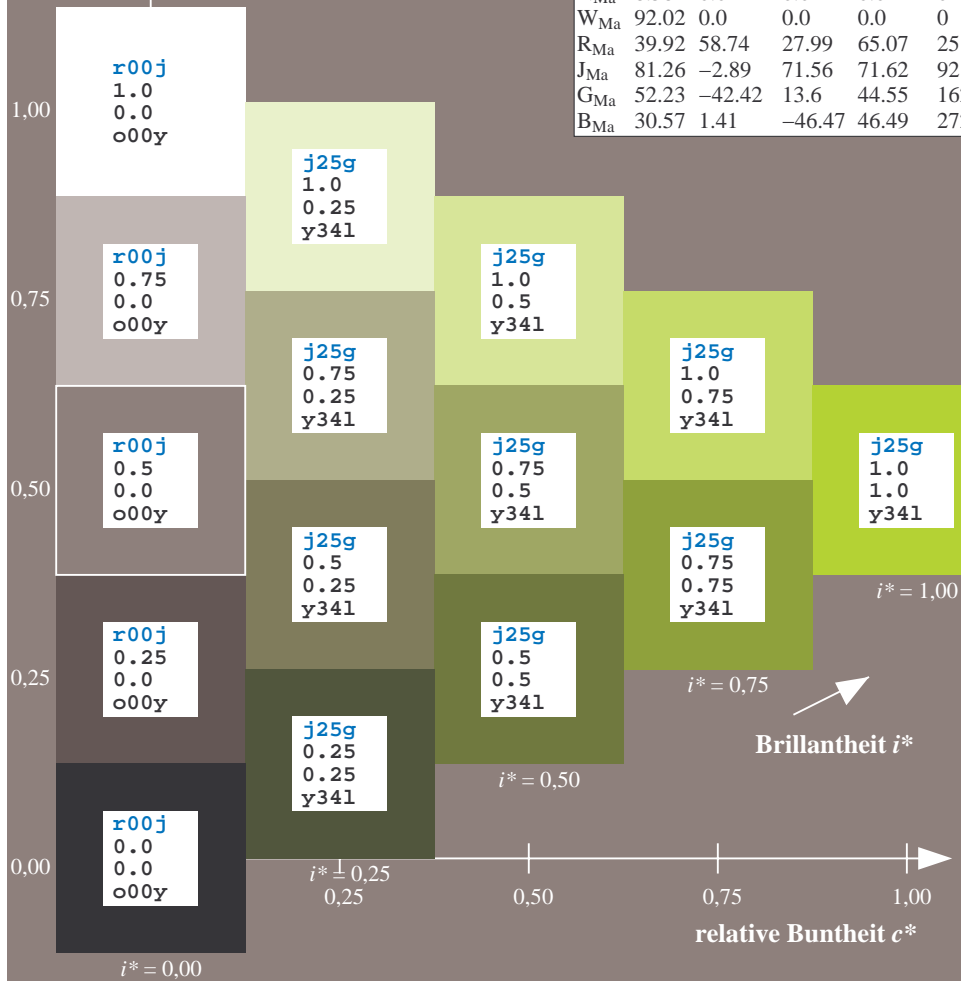
$lab^*rgb^*_{Ma}: 0.75 1.0 0.0$

$lab^*olv^*_{Ma}: 0.66 1.0 0.0$

Dreiecks-Helligkeit t^*

FRS09_92a; adaptierte CIELAB-Daten

u^*_e	$L^*=L^*_a$	a^*_a	b^*_a	$C^*_{ab,a}$	$h^*_{ab,a}$	u^*_d
r00j	35.47	63.32	30.17	70.15	25	m81o
r25j	39.12	54.56	49.45	73.64	42	o10y
r50j	50.64	39.15	64.89	75.79	59	o40y
r75j	64.01	21.26	82.83	85.52	76	o69y
j00g	83.18	-4.38	108.53	108.62	92	o98y
j25g	66.73	-29.89	83.06	88.28	110	y34l
j50g	54.03	-48.31	63.49	79.78	127	y69l
j75g	44.73	-60.33	42.64	73.88	145	l03c
g00b	47.59	-49.08	15.74	51.54	162	l23c
g25b	49.97	-39.7	-6.72	40.27	190	l55c
g50b	51.85	-32.33	-24.35	40.48	217	l87c
g75b	46.92	-17.29	-36.02	39.96	244	c20v
b00r	37.91	1.28	-42.35	42.37	272	c53v
b25r	23.81	30.38	-52.26	60.45	300	c87v
b50r	29.52	69.06	-42.14	80.9	329	v68m
b75r	36.48	71.47	-3.69	71.57	357	m34o



%Umfang
 $u^*_{rel} = 109$
%Regularität
 $g^*_{H,rel} = 31$
 $g^*_{C,rel} = 40$

Brillantheit i^*

$lab^*icu^*_d$

$i^* = 1.00$

$i^* = 0.80$

$i^* = 0.60$

$i^* = 0.40$

$i^* = 0.20$

$i^* = 0.00$

Ein und Ausgabe: Farbmatisches Drucker-Reflektiv-System FRS09_92a für relativen CIELAB-Bunton $h^* = lab^*h^* = h_{ab}/360 = 0.354$

$u^*_e = j50g$
 $lab^*icu^*_d$

Daten für jede Farbe:

lab^*tch^* und lab^*icu^*

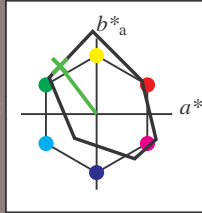
Buntontexte:

$u^*_e = j50g$ $u^*_d = y69l$

Kontrastreduzierungsfaktor:

$c_R = 1.0$

Dreiecks-Helligkeit t^*



FRS09_92a; adaptierte CIELAB-Daten

u^*_e	$L^*=L^*_a$	a^*_a	b^*_a	$C^*_{ab,a}$	$h^*_{ab,a}$
O _{Ma}	35.06	60.0	44.0	74.4	36
Y _{Ma}	83.77	-5.17	109.32	109.44	93
L _{Ma}	44.13	-62.67	48.24	79.09	142
C _{Ma}	52.66	-29.14	-31.99	43.27	228
V _{Ma}	14.15	50.3	-59.04	77.57	310
M _{Ma}	37.37	78.64	-33.5	85.48	337
N _{Ma}	8.58	0.0	0.0	0.0	0
W _{Ma}	92.02	0.0	0.0	0.0	0
R _{Ma}	39.92	58.74	27.99	65.07	25
J _{Ma}	81.26	-2.89	71.56	71.62	92
G _{Ma}	52.23	-42.42	13.6	44.55	162
B _{Ma}	30.57	1.41	-46.47	46.49	272

Daten für Maximalfarbe (Ma):

$LAB^*LAB^*_{Ma}$: 54 -48 63

$LAB^*LCH^*_{Ma}$: 54 80 127

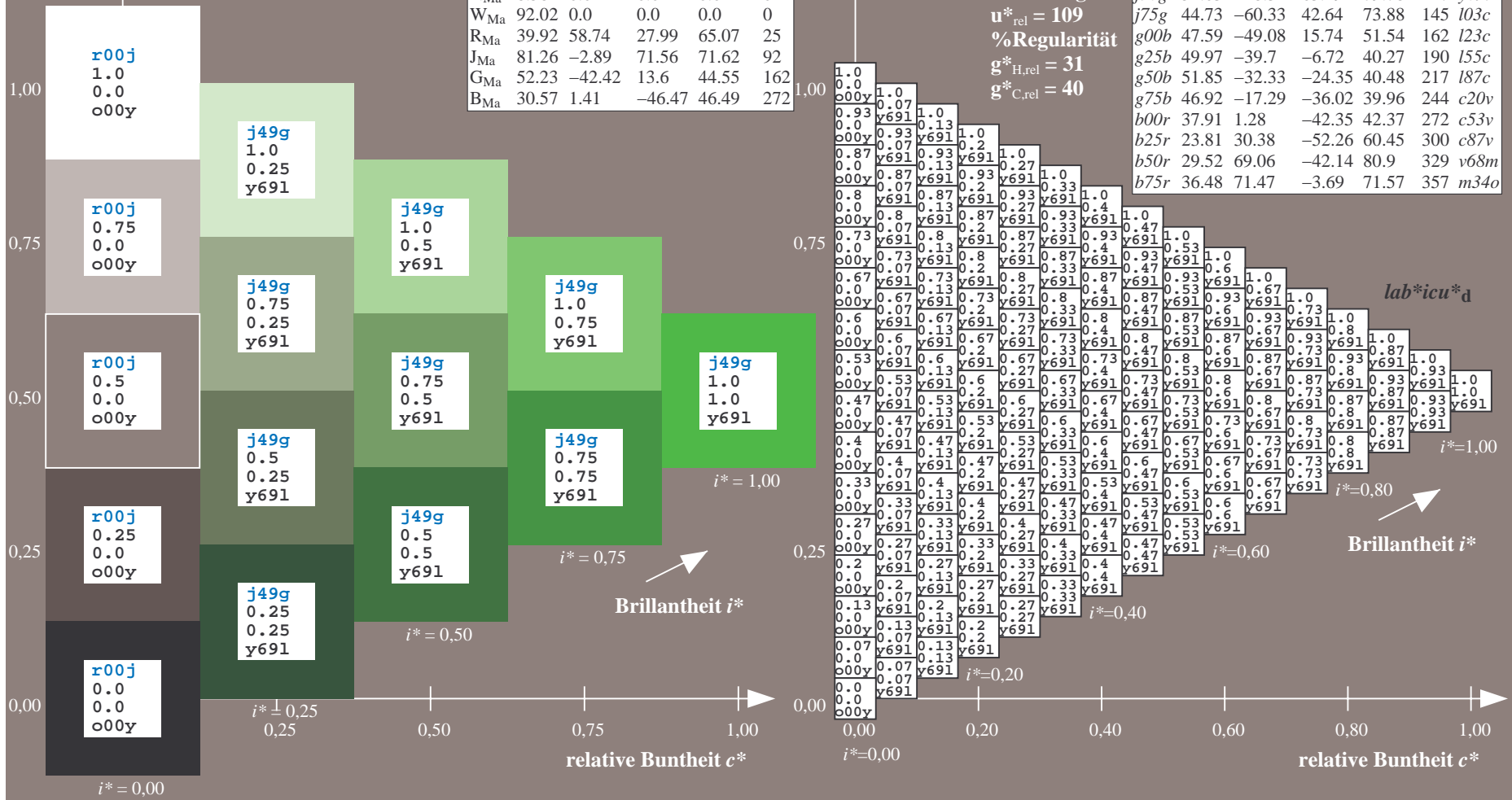
$lab^*rgb^*_{Ma}$: 0.5 1.0 0.0

$lab^*olv^*_{Ma}$: 0.3 1.0 0.0

Dreiecks-Helligkeit t^*

FRS09_92a; adaptierte CIELAB-Daten

u^*_e	$L^*=L^*_a$	a^*_a	b^*_a	$C^*_{ab,a}$	$h^*_{ab,a}$	u^*_d
r00j	35.47	63.32	30.17	70.15	25	m81o
r25j	39.12	54.56	49.45	73.64	42	o10y
r50j	50.64	39.15	64.89	75.79	59	o40y
r75j	64.01	21.26	82.83	85.52	76	o69y
j00g	83.18	-4.38	108.53	108.62	92	o98y
j25g	66.73	-29.89	83.06	88.28	110	y34l
j50g	54.03	-48.31	63.49	79.78	127	y69l
j75g	44.73	-60.33	42.64	73.88	145	l03c
g00b	47.59	-49.08	15.74	51.54	162	l23c
g25b	49.97	-39.7	-6.72	40.27	190	l55c
g50b	51.85	-32.33	-24.35	40.48	217	l87c
g75b	46.92	-17.29	-36.02	39.96	244	c20v
b00r	37.91	1.28	-42.35	42.37	272	c53v
b25r	23.81	30.38	-52.26	60.45	300	c87v
b50r	29.52	69.06	-42.14	80.9	329	v68m
b75r	36.48	71.47	-3.69	71.57	357	m34o



Ein und Ausgabe: Farbmatisches Drucker-Reflektiv-System FRS09_92a für relativen CIELAB-Bunton $h^* = lab^*h^* = h_{ab}/360 = 0.402$

$u^*_e = j75g$
 $lab^*icu^*_d$

Daten für jede Farbe:

lab^*tch^* und lab^*icu^*

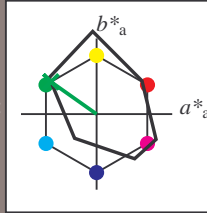
Buntontexte:

$u^*_e = j75g$ $u^*_d = l03c$

Kontrastreduzierungsfaktor:

$c_R = 1.0$

Dreiecks-Helligkeit t^*



FRS09_92a; adaptierte CIELAB-Daten

u^*_e	$L^*=L^*_a$	a^*_a	b^*_a	$C^*_{ab,a}$	$h^*_{ab,a}$
O _{Ma}	35.06	60.0	44.0	74.4	36
Y _{Ma}	83.77	-5.17	109.32	109.44	93
L _{Ma}	44.13	-62.67	48.24	79.09	142
C _{Ma}	52.66	-29.14	-31.99	43.27	228
V _{Ma}	14.15	50.3	-59.04	77.57	310
M _{Ma}	37.37	78.64	-33.5	85.48	337
N _{Ma}	8.58	0.0	0.0	0.0	0
W _{Ma}	92.02	0.0	0.0	0.0	0
R _{Ma}	39.92	58.74	27.99	65.07	25
J _{Ma}	81.26	-2.89	71.56	71.62	92
G _{Ma}	52.23	-42.42	13.6	44.55	162
B _{Ma}	30.57	1.41	-46.47	46.49	272

Daten für Maximalfarbe (Ma):

$LAB^*LAB^*_{Ma}$: 45 -60 43

$LAB^*LCH^*_{Ma}$: 45 74 144

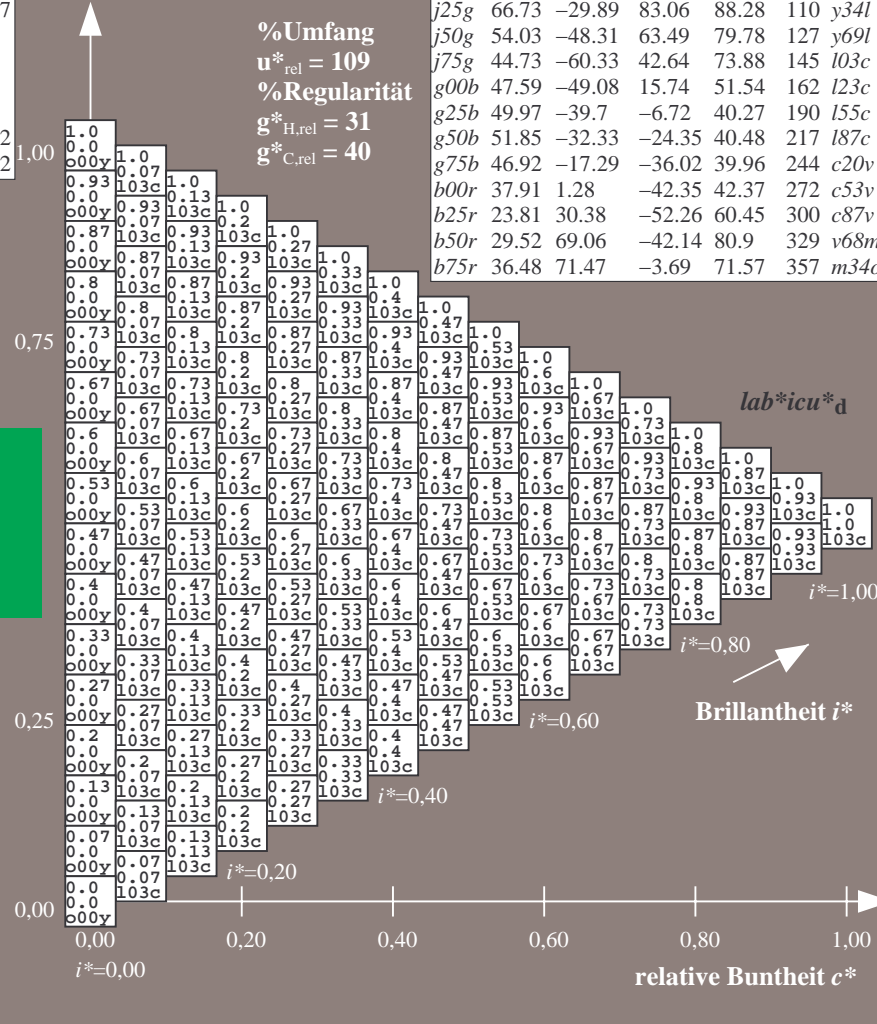
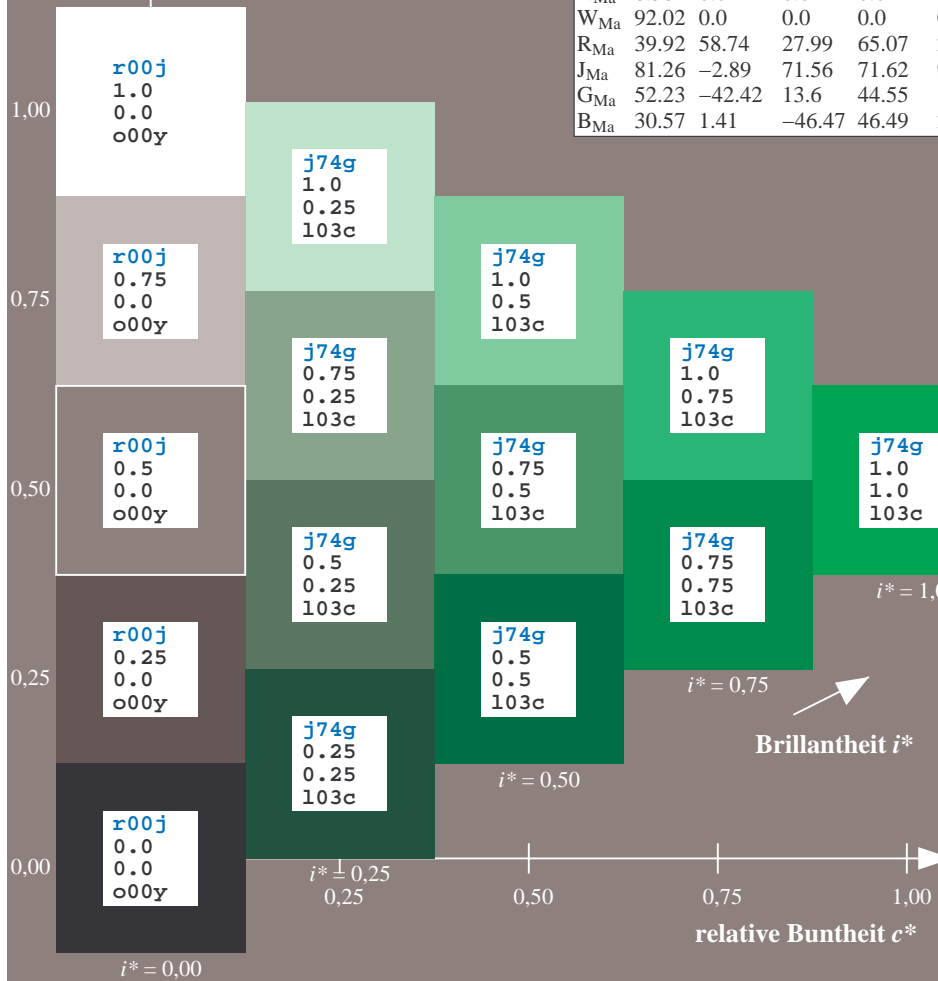
$lab^*rgb^*_{Ma}$: 0.25 1.0 0.0

$lab^*olv^*_{Ma}$: 0.0 1.0 0.03

Dreiecks-Helligkeit t^*

FRS09_92a; adaptierte CIELAB-Daten

u^*_e	$L^*=L^*_a$	a^*_a	b^*_a	$C^*_{ab,a}$	$h^*_{ab,a}$	u^*_d
r00j	35.47	63.32	30.17	70.15	25	m81o
r25j	39.12	54.56	49.45	73.64	42	o10y
r50j	50.64	39.15	64.89	75.79	59	o40y
r75j	64.01	21.26	82.83	85.52	76	o69y
j00g	83.18	-4.38	108.53	108.62	92	o98y
j25g	66.73	-29.89	83.06	88.28	110	y34l
j50g	54.03	-48.31	63.49	79.78	127	y69l
j75g	44.73	-60.33	42.64	73.88	145	l03c
g00b	47.59	-49.08	15.74	51.54	162	l23c
g25b	49.97	-39.7	-6.72	40.27	190	l55c
g50b	51.85	-32.33	-24.35	40.48	217	l87c
g75b	46.92	-17.29	-36.02	39.96	244	c20v
b00r	37.91	1.28	-42.35	42.37	272	c53v
b25r	23.81	30.38	-52.26	60.45	300	c87v
b50r	29.52	69.06	-42.14	80.9	329	v68m
b75r	36.48	71.47	-3.69	71.57	357	m34o



Ein und Ausgabe: Farbmatisches Drucker-Reflektiv-System FRS09_92a für relativen CIELAB-Bunton $h^* = lab^*h^* = h_{ab}/360 = 0.451$

$u^*_e = g00b$

Daten für jede Farbe:

lab^*ch^* und lab^*icu^*

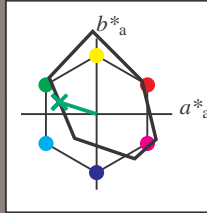
Buntontexte:

$u^*_e = g00b$ $u^*_d = l23c$

Kontrastreduzierungsfaktor:

$c_R = 1.0$

Dreiecks-Helligkeit t^*



FRS09_92a; adaptierte CIELAB-Daten

u^*_e	$L^*=L^*_a$	a^*_a	b^*_a	$C^*_{ab,a}$	$h^*_{ab,a}$
O _{Ma}	35.06	60.0	44.0	74.4	36
Y _{Ma}	83.77	-5.17	109.32	109.44	93
L _{Ma}	44.13	-62.67	48.24	79.09	142
C _{Ma}	52.66	-29.14	-31.99	43.27	228
V _{Ma}	14.15	50.3	-59.04	77.57	310
M _{Ma}	37.37	78.64	-33.5	85.48	337
N _{Ma}	8.58	0.0	0.0	0.0	0
W _{Ma}	92.02	0.0	0.0	0.0	0
R _{Ma}	39.92	58.74	27.99	65.07	25
J _{Ma}	81.26	-2.89	71.56	71.62	92
G _{Ma}	52.23	-42.42	13.6	44.55	162
B _{Ma}	30.57	1.41	-46.47	46.49	272

Daten für Maximalfarbe (Ma):

$LAB^*LAB^*_{Ma}$: 48 -49 16

$LAB^*LCH^*_{Ma}$: 48 52 162

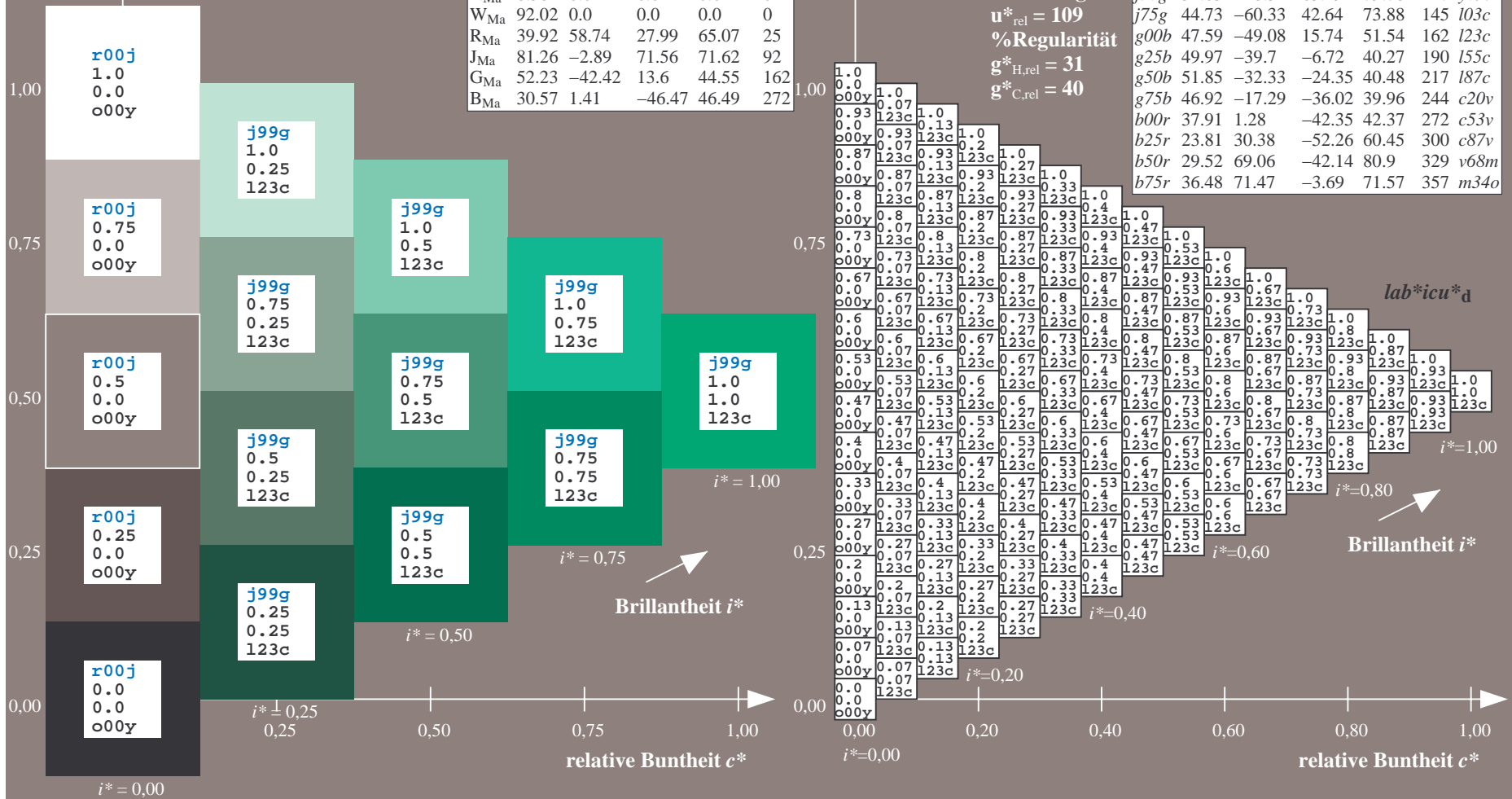
$lab^*rgb^*_{Ma}$: 0.0 1.0 0.0

$lab^*olv^*_{Ma}$: 0.0 1.0 0.23

Dreiecks-Helligkeit t^*

FRS09_92a; adaptierte CIELAB-Daten

u^*_e	$L^*=L^*_a$	a^*_a	b^*_a	$C^*_{ab,a}$	$h^*_{ab,a}$	u^*_d
r00j	35.47	63.32	30.17	70.15	25	m81o
r25j	39.12	54.56	49.45	73.64	42	o10y
r50j	50.64	39.15	64.89	75.79	59	o40y
r75j	64.01	21.26	82.83	85.52	76	o69y
j00g	83.18	-4.38	108.53	108.62	92	o98y
j25g	66.73	-29.89	83.06	88.28	110	y34l
j50g	54.03	-48.31	63.49	79.78	127	y69l
j75g	44.73	-60.33	42.64	73.88	145	l03c
g00b	47.59	-49.08	15.74	51.54	162	l23c
g25b	49.97	-39.7	-6.72	40.27	190	l55c
g50b	51.85	-32.33	-24.35	40.48	217	l87c
g75b	46.92	-17.29	-36.02	39.96	244	c20v
b00r	37.91	1.28	-42.35	42.37	272	c53v
b25r	23.81	30.38	-52.26	60.45	300	c87v
b50r	29.52	69.06	-42.14	80.9	329	v68m
b75r	36.48	71.47	-3.69	71.57	357	m34o



Ein und Ausgabe: Farbmatisches Drucker-Reflektiv-System FRS09_92a für relativen CIELAB-Bunton $h^* = lab \cdot h^* = h_{ab}/360 = 0.527$

$u^*_e = g25b$
 $lab \cdot icu^*_d$

Daten für jede Farbe:

$lab \cdot tch^*$ und $lab \cdot icu^*$

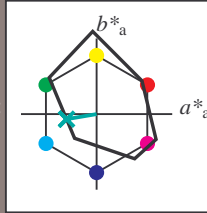
Buntontexte:

$u^*_e = g25b$ $u^*_d = l55c$

Kontrastreduzierungsfaktor:

$c_R = 1.0$

Dreiecks-Helligkeit t^*



FRS09_92a; adaptierte CIELAB-Daten

u^*_e	$L^*=L^*_a$	a^*_a	b^*_a	$C^*_{ab,a}$	$h^*_{ab,a}$
O _{Ma}	35.06	60.0	44.0	74.4	36
Y _{Ma}	83.77	-5.17	109.32	109.44	93
L _{Ma}	44.13	-62.67	48.24	79.09	142
C _{Ma}	52.66	-29.14	-31.99	43.27	228
V _{Ma}	14.15	50.3	-59.04	77.57	310
M _{Ma}	37.37	78.64	-33.5	85.48	337
N _{Ma}	8.58	0.0	0.0	0.0	0
W _{Ma}	92.02	0.0	0.0	0.0	0
R _{Ma}	39.92	58.74	27.99	65.07	25
J _{Ma}	81.26	-2.89	71.56	71.62	92
G _{Ma}	52.23	-42.42	13.6	44.55	162
B _{Ma}	30.57	1.41	-46.47	46.49	272

Daten für Maximalfarbe (Ma):

$LAB \cdot LAB \cdot Ma: 50 -40 -7$

$LAB \cdot LCH \cdot Ma: 50 40 189$

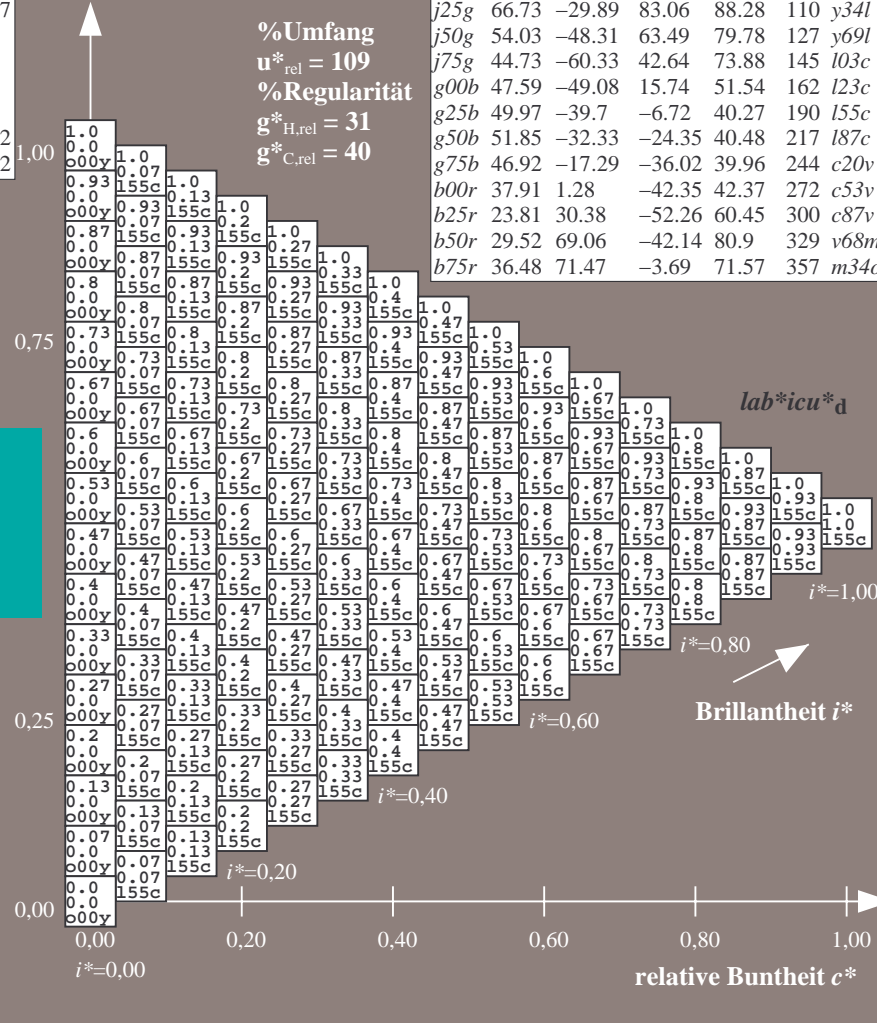
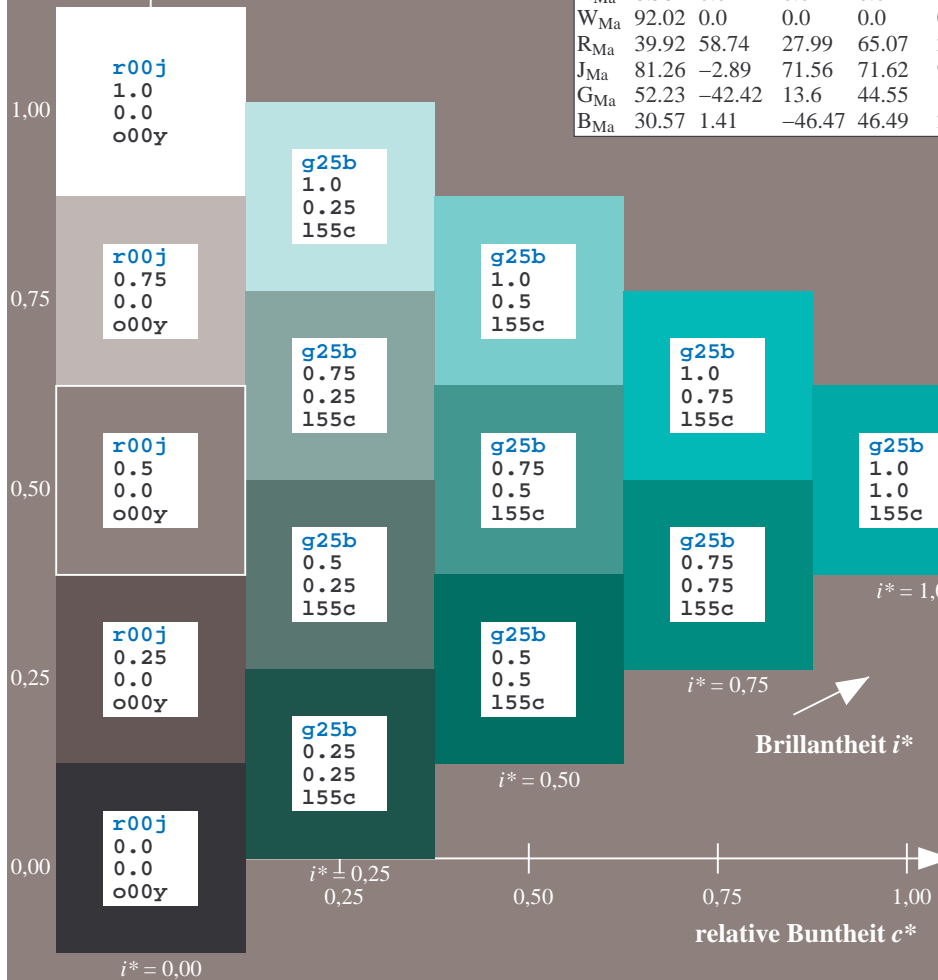
$lab \cdot rgb \cdot Ma: 0.0 1.0 0.5$

$lab \cdot olv \cdot Ma: 0.0 1.0 0.55$

Dreiecks-Helligkeit t^*

FRS09_92a; adaptierte CIELAB-Daten

u^*_e	$L^*=L^*_a$	a^*_a	b^*_a	$C^*_{ab,a}$	$h^*_{ab,a}$	u^*_d
r00j	35.47	63.32	30.17	70.15	25	m81o
r25j	39.12	54.56	49.45	73.64	42	o10y
r50j	50.64	39.15	64.89	75.79	59	o40y
r75j	64.01	21.26	82.83	85.52	76	o69y
j00g	83.18	-4.38	108.53	108.62	92	o98y
j25g	66.73	-29.89	83.06	88.28	110	y34l
j50g	54.03	-48.31	63.49	79.78	127	y69l
j75g	44.73	-60.33	42.64	73.88	145	l03c
g00b	47.59	-49.08	15.74	51.54	162	l23c
g25b	49.97	-39.7	-6.72	40.27	190	l55c
g50b	51.85	-32.33	-24.35	40.48	217	l87c
g75b	46.92	-17.29	-36.02	39.96	244	c20v
b00r	37.91	1.28	-42.35	42.37	272	c53v
b25r	23.81	30.38	-52.26	60.45	300	c87v
b50r	29.52	69.06	-42.14	80.9	329	v68m
b75r	36.48	71.47	-3.69	71.57	357	m34o



%Umfang
 $u^*_{rel} = 109$
%Regularität
 $g^*_{H,rel} = 31$
 $g^*_{C,rel} = 40$

$lab \cdot icu^*_d$
 $i^* = 1.00$
 $i^* = 0.80$
 $i^* = 0.60$
 $i^* = 0.40$
 $i^* = 0.20$
 $i^* = 0.00$

Ein und Ausgabe: Farbmatisches Drucker-Reflektiv-System FRS09_92a für relativen CIELAB-Bunton $h^* = lab^*h^* = h_{ab}/360 = 0.603$

$u^*_e = g50b$
 $lab^*icu^*_d$

Daten für jede Farbe:

lab^*tch^* und lab^*icu^*

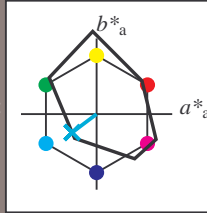
Buntontexte:

$u^*_e = g50b$ $u^*_d = l87c$

Kontrastreduzierungsfaktor:

$c_R = 1.0$

Dreiecks-Helligkeit t^*



FRS09_92a; adaptierte CIELAB-Daten

u^*_e	$L^*=L^*_a$	a^*_a	b^*_a	$C^*_{ab,a}$	$h^*_{ab,a}$
O _{Ma}	35.06	60.0	44.0	74.4	36
Y _{Ma}	83.77	-5.17	109.32	109.44	93
L _{Ma}	44.13	-62.67	48.24	79.09	142
C _{Ma}	52.66	-29.14	-31.99	43.27	228
V _{Ma}	14.15	50.3	-59.04	77.57	310
M _{Ma}	37.37	78.64	-33.5	85.48	337
N _{Ma}	8.58	0.0	0.0	0.0	0
W _{Ma}	92.02	0.0	0.0	0.0	0
R _{Ma}	39.92	58.74	27.99	65.07	25
J _{Ma}	81.26	-2.89	71.56	71.62	92
G _{Ma}	52.23	-42.42	13.6	44.55	162
B _{Ma}	30.57	1.41	-46.47	46.49	272

Daten für Maximalfarbe (Ma):

$LAB^*LAB^*_{Ma}$: 52 -32 -24

$LAB^*LCH^*_{Ma}$: 52 40 216

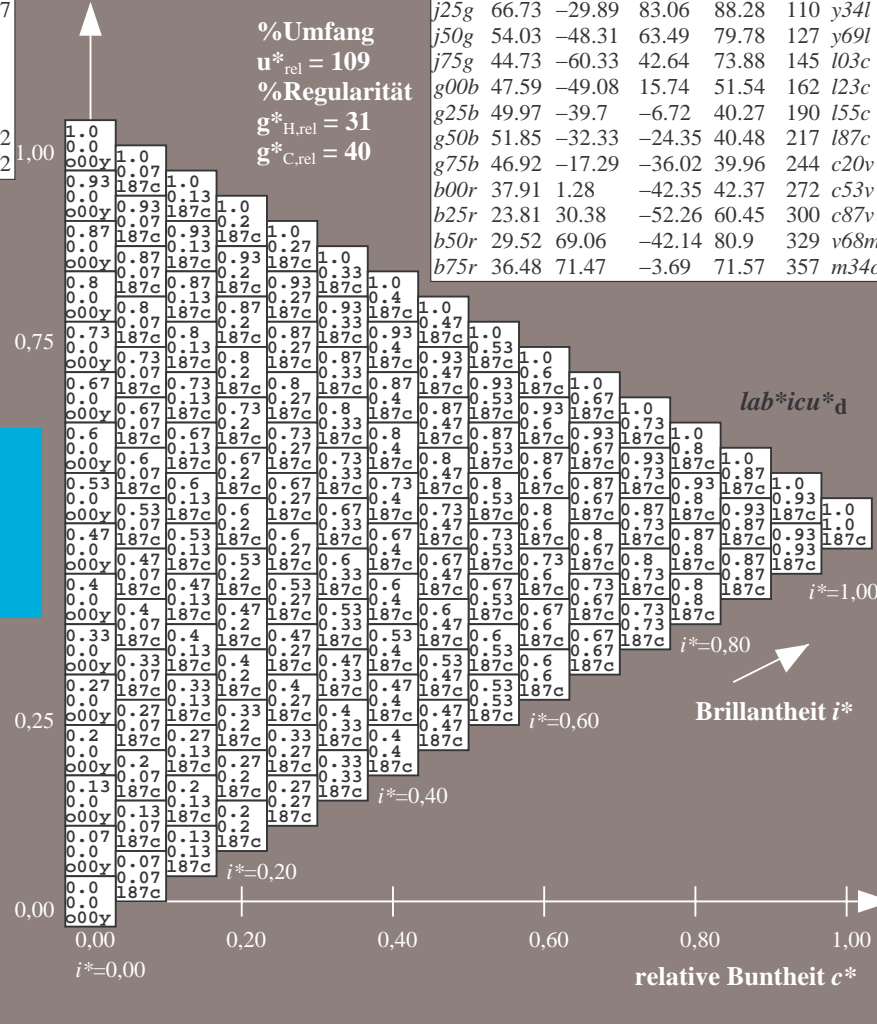
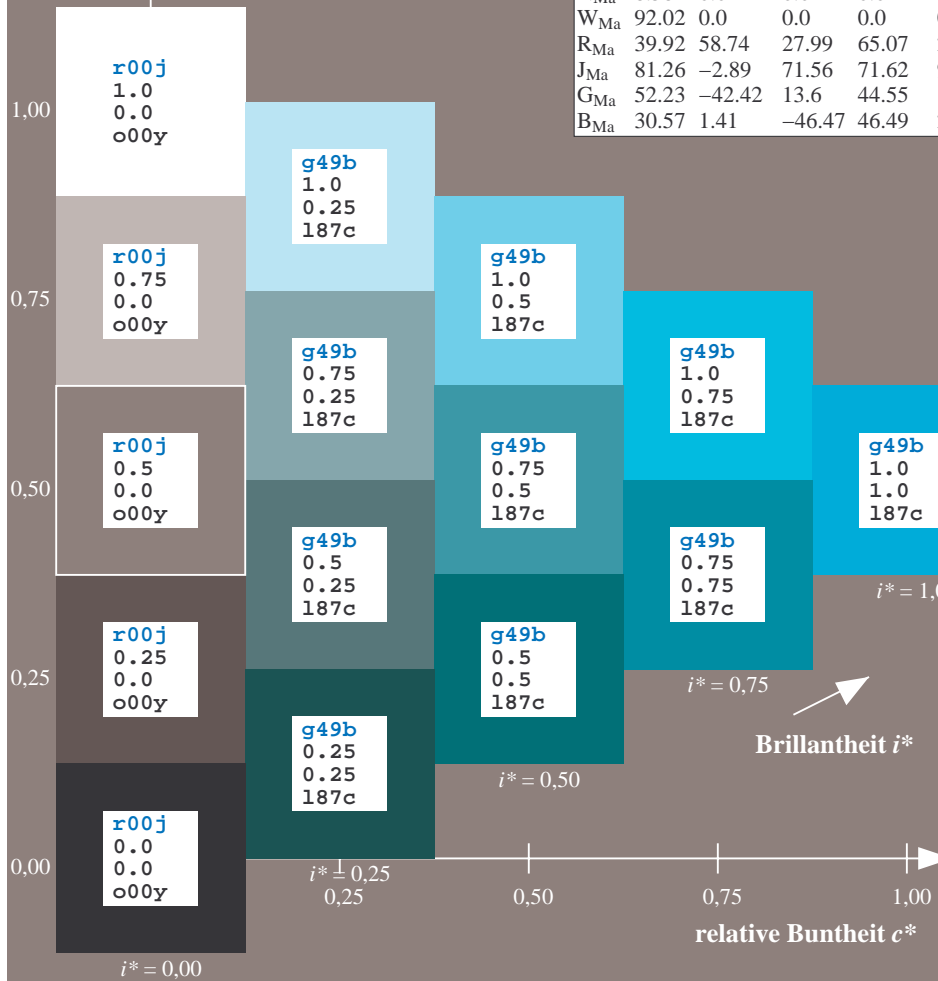
$lab^*rgb^*_{Ma}$: 0.0 1.0 1.0

$lab^*olv^*_{Ma}$: 0.0 1.0 0.87

Dreiecks-Helligkeit t^*

FRS09_92a; adaptierte CIELAB-Daten

u^*_e	$L^*=L^*_a$	a^*_a	b^*_a	$C^*_{ab,a}$	$h^*_{ab,a}$	u^*_d
r00j	35.47	63.32	30.17	70.15	25	m81o
r25j	39.12	54.56	49.45	73.64	42	o10y
r50j	50.64	39.15	64.89	75.79	59	o40y
r75j	64.01	21.26	82.83	85.52	76	o69y
j00g	83.18	-4.38	108.53	108.62	92	o98y
j25g	66.73	-29.89	83.06	88.28	110	y34l
j50g	54.03	-48.31	63.49	79.78	127	y69l
j75g	44.73	-60.33	42.64	73.88	145	l03c
g00b	47.59	-49.08	15.74	51.54	162	l23c
g25b	49.97	-39.7	-6.72	40.27	190	l55c
g50b	51.85	-32.33	-24.35	40.48	217	l87c
g75b	46.92	-17.29	-36.02	39.96	244	c20v
b00r	37.91	1.28	-42.35	42.37	272	c53v
b25r	23.81	30.38	-52.26	60.45	300	c87v
b50r	29.52	69.06	-42.14	80.9	329	v68m
b75r	36.48	71.47	-3.69	71.57	357	m34o



%Umfang
 $u^*_{rel} = 109$
%Regularität
 $g^*_{H,rel} = 31$
 $g^*_{C,rel} = 40$

Ein und Ausgabe: Farbmatisches Drucker-Reflektiv-System FRS09_92a für relativen CIELAB-Bunton $h^* = lab^*h^* = h_{ab}/360 = 0.679$

$u^*_e = g75b$
 $lab^*icu^*_d$

Daten für jede Farbe:

lab^*tch^* und lab^*icu^*

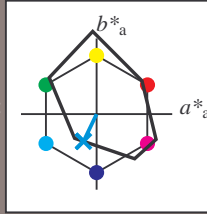
Buntontexte:

$u^*_e = g75b$ $u^*_d = c20v$

Kontrastreduzierungsfaktor:

$c_R = 1.0$

Dreiecks-Helligkeit t^*



FRS09_92a; adaptierte CIELAB-Daten

u^*_e	$L^*=L^*_a$	a^*_a	b^*_a	$C^*_{ab,a}$	$h^*_{ab,a}$
O _{Ma}	35.06	60.0	44.0	74.4	36
Y _{Ma}	83.77	-5.17	109.32	109.44	93
L _{Ma}	44.13	-62.67	48.24	79.09	142
C _{Ma}	52.66	-29.14	-31.99	43.27	228
V _{Ma}	14.15	50.3	-59.04	77.57	310
M _{Ma}	37.37	78.64	-33.5	85.48	337
N _{Ma}	8.58	0.0	0.0	0.0	0
W _{Ma}	92.02	0.0	0.0	0.0	0
R _{Ma}	39.92	58.74	27.99	65.07	25
J _{Ma}	81.26	-2.89	71.56	71.62	92
G _{Ma}	52.23	-42.42	13.6	44.55	162
B _{Ma}	30.57	1.41	-46.47	46.49	272

Daten für Maximalfarbe (Ma):

$LAB^*LAB^*_{Ma}$: 47 -17 -36

$LAB^*LCH^*_{Ma}$: 47 40 244

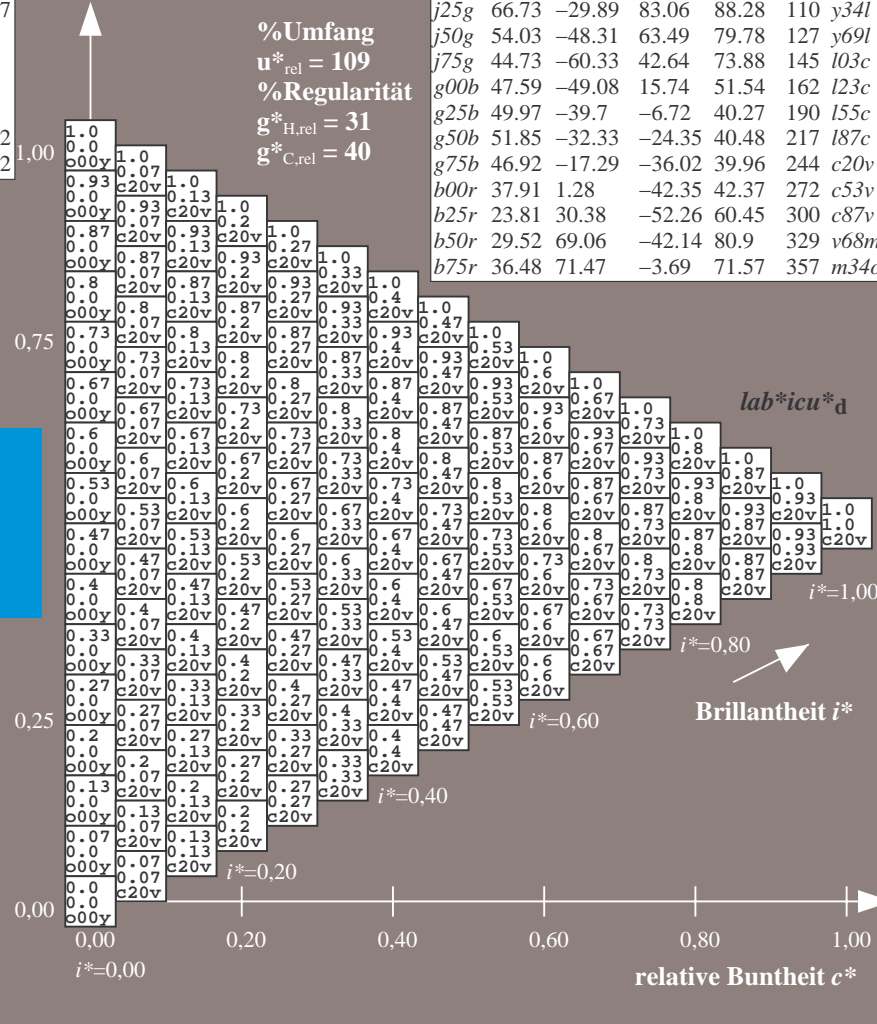
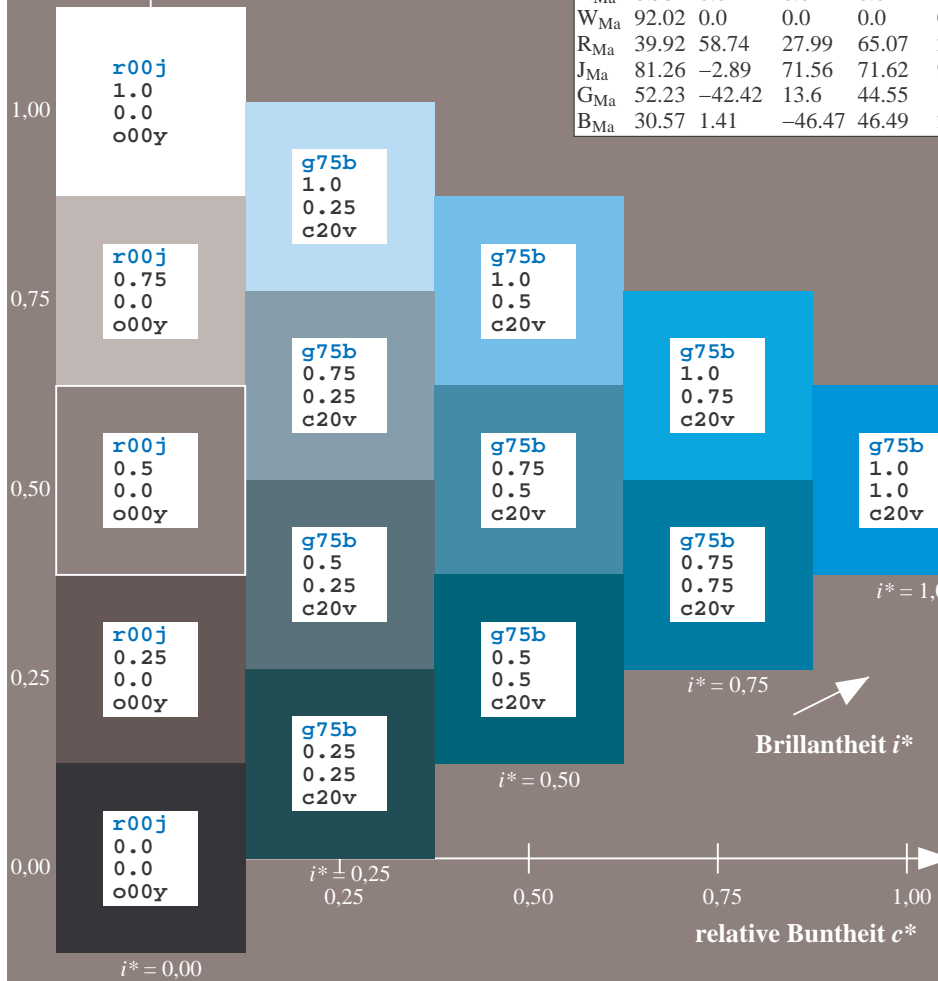
$lab^*rgb^*_{Ma}$: 0.0 0.5 1.0

$lab^*olv^*_{Ma}$: 0.0 0.8 1.0

Dreiecks-Helligkeit t^*

FRS09_92a; adaptierte CIELAB-Daten

u^*_e	$L^*=L^*_a$	a^*_a	b^*_a	$C^*_{ab,a}$	$h^*_{ab,a}$	u^*_d
r00j	35.47	63.32	30.17	70.15	25	m81o
r25j	39.12	54.56	49.45	73.64	42	o10y
r50j	50.64	39.15	64.89	75.79	59	o40y
r75j	64.01	21.26	82.83	85.52	76	o69y
j00g	83.18	-4.38	108.53	108.62	92	o98y
j25g	66.73	-29.89	83.06	88.28	110	y34l
j50g	54.03	-48.31	63.49	79.78	127	y69l
j75g	44.73	-60.33	42.64	73.88	145	l03c
g00b	47.59	-49.08	15.74	51.54	162	l23c
g25b	49.97	-39.7	-6.72	40.27	190	l55c
g50b	51.85	-32.33	-24.35	40.48	217	l87c
g75b	46.92	-17.29	-36.02	39.96	244	c20v
b00r	37.91	1.28	-42.35	42.37	272	c53v
b25r	23.81	30.38	-52.26	60.45	300	c87v
b50r	29.52	69.06	-42.14	80.9	329	v68m
b75r	36.48	71.47	-3.69	71.57	357	m34o



%Umfang
 $u^*_{rel} = 109$
%Regularität
 $g^*_{H,rel} = 31$
 $g^*_{C,rel} = 40$

$lab^*icu^*_d$

Brillantheit i^*

$i^* = 1.00$

$i^* = 0.80$

$i^* = 0.60$

$i^* = 0.40$

$i^* = 0.20$

$i^* = 0.00$

Ein und Ausgabe: Farbmatisches Drucker-Reflektiv-System FRS09_92a für relativen CIELAB-Bunton $h^* = lab \cdot h^* = h_{ab}/360 = 0.755$

$u^*_e = b00r$
 $lab \cdot icu^*_d$

Daten für jede Farbe:

$lab \cdot tch^*$ und $lab \cdot icu^*$

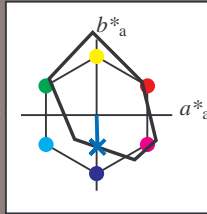
Buntontexte:

$u^*_e = b00r$ $u^*_d = c53v$

Kontrastreduzierungsfaktor:

$c_R = 1.0$

Dreiecks-Helligkeit t^*



FRS09_92a; adaptierte CIELAB-Daten

u^*_e	$L^*=L^*_a$	a^*_a	b^*_a	$C^*_{ab,a}$	$h^*_{ab,a}$
O _{Ma}	35.06	60.0	44.0	74.4	36
Y _{Ma}	83.77	-5.17	109.32	109.44	93
L _{Ma}	44.13	-62.67	48.24	79.09	142
C _{Ma}	52.66	-29.14	-31.99	43.27	228
V _{Ma}	14.15	50.3	-59.04	77.57	310
M _{Ma}	37.37	78.64	-33.5	85.48	337
N _{Ma}	8.58	0.0	0.0	0.0	0
W _{Ma}	92.02	0.0	0.0	0.0	0
R _{Ma}	39.92	58.74	27.99	65.07	25
J _{Ma}	81.26	-2.89	71.56	71.62	92
G _{Ma}	52.23	-42.42	13.6	44.55	162
B _{Ma}	30.57	1.41	-46.47	46.49	272

Daten für Maximalfarbe (Ma):

$LAB \cdot LAB^*_{Ma}$: 38 1 -42

$LAB \cdot LCH^*_{Ma}$: 38 42 271

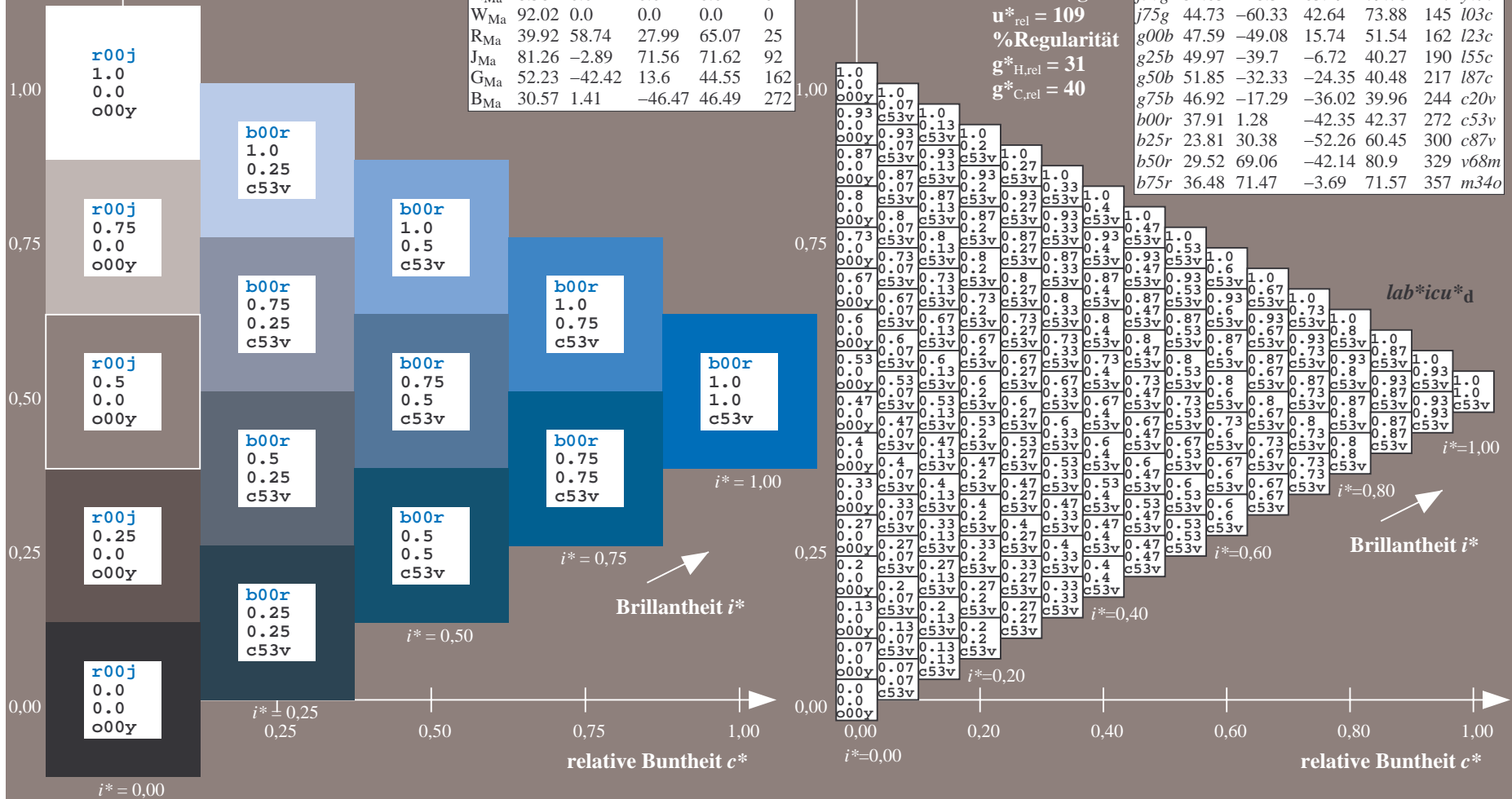
$lab \cdot rgb^*_{Ma}$: 0.0 0.0 1.0

$lab \cdot olv^*_{Ma}$: 0.0 0.47 1.0

Dreiecks-Helligkeit t^*

FRS09_92a; adaptierte CIELAB-Daten

u^*_e	$L^*=L^*_a$	a^*_a	b^*_a	$C^*_{ab,a}$	$h^*_{ab,a}$	u^*_d
r00j	35.47	63.32	30.17	70.15	25	m81o
r25j	39.12	54.56	49.45	73.64	42	o10y
r50j	50.64	39.15	64.89	75.79	59	o40y
r75j	64.01	21.26	82.83	85.52	76	o69y
j00g	83.18	-4.38	108.53	108.62	92	o98y
j25g	66.73	-29.89	83.06	88.28	110	y34l
j50g	54.03	-48.31	63.49	79.78	127	y69l
j75g	44.73	-60.33	42.64	73.88	145	l03c
g00b	47.59	-49.08	15.74	51.54	162	l23c
g25b	49.97	-39.7	-6.72	40.27	190	l55c
g50b	51.85	-32.33	-24.35	40.48	217	l87c
g75b	46.92	-17.29	-36.02	39.96	244	c20v
b00r	37.91	1.28	-42.35	42.37	272	c53v
b25r	23.81	30.38	-52.26	60.45	300	c87v
b50r	29.52	69.06	-42.14	80.9	329	v68m
b75r	36.48	71.47	-3.69	71.57	357	m34o



Ein und Ausgabe: Farbmatisches Drucker-Reflektiv-System FRS09_92a für relativen CIELAB-Buntton $h^* = lab^*h^* = h_{ab}/360 = 0.834$

$u^*_e = b25r$
 $lab^*icu^*_d$

Daten für jede Farbe:

lab^*tch^* und lab^*icu^*

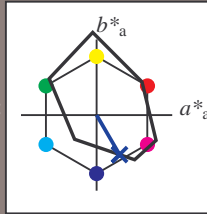
Bunttontexte:

$u^*_e = b25r$ $u^*_d = c87v$

Kontrastreduzierungsfaktor:

$c_R = 1.0$

Dreiecks-Helligkeit t^*



FRS09_92a; adaptierte CIELAB-Daten

u^*_e	$L^*=L^*_a$	a^*_a	b^*_a	$C^*_{ab,a}$	$h^*_{ab,a}$
O _{Ma}	35.06	60.0	44.0	74.4	36
Y _{Ma}	83.77	-5.17	109.32	109.44	93
L _{Ma}	44.13	-62.67	48.24	79.09	142
C _{Ma}	52.66	-29.14	-31.99	43.27	228
V _{Ma}	14.15	50.3	-59.04	77.57	310
M _{Ma}	37.37	78.64	-33.5	85.48	337
N _{Ma}	8.58	0.0	0.0	0.0	0
W _{Ma}	92.02	0.0	0.0	0.0	0
R _{Ma}	39.92	58.74	27.99	65.07	25
J _{Ma}	81.26	-2.89	71.56	71.62	92
G _{Ma}	52.23	-42.42	13.6	44.55	162
B _{Ma}	30.57	1.41	-46.47	46.49	272

Daten für Maximalfarbe (Ma):

$LAB^*LAB^*_{Ma}$: 24 30 -52

$LAB^*LCH^*_{Ma}$: 24 60 300

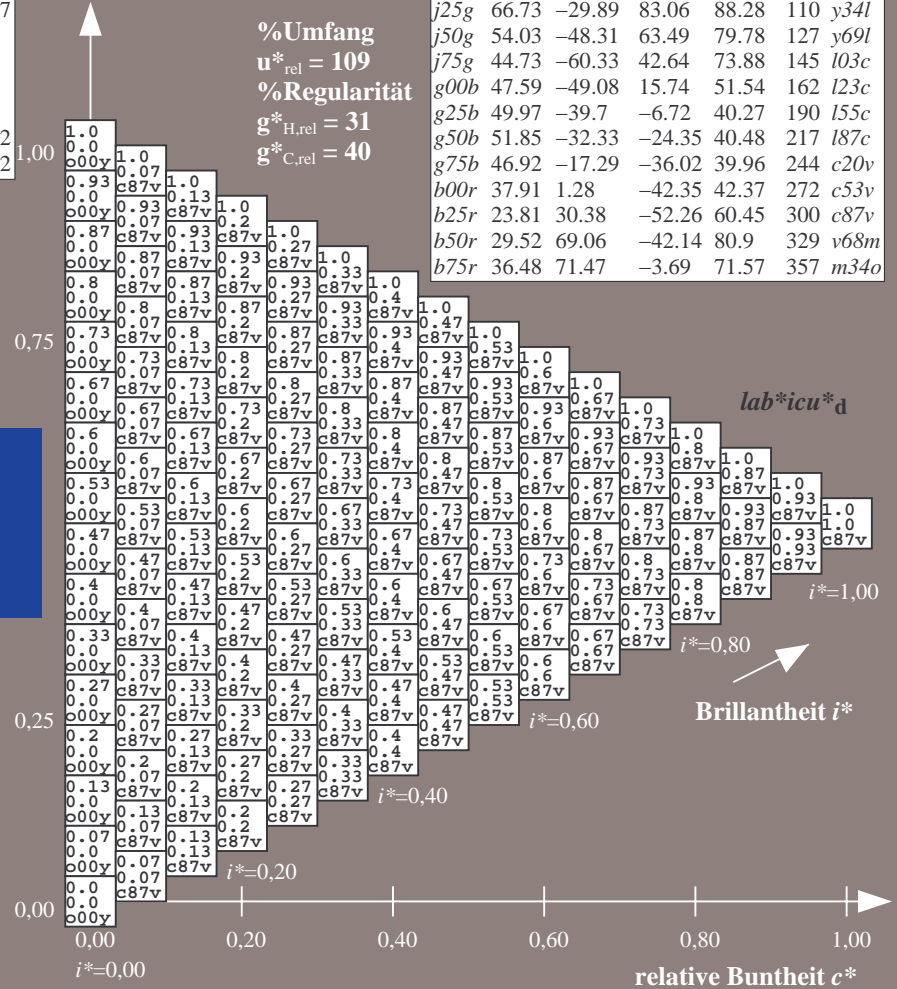
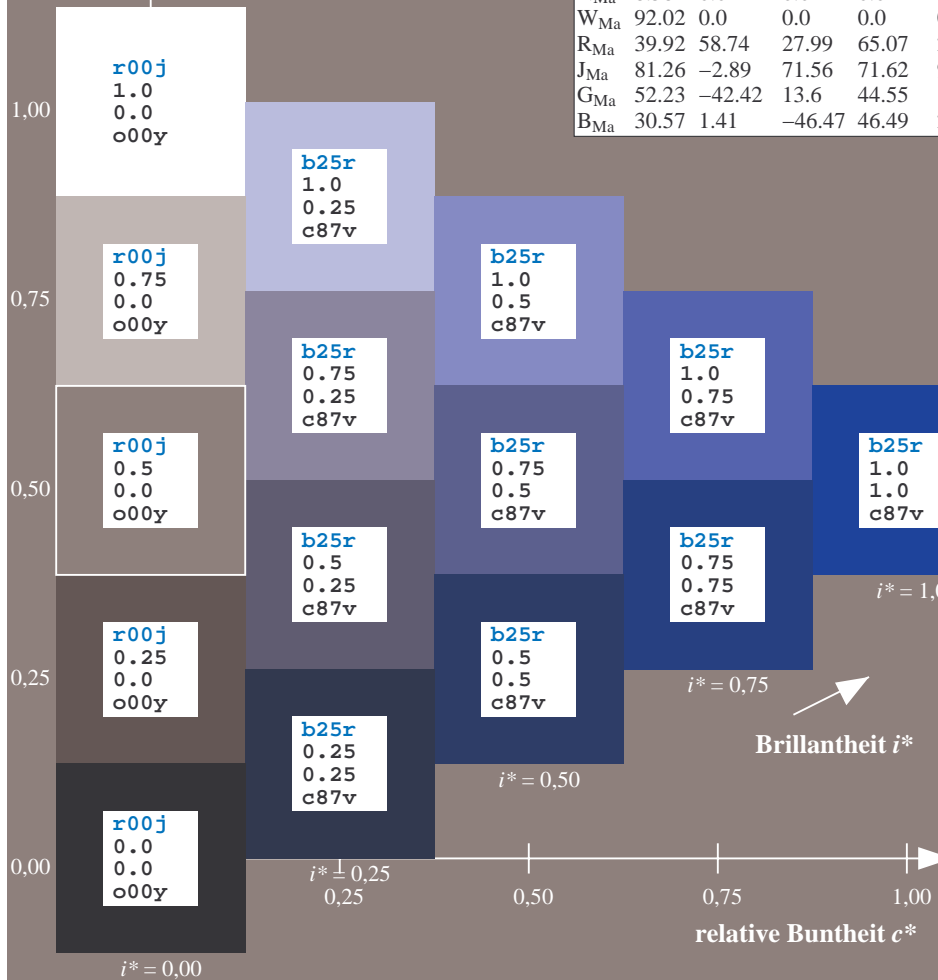
$lab^*rgb^*_{Ma}$: 0.5 0.0 1.0

$lab^*olv^*_{Ma}$: 0.0 0.12 1.0

Dreiecks-Helligkeit t^*

FRS09_92a; adaptierte CIELAB-Daten

u^*_e	$L^*=L^*_a$	a^*_a	b^*_a	$C^*_{ab,a}$	$h^*_{ab,a}$	u^*_d
r00j	35.47	63.32	30.17	70.15	25	m81o
r25j	39.12	54.56	49.45	73.64	42	o10y
r50j	50.64	39.15	64.89	75.79	59	o40y
r75j	64.01	21.26	82.83	85.52	76	o69y
j00g	83.18	-4.38	108.53	108.62	92	o98y
j25g	66.73	-29.89	83.06	88.28	110	y34l
j50g	54.03	-48.31	63.49	79.78	127	y69l
j75g	44.73	-60.33	42.64	73.88	145	l03c
g00b	47.59	-49.08	15.74	51.54	162	l23c
g25b	49.97	-39.7	-6.72	40.27	190	l55c
g50b	51.85	-32.33	-24.35	40.48	217	l87c
g75b	46.92	-17.29	-36.02	39.96	244	c20v
b00r	37.91	1.28	-42.35	42.37	272	c53v
b25r	23.81	30.38	-52.26	60.45	300	c87v
b50r	29.52	69.06	-42.14	80.9	329	v68m
b75r	36.48	71.47	-3.69	71.57	357	m34o



Ein und Ausgabe: Farbmatisches Drucker-Reflektiv-System FRS09_92a für relativen CIELAB-Bunton $h^* = lab^*h^* = h_{ab}/360 = 0.913$

$u^*_e = b50r$

Daten für jede Farbe:

lab^*ch^* und lab^*icu^*

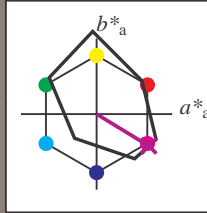
Buntontexte:

$u^*_e = b50r$ $u^*_d = v68m$

Kontrastreduzierungsfaktor:

$c_R = 1.0$

Dreiecks-Helligkeit t^*



FRS09_92a; adaptierte CIELAB-Daten

u^*_e	$L^*=L^*_a$	a^*_a	b^*_a	$C^*_{ab,a}$	$h^*_{ab,a}$
O _{Ma}	35.06	60.0	44.0	74.4	36
Y _{Ma}	83.77	-5.17	109.32	109.44	93
L _{Ma}	44.13	-62.67	48.24	79.09	142
C _{Ma}	52.66	-29.14	-31.99	43.27	228
V _{Ma}	14.15	50.3	-59.04	77.57	310
M _{Ma}	37.37	78.64	-33.5	85.48	337
N _{Ma}	8.58	0.0	0.0	0.0	0
W _{Ma}	92.02	0.0	0.0	0.0	0
R _{Ma}	39.92	58.74	27.99	65.07	25
J _{Ma}	81.26	-2.89	71.56	71.62	92
G _{Ma}	52.23	-42.42	13.6	44.55	162
B _{Ma}	30.57	1.41	-46.47	46.49	272

Daten für Maximalfarbe (Ma):

$LAB^*LAB^*_{Ma}$: 30 69 -42

$LAB^*LCH^*_{Ma}$: 30 81 328

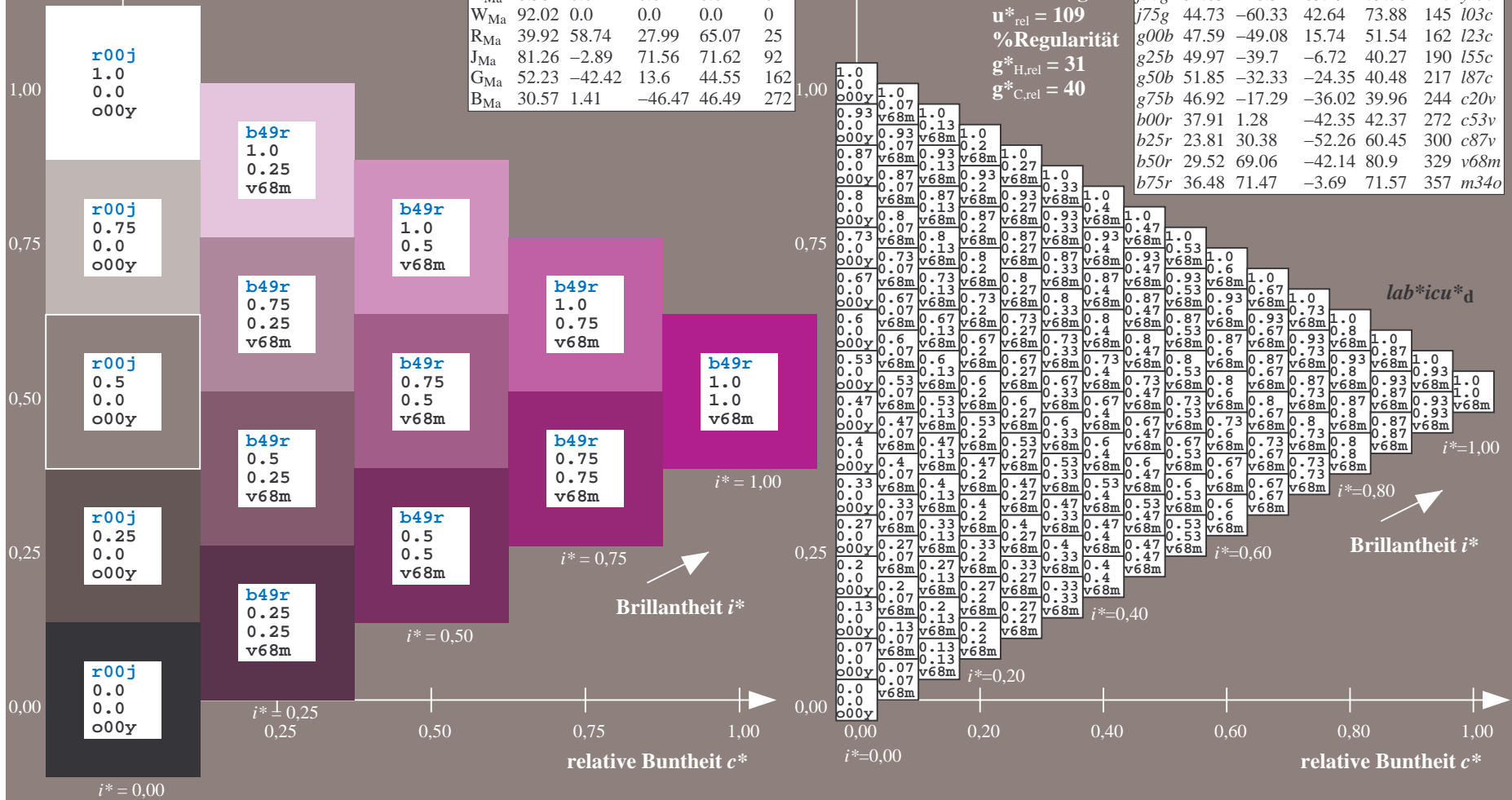
$lab^*rgb^*_{Ma}$: 1.0 0.0 1.0

$lab^*olv^*_{Ma}$: 0.69 0.0 1.0

Dreiecks-Helligkeit t^*

FRS09_92a; adaptierte CIELAB-Daten

u^*_e	$L^*=L^*_a$	a^*_a	b^*_a	$C^*_{ab,a}$	$h^*_{ab,a}$	u^*_d
r00j	35.47	63.32	30.17	70.15	25	m81o
r25j	39.12	54.56	49.45	73.64	42	o10y
r50j	50.64	39.15	64.89	75.79	59	o40y
r75j	64.01	21.26	82.83	85.52	76	o69y
j00g	83.18	-4.38	108.53	108.62	92	o98y
j25g	66.73	-29.89	83.06	88.28	110	y34l
j50g	54.03	-48.31	63.49	79.78	127	y69l
j75g	44.73	-60.33	42.64	73.88	145	l03c
g00b	47.59	-49.08	15.74	51.54	162	l23c
g25b	49.97	-39.7	-6.72	40.27	190	l55c
g50b	51.85	-32.33	-24.35	40.48	217	l87c
g75b	46.92	-17.29	-36.02	39.96	244	c20v
b00r	37.91	1.28	-42.35	42.37	272	c53v
b25r	23.81	30.38	-52.26	60.45	300	c87v
b50r	29.52	69.06	-42.14	80.9	329	v68m
b75r	36.48	71.47	-3.69	71.57	357	m34o



Ein und Ausgabe: Farbmatisches Drucker-Reflektiv-System FRS09_92a für relativen CIELAB-Bunton $h^* = lab^*h^* = h_{ab}/360 = 0.992$

$u^*_e = b75r$

Daten für jede Farbe:

lab^*ch^* und lab^*icu^*

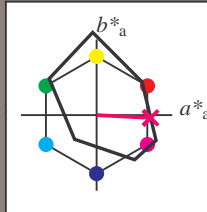
Buntontexte:

$u^*_e = b75r$ $u^*_d = m34o$

Kontrastreduzierungsfaktor:

$c_R = 1.0$

Dreiecks-Helligkeit t^*



FRS09_92a; adaptierte CIELAB-Daten

u^*_e	$L^*=L^*_a$	a^*_a	b^*_a	$C^*_{ab,a}$	$h^*_{ab,a}$
O _{Ma}	35.06	60.0	44.0	74.4	36
Y _{Ma}	83.77	-5.17	109.32	109.44	93
L _{Ma}	44.13	-62.67	48.24	79.09	142
C _{Ma}	52.66	-29.14	-31.99	43.27	228
V _{Ma}	14.15	50.3	-59.04	77.57	310
M _{Ma}	37.37	78.64	-33.5	85.48	337
N _{Ma}	8.58	0.0	0.0	0.0	0
W _{Ma}	92.02	0.0	0.0	0.0	0
R _{Ma}	39.92	58.74	27.99	65.07	25
J _{Ma}	81.26	-2.89	71.56	71.62	92
G _{Ma}	52.23	-42.42	13.6	44.55	162
B _{Ma}	30.57	1.41	-46.47	46.49	272

Daten für Maximalfarbe (Ma):

$LAB^*LAB^*_{Ma}$: 36 71 -4

$LAB^*LCH^*_{Ma}$: 36 72 357

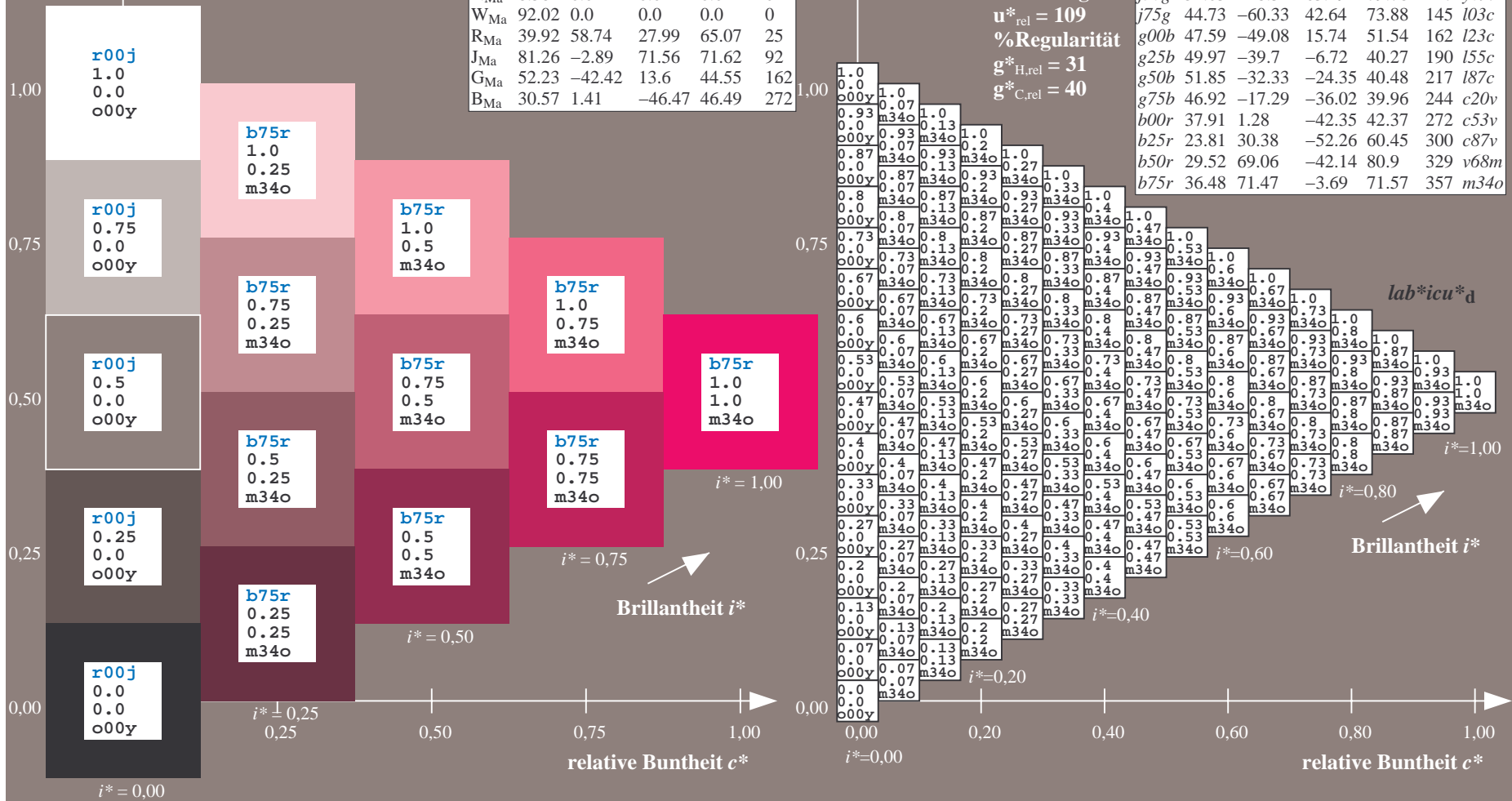
$lab^*rgb^*_{Ma}$: 1.0 0.0 0.5

$lab^*olv^*_{Ma}$: 1.0 0.0 0.66

Dreiecks-Helligkeit t^*

FRS09_92a; adaptierte CIELAB-Daten

u^*_e	$L^*=L^*_a$	a^*_a	b^*_a	$C^*_{ab,a}$	$h^*_{ab,a}$	u^*_d
r00j	35.47	63.32	30.17	70.15	25	m81o
r25j	39.12	54.56	49.45	73.64	42	o10y
r50j	50.64	39.15	64.89	75.79	59	o40y
r75j	64.01	21.26	82.83	85.52	76	o69y
j00g	83.18	-4.38	108.53	108.62	92	o98y
j25g	66.73	-29.89	83.06	88.28	110	y34l
j50g	54.03	-48.31	63.49	79.78	127	y69l
j75g	44.73	-60.33	42.64	73.88	145	l03c
g00b	47.59	-49.08	15.74	51.54	162	l23c
g25b	49.97	-39.7	-6.72	40.27	190	l55c
g50b	51.85	-32.33	-24.35	40.48	217	l87c
g75b	46.92	-17.29	-36.02	39.96	244	c20v
b00r	37.91	1.28	-42.35	42.37	272	c53v
b25r	23.81	30.38	-52.26	60.45	300	c87v
b50r	29.52	69.06	-42.14	80.9	329	v68m
b75r	36.48	71.47	-3.69	71.57	357	m34o



Ein und Ausgabe:
 Farbmetrisches Drucker-Reflektiv-System FRS09_92a

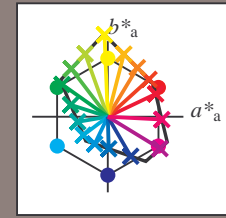
Daten für jede Farbe:
 u^*_e und Nummer $Nr. = 00 \dots 15$

Elementar-Bunttextext:
 $u^*_e = 16$ Bunttoene $r00j, r25j, \dots, b75r$

Kontrastreduzierungsfaktor:
 $c_R = 1.0$

FRS09_92a; adaptierte CIELAB-Daten

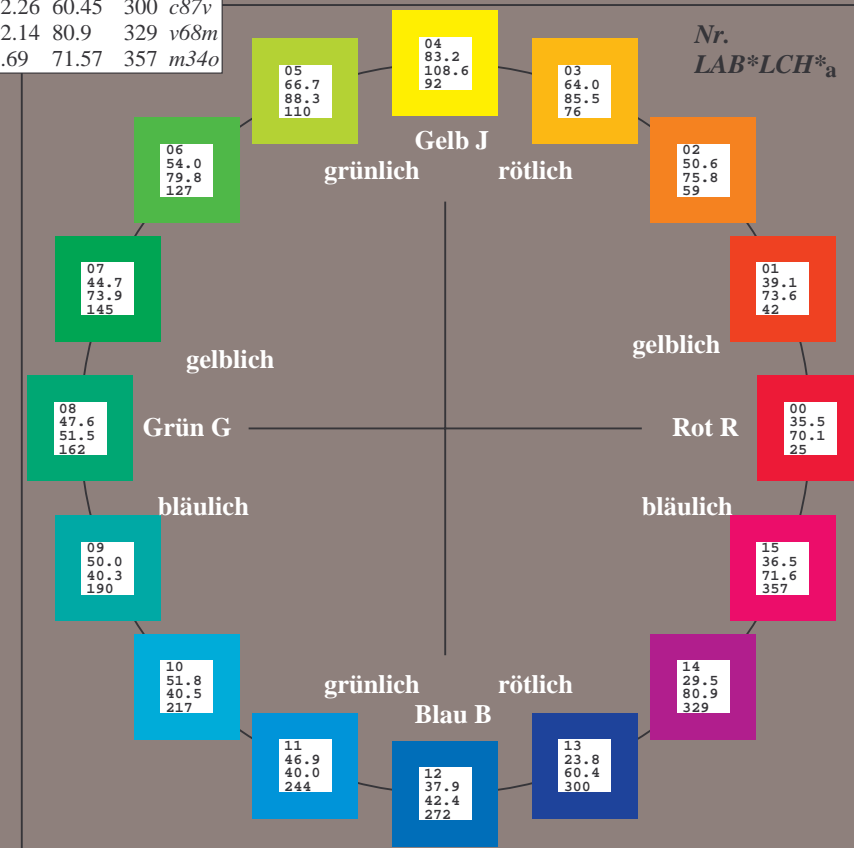
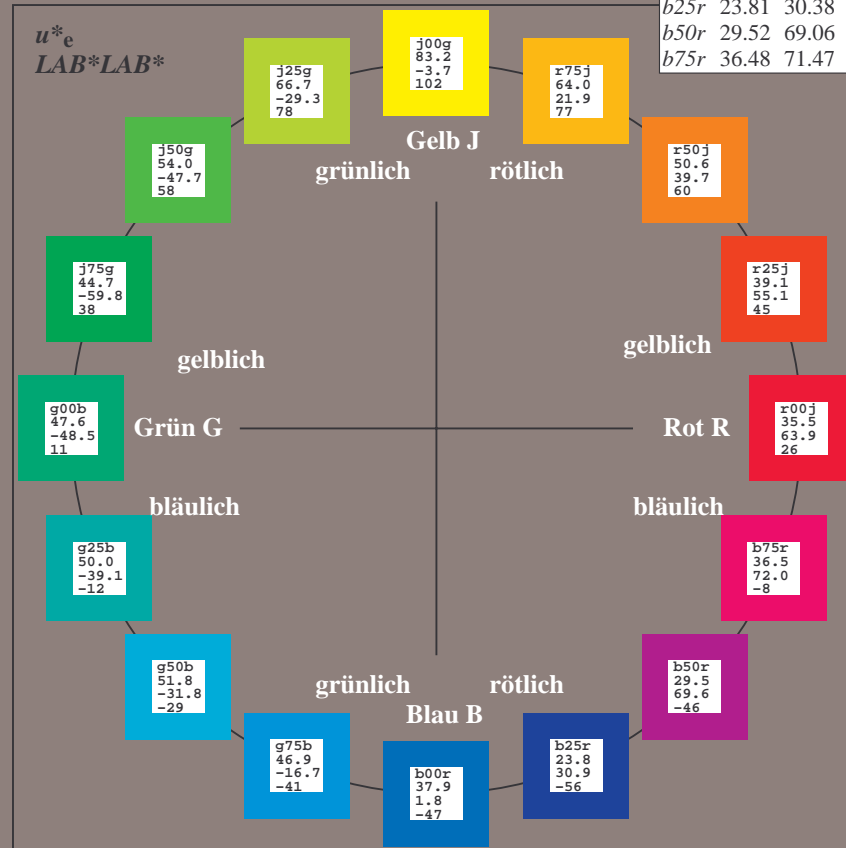
u^*_e	$L^*=L^*_a$	a^*_a	b^*_a	$C^*_{ab,a}$	$h^*_{ab,a}$	u^*_d
r00j	35.47	63.32	30.17	70.15	25	m81o
r25j	39.12	54.56	49.45	73.64	42	o10y
r50j	50.64	39.15	64.89	75.79	59	o40y
r75j	64.01	21.26	82.83	85.52	76	o69y
j00g	83.18	-4.38	108.53	108.62	92	o98y
j25g	66.73	-29.89	83.06	88.28	110	y34l
j50g	54.03	-48.31	63.49	79.78	127	y69l
j75g	44.73	-60.33	42.64	73.88	145	l03c
g00b	47.59	-49.08	15.74	51.54	162	l23c
g25b	49.97	-39.7	-6.72	40.27	190	l55c
g50b	51.85	-32.33	-24.35	40.48	217	l87c
g75b	46.92	-17.29	-36.02	39.96	244	c20v
b00r	37.91	1.28	-42.35	42.37	272	c53v
b25r	23.81	30.38	-52.26	60.45	300	c87v
b50r	29.52	69.06	-42.14	80.9	329	v68m
b75r	36.48	71.47	-3.69	71.57	357	m34o



%Umfang
 $u^*_{rel} = 109$
 %Regularität
 $g^*_{H,rel} = 31$
 $g^*_{C,rel} = 40$

FRS09_92; CIELAB-Daten

Name	$L^*=L^*_a$	a^*_a	b^*_a	C^*_{ab}	h^*_{ab}
O _M	35.06	60.53	39.66	72.37	33
Y _M	83.77	-4.5	103.15	103.25	92
L _M	44.13	-62.11	43.56	75.86	145
C _M	52.66	-28.56	-36.99	46.73	232
V _M	14.15	50.78	-62.6	80.61	309
M _M	37.37	79.18	-37.93	87.8	334
N _M	8.58	0.46	-3.35	3.38	278
W _M	92.02	0.69	-6.48	6.52	276
R _{CIE}	39.92	58.74	27.99	65.07	25
J _{CIE}	81.26	-2.89	71.56	71.62	92
G _{CIE}	52.23	-42.42	13.6	44.55	162
B _{CIE}	30.57	1.41	-46.47	46.49	272



Ein und Ausgabe: Farbmatisches Drucker-Reflektiv-System FRS09_92a für relativen CIELAB-Bunton $h^* = lab^*h^* = h_{ab}/360 = 0.071$

$u^*_e = r00j$
 LAB^*LAB^*

Daten für jede Farbe:

lab^*ch^* und lab^*icu^*

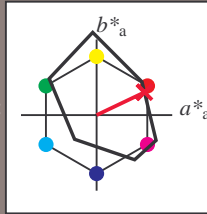
Buntontexte:

$u^*_e = r00j$ $u^*_d = m81o$

Kontrastreduzierungsfaktor:

$c_R = 1.0$

Dreiecks-Helligkeit t^*



FRS09_92; CIELAB-Daten

	u^*_e	$L^*=L^*$	a^*	b^*	C^*_{ab}	h^*_{ab}
O _M	35.06	60.53	39.66	72.37	33	
Y _M	83.77	-4.5	103.15	103.25	92	
L _M	44.13	-62.11	43.56	75.86	145	
C _M	52.66	-28.56	-36.99	46.73	232	
V _M	14.15	50.78	-62.6	80.61	309	
M _M	37.37	79.18	-37.93	87.8	334	
N _M	8.58	0.46	-3.35	3.38	278	
W _M	92.02	0.69	-6.48	6.52	276	
R _M	39.92	58.74	27.99	65.07	25	
J _M	81.26	-2.89	71.56	71.62	92	
G _M	52.23	-42.42	13.6	44.55	162	
B _M	30.57	1.41	-46.47	46.49	272	

Daten für Maximalfarbe (Ma):

$LAB^*LAB^*_{Ma}: 35\ 63\ 30$

$LAB^*LCH^*_{Ma}: 35\ 70\ 25$

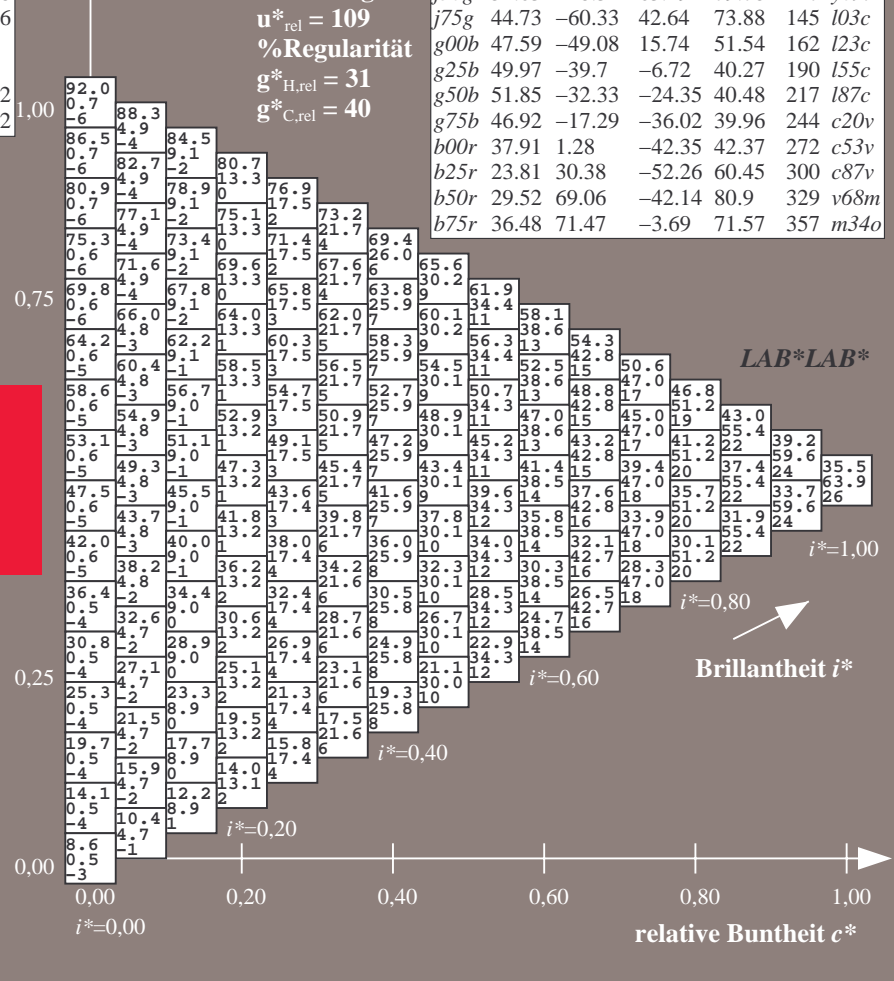
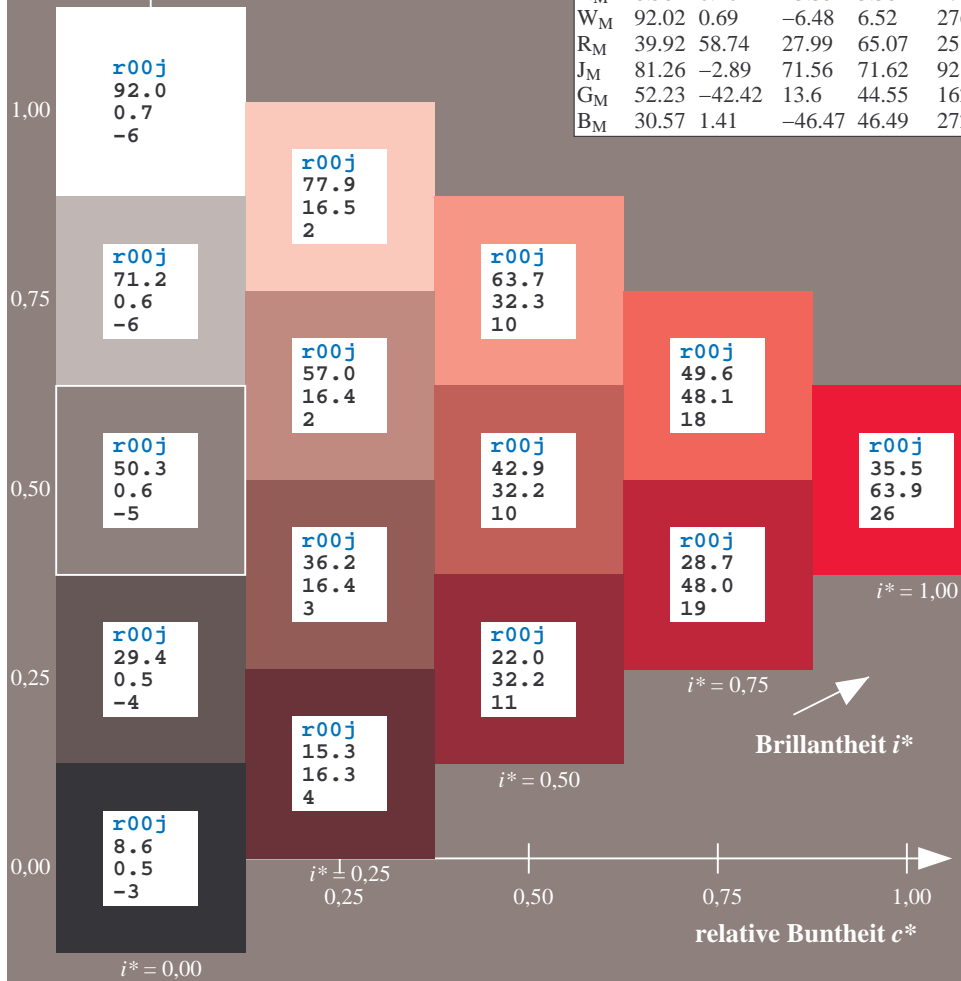
$lab^*rgb^*_{Ma}: 1.0\ 0.0\ 0.0$

$lab^*olv^*_{Ma}: 1.0\ 0.0\ 0.18$

Dreiecks-Helligkeit t^*

FRS09_92a; adaptierte CIELAB-Daten

	u^*_e	$L^*=L^*_a$	a^*_a	b^*_a	$C^*_{ab,a}$	$h^*_{ab,a}$	u^*_d
r00j	35.47	63.32	30.17	70.15	25	m81o	
r25j	39.12	54.56	49.45	73.64	42	o10y	
r50j	50.64	39.15	64.89	75.79	59	o40y	
r75j	64.01	21.26	82.83	85.52	76	o69y	
j00g	83.18	-4.38	108.53	108.62	92	o98y	
j25g	66.73	-29.89	83.06	88.28	110	y34l	
j50g	54.03	-48.31	63.49	79.78	127	y69l	
j75g	44.73	-60.33	42.64	73.88	145	i03c	
g00b	47.59	-49.08	15.74	51.54	162	i23c	
g25b	49.97	-39.7	-6.72	40.27	190	i55c	
g50b	51.85	-32.33	-24.35	40.48	217	i87c	
g75b	46.92	-17.29	-36.02	39.96	244	c20v	
b00r	37.91	1.28	-42.35	42.37	272	c53v	
b25r	23.81	30.38	-52.26	60.45	300	c87v	
b50r	29.52	69.06	-42.14	80.9	329	v68m	
b75r	36.48	71.47	-3.69	71.57	357	m34o	



%Umfang
 $u^*_{rel} = 109$
%Regularität
 $g^*_{H,rel} = 31$
 $g^*_{C,rel} = 40$

LAB^*LAB^*

$i^* = 1.00$

$i^* = 0.80$

$i^* = 0.60$

$i^* = 0.40$

$i^* = 0.20$

$i^* = 0.00$

Brillantheit i^*

Brillantheit i^*

Ein und Ausgabe: Farbmatisches Drucker-Reflektiv-System FRS09_92a für relativen CIELAB-Bunton $h^* = lab^*h^* = h_{ab}/360 = 0.117$

$u^*_e = r25j$
 LAB^*LAB^*

Daten für jede Farbe:

lab^*ch^* und lab^*icu^*

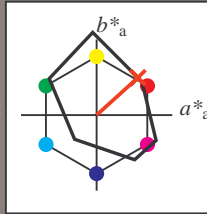
Buntontexte:

$u^*_e = r25j$ $u^*_d = o10y$

Kontrastreduzierungsfaktor:

$c_R = 1.0$

Dreiecks-Helligkeit t^*



FRS09_92; CIELAB-Daten

	u^*_e	$L^*=L^*$	a^*	b^*	C^*_{ab}	h^*_{ab}
O _M	35.06	60.53	39.66	72.37	33	
Y _M	83.77	-4.5	103.15	103.25	92	
L _M	44.13	-62.11	43.56	75.86	145	
C _M	52.66	-28.56	-36.99	46.73	232	
V _M	14.15	50.78	-62.6	80.61	309	
M _M	37.37	79.18	-37.93	87.8	334	
N _M	8.58	0.46	-3.35	3.38	278	
W _M	92.02	0.69	-6.48	6.52	276	
R _M	39.92	58.74	27.99	65.07	25	
J _M	81.26	-2.89	71.56	71.62	92	
G _M	52.23	-42.42	13.6	44.55	162	
B _M	30.57	1.41	-46.47	46.49	272	

Daten für Maximalfarbe (Ma):

$LAB^*LAB^*_{Ma}: 39\ 55\ 49$

$LAB^*LCH^*_{Ma}: 39\ 74\ 42$

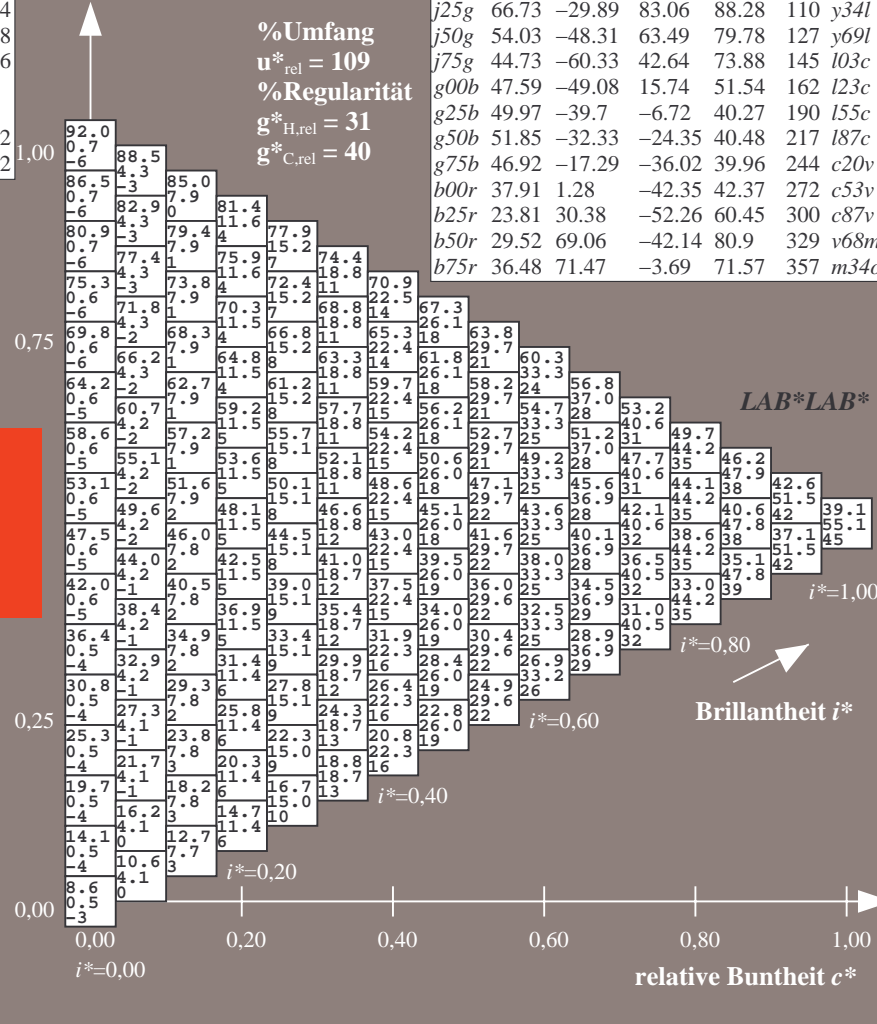
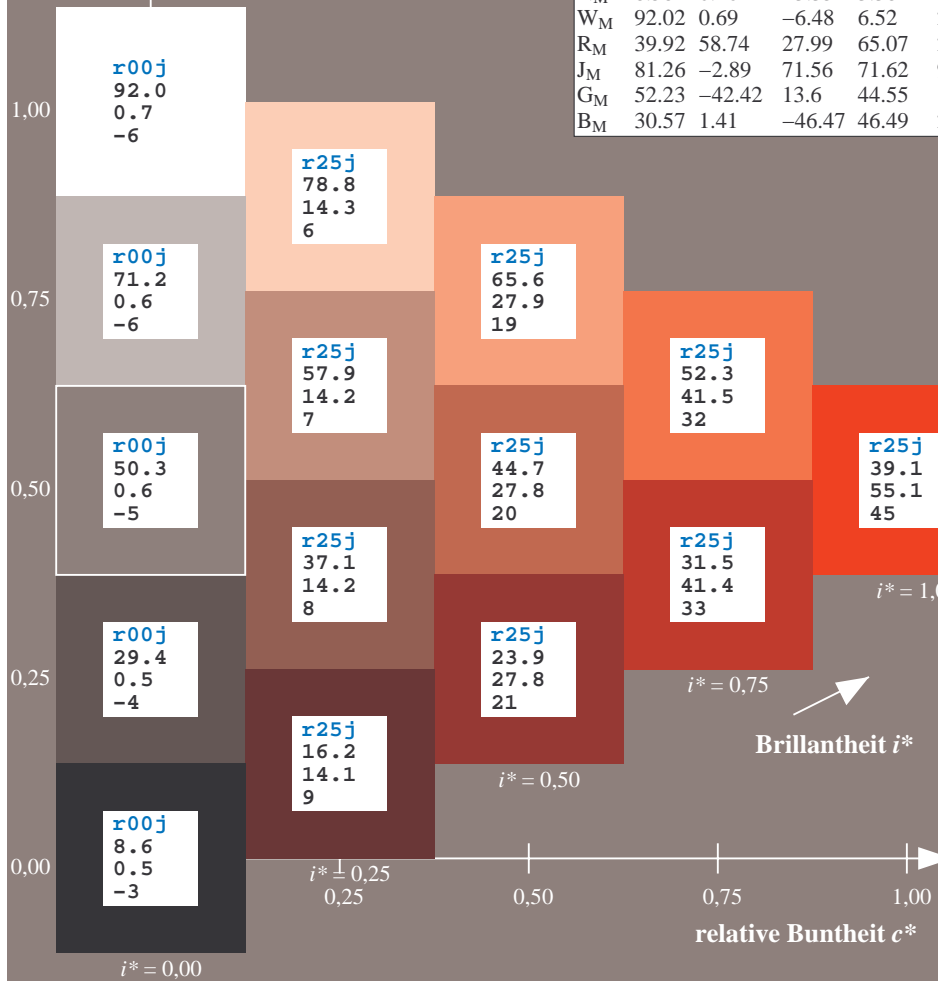
$lab^*rgb^*_{Ma}: 1.0\ 0.25\ 0.0$

$lab^*olv^*_{Ma}: 1.0\ 0.11\ 0.0$

Dreiecks-Helligkeit t^*

FRS09_92a; adaptierte CIELAB-Daten

	u^*_e	$L^*=L^*_a$	a^*_a	b^*_a	$C^*_{ab,a}$	$h^*_{ab,a}$	u^*_d
r00j	35.47	63.32	30.17	70.15	25	m81o	
r25j	39.12	54.56	49.45	73.64	42	o10y	
r50j	50.64	39.15	64.89	75.79	59	o40y	
r75j	64.01	21.26	82.83	85.52	76	o69y	
j00g	83.18	-4.38	108.53	108.62	92	o98y	
j25g	66.73	-29.89	83.06	88.28	110	y34l	
j50g	54.03	-48.31	63.49	79.78	127	y69l	
j75g	44.73	-60.33	42.64	73.88	145	i03c	
g00b	47.59	-49.08	15.74	51.54	162	i23c	
g25b	49.97	-39.7	-6.72	40.27	190	i55c	
g50b	51.85	-32.33	-24.35	40.48	217	i87c	
g75b	46.92	-17.29	-36.02	39.96	244	c20v	
b00r	37.91	1.28	-42.35	42.37	272	c53v	
b25r	23.81	30.38	-52.26	60.45	300	c87v	
b50r	29.52	69.06	-42.14	80.9	329	v68m	
b75r	36.48	71.47	-3.69	71.57	357	m34o	



%Umfang
 $u^*_{rel} = 109$
%Regularität
 $g^*_{H,rel} = 31$
 $g^*_{C,rel} = 40$

LAB^*LAB^*
 $i^* = 1.00$
 $i^* = 0.80$
 $i^* = 0.60$
 $i^* = 0.40$
 $i^* = 0.20$

Ein und Ausgabe: Farbmatisches Drucker-Reflektiv-System FRS09_92a für relativen CIELAB-Bunton $h^* = lab^*h^* = h_{ab}/360 = 0.164$

$u^*_e = r50j$
 LAB^*LAB^*

Daten für jede Farbe:

lab^*ch^* und lab^*icu^*

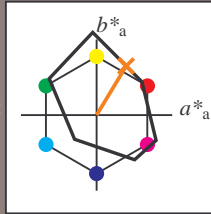
Buntontexte:

$u^*_e = r50j$ $u^*_d = o40y$

Kontrastreduzierungsfaktor:

$c_R = 1.0$

Dreiecks-Helligkeit t^*



FRS09_92; CIELAB-Daten						
u^*_e	$L^*=L^*_a$	a^*_a	b^*_a	C^*_{ab}	h^*_{ab}	
O _M	35.06	60.53	39.66	72.37	33	
Y _M	83.77	-4.5	103.15	103.25	92	
L _M	44.13	-62.11	43.56	75.86	145	
C _M	52.66	-28.56	-36.99	46.73	232	
V _M	14.15	50.78	-62.6	80.61	309	
M _M	37.37	79.18	-37.93	87.8	334	
N _M	8.58	0.46	-3.35	3.38	278	
W _M	92.02	0.69	-6.48	6.52	276	
R _M	39.92	58.74	27.99	65.07	25	
J _M	81.26	-2.89	71.56	71.62	92	
G _M	52.23	-42.42	13.6	44.55	162	
B _M	30.57	1.41	-46.47	46.49	272	

Daten für Maximalfarbe (Ma):

$LAB^*LAB^*_{Ma}: 51\ 39\ 65$

$LAB^*LCH^*_{Ma}: 51\ 76\ 58$

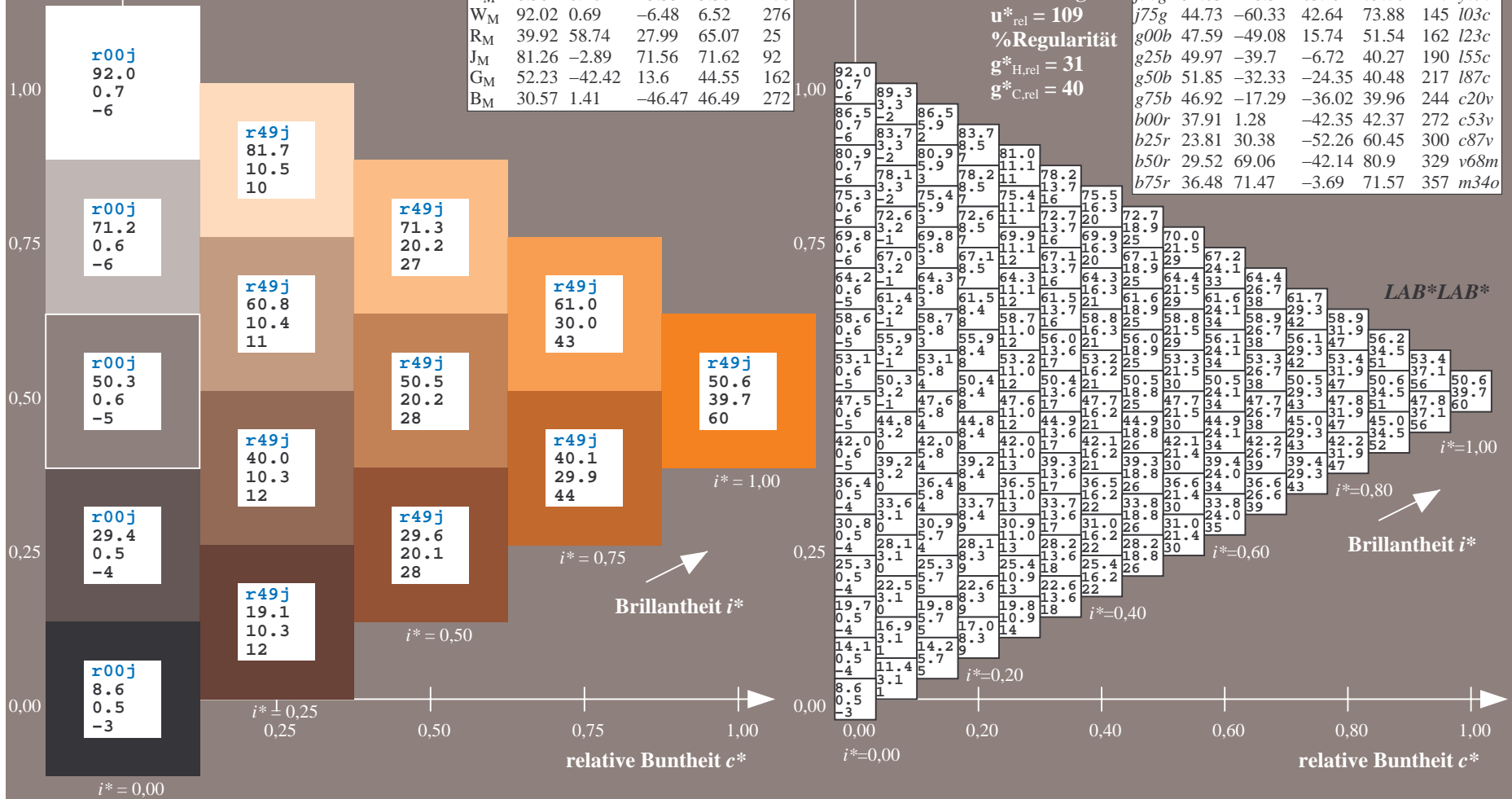
$lab^*rgb^*_{Ma}: 1.0\ 0.5\ 0.0$

$lab^*olv^*_{Ma}: 1.0\ 0.4\ 0.0$

Dreiecks-Helligkeit t^*

FRS09_92a; adaptierte CIELAB-Daten

u^*_e	$L^*=L^*_a$	a^*_a	b^*_a	$C^*_{ab,a}$	$h^*_{ab,a}$	u^*_d
r00j	35.47	63.32	30.17	70.15	25	m81o
r25j	39.12	54.56	49.45	73.64	42	o10y
r50j	50.64	39.15	64.89	75.79	59	o40y
r75j	64.01	21.26	82.83	85.52	76	o69y
j00g	83.18	-4.38	108.53	108.62	92	o98y
j25g	66.73	-29.89	83.06	88.28	110	y34l
j50g	54.03	-48.31	63.49	79.78	127	y69l
j75g	44.73	-60.33	42.64	73.88	145	i03c
g00b	47.59	-49.08	15.74	51.54	162	l23c
g25b	49.97	-39.7	-6.72	40.27	190	i55c
g50b	51.85	-32.33	-24.35	40.48	217	i87c
g75b	46.92	-17.29	-36.02	39.96	244	c20v
b00r	37.91	1.28	-42.35	42.37	272	c53v
b25r	23.81	30.38	-52.26	60.45	300	c87v
b50r	29.52	69.06	-42.14	80.9	329	v68m
b75r	36.48	71.47	-3.69	71.57	357	m34o



Ein und Ausgabe: Farbmatisches Drucker-Reflektiv-System FRS09_92a für relativen CIELAB-Bunton $h^* = lab^*h^* = h_{ab}/360 = 0.21$

$u^*_e = r75j$
 LAB^*LAB^*

Daten für jede Farbe:

lab^*ch^* und lab^*icu^*

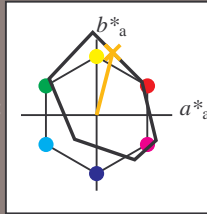
Buntontexte:

$u^*_e = r75j$ $u^*_d = o69y$

Kontrastreduzierungsfaktor:

$c_R = 1.0$

Dreiecks-Helligkeit t^*



FRS09_92; CIELAB-Daten						
	u^*_e	$L^*=L^*$	a^*	b^*	C^*_{ab}	h^*_{ab}
O _M	35.06	60.53	39.66	72.37	33	
Y _M	83.77	-4.5	103.15	103.25	92	
L _M	44.13	-62.11	43.56	75.86	145	
C _M	52.66	-28.56	-36.99	46.73	232	
V _M	14.15	50.78	-62.6	80.61	309	
M _M	37.37	79.18	-37.93	87.8	334	
N _M	8.58	0.46	-3.35	3.38	278	
W _M	92.02	0.69	-6.48	6.52	276	
R _M	39.92	58.74	27.99	65.07	25	
J _M	81.26	-2.89	71.56	71.62	92	
G _M	52.23	-42.42	13.6	44.55	162	
B _M	30.57	1.41	-46.47	46.49	272	

Daten für Maximalfarbe (Ma):

$LAB^*LAB^*_{Ma}: 64\ 21\ 83$

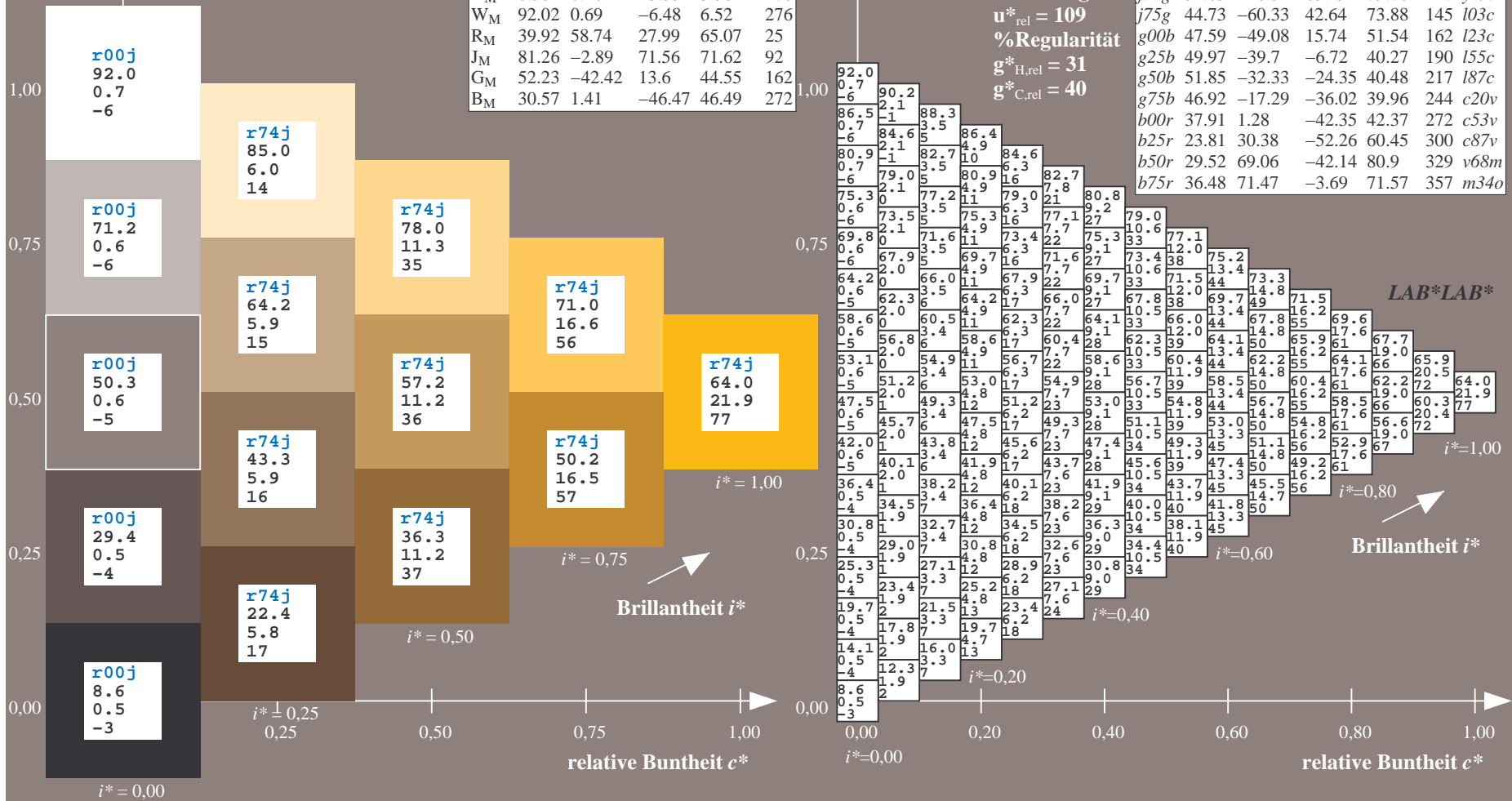
$LAB^*LCH^*_{Ma}: 64\ 86\ 75$

$lab^*rgb^*_{Ma}: 1.0\ 0.75\ 0.0$

$lab^*olv^*_{Ma}: 1.0\ 0.7\ 0.0$

Dreiecks-Helligkeit t^*

FRS09_92a; adaptierte CIELAB-Daten							
	u^*_e	$L^*=L^*_a$	a^*_a	b^*_a	$C^*_{ab,a}$	$h^*_{ab,a}$	u^*_d
r00j	35.47	63.32	30.17	70.15	25	m81o	
r25j	39.12	54.56	49.45	73.64	42	o10y	
r50j	50.64	39.15	64.89	75.79	59	o40y	
r75j	64.01	21.26	82.83	85.52	76	o69y	
j00g	83.18	-4.38	108.53	108.62	92	o98y	
j25g	66.73	-29.89	83.06	88.28	110	y34l	
j50g	54.03	-48.31	63.49	79.78	127	y69l	
j75g	44.73	-60.33	42.64	73.88	145	i03c	
g00b	47.59	-49.08	15.74	51.54	162	i23c	
g25b	49.97	-39.7	-6.72	40.27	190	i55c	
g50b	51.85	-32.33	-24.35	40.48	217	i87c	
g75b	46.92	-17.29	-36.02	39.96	244	c20v	
b00r	37.91	1.28	-42.35	42.37	272	c53v	
b25r	23.81	30.38	-52.26	60.45	300	c87v	
b50r	29.52	69.06	-42.14	80.9	329	v68m	
b75r	36.48	71.47	-3.69	71.57	357	m34o	



Ein und Ausgabe: Farbmatisches Drucker-Reflektiv-System FRS09_92a für relativen CIELAB-Bunton $h^* = lab^*h^* = h_{ab}/360 = 0.256$

$u^*_e = j00g$
 LAB^*LAB^*

Daten für jede Farbe:

lab^*ch^* und lab^*icu^*

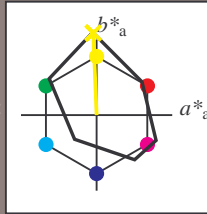
Buntontexte:

$u^*_e = j00g$ $u^*_d = o98y$

Kontrastreduzierungsfaktor:

$c_R = 1.0$

Dreiecks-Helligkeit t^*



FRS09_92; CIELAB-Daten						
	u^*_e	$L^*=L^*$	a^*	b^*	C^*_{ab}	h^*_{ab}
O _M	35.06	60.53	39.66	72.37	33	
Y _M	83.77	-4.5	103.15	103.25	92	
L _M	44.13	-62.11	43.56	75.86	145	
C _M	52.66	-28.56	-36.99	46.73	232	
V _M	14.15	50.78	-62.6	80.61	309	
M _M	37.37	79.18	-37.93	87.8	334	
N _M	8.58	0.46	-3.35	3.38	278	
W _M	92.02	0.69	-6.48	6.52	276	
R _M	39.92	58.74	27.99	65.07	25	
J _M	81.26	-2.89	71.56	71.62	92	
G _M	52.23	-42.42	13.6	44.55	162	
B _M	30.57	1.41	-46.47	46.49	272	

Daten für Maximalfarbe (Ma):

$LAB^*LAB^*_{Ma}$: 83 -4 109

$LAB^*LCH^*_{Ma}$: 83 109 92

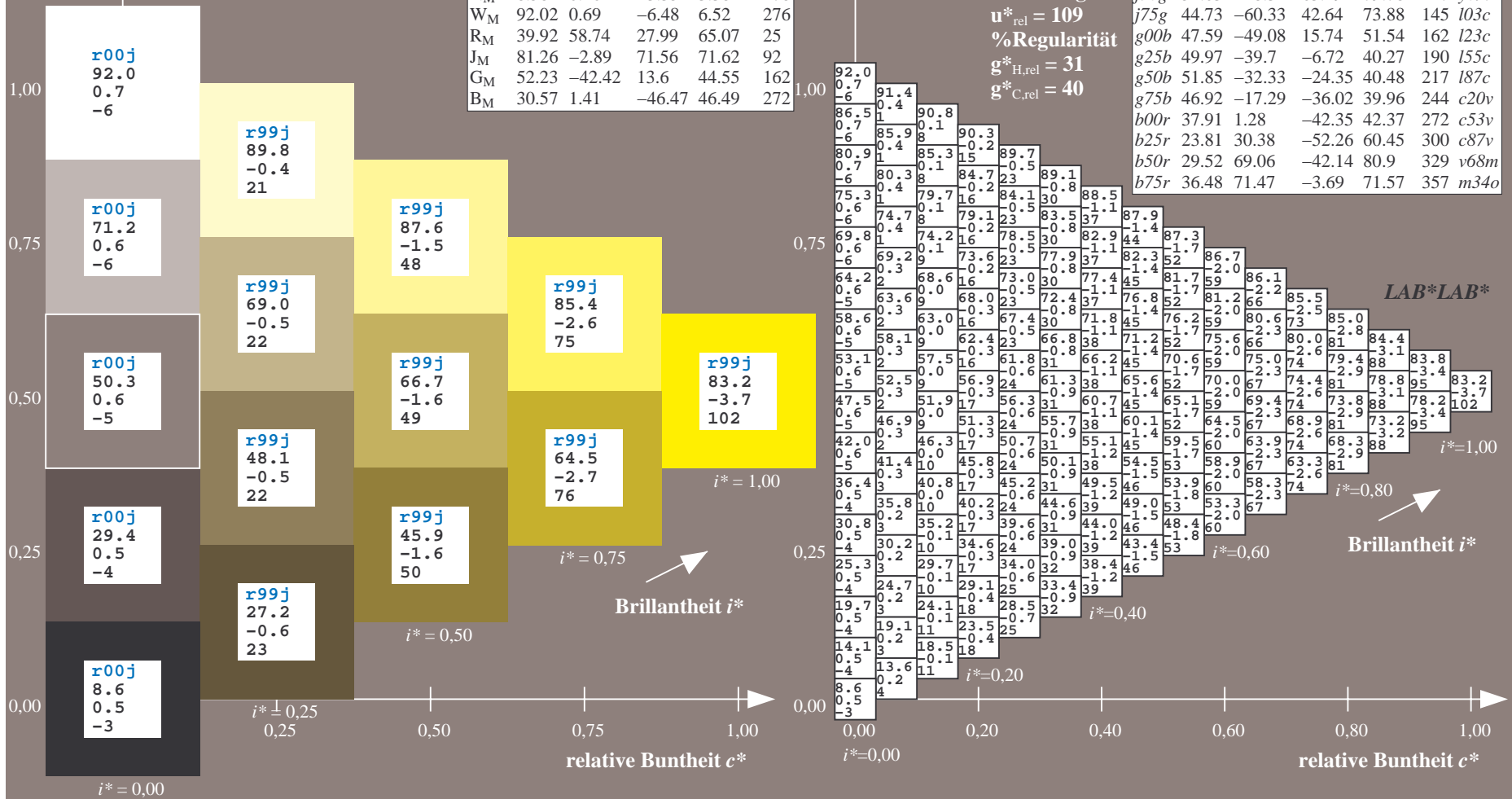
$lab^*rgb^*_{Ma}$: 1.0 1.0 0.0

$lab^*olv^*_{Ma}$: 1.0 0.99 0.0

Dreiecks-Helligkeit t^*

FRS09_92a; adaptierte CIELAB-Daten

	u^*_e	$L^*=L^*_a$	a^*_a	b^*_a	$C^*_{ab,a}$	$h^*_{ab,a}$	u^*_d
r00j	35.47	63.32	30.17	70.15	25	m81o	
r25j	39.12	54.56	49.45	73.64	42	o10y	
r50j	50.64	39.15	64.89	75.79	59	o40y	
r75j	64.01	21.26	82.83	85.52	76	o69y	
j00g	83.18	-4.38	108.53	108.62	92	o98y	
j25g	66.73	-29.89	83.06	88.28	110	y34l	
j50g	54.03	-48.31	63.49	79.78	127	y69l	
j75g	44.73	-60.33	42.64	73.88	145	i03c	
g00b	47.59	-49.08	15.74	51.54	162	l23c	
g25b	49.97	-39.7	-6.72	40.27	190	i55c	
g50b	51.85	-32.33	-24.35	40.48	217	i87c	
g75b	46.92	-17.29	-36.02	39.96	244	c20v	
b00r	37.91	1.28	-42.35	42.37	272	c53v	
b25r	23.81	30.38	-52.26	60.45	300	c87v	
b50r	29.52	69.06	-42.14	80.9	329	v68m	
b75r	36.48	71.47	-3.69	71.57	357	m34o	



Ein und Ausgabe: Farbmatisches Drucker-Reflektiv-System FRS09_92a für relativen CIELAB-Bunton $h^* = lab^*h^* = h_{ab}/360 = 0.305$

$u^*_e = j25g$
LAB*LAB*

Daten für jede Farbe:

lab^*ch^* und lab^*icu^*

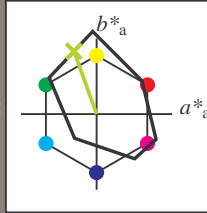
Buntontexte:

$u^*_e = j25g$ $u^*_d = y34l$

Kontrastreduzierungsfaktor:

$c_R = 1.0$

Dreiecks-Helligkeit t^*



FRS09_92; CIELAB-Daten

u^*_e	$L^*=L^*$	a^*	b^*	C^*_{ab}	h^*_{ab}
O _M	35.06	60.53	39.66	72.37	33
Y _M	83.77	-4.5	103.15	103.25	92
L _M	44.13	-62.11	43.56	75.86	145
C _M	52.66	-28.56	-36.99	46.73	232
V _M	14.15	50.78	-62.6	80.61	309
M _M	37.37	79.18	-37.93	87.8	334
N _M	8.58	0.46	-3.35	3.38	278
W _M	92.02	0.69	-6.48	6.52	276
R _M	39.92	58.74	27.99	65.07	25
J _M	81.26	-2.89	71.56	71.62	92
G _M	52.23	-42.42	13.6	44.55	162
B _M	30.57	1.41	-46.47	46.49	272

Daten für Maximalfarbe (Ma):

LAB*LAB*_{Ma}: 67 -30 83

LAB*LCH*_{Ma}: 67 88 109

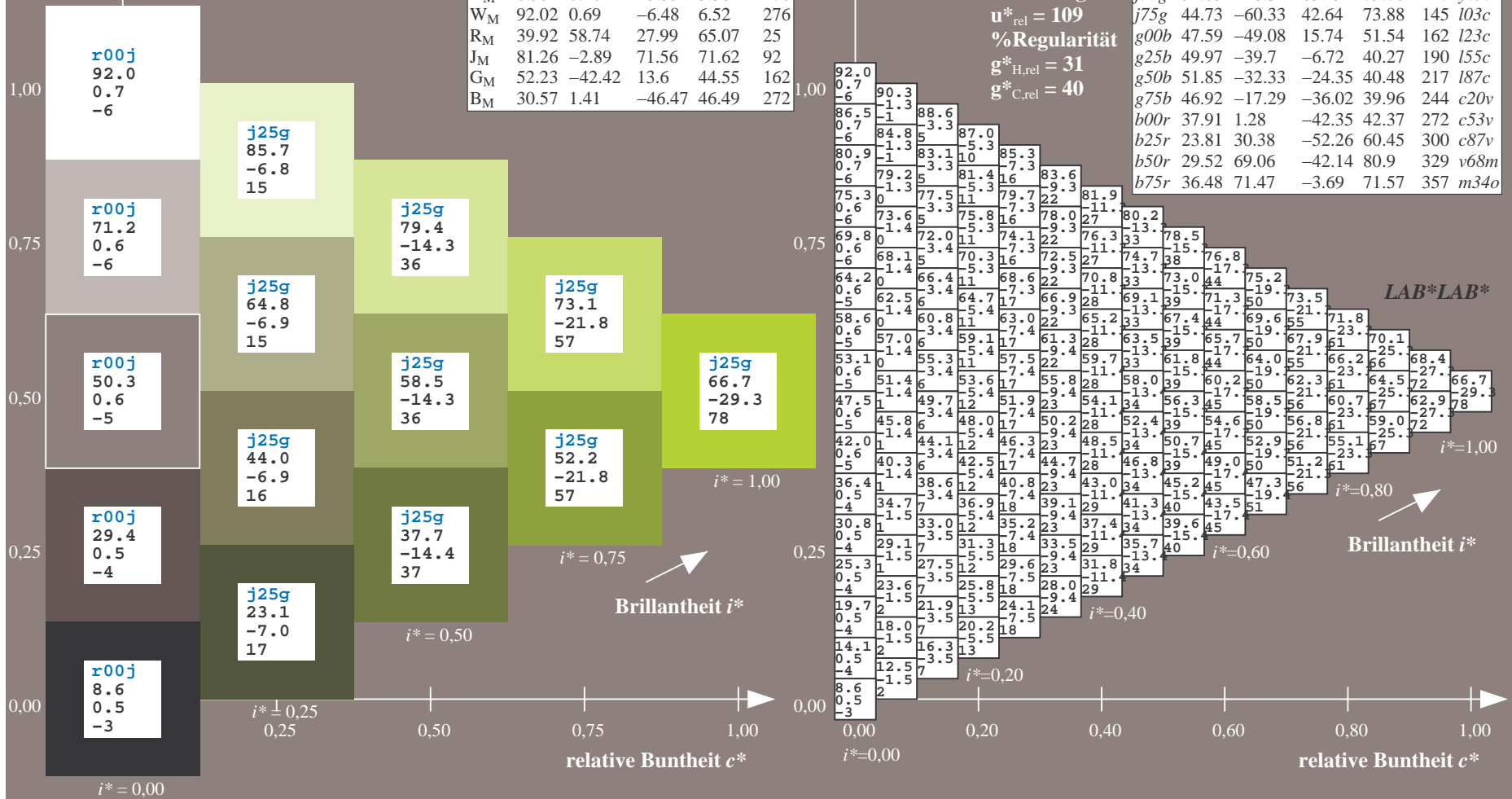
lab*rgb*_{Ma}: 0.75 1.0 0.0

lab*olv*_{Ma}: 0.66 1.0 0.0

Dreiecks-Helligkeit t^*

FRS09_92a; adaptierte CIELAB-Daten

u^*_e	$L^*=L^*_a$	a^*_a	b^*_a	$C^*_{ab,a}$	$h^*_{ab,a}$	u^*_d
r00j	35.47	63.32	30.17	70.15	25	m81o
r25j	39.12	54.56	49.45	73.64	42	o10y
r50j	50.64	39.15	64.89	75.79	59	o40y
r75j	64.01	21.26	82.83	85.52	76	o69y
j00g	83.18	-4.38	108.53	108.62	92	o98y
j25g	66.73	-29.89	83.06	88.28	110	y34l
j50g	54.03	-48.31	63.49	79.78	127	y69l
j75g	44.73	-60.33	42.64	73.88	145	i03c
g00b	47.59	-49.08	15.74	51.54	162	i23c
g25b	49.97	-39.7	-6.72	40.27	190	i55c
g50b	51.85	-32.33	-24.35	40.48	217	i87c
g75b	46.92	-17.29	-36.02	39.96	244	c20v
b00r	37.91	1.28	-42.35	42.37	272	c53v
b25r	23.81	30.38	-52.26	60.45	300	c87v
b50r	29.52	69.06	-42.14	80.9	329	v68m
b75r	36.48	71.47	-3.69	71.57	357	m34o



Ein und Ausgabe: Farbmatisches Drucker-Reflektiv-System FRS09_92a für relativen CIELAB-Bunton $h^* = lab^*h^* = h_{ab}/360 = 0.354$

$u^*_e = j50g$
 LAB^*LAB^*

Daten für jede Farbe:

lab^*ch^* und lab^*icu^*

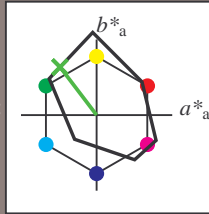
Buntontexte:

$u^*_e = j50g$ $u^*_d = y69l$

Kontrastreduzierungsfaktor:

$c_R = 1.0$

Dreiecks-Helligkeit t^*



FRS09_92; CIELAB-Daten						
	u^*_e	$L^*=L^*_a$	a^*_a	b^*_a	C^*_{ab}	h^*_{ab}
O _M	35.06	60.53	39.66	72.37	33	
Y _M	83.77	-4.5	103.15	103.25	92	
L _M	44.13	-62.11	43.56	75.86	145	
C _M	52.66	-28.56	-36.99	46.73	232	
V _M	14.15	50.78	-62.6	80.61	309	
M _M	37.37	79.18	-37.93	87.8	334	
N _M	8.58	0.46	-3.35	3.38	278	
W _M	92.02	0.69	-6.48	6.52	276	
R _M	39.92	58.74	27.99	65.07	25	
J _M	81.26	-2.89	71.56	71.62	92	
G _M	52.23	-42.42	13.6	44.55	162	
B _M	30.57	1.41	-46.47	46.49	272	

Daten für Maximalfarbe (Ma):

$LAB^*LAB^*_{Ma}: 54 -48 63$

$LAB^*LCH^*_{Ma}: 54 80 127$

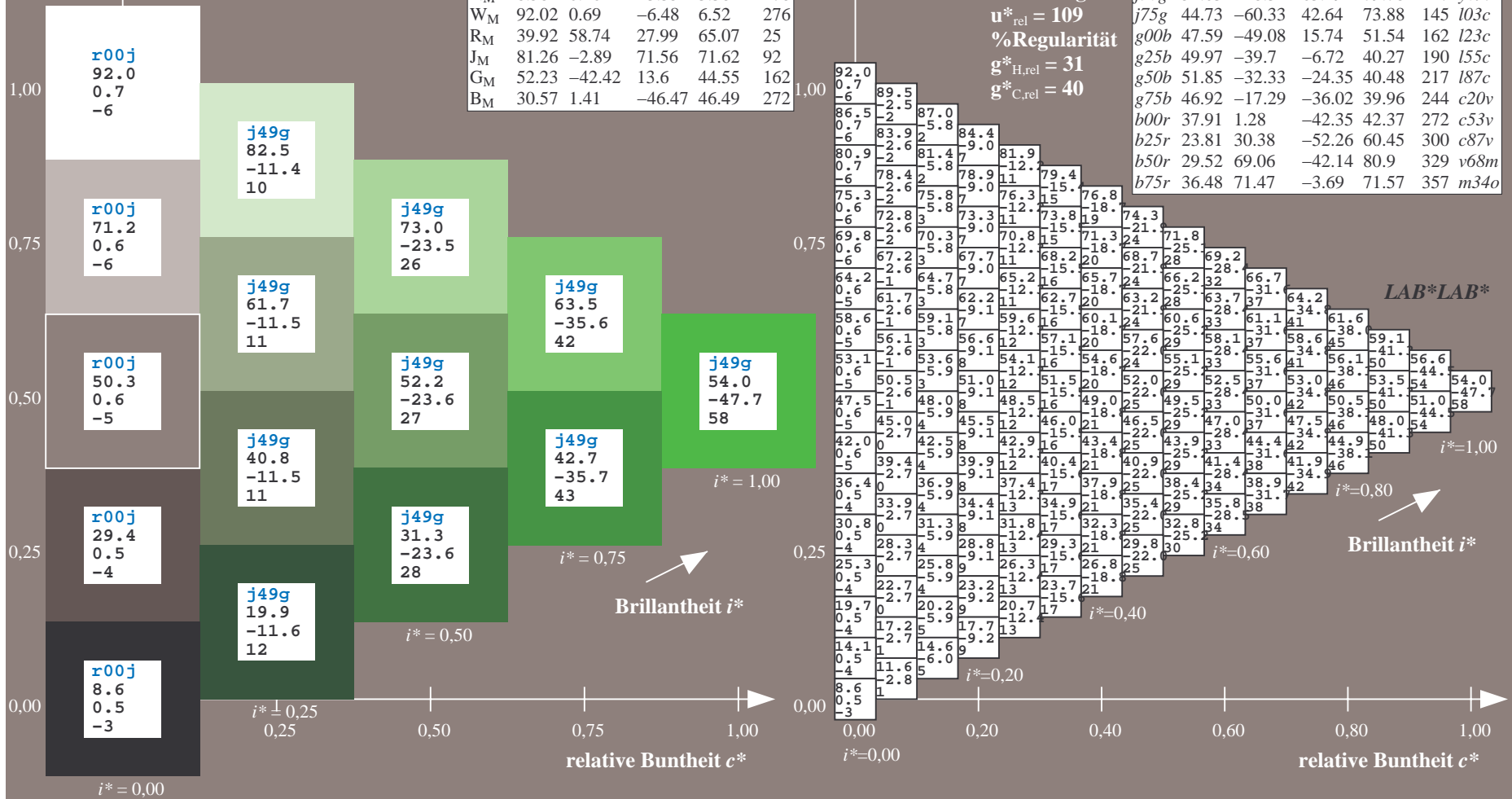
$lab^*rgb^*_{Ma}: 0.5 1.0 0.0$

$lab^*olv^*_{Ma}: 0.3 1.0 0.0$

Dreiecks-Helligkeit t^*

FRS09_92a; adaptierte CIELAB-Daten

	u^*_e	$L^*=L^*_a$	a^*_a	b^*_a	$C^*_{ab,a}$	$h^*_{ab,a}$	u^*_d
r00j	35.47	63.32	30.17	70.15	25	m81o	
r25j	39.12	54.56	49.45	73.64	42	o10y	
r50j	50.64	39.15	64.89	75.79	59	o40y	
r75j	64.01	21.26	82.83	85.52	76	o69y	
j00g	83.18	-4.38	108.53	108.62	92	o98y	
j25g	66.73	-29.89	83.06	88.28	110	y34l	
j50g	54.03	-48.31	63.49	79.78	127	y69l	
j75g	44.73	-60.33	42.64	73.88	145	i03c	
g00b	47.59	-49.08	15.74	51.54	162	l23c	
g25b	49.97	-39.7	-6.72	40.27	190	i55c	
g50b	51.85	-32.33	-24.35	40.48	217	i87c	
g75b	46.92	-17.29	-36.02	39.96	244	c20v	
b00r	37.91	1.28	-42.35	42.37	272	c53v	
b25r	23.81	30.38	-52.26	60.45	300	c87v	
b50r	29.52	69.06	-42.14	80.9	329	v68m	
b75r	36.48	71.47	-3.69	71.57	357	m34o	



Ein und Ausgabe: Farbmatisches Drucker-Reflektiv-System FRS09_92a für relativen CIELAB-Bunton $h^* = lab^*h^* = h_{ab}/360 = 0.402$

$u^*_e = j75g$
LAB*LAB*

Daten für jede Farbe:

lab^*ch^* und lab^*icu^*

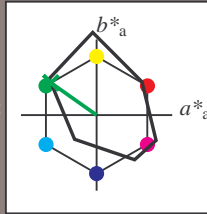
Buntontexte:

$u^*_e = j75g$ $u^*_d = l03c$

Kontrastreduzierungsfaktor:

$c_R = 1.0$

Dreiecks-Helligkeit t^*



FRS09_92; CIELAB-Daten

	u^*_e	$L^*=L^*$	a^*	b^*	C^*_{ab}	h^*_{ab}
O _M	35.06	60.53	39.66	72.37	33	
Y _M	83.77	-4.5	103.15	103.25	92	
L _M	44.13	-62.11	43.56	75.86	145	
C _M	52.66	-28.56	-36.99	46.73	232	
V _M	14.15	50.78	-62.6	80.61	309	
M _M	37.37	79.18	-37.93	87.8	334	
N _M	8.58	0.46	-3.35	3.38	278	
W _M	92.02	0.69	-6.48	6.52	276	
R _M	39.92	58.74	27.99	65.07	25	
J _M	81.26	-2.89	71.56	71.62	92	
G _M	52.23	-42.42	13.6	44.55	162	
B _M	30.57	1.41	-46.47	46.49	272	

Daten für Maximalfarbe (Ma):

LAB*LAB*_{Ma}: 45 -60 43

LAB*LCH*_{Ma}: 45 74 144

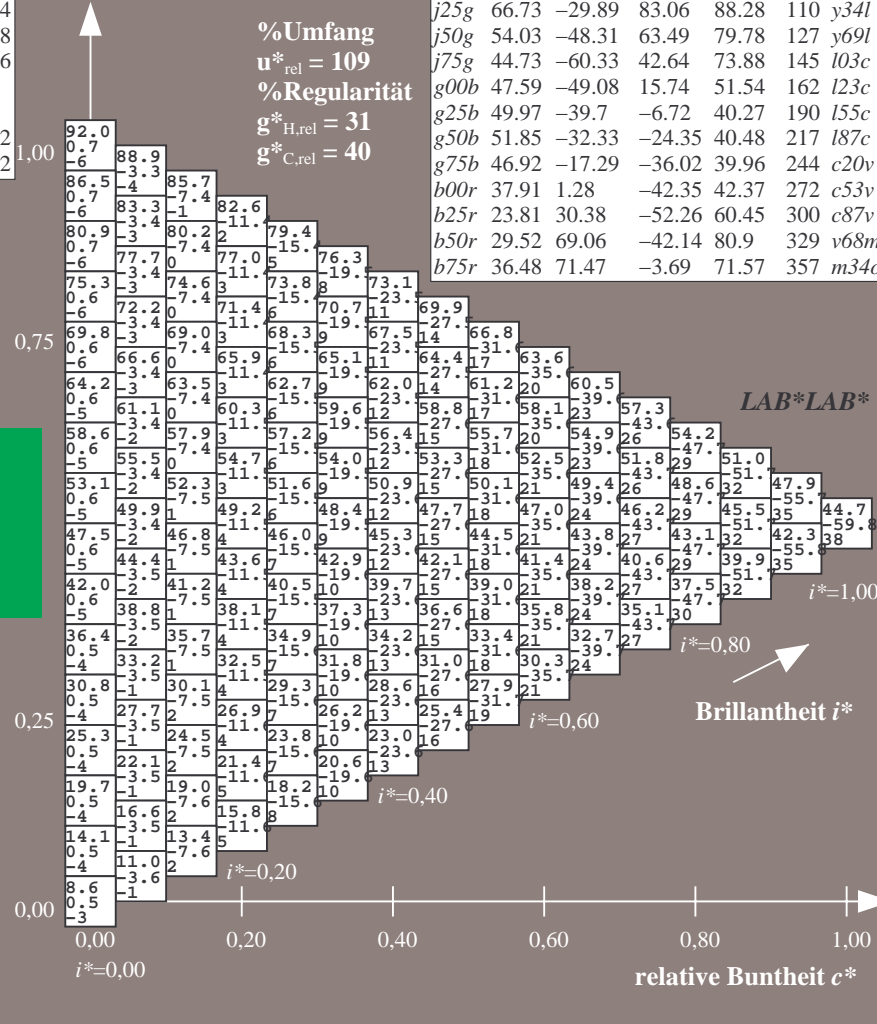
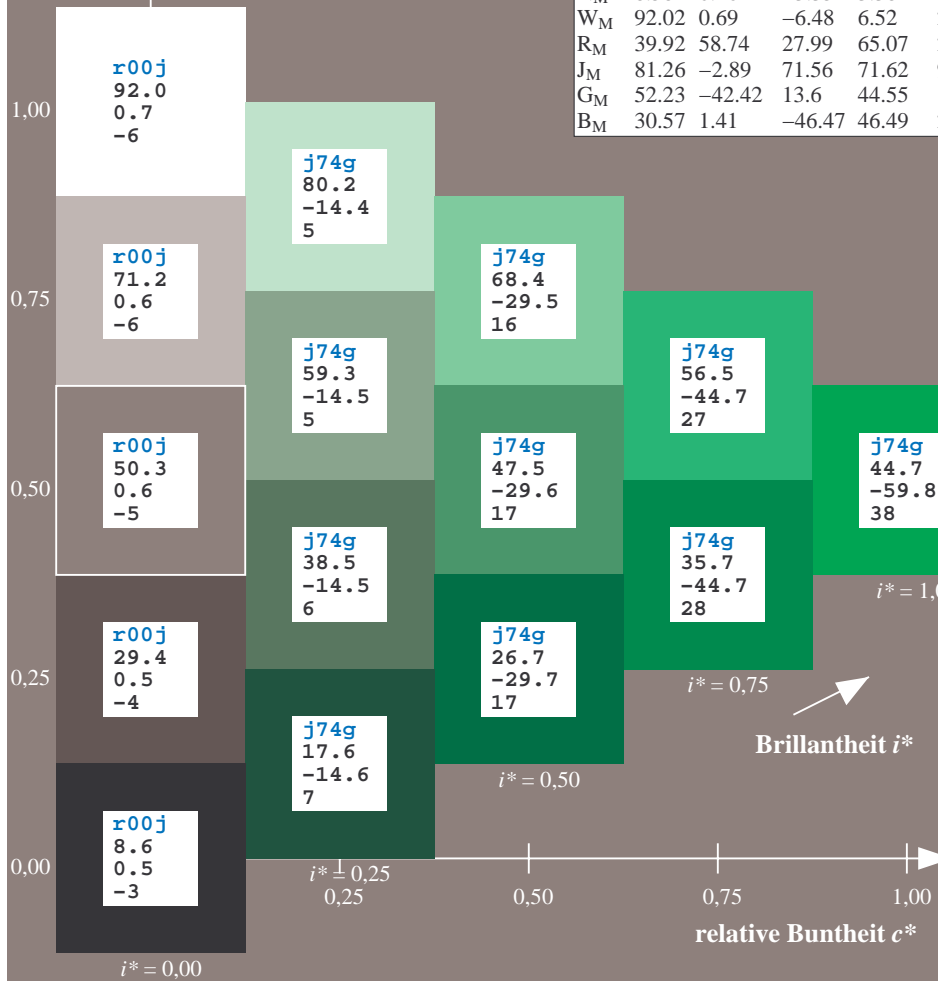
lab*rgb*_{Ma}: 0.25 1.0 0.0

lab*olv*_{Ma}: 0.0 1.0 0.03

Dreiecks-Helligkeit t^*

FRS09_92a; adaptierte CIELAB-Daten

	u^*_e	$L^*=L^*_a$	a^*_a	b^*_a	$C^*_{ab,a}$	$h^*_{ab,a}$	u^*_d
r00j	35.47	63.32	30.17	70.15	25	m81o	
r25j	39.12	54.56	49.45	73.64	42	o10y	
r50j	50.64	39.15	64.89	75.79	59	o40y	
r75j	64.01	21.26	82.83	85.52	76	o69y	
j00g	83.18	-4.38	108.53	108.62	92	o98y	
j25g	66.73	-29.89	83.06	88.28	110	y34l	
j50g	54.03	-48.31	63.49	79.78	127	y69l	
j75g	44.73	-60.33	42.64	73.88	145	l03c	
g00b	47.59	-49.08	15.74	51.54	162	i23c	
g25b	49.97	-39.7	-6.72	40.27	190	i55c	
g50b	51.85	-32.33	-24.35	40.48	217	i87c	
g75b	46.92	-17.29	-36.02	39.96	244	c20v	
b00r	37.91	1.28	-42.35	42.37	272	c53v	
b25r	23.81	30.38	-52.26	60.45	300	c87v	
b50r	29.52	69.06	-42.14	80.9	329	v68m	
b75r	36.48	71.47	-3.69	71.57	357	m34o	



%Umfang
 $u^*_{rel} = 109$
%Regularität
 $g^*_{H,rel} = 31$
 $g^*_{C,rel} = 40$

LAB*LAB*

Brillantheit i^*

Ein und Ausgabe: Farbmatisches Drucker-Reflektiv-System FRS09_92a für relativen CIELAB-Bunton $h^* = lab^*h^* = h_{ab}/360 = 0.451$

$u^*_e = g00b$
 LAB^*LAB^*

Daten für jede Farbe:

lab^*tch^* und lab^*icu^*

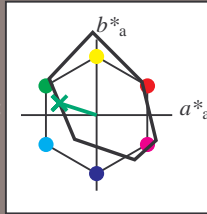
Buntontexte:

$u^*_e = g00b$ $u^*_d = l23c$

Kontrastreduzierungsfaktor:

$c_R = 1.0$

Dreiecks-Helligkeit t^*



FRS09_92; CIELAB-Daten

u^*_e	$L^*=L^*$	a^*	b^*	C^*_{ab}	h^*_{ab}
O _M	35.06	60.53	39.66	72.37	33
Y _M	83.77	-4.5	103.15	103.25	92
L _M	44.13	-62.11	43.56	75.86	145
C _M	52.66	-28.56	-36.99	46.73	232
V _M	14.15	50.78	-62.6	80.61	309
M _M	37.37	79.18	-37.93	87.8	334
N _M	8.58	0.46	-3.35	3.38	278
W _M	92.02	0.69	-6.48	6.52	276
R _M	39.92	58.74	27.99	65.07	25
J _M	81.26	-2.89	71.56	71.62	92
G _M	52.23	-42.42	13.6	44.55	162
B _M	30.57	1.41	-46.47	46.49	272

Daten für Maximalfarbe (Ma):

$LAB^*LAB^*_{Ma}: 48 -49 16$

$LAB^*LCH^*_{Ma}: 48 52 162$

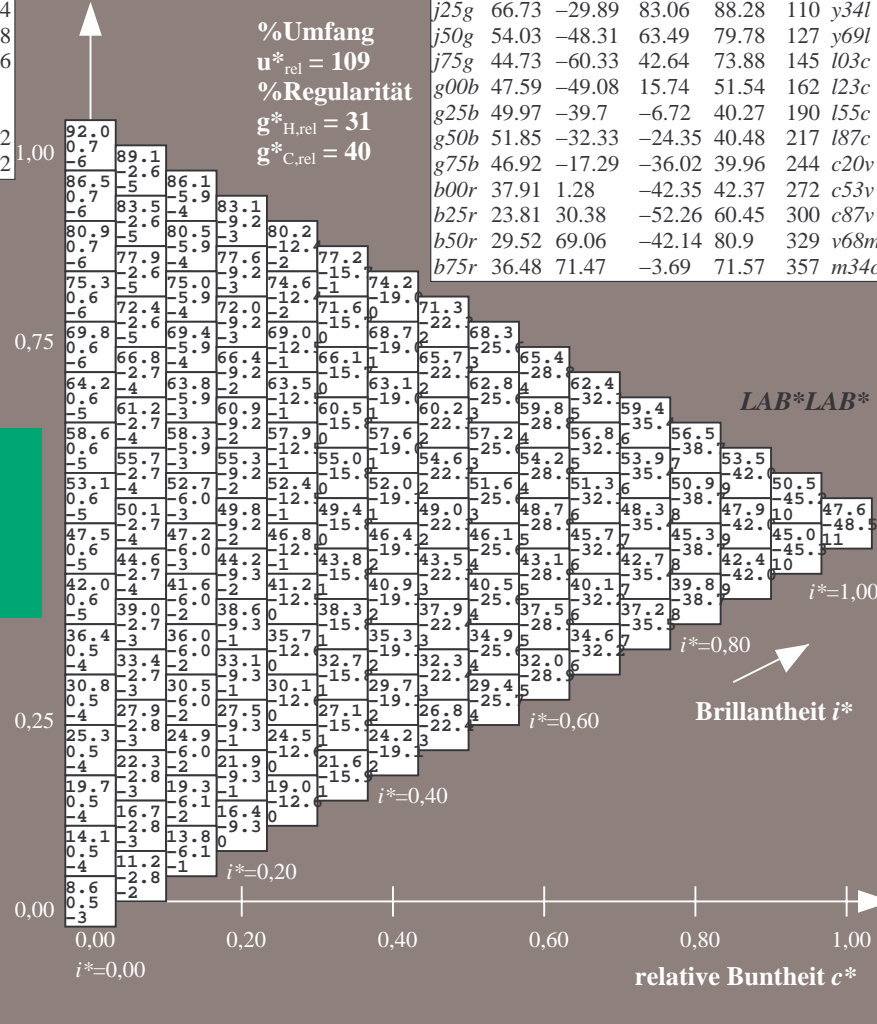
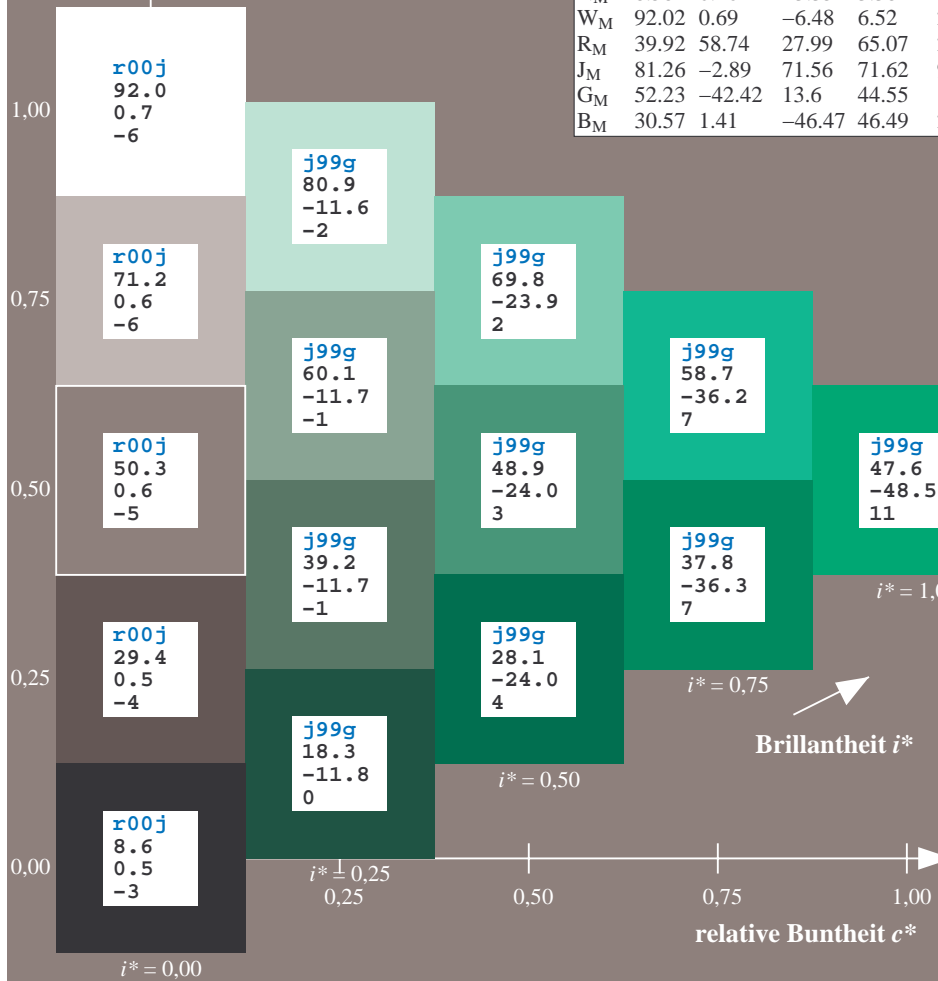
$lab^*rgb^*_{Ma}: 0.0 1.0 0.0$

$lab^*olv^*_{Ma}: 0.0 1.0 0.23$

Dreiecks-Helligkeit t^*

FRS09_92a; adaptierte CIELAB-Daten

u^*_e	$L^*=L^*_a$	a^*_a	b^*_a	$C^*_{ab,a}$	$h^*_{ab,a}$	u^*_d
r00j	35.47	63.32	30.17	70.15	25	m81o
r25j	39.12	54.56	49.45	73.64	42	o10y
r50j	50.64	39.15	64.89	75.79	59	o40y
r75j	64.01	21.26	82.83	85.52	76	o69y
j00g	83.18	-4.38	108.53	108.62	92	o98y
j25g	66.73	-29.89	83.06	88.28	110	y34l
j50g	54.03	-48.31	63.49	79.78	127	y69l
j75g	44.73	-60.33	42.64	73.88	145	l03c
g00b	47.59	-49.08	15.74	51.54	162	l23c
g25b	49.97	-39.7	-6.72	40.27	190	l55c
g50b	51.85	-32.33	-24.35	40.48	217	l87c
g75b	46.92	-17.29	-36.02	39.96	244	c20v
b00r	37.91	1.28	-42.35	42.37	272	c53v
b25r	23.81	30.38	-52.26	60.45	300	c87v
b50r	29.52	69.06	-42.14	80.9	329	v68m
b75r	36.48	71.47	-3.69	71.57	357	m34o



Ein und Ausgabe: Farbmatisches Drucker-Reflektiv-System FRS09_92a für relativen CIELAB-Bunton $h^* = lab^*h^* = h_{ab}/360 = 0.527$

$u^*_e = g25b$
 LAB^*LAB^*

Daten für jede Farbe:

lab^*ch^* und lab^*icu^*

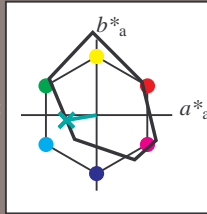
Buntontexte:

$u^*_e = g25b$ $u^*_d = l55c$

Kontrastreduzierungsfaktor:

$c_R = 1.0$

Dreiecks-Helligkeit t^*



FRS09_92; CIELAB-Daten

	u^*_e	$L^*=L^*_a$	a^*_a	b^*_a	C^*_{ab}	h^*_{ab}
O_M	35.06	60.53	39.66	72.37	33	
Y_M	83.77	-4.5	103.15	103.25	92	
L_M	44.13	-62.11	43.56	75.86	145	
C_M	52.66	-28.56	-36.99	46.73	232	
V_M	14.15	50.78	-62.6	80.61	309	
M_M	37.37	79.18	-37.93	87.8	334	
N_M	8.58	0.46	-3.35	3.38	278	
W_M	92.02	0.69	-6.48	6.52	276	
R_M	39.92	58.74	27.99	65.07	25	
J_M	81.26	-2.89	71.56	71.62	92	
G_M	52.23	-42.42	13.6	44.55	162	
B_M	30.57	1.41	-46.47	46.49	272	

Daten für Maximalfarbe (Ma):

$LAB^*LAB^*_Ma: 50 -40 -7$

$LAB^*LCH^*_Ma: 50 40 189$

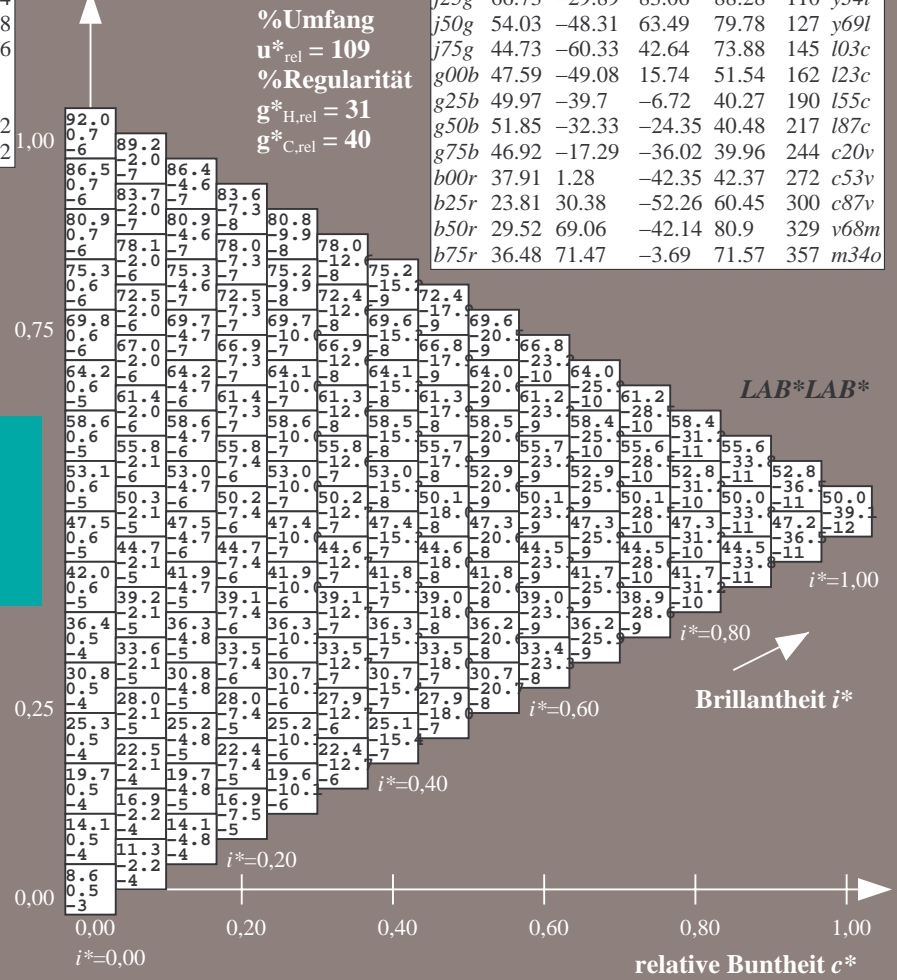
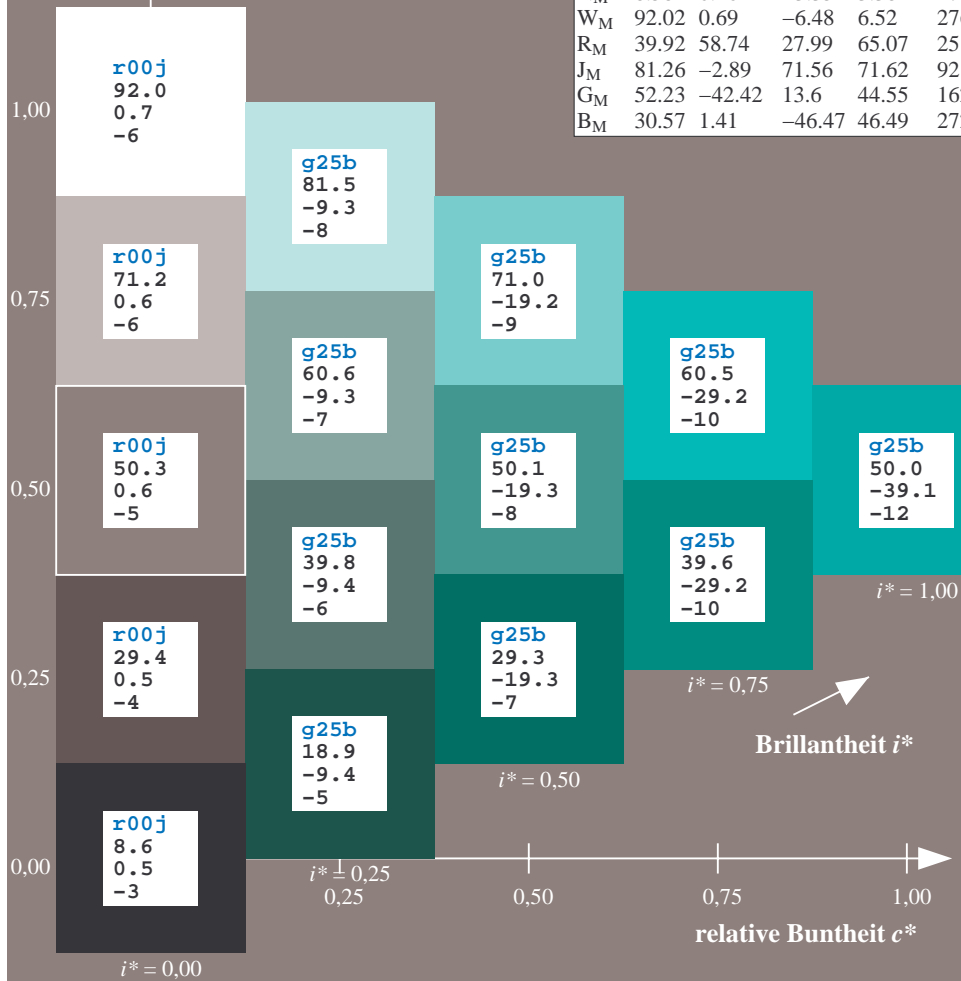
$lab^*rgb^*_Ma: 0.0 1.0 0.5$

$lab^*olv^*_Ma: 0.0 1.0 0.55$

Dreiecks-Helligkeit t^*

FRS09_92a; adaptierte CIELAB-Daten

	u^*_e	$L^*=L^*_a$	a^*_a	b^*_a	$C^*_{ab,a}$	$h^*_{ab,a}$	u^*_d
r00j	35.47	63.32	30.17	70.15	25	m81o	
r25j	39.12	54.56	49.45	73.64	42	o10y	
r50j	50.64	39.15	64.89	75.79	59	o40y	
r75j	64.01	21.26	82.83	85.52	76	o69y	
j00g	83.18	-4.38	108.53	108.62	92	o98y	
j25g	66.73	-29.89	83.06	88.28	110	y34l	
j50g	54.03	-48.31	63.49	79.78	127	y69l	
j75g	44.73	-60.33	42.64	73.88	145	l03c	
g00b	47.59	-49.08	15.74	51.54	162	l23c	
g25b	49.97	-39.7	-6.72	40.27	190	l55c	
g50b	51.85	-32.33	-24.35	40.48	217	l87c	
g75b	46.92	-17.29	-36.02	39.96	244	c20v	
b00r	37.91	1.28	-42.35	42.37	272	c53v	
b25r	23.81	30.38	-52.26	60.45	300	c87v	
b50r	29.52	69.06	-42.14	80.9	329	v68m	
b75r	36.48	71.47	-3.69	71.57	357	m34o	



Ein und Ausgabe: Farbmatisches Drucker-Reflektiv-System FRS09_92a für relativen CIELAB-Bunton $h^* = lab^*h^* = h_{ab}/360 = 0.603$

$u^*_e = g50b$
 LAB^*LAB^*

Daten für jede Farbe:

lab^*tch^* und lab^*icu^*

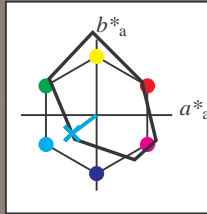
Buntontexte:

$u^*_e = g50b$ $u^*_d = l87c$

Kontrastreduzierungsfaktor:

$c_R = 1.0$

Dreiecks-Helligkeit t^*



FRS09_92; CIELAB-Daten

u^*_e	$L^*=L^*$	a^*	b^*	C^*_{ab}	h^*_{ab}
O _M	35.06	60.53	39.66	72.37	33
Y _M	83.77	-4.5	103.15	103.25	92
L _M	44.13	-62.11	43.56	75.86	145
C _M	52.66	-28.56	-36.99	46.73	232
V _M	14.15	50.78	-62.6	80.61	309
M _M	37.37	79.18	-37.93	87.8	334
N _M	8.58	0.46	-3.35	3.38	278
W _M	92.02	0.69	-6.48	6.52	276
R _M	39.92	58.74	27.99	65.07	25
J _M	81.26	-2.89	71.56	71.62	92
G _M	52.23	-42.42	13.6	44.55	162
B _M	30.57	1.41	-46.47	46.49	272

Daten für Maximalfarbe (Ma):

$LAB^*LAB^*_{Ma}: 52 -32 -24$

$LAB^*LCH^*_{Ma}: 52 40 216$

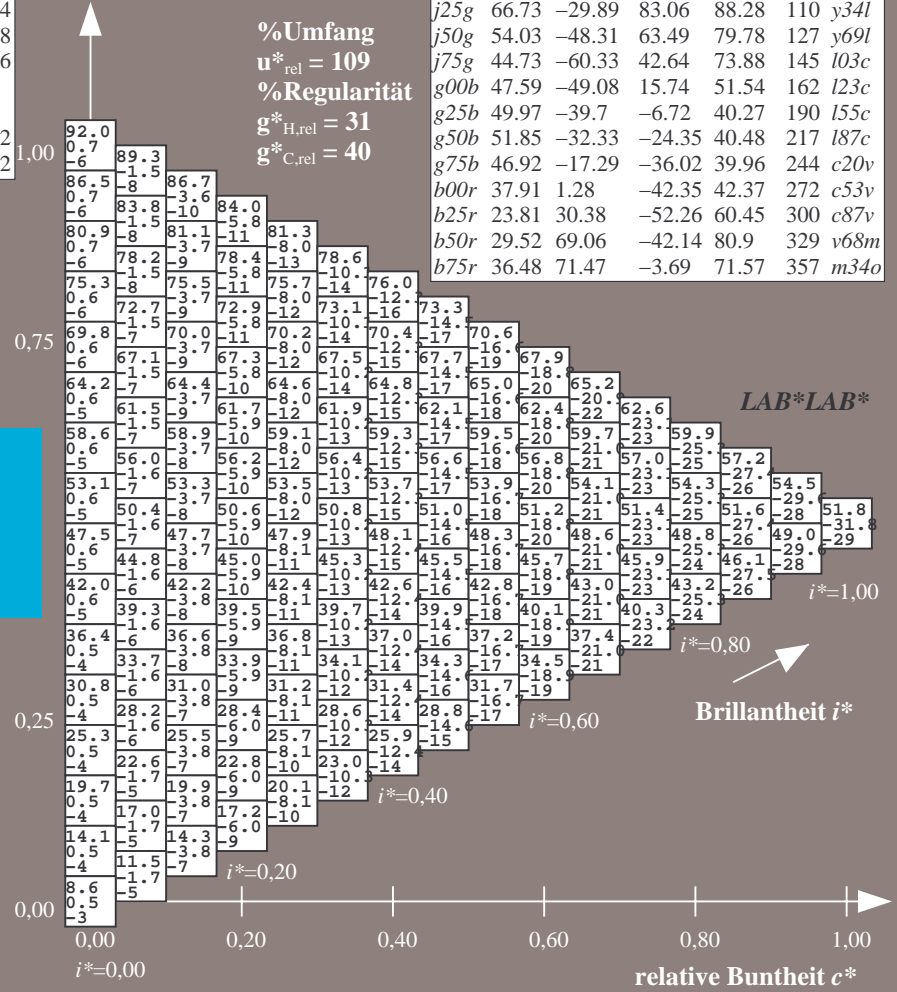
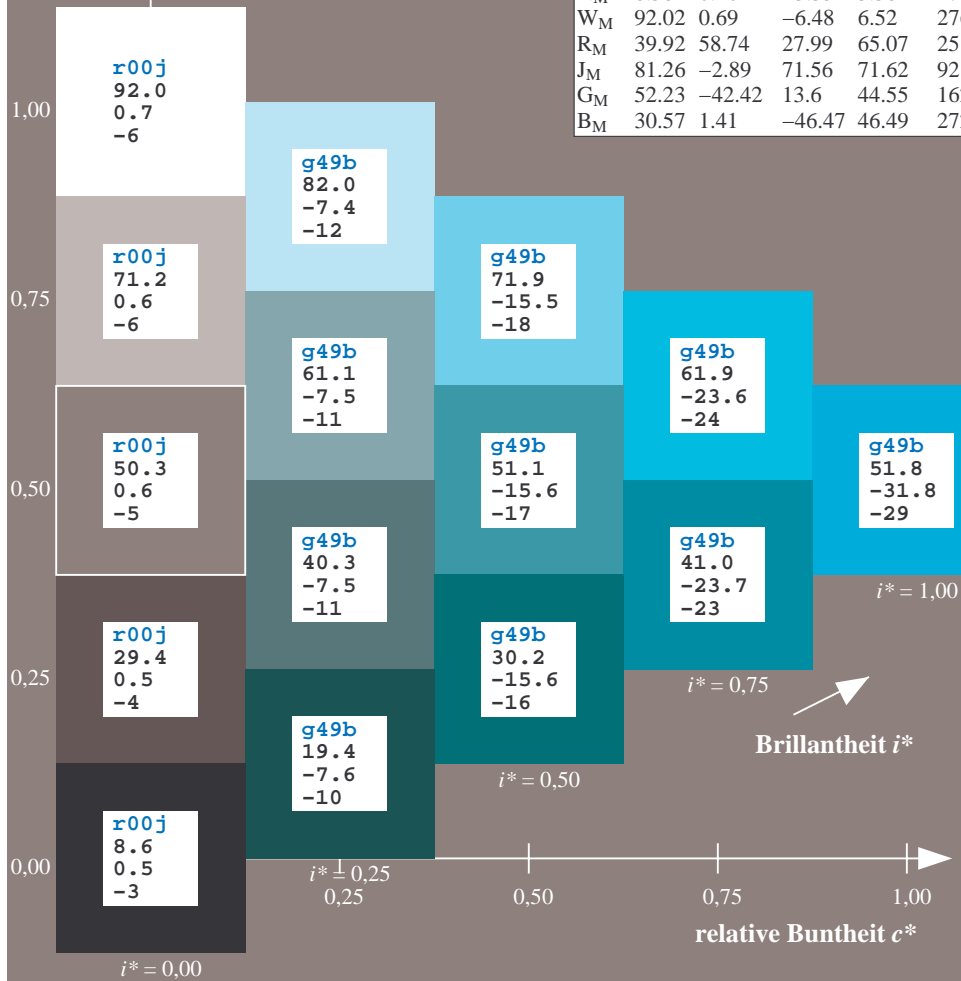
$lab^*rgb^*_{Ma}: 0.0 1.0 1.0$

$lab^*olv^*_{Ma}: 0.0 1.0 0.87$

Dreiecks-Helligkeit t^*

FRS09_92a; adaptierte CIELAB-Daten

u^*_e	$L^*=L^*_a$	a^*_a	b^*_a	$C^*_{ab,a}$	$h^*_{ab,a}$	u^*_d
r00j	35.47	63.32	30.17	70.15	25	m81o
r25j	39.12	54.56	49.45	73.64	42	o10y
r50j	50.64	39.15	64.89	75.79	59	o40y
r75j	64.01	21.26	82.83	85.52	76	o69y
j00g	83.18	-4.38	108.53	108.62	92	o98y
j25g	66.73	-29.89	83.06	88.28	110	y34l
j50g	54.03	-48.31	63.49	79.78	127	y69l
j75g	44.73	-60.33	42.64	73.88	145	l03c
g00b	47.59	-49.08	15.74	51.54	162	l23c
g25b	49.97	-39.7	-6.72	40.27	190	l55c
g50b	51.85	-32.33	-24.35	40.48	217	l87c
g75b	46.92	-17.29	-36.02	39.96	244	c20v
b00r	37.91	1.28	-42.35	42.37	272	c53v
b25r	23.81	30.38	-52.26	60.45	300	c87v
b50r	29.52	69.06	-42.14	80.9	329	v68m
b75r	36.48	71.47	-3.69	71.57	357	m34o



Ein und Ausgabe: Farbmatisches Drucker-Reflektiv-System FRS09_92a für relativen CIELAB-Bunton $h^* = lab^*h^* = h_{ab}/360 = 0.679$

$u^*_e = g75b$
 LAB^*LAB^*

Daten für jede Farbe:

lab^*ch^* und lab^*icu^*

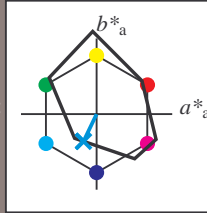
Buntontexte:

$u^*_e = g75b$ $u^*_d = c20v$

Kontrastreduzierungsfaktor:

$c_R = 1.0$

Dreiecks-Helligkeit t^*



FRS09_92; CIELAB-Daten						
u^*_e	$L^*=L^*$	a^*	b^*	C^*_{ab}	h^*_{ab}	
O _M	35.06	60.53	39.66	72.37	33	
Y _M	83.77	-4.5	103.15	103.25	92	
L _M	44.13	-62.11	43.56	75.86	145	
C _M	52.66	-28.56	-36.99	46.73	232	
V _M	14.15	50.78	-62.6	80.61	309	
M _M	37.37	79.18	-37.93	87.8	334	
N _M	8.58	0.46	-3.35	3.38	278	
W _M	92.02	0.69	-6.48	6.52	276	
R _M	39.92	58.74	27.99	65.07	25	
J _M	81.26	-2.89	71.56	71.62	92	
G _M	52.23	-42.42	13.6	44.55	162	
B _M	30.57	1.41	-46.47	46.49	272	

Daten für Maximalfarbe (Ma):

$LAB^*LAB^*_{Ma}$: 47 -17 -36

$LAB^*LCH^*_{Ma}$: 47 40 244

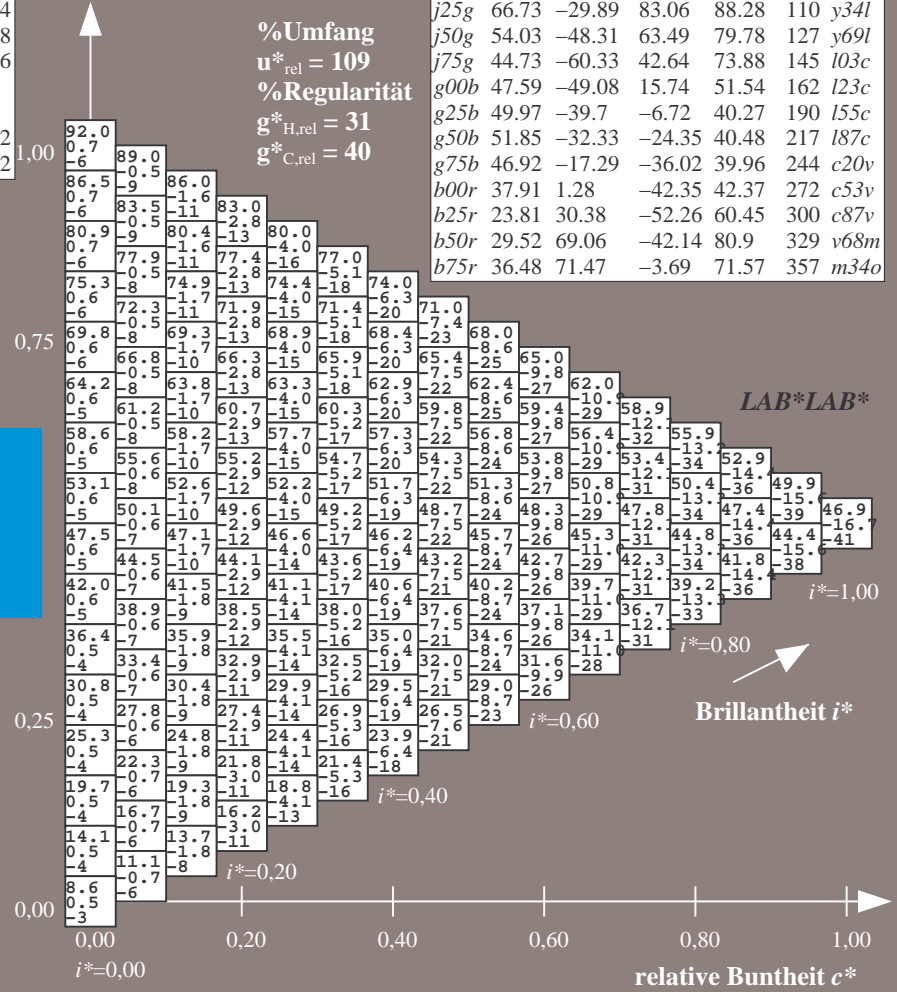
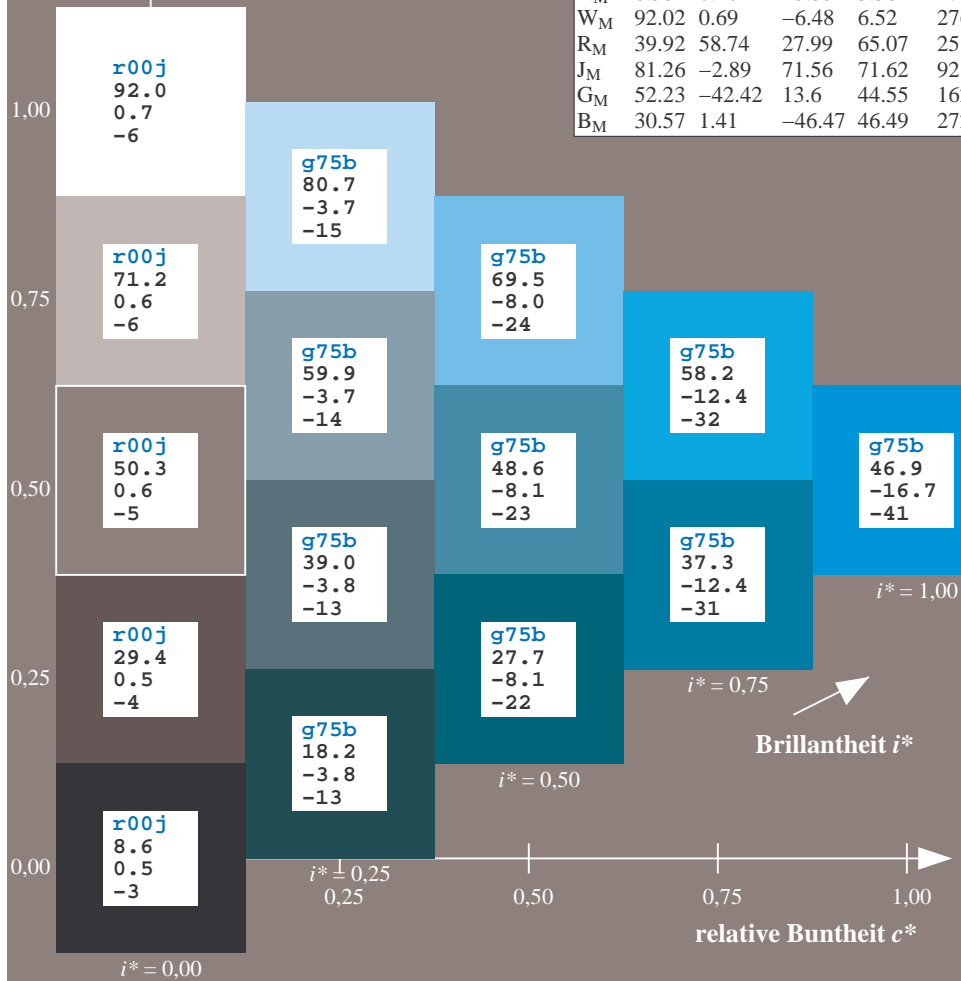
$lab^*rgb^*_{Ma}$: 0.0 0.5 1.0

$lab^*olv^*_{Ma}$: 0.0 0.8 1.0

Dreiecks-Helligkeit t^*

FRS09_92a; adaptierte CIELAB-Daten

u^*_e	$L^*=L^*_a$	a^*_a	b^*_a	$C^*_{ab,a}$	$h^*_{ab,a}$	u^*_d
r00j	35.47	63.32	30.17	70.15	25	m81o
r25j	39.12	54.56	49.45	73.64	42	o10y
r50j	50.64	39.15	64.89	75.79	59	o40y
r75j	64.01	21.26	82.83	85.52	76	o69y
j00g	83.18	-4.38	108.53	108.62	92	o98y
j25g	66.73	-29.89	83.06	88.28	110	y34l
j50g	54.03	-48.31	63.49	79.78	127	y69l
j75g	44.73	-60.33	42.64	73.88	145	l03c
g00b	47.59	-49.08	15.74	51.54	162	i23c
g25b	49.97	-39.7	-6.72	40.27	190	i55c
g50b	51.85	-32.33	-24.35	40.48	217	i87c
g75b	46.92	-17.29	-36.02	39.96	244	c20v
b00r	37.91	1.28	-42.35	42.37	272	c53v
b25r	23.81	30.38	-52.26	60.45	300	c87v
b50r	29.52	69.06	-42.14	80.9	329	v68m
b75r	36.48	71.47	-3.69	71.57	357	m34o



%Umfang
 $u^*_{rel} = 109$
%Regularität
 $g^*_{H,rel} = 31$
 $g^*_{C,rel} = 40$

LAB^*LAB^*

Brillanz i^*

Ein und Ausgabe: Farbmatisches Drucker-Reflektiv-System FRS09_92a für relativen CIELAB-Bunton $h^* = lab^*h^* = h_{ab}/360 = 0.755$

$u^*_e = b00r$
LAB*LAB*

Daten für jede Farbe:

lab^*ch^* und lab^*icu^*

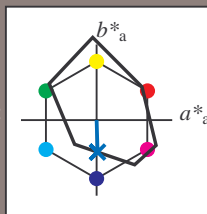
Buntontexte:

$u^*_e = b00r$ $u^*_d = c53v$

Kontrastreduzierungsfaktor:

$c_R = 1.0$

Dreiecks-Helligkeit t^*



FRS09_92; CIELAB-Daten

	u^*_e	$L^*=L^*$	a^*	b^*	C^*_{ab}	h^*_{ab}
O _M	35.06	60.53	39.66	72.37	33	
Y _M	83.77	-4.5	103.15	103.25	92	
L _M	44.13	-62.11	43.56	75.86	145	
C _M	52.66	-28.56	-36.99	46.73	232	
V _M	14.15	50.78	-62.6	80.61	309	
M _M	37.37	79.18	-37.93	87.8	334	
N _M	8.58	0.46	-3.35	3.38	278	
W _M	92.02	0.69	-6.48	6.52	276	
R _M	39.92	58.74	27.99	65.07	25	
J _M	81.26	-2.89	71.56	71.62	92	
G _M	52.23	-42.42	13.6	44.55	162	
B _M	30.57	1.41	-46.47	46.49	272	

Daten für Maximalfarbe (Ma):

LAB*LAB*_{Ma}: 38 1 -42

LAB*LCH*_{Ma}: 38 42 271

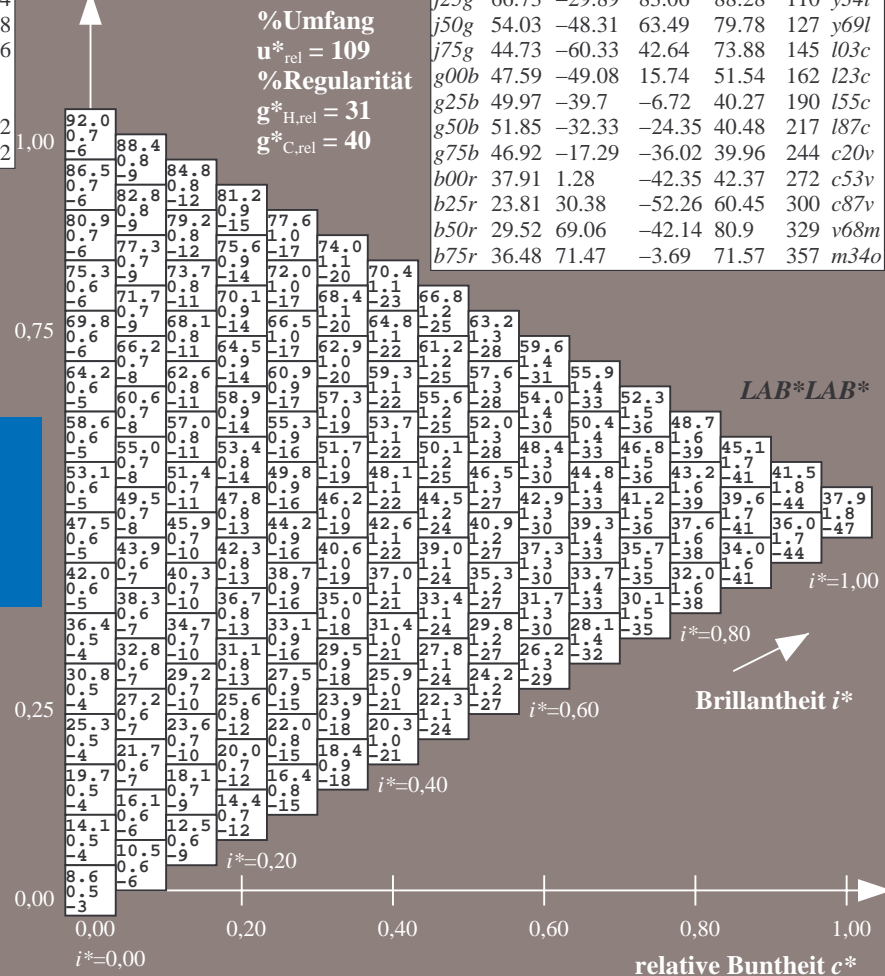
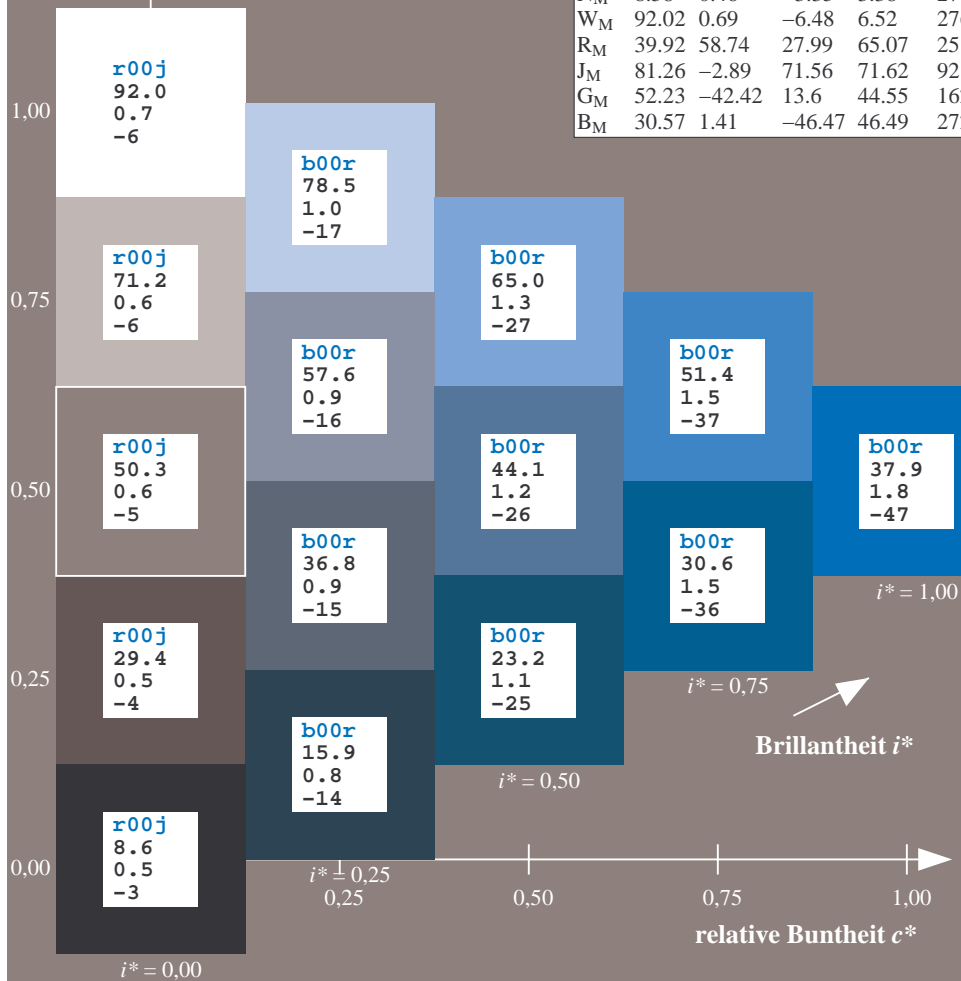
lab*rgb*_{Ma}: 0.0 0.0 1.0

lab*olv*_{Ma}: 0.0 0.47 1.0

Dreiecks-Helligkeit t^*

FRS09_92a; adaptierte CIELAB-Daten

	u^*_e	$L^*=L^*_a$	a^*_a	b^*_a	$C^*_{ab,a}$	$h^*_{ab,a}$	u^*_d
r00j	35.47	63.32	30.17	70.15	25	m81o	
r25j	39.12	54.56	49.45	73.64	42	o10y	
r50j	50.64	39.15	64.89	75.79	59	o40y	
r75j	64.01	21.26	82.83	85.52	76	o69y	
j00g	83.18	-4.38	108.53	108.62	92	o98y	
j25g	66.73	-29.89	83.06	88.28	110	y34l	
j50g	54.03	-48.31	63.49	79.78	127	y69l	
j75g	44.73	-60.33	42.64	73.88	145	l03c	
g00b	47.59	-49.08	15.74	51.54	162	l23c	
g25b	49.97	-39.7	-6.72	40.27	190	l55c	
g50b	51.85	-32.33	-24.35	40.48	217	l87c	
g75b	46.92	-17.29	-36.02	39.96	244	c20v	
b00r	37.91	1.28	-42.35	42.37	272	c53v	
b25r	23.81	30.38	-52.26	60.45	300	c87v	
b50r	29.52	69.06	-42.14	80.9	329	v68m	
b75r	36.48	71.47	-3.69	71.57	357	m34o	



Ein und Ausgabe: Farbmatisches Drucker-Reflektiv-System FRS09_92a für relativen CIELAB-Bunton $h^* = lab^*h^* = h_{ab}/360 = 0.834$

$u^*_e = b25r$
 LAB^*LAB^*

Daten für jede Farbe:

lab^*ch^* und lab^*icu^*

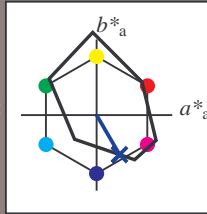
Buntontexte:

$u^*_e = b25r$ $u^*_d = c87v$

Kontrastreduzierungsfaktor:

$c_R = 1.0$

Dreiecks-Helligkeit t^*



FRS09_92; CIELAB-Daten						
u^*_e	$L^*=L^*$	a^*	b^*	C^*_{ab}	h^*_{ab}	
O _M	35.06	60.53	39.66	72.37	33	
Y _M	83.77	-4.5	103.15	103.25	92	
L _M	44.13	-62.11	43.56	75.86	145	
C _M	52.66	-28.56	-36.99	46.73	232	
V _M	14.15	50.78	-62.6	80.61	309	
M _M	37.37	79.18	-37.93	87.8	334	
N _M	8.58	0.46	-3.35	3.38	278	
W _M	92.02	0.69	-6.48	6.52	276	
R _M	39.92	58.74	27.99	65.07	25	
J _M	81.26	-2.89	71.56	71.62	92	
G _M	52.23	-42.42	13.6	44.55	162	
B _M	30.57	1.41	-46.47	46.49	272	

Daten für Maximalfarbe (Ma):

$LAB^*LAB^*_{Ma}: 24\ 30\ -52$

$LAB^*LCH^*_{Ma}: 24\ 60\ 300$

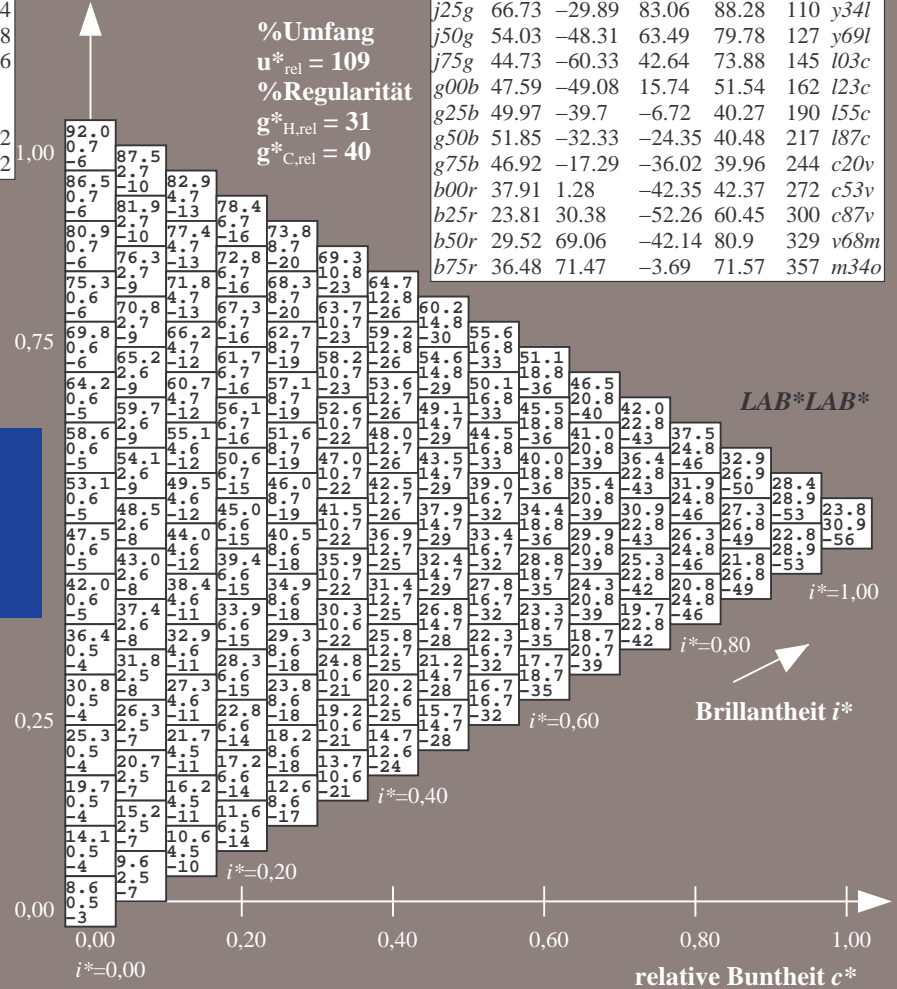
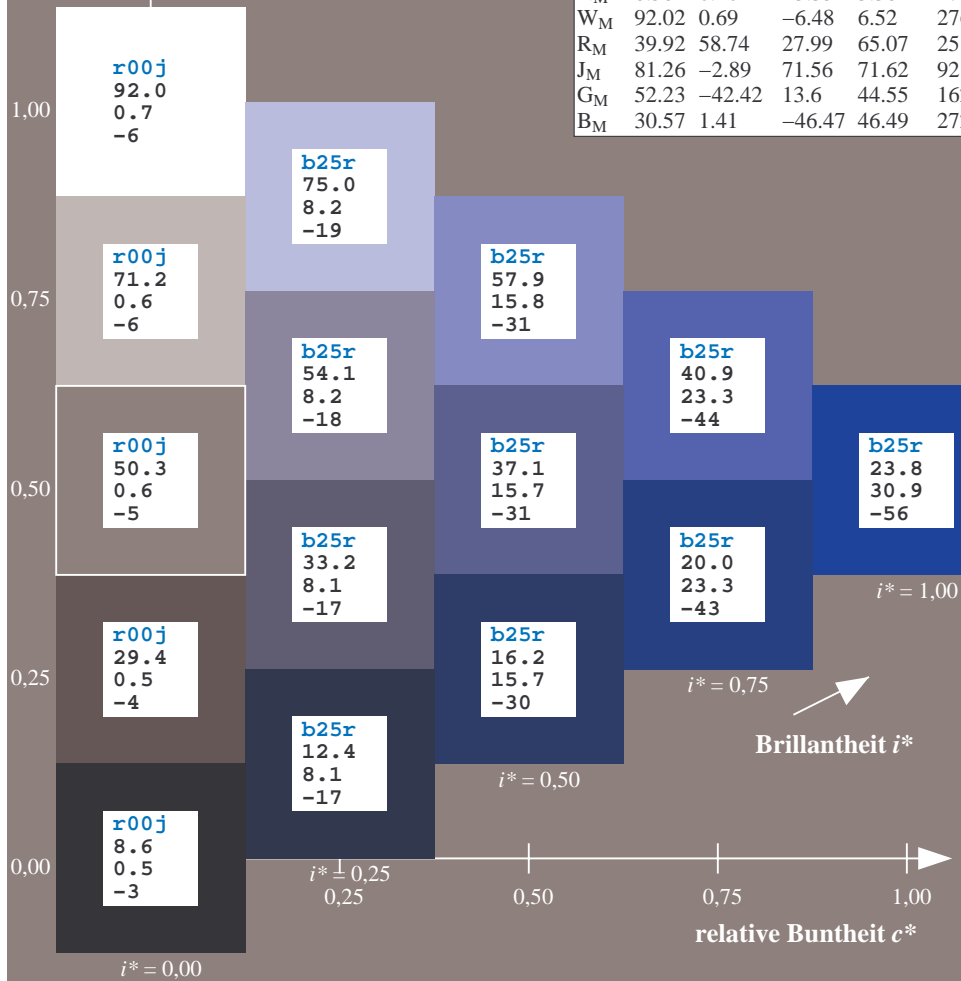
$lab^*rgb^*_{Ma}: 0.5\ 0.0\ 1.0$

$lab^*olv^*_{Ma}: 0.0\ 0.12\ 1.0$

Dreiecks-Helligkeit t^*

FRS09_92a; adaptierte CIELAB-Daten

u^*_e	$L^*=L^*_a$	a^*_a	b^*_a	$C^*_{ab,a}$	$h^*_{ab,a}$	u^*_d
r00j	35.47	63.32	30.17	70.15	25	m81o
r25j	39.12	54.56	49.45	73.64	42	o10y
r50j	50.64	39.15	64.89	75.79	59	o40y
r75j	64.01	21.26	82.83	85.52	76	o69y
j00g	83.18	-4.38	108.53	108.62	92	o98y
j25g	66.73	-29.89	83.06	88.28	110	y34l
j50g	54.03	-48.31	63.49	79.78	127	y69l
j75g	44.73	-60.33	42.64	73.88	145	i03c
g00b	47.59	-49.08	15.74	51.54	162	i23c
g25b	49.97	-39.7	-6.72	40.27	190	i55c
g50b	51.85	-32.33	-24.35	40.48	217	i87c
g75b	46.92	-17.29	-36.02	39.96	244	c20v
b00r	37.91	1.28	-42.35	42.37	272	c53v
b25r	23.81	30.38	-52.26	60.45	300	c87v
b50r	29.52	69.06	-42.14	80.9	329	v68m
b75r	36.48	71.47	-3.69	71.57	357	m34o



Ein und Ausgabe: Farbmatisches Drucker-Reflektiv-System FRS09_92a für relativen CIELAB-Bunton $h^* = lab^*h^* = h_{ab}/360 = 0.913$

$u^*_e = b50r$
 LAB^*LAB^*

Daten für jede Farbe:

lab^*ch^* und lab^*icu^*

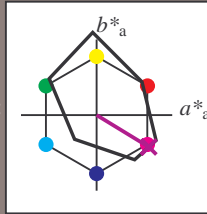
Buntontexte:

$u^*_e = b50r$ $u^*_d = v68m$

Kontrastreduzierungsfaktor:

$c_R = 1.0$

Dreiecks-Helligkeit t^*



FRS09_92; CIELAB-Daten

	u^*_e	$L^*=L^*$	a^*	b^*	C^*_{ab}	h^*_{ab}
O _M	35.06	60.53	39.66	72.37	33	
Y _M	83.77	-4.5	103.15	103.25	92	
L _M	44.13	-62.11	43.56	75.86	145	
C _M	52.66	-28.56	-36.99	46.73	232	
V _M	14.15	50.78	-62.6	80.61	309	
M _M	37.37	79.18	-37.93	87.8	334	
N _M	8.58	0.46	-3.35	3.38	278	
W _M	92.02	0.69	-6.48	6.52	276	
R _M	39.92	58.74	27.99	65.07	25	
J _M	81.26	-2.89	71.56	71.62	92	
G _M	52.23	-42.42	13.6	44.55	162	
B _M	30.57	1.41	-46.47	46.49	272	

Daten für Maximalfarbe (Ma):

$LAB^*LAB^*_{Ma}: 30 \ 69 \ -42$

$LAB^*LCH^*_{Ma}: 30 \ 81 \ 328$

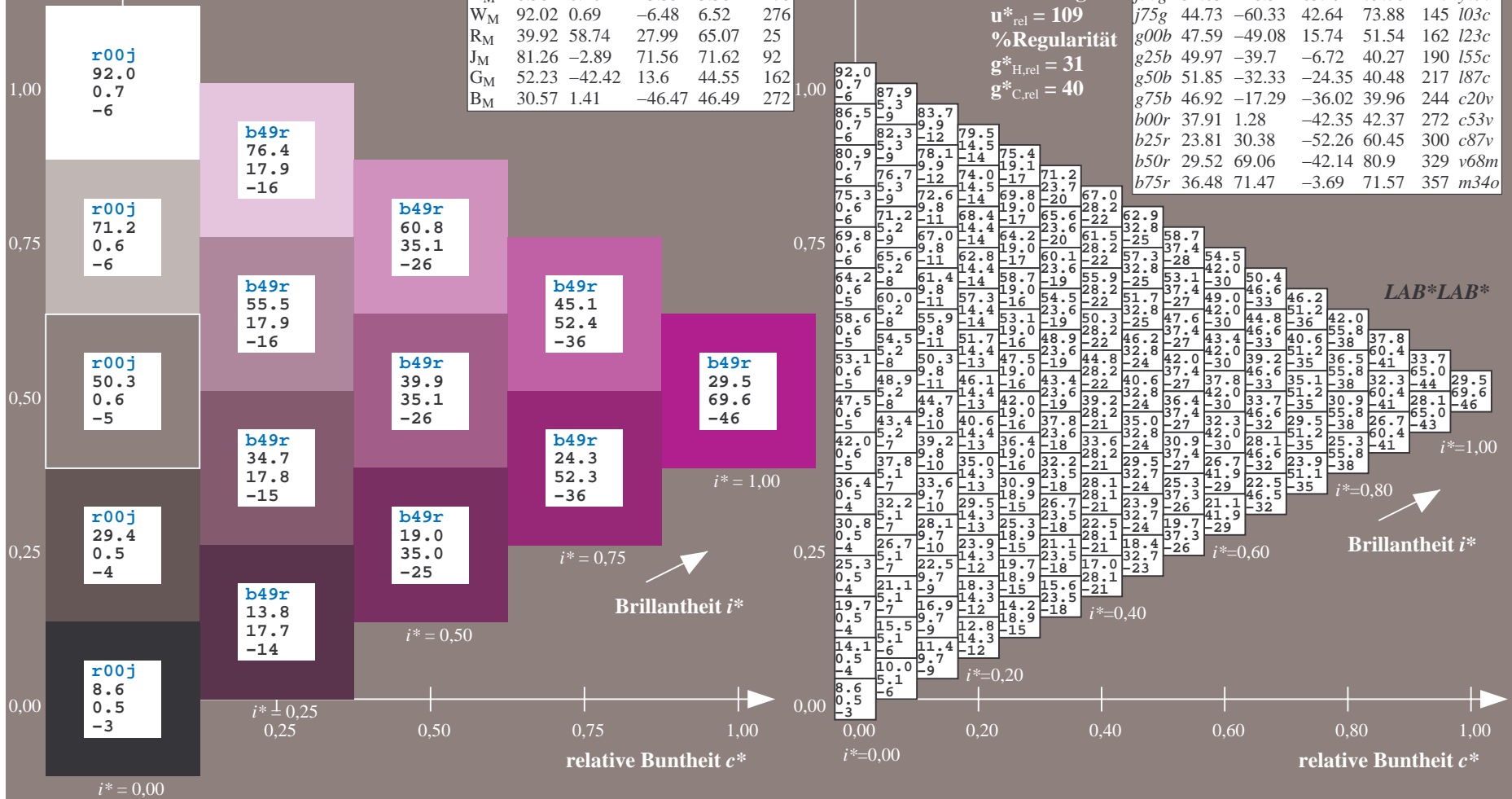
$lab^*rgb^*_{Ma}: 1.0 \ 0.0 \ 1.0$

$lab^*olv^*_{Ma}: 0.69 \ 0.0 \ 1.0$

Dreiecks-Helligkeit t^*

FRS09_92a; adaptierte CIELAB-Daten

	u^*_e	$L^*=L^*_a$	a^*_a	b^*_a	$C^*_{ab,a}$	$h^*_{ab,a}$	u^*_d
r00j	35.47	63.32	30.17	70.15	25	m81o	
r25j	39.12	54.56	49.45	73.64	42	o10y	
r50j	50.64	39.15	64.89	75.79	59	o40y	
r75j	64.01	21.26	82.83	85.52	76	o69y	
j00g	83.18	-4.38	108.53	108.62	92	o98y	
j25g	66.73	-29.89	83.06	88.28	110	y34l	
j50g	54.03	-48.31	63.49	79.78	127	y69l	
j75g	44.73	-60.33	42.64	73.88	145	i03c	
g00b	47.59	-49.08	15.74	51.54	162	i23c	
g25b	49.97	-39.7	-6.72	40.27	190	i55c	
g50b	51.85	-32.33	-24.35	40.48	217	i87c	
g75b	46.92	-17.29	-36.02	39.96	244	c20v	
b00r	37.91	1.28	-42.35	42.37	272	c53v	
b25r	23.81	30.38	-52.26	60.45	300	c87v	
b50r	29.52	69.06	-42.14	80.9	329	v68m	
b75r	36.48	71.47	-3.69	71.57	357	m34o	



Ein und Ausgabe: Farbmatisches Drucker-Reflektiv-System FRS09_92a für relativen CIELAB-Bunton $h^* = lab \cdot h^* = h_{ab}/360 = 0.992$

$u^*_e = b75r$

Daten für jede Farbe:

$lab \cdot tch^*$ und $lab \cdot icu^*$

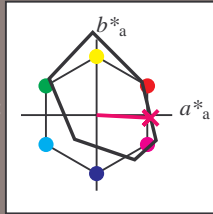
Buntontexte:

$u^*_e = b75r$ $u^*_d = m34o$

Kontrastreduzierungsfaktor:

$c_R = 1.0$

Dreiecks-Helligkeit t^*



FRS09_92; CIELAB-Daten

u^*_e	$L^*=L^*_a$	a^*	b^*	C^*_{ab}	h^*_{ab}
O _M	35.06	60.53	39.66	72.37	33
Y _M	83.77	-4.5	103.15	103.25	92
L _M	44.13	-62.11	43.56	75.86	145
C _M	52.66	-28.56	-36.99	46.73	232
V _M	14.15	50.78	-62.6	80.61	309
M _M	37.37	79.18	-37.93	87.8	334
N _M	8.58	0.46	-3.35	3.38	278
W _M	92.02	0.69	-6.48	6.52	276
R _M	39.92	58.74	27.99	65.07	25
J _M	81.26	-2.89	71.56	71.62	92
G _M	52.23	-42.42	13.6	44.55	162
B _M	30.57	1.41	-46.47	46.49	272

Daten für Maximalfarbe (Ma):

$LAB \cdot LAB^*_Ma: 36 \ 71 \ -4$

$LAB \cdot LCH^*_Ma: 36 \ 72 \ 357$

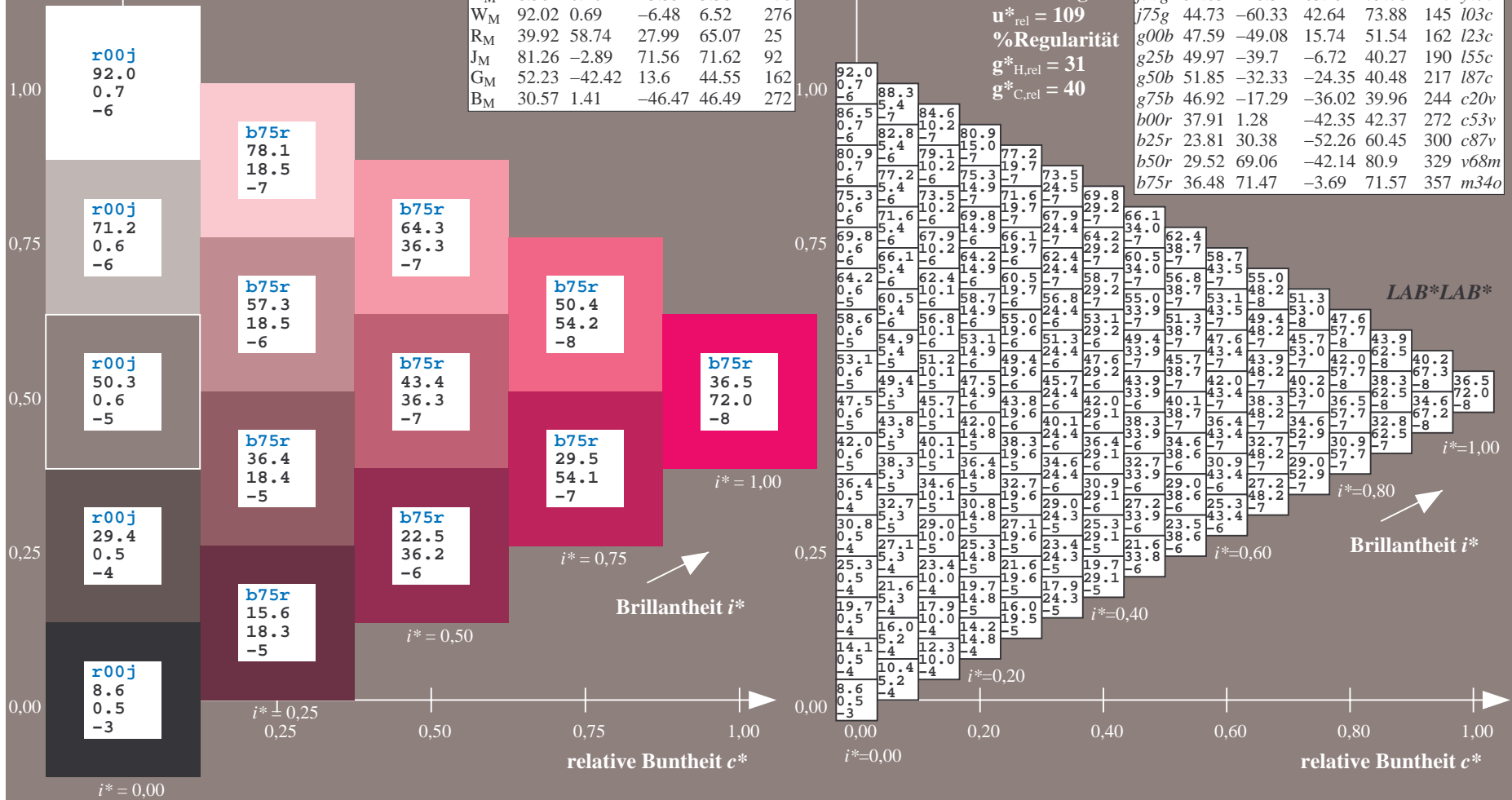
$lab \cdot rgb^*_Ma: 1.0 \ 0.0 \ 0.5$

$lab \cdot olv^*_Ma: 1.0 \ 0.0 \ 0.66$

Dreiecks-Helligkeit t^*

FRS09_92a; adaptierte CIELAB-Daten

u^*_e	$L^*=L^*_a$	a^*_a	b^*_a	$C^*_{ab,a}$	$h^*_{ab,a}$	u^*_d
r00j	35.47	63.32	30.17	70.15	25	m81o
r25j	39.12	54.56	49.45	73.64	42	o10y
r50j	50.64	39.15	64.89	75.79	59	o40y
r75j	64.01	21.26	82.83	85.52	76	o69y
j00g	83.18	-4.38	108.53	108.62	92	o98y
j25g	66.73	-29.89	83.06	88.28	110	y34l
j50g	54.03	-48.31	63.49	79.78	127	y69l
j75g	44.73	-60.33	42.64	73.88	145	i03c
g00b	47.59	-49.08	15.74	51.54	162	i23c
g25b	49.97	-39.7	-6.72	40.27	190	i55c
g50b	51.85	-32.33	-24.35	40.48	217	i87c
g75b	46.92	-17.29	-36.02	39.96	244	c20v
b00r	37.91	1.28	-42.35	42.37	272	c53v
b25r	23.81	30.38	-52.26	60.45	300	c87v
b50r	29.52	69.06	-42.14	80.9	329	v68m
b75r	36.48	71.47	-3.69	71.57	357	m34o



Ein und Ausgabe:
 Farbmetrisches Drucker-Reflektiv-System FRS09_92a

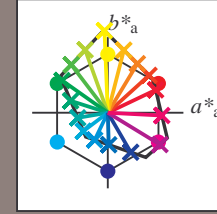
Daten für jede Farbe:
 u^*_e und Nummer $Nr. = 00 \dots 15$

Elementar-Bunttextext:
 $u^*_e = 16$ Bunttoene $r00j, r25j, \dots, b75r$

Kontrastreduzierungsfaktor:
 $c_R = 1.0$

FRS09_92a; adaptierte CIELAB-Daten

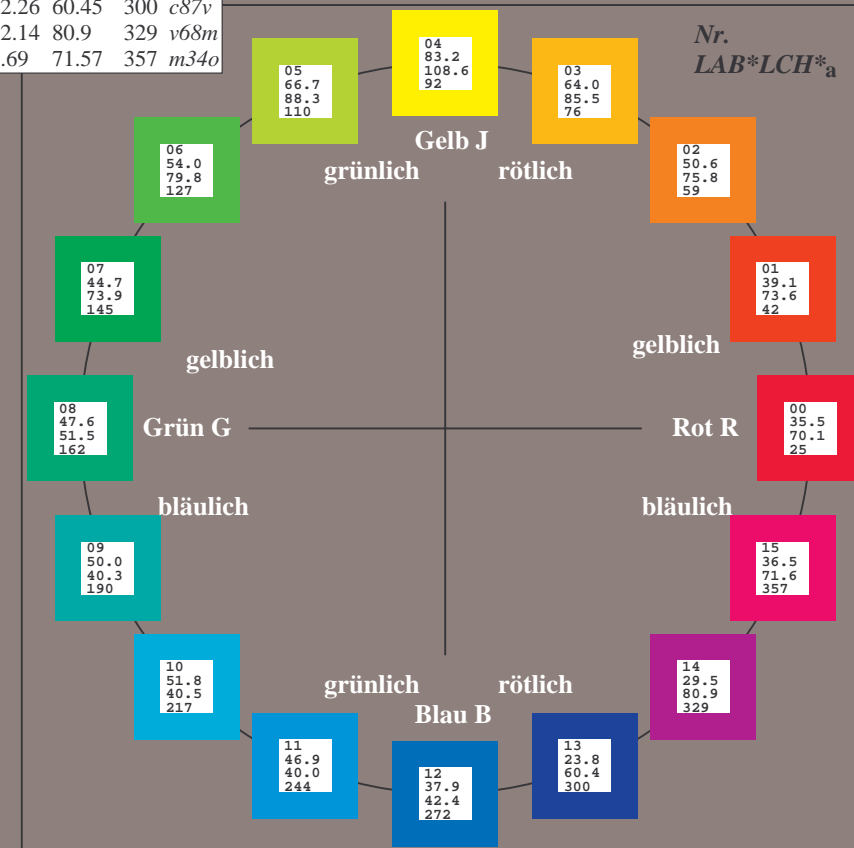
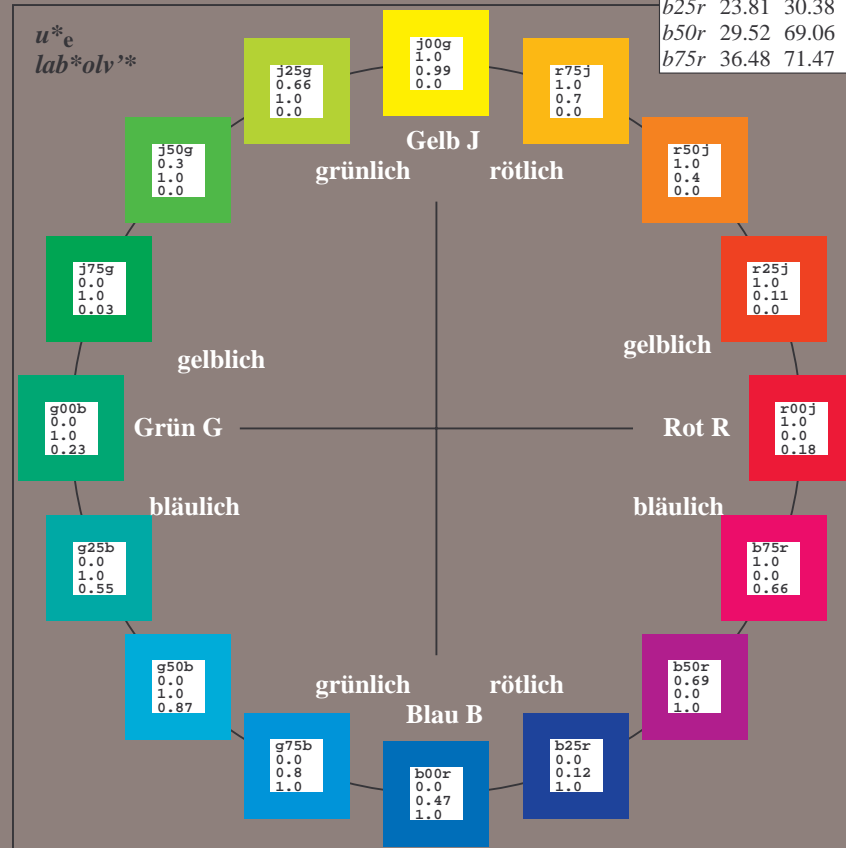
u^*_e	$L^*=L^*_a$	a^*_a	b^*_a	$C^*_{ab,a}$	$h^*_{ab,a}$	u^*_d
r00j	35.47	63.32	30.17	70.15	25	m81o
r25j	39.12	54.56	49.45	73.64	42	o10y
r50j	50.64	39.15	64.89	75.79	59	o40y
r75j	64.01	21.26	82.83	85.52	76	o69y
j00g	83.18	-4.38	108.53	108.62	92	o98y
j25g	66.73	-29.89	83.06	88.28	110	y34l
j50g	54.03	-48.31	63.49	79.78	127	y69l
j75g	44.73	-60.33	42.64	73.88	145	l03c
g00b	47.59	-49.08	15.74	51.54	162	l23c
g25b	49.97	-39.7	-6.72	40.27	190	l55c
g50b	51.85	-32.33	-24.35	40.48	217	l87c
g75b	46.92	-17.29	-36.02	39.96	244	c20v
b00r	37.91	1.28	-42.35	42.37	272	c53v
b25r	23.81	30.38	-52.26	60.45	300	c87v
b50r	29.52	69.06	-42.14	80.9	329	v68m
b75r	36.48	71.47	-3.69	71.57	357	m34o



%Umfang
 $u^*_{rel} = 109$
 %Regularität
 $g^*_{H,rel} = 31$
 $g^*_{C,rel} = 40$

FRS09_92a; CIELAB-Daten

Name	$L^*=L^*$	a^*	b^*	C^*_{ab}	h^*_{ab}
O _M	35.06	60.53	39.66	72.37	33
Y _M	83.77	-4.5	103.15	103.25	92
L _M	44.13	-62.11	43.56	75.86	145
C _M	52.66	-28.56	-36.99	46.73	232
V _M	14.15	50.78	-62.6	80.61	309
M _M	37.37	79.18	-37.93	87.8	334
N _M	8.58	0.46	-3.35	3.38	278
W _M	92.02	0.69	-6.48	6.52	276
R _{CIE}	39.92	58.74	27.99	65.07	25
J _{CIE}	81.26	-2.89	71.56	71.62	92
G _{CIE}	52.23	-42.42	13.6	44.55	162
B _{CIE}	30.57	1.41	-46.47	46.49	272



Ein und Ausgabe: Farbmatisches Drucker-Reflektiv-System FRS09_92a für relativen CIELAB-Bunton $h^* = lab^*h^* = h_{ab}/360 = 0.071$

$u^*_e = r00j$
 lab^*olv^*

Daten für jede Farbe:

lab^*tch^* und lab^*icu^*

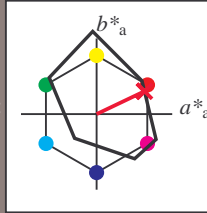
Buntontexte:

$u^*_e = r00j$ $u^*_d = m81o$

Kontrastreduzierungsfaktor:

$c_R = 1.0$

Dreiecks-Helligkeit t^*



FRS09_92a; CIELAB-Daten

	u^*_e	$L^*=L^*_a$	a^*	b^*	C^*_{ab}	h^*_{ab}
O _M	35.06	60.53	39.66	72.37	33	
Y _M	83.77	-4.5	103.15	103.25	92	
L _M	44.13	-62.11	43.56	75.86	145	
C _M	52.66	-28.56	-36.99	46.73	232	
V _M	14.15	50.78	-62.6	80.61	309	
M _M	37.37	79.18	-37.93	87.8	334	
N _M	8.58	0.46	-3.35	3.38	278	
W _M	92.02	0.69	-6.48	6.52	276	
R _M	39.92	58.74	27.99	65.07	25	
J _M	81.26	-2.89	71.56	71.62	92	
G _M	52.23	-42.42	13.6	44.55	162	
B _M	30.57	1.41	-46.47	46.49	272	

Daten für Maximalfarbe (Ma):

$LAB^*LAB^*_{Ma}$: 35 63 30

$LAB^*LCH^*_{Ma}$: 35 70 25

$lab^*rgb^*_{Ma}$: 1.0 0.0 0.0

$lab^*olv^*_{Ma}$: 1.0 0.0 0.18

Dreiecks-Helligkeit t^*

%Umfang

$u^*_{rel} = 109$

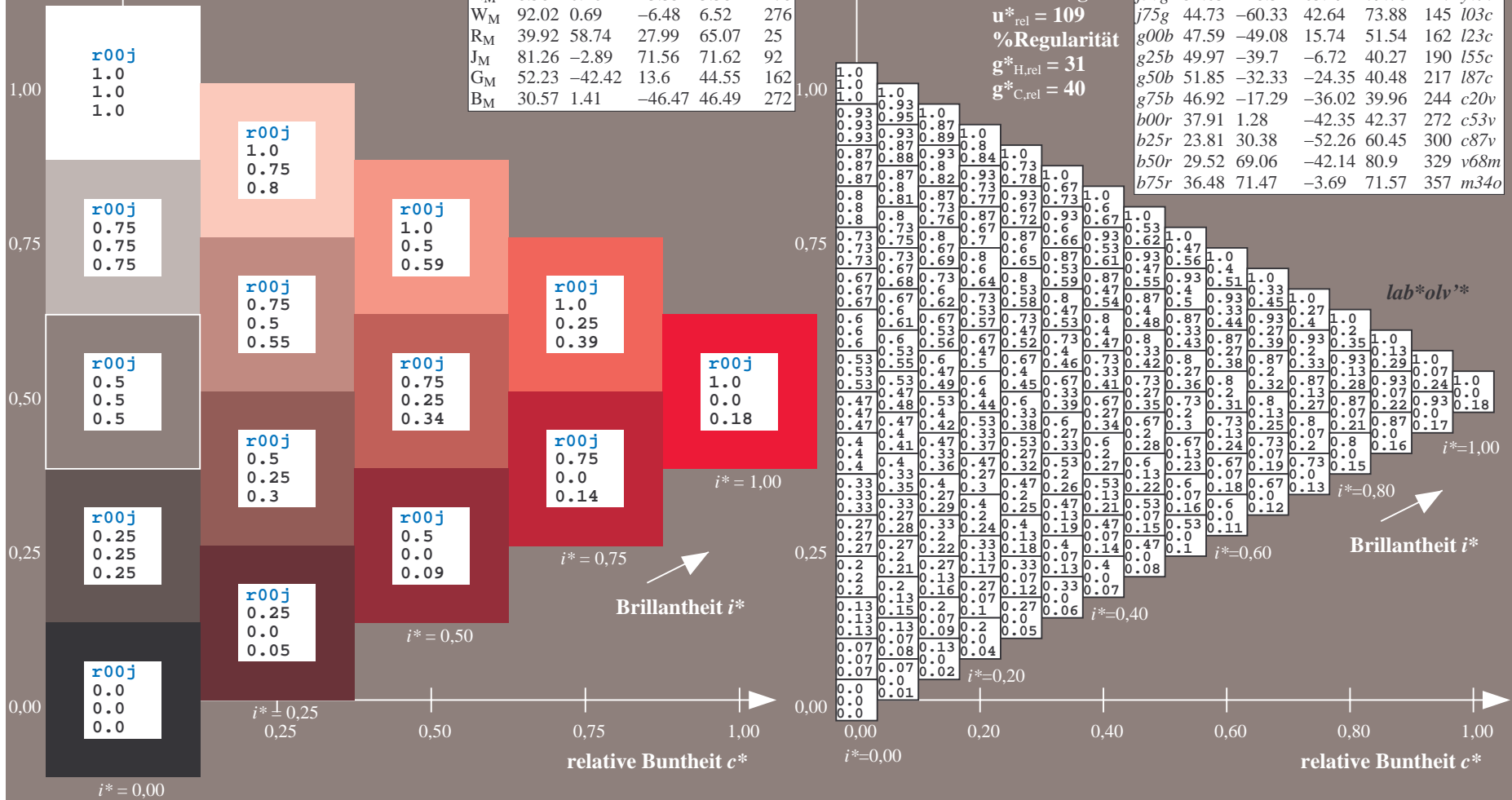
%Regularität

$g^*_{H,rel} = 31$

$g^*_{C,rel} = 40$

FRS09_92a; adaptierte CIELAB-Daten

	u^*_e	$L^*=L^*_a$	a^*_a	b^*_a	$C^*_{ab,a}$	$h^*_{ab,a}$	u^*_d
r00j	35.47	63.32	30.17	70.15	25	m81o	
r25j	39.12	54.56	49.45	73.64	42	o10y	
r50j	50.64	39.15	64.89	75.79	59	o40y	
r75j	64.01	21.26	82.83	85.52	76	o69y	
j00g	83.18	-4.38	108.53	108.62	92	o98y	
j25g	66.73	-29.89	83.06	88.28	110	y34l	
j50g	54.03	-48.31	63.49	79.78	127	y69l	
j75g	44.73	-60.33	42.64	73.88	145	162 i03c	
g00b	47.59	-49.08	15.74	51.54	162	i23c	
g25b	49.97	-39.7	-6.72	40.27	190	i55c	
g50b	51.85	-32.33	-24.35	40.48	217	i87c	
g75b	46.92	-17.29	-36.02	39.96	244	c20v	
b00r	37.91	1.28	-42.35	42.37	272	c53v	
b25r	23.81	30.38	-52.26	60.45	300	c87v	
b50r	29.52	69.06	-42.14	80.9	329	v68m	
b75r	36.48	71.47	-3.69	71.57	357	m34o	



Ein und Ausgabe: Farbmatisches Drucker-Reflektiv-System FRS09_92a für relativen CIELAB-Bunton $h^* = lab^*h^* = h_{ab}/360 = 0.117$

$u^*_e = r25j$
 lab^*olv^*

Daten für jede Farbe:

lab^*tch^* und lab^*icu^*

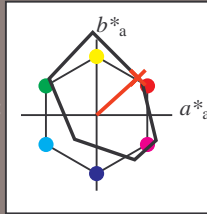
Buntontexte:

$u^*_e = r25j$ $u^*_d = o10y$

Kontrastreduzierungsfaktor:

$c_R = 1.0$

Dreiecks-Helligkeit t^*



FRS09_92a; CIELAB-Daten

	u^*_e	$L^*=L^*_a$	a^*	b^*	C^*_{ab}	h^*_{ab}
O _M	35.06	60.53	39.66	72.37	33	
Y _M	83.77	-4.5	103.15	103.25	92	
L _M	44.13	-62.11	43.56	75.86	145	
C _M	52.66	-28.56	-36.99	46.73	232	
V _M	14.15	50.78	-62.6	80.61	309	
M _M	37.37	79.18	-37.93	87.8	334	
N _M	8.58	0.46	-3.35	3.38	278	
W _M	92.02	0.69	-6.48	6.52	276	
R _M	39.92	58.74	27.99	65.07	25	
J _M	81.26	-2.89	71.56	71.62	92	
G _M	52.23	-42.42	13.6	44.55	162	
B _M	30.57	1.41	-46.47	46.49	272	

Daten für Maximalfarbe (Ma):

$LAB^*LAB^*_{Ma}$: 39 55 49

$LAB^*LCH^*_{Ma}$: 39 74 42

$lab^*rgb^*_{Ma}$: 1.0 0.25 0.0

$lab^*olv^*_{Ma}$: 1.0 0.11 0.0

Dreiecks-Helligkeit t^*

%Umfang

$u^*_{rel} = 109$

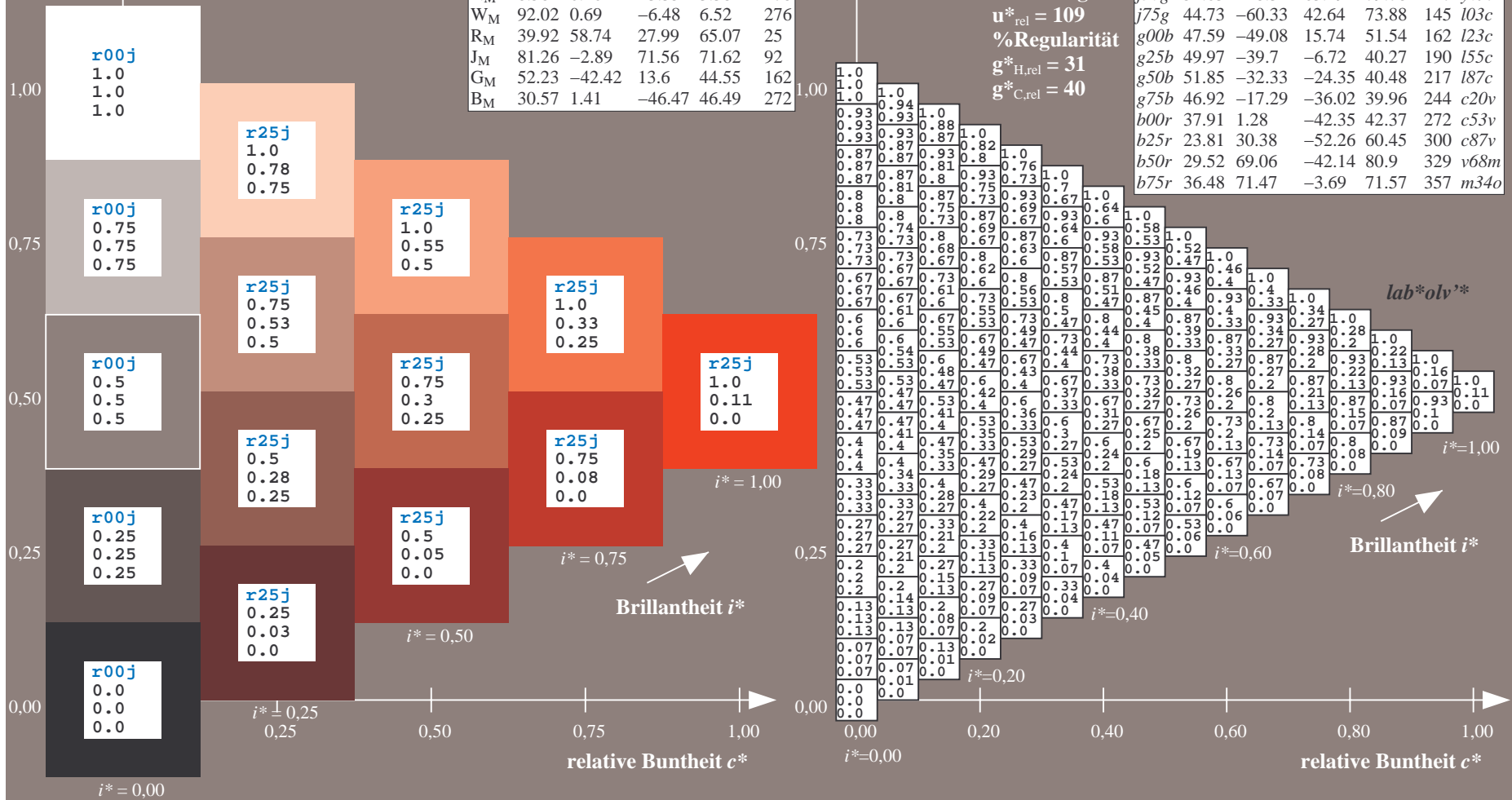
%Regularität

$g^*_{H,rel} = 31$

$g^*_{C,rel} = 40$

FRS09_92a; adaptierte CIELAB-Daten

	u^*_e	$L^*=L^*_a$	a^*_a	b^*_a	$C^*_{ab,a}$	$h^*_{ab,a}$	u^*_d
r00j	35.47	63.32	30.17	70.15	25	m81o	
r25j	39.12	54.56	49.45	73.64	42	o10y	
r50j	50.64	39.15	64.89	75.79	59	o40y	
r75j	64.01	21.26	82.83	85.52	76	o69y	
j00g	83.18	-4.38	108.53	108.62	92	o98y	
j25g	66.73	-29.89	83.06	88.28	110	y34l	
j50g	54.03	-48.31	63.49	79.78	127	y69l	
j75g	44.73	-60.33	42.64	73.88	145	i03c	
g00b	47.59	-49.08	15.74	51.54	162	l23c	
g25b	49.97	-39.7	-6.72	40.27	190	i55c	
g50b	51.85	-32.33	-24.35	40.48	217	i87c	
g75b	46.92	-17.29	-36.02	39.96	244	c20v	
b00r	37.91	1.28	-42.35	42.37	272	c53v	
b25r	23.81	30.38	-52.26	60.45	300	c87v	
b50r	29.52	69.06	-42.14	80.9	329	v68m	
b75r	36.48	71.47	-3.69	71.57	357	m34o	



Ein und Ausgabe: Farbmatisches Drucker-Reflektiv-System FRS09_92a für relativen CIELAB-Bunton $h^* = lab^*h^* = h_{ab}/360 = 0.164$

$u^*_e = r50j$
 lab^*olv^*

Daten für jede Farbe:

lab^*tch^* und lab^*icu^*

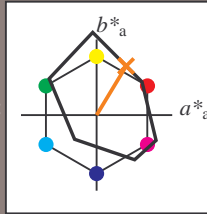
Buntontexte:

$u^*_e = r50j$ $u^*_d = o40y$

Kontrastreduzierungsfaktor:

$c_R = 1.0$

Dreiecks-Helligkeit t^*



FRS09_92a; CIELAB-Daten

	u^*_e	$L^*=L^*_a$	a^*	b^*	C^*_{ab}	h^*_{ab}
O _M	35.06	60.53	39.66	72.37	33	
Y _M	83.77	-4.5	103.15	103.25	92	
L _M	44.13	-62.11	43.56	75.86	145	
C _M	52.66	-28.56	-36.99	46.73	232	
V _M	14.15	50.78	-62.6	80.61	309	
M _M	37.37	79.18	-37.93	87.8	334	
N _M	8.58	0.46	-3.35	3.38	278	
W _M	92.02	0.69	-6.48	6.52	276	
R _M	39.92	58.74	27.99	65.07	25	
J _M	81.26	-2.89	71.56	71.62	92	
G _M	52.23	-42.42	13.6	44.55	162	
B _M	30.57	1.41	-46.47	46.49	272	

Daten für Maximalfarbe (Ma):

$LAB^*LAB^*_Ma: 51\ 39\ 65$

$LAB^*LCH^*_Ma: 51\ 76\ 58$

$lab^*rgb^*_Ma: 1.0\ 0.5\ 0.0$

$lab^*olv^*_Ma: 1.0\ 0.4\ 0.0$

Dreiecks-Helligkeit t^*

%Umfang

$u^*_{rel} = 109$

%Regularität

$g^*_{H,rel} = 31$

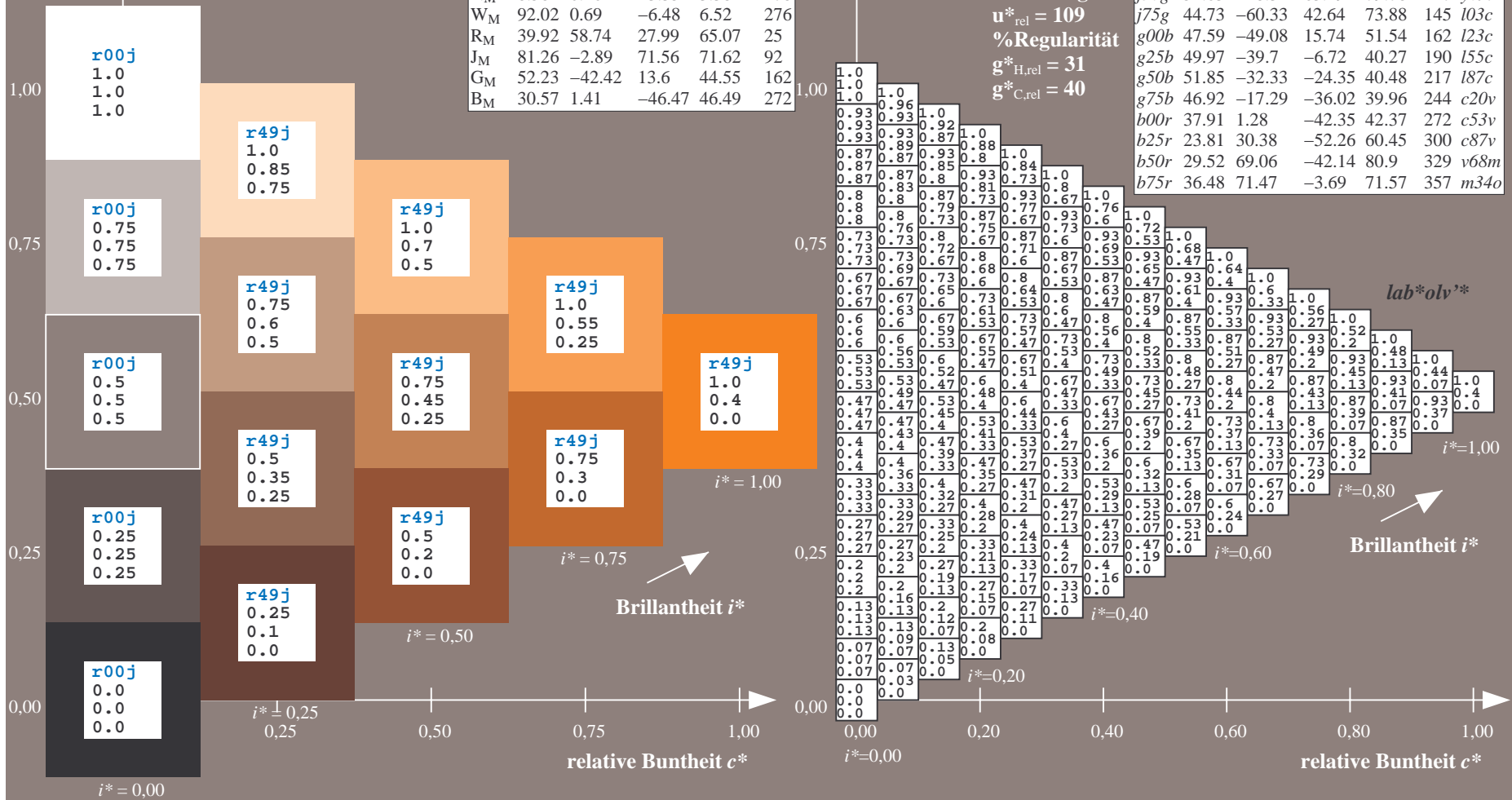
$g^*_{C,rel} = 40$

FRS09_92a; adaptierte CIELAB-Daten

	u^*_e	$L^*=L^*_a$	a^*_a	b^*_a	$C^*_{ab,a}$	$h^*_{ab,a}$	u^*_d
r00j	35.47	63.32	30.17	70.15	25	m81o	
r25j	39.12	54.56	49.45	73.64	42	o10y	
r50j	50.64	39.15	64.89	75.79	59	o40y	
r75j	64.01	21.26	82.83	85.52	76	o69y	
j00g	83.18	-4.38	108.53	108.62	92	o98y	
j25g	66.73	-29.89	83.06	88.28	110	y34l	
j50g	54.03	-48.31	63.49	79.78	127	y69l	
j75g	44.73	-60.33	42.64	73.88	145	l23c	
g00b	47.59	-49.08	15.74	51.54	162	l23c	
g25b	49.97	-39.7	-6.72	40.27	190	l55c	
g50b	51.85	-32.33	-24.35	40.48	217	l87c	
g75b	46.92	-17.29	-36.02	39.96	244	c20v	
b00r	37.91	1.28	-42.35	42.37	272	c53v	
b25r	23.81	30.38	-52.26	60.45	300	c87v	
b50r	29.52	69.06	-42.14	80.9	329	v68m	
b75r	36.48	71.47	-3.69	71.57	357	m34o	

lab^*olv^*

Brillantheit i^*



Ein und Ausgabe: Farbmatisches Drucker-Reflektiv-System FRS09_92a für relativen CIELAB-Bunton $h^* = lab^*h^* = h_{ab}/360 = 0.21$

$u^*_e = r75j$
 lab^*olv^*

Daten für jede Farbe:

lab^*tch^* und lab^*icu^*

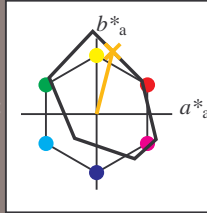
Buntontexte:

$u^*_e = r75j$ $u^*_d = o69y$

Kontrastreduzierungsfaktor:

$c_R = 1.0$

Dreiecks-Helligkeit t^*



FRS09_92a; CIELAB-Daten

u^*_e	$L^*=L^*$	a^*	b^*	C^*_{ab}	h^*_{ab}
O _M	35.06	60.53	39.66	72.37	33
Y _M	83.77	-4.5	103.15	103.25	92
L _M	44.13	-62.11	43.56	75.86	145
C _M	52.66	-28.56	-36.99	46.73	232
V _M	14.15	50.78	-62.6	80.61	309
M _M	37.37	79.18	-37.93	87.8	334
N _M	8.58	0.46	-3.35	3.38	278
W _M	92.02	0.69	-6.48	6.52	276
R _M	39.92	58.74	27.99	65.07	25
J _M	81.26	-2.89	71.56	71.62	92
G _M	52.23	-42.42	13.6	44.55	162
B _M	30.57	1.41	-46.47	46.49	272

Daten für Maximalfarbe (Ma):

$LAB^*LAB^*_{Ma}$: 64 21 83

$LAB^*LCH^*_{Ma}$: 64 86 75

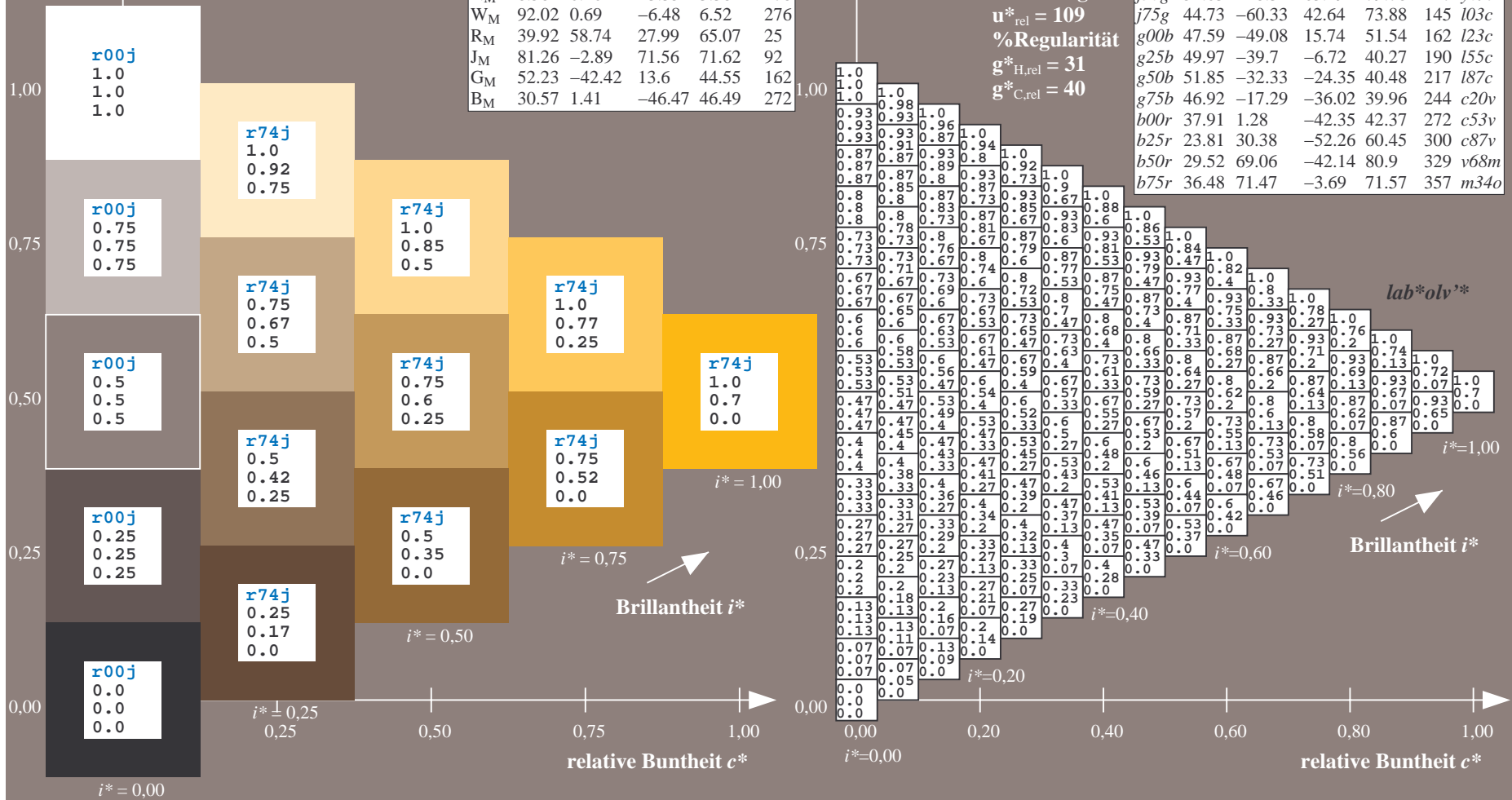
$lab^*rgb^*_{Ma}$: 1.0 0.75 0.0

$lab^*olv^*_{Ma}$: 1.0 0.7 0.0

Dreiecks-Helligkeit t^*

FRS09_92a; adaptierte CIELAB-Daten

u^*_e	$L^*=L^*_a$	a^*_a	b^*_a	$C^*_{ab,a}$	$h^*_{ab,a}$	u^*_d
r00j	35.47	63.32	30.17	70.15	25	m81o
r25j	39.12	54.56	49.45	73.64	42	o10y
r50j	50.64	39.15	64.89	75.79	59	o40y
r75j	64.01	21.26	82.83	85.52	76	o69y
j00g	83.18	-4.38	108.53	108.62	92	o98y
j25g	66.73	-29.89	83.06	88.28	110	y34l
j50g	54.03	-48.31	63.49	79.78	127	y69l
j75g	44.73	-60.33	42.64	73.88	145	123c
g00b	47.59	-49.08	15.74	51.54	162	l23c
g25b	49.97	-39.7	-6.72	40.27	190	l55c
g50b	51.85	-32.33	-24.35	40.48	217	l87c
g75b	46.92	-17.29	-36.02	39.96	244	c20v
b00r	37.91	1.28	-42.35	42.37	272	c53v
b25r	23.81	30.38	-52.26	60.45	300	c87v
b50r	29.52	69.06	-42.14	80.9	329	v68m
b75r	36.48	71.47	-3.69	71.57	357	m34o



Ein und Ausgabe: Farbmatisches Drucker-Reflektiv-System FRS09_92a für relativen CIELAB-Bunton $h^* = lab^*h^* = h_{ab}/360 = 0.256$

$u^*_e = j00g$
 lab^*olv^*

Daten für jede Farbe:

lab^*tch^* und lab^*icu^*

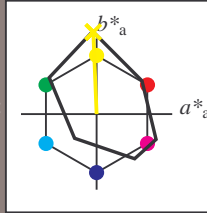
Buntontexte:

$u^*_e = j00g$ $u^*_d = o98y$

Kontrastreduzierungsfaktor:

$c_R = 1.0$

Dreiecks-Helligkeit t^*



FRS09_92a; CIELAB-Daten

u^*_e	$L^*=L^*_a$	a^*_a	b^*_a	C^*_{ab}	h^*_{ab}
O _M	35.06	60.53	39.66	72.37	33
Y _M	83.77	-4.5	103.15	103.25	92
L _M	44.13	-62.11	43.56	75.86	145
C _M	52.66	-28.56	-36.99	46.73	232
V _M	14.15	50.78	-62.6	80.61	309
M _M	37.37	79.18	-37.93	87.8	334
N _M	8.58	0.46	-3.35	3.38	278
W _M	92.02	0.69	-6.48	6.52	276
R _M	39.92	58.74	27.99	65.07	25
J _M	81.26	-2.89	71.56	71.62	92
G _M	52.23	-42.42	13.6	44.55	162
B _M	30.57	1.41	-46.47	46.49	272

Daten für Maximalfarbe (Ma):

$LAB^*LAB^*_Ma: 83 -4 109$

$LAB^*LCH^*_Ma: 83 109 92$

$lab^*rgb^*_Ma: 1.0 1.0 0.0$

$lab^*olv^*_Ma: 1.0 0.99 0.0$

Dreiecks-Helligkeit t^*

%Umfang

$u^*_{rel} = 109$

%Regularität

$g^*_{H,rel} = 31$

$g^*_{C,rel} = 40$

FRS09_92a; adaptierte CIELAB-Daten

u^*_e	$L^*=L^*_a$	a^*_a	b^*_a	$C^*_{ab,a}$	$h^*_{ab,a}$	u^*_d
r00j	35.47	63.32	30.17	70.15	25	m81o
r25j	39.12	54.56	49.45	73.64	42	o10y
r50j	50.64	39.15	64.89	75.79	59	o40y
r75j	64.01	21.26	82.83	85.52	76	o69y
j00g	83.18	-4.38	108.53	108.62	92	o98y
j25g	66.73	-29.89	83.06	88.28	110	y34l
j50g	54.03	-48.31	63.49	79.78	127	y69l
j75g	44.73	-60.33	42.64	73.88	145	l03c
g00b	47.59	-49.08	15.74	51.54	162	i23c
g25b	49.97	-39.7	-6.72	40.27	190	i55c
g50b	51.85	-32.33	-24.35	40.48	217	i87c
g75b	46.92	-17.29	-36.02	39.96	244	c20v
b00r	37.91	1.28	-42.35	42.37	272	c53v
b25r	23.81	30.38	-52.26	60.45	300	c87v
b50r	29.52	69.06	-42.14	80.9	329	v68m
b75r	36.48	71.47	-3.69	71.57	357	m34o

lab^*olv^*

$i^* = 1.00$

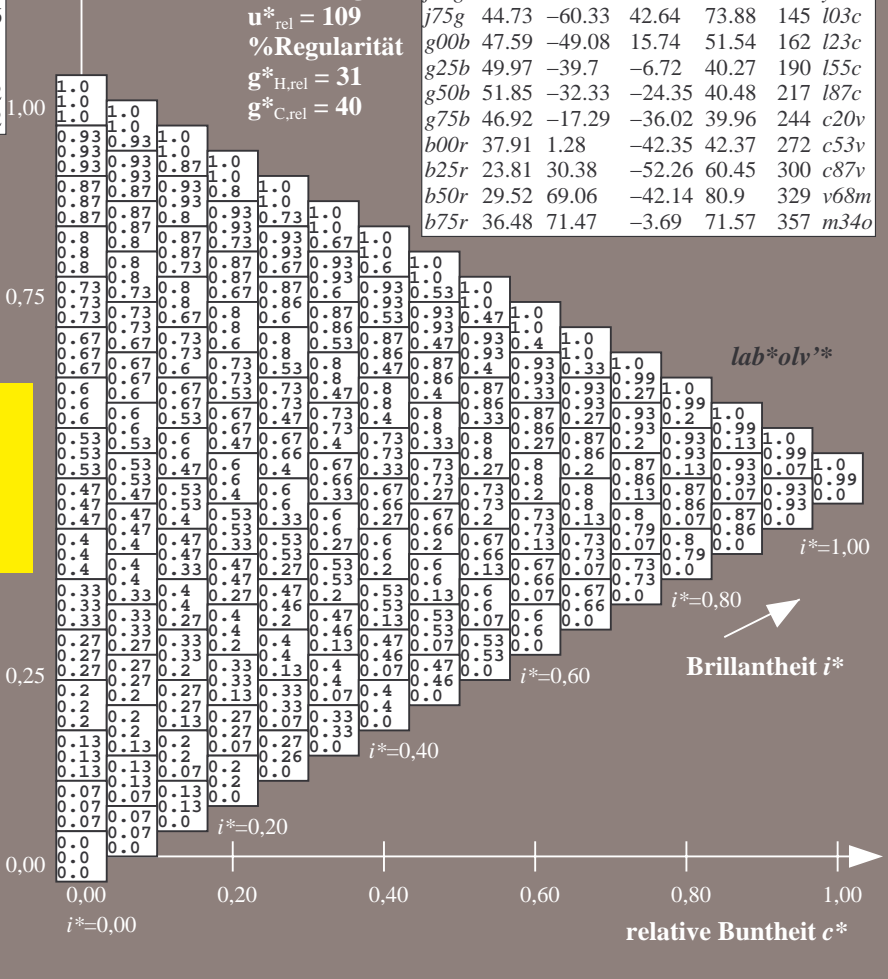
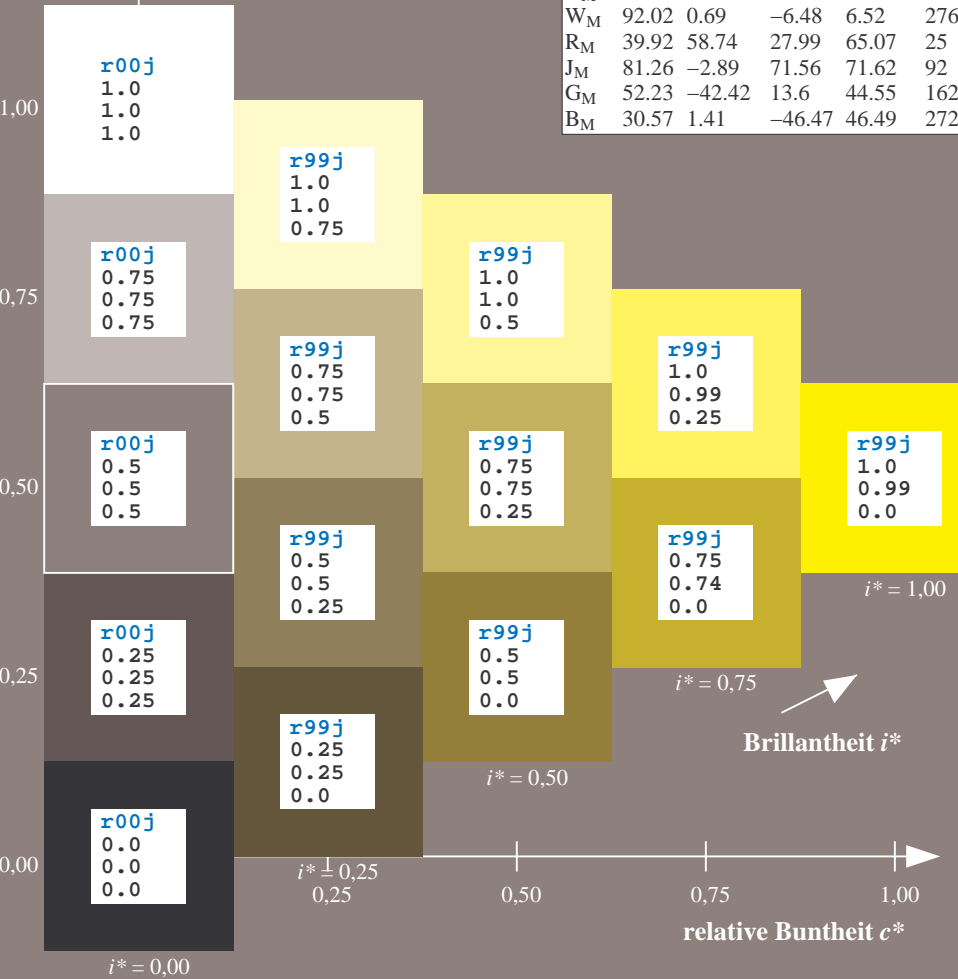
Brillantheit i^*

$i^* = 0.80$

$i^* = 0.40$

$i^* = 0.20$

$i^* = 0.00$



Ein und Ausgabe: Farbmatisches Drucker-Reflektiv-System FRS09_92a für relativen CIELAB-Bunton $h^* = lab^*h^* = h_{ab}/360 = 0.305$

$u^*_e = j25g$
 lab^*olv^*

Daten für jede Farbe:

lab^*tch^* und lab^*icu^*

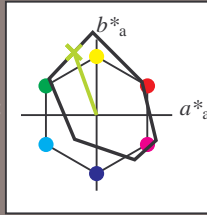
Buntontexte:

$u^*_e = j25g$ $u^*_d = y34l$

Kontrastreduzierungsfaktor:

$c_R = 1.0$

Dreiecks-Helligkeit t^*



FRS09_92a; CIELAB-Daten

u^*_e	$L^*=L^*_a$	a^*_a	b^*_a	C^*_{ab}	h^*_{ab}
O _M	35.06	60.53	39.66	72.37	33
Y _M	83.77	-4.5	103.15	103.25	92
L _M	44.13	-62.11	43.56	75.86	145
C _M	52.66	-28.56	-36.99	46.73	232
V _M	14.15	50.78	-62.6	80.61	309
M _M	37.37	79.18	-37.93	87.8	334
N _M	8.58	0.46	-3.35	3.38	278
W _M	92.02	0.69	-6.48	6.52	276
R _M	39.92	58.74	27.99	65.07	25
J _M	81.26	-2.89	71.56	71.62	92
G _M	52.23	-42.42	13.6	44.55	162
B _M	30.57	1.41	-46.47	46.49	272

Daten für Maximalfarbe (Ma):

$LAB^*LAB^*_Ma: 67 -30 83$

$LAB^*LCH^*_Ma: 67 88 109$

$lab^*rgb^*_Ma: 0.75 1.0 0.0$

$lab^*olv^*_Ma: 0.66 1.0 0.0$

Dreiecks-Helligkeit t^*

%Umfang

$u^*_{rel} = 109$

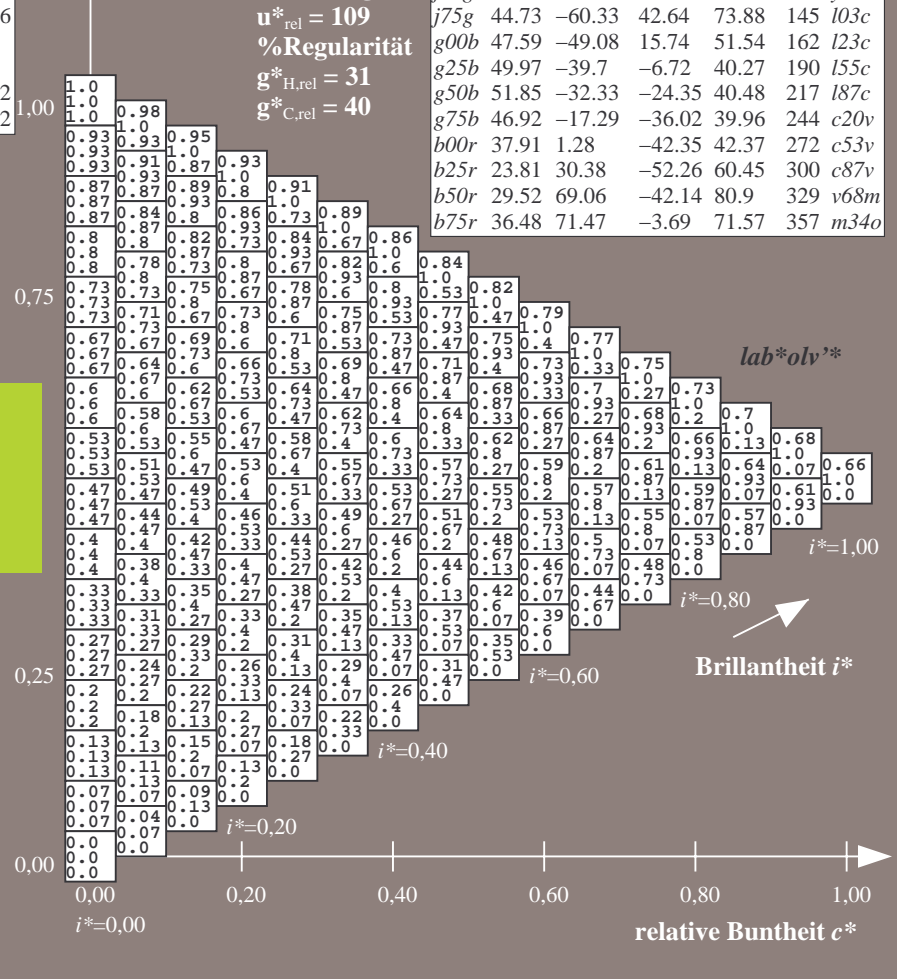
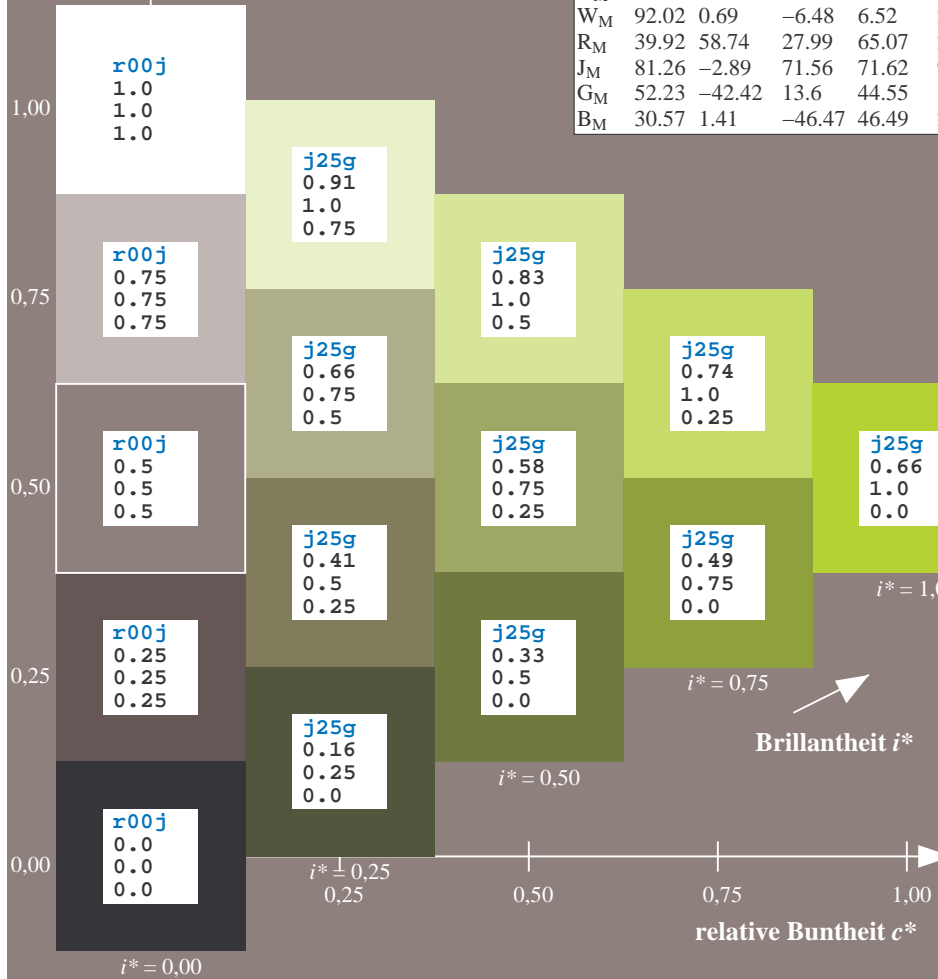
%Regularität

$g^*_{H,rel} = 31$

$g^*_{C,rel} = 40$

FRS09_92a; adaptierte CIELAB-Daten

u^*_e	$L^*=L^*_a$	a^*_a	b^*_a	$C^*_{ab,a}$	$h^*_{ab,a}$	u^*_d
r00j	35.47	63.32	30.17	70.15	25	m81o
r25j	39.12	54.56	49.45	73.64	42	o10y
r50j	50.64	39.15	64.89	75.79	59	o40y
r75j	64.01	21.26	82.83	85.52	76	o69y
j00g	83.18	-4.38	108.53	108.62	92	o98y
j25g	66.73	-29.89	83.06	88.28	110	y34l
j50g	54.03	-48.31	63.49	79.78	127	y69l
j75g	44.73	-60.33	42.64	73.88	145	i03c
g00b	47.59	-49.08	15.74	51.54	162	l23c
g25b	49.97	-39.7	-6.72	40.27	190	i55c
g50b	51.85	-32.33	-24.35	40.48	217	i87c
g75b	46.92	-17.29	-36.02	39.96	244	c20v
b00r	37.91	1.28	-42.35	42.37	272	c53v
b25r	23.81	30.38	-52.26	60.45	300	c87v
b50r	29.52	69.06	-42.14	80.9	329	v68m
b75r	36.48	71.47	-3.69	71.57	357	m34o



Ein und Ausgabe: Farbmatisches Drucker-Reflektiv-System FRS09_92a für relativen CIELAB-Bunton $h^* = \text{lab}^*h^* = h_{ab}/360 = 0.354$

$u^*_e = j50g$
 lab^*olv^*

Daten für jede Farbe:

lab^*tch^* und lab^*icu^*

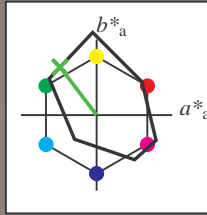
Buntontexte:

$u^*_e = j50g$ $u^*_d = y69l$

Kontrastreduzierungsfaktor:

$c_R = 1.0$

Dreiecks-Helligkeit t^*



FRS09_92a; CIELAB-Daten

u^*_e	$L^*=L^*$	a^*	b^*	C^*_{ab}	h^*_{ab}
O _M	35.06	60.53	39.66	72.37	33
Y _M	83.77	-4.5	103.15	103.25	92
L _M	44.13	-62.11	43.56	75.86	145
C _M	52.66	-28.56	-36.99	46.73	232
V _M	14.15	50.78	-62.6	80.61	309
M _M	37.37	79.18	-37.93	87.8	334
N _M	8.58	0.46	-3.35	3.38	278
W _M	92.02	0.69	-6.48	6.52	276
R _M	39.92	58.74	27.99	65.07	25
J _M	81.26	-2.89	71.56	71.62	92
G _M	52.23	-42.42	13.6	44.55	162
B _M	30.57	1.41	-46.47	46.49	272

Daten für Maximalfarbe (Ma):

$\text{LAB}^*\text{LAB}^*_{Ma}: 54 -48 63$

$\text{LAB}^*\text{LCH}^*_{Ma}: 54 80 127$

$\text{lab}^*\text{rgb}^*_{Ma}: 0.5 1.0 0.0$

$\text{lab}^*\text{olv}^*_{Ma}: 0.3 1.0 0.0$

Dreiecks-Helligkeit t^*

%Umfang

$u^*_{rel} = 109$

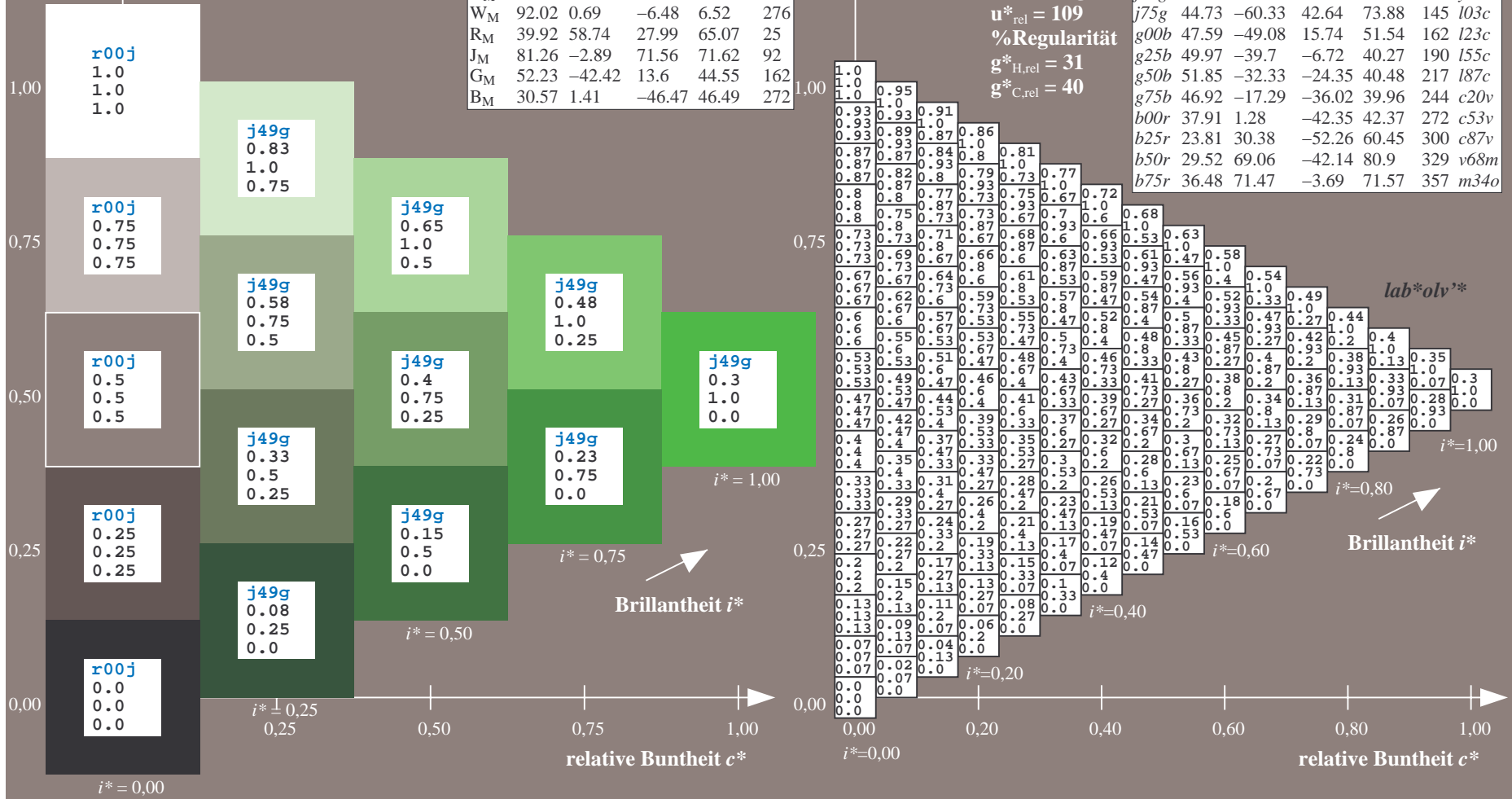
%Regularität

$g^*_{H,rel} = 31$

$g^*_{C,rel} = 40$

FRS09_92a; adaptierte CIELAB-Daten

u^*_e	$L^*=L^*_a$	a^*_a	b^*_a	$C^*_{ab,a}$	$h^*_{ab,a}$	u^*_d
r00j	35.47	63.32	30.17	70.15	25	m81o
r25j	39.12	54.56	49.45	73.64	42	o10y
r50j	50.64	39.15	64.89	75.79	59	o40y
r75j	64.01	21.26	82.83	85.52	76	o69y
j00g	83.18	-4.38	108.53	108.62	92	o98y
j25g	66.73	-29.89	83.06	88.28	110	y34l
j50g	54.03	-48.31	63.49	79.78	127	y69l
j75g	44.73	-60.33	42.64	73.88	145	i03c
g00b	47.59	-49.08	15.74	51.54	162	l23c
g25b	49.97	-39.7	-6.72	40.27	190	i55c
g50b	51.85	-32.33	-24.35	40.48	217	i87c
g75b	46.92	-17.29	-36.02	39.96	244	c20v
b00r	37.91	1.28	-42.35	42.37	272	c53v
b25r	23.81	30.38	-52.26	60.45	300	c87v
b50r	29.52	69.06	-42.14	80.9	329	v68m
b75r	36.48	71.47	-3.69	71.57	357	m34o



Ein und Ausgabe: Farbmatisches Drucker-Reflektiv-System FRS09_92a für relativen CIELAB-Bunton $h^* = lab^*h^* = h_{ab}/360 = 0.402$

$u^*_e = j75g$
 lab^*olv^*

Daten für jede Farbe:

lab^*tch^* und lab^*icu^*

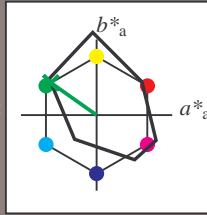
Buntontexte:

$u^*_e = j75g$ $u^*_d = l03c$

Kontrastreduzierungsfaktor:

$c_R = 1.0$

Dreiecks-Helligkeit t^*



FRS09_92a; CIELAB-Daten

u^*_e	$L^*=L^*_a$	a^*	b^*	C^*_{ab}	h^*_{ab}
O _M	35.06	60.53	39.66	72.37	33
Y _M	83.77	-4.5	103.15	103.25	92
L _M	44.13	-62.11	43.56	75.86	145
C _M	52.66	-28.56	-36.99	46.73	232
V _M	14.15	50.78	-62.6	80.61	309
M _M	37.37	79.18	-37.93	87.8	334
N _M	8.58	0.46	-3.35	3.38	278
W _M	92.02	0.69	-6.48	6.52	276
R _M	39.92	58.74	27.99	65.07	25
J _M	81.26	-2.89	71.56	71.62	92
G _M	52.23	-42.42	13.6	44.55	162
B _M	30.57	1.41	-46.47	46.49	272

Daten für Maximalfarbe (Ma):

$LAB^*LAB^*_Ma: 45 -60 43$

$LAB^*LCH^*_Ma: 45 74 144$

$lab^*rgb^*_Ma: 0.25 1.0 0.0$

$lab^*olv^*_Ma: 0.0 1.0 0.03$

Dreiecks-Helligkeit t^*

%Umfang

$u^*_{rel} = 109$

%Regularität

$g^*_{H,rel} = 31$

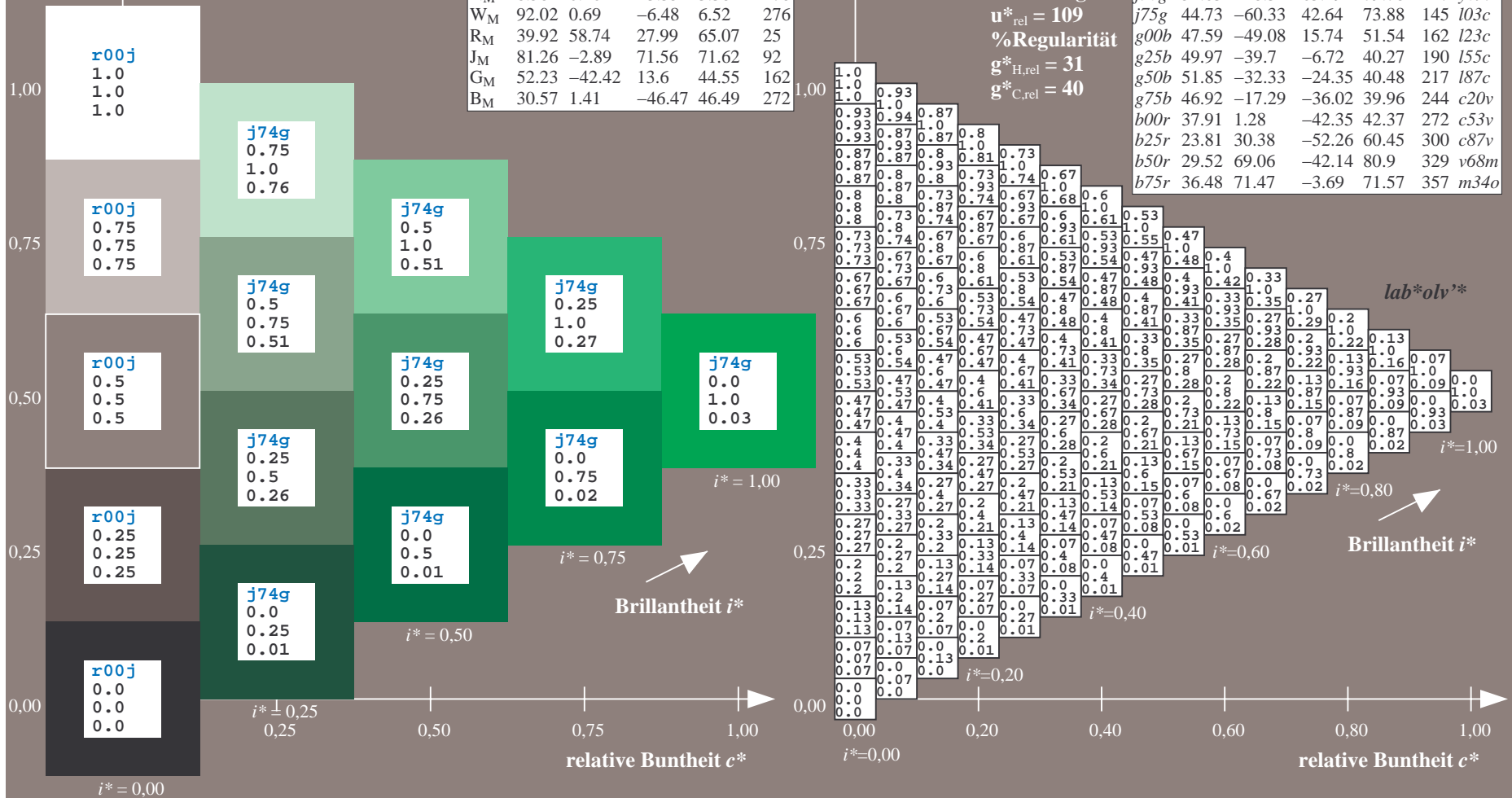
$g^*_{C,rel} = 40$

FRS09_92a; adaptierte CIELAB-Daten

u^*_e	$L^*=L^*_a$	a^*_a	b^*_a	$C^*_{ab,a}$	$h^*_{ab,a}$	u^*_d
r00j	35.47	63.32	30.17	70.15	25	m81o
r25j	39.12	54.56	49.45	73.64	42	o10y
r50j	50.64	39.15	64.89	75.79	59	o40y
r75j	64.01	21.26	82.83	85.52	76	o69y
j00g	83.18	-4.38	108.53	108.62	92	o98y
j25g	66.73	-29.89	83.06	88.28	110	y34l
j50g	54.03	-48.31	63.49	79.78	127	y69l
j75g	44.73	-60.33	42.64	73.88	145	l03c
g00b	47.59	-49.08	15.74	51.54	162	i23c
g25b	49.97	-39.7	-6.72	40.27	190	i55c
g50b	51.85	-32.33	-24.35	40.48	217	i87c
g75b	46.92	-17.29	-36.02	39.96	244	c20v
b00r	37.91	1.28	-42.35	42.37	272	c53v
b25r	23.81	30.38	-52.26	60.45	300	c87v
b50r	29.52	69.06	-42.14	80.9	329	v68m
b75r	36.48	71.47	-3.69	71.57	357	m34o

lab^*olv^*

Brillantheit i^*



Ein und Ausgabe: Farbmatisches Drucker-Reflektiv-System FRS09_92a für relativen CIELAB-Bunton $h^* = lab^*h^* = h_{ab}/360 = 0.451$

$u^*_e = g00b$

Daten für jede Farbe:

lab^*ch^* und lab^*icu^*

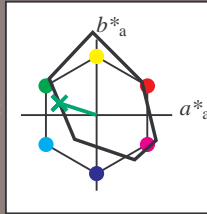
Buntontexte:

$u^*_e = g00b$ $u^*_d = l23c$

Kontrastreduzierungsfaktor:

$c_R = 1.0$

Dreiecks-Helligkeit t^*



FRS09_92a; CIELAB-Daten

u^*_e	$L^*=L^*$	a^*	b^*	C^*_{ab}	h^*_{ab}
O _M	35.06	60.53	39.66	72.37	33
Y _M	83.77	-4.5	103.15	103.25	92
L _M	44.13	-62.11	43.56	75.86	145
C _M	52.66	-28.56	-36.99	46.73	232
V _M	14.15	50.78	-62.6	80.61	309
M _M	37.37	79.18	-37.93	87.8	334
N _M	8.58	0.46	-3.35	3.38	278
W _M	92.02	0.69	-6.48	6.52	276
R _M	39.92	58.74	27.99	65.07	25
J _M	81.26	-2.89	71.56	71.62	92
G _M	52.23	-42.42	13.6	44.55	162
B _M	30.57	1.41	-46.47	46.49	272

Daten für Maximalfarbe (Ma):

$LAB^*LAB^*_{Ma}: 48 -49 16$

$LAB^*LCH^*_{Ma}: 48 52 162$

$lab^*rgb^*_{Ma}: 0.0 1.0 0.0$

$lab^*olv^*_{Ma}: 0.0 1.0 0.23$

Dreiecks-Helligkeit t^*

%Umfang

$u^*_{rel} = 109$

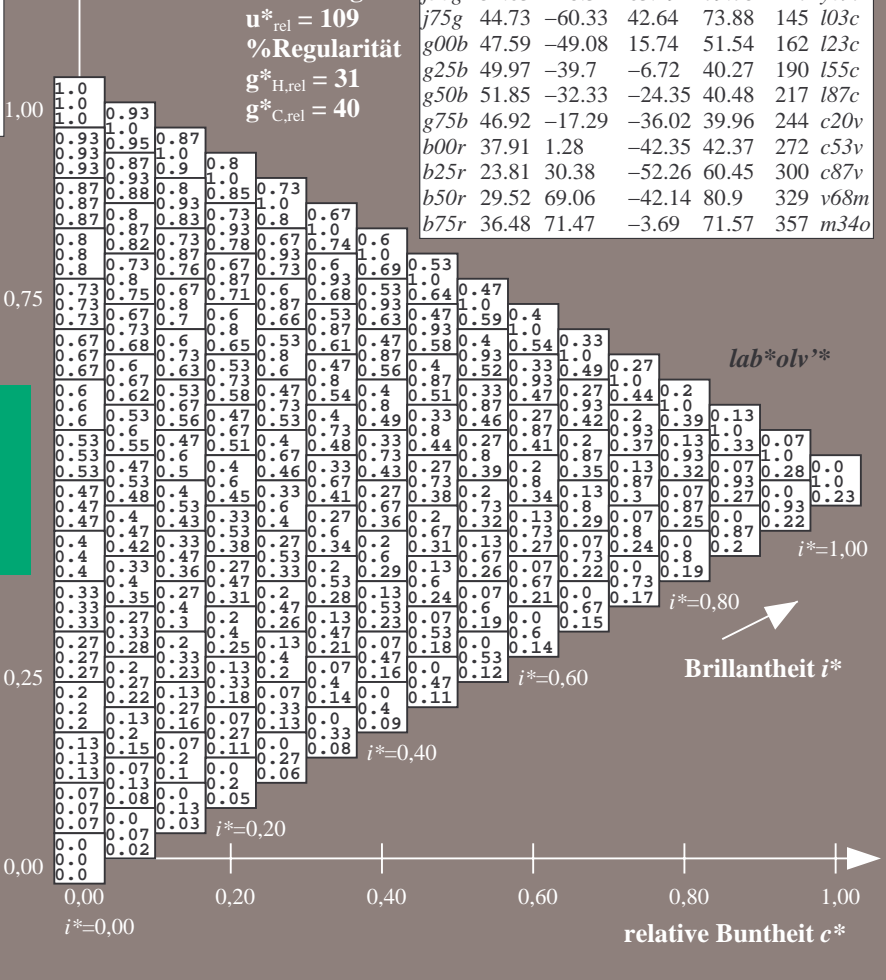
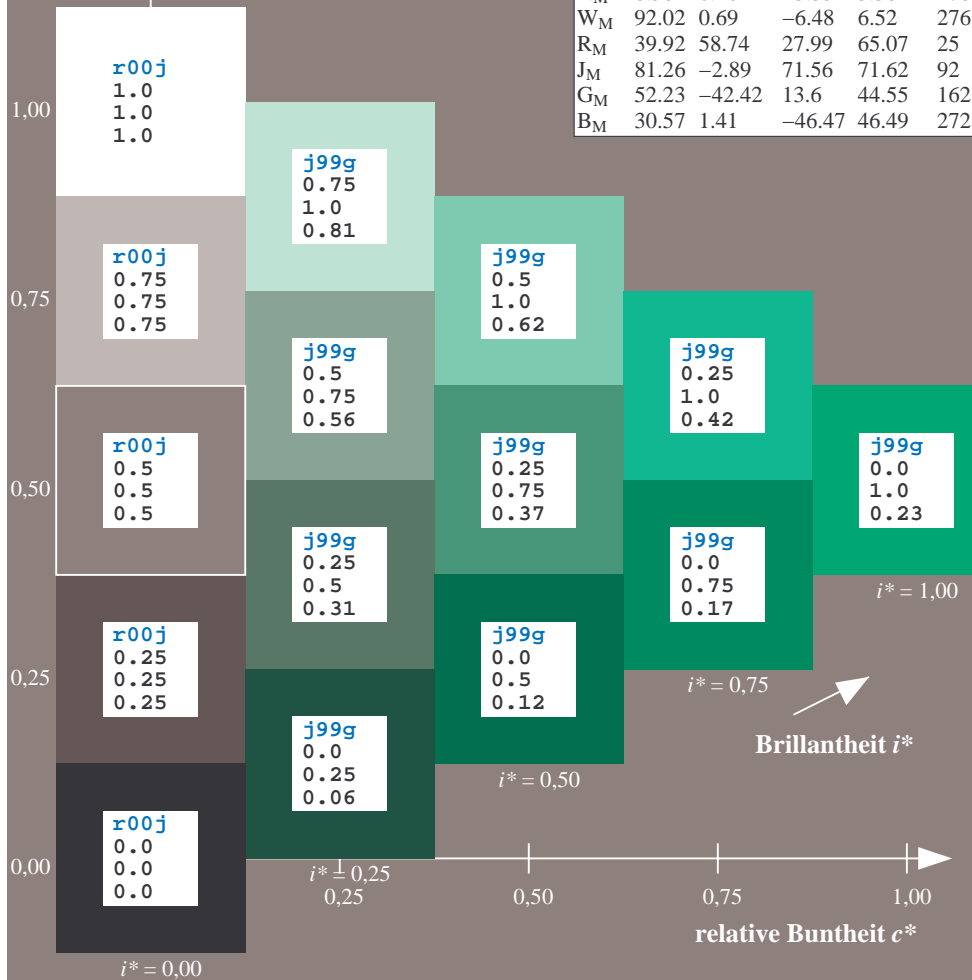
%Regularität

$g^*_{H,rel} = 31$

$g^*_{C,rel} = 40$

FRS09_92a; adaptierte CIELAB-Daten

u^*_e	$L^*=L^*_a$	a^*_a	b^*_a	$C^*_{ab,a}$	$h^*_{ab,a}$	u^*_d
r00j	35.47	63.32	30.17	70.15	25	m81o
r25j	39.12	54.56	49.45	73.64	42	o10y
r50j	50.64	39.15	64.89	75.79	59	o40y
r75j	64.01	21.26	82.83	85.52	76	o69y
j00g	83.18	-4.38	108.53	108.62	92	o98y
j25g	66.73	-29.89	83.06	88.28	110	y34l
j50g	54.03	-48.31	63.49	79.78	127	y69l
j75g	44.73	-60.33	42.64	73.88	145	l03c
g00b	47.59	-49.08	15.74	51.54	162	l23c
g25b	49.97	-39.7	-6.72	40.27	190	l55c
g50b	51.85	-32.33	-24.35	40.48	217	l87c
g75b	46.92	-17.29	-36.02	39.96	244	c20v
b00r	37.91	1.28	-42.35	42.37	272	c53v
b25r	23.81	30.38	-52.26	60.45	300	c87v
b50r	29.52	69.06	-42.14	80.9	329	v68m
b75r	36.48	71.47	-3.69	71.57	357	m34o



Ein und Ausgabe: Farbmatisches Drucker-Reflektiv-System FRS09_92a für relativen CIELAB-Bunton $h^* = lab^*h^* = h_{ab}/360 = 0.527$

$u^*_e = g25b$
 lab^*olv^*

Daten für jede Farbe:

lab^*tch^* und lab^*icu^*

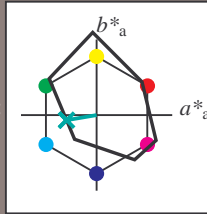
Buntontexte:

$u^*_e = g25b$ $u^*_d = l55c$

Kontrastreduzierungsfaktor:

$c_R = 1.0$

Dreiecks-Helligkeit t^*



FRS09_92a; CIELAB-Daten

u^*_e	$L^*=L^*$	a^*	b^*	C^*_{ab}	h^*_{ab}
O _M	35.06	60.53	39.66	72.37	33
Y _M	83.77	-4.5	103.15	103.25	92
L _M	44.13	-62.11	43.56	75.86	145
C _M	52.66	-28.56	-36.99	46.73	232
V _M	14.15	50.78	-62.6	80.61	309
M _M	37.37	79.18	-37.93	87.8	334
N _M	8.58	0.46	-3.35	3.38	278
W _M	92.02	0.69	-6.48	6.52	276
R _M	39.92	58.74	27.99	65.07	25
J _M	81.26	-2.89	71.56	71.62	92
G _M	52.23	-42.42	13.6	44.55	162
B _M	30.57	1.41	-46.47	46.49	272

Daten für Maximalfarbe (Ma):

$LAB^*LAB^*_{Ma}: 50 -40 -7$

$LAB^*LCH^*_{Ma}: 50 40 189$

$lab^*rgb^*_{Ma}: 0.0 1.0 0.5$

$lab^*olv^*_{Ma}: 0.0 1.0 0.55$

Dreiecks-Helligkeit t^*

%Umfang

$u^*_{rel} = 109$

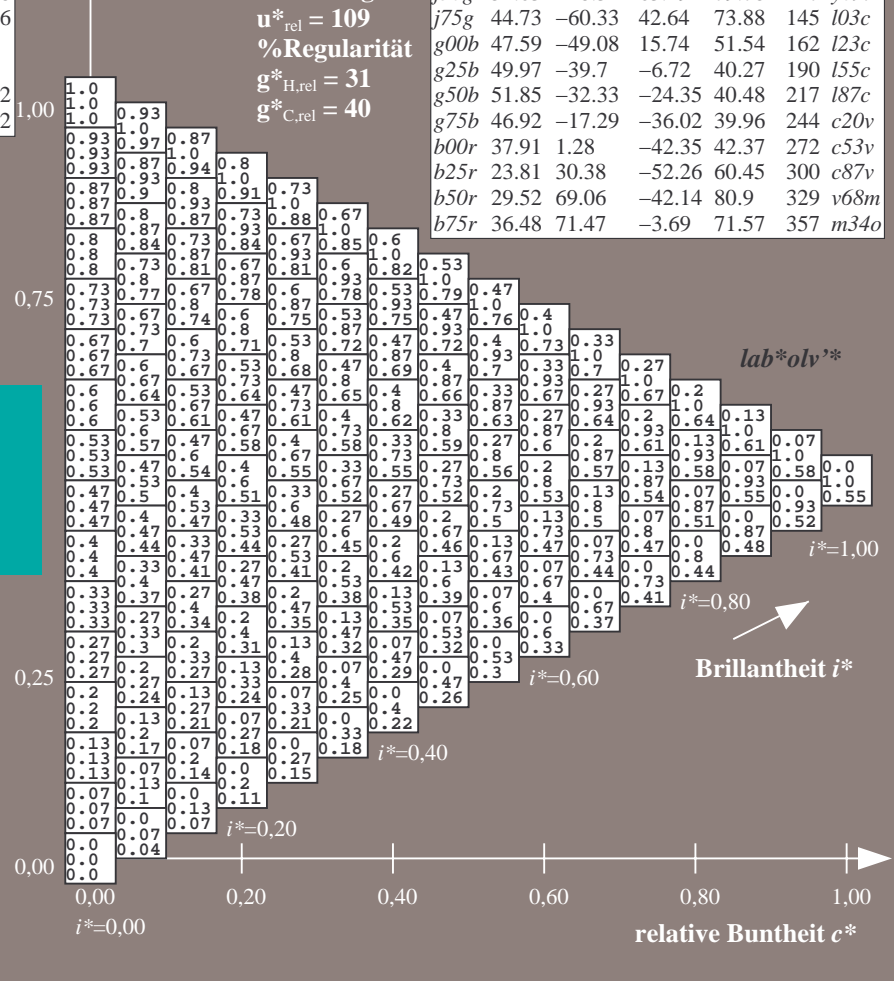
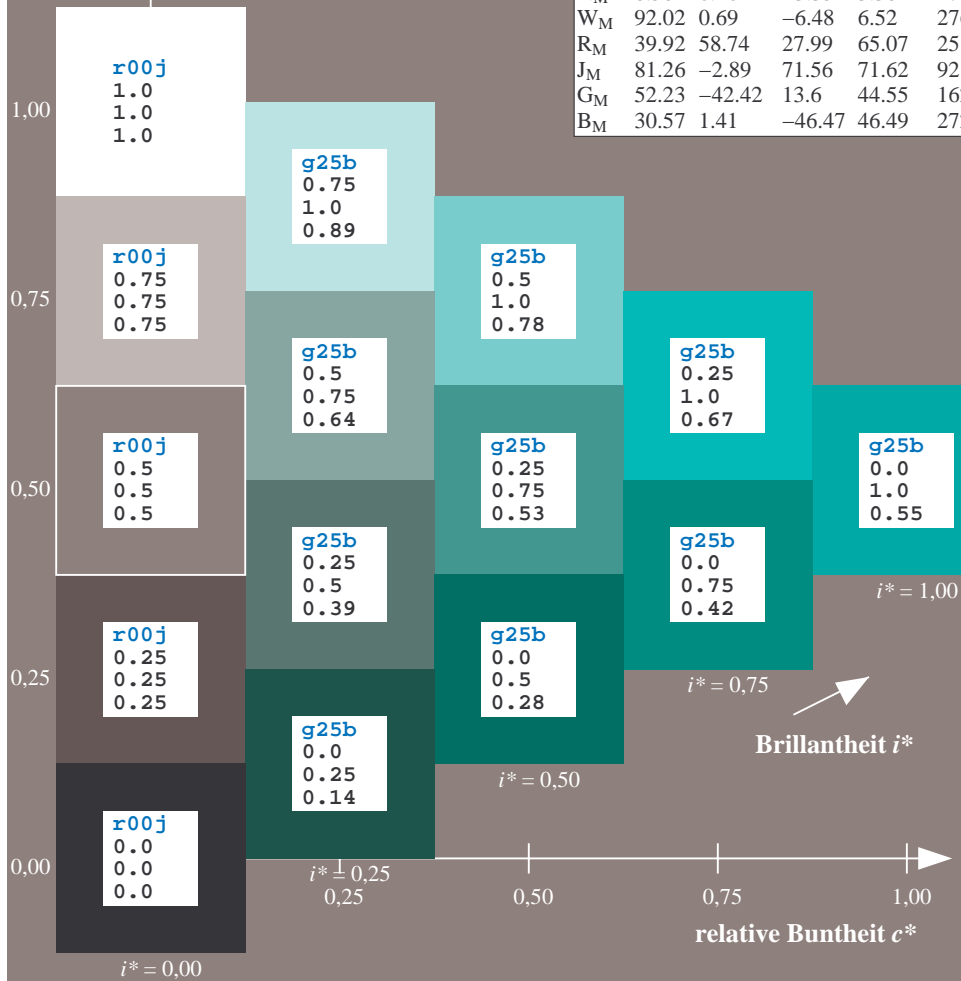
%Regularität

$g^*_{H,rel} = 31$

$g^*_{C,rel} = 40$

FRS09_92a; adaptierte CIELAB-Daten

u^*_e	$L^*=L^*_a$	a^*_a	b^*_a	$C^*_{ab,a}$	$h^*_{ab,a}$	u^*_d
r00j	35.47	63.32	30.17	70.15	25	m81o
r25j	39.12	54.56	49.45	73.64	42	o10y
r50j	50.64	39.15	64.89	75.79	59	o40y
r75j	64.01	21.26	82.83	85.52	76	o69y
j00g	83.18	-4.38	108.53	108.62	92	o98y
j25g	66.73	-29.89	83.06	88.28	110	y34l
j50g	54.03	-48.31	63.49	79.78	127	y69l
j75g	44.73	-60.33	42.64	73.88	145	i03c
g00b	47.59	-49.08	15.74	51.54	162	i23c
g25b	49.97	-39.7	-6.72	40.27	190	i55c
g50b	51.85	-32.33	-24.35	40.48	217	i87c
g75b	46.92	-17.29	-36.02	39.96	244	c20v
b00r	37.91	1.28	-42.35	42.37	272	c53v
b25r	23.81	30.38	-52.26	60.45	300	c87v
b50r	29.52	69.06	-42.14	80.9	329	v68m
b75r	36.48	71.47	-3.69	71.57	357	m34o



Ein und Ausgabe: Farbmatisches Drucker-Reflektiv-System FRS09_92a für relativen CIELAB-Bunton $h^* = lab^*h^* = h_{ab}/360 = 0.603$

$u^*_e = g50b$
 lab^*olv^*

Daten für jede Farbe:

lab^*tch^* und lab^*icu^*

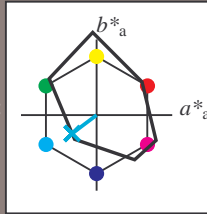
Buntontexte:

$u^*_e = g50b$ $u^*_d = l87c$

Kontrastreduzierungsfaktor:

$c_R = 1.0$

Dreiecks-Helligkeit t^*



FRS09_92a; CIELAB-Daten

u^*_e	$L^*=L^*$	a^*	b^*	C^*_{ab}	h^*_{ab}
O _M	35.06	60.53	39.66	72.37	33
Y _M	83.77	-4.5	103.15	103.25	92
L _M	44.13	-62.11	43.56	75.86	145
C _M	52.66	-28.56	-36.99	46.73	232
V _M	14.15	50.78	-62.6	80.61	309
M _M	37.37	79.18	-37.93	87.8	334
N _M	8.58	0.46	-3.35	3.38	278
W _M	92.02	0.69	-6.48	6.52	276
R _M	39.92	58.74	27.99	65.07	25
J _M	81.26	-2.89	71.56	71.62	92
G _M	52.23	-42.42	13.6	44.55	162
B _M	30.57	1.41	-46.47	46.49	272

Daten für Maximalfarbe (Ma):

$LAB^*LAB^*_{Ma}: 52 -32 -24$

$LAB^*LCH^*_{Ma}: 52 40 216$

$lab^*rgb^*_{Ma}: 0.0 1.0 1.0$

$lab^*olv^*_{Ma}: 0.0 1.0 0.87$

Dreiecks-Helligkeit t^*

%Umfang

$u^*_{rel} = 109$

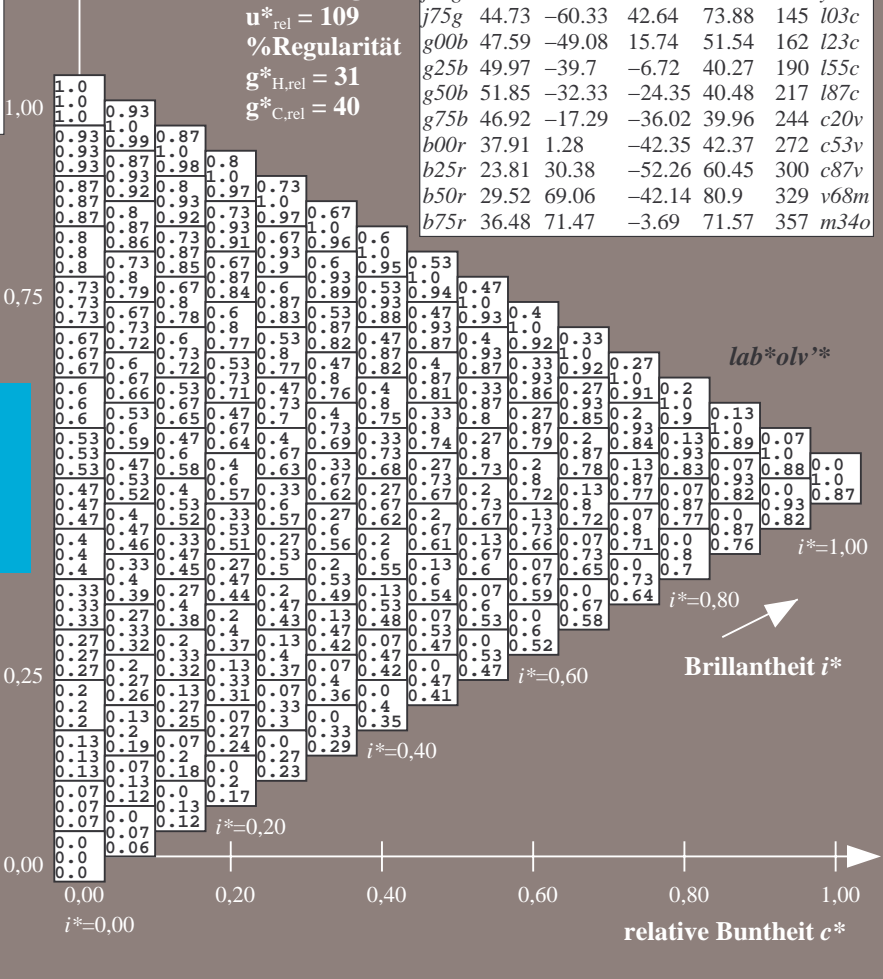
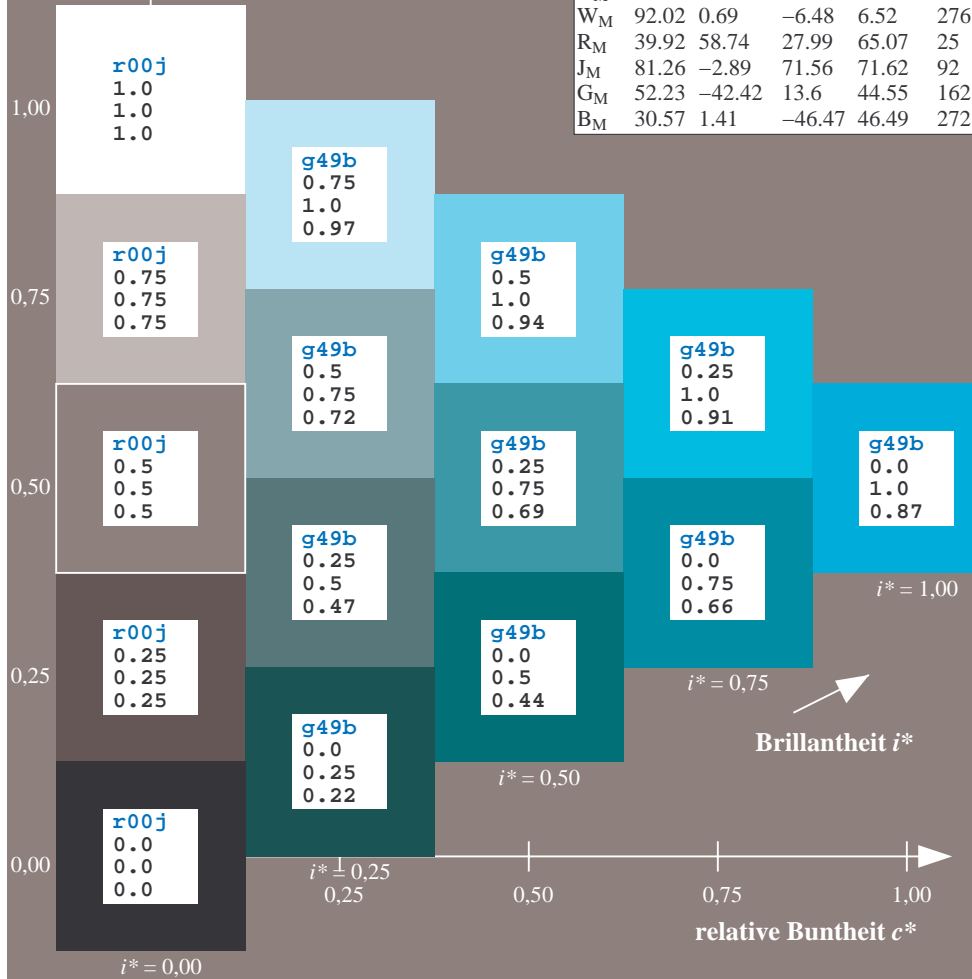
%Regularität

$g^*_{H,rel} = 31$

$g^*_{C,rel} = 40$

FRS09_92a; adaptierte CIELAB-Daten

u^*_e	$L^*=L^*_a$	a^*_a	b^*_a	$C^*_{ab,a}$	$h^*_{ab,a}$	u^*_d
r00j	35.47	63.32	30.17	70.15	25	m81o
r25j	39.12	54.56	49.45	73.64	42	o10y
r50j	50.64	39.15	64.89	75.79	59	o40y
r75j	64.01	21.26	82.83	85.52	76	o69y
j00g	83.18	-4.38	108.53	108.62	92	o98y
j25g	66.73	-29.89	83.06	88.28	110	y34l
j50g	54.03	-48.31	63.49	79.78	127	y69l
j75g	44.73	-60.33	42.64	73.88	145	l03c
g00b	47.59	-49.08	15.74	51.54	162	l23c
g25b	49.97	-39.7	-6.72	40.27	190	l55c
g50b	51.85	-32.33	-24.35	40.48	217	l87c
g75b	46.92	-17.29	-36.02	39.96	244	c20v
b00r	37.91	1.28	-42.35	42.37	272	c53v
b25r	23.81	30.38	-52.26	60.45	300	c87v
b50r	29.52	69.06	-42.14	80.9	329	v68m
b75r	36.48	71.47	-3.69	71.57	357	m34o



Ein und Ausgabe: Farbmatisches Drucker-Reflektiv-System FRS09_92a für relativen CIELAB-Bunton $h^* = lab^*h^* = h_{ab}/360 = 0.679$

$u^*_e = g75b$
 lab^*olv^*

Daten für jede Farbe:

lab^*tch^* und lab^*icu^*

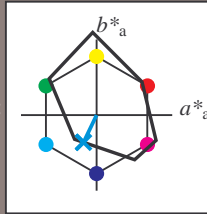
Buntontexte:

$u^*_e = g75b$ $u^*_d = c20v$

Kontrastreduzierungsfaktor:

$c_R = 1.0$

Dreiecks-Helligkeit t^*



FRS09_92a; CIELAB-Daten

u^*_e	$L^*=L^*$	a^*	b^*	C^*_{ab}	h^*_{ab}
O _M	35.06	60.53	39.66	72.37	33
Y _M	83.77	-4.5	103.15	103.25	92
L _M	44.13	-62.11	43.56	75.86	145
C _M	52.66	-28.56	-36.99	46.73	232
V _M	14.15	50.78	-62.6	80.61	309
M _M	37.37	79.18	-37.93	87.8	334
N _M	8.58	0.46	-3.35	3.38	278
W _M	92.02	0.69	-6.48	6.52	276
R _M	39.92	58.74	27.99	65.07	25
J _M	81.26	-2.89	71.56	71.62	92
G _M	52.23	-42.42	13.6	44.55	162
B _M	30.57	1.41	-46.47	46.49	272

Daten für Maximalfarbe (Ma):

$LAB^*LAB^*_{Ma}$: 47 -17 -36

$LAB^*LCH^*_{Ma}$: 47 40 244

$lab^*rgb^*_{Ma}$: 0.0 0.5 1.0

$lab^*olv^*_{Ma}$: 0.0 0.8 1.0

Dreiecks-Helligkeit t^*

%Umfang

$u^*_{rel} = 109$

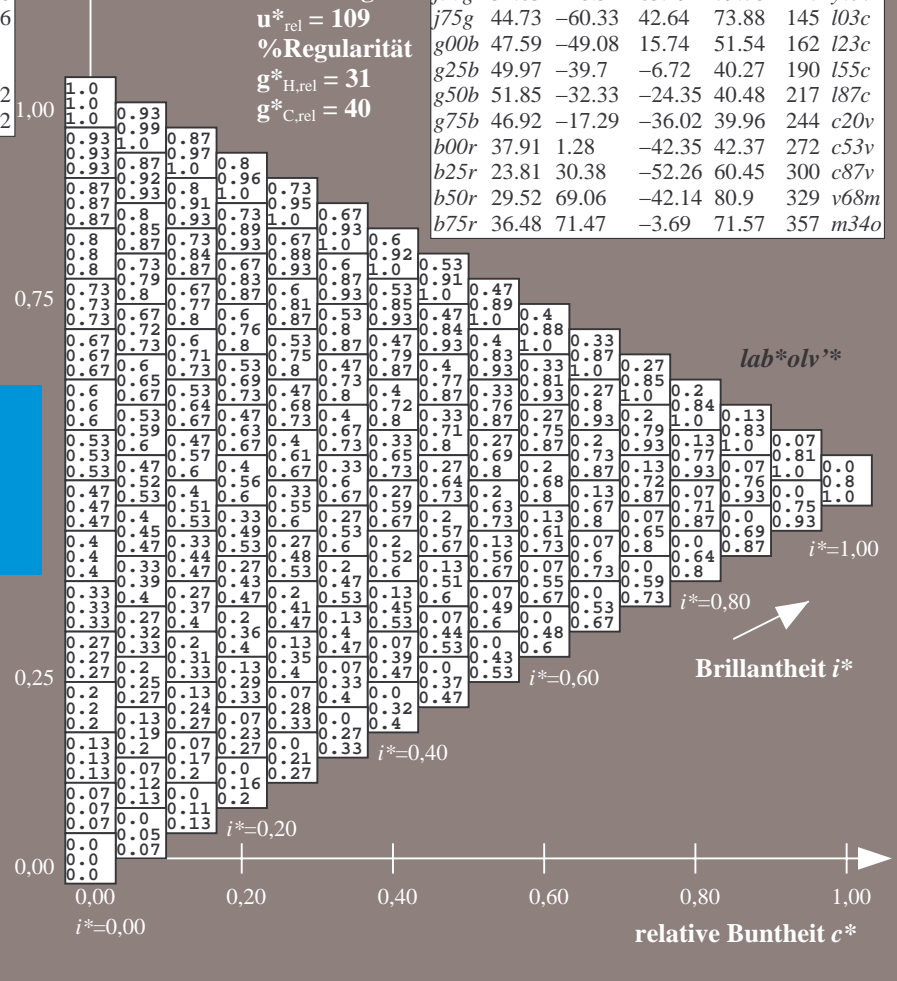
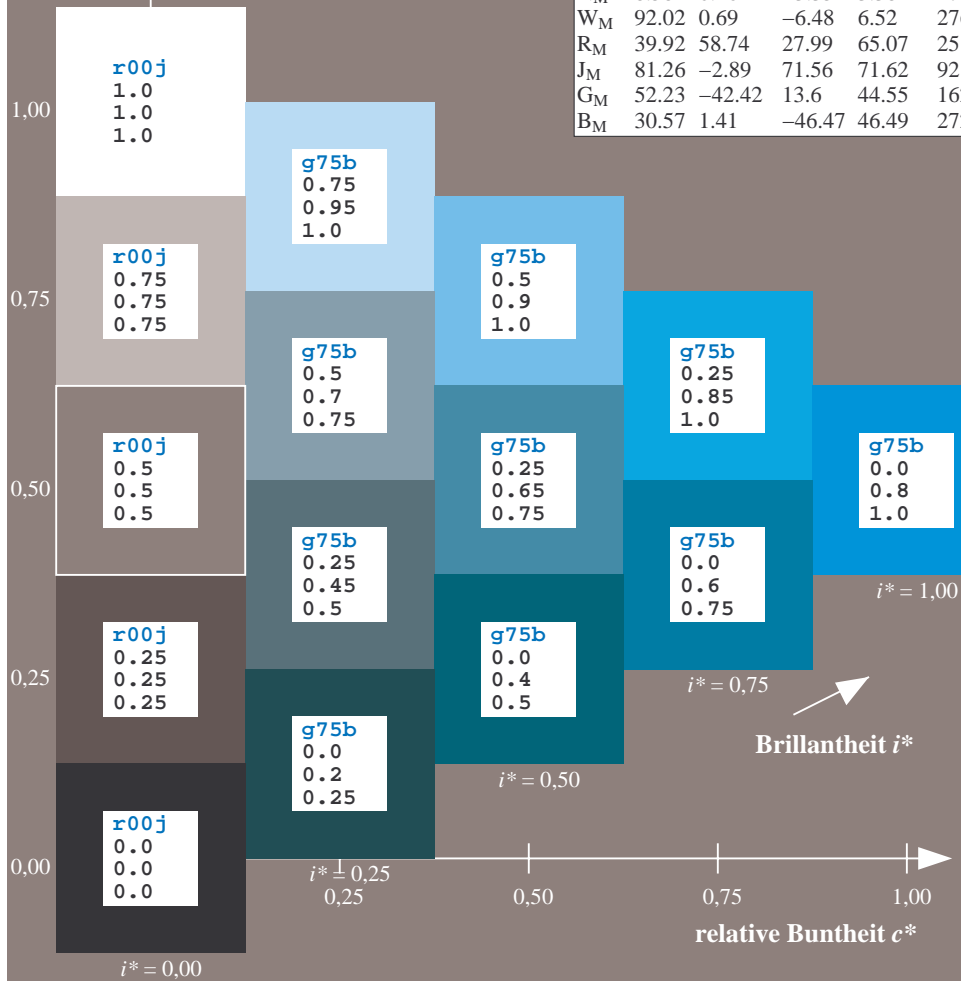
%Regularität

$g^*_{H,rel} = 31$

$g^*_{C,rel} = 40$

FRS09_92a; adaptierte CIELAB-Daten

u^*_e	$L^*=L^*_a$	a^*_a	b^*_a	$C^*_{ab,a}$	$h^*_{ab,a}$	u^*_d
r00j	35.47	63.32	30.17	70.15	25	m81o
r25j	39.12	54.56	49.45	73.64	42	o10y
r50j	50.64	39.15	64.89	75.79	59	o40y
r75j	64.01	21.26	82.83	85.52	76	o69y
j00g	83.18	-4.38	108.53	108.62	92	o98y
j25g	66.73	-29.89	83.06	88.28	110	y34l
j50g	54.03	-48.31	63.49	79.78	127	y69l
j75g	44.73	-60.33	42.64	73.88	145	103c
g00b	47.59	-49.08	15.74	51.54	162	l23c
g25b	49.97	-39.7	-6.72	40.27	190	l55c
g50b	51.85	-32.33	-24.35	40.48	217	l87c
g75b	46.92	-17.29	-36.02	39.96	244	c20v
b00r	37.91	1.28	-42.35	42.37	272	c53v
b25r	23.81	30.38	-52.26	60.45	300	c87v
b50r	29.52	69.06	-42.14	80.9	329	v68m
b75r	36.48	71.47	-3.69	71.57	357	m34o



Ein und Ausgabe: Farbmatisches Drucker-Reflektiv-System FRS09_92a für relativen CIELAB-Bunton $h^* = lab^*h^* = h_{ab}/360 = 0.755$

$u^*_e = b00r$
 lab^*olv^*

Daten für jede Farbe:

lab^*tch^* und lab^*icu^*

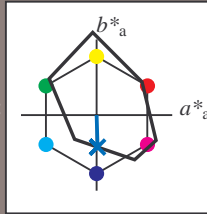
Buntontexte:

$u^*_e = b00r$ $u^*_d = c53v$

Kontrastreduzierungsfaktor:

$c_R = 1.0$

Dreiecks-Helligkeit t^*



FRS09_92a; CIELAB-Daten

u^*_e	$L^*=L^*_a$	a^*	b^*	C^*_{ab}	h^*_{ab}
O _M	35.06	60.53	39.66	72.37	33
Y _M	83.77	-4.5	103.15	103.25	92
L _M	44.13	-62.11	43.56	75.86	145
C _M	52.66	-28.56	-36.99	46.73	232
V _M	14.15	50.78	-62.6	80.61	309
M _M	37.37	79.18	-37.93	87.8	334
N _M	8.58	0.46	-3.35	3.38	278
W _M	92.02	0.69	-6.48	6.52	276
R _M	39.92	58.74	27.99	65.07	25
J _M	81.26	-2.89	71.56	71.62	92
G _M	52.23	-42.42	13.6	44.55	162
B _M	30.57	1.41	-46.47	46.49	272

Daten für Maximalfarbe (Ma):

$LAB^*LAB^*_Ma: 38 \ 1 \ -42$

$LAB^*LCH^*_Ma: 38 \ 42 \ 271$

$lab^*rgb^*_Ma: 0.0 \ 0.0 \ 1.0$

$lab^*olv^*_Ma: 0.0 \ 0.47 \ 1.0$

Dreiecks-Helligkeit t^*

%Umfang

$u^*_{rel} = 109$

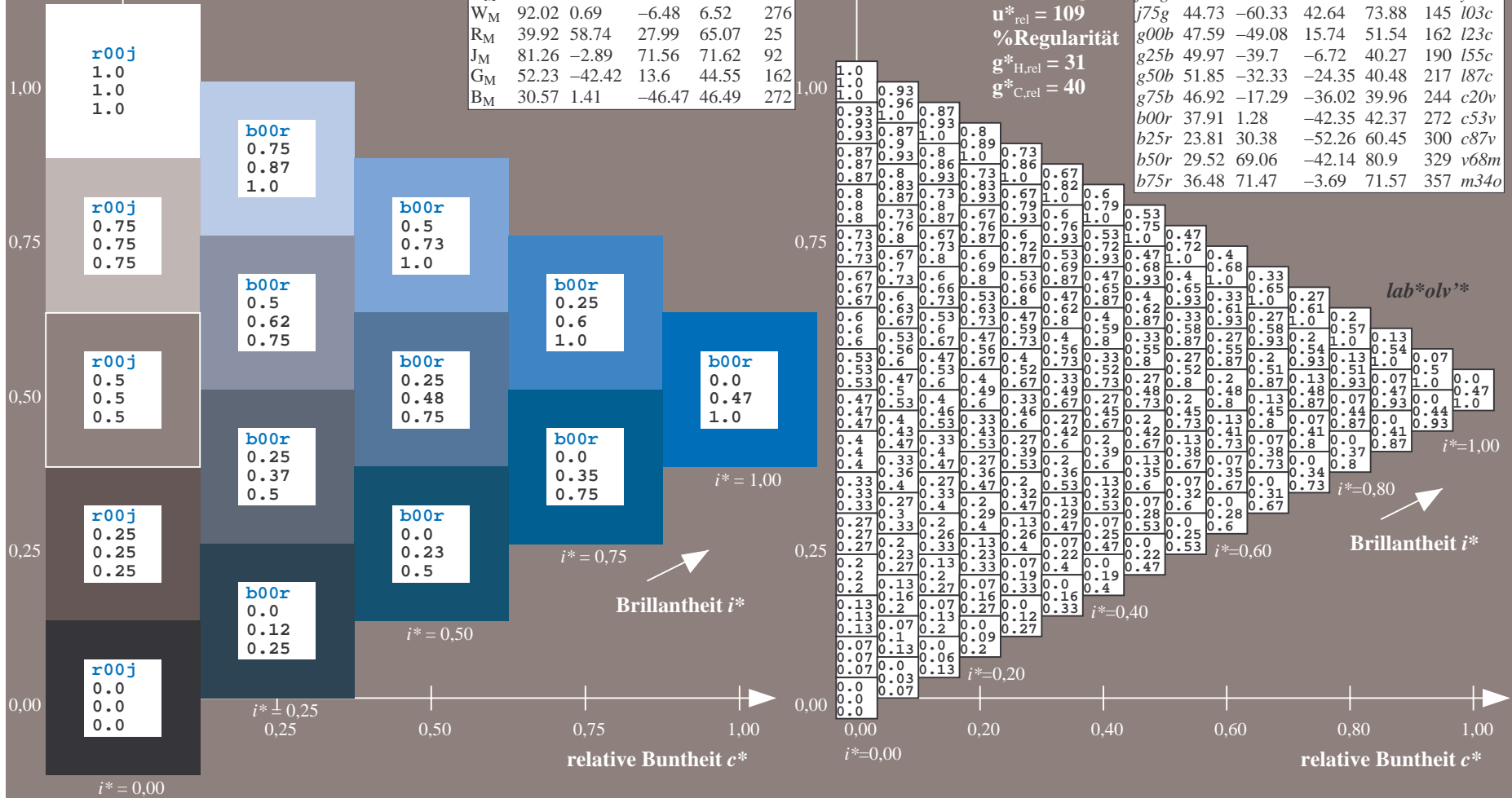
%Regularität

$g^*_{H,rel} = 31$

$g^*_{C,rel} = 40$

FRS09_92a; adaptierte CIELAB-Daten

u^*_e	$L^*=L^*_a$	a^*_a	b^*_a	$C^*_{ab,a}$	$h^*_{ab,a}$	u^*_d
r00j	35.47	63.32	30.17	70.15	25	m81o
r25j	39.12	54.56	49.45	73.64	42	o10y
r50j	50.64	39.15	64.89	75.79	59	o40y
r75j	64.01	21.26	82.83	85.52	76	o69y
j00g	83.18	-4.38	108.53	108.62	92	o98y
j25g	66.73	-29.89	83.06	88.28	110	y34l
j50g	54.03	-48.31	63.49	79.78	127	y69l
j75g	44.73	-60.33	42.64	73.88	145	i03c
g00b	47.59	-49.08	15.74	51.54	162	i23c
g25b	49.97	-39.7	-6.72	40.27	190	i55c
g50b	51.85	-32.33	-24.35	40.48	217	i87c
g75b	46.92	-17.29	-36.02	39.96	244	c20v
b00r	37.91	1.28	-42.35	42.37	272	c53v
b25r	23.81	30.38	-52.26	60.45	300	c87v
b50r	29.52	69.06	-42.14	80.9	329	v68m
b75r	36.48	71.47	-3.69	71.57	357	m34o



Ein und Ausgabe: Farbmatisches Drucker-Reflektiv-System FRS09_92a für relativen CIELAB-Bunton $h^* = lab^*h^* = h_{ab}/360 = 0.834$

$u^*_e = b25r$
 lab^*olv^*

Daten für jede Farbe:

lab^*tch^* und lab^*icu^*

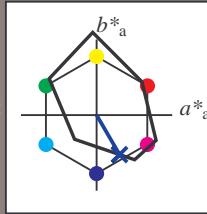
Buntontexte:

$u^*_e = b25r$ $u^*_d = c87v$

Kontrastreduzierungsfaktor:

$c_R = 1.0$

Dreiecks-Helligkeit t^*



FRS09_92a; CIELAB-Daten

u^*_e	$L^*=L^*$	a^*	b^*	C^*_{ab}	h^*_{ab}
O _M	35.06	60.53	39.66	72.37	33
Y _M	83.77	-4.5	103.15	103.25	92
L _M	44.13	-62.11	43.56	75.86	145
C _M	52.66	-28.56	-36.99	46.73	232
V _M	14.15	50.78	-62.6	80.61	309
M _M	37.37	79.18	-37.93	87.8	334
N _M	8.58	0.46	-3.35	3.38	278
W _M	92.02	0.69	-6.48	6.52	276
R _M	39.92	58.74	27.99	65.07	25
J _M	81.26	-2.89	71.56	71.62	92
G _M	52.23	-42.42	13.6	44.55	162
B _M	30.57	1.41	-46.47	46.49	272

Daten für Maximalfarbe (Ma):

$LAB^*LAB^*_{Ma}: 24 \ 30 \ -52$

$LAB^*LCH^*_{Ma}: 24 \ 60 \ 300$

$lab^*rgb^*_{Ma}: 0.5 \ 0.0 \ 1.0$

$lab^*olv^*_{Ma}: 0.0 \ 0.12 \ 1.0$

Dreiecks-Helligkeit t^*

%Umfang

$u^*_{rel} = 109$

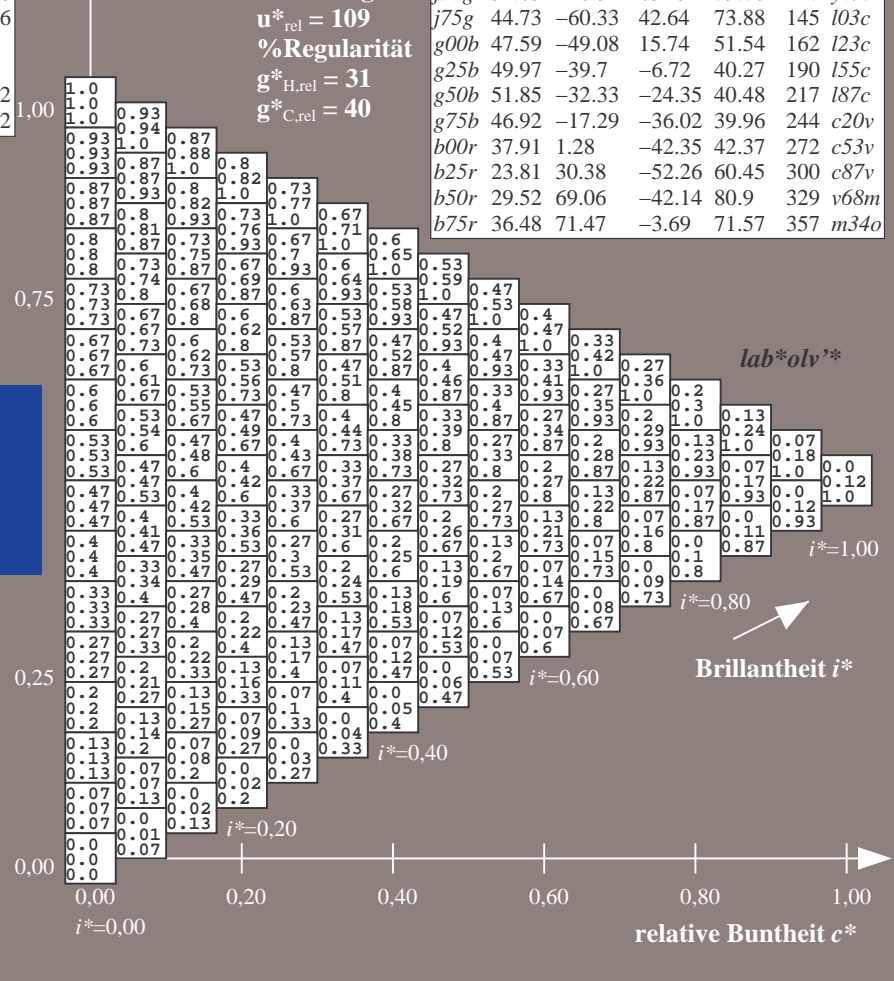
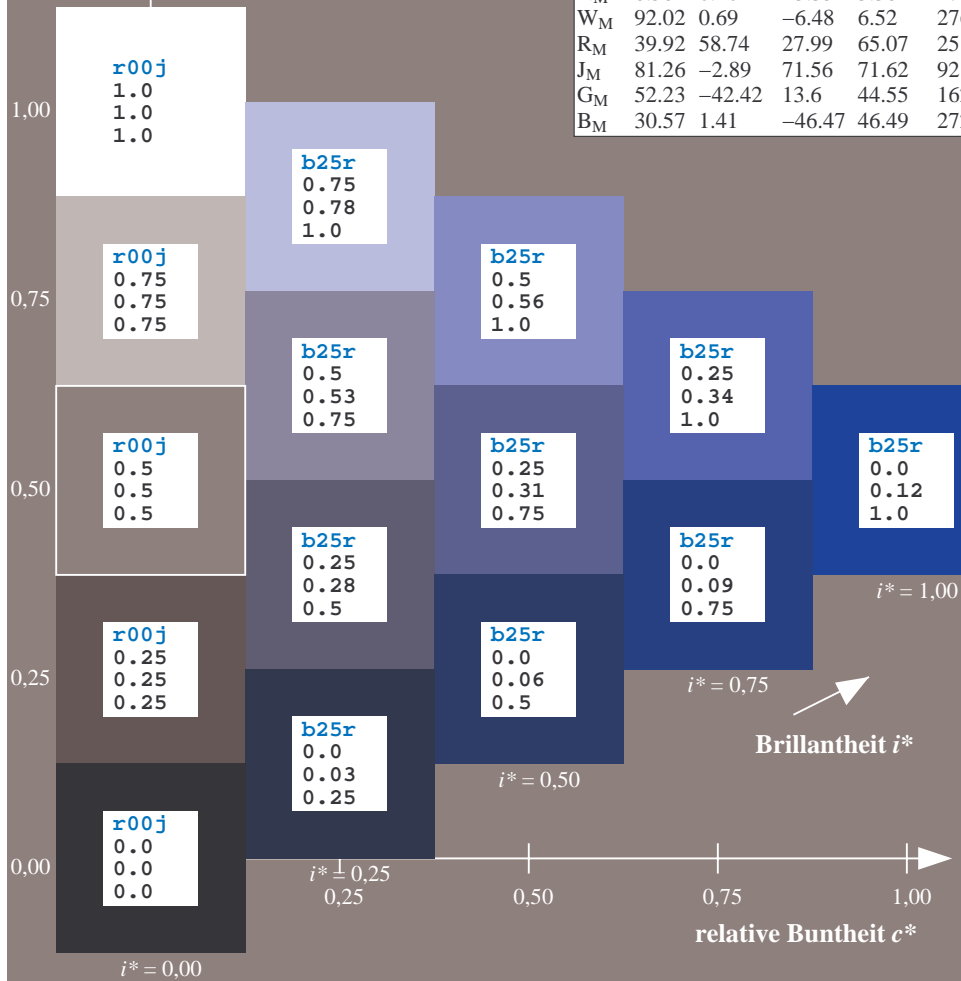
%Regularität

$g^*_{H,rel} = 31$

$g^*_{C,rel} = 40$

FRS09_92a; adaptierte CIELAB-Daten

u^*_e	$L^*=L^*_a$	a^*_a	b^*_a	$C^*_{ab,a}$	$h^*_{ab,a}$	u^*_d
r00j	35.47	63.32	30.17	70.15	25	m81o
r25j	39.12	54.56	49.45	73.64	42	o10y
r50j	50.64	39.15	64.89	75.79	59	o40y
r75j	64.01	21.26	82.83	85.52	76	o69y
j00g	83.18	-4.38	108.53	108.62	92	o98y
j25g	66.73	-29.89	83.06	88.28	110	y34l
j50g	54.03	-48.31	63.49	79.78	127	y69l
j75g	44.73	-60.33	42.64	73.88	145	103c
g00b	47.59	-49.08	15.74	51.54	162	l23c
g25b	49.97	-39.7	-6.72	40.27	190	l55c
g50b	51.85	-32.33	-24.35	40.48	217	l87c
g75b	46.92	-17.29	-36.02	39.96	244	c20v
b00r	37.91	1.28	-42.35	42.37	272	c53v
b25r	23.81	30.38	-52.26	60.45	300	c87v
b50r	29.52	69.06	-42.14	80.9	329	v68m
b75r	36.48	71.47	-3.69	71.57	357	m34o



Ein und Ausgabe: Farbmatisches Drucker-Reflektiv-System FRS09_92a für relativen CIELAB-Bunton $h^* = lab^*h^* = h_{ab}/360 = 0.913$

$u^*_e = b50r$
 lab^*olv^*

Daten für jede Farbe:

lab^*tch^* und lab^*icu^*

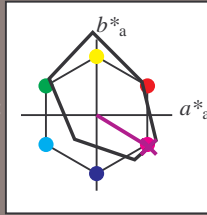
Buntontexte:

$u^*_e = b50r$ $u^*_d = v68m$

Kontrastreduzierungsfaktor:

$c_R = 1.0$

Dreiecks-Helligkeit t^*



FRS09_92a; CIELAB-Daten

u^*_e	$L^*=L^*$	a^*	b^*	C^*_{ab}	h^*_{ab}
O _M	35.06	60.53	39.66	72.37	33
Y _M	83.77	-4.5	103.15	103.25	92
L _M	44.13	-62.11	43.56	75.86	145
C _M	52.66	-28.56	-36.99	46.73	232
V _M	14.15	50.78	-62.6	80.61	309
M _M	37.37	79.18	-37.93	87.8	334
N _M	8.58	0.46	-3.35	3.38	278
W _M	92.02	0.69	-6.48	6.52	276
R _M	39.92	58.74	27.99	65.07	25
J _M	81.26	-2.89	71.56	71.62	92
G _M	52.23	-42.42	13.6	44.55	162
B _M	30.57	1.41	-46.47	46.49	272

Daten für Maximalfarbe (Ma):

$LAB^*LAB^*_{Ma}$: 30 69 -42

$LAB^*LCH^*_{Ma}$: 30 81 328

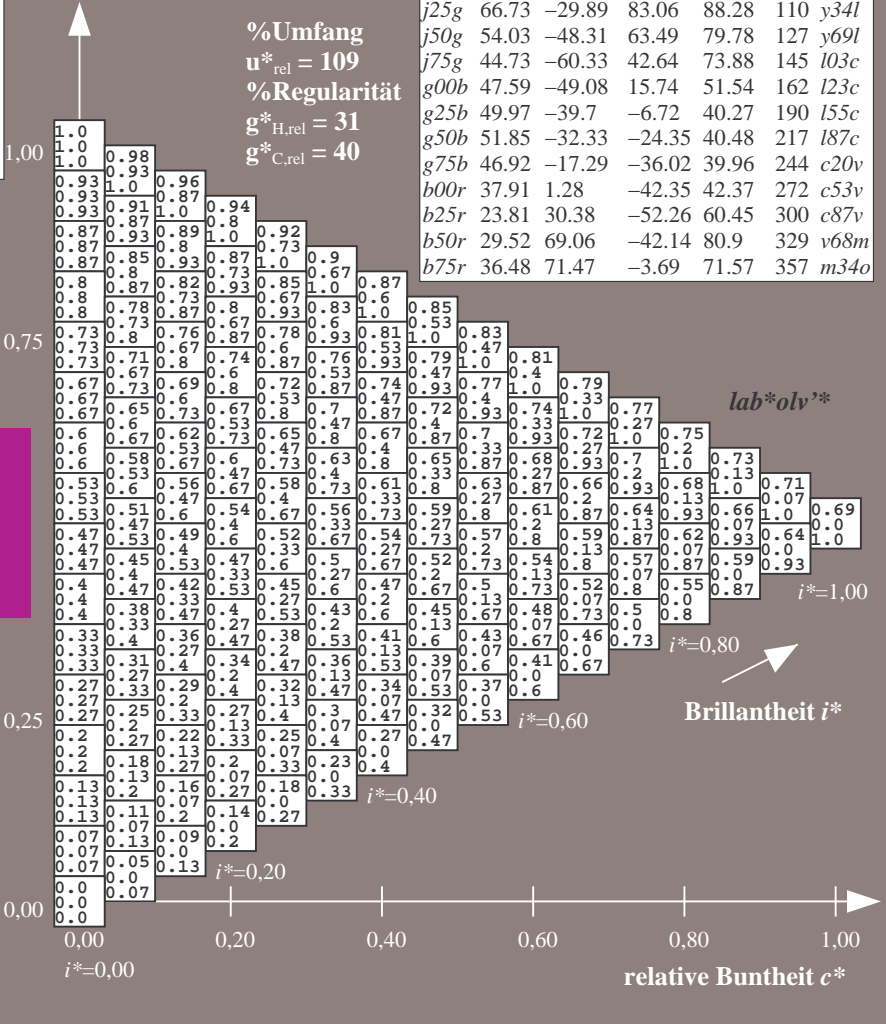
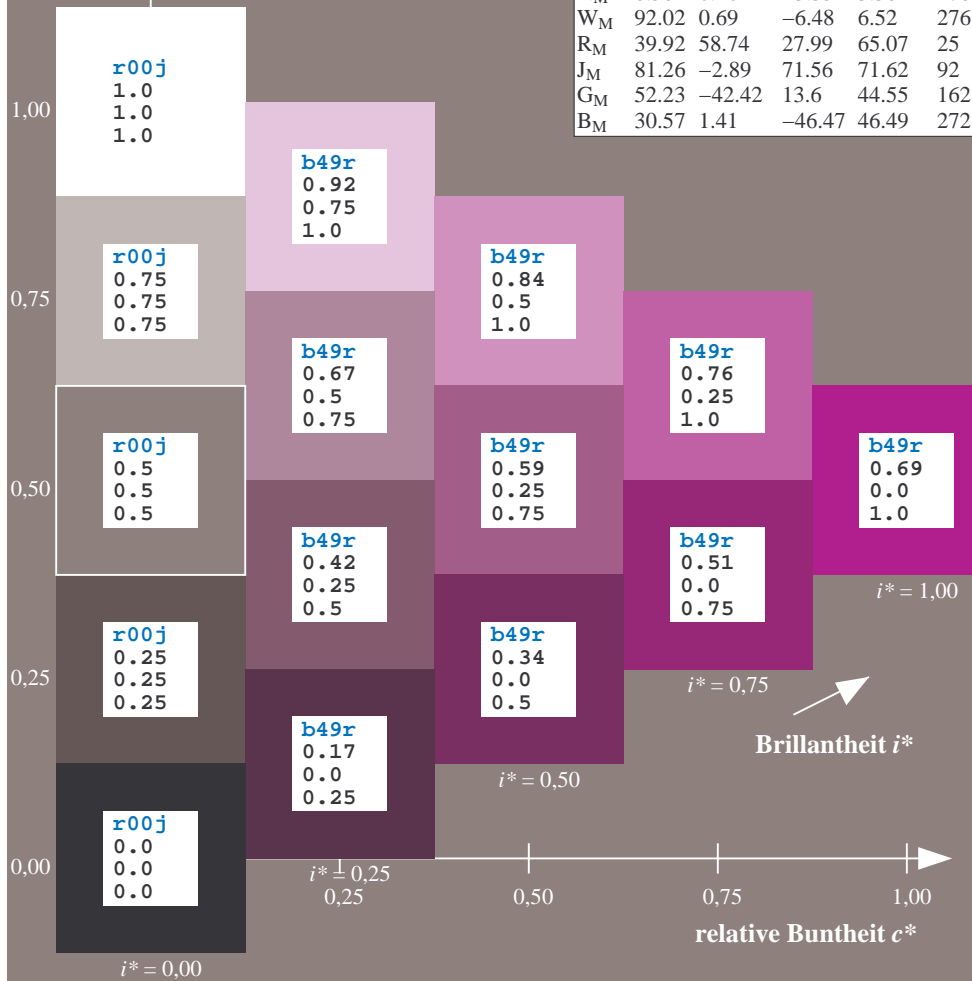
$lab^*rgb^*_{Ma}$: 1.0 0.0 1.0

$lab^*olv^*_{Ma}$: 0.69 0.0 1.0

Dreiecks-Helligkeit t^*

FRS09_92a; adaptierte CIELAB-Daten

u^*_e	$L^*=L^*_a$	a^*_a	b^*_a	$C^*_{ab,a}$	$h^*_{ab,a}$	u^*_d
r00j	35.47	63.32	30.17	70.15	25	m81o
r25j	39.12	54.56	49.45	73.64	42	o10y
r50j	50.64	39.15	64.89	75.79	59	o40y
r75j	64.01	21.26	82.83	85.52	76	o69y
j00g	83.18	-4.38	108.53	108.62	92	o98y
j25g	66.73	-29.89	83.06	88.28	110	y34l
j50g	54.03	-48.31	63.49	79.78	127	y69l
j75g	44.73	-60.33	42.64	73.88	145	103c
g00b	47.59	-49.08	15.74	51.54	162	l23c
g25b	49.97	-39.7	-6.72	40.27	190	l55c
g50b	51.85	-32.33	-24.35	40.48	217	l87c
g75b	46.92	-17.29	-36.02	39.96	244	c20v
b00r	37.91	1.28	-42.35	42.37	272	c53v
b25r	23.81	30.38	-52.26	60.45	300	c87v
b50r	29.52	69.06	-42.14	80.9	329	v68m
b75r	36.48	71.47	-3.69	71.57	357	m34o



%Umfang
 $u^*_{rel} = 109$
%Regularität
 $g^*_{H,rel} = 31$
 $g^*_{C,rel} = 40$

Ein und Ausgabe: Farbmatisches Drucker-Reflektiv-System FRS09_92a für relativen CIELAB-Bunton $h^* = lab^*h^* = h_{ab}/360 = 0.992$

$u^*_e = b75r$

Daten für jede Farbe:

lab^*tch^* und lab^*icu^*

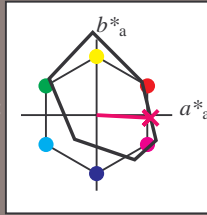
Buntontexte:

$u^*_e = b75r$ $u^*_d = m34o$

Kontrastreduzierungsfaktor:

$c_R = 1.0$

Dreiecks-Helligkeit t^*



FRS09_92a; CIELAB-Daten

u^*_e	$L^*=L^*_a$	a^*	b^*	C^*_{ab}	h^*_{ab}
O _M	35.06	60.53	39.66	72.37	33
Y _M	83.77	-4.5	103.15	103.25	92
L _M	44.13	-62.11	43.56	75.86	145
C _M	52.66	-28.56	-36.99	46.73	232
V _M	14.15	50.78	-62.6	80.61	309
M _M	37.37	79.18	-37.93	87.8	334
N _M	8.58	0.46	-3.35	3.38	278
W _M	92.02	0.69	-6.48	6.52	276
R _M	39.92	58.74	27.99	65.07	25
J _M	81.26	-2.89	71.56	71.62	92
G _M	52.23	-42.42	13.6	44.55	162
B _M	30.57	1.41	-46.47	46.49	272

Daten für Maximalfarbe (Ma):

$LAB^*LAB^*_{Ma}: 36\ 71\ -4$

$LAB^*LCH^*_{Ma}: 36\ 72\ 357$

$lab^*rgb^*_{Ma}: 1.0\ 0.0\ 0.5$

$lab^*olv^*_{Ma}: 1.0\ 0.0\ 0.66$

Dreiecks-Helligkeit t^*

%Umfang

$u^*_{rel} = 109$

%Regularität

$g^*_{H,rel} = 31$

$g^*_{C,rel} = 40$

FRS09_92a; adaptierte CIELAB-Daten

u^*_e	$L^*=L^*_a$	a^*_a	b^*_a	$C^*_{ab,a}$	$h^*_{ab,a}$	u^*_d
r00j	35.47	63.32	30.17	70.15	25	m81o
r25j	39.12	54.56	49.45	73.64	42	o10y
r50j	50.64	39.15	64.89	75.79	59	o40y
r75j	64.01	21.26	82.83	85.52	76	o69y
j00g	83.18	-4.38	108.53	108.62	92	o98y
j25g	66.73	-29.89	83.06	88.28	110	y34l
j50g	54.03	-48.31	63.49	79.78	127	y69l
j75g	44.73	-60.33	42.64	73.88	145	162 i03c
g00b	47.59	-49.08	15.74	51.54	162	123c
g25b	49.97	-39.7	-6.72	40.27	190	155c
g50b	51.85	-32.33	-24.35	40.48	217	187c
g75b	46.92	-17.29	-36.02	39.96	244	c20v
b00r	37.91	1.28	-42.35	42.37	272	c53v
b25r	23.81	30.38	-52.26	60.45	300	c87v
b50r	29.52	69.06	-42.14	80.9	329	v68m
b75r	36.48	71.47	-3.69	71.57	357	m34o

lab^*olv^*

$i^* = 1.00$

Brillantheit i^*

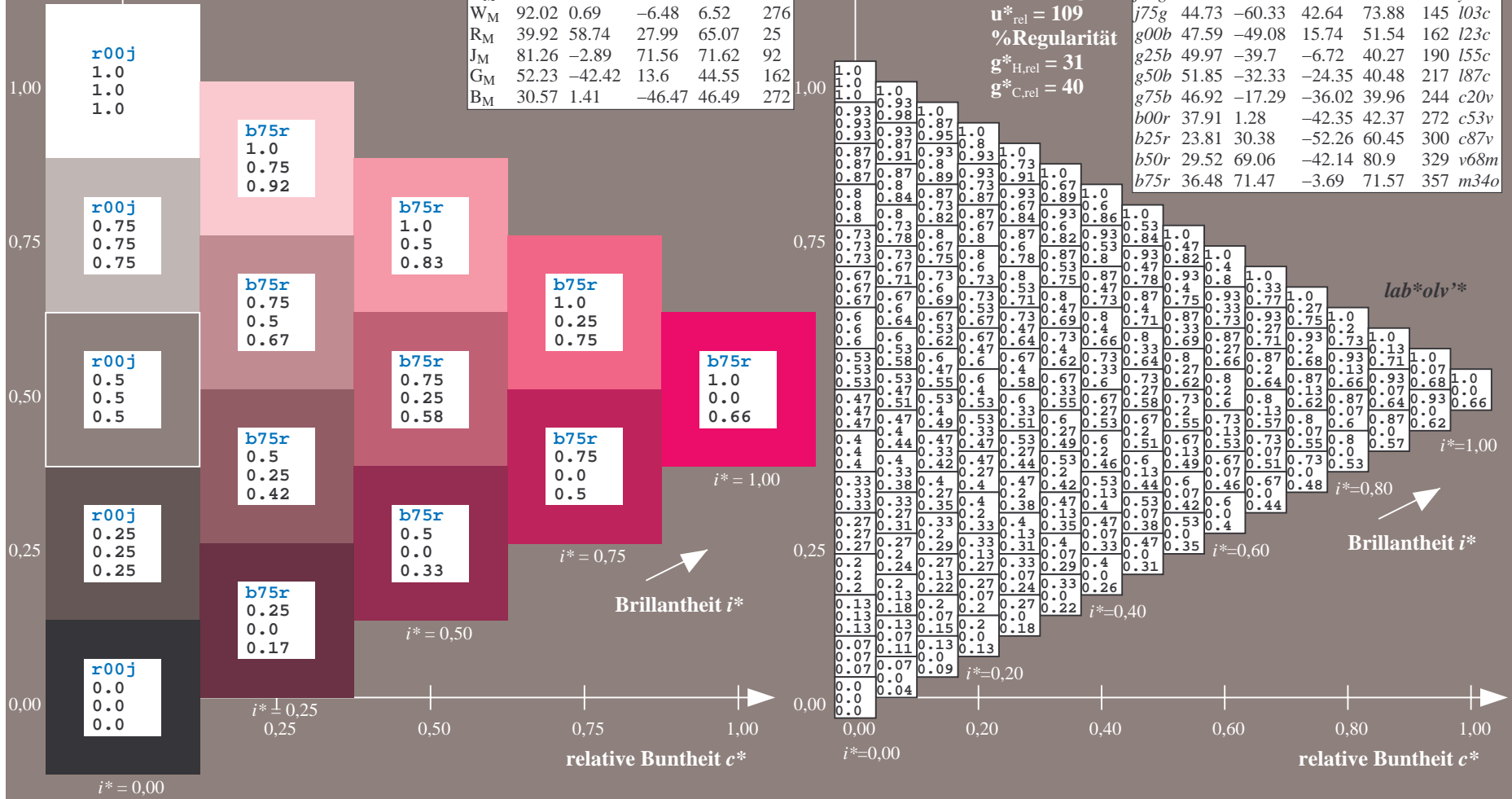
$i^* = 0.80$

$i^* = 0.60$

$i^* = 0.40$

$i^* = 0.20$

$i^* = 0.00$



Ein und Ausgabe:
 Farbmetrisches Drucker-Reflektiv-System FRS09_92a

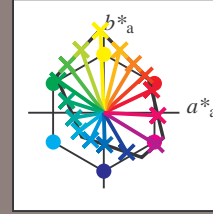
Daten für jede Farbe:
 u^*_e und Nummer Nr. = 00 .. 15

Elementar-Bunttextext:
 $u^*_e = 16$ Bunttoene r00j, r25j, ..., b75r

Kontrastreduzierungsfaktor:
 $c_R = 1.0$

FRS09_92a; adaptierte CIELAB-Daten

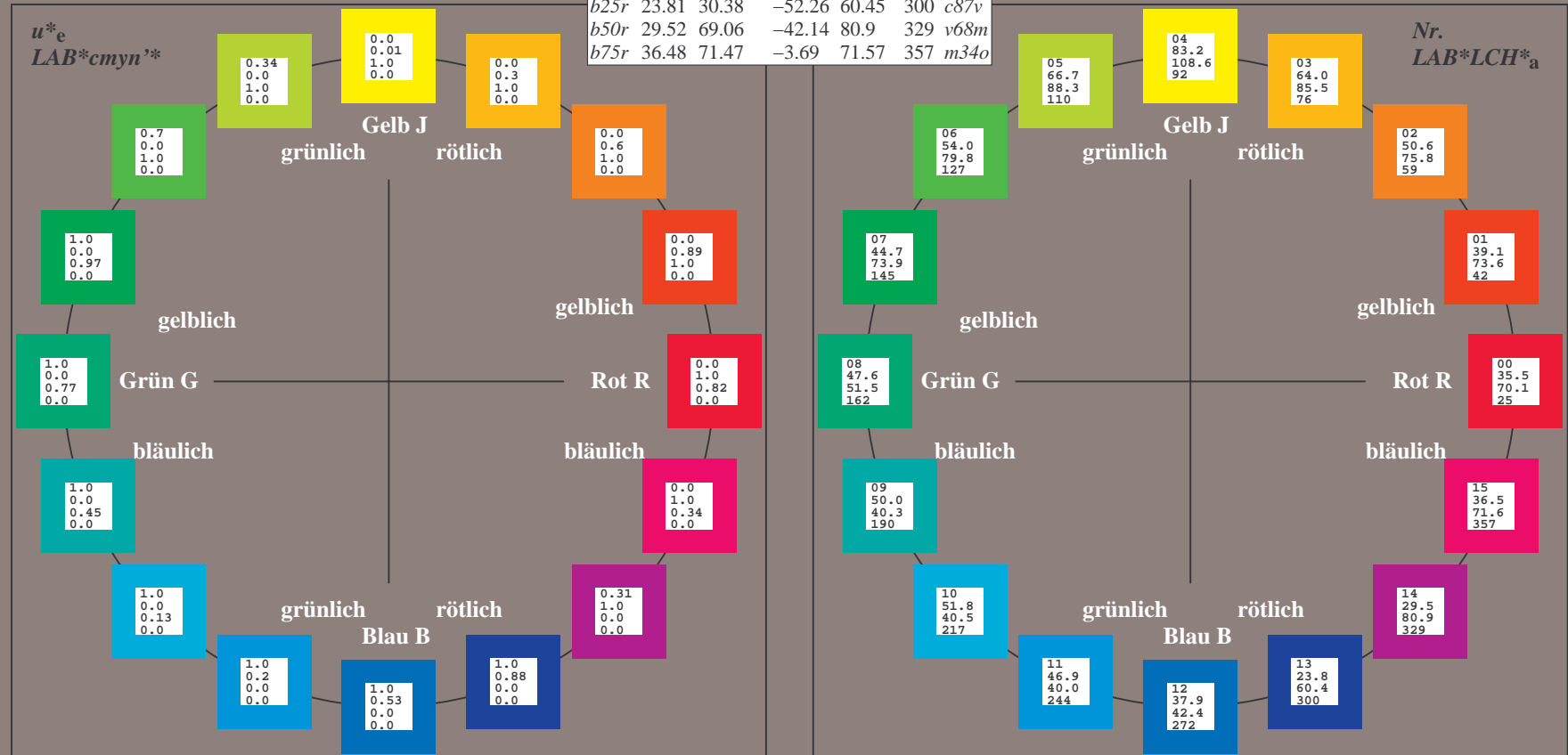
u^*_e	$L^*=L^*_a$	a^*_a	b^*_a	$C^*_{ab,a}$	$h^*_{ab,a}$	u^*_d
r00j	35.47	63.32	30.17	70.15	25	m81o
r25j	39.12	54.56	49.45	73.64	42	o10y
r50j	50.64	39.15	64.89	75.79	59	o40y
r75j	64.01	21.26	82.83	85.52	76	o69y
j00g	83.18	-4.38	108.53	108.62	92	o98y
j25g	66.73	-29.89	83.06	88.28	110	y34l
j50g	54.03	-48.31	63.49	79.78	127	y69l
j75g	44.73	-60.33	42.64	73.88	145	l03c
g00b	47.59	-49.08	15.74	51.54	162	l23c
g25b	49.97	-39.7	-6.72	40.27	190	l55c
g50b	51.85	-32.33	-24.35	40.48	217	l87c
g75b	46.92	-17.29	-36.02	39.96	244	c20v
b00r	37.91	1.28	-42.35	42.37	272	c53v
b25r	23.81	30.38	-52.26	60.45	300	c87v
b50r	29.52	69.06	-42.14	80.9	329	v68m
b75r	36.48	71.47	-3.69	71.57	357	m34o



%Umfang
 $u^*_{rel} = 109$
 %Regularität
 $g^*_{H,rel} = 31$
 $g^*_{C,rel} = 40$

FRS09_92a; CIELAB-Daten

Name	$L^*=L^*_a$	a^*_a	b^*_a	C^*_{ab}	h^*_{ab}
O _M	35.06	60.53	39.66	72.37	33
Y _M	83.77	-4.5	103.15	103.25	92
L _M	44.13	-62.11	43.56	75.86	145
C _M	52.66	-28.56	-36.99	46.73	232
V _M	14.15	50.78	-62.6	80.61	309
M _M	37.37	79.18	-37.93	87.8	334
N _M	8.58	0.46	-3.35	3.38	278
W _M	92.02	0.69	-6.48	6.52	276
R _{CIE}	39.92	58.74	27.99	65.07	25
J _{CIE}	81.26	-2.89	71.56	71.62	92
G _{CIE}	52.23	-42.42	13.6	44.55	162
B _{CIE}	30.57	1.41	-46.47	46.49	272



Ein und Ausgabe: Farbmatisches Drucker-Reflektiv-System FRS09_92a für relativen CIELAB-Bunton $h^* = lab^*h^* = h_{ab}/360 = 0.071$

$u^*_e = r00j$
 $LAB^*cmy^n'^*$

Daten für jede Farbe:

lab^*tch^* und lab^*icu^*

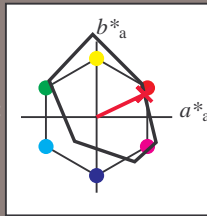
Buntontexte:

$u^*_e = r00j$ $u^*_d = m81o$

Kontrastreduzierungsfaktor:

$c_R = 1.0$

Dreiecks-Helligkeit t^*



FRS09_92a; CIELAB-Daten

	u^*_e	$L^*=L^*$	a^*	b^*	C^*_{ab}	h^*_{ab}
O _M	35.06	60.53	39.66	72.37	33	
Y _M	83.77	-4.5	103.15	103.25	92	
L _M	44.13	-62.11	43.56	75.86	145	
C _M	52.66	-28.56	-36.99	46.73	232	
V _M	14.15	50.78	-62.6	80.61	309	
M _M	37.37	79.18	-37.93	87.8	334	
N _M	8.58	0.46	-3.35	3.38	278	
W _M	92.02	0.69	-6.48	6.52	276	
R _M	39.92	58.74	27.99	65.07	25	
J _M	81.26	-2.89	71.56	71.62	92	
G _M	52.23	-42.42	13.6	44.55	162	
B _M	30.57	1.41	-46.47	46.49	272	

Daten für Maximalfarbe (Ma):

$LAB^*LAB^*_{Ma}$: 35 63 30

$LAB^*LCH^*_{Ma}$: 35 70 25

$lab^*rgb^*_{Ma}$: 1.0 0.0 0.0

$lab^*olv^*_{Ma}$: 1.0 0.0 0.18

Dreiecks-Helligkeit t^*

%Umfang

$u^*_{rel} = 109$

%Regularität

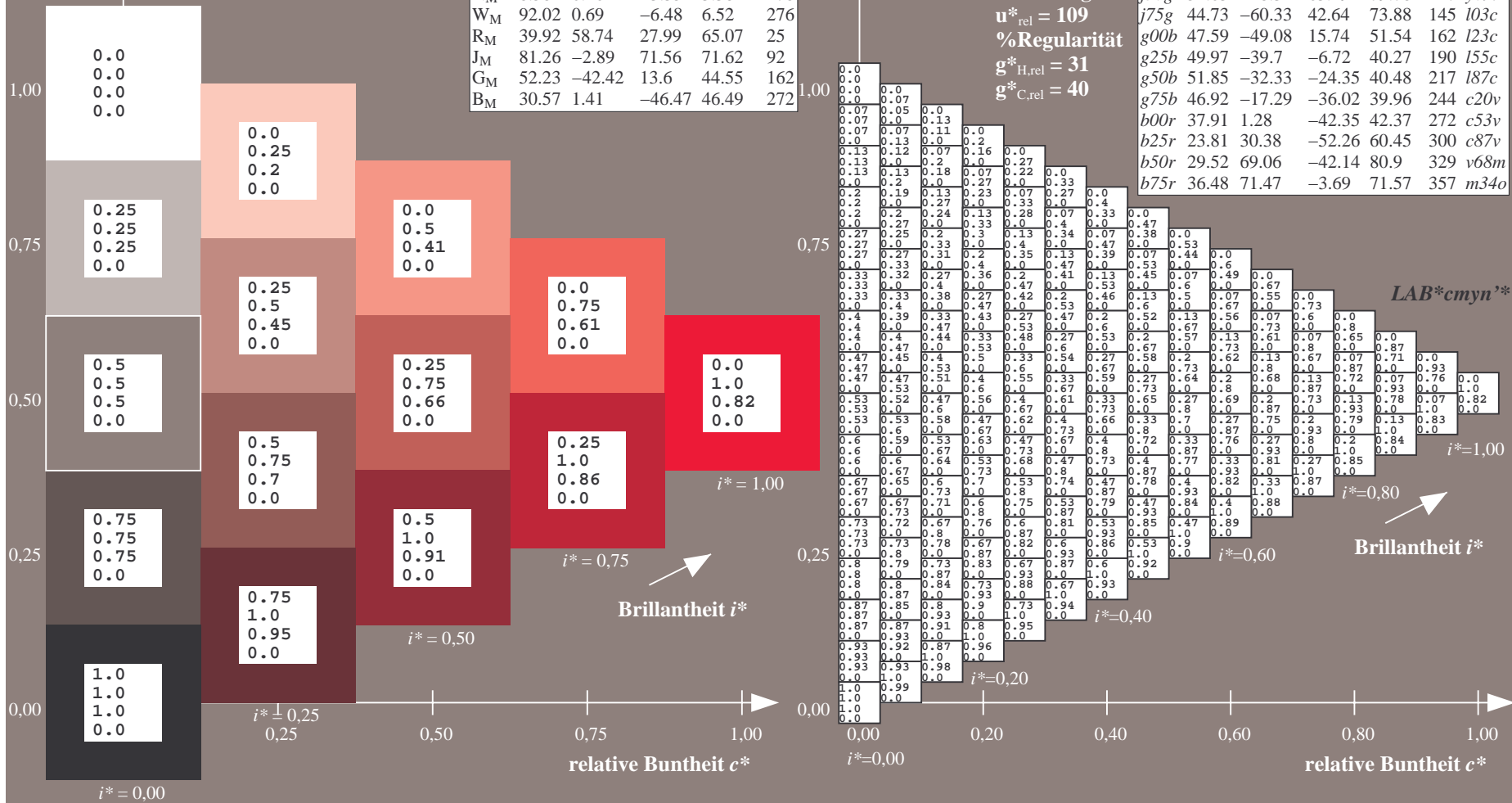
$g^*_{H,rel} = 31$

$g^*_{C,rel} = 40$

FRS09_92a; adaptierte CIELAB-Daten

	u^*_e	$L^*=L^*_a$	a^*_a	b^*_a	$C^*_{ab,a}$	$h^*_{ab,a}$	u^*_d
r00j	35.47	63.32	30.17	70.15	25	m81o	
r25j	39.12	54.56	49.45	73.64	42	o10y	
r50j	50.64	39.15	64.89	75.79	59	o40y	
r75j	64.01	21.26	82.83	85.52	76	o69y	
j00g	83.18	-4.38	108.53	108.62	92	o98y	
j25g	66.73	-29.89	83.06	88.28	110	y34l	
j50g	54.03	-48.31	63.49	79.78	127	y69l	
j75g	44.73	-60.33	42.64	73.88	145	l03c	
g00b	47.59	-49.08	15.74	51.54	162	l23c	
g25b	49.97	-39.7	-6.72	40.27	190	l55c	
g50b	51.85	-32.33	-24.35	40.48	217	l87c	
g75b	46.92	-17.29	-36.02	39.96	244	c20v	
b00r	37.91	1.28	-42.35	42.37	272	c53v	
b25r	23.81	30.38	-52.26	60.45	300	c87v	
b50r	29.52	69.06	-42.14	80.9	329	v68m	
b75r	36.48	71.47	-3.69	71.57	357	m34o	

$LAB^*cmy^n'^*$



Ein und Ausgabe: Farbmatisches Drucker-Reflektiv-System FRS09_92a für relativen CIELAB-Bunton $h^* = lab^*h^* = h_{ab}/360 = 0.117$

$u^*_e = r25j$
 LAB^*cmy^n '*

Daten für jede Farbe:

lab^*tch^* und lab^*icu^*

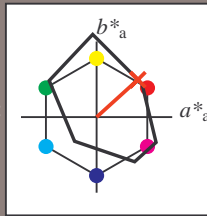
Buntontexte:

$u^*_e = r25j$ $u^*_d = o10y$

Kontrastreduzierungsfaktor:

$c_R = 1.0$

Dreiecks-Helligkeit t^*



FRS09_92a; CIELAB-Daten

	u^*_e	$L^*=L^*$	a^*	b^*	C^*_{ab}	h^*_{ab}
O _M	35.06	60.53	39.66	72.37	33	
Y _M	83.77	-4.5	103.15	103.25	92	
L _M	44.13	-62.11	43.56	75.86	145	
C _M	52.66	-28.56	-36.99	46.73	232	
V _M	14.15	50.78	-62.6	80.61	309	
M _M	37.37	79.18	-37.93	87.8	334	
N _M	8.58	0.46	-3.35	3.38	278	
W _M	92.02	0.69	-6.48	6.52	276	
R _M	39.92	58.74	27.99	65.07	25	
J _M	81.26	-2.89	71.56	71.62	92	
G _M	52.23	-42.42	13.6	44.55	162	
B _M	30.57	1.41	-46.47	46.49	272	

Daten für Maximalfarbe (Ma):

$LAB^*LAB^*_{Ma}$: 39 55 49

$LAB^*LCH^*_{Ma}$: 39 74 42

$lab^*rgb^*_{Ma}$: 1.0 0.25 0.0

$lab^*olv^*_{Ma}$: 1.0 0.11 0.0

Dreiecks-Helligkeit t^*

%Umfang

$u^*_{rel} = 109$

%Regularität

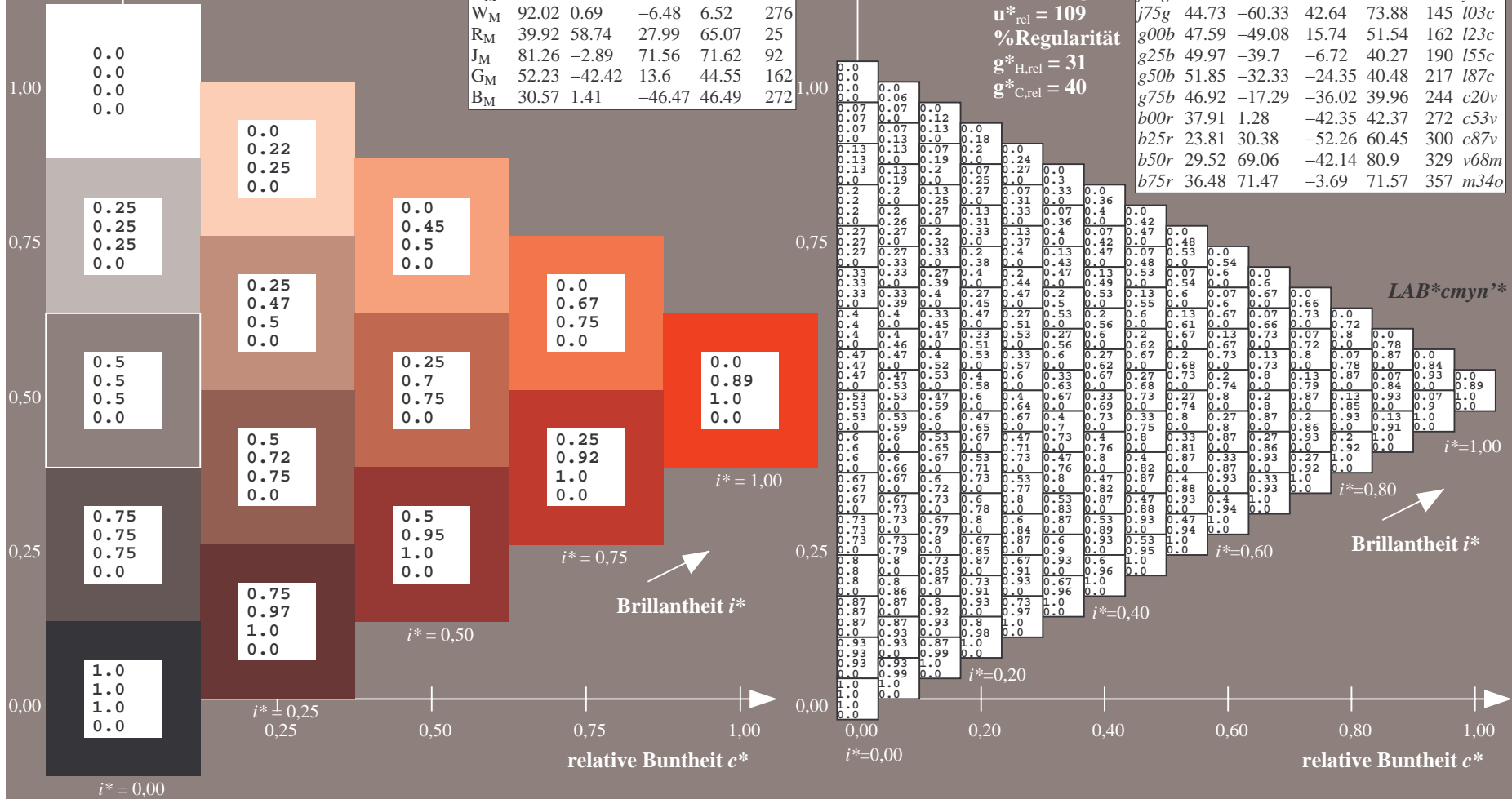
$g^*_{H,rel} = 31$

$g^*_{C,rel} = 40$

FRS09_92a; adaptierte CIELAB-Daten

	u^*_e	$L^*=L^*_a$	a^*_a	b^*_a	$C^*_{ab,a}$	$h^*_{ab,a}$	u^*_d
r00j	35.47	63.32	30.17	70.15	25	m81o	
r25j	39.12	54.56	49.45	73.64	42	o10y	
r50j	50.64	39.15	64.89	75.79	59	o40y	
r75j	64.01	21.26	82.83	85.52	76	o69y	
j00g	83.18	-4.38	108.53	108.62	92	o98y	
j25g	66.73	-29.89	83.06	88.28	110	y34l	
j50g	54.03	-48.31	63.49	79.78	127	y69l	
j75g	44.73	-60.33	42.64	73.88	145	l03c	
g00b	47.59	-49.08	15.74	51.54	162	i23c	
g25b	49.97	-39.7	-6.72	40.27	190	i55c	
g50b	51.85	-32.33	-24.35	40.48	217	i87c	
g75b	46.92	-17.29	-36.02	39.96	244	c20v	
b00r	37.91	1.28	-42.35	42.37	272	c53v	
b25r	23.81	30.38	-52.26	60.45	300	c87v	
b50r	29.52	69.06	-42.14	80.9	329	v68m	
b75r	36.48	71.47	-3.69	71.57	357	m34o	

LAB^*cmy^n '*



Ein und Ausgabe: Farbmatisches Drucker-Reflektiv-System FRS09_92a für relativen CIELAB-Bunton $h^* = lab^*h^* = h_{ab}/360 = 0.164$

$u^*_e = r50j$
 LAB^*cmy^n '*

Daten für jede Farbe:

lab^*tch^* und lab^*icu^*

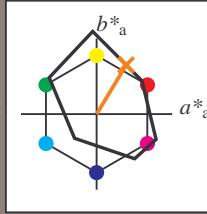
Buntontexte:

$u^*_e = r50j$ $u^*_d = o40y$

Kontrastreduzierungsfaktor:

$c_R = 1.0$

Dreiecks-Helligkeit t^*



FRS09_92a; CIELAB-Daten

	u^*_e	$L^*=L^*$	a^*	b^*	C^*_{ab}	h^*_{ab}
O _M	35.06	60.53	39.66	72.37	33	
Y _M	83.77	-4.5	103.15	103.25	92	
L _M	44.13	-62.11	43.56	75.86	145	
C _M	52.66	-28.56	-36.99	46.73	232	
V _M	14.15	50.78	-62.6	80.61	309	
M _M	37.37	79.18	-37.93	87.8	334	
N _M	8.58	0.46	-3.35	3.38	278	
W _M	92.02	0.69	-6.48	6.52	276	
R _M	39.92	58.74	27.99	65.07	25	
J _M	81.26	-2.89	71.56	71.62	92	
G _M	52.23	-42.42	13.6	44.55	162	
B _M	30.57	1.41	-46.47	46.49	272	

Daten für Maximalfarbe (Ma):

$LAB^*LAB^*_{Ma}$: 51 39 65

$LAB^*LCH^*_{Ma}$: 51 76 58

$lab^*rgb^*_{Ma}$: 1.0 0.5 0.0

$lab^*olv^*_{Ma}$: 1.0 0.4 0.0

Dreiecks-Helligkeit t^*

%Umfang

$u^*_{rel} = 109$

%Regularität

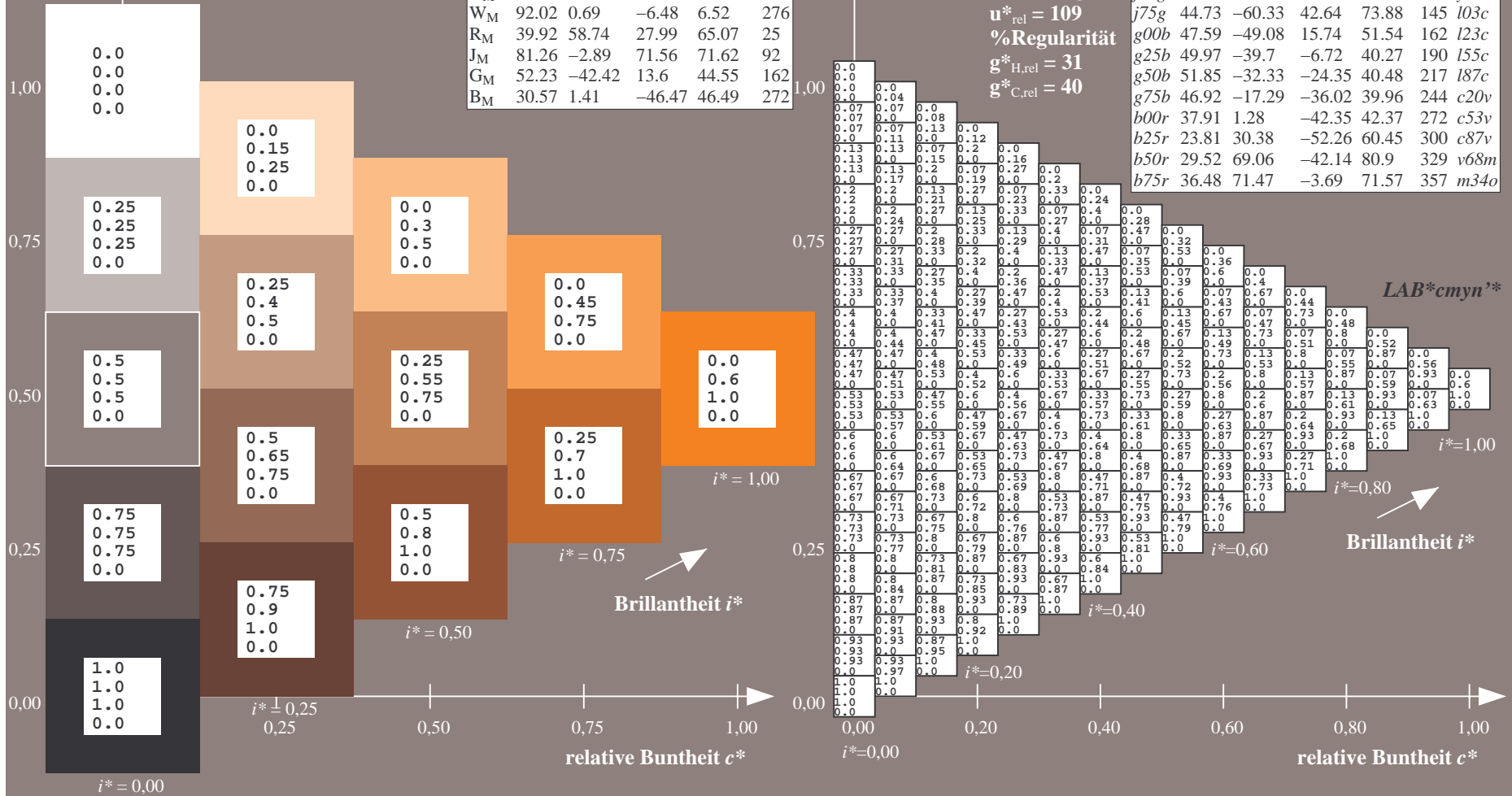
$g^*_{H,rel} = 31$

$g^*_{C,rel} = 40$

FRS09_92a; adaptierte CIELAB-Daten

	u^*_e	$L^*=L^*_a$	a^*_a	b^*_a	$C^*_{ab,a}$	$h^*_{ab,a}$	u^*_d
r00j	35.47	63.32	30.17	70.15	25	m81o	
r25j	39.12	54.56	49.45	73.64	42	o10y	
r50j	50.64	39.15	64.89	75.79	59	o40y	
r75j	64.01	21.26	82.83	85.52	76	o69y	
j00g	83.18	-4.38	108.53	108.62	92	o98y	
j25g	66.73	-29.89	83.06	88.28	110	y34l	
j50g	54.03	-48.31	63.49	79.78	127	y69l	
j75g	44.73	-60.33	42.64	73.88	145	i03c	
g00b	47.59	-49.08	15.74	51.54	162	l23c	
g25b	49.97	-39.7	-6.72	40.27	190	i55c	
g50b	51.85	-32.33	-24.35	40.48	217	i87c	
g75b	46.92	-17.29	-36.02	39.96	244	c20v	
b00r	37.91	1.28	-42.35	42.37	272	c53v	
b25r	23.81	30.38	-52.26	60.45	300	c87v	
b50r	29.52	69.06	-42.14	80.9	329	v68m	
b75r	36.48	71.47	-3.69	71.57	357	m34o	

LAB^*cmy^n '*



Ein und Ausgabe: Farbmatisches Drucker-Reflektiv-System FRS09_92a für relativen CIELAB-Bunton $h^* = lab^*h^* = h_{ab}/360 = 0.21$

$u^*_e = r75j$

Daten für jede Farbe:

$LAB^*cmy^n'^*$

lab^*tch^* und lab^*icu^*

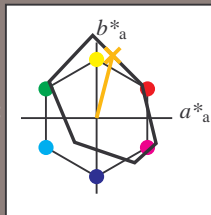
Buntontexte:

$u^*_e = r75j$ $u^*_d = o69y$

Kontrastreduzierungsfaktor:

$c_R = 1.0$

Dreiecks-Helligkeit t^*



FRS09_92a; CIELAB-Daten

	u^*_e	$L^*=L^*$	a^*	b^*	C^*_{ab}	h^*_{ab}
O _M	35.06	60.53	39.66	72.37	33	
Y _M	83.77	-4.5	103.15	103.25	92	
L _M	44.13	-62.11	43.56	75.86	145	
C _M	52.66	-28.56	-36.99	46.73	232	
V _M	14.15	50.78	-62.6	80.61	309	
M _M	37.37	79.18	-37.93	87.8	334	
N _M	8.58	0.46	-3.35	3.38	278	
W _M	92.02	0.69	-6.48	6.52	276	
R _M	39.92	58.74	27.99	65.07	25	
J _M	81.26	-2.89	71.56	71.62	92	
G _M	52.23	-42.42	13.6	44.55	162	
B _M	30.57	1.41	-46.47	46.49	272	

Daten für Maximalfarbe (Ma):

$LAB^*LAB^*_{Ma}: 64\ 21\ 83$

$LAB^*LCH^*_{Ma}: 64\ 86\ 75$

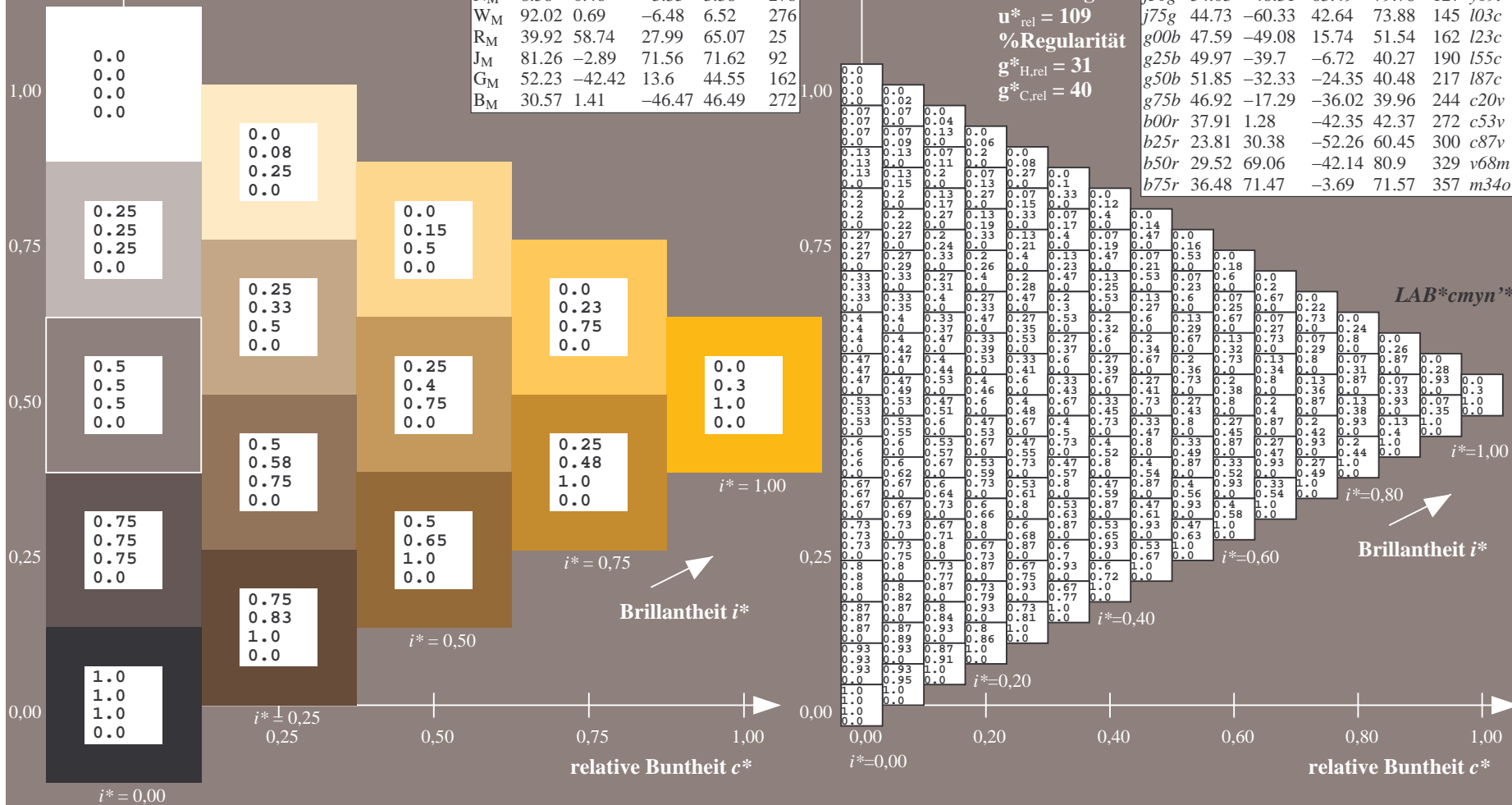
$lab^*rgb^*_{Ma}: 1.0\ 0.75\ 0.0$

$lab^*olv^*_{Ma}: 1.0\ 0.7\ 0.0$

Dreiecks-Helligkeit t^*

FRS09_92a; adaptierte CIELAB-Daten

	u^*_e	$L^*=L^*_a$	a^*_a	b^*_a	$C^*_{ab,a}$	$h^*_{ab,a}$	u^*_d
r00j	35.47	63.32	30.17	70.15	25	m81o	
r25j	39.12	54.56	49.45	73.64	42	o10y	
r50j	50.64	39.15	64.89	75.79	59	o40y	
r75j	64.01	21.26	82.83	85.52	76	o69y	
j00g	83.18	-4.38	108.53	108.62	92	o98y	
j25g	66.73	-29.89	83.06	88.28	110	y34l	
j50g	54.03	-48.31	63.49	79.78	127	y69l	
j75g	44.73	-60.33	42.64	73.88	145	l03c	
g00b	47.59	-49.08	15.74	51.54	162	l23c	
g25b	49.97	-39.7	-6.72	40.27	190	l55c	
g50b	51.85	-32.33	-24.35	40.48	217	l87c	
g75b	46.92	-17.29	-36.02	39.96	244	c20v	
b00r	37.91	1.28	-42.35	42.37	272	c53v	
b25r	23.81	30.38	-52.26	60.45	300	c87v	
b50r	29.52	69.06	-42.14	80.9	329	v68m	
b75r	36.48	71.47	-3.69	71.57	357	m34o	



Ein und Ausgabe: Farbmatisches Drucker-Reflektiv-System FRS09_92a für relativen CIELAB-Bunton $h^* = lab^*h^* = h_{ab}/360 = 0.256$

$u^*_e = j00g$
 $LAB^*cmy^n'^*$

Daten für jede Farbe:

lab^*tch^* und lab^*icu^*

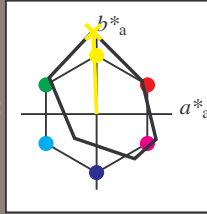
Buntontexte:

$u^*_e = j00g$ $u^*_d = o98y$

Kontrastreduzierungsfaktor:

$c_R = 1.0$

Dreiecks-Helligkeit t^*



FRS09_92a; CIELAB-Daten

	u^*_e	$L^*=L^*$	a^*	b^*	C^*_{ab}	h^*_{ab}
O _M	35.06	60.53	39.66	72.37	33	
Y _M	83.77	-4.5	103.15	103.25	92	
L _M	44.13	-62.11	43.56	75.86	145	
C _M	52.66	-28.56	-36.99	46.73	232	
V _M	14.15	50.78	-62.6	80.61	309	
M _M	37.37	79.18	-37.93	87.8	334	
N _M	8.58	0.46	-3.35	3.38	278	
W _M	92.02	0.69	-6.48	6.52	276	
R _M	39.92	58.74	27.99	65.07	25	
J _M	81.26	-2.89	71.56	71.62	92	
G _M	52.23	-42.42	13.6	44.55	162	
B _M	30.57	1.41	-46.47	46.49	272	

Daten für Maximalfarbe (Ma):

$LAB^*LAB^*_{Ma}$: 83 -4 109

$LAB^*LCH^*_{Ma}$: 83 109 92

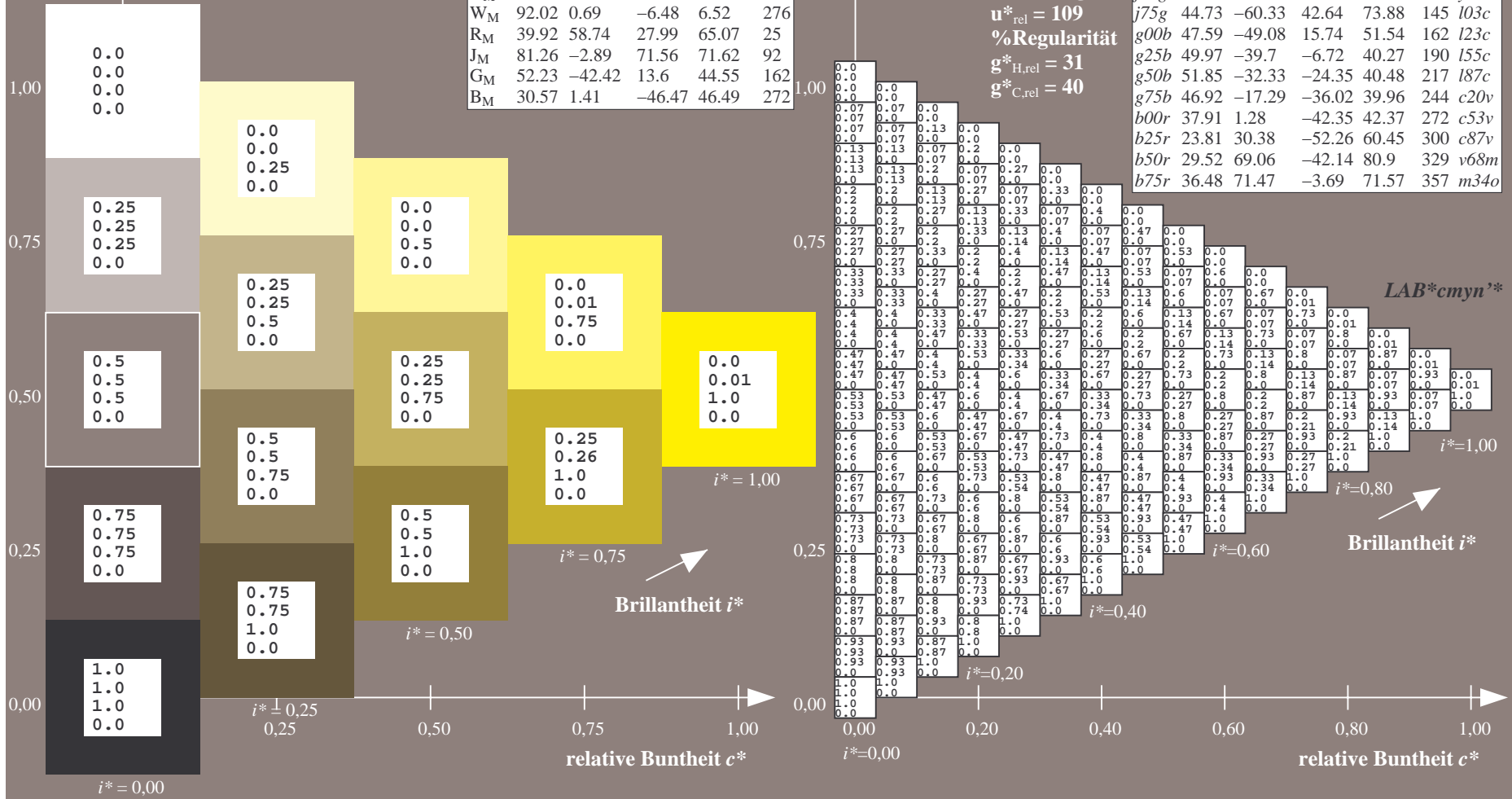
$lab^*rgb^*_{Ma}$: 1.0 1.0 0.0

$lab^*olv^*_{Ma}$: 1.0 0.99 0.0

Dreiecks-Helligkeit t^*

FRS09_92a; adaptierte CIELAB-Daten

	u^*_e	$L^*=L^*_a$	a^*_a	b^*_a	$C^*_{ab,a}$	$h^*_{ab,a}$	u^*_d
r00j	35.47	63.32	30.17	70.15	25	m81o	
r25j	39.12	54.56	49.45	73.64	42	o10y	
r50j	50.64	39.15	64.89	75.79	59	o40y	
r75j	64.01	21.26	82.83	85.52	76	o69y	
j00g	83.18	-4.38	108.53	108.62	92	o98y	
j25g	66.73	-29.89	83.06	88.28	110	y34l	
j50g	54.03	-48.31	63.49	79.78	127	y69l	
j75g	44.73	-60.33	42.64	73.88	145	i03c	
g00b	47.59	-49.08	15.74	51.54	162	i23c	
g25b	49.97	-39.7	-6.72	40.27	190	i55c	
g50b	51.85	-32.33	-24.35	40.48	217	i87c	
g75b	46.92	-17.29	-36.02	39.96	244	c20v	
b00r	37.91	1.28	-42.35	42.37	272	c53v	
b25r	23.81	30.38	-52.26	60.45	300	c87v	
b50r	29.52	69.06	-42.14	80.9	329	v68m	
b75r	36.48	71.47	-3.69	71.57	357	m34o	



Ein und Ausgabe: Farbmatisches Drucker-Reflektiv-System FRS09_92a für relativen CIELAB-Bunton $h^* = lab^*h^* = h_{ab}/360 = 0.305$

$u^*_e = j25g$

Daten für jede Farbe:

lab^*tch^* und lab^*icu^*

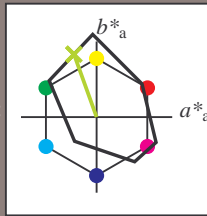
Buntontexte:

$u^*_e = j25g$ $u^*_d = y34l$

Kontrastreduzierungsfaktor:

$c_R = 1.0$

Dreiecks-Helligkeit t^*



FRS09_92a; CIELAB-Daten

u^*_e	$L^*=L^*$	a^*	b^*	C^*_{ab}	h^*_{ab}
O _M	35.06	60.53	39.66	72.37	33
Y _M	83.77	-4.5	103.15	103.25	92
L _M	44.13	-62.11	43.56	75.86	145
C _M	52.66	-28.56	-36.99	46.73	232
V _M	14.15	50.78	-62.6	80.61	309
M _M	37.37	79.18	-37.93	87.8	334
N _M	8.58	0.46	-3.35	3.38	278
W _M	92.02	0.69	-6.48	6.52	276
R _M	39.92	58.74	27.99	65.07	25
J _M	81.26	-2.89	71.56	71.62	92
G _M	52.23	-42.42	13.6	44.55	162
B _M	30.57	1.41	-46.47	46.49	272

Daten für Maximalfarbe (Ma):

$LAB^*LAB^*_{Ma}: 67 -30 83$

$LAB^*LCH^*_{Ma}: 67 88 109$

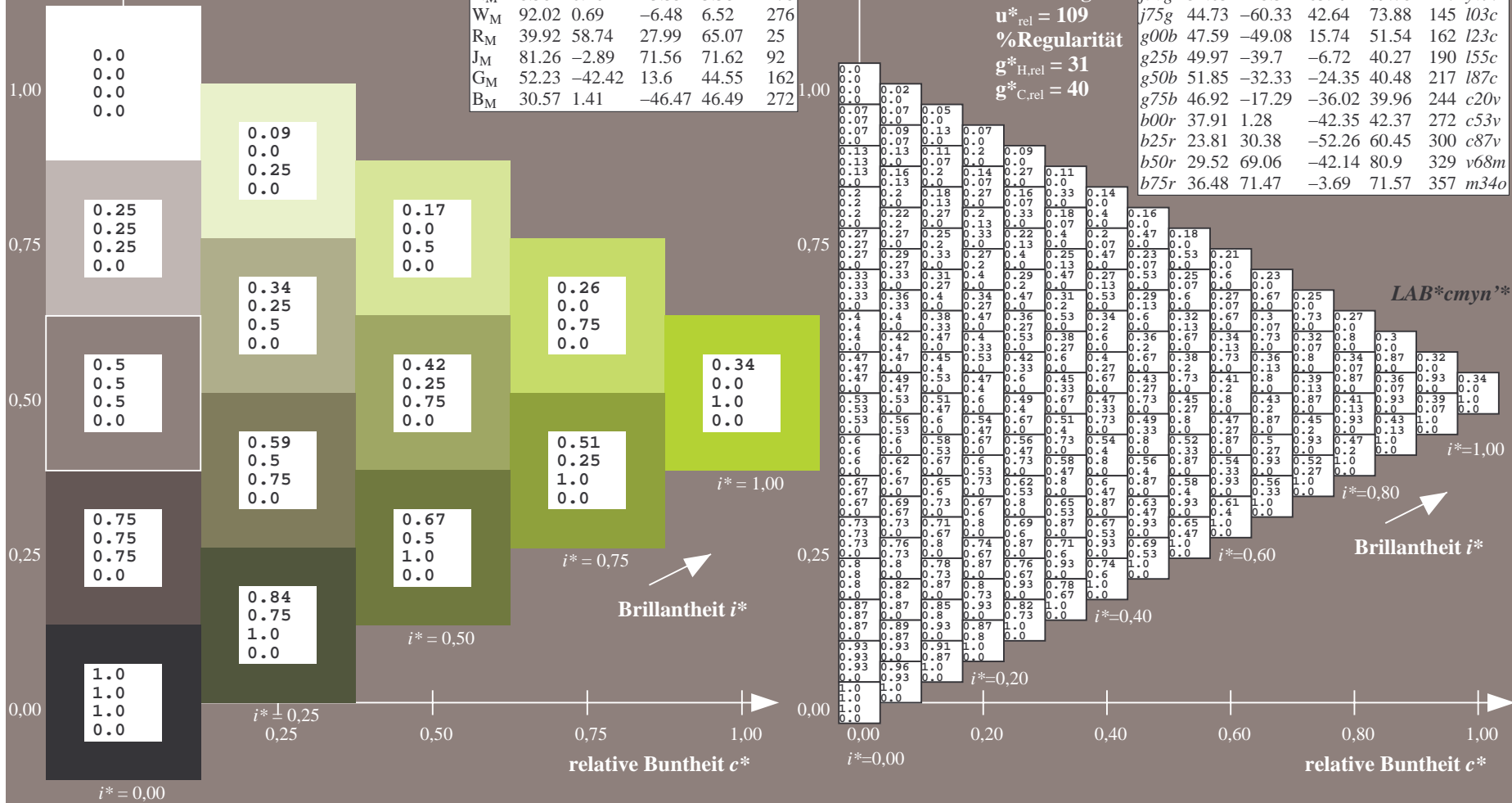
$lab^*rgb^*_{Ma}: 0.75 1.0 0.0$

$lab^*olv^*_{Ma}: 0.66 1.0 0.0$

Dreiecks-Helligkeit t^*

FRS09_92a; adaptierte CIELAB-Daten

u^*_e	$L^*=L^*_a$	a^*_a	b^*_a	$C^*_{ab,a}$	$h^*_{ab,a}$	u^*_d
r00j	35.47	63.32	30.17	70.15	25	m81o
r25j	39.12	54.56	49.45	73.64	42	o10y
r50j	50.64	39.15	64.89	75.79	59	o40y
r75j	64.01	21.26	82.83	85.52	76	o69y
j00g	83.18	-4.38	108.53	108.62	92	o98y
j25g	66.73	-29.89	83.06	88.28	110	y34l
j50g	54.03	-48.31	63.49	79.78	127	y69l
j75g	44.73	-60.33	42.64	73.88	145	i03c
g00b	47.59	-49.08	15.74	51.54	162	l23c
g25b	49.97	-39.7	-6.72	40.27	190	i55c
g50b	51.85	-32.33	-24.35	40.48	217	i87c
g75b	46.92	-17.29	-36.02	39.96	244	c20v
b00r	37.91	1.28	-42.35	42.37	272	c53v
b25r	23.81	30.38	-52.26	60.45	300	c87v
b50r	29.52	69.06	-42.14	80.9	329	v68m
b75r	36.48	71.47	-3.69	71.57	357	m34o



Ein und Ausgabe: Farbmatisches Drucker-Reflektiv-System FRS09_92a für relativen CIELAB-Bunton $h^* = lab^*h^* = h_{ab}/360 = 0.354$

$u^*_e = j50g$
LAB**cmy*n**

Daten für jede Farbe:

lab^*tch^* und lab^*icu^*

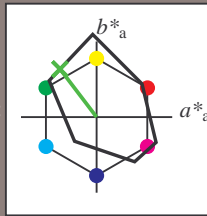
Buntontexte:

$u^*_e = j50g$ $u^*_d = y69l$

Kontrastreduzierungsfaktor:

$c_R = 1.0$

Dreiecks-Helligkeit t^*



FRS09_92a; CIELAB-Daten

	u^*_e	$L^*=L^*$	a^*	b^*	C^*_{ab}	h^*_{ab}
O _M	35.06	60.53	39.66	72.37	33	
Y _M	83.77	-4.5	103.15	103.25	92	
L _M	44.13	-62.11	43.56	75.86	145	
C _M	52.66	-28.56	-36.99	46.73	232	
V _M	14.15	50.78	-62.6	80.61	309	
M _M	37.37	79.18	-37.93	87.8	334	
N _M	8.58	0.46	-3.35	3.38	278	
W _M	92.02	0.69	-6.48	6.52	276	
R _M	39.92	58.74	27.99	65.07	25	
J _M	81.26	-2.89	71.56	71.62	92	
G _M	52.23	-42.42	13.6	44.55	162	
B _M	30.57	1.41	-46.47	46.49	272	

Daten für Maximalfarbe (Ma):

LAB*LAB*_{Ma}: 54 -48 63

LAB*LCH*_{Ma}: 54 80 127

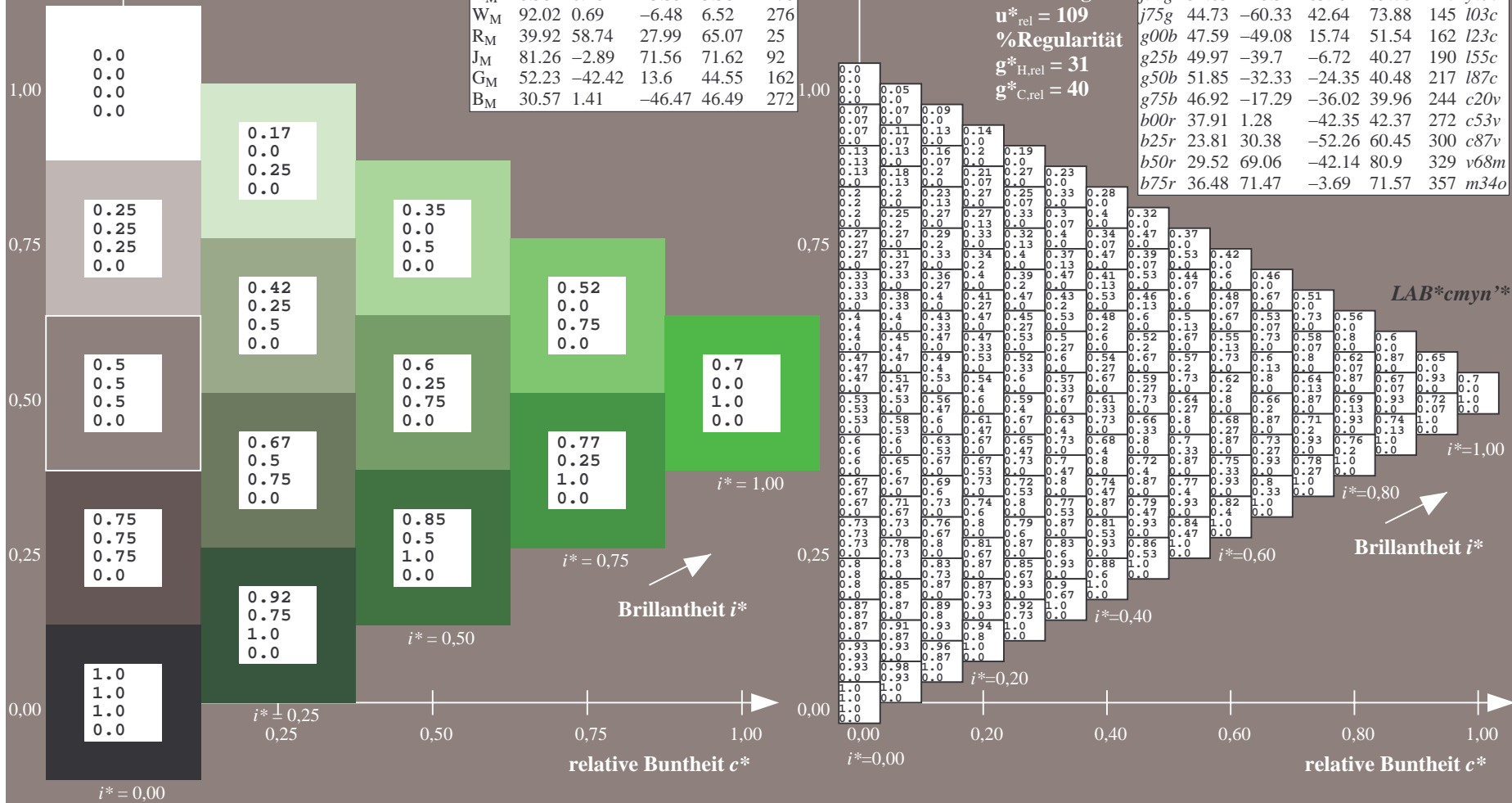
lab*rgb*_{Ma}: 0.5 1.0 0.0

lab*olv*_{Ma}: 0.3 1.0 0.0

Dreiecks-Helligkeit t^*

FRS09_92a; adaptierte CIELAB-Daten

	u^*_e	$L^*=L^*_a$	a^*_a	b^*_a	$C^*_{ab,a}$	$h^*_{ab,a}$	u^*_d
r00j	35.47	63.32	30.17	70.15	25	m81o	
r25j	39.12	54.56	49.45	73.64	42	o10y	
r50j	50.64	39.15	64.89	75.79	59	o40y	
r75j	64.01	21.26	82.83	85.52	76	o69y	
j00g	83.18	-4.38	108.53	108.62	92	o98y	
j25g	66.73	-29.89	83.06	88.28	110	y34l	
j50g	54.03	-48.31	63.49	79.78	127	y69l	
j75g	44.73	-60.33	42.64	73.88	145	i03c	
g00b	47.59	-49.08	15.74	51.54	162	l23c	
g25b	49.97	-39.7	-6.72	40.27	190	i55c	
g50b	51.85	-32.33	-24.35	40.48	217	i87c	
g75b	46.92	-17.29	-36.02	39.96	244	c20v	
b00r	37.91	1.28	-42.35	42.37	272	c53v	
b25r	23.81	30.38	-52.26	60.45	300	c87v	
b50r	29.52	69.06	-42.14	80.9	329	v68m	
b75r	36.48	71.47	-3.69	71.57	357	m34o	



Ein und Ausgabe: Farbmatisches Drucker-Reflektiv-System FRS09_92a für relativen CIELAB-Bunton $h^* = lab^*h^* = h_{ab}/360 = 0.402$

$u^*_e = j75g$
LAB*cmyn**

Daten für jede Farbe:

lab^*ch^* und lab^*icu^*

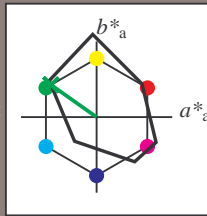
Buntontexte:

$u^*_e = j75g$ $u^*_d = l03c$

Kontrastreduzierungsfaktor:

$c_R = 1.0$

Dreiecks-Helligkeit t^*



FRS09_92a; CIELAB-Daten						
	u^*_e	$L^*=L^*$	a^*	b^*	C^*_{ab}	h^*_{ab}
O _M	35.06	60.53	39.66	72.37	33	
Y _M	83.77	-4.5	103.15	103.25	92	
L _M	44.13	-62.11	43.56	75.86	145	
C _M	52.66	-28.56	-36.99	46.73	232	
V _M	14.15	50.78	-62.6	80.61	309	
M _M	37.37	79.18	-37.93	87.8	334	
N _M	8.58	0.46	-3.35	3.38	278	
W _M	92.02	0.69	-6.48	6.52	276	
R _M	39.92	58.74	27.99	65.07	25	
J _M	81.26	-2.89	71.56	71.62	92	
G _M	52.23	-42.42	13.6	44.55	162	
B _M	30.57	1.41	-46.47	46.49	272	

Daten für Maximalfarbe (Ma):

LAB*LAB*Ma: 45 -60 43

LAB*LCH*Ma: 45 74 144

lab*rgb*Ma: 0.25 1.0 0.0

lab*olv*Ma: 0.0 1.0 0.03

Dreiecks-Helligkeit t^*

%Umfang

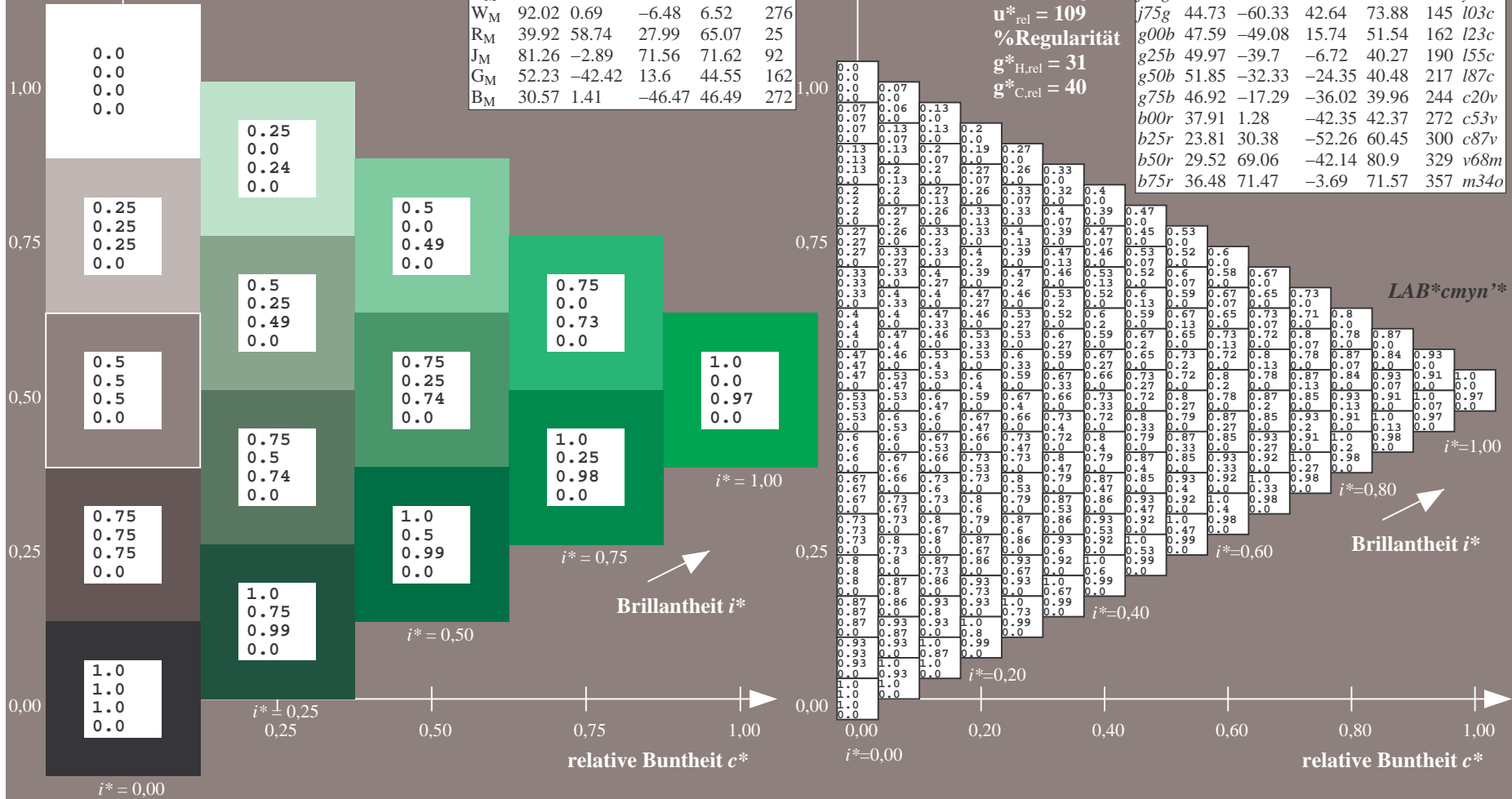
$u^*_{rel} = 109$

%Regularität

$g^*_{H,rel} = 31$

$g^*_{C,rel} = 40$

FRS09_92a; adaptierte CIELAB-Daten							
	u^*_e	$L^*=L^*_a$	a^*_a	b^*_a	$C^*_{ab,a}$	$h^*_{ab,a}$	u^*_d
r00j	35.47	63.32	30.17	70.15	25	m81o	
r25j	39.12	54.56	49.45	73.64	42	o10y	
r50j	50.64	39.15	64.89	75.79	59	o40y	
r75j	64.01	21.26	82.83	85.52	76	o69y	
j00g	83.18	-4.38	108.53	108.62	92	o98y	
j25g	66.73	-29.89	83.06	88.28	110	y34l	
j50g	54.03	-48.31	63.49	79.78	127	y69l	
j75g	44.73	-60.33	42.64	73.88	145	l03c	
g00b	47.59	-49.08	15.74	51.54	162	l23c	
g25b	49.97	-39.7	-6.72	40.27	190	l55c	
g50b	51.85	-32.33	-24.35	40.48	217	l87c	
g75b	46.92	-17.29	-36.02	39.96	244	c20v	
b00r	37.91	1.28	-42.35	42.37	272	c53v	
b25r	23.81	30.38	-52.26	60.45	300	c87v	
b50r	29.52	69.06	-42.14	80.9	329	v68m	
b75r	36.48	71.47	-3.69	71.57	357	m34o	



Ein und Ausgabe: Farbmatisches Drucker-Reflektiv-System FRS09_92a für relativen CIELAB-Bunton $h^* = lab^*h^* = h_{ab}/360 = 0.451$

$u^*_e = g00b$
 LAB^*cmy^n '*

Daten für jede Farbe:

lab^*tch^* und lab^*icu^*

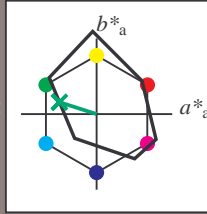
Buntontexte:

$u^*_e = g00b$ $u^*_d = l23c$

Kontrastreduzierungsfaktor:

$c_R = 1.0$

Dreiecks-Helligkeit t^*



FRS09_92a; CIELAB-Daten

	u^*_e	$L^*=L^*$	a^*	b^*	C^*_{ab}	h^*_{ab}
O _M	35.06	60.53	39.66	72.37	33	
Y _M	83.77	-4.5	103.15	103.25	92	
L _M	44.13	-62.11	43.56	75.86	145	
C _M	52.66	-28.56	-36.99	46.73	232	
V _M	14.15	50.78	-62.6	80.61	309	
M _M	37.37	79.18	-37.93	87.8	334	
N _M	8.58	0.46	-3.35	3.38	278	
W _M	92.02	0.69	-6.48	6.52	276	
R _M	39.92	58.74	27.99	65.07	25	
J _M	81.26	-2.89	71.56	71.62	92	
G _M	52.23	-42.42	13.6	44.55	162	
B _M	30.57	1.41	-46.47	46.49	272	

Daten für Maximalfarbe (Ma):

$LAB^*LAB^*_{Ma}: 48 -49 16$

$LAB^*LCH^*_{Ma}: 48 52 162$

$lab^*rgb^*_{Ma}: 0.0 1.0 0.0$

$lab^*olv^*_{Ma}: 0.0 1.0 0.23$

Dreiecks-Helligkeit t^*

%Umfang

$u^*_{rel} = 109$

%Regularität

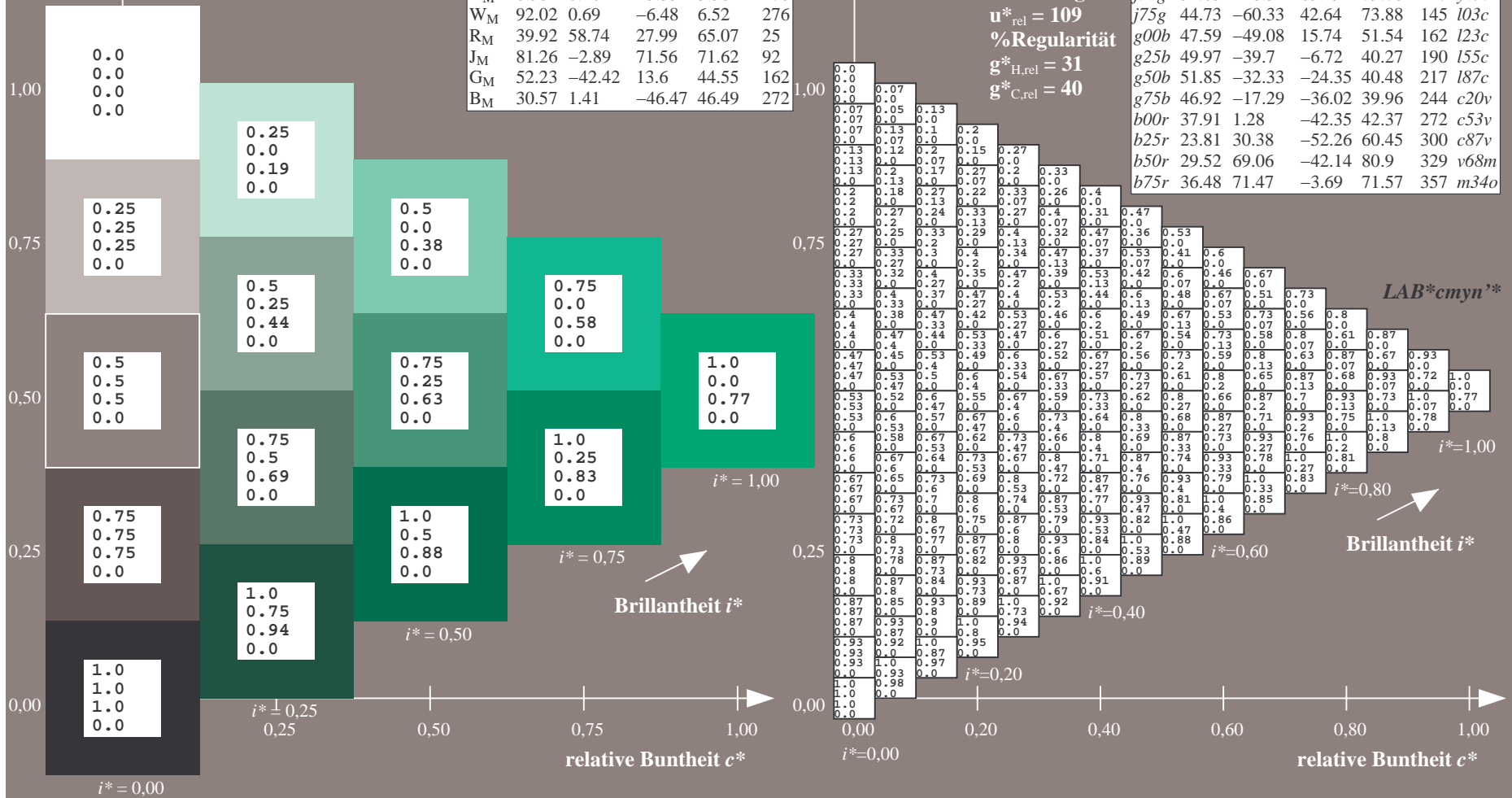
$g^*_{H,rel} = 31$

$g^*_{C,rel} = 40$

FRS09_92a; adaptierte CIELAB-Daten

	u^*_e	$L^*=L^*_a$	a^*_a	b^*_a	$C^*_{ab,a}$	$h^*_{ab,a}$	u^*_d
r00j	35.47	63.32	30.17	70.15	25	m81o	
r25j	39.12	54.56	49.45	73.64	42	o10y	
r50j	50.64	39.15	64.89	75.79	59	o40y	
r75j	64.01	21.26	82.83	85.52	76	o69y	
j00g	83.18	-4.38	108.53	108.62	92	o98y	
j25g	66.73	-29.89	83.06	88.28	110	y34l	
j50g	54.03	-48.31	63.49	79.78	127	y69l	
j75g	44.73	-60.33	42.64	73.88	145	l03c	
g00b	47.59	-49.08	15.74	51.54	162	l23c	
g25b	49.97	-39.7	-6.72	40.27	190	l55c	
g50b	51.85	-32.33	-24.35	40.48	217	l87c	
g75b	46.92	-17.29	-36.02	39.96	244	c20v	
b00r	37.91	1.28	-42.35	42.37	272	c53v	
b25r	23.81	30.38	-52.26	60.45	300	c87v	
b50r	29.52	69.06	-42.14	80.9	329	v68m	
b75r	36.48	71.47	-3.69	71.57	357	m34o	

LAB^*cmy^n '*



Ein und Ausgabe: Farbmatisches Drucker-Reflektiv-System FRS09_92a für relativen CIELAB-Bunton $h^* = lab^*h^* = h_{ab}/360 = 0.527$

$u^*_e = g25b$
 $LAB^*cmy^n'^*$

Daten für jede Farbe:

lab^*ch^* und lab^*icu^*

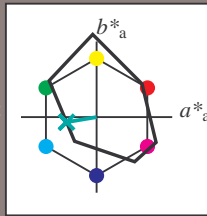
Buntontexte:

$u^*_e = g25b$ $u^*_d = l55c$

Kontrastreduzierungsfaktor:

$c_R = 1.0$

Dreiecks-Helligkeit t^*



FRS09_92a; CIELAB-Daten

	u^*_e	$L^*=L^*$	a^*	b^*	C^*_{ab}	h^*_{ab}
O _M	35.06	60.53	39.66	72.37	33	
Y _M	83.77	-4.5	103.15	103.25	92	
L _M	44.13	-62.11	43.56	75.86	145	
C _M	52.66	-28.56	-36.99	46.73	232	
V _M	14.15	50.78	-62.6	80.61	309	
M _M	37.37	79.18	-37.93	87.8	334	
N _M	8.58	0.46	-3.35	3.38	278	
W _M	92.02	0.69	-6.48	6.52	276	
R _M	39.92	58.74	27.99	65.07	25	
J _M	81.26	-2.89	71.56	71.62	92	
G _M	52.23	-42.42	13.6	44.55	162	
B _M	30.57	1.41	-46.47	46.49	272	

Daten für Maximalfarbe (Ma):

$LAB^*LAB^*_{Ma}: 50 -40 -7$

$LAB^*LCH^*_{Ma}: 50 40 189$

$lab^*rgb^*_{Ma}: 0.0 1.0 0.5$

$lab^*olv^*_{Ma}: 0.0 1.0 0.55$

Dreiecks-Helligkeit t^*

%Umfang

$u^*_{rel} = 109$

%Regularität

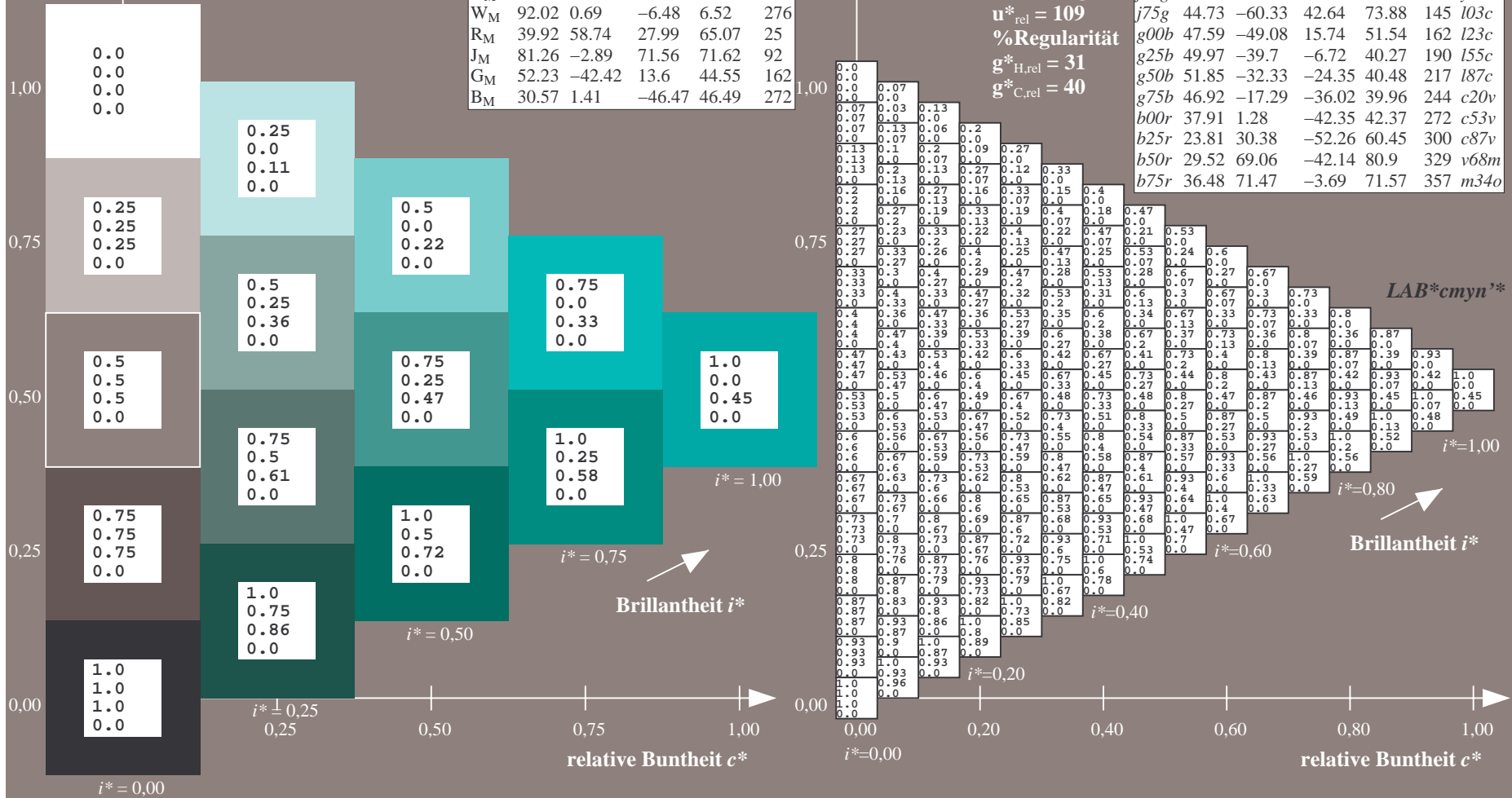
$g^*_{H,rel} = 31$

$g^*_{C,rel} = 40$

FRS09_92a; adaptierte CIELAB-Daten

	u^*_e	$L^*=L^*_a$	a^*_a	b^*_a	$C^*_{ab,a}$	$h^*_{ab,a}$	u^*_d
r00j	35.47	63.32	30.17	70.15	25	m81o	
r25j	39.12	54.56	49.45	73.64	42	o10y	
r50j	50.64	39.15	64.89	75.79	59	o40y	
r75j	64.01	21.26	82.83	85.52	76	o69y	
j00g	83.18	-4.38	108.53	108.62	92	o98y	
j25g	66.73	-29.89	83.06	88.28	110	y34l	
j50g	54.03	-48.31	63.49	79.78	127	y69l	
j75g	44.73	-60.33	42.64	73.88	145	l03c	
g00b	47.59	-49.08	15.74	51.54	162	l23c	
g25b	49.97	-39.7	-6.72	40.27	190	l55c	
g50b	51.85	-32.33	-24.35	40.48	217	l87c	
g75b	46.92	-17.29	-36.02	39.96	244	c20v	
b00r	37.91	1.28	-42.35	42.37	272	c53v	
b25r	23.81	30.38	-52.26	60.45	300	c87v	
b50r	29.52	69.06	-42.14	80.9	329	v68m	
b75r	36.48	71.47	-3.69	71.57	357	m34o	

$LAB^*cmy^n'^*$



Ein und Ausgabe: Farbmatisches Drucker-Reflektiv-System FRS09_92a für relativen CIELAB-Bunton $h^* = lab^*h^* = h_{ab}/360 = 0.603$

$u^*_e = g50b$
 LAB^*cmy^n '*

Daten für jede Farbe:

lab^*ch^* und lab^*icu^*

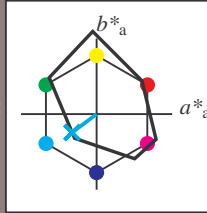
Buntontexte:

$u^*_e = g50b$ $u^*_d = l87c$

Kontrastreduzierungsfaktor:

$c_R = 1.0$

Dreiecks-Helligkeit t^*



FRS09_92a; CIELAB-Daten

	u^*_e	$L^*=L^*$	a^*	b^*	C^*_{ab}	h^*_{ab}
O _M	35.06	60.53	39.66	72.37	33	
Y _M	83.77	-4.5	103.15	103.25	92	
L _M	44.13	-62.11	43.56	75.86	145	
C _M	52.66	-28.56	-36.99	46.73	232	
V _M	14.15	50.78	-62.6	80.61	309	
M _M	37.37	79.18	-37.93	87.8	334	
N _M	8.58	0.46	-3.35	3.38	278	
W _M	92.02	0.69	-6.48	6.52	276	
R _M	39.92	58.74	27.99	65.07	25	
J _M	81.26	-2.89	71.56	71.62	92	
G _M	52.23	-42.42	13.6	44.55	162	
B _M	30.57	1.41	-46.47	46.49	272	

Daten für Maximalfarbe (Ma):

$LAB^*LAB^*_{Ma}: 52 -32 -24$

$LAB^*LCH^*_{Ma}: 52 40 216$

$lab^*rgb^*_{Ma}: 0.0 1.0 1.0$

$lab^*olv^*_{Ma}: 0.0 1.0 0.87$

Dreiecks-Helligkeit t^*

%Umfang

$u^*_{rel} = 109$

%Regularität

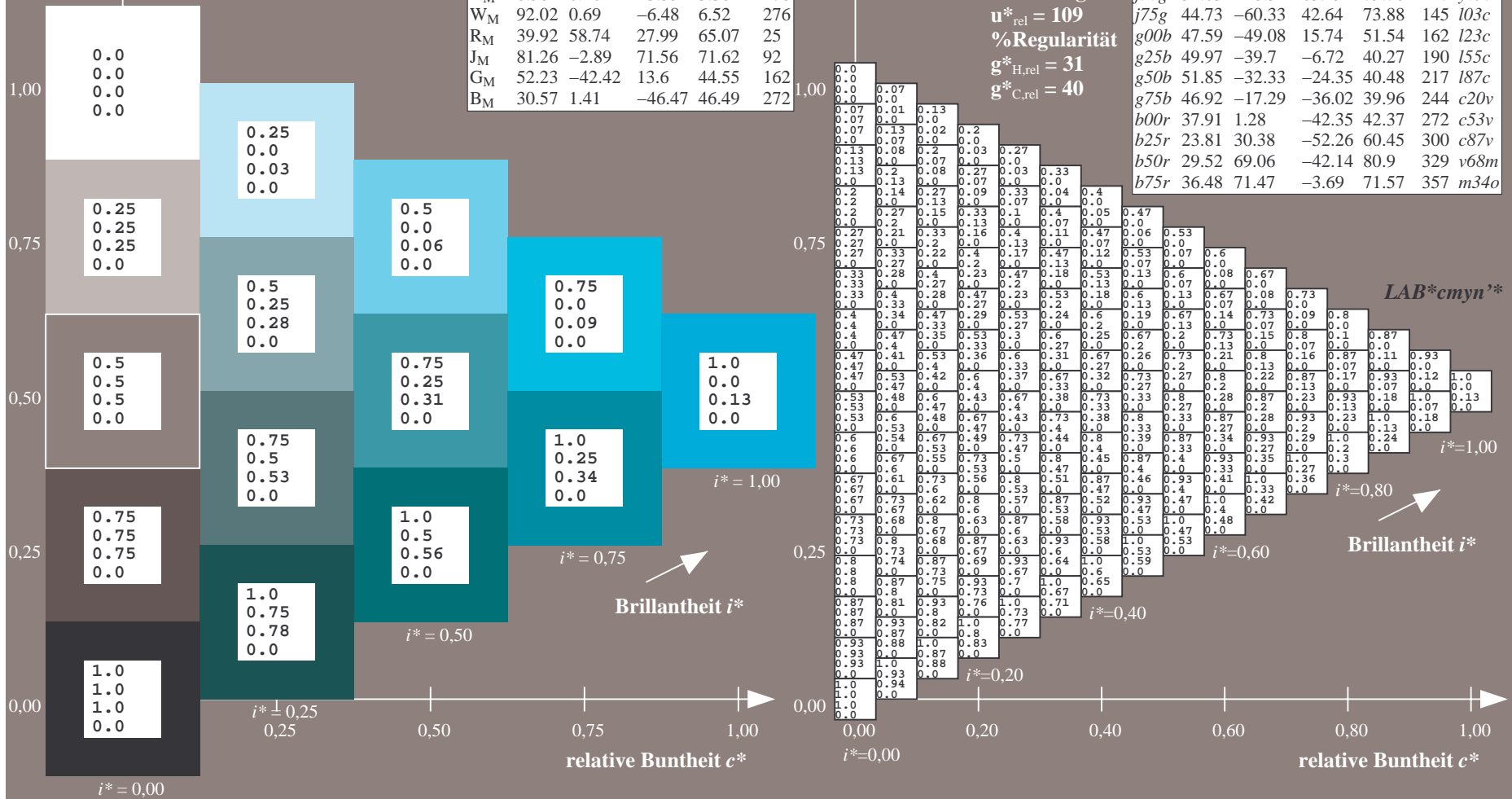
$g^*_{H,rel} = 31$

$g^*_{C,rel} = 40$

FRS09_92a; adaptierte CIELAB-Daten

	u^*_e	$L^*=L^*_a$	a^*_a	b^*_a	$C^*_{ab,a}$	$h^*_{ab,a}$	u^*_d
r00j	35.47	63.32	30.17	70.15	25	m81o	
r25j	39.12	54.56	49.45	73.64	42	o10y	
r50j	50.64	39.15	64.89	75.79	59	o40y	
r75j	64.01	21.26	82.83	85.52	76	o69y	
j00g	83.18	-4.38	108.53	108.62	92	o98y	
j25g	66.73	-29.89	83.06	88.28	110	y34l	
j50g	54.03	-48.31	63.49	79.78	127	y69l	
j75g	44.73	-60.33	42.64	73.88	145	l03c	
g00b	47.59	-49.08	15.74	51.54	162	l23c	
g25b	49.97	-39.7	-6.72	40.27	190	l55c	
g50b	51.85	-32.33	-24.35	40.48	217	l87c	
g75b	46.92	-17.29	-36.02	39.96	244	c20v	
b00r	37.91	1.28	-42.35	42.37	272	c53v	
b25r	23.81	30.38	-52.26	60.45	300	c87v	
b50r	29.52	69.06	-42.14	80.9	329	v68m	
b75r	36.48	71.47	-3.69	71.57	357	m34o	

LAB^*cmy^n '*



Ein und Ausgabe: Farbmatisches Drucker-Reflektiv-System FRS09_92a für relativen CIELAB-Bunton $h^* = lab^*h^* = h_{ab}/360 = 0.679$

$u^*_e = g75b$
 LAB^*cmy^n '*

Daten für jede Farbe:

lab^*tch^* und lab^*icu^*

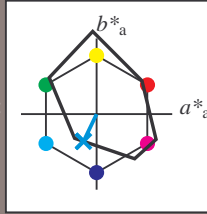
Buntontexte:

$u^*_e = g75b$ $u^*_d = c20v$

Kontrastreduzierungsfaktor:

$c_R = 1.0$

Dreiecks-Helligkeit t^*



FRS09_92a; CIELAB-Daten

	u^*_e	$L^*=L^*$	a^*	b^*	C^*_{ab}	h^*_{ab}
O _M	35.06	60.53	39.66	72.37	33	
Y _M	83.77	-4.5	103.15	103.25	92	
L _M	44.13	-62.11	43.56	75.86	145	
C _M	52.66	-28.56	-36.99	46.73	232	
V _M	14.15	50.78	-62.6	80.61	309	
M _M	37.37	79.18	-37.93	87.8	334	
N _M	8.58	0.46	-3.35	3.38	278	
W _M	92.02	0.69	-6.48	6.52	276	
R _M	39.92	58.74	27.99	65.07	25	
J _M	81.26	-2.89	71.56	71.62	92	
G _M	52.23	-42.42	13.6	44.55	162	
B _M	30.57	1.41	-46.47	46.49	272	

Daten für Maximalfarbe (Ma):

$LAB^*LAB^*_{Ma}$: 47 -17 -36

$LAB^*LCH^*_{Ma}$: 47 40 244

$lab^*rgb^*_{Ma}$: 0.0 0.5 1.0

$lab^*olv^*_{Ma}$: 0.0 0.8 1.0

Dreiecks-Helligkeit t^*

%Umfang

$u^*_{rel} = 109$

%Regularität

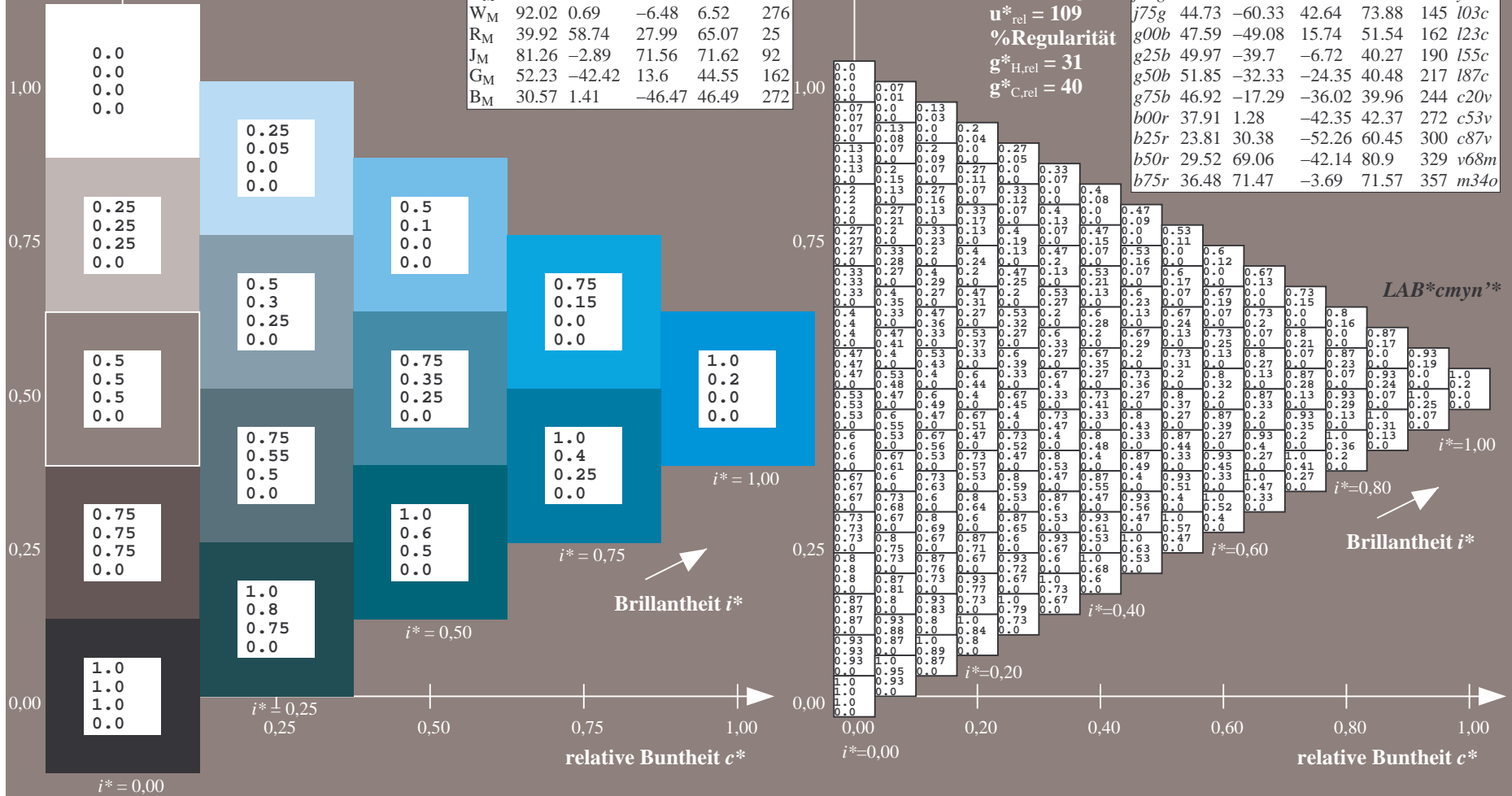
$g^*_{H,rel} = 31$

$g^*_{C,rel} = 40$

FRS09_92a; adaptierte CIELAB-Daten

	u^*_e	$L^*=L^*_a$	a^*_a	b^*_a	$C^*_{ab,a}$	$h^*_{ab,a}$	u^*_d
r00j	35.47	63.32	30.17	70.15	25	m81o	
r25j	39.12	54.56	49.45	73.64	42	o10y	
r50j	50.64	39.15	64.89	75.79	59	o40y	
r75j	64.01	21.26	82.83	85.52	76	o69y	
j00g	83.18	-4.38	108.53	108.62	92	o98y	
j25g	66.73	-29.89	83.06	88.28	110	y34l	
j50g	54.03	-48.31	63.49	79.78	127	y69l	
j75g	44.73	-60.33	42.64	73.88	145	l03c	
g00b	47.59	-49.08	15.74	51.54	162	l23c	
g25b	49.97	-39.7	-6.72	40.27	190	l55c	
g50b	51.85	-32.33	-24.35	40.48	217	l87c	
g75b	46.92	-17.29	-36.02	39.96	244	c20v	
b00r	37.91	1.28	-42.35	42.37	272	c53v	
b25r	23.81	30.38	-52.26	60.45	300	c87v	
b50r	29.52	69.06	-42.14	80.9	329	v68m	
b75r	36.48	71.47	-3.69	71.57	357	m34o	

LAB^*cmy^n '*



Ein und Ausgabe: Farbmatisches Drucker-Reflektiv-System FRS09_92a für relativen CIELAB-Bunton $h^* = lab^*h^* = h_{ab}/360 = 0.755$

$u^*_e = b00r$
 $LAB^*cmy^n'^*$

Daten für jede Farbe:

lab^*tch^* und lab^*icu^*

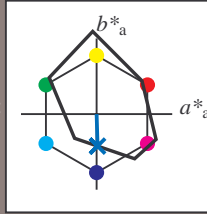
Buntontexte:

$u^*_e = b00r$ $u^*_d = c53v$

Kontrastreduzierungsfaktor:

$c_R = 1.0$

Dreiecks-Helligkeit t^*



FRS09_92a; CIELAB-Daten

	u^*_e	$L^*=L^*$	a^*	b^*	C^*_{ab}	h^*_{ab}
O _M	35.06	60.53	39.66	72.37	33	
Y _M	83.77	-4.5	103.15	103.25	92	
L _M	44.13	-62.11	43.56	75.86	145	
C _M	52.66	-28.56	-36.99	46.73	232	
V _M	14.15	50.78	-62.6	80.61	309	
M _M	37.37	79.18	-37.93	87.8	334	
N _M	8.58	0.46	-3.35	3.38	278	
W _M	92.02	0.69	-6.48	6.52	276	
R _M	39.92	58.74	27.99	65.07	25	
J _M	81.26	-2.89	71.56	71.62	92	
G _M	52.23	-42.42	13.6	44.55	162	
B _M	30.57	1.41	-46.47	46.49	272	

Daten für Maximalfarbe (Ma):

$LAB^*LAB^*_{Ma}: 38 \ 1 \ -42$

$LAB^*LCH^*_{Ma}: 38 \ 42 \ 271$

$lab^*rgb^*_{Ma}: 0.0 \ 0.0 \ 1.0$

$lab^*olv^*_{Ma}: 0.0 \ 0.47 \ 1.0$

Dreiecks-Helligkeit t^*

%Umfang

$u^*_{rel} = 109$

%Regulartät

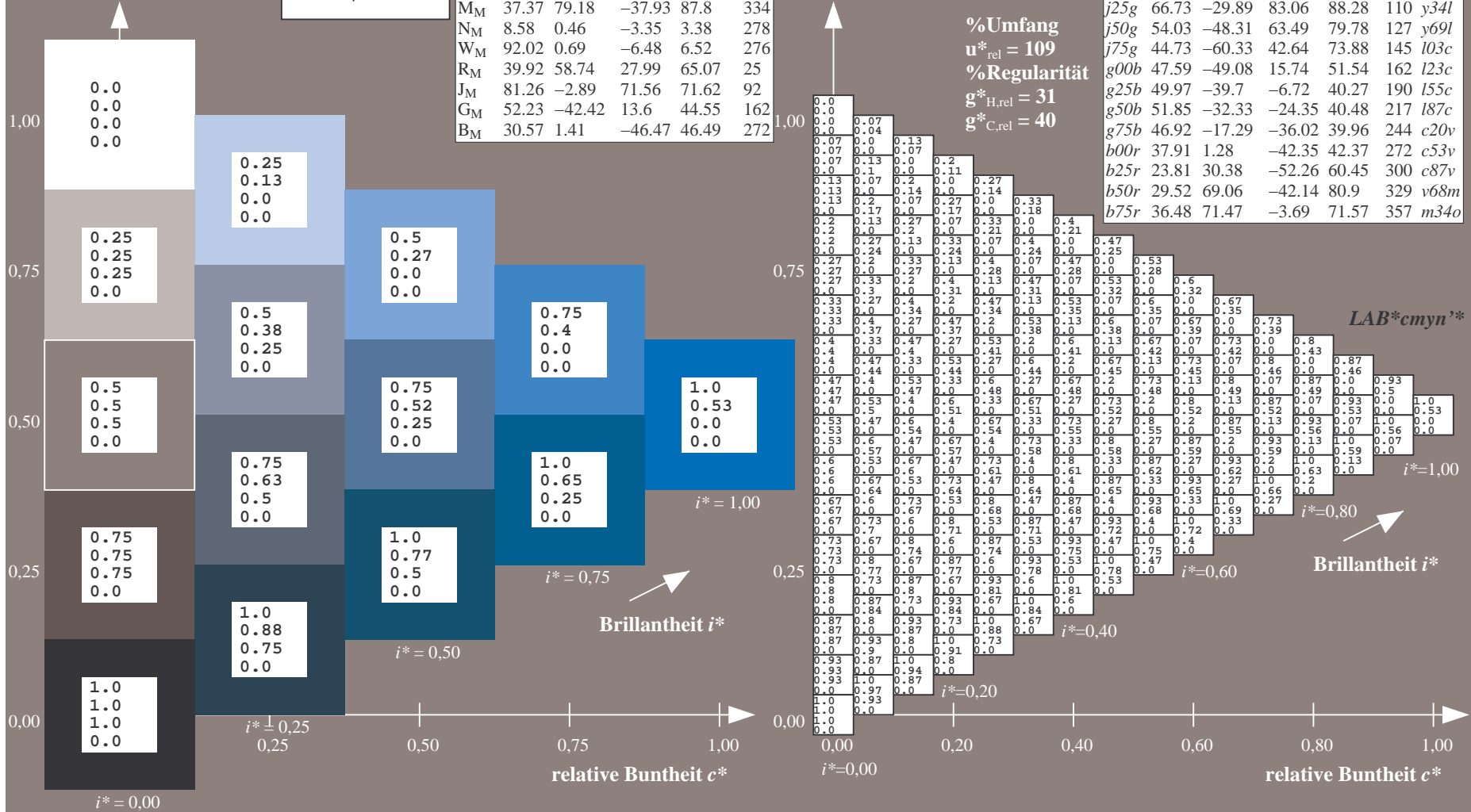
$g^*_{H,rel} = 31$

$g^*_{C,rel} = 40$

FRS09_92a; adaptierte CIELAB-Daten

	u^*_e	$L^*=L^*_a$	a^*_a	b^*_a	$C^*_{ab,a}$	$h^*_{ab,a}$	u^*_d
r00j	35.47	63.32	30.17	70.15	25	m81o	
r25j	39.12	54.56	49.45	73.64	42	o10y	
r50j	50.64	39.15	64.89	75.79	59	o40y	
r75j	64.01	21.26	82.83	85.52	76	o69y	
j00g	83.18	-4.38	108.53	108.62	92	o98y	
j25g	66.73	-29.89	83.06	88.28	110	y34l	
j50g	54.03	-48.31	63.49	79.78	127	y69l	
j75g	44.73	-60.33	42.64	73.88	145	l03c	
g00b	47.59	-49.08	15.74	51.54	162	i23c	
g25b	49.97	-39.7	-6.72	40.27	190	i55c	
g50b	51.85	-32.33	-24.35	40.48	217	i87c	
g75b	46.92	-17.29	-36.02	39.96	244	c20v	
b00r	37.91	1.28	-42.35	42.37	272	c53v	
b25r	23.81	30.38	-52.26	60.45	300	c87v	
b50r	29.52	69.06	-42.14	80.9	329	v68m	
b75r	36.48	71.47	-3.69	71.57	357	m34o	

$LAB^*cmy^n'^*$



Ein und Ausgabe: Farbmatisches Drucker-Reflektiv-System FRS09_92a für relativen CIELAB-Bunton $h^* = lab^*h^* = h_{ab}/360 = 0.834$

$u^*_e = b25r$
 $LAB^*cmy^n'^*$

Daten für jede Farbe:

lab^*tch^* und lab^*icu^*

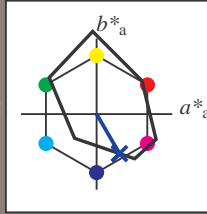
Buntontexte:

$u^*_e = b25r$ $u^*_d = c87v$

Kontrastreduzierungsfaktor:

$c_R = 1.0$

Dreiecks-Helligkeit t^*



FRS09_92a; CIELAB-Daten

	u^*_e	$L^*=L^*_a$	a^*_a	b^*_a	C^*_{ab}	h^*_{ab}
O _M	35.06	60.53	39.66	72.37	33	
Y _M	83.77	-4.5	103.15	103.25	92	
L _M	44.13	-62.11	43.56	75.86	145	
C _M	52.66	-28.56	-36.99	46.73	232	
V _M	14.15	50.78	-62.6	80.61	309	
M _M	37.37	79.18	-37.93	87.8	334	
N _M	8.58	0.46	-3.35	3.38	278	
W _M	92.02	0.69	-6.48	6.52	276	
R _M	39.92	58.74	27.99	65.07	25	
J _M	81.26	-2.89	71.56	71.62	92	
G _M	52.23	-42.42	13.6	44.55	162	
B _M	30.57	1.41	-46.47	46.49	272	

Daten für Maximalfarbe (Ma):

$LAB^*LAB^*_{Ma}: 24\ 30\ -52$

$LAB^*LCH^*_{Ma}: 24\ 60\ 300$

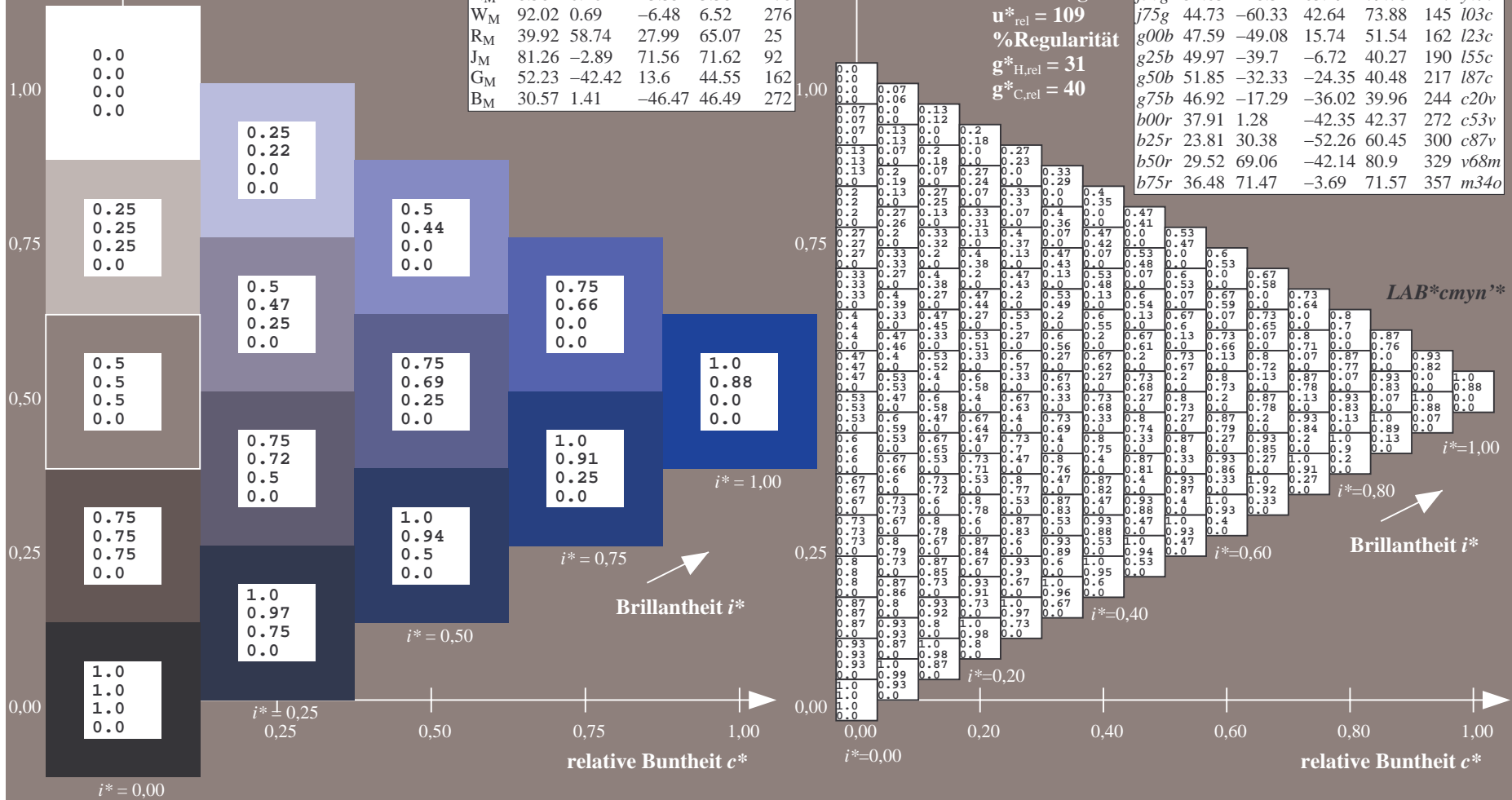
$lab^*rgb^*_{Ma}: 0.5\ 0.0\ 1.0$

$lab^*olv^*_{Ma}: 0.0\ 0.12\ 1.0$

Dreiecks-Helligkeit t^*

FRS09_92a; adaptierte CIELAB-Daten

	u^*_e	$L^*=L^*_a$	a^*_a	b^*_a	$C^*_{ab,a}$	$h^*_{ab,a}$	u^*_d
r00j	35.47	63.32	30.17	70.15	25	m81o	
r25j	39.12	54.56	49.45	73.64	42	o10y	
r50j	50.64	39.15	64.89	75.79	59	o40y	
r75j	64.01	21.26	82.83	85.52	76	o69y	
j00g	83.18	-4.38	108.53	108.62	92	o98y	
j25g	66.73	-29.89	83.06	88.28	110	y34l	
j50g	54.03	-48.31	63.49	79.78	127	y69l	
j75g	44.73	-60.33	42.64	73.88	145	l03c	
g00b	47.59	-49.08	15.74	51.54	162	l23c	
g25b	49.97	-39.7	-6.72	40.27	190	l55c	
g50b	51.85	-32.33	-24.35	40.48	217	l87c	
g75b	46.92	-17.29	-36.02	39.96	244	c20v	
b00r	37.91	1.28	-42.35	42.37	272	c53v	
b25r	23.81	30.38	-52.26	60.45	300	c87v	
b50r	29.52	69.06	-42.14	80.9	329	v68m	
b75r	36.48	71.47	-3.69	71.57	357	m34o	



Ein und Ausgabe: Farbmatisches Drucker-Reflektiv-System FRS09_92a für relativen CIELAB-Bunton $h^* = lab^*h^* = h_{ab}/360 = 0.913$

$u^*_e = b50r$

Daten für jede Farbe:

lab^*ch^* und lab^*icu^*

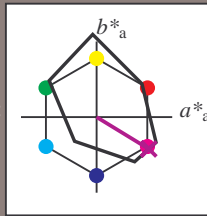
Buntontexte:

$u^*_e = b50r$ $u^*_d = v68m$

Kontrastreduzierungsfaktor:

$c_R = 1.0$

Dreiecks-Helligkeit t^*



FRS09_92a; CIELAB-Daten

u^*_e	$L^*=L^*$	a^*	b^*	C^*_{ab}	h^*_{ab}
O _M	35.06	60.53	39.66	72.37	33
Y _M	83.77	-4.5	103.15	103.25	92
L _M	44.13	-62.11	43.56	75.86	145
C _M	52.66	-28.56	-36.99	46.73	232
V _M	14.15	50.78	-62.6	80.61	309
M _M	37.37	79.18	-37.93	87.8	334
N _M	8.58	0.46	-3.35	3.38	278
W _M	92.02	0.69	-6.48	6.52	276
R _M	39.92	58.74	27.99	65.07	25
J _M	81.26	-2.89	71.56	71.62	92
G _M	52.23	-42.42	13.6	44.55	162
B _M	30.57	1.41	-46.47	46.49	272

Daten für Maximalfarbe (Ma):

$LAB^*LAB^*_{Ma}: 30 \ 69 \ -42$

$LAB^*LCH^*_{Ma}: 30 \ 81 \ 328$

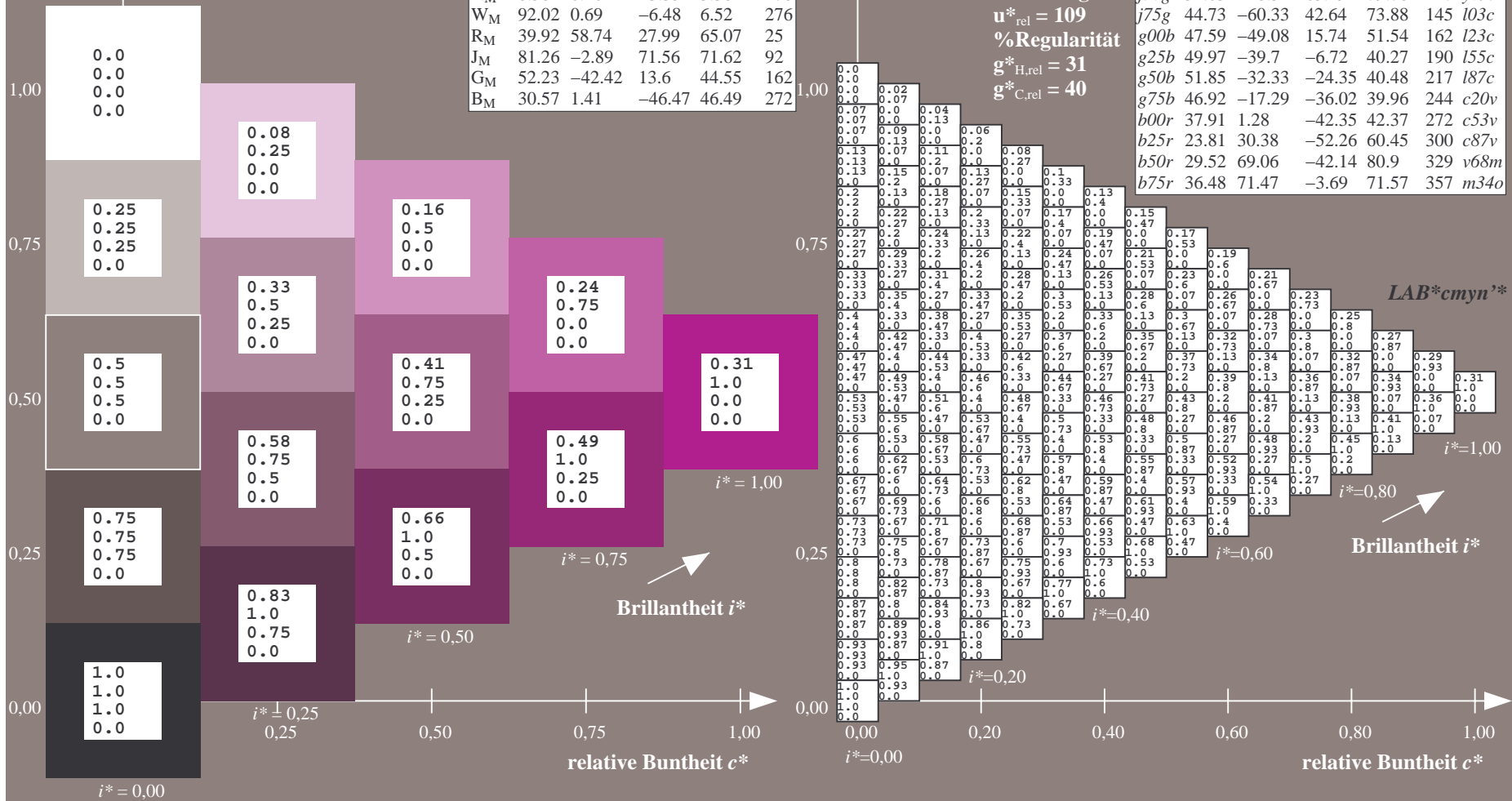
$lab^*rgb^*_{Ma}: 1.0 \ 0.0 \ 1.0$

$lab^*olv^*_{Ma}: 0.69 \ 0.0 \ 1.0$

Dreiecks-Helligkeit t^*

FRS09_92a; adaptierte CIELAB-Daten

u^*_e	$L^*=L^*_a$	a^*_a	b^*_a	$C^*_{ab,a}$	$h^*_{ab,a}$	u^*_d
r00j	35.47	63.32	30.17	70.15	25	m81o
r25j	39.12	54.56	49.45	73.64	42	o10y
r50j	50.64	39.15	64.89	75.79	59	o40y
r75j	64.01	21.26	82.83	85.52	76	o69y
j00g	83.18	-4.38	108.53	108.62	92	o98y
j25g	66.73	-29.89	83.06	88.28	110	y34l
j50g	54.03	-48.31	63.49	79.78	127	y69l
j75g	44.73	-60.33	42.64	73.88	145	l03c
g00b	47.59	-49.08	15.74	51.54	162	l23c
g25b	49.97	-39.7	-6.72	40.27	190	l55c
g50b	51.85	-32.33	-24.35	40.48	217	l87c
g75b	46.92	-17.29	-36.02	39.96	244	c20v
b00r	37.91	1.28	-42.35	42.37	272	c53v
b25r	23.81	30.38	-52.26	60.45	300	c87v
b50r	29.52	69.06	-42.14	80.9	329	v68m
b75r	36.48	71.47	-3.69	71.57	357	m34o



Ein und Ausgabe: Farbmatisches Drucker-Reflektiv-System FRS09_92a für relativen CIELAB-Bunton $h^* = lab^*h^* = h_{ab}/360 = 0.992$

$u^*_e = b75r$

Daten für jede Farbe:

lab^*tch^* und lab^*icu^*

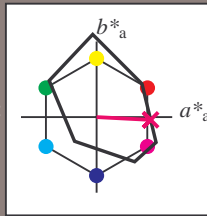
Buntontexte:

$u^*_e = b75r$ $u^*_d = m34o$

Kontrastreduzierungsfaktor:

$c_R = 1.0$

Dreiecks-Helligkeit t^*



FRS09_92a; CIELAB-Daten

u^*_e	$L^*=L^*$	a^*	b^*	C^*_{ab}	h^*_{ab}
O _M	35.06	60.53	39.66	72.37	33
Y _M	83.77	-4.5	103.15	103.25	92
L _M	44.13	-62.11	43.56	75.86	145
C _M	52.66	-28.56	-36.99	46.73	232
V _M	14.15	50.78	-62.6	80.61	309
M _M	37.37	79.18	-37.93	87.8	334
N _M	8.58	0.46	-3.35	3.38	278
W _M	92.02	0.69	-6.48	6.52	276
R _M	39.92	58.74	27.99	65.07	25
J _M	81.26	-2.89	71.56	71.62	92
G _M	52.23	-42.42	13.6	44.55	162
B _M	30.57	1.41	-46.47	46.49	272

Daten für Maximalfarbe (Ma):

$LAB^*LAB^*_{Ma}: 36\ 71\ -4$

$LAB^*LCH^*_{Ma}: 36\ 72\ 357$

$lab^*rgb^*_{Ma}: 1.0\ 0.0\ 0.5$

$lab^*olv^*_{Ma}: 1.0\ 0.0\ 0.66$

Dreiecks-Helligkeit t^*

FRS09_92a; adaptierte CIELAB-Daten

u^*_e	$L^*=L^*_a$	a^*_a	b^*_a	$C^*_{ab,a}$	$h^*_{ab,a}$	u^*_d
r00j	35.47	63.32	30.17	70.15	25	m81o
r25j	39.12	54.56	49.45	73.64	42	o10y
r50j	50.64	39.15	64.89	75.79	59	o40y
r75j	64.01	21.26	82.83	85.52	76	o69y
j00g	83.18	-4.38	108.53	108.62	92	o98y
j25g	66.73	-29.89	83.06	88.28	110	y34l
j50g	54.03	-48.31	63.49	79.78	127	y69l
j75g	44.73	-60.33	42.64	73.88	145	l03c
g00b	47.59	-49.08	15.74	51.54	162	l23c
g25b	49.97	-39.7	-6.72	40.27	190	l55c
g50b	51.85	-32.33	-24.35	40.48	217	l87c
g75b	46.92	-17.29	-36.02	39.96	244	c20v
b00r	37.91	1.28	-42.35	42.37	272	c53v
b25r	23.81	30.38	-52.26	60.45	300	c87v
b50r	29.52	69.06	-42.14	80.9	329	v68m
b75r	36.48	71.47	-3.69	71.57	357	m34o

$LAB^*cmy^n^*$

